

Excavaciones en el baptisterio del conjunto eclesiástico de Son Peretó

(Manacor, Mallorca, islas Baleares):
Siglos V-VIII d. C.

Mateu Riera Rullan
Miguel Ángel Cau Ontiveros
Magdalena Salas Burguera
(Editores)



Access Archaeology



About Access Archaeology

Access Archaeology offers a different publishing model for specialist academic material that might traditionally prove commercially unviable, perhaps due to its sheer extent or volume of colour content, or simply due to its relatively niche field of interest. This could apply, for example, to a PhD dissertation or a catalogue of archaeological data.

All *Access Archaeology* publications are available as a free-to-download pdf eBook and in print format. The free pdf download model supports dissemination in areas of the world where budgets are more severely limited, and also allows individual academics from all over the world the opportunity to access the material privately, rather than relying solely on their university or public library. Print copies, nevertheless, remain available to individuals and institutions who need or prefer them.

The material is refereed and/or peer reviewed. Copy-editing takes place prior to submission of the work for publication and is the responsibility of the author. Academics who are able to supply print-ready material are not charged any fee to publish (including making the material available as a free-to-download pdf). In some instances the material is type-set in-house and in these cases a small charge is passed on for layout work.

Our principal effort goes into promoting the material, both the free-to-download pdf and print edition, where *Access Archaeology* books get the same level of attention as all of our publications which are marketed through e-alerts, print catalogues, displays at academic conferences, and are supported by professional distribution worldwide.

The free pdf download allows for greater dissemination of academic work than traditional print models could ever hope to support. It is common for a free-to-download pdf to be downloaded hundreds or sometimes thousands of times when it first appears on our website. Print sales of such specialist material would take years to match this figure, if indeed they ever would.

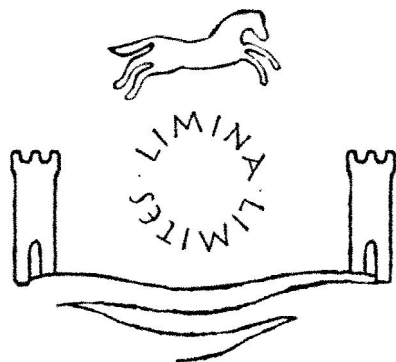
This model may well evolve over time, but its ambition will always remain to publish archaeological material that would prove commercially unviable in traditional publishing models, without passing the expense on to the academic (author or reader).



Excavaciones en el baptisterio del conjunto eclesiástico de Son Peretó (Manacor, Mallorca, islas Baleares): Siglos V-VIII d. C.

Mateu Riera Rullan
Miguel Ángel Cau Ontiveros
Magdalena Salas Burguera (Editores)

con contribuciones de
Llorenç Alapont Martín, Bernat Burgaya Martínez, Miquel Àngel
Capellà Galmés, Iván Fernández Pino, Teresa Marot Salsas,
Antonia Martínez Ortega, Domenico Miriello, Margalida Munar
Grimalt, Alessandra Pecci, Josep Maria Puche Fontanilles,
Damià Ramis Bernad



Archaeologies, histories, islands and borders in the Mediterranean 8

Access Archaeology





ARCHAEOPRESS PUBLISHING LTD
Summertown Pavilion
18-24 Middle Way
Summertown
Oxford OX2 7LG
www.archaeopress.com

ISBN 978-1-80327-178-1
ISBN 978-1-80327-179-8 (e-Pdf)

© the individual authors and Archaeopress 2022

Cover: Ortofoto del baptisterio de Son Peretó (M. À. Escanelles y J. M. Puche)

Limina/Limites

Archaeologies, histories, islands and borders in the Mediterranean 8

All rights reserved. No part of this book may be reproduced, stored in retrieval system, or transmitted, in any form or by any means, electronic, mechanical, photocopying or otherwise, without the prior written permission of the copyright owners.

This book is available direct from Archaeopress or from our website www.archaeopress.com

Limina/Limites

Archaeologies, histories, islands and borders in the Mediterranean (365–1556)

An Archaeopress International Series

Series Editors

Miguel Ángel Cau Ontiveros, Demetrios Michaelides, Philippe Pergola, Guido Vannini, Enrico Zanini

The title, subtitle, and chronological span of the series require a few words of explanation. In the first place, the title 'Limina/Limites' echoes the clear assonances between the root of two Latin words that respectively indicate 'thresholds' and 'boundaries' (and thus 'frontiers'), as well as that of the Greek word for 'harbour' (λιμὴν), which, for an island – and, more broadly speaking, for any coastal city – is both a point of connectivity and a boundary of isolation.

Islands and boundaries/borders are two of the many possible keys through which we can study the post-Classical Mediterranean. Ever since the Mediterranean ceased to be a great Roman 'lake', that same Sea became an often-uncrossable boundary that both separated and protected the many worlds that developed in different ways and at a different pace along its extensive coast. At the same time, however, the Mediterranean continued to be a unifying element: it provided a shared identity to communities that were culturally and geographically distant; and it could still be crossed to reach other frontiers, and even beyond.

From this point of view, islands and borders, forming connecting lines and lines of separation, and offering unified identities but also socio-cultural diversities, can become spaces for reflection. As such, they are ideal for disciplines that seek to understand the past but also aim to make much more widely available the tools with which to interpret some of the basic needs of the contemporary world.

The subtitle – with all nouns in the plural – alludes to the need for a multiplicity of different approaches. Today, history and archaeology – especially in the Mediterranean – are understood as multiple disciplines – disciplines that search not so much for an a priori monolithic, specific definition, but rather for an exploration of the limits that must be overcome and the intersection points that need to be exploited.

The chronological span, 365–1556, providing a long-term vision, is essential for exploring in timedepth the multiple themes of study. AD 365, or, more precisely, the 21st of July 365, the day of the most violent tsunami documented in the literary sources, marks the moment at which, in the midst of transformation of the ancient world, the Mediterranean seems to reclaim its physical centrality. This was due to the devastating effects of this natural disaster and, above all, to its global visibility, as is evident from the many different witnesses describing the event, from both the eastern and the western shores of the Mediterranean. At the other end of the chronological span, January 16th, 1556, the day of the coronation of Philip II of Spain, symbolically marks the date on which the Mediterranean enters contemporary historiography, as understood through the vision of the historian Fernand Braudel and his rewriting of the rules of historiographical analysis, pursuing directions that often cross paths with archaeology.

The Management Structure

Series Editors, who have conceived the series and who have the task of overseeing the production of the volumes, through mediation, selection and peer reviewing. Their interests and expertise span Late Antique to Medieval settlement, urbanism, trade, religion, economics, and society:

Miguel Ángel CAU ONTIVEROS

ICREA Research Professor and director of ERAAUB, Institute of Archaeology, University of Barcelona, Spain

Demetrios MICHAELIDES

Professor Emeritus of Classical Archaeology, University of Cyprus

Philippe PERGOLA

Professor and Dean, Pontificio Istituto di Archeologia Cristiana, Vatican City; Directeur de Recherche Emérite C.N.R.S., University of Nice, France

Guido VANNINI
Professor Emeritus, University of Florence

Enrico ZANINI
Professor, University of Siena

Associate Editors

Josipa BARAKA PERICA (University of Zadar); Gabriele CASTIGLIA (Pontificio Istituto di Archeologia Cristiana); Angelo CASTRORAO BARBA (Institute of Archaeology and Ethnology, Polish Academy of Sciences); Elisabetta GIORGI (University of Siena); Catalina MAS FLORIT (University of Barcelona); Elisa PRUNO (University of Florence)

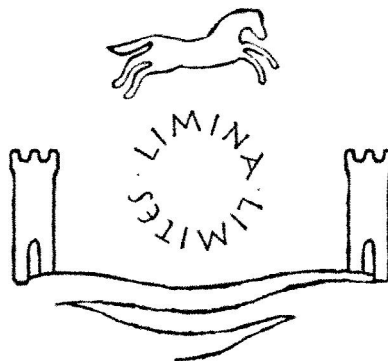
Scientific Committee, which proposes themes, authors and texts for publication, and is formed by Khairieh Amr, Ignacio Arce, Thadeusz Baranowski, Fabrizio Benente, Dario Bernal Casasola, Andrzej Buko, Neil Christie, Giovanni Curatola, Nathaniel Cutajar, Elie Essa Kas Hanna, Mario Gallina, Juan José Larrea, Rossana Martorelli, Alessandra Molinari, Dominic Moreau, John Moreland, Etlveni Nallbani, Michele Nucciotti, Hamlet Petrosyan, Konstantinos Politis, Natalia Poulou, Stephan Schmid, Pier Giorgio Spanu, Giuliano Volpe and Chris Wickham.

The *Limina/Limites* series publishes peer-reviewed conference and workshop proceedings, as well as monographs and collective works that respond to a Mediterranean-wide, multi-faceted and long-term approach.

We look forward to your suggestions, proposals, and manuscripts, as well as general support for this important venture that will give fresh voice and impetus to Mediterranean studies from the Late Classical to the Late Medieval period.

All the volumes have a double-blind peer review.

Miguel Ángel Cau Ontiveros, Demetrios Michaelides, Philippe Pergola, Guido Vannini, Enrico Zanini



Limina/Limites

Archeologie, storie, isole e frontiere nel Mediterraneo (365–1556)

An Archaeopress International Series

Series Editors

Miguel Ángel Cau Ontiveros, Demetrios Michaelides, Philippe Pergola, Guido Vannini, Enrico Zanini

Titolo, sottotitolo e ambito cronologico di una serie editoriale richiedono qualche parola di spiegazione da parte dei curatori. Il titolo gioca evidentemente sull'assonanza della radice delle parole latine che indicano rispettivamente soglie e confini, dunque frontiere, con quella della parola greca che indica il porto, che per un'isola – e in senso lato per ogni città che si affacci sul mare – è al tempo stesso una soglia di connettività e un confine di isolamento.

Isole e frontiere sono due delle tante possibili chiavi di lettura per provare a studiare il Mediterraneo post-antico. Da quando cessa di essere un grande lago romano, il Mediterraneo diviene una frontiera spesso invalicabile, che separa e protegge reciprocamente i tanti mondi che si sviluppano con ritmi e forme diversi lungo le sue coste. Al tempo stesso però il Mediterraneo continua ad essere un elemento di unità: fornisce una identità condivisa a comunità culturalmente e geograficamente distanti; può essere attraversato per spingersi verso, e al di là di, altre frontiere.

Isole e frontiere, linee di connessione e linee di separazione, identità unitarie e molteplicità socioculturali divengono da questo punto di vista spazi di riflessione per discipline volte alla conoscenza del passato, ma che intendono mettere a disposizione della collettività strumenti per interpretare alcune esigenze fondamentali della contemporaneità, risolvendo, ad esempio, in termini di 'Archeologia Pubblica' spunti, risultati ed esiti delle ricerche proposte o almeno di alcune di esse, fra ricerca pura e ricerca applicata.

Il sottotitolo, tutto al plurale, allude alla necessità di una molteplicità di approcci diversi. Storia e archeologia – a maggior ragione nel Mediterraneo – sono discipline che appaiono oggi declinabili solo in forma plurale, alla ricerca non di una monolitica definizione disciplinare a priori, ma di un' esplorazione di limiti da superare e di punti di intersezione da sfruttare. Luogo di incontro tra le discipline non può che essere il territorio, inteso come prodotto della interazione tra culture e natura: unità minima di osservazione del fenomeno storico e unità minima di contestualizzazione delle tracce archeologiche.

Le date di riferimento (365–1556) – in un'ottica di 'lungo periodo' – sono sembrate ai curatori una possibile conseguenza logica delle premesse e possono quindi rendere più esplicito il progetto. Il 365 – per la precisione il 21 luglio del 365, giorno del più violento maremoto narrato dalle fonti letterarie – segna il momento in cui, nel bel mezzo della trasformazione del mondo antico, il Mediterraneo riconquista, quasi per metafora, la sua centralità fisica, fatta di onde e di venti, dando vita a un fenomeno epocale, per i suoi effetti disastrosi e soprattutto per la sua visibilità globale, come dimostrano i tanti testimoni diversi che dalle sponde orientali e occidentali descrivono lo stesso evento con lingue e voci differenti. Il 1556 – per la precisione il 16 gennaio 1556, giorno dell'incoronazione di Filippo II di Spagna – segna simbolicamente la data in cui il Mediterraneo entra nella storiografia contemporanea attraverso la grande lezione di Fernand Braudel, riscrivendo le regole del gioco storiografico in una direzione che ha molti punti di intersezione con l'archeologia.

Limina/Limites accoglie ormai atti di convegni e seminari, singole monografie e studi collettivi che, indipendentemente dalla loro origine disciplinare, si propongano come obiettivo l'integrazione di fonti e sistemi di dati diversi in funzione di una ricostruzione globale orientata alla lunga durata e alla dimensione spaziale mediterranea.

Tutti volumi sono sottoposti a una doppia peer review anonima.

Limina/Limites

Archéologies, histoires, îles et frontières de Méditerranée (365-1556)

Titre, sous-titre et arc chronologique d'une collection éditoriale ont besoin que leurs responsables s'en expliquent. Le titre joue à l'évidence autour de l'assonance des racines des mots latins qui indiquent à la fois des lieux de passages et des limites, donc des frontières, comme pour le mot grec qui indique le port, lequel représente, pour une île -et plus largement pour toute ville qui donne sur la mer- un lieu de connexion et à la fois une limite qui isole.

Iles et frontières sont deux des innombrables clés de lecture pour tenter d'ouvrir les portes de l'étude de la Méditerranée post antique. A partir du moment où elle cesse d'être un grand lac romain, la Méditerranée devient une frontière parfois insurmontable, qui sépare et protège réciproquement les nombreux mondes qui se développent à des rythmes et sous des formes différentes le long de ses côtes. Au même moment, la Méditerranée continue à être un élément d'unité : elle fournit une identité partagée par des communautés culturellement et géographiquement distantes ; elle peut être traversée pour aller vers, et au-delà, d'autres frontières.

Iles et frontières sont à la fois des lignes qui unissent et qui séparent, des identités unitaires et des multiplicités socio culturelles. Elles deviennent ainsi de vastes espaces de réflexion pour des disciplines tournées vers la connaissance du passé, mais qui entendent mettre à la disposition des collectifs des instruments pour interpréter certaines exigences fondamentales du monde contemporain, en résolvant, par exemple, en des termes d'«Archéologie publique», des pistes, des résultats et des issues pour les recherches proposées, ou du moins pour une part d'entre elles, entre recherche pure et recherche appliquée.

Le sous-titre, entièrement au pluriel, est une allusion à la nécessité d'une multiplicité d'approches différentes. Histoire et archéologie – à plus forte raison en Méditerranée – sont les disciplines qui apparaissent devoir être aujourd'hui déclinées au pluriel, non pas à la recherche a priori d'une définition disciplinaire monolithique, mais qui doivent explorer les limites à dépasser et les points de rencontre à exploiter. Le lieu de rencontre entre les disciplines ne peut qu'être le territoire, entendu comme le produit de l'interaction entre cultures et nature, à savoir des unités minimales où contextualiser les traces archéologiques.

Les dates de référence se situent dans une optique de longue durée et se sont imposées comme l'une des conséquences logiques possibles de notre postulat de départ, pour rendre plus explicite encore notre projet. L'année 365 – et pour être plus précis, le 21 juillet 365, jour du raz-de-marée le plus violent qu'aient jamais rappelé les sources littéraires – marque le moment où, au beau milieu de la transformation du monde antique, la Méditerranée reconquiert, de manière quasiment métaphorique, sa centralité physique, faite de vagues déchaînées et de vents violents, pour donner vie à un phénomène qui marque cette époque par ses effets désastreux et surtout par la visibilité globale qu'il acquiert, comme le prouvent le grand nombre des témoins qui décrivent les dévastations de ce même phénomène, depuis les rives orientales et occidentales, en des langues et avec des voix différentes.

L'année 1556 – et pour être plus précis, le 16 janvier 1556, jour du couronnement de Philippe II d'Espagne – marque symboliquement la date retenue pour l'entrée de la Méditerranée dans l'historiographie moderne à travers la grande leçon de Fernand Braudel, en réécrivant les règles du jeu historiographique dans une direction qui a de nombreux points d'intersection avec l'archéologie.

Limina/Limites accueille désormais à la fois des actes de congrès et colloques, de séminaires, des monographies et des études collectives lesquelles, indépendamment de leur discipline d'origine, ont pour objectif l'intégration de sources et de systèmes, autour de données différentes, en fonction d'une reconstruction globale, orientée vers la longue durée et la dimension de l'espace méditerranéen.

Tous les volumes sont soumis à une double évaluation anonyme.

Dedicado a Alberto López Mullor

Índice

Presentación	ix
<i>Miguel Ángel Cau Ontiveros, Mateu Riera Rullan, Magdalena Salas Burguera</i>	
Introducción — Son Peretó: un asentamiento y complejo eclesiástico de la Antigüedad tardía en Mallorca	1
<i>Miguel Ángel Cau Ontiveros, Mateu Riera Rullan, Magdalena Salas Burguera</i>	
Capítulo 1 — Antecedentes: excavaciones arqueológicas en el baptisterio de Son Peretó durante el siglo XX	7
<i>Mateu Riera Rullan, Miguel Ángel Cau Ontiveros, Magdalena Salas Burguera</i>	
Excavaciones realizadas entre 1912 y 1924.....	7
Excavaciones realizadas en los años 60	11
Excavaciones realizadas entre 1981 y 1984.....	23
Capítulo 2 — Las excavaciones recientes en el baptisterio en el marco del nuevo proyecto sobre Son Peretó (2005-2016)	33
<i>Mateu Riera Rullan, Miguel Ángel Cau Ontiveros, Magdalena Salas Burguera</i>	
Ámbito Lateral Norte	35
Ámbito Lateral Este	47
Ámbito Lateral Sur	63
Ámbito Lateral Oeste.....	76
Ámbito Central.....	82
Capítulo 3 — Los materiales cerámicos del baptisterio de Son Peretó	110
<i>Mateu Riera Rullan, Miguel Ángel Cau Ontiveros</i>	
Introducción.....	110
Producciones de época antigua.....	111
La cerámica en los contextos de época antigua	144
Valoración.....	154
Capítulo 4 — El conjunto de materiales vítreos del baptisterio de Son Peretó	156
<i>Miguel Àngel Capellà Galmés, Antonia Martínez Ortega</i>	
Introducción.....	156
Estudio del conjunto de materiales vítreos.....	157
Conclusiones.....	160
Capítulo 5 — Estudio antropológico de los enterramientos del baptisterio de Son Peretó	168
<i>Llorenç Alapont Martín</i>	
Introducción.....	168
Análisis de los restos esqueléticos	170
Conclusiones.....	212

Capítulo 6 — Caracterización arqueométrica de morteros y revestimientos del yacimiento tardoantiguo de Son Peretó (Mallorca, islas Baleares).....	213
<i>Domenico Miriello, Miguel Ángel Cau Ontiveros, Alessandra Pecci, Andrea Bloise, Gino Mirocle Crisci, Mateu Riera Rullan</i>	
Introducción.....	213
Materiales y Métodos.....	217
Resultados y discusión.....	221
Conclusiones.....	227
Capítulo 7 — Análisis de residuos orgánicos en pavimentos y piscinas del Baptisterio de Son Peretó (Manacor, Mallorca)	229
<i>Alessandra Pecci, Miguel Ángel Cau Ontiveros</i>	
Introducción.....	229
Materiales y métodos.....	230
Resultados.....	232
Conclusiones.....	234
Capítulo 8 — El baptisterio de la segunda fase de Son Peretó. Análisis arquitectónico y propuesta reconstructiva	235
<i>Josep Maria Puche Fontanilles, Ivan Fernàndez Pino</i>	
Introducción.....	235
La forma	236
La metrología de la basílica.....	238
La forma del baptisterio	240
La proporción	241
Propuesta volumétrica.....	242
Conclusiones.....	246
Capítulo 9 — Los ambientes bautismales de Son Peretó entre los siglos V y VIII d. C.: a modo de conclusión.....	257
<i>Mateu Riera Rullan, Miguel Ángel Cau Ontiveros</i>	
Introducción.....	257
Fases constructivas del Sector Baptisterio de Son Peretó.....	258
El mundo funerario en el Sector Baptisterio de Son Peretó	278
Anexo I — La fauna del baptisterio de Son Peretó	293
<i>Damià Ramis</i>	
Anexo II —La restauración del recinto bautismal de Son Peretó	297
<i>Margalida Munar Grimalt, Bernat Burgaya Martínez</i>	
Anexo III — Fichas de las monedas halladas en el Sector Baptisterio de Son Peretó	305
<i>Teresa Marot Salsas (Fotografías: Mateu Riera Sureda)</i>	
Bibliografía.....	311

Presentación

Miguel Ángel Cau Ontiveros¹, Mateu Riera Rullan², Magdalena Salas Burguera³

El conjunto eclesiástico de Son Peretó (Manacor, Mallorca) es uno de los yacimientos emblemáticos para el estudio de la Antigüedad tardía y el proceso de cristianización en las islas Baleares. Descubierta en 1912, ha sido objeto de diversas excavaciones arqueológicas que han permitido exhumar una basílica cristiana con baptisterio, diversas habitaciones anejas y una gran zona funeraria. Son Peretó es conocido, sobre todo, por su basílica y sus mosaicos, pero también por la particularidad de presentar dos piscinas bautismales que no se encuentran superpuestas⁴.

Este volumen ofrece una síntesis de los resultados obtenidos en las intervenciones arqueológicas efectuadas en el baptisterio de Son Peretó, analizando tanto los hallazgos de carácter mueble como inmueble. El trabajo revisa lo publicado durante el siglo XX y presenta datos de las excavaciones efectuadas durante aquella centuria que habían permanecido inéditos. En cualquier caso, el núcleo de esta monografía son los resultados de las nuevas excavaciones desarrolladas entre 2005 y 2016. Algunos avances de los descubrimientos del siglo XXI se habían dado a conocer con anterioridad, pero se presentan ahora con detalle los resultados de la excavación, materiales arqueológicos, datos, fotografías, planimetrías y los resultados de diversos estudios. En definitiva, se trata de una monografía dedicada a todo lo relacionado con los ambientes bautismales de Son Peretó.

Lo cierto es que tal vez hubiese sido más acertado utilizar un título que hiciese referencia a “los baptisterios de Son Peretó”, puesto que, como se verá, hubo más de un edificio bautismal en el conjunto eclesiástico. En cualquier caso, cuando se hable del baptisterio sin ninguna otra especificación se estará haciendo referencia a la edificación monumental de planta cuadrangular, de hasta 14 m de largo, por unos 12 m de ancho. A esta zona del yacimiento también se le llamará Sector Baptisterio. Como ya hiciera Isidoro de Sevilla, se entiende por “baptisterio” el lugar donde se administra el Bautismo, aunque, en realidad, el autor hispalense utilizaba dicho término para hacer referencia tanto al edificio bautismal como al lugar del bautismo (Iturgaiz 1969: 224).

Una de las particularidades más comentadas y discutidas en el ámbito académico español e internacional ha sido la presencia en Son Peretó de dos piscinas bautismales y su posible sincronía, tema íntimamente relacionado con el uso ritual que pudieron desempeñar (Alcaide 2005a, 2011; Duval

¹ Institució Catalana de Recerca i Estudis Avançats (ICREA), Pg. Lluís Companys 23, 08010 Barcelona, Spain; Equip de Recerca Arqueològica i Arqueomètrica de la Universitat de Barcelona (ERAAUB), Institut d'Arqueologia de la Universitat de Barcelona (IAUB); Universitat de Barcelona (UB), Facultat de Geografia i Història, Departament d'Història i Arqueologia, c/ Montalegre 6-8, 08001 Barcelona, Spain; Chercheur Associé, Aix Marseille Univ, CNRS, CCJ, Aix-en-Provence, France.

² Profesor asociado de la Universitat Autònoma de Barcelona, profesor de la Facultat Antoni Gaudí d'Història, Arqueologia i Arts Cristianes, investigador adscrito al Institut Català d'Arqueologia Clàssica.

³ Directora del Museu d'Història de Manacor.

⁴ Para no confundir al lector, a la primera se le llamará “piscina grande” o “piscina mayor”, mientras que a la segunda se le referirá como “piscina pequeña”, “piscina menor”.

1994; Godoy 1989, 1995; Iturgaiz 1963; Palol 1989, 1994; Palol *et al.* 1968; Ulbert 1978). De hecho, fuera de las islas Baleares todavía se sigue citando esta problemática (Lopes 2015: 833). Esta cuestión quedó definitivamente resuelta gracias a los trabajos de excavación realizados en el año 2008 y a los resultados de la caracterización arqueométrica efectuada sobre diversos morteros aparecidos en el baptisterio. Gracias al análisis estratigráfico, a la observación de las relaciones físicas entre las estructuras, a los materiales hallados y a los resultados de diversas pruebas de ¹⁴C, se ha podido determinar la evolución histórica de las edificaciones bautismales. También se ha podido ajustar la datación de la mayoría de ellas, tanto por lo que respecta a su fundación, como al uso y amortización. Estos son algunos de los aspectos que se detallan en esta monografía, que aborda también cuestiones relacionadas con el mundo funerario como la presencia de enterramientos en el interior del baptisterio o la celebración de ágapes funerarios hasta fechas muy avanzadas.

La gran mayoría de estructuras y materiales que se presentan a continuación pertenecen a los siglos V a VII d. C., aunque algunos pueden llevarse hasta el siglo VIII. En las Baleares, el periodo histórico que transcurre desde el siglo V hasta el siglo X de nuestra era ha sido a menudo denominado como «siglos oscuros», debido al desconocimiento de lo acontecido en estas islas durante aquellas cinco centurias. Las referencias literarias para esta época son ciertamente escasas y la información que aportan suele ser muy exigua, salvo la extraordinaria excepción de la documentación conservada de Severo y Consencio correspondiente a inicios del siglo V. Afortunadamente, los avances en la investigación arqueológica han ido supliendo las carencias de la documentación escrita y cada vez se conocen más detalles de lo acontecido en las Baleares durante la segunda mitad del primer milenio de la era cristiana. Es esta línea la que pretende seguir este volumen que ahora se presenta.

Un proyecto como el de Son Peretó, del que esta monografía es fruto directo, no hubiese sido posible sin la ayuda de un gran número de colaboradores, tanto profesionales como voluntarios. Son tantos que es imposible mencionarlos a todos. En todo caso, por lo que respecta a los trabajos realizados durante el siglo pasado, cabe destacar a J. Aguiló, D. Iturgaiz, P. de Palol, G. Rosselló, J. Camps, L. Plantalamor, M^a. L. Serra, A. Alomar, M. Trias, A. Puerto, M. Orfila, J. M^a. Gurt, F. Tuset, P. Valeriano, J. Gual, M^a. M. Riera, M^a. G. Salvà y M. Muntanyola. De entre los muchísimos profesionales que han trabajado durante lo que llevamos de siglo XXI en los ambientes bautismales de Son Peretó, o con los materiales recuperados, cabe citar a Ll. Alapont, S. Alcaide, A. Bloise, B. Burgaya, M. À. Capellà, M. Crisci, M.À. Escanelles, Z. Larcher, A. Malgosa, T. Marot, A. Martínez, D. Miriello, M. Munar, S. Munar, J. Pascual, A. Pecci, G. Prats, J. M^a. Puche, D. Ramis, R. Real, T. Riera, G. Ripoll, M^a. J. Rivas, M^a. G. Salvà, M. Sastre, M. Trias, y B. Vallori. También cabe recordar la labor realizada por: los voluntarios M.À. Escanelles, J. Gayà, S. Matamalas, M. Miquel, L. Monetti, E. Nicolau, A. Pasqual y J. M. Rosselló entre muchos otros; por los alumnos de *Archaeospain* coordinados por M. Elkin y A. Puig: K. Beaty, J. Blan, E. Carroll, L. Damman, M. Daniele, A. Ekdahl, A. Fetter, O. González, A. M. Guzmán, S. Hendrickson, E. Hoyle, M. Kahn, H. Kamel, E. Karantzalis, E. Kirkegaard, O. Lewis, G. Martínez, E. Mckendry, E. Ortega, A. Payne, A. F. Sánchez, S. Serfilippi, D. Sliwa, V. Stoneman, E. Storms, N. Svajlenka, C. Tica y G. Young; por algunos alumnos de M^a. L. Sánchez León y E. García Ríaza de la Universitat de les Illes Balears; y por los miembros de la Brigada Municipal del Ajuntament de Manacor y de la Brigada de Patrimoni del Consell de Mallorca. Estas dos últimas instituciones son las que han financiado las excavaciones en Son Peretó ininterrumpidamente desde el año 2005. También han sufragado muchos de los estudios que se expondrán a continuación. Así, es de justicia recordar a los cargos políticos electos que han apostado por la investigación arqueológica y por acercar los resultados de esta a la sociedad, y de manera especial a B. Amer, C. Riera, J. Rotger y C. Sureda, cargos de las administraciones locales que han apoyado el proyecto de Son Peretó.

Queremos agradecer también la ayuda ofrecida por J. Amengual i Batle, M. Barceló Perelló, R. Baró Cabrera, J. Beltrán de Heredia, M. Bonifay, C. Godoy Fernández, J. Gómez Pallarès, J. M^a. Gurt, C. Mas

Florit, J. I. Murillo Fragero, A. Puig i Tàrrach, A. Ribera i Lacomba, G. Ripoll López, I. Rodà de Llanza, F. Tuset Bertran y M^a. A. Utrero.

Gracias a los convenios firmados entre el Ajuntament de Manacor y el Institut Català d'Arqueologia Clàssica, se ha podido disponer de los medios humanos y materiales de la Unitat de Documentació Gràfica de la última institución citada, y acceder al Fons Pere de Palol. Gracias a Mark Van Strydonck del Radiocarbon Dating Laboratory del Royal Institute for Cultural Heritage de Bruselas, se ha podido contar con una destacable batería de dataciones por ¹⁴C, así como de análisis de isótopos estables. Finalmente, cabe destacar el papel fundamental del Museu d'Història de Manacor y el trabajo realizado por J. Palmer y todos los becarios que han pasado por la casa durante los últimos doce años.

El proyecto de Son Peretó también ha estado imbricado en diversas iniciativas universitarias a nivel estatal y europeo, volviendo a ocupar un lugar preferente en el mapa de la investigación de la Antigüedad tardía. Así, la investigación sobre este yacimiento se ha enmarcado en las actividades del Equip de Recerca Arqueològica i Arqueomètrica de la Universitat de Barcelona (ERAAUB), Grupo Consolidado (2017 SGR 1043), gracias al apoyo del Comissionat per a Universitats i Recerca del DIUE de la Generalitat de Catalunya. En este marco, se han creado sinergias con una serie de proyectos financiados por el Ministerio de Ciencia e Innovación, o Economía y Competitividad, Subdirección General de Proyectos de Investigación, con contribución de fondos FEDER: *CERPOANTAR* (HUM2004-00663 y HUM2005-00996); *LRCWMED* (HAR2009-08290/HIST), *CARE-Hispania* (HAR2009-13104/HIST) —y, por extensión, su proyecto madre *CARE-Corpus Architecturae Religiosae Europaeae (saec. IV-X)*—, *LRPWESTMED* (HAR2013-45874-P) y, finalmente, *ARCHREMOTELANDS* (HAR2017-83335-P), financiado/a por MCIN/AEI/10.13039/501100011033/ y “FEDER Una manera de hacer Europa”, que ha permitido completar la investigación geofísica y de teledetección del yacimiento y sus alrededores y el marco idóneo para dar el impulso definitivo a esta publicación.

Introducción

Son Peretó: un asentamiento y complejo eclesiástico de la Antigüedad tardía en Mallorca

Miguel Ángel Cau Ontiveros⁵, Mateu Riera Rullan⁶, Magdalena Salas Burguera⁷

Los siglos V y VIII d. C. fueron tiempos de grandes cambios políticos, sociales y religiosos en todo el Mediterráneo. Uno de los aspectos esenciales de este periodo fue el de la consolidación del cristianismo. Con el edicto de Constantino y Licinio, promulgado en Milán en el año 313 d. C., esta nueva religión fue tolerada y, con el edicto de Tesalónica, promulgado por Teodosio en el 380 d. C., se convirtió en religión oficial en todo el Imperio Romano. El cristianismo había pasado de ser una religión minoritaria, y frecuentemente perseguida, a ser la más importante dentro de lo que fueron las fronteras del Imperio. Se estaba llegando al triunfo definitivo de la nueva fe y a la progresiva cristianización de la sociedad romana.

Las Baleares, a finales del siglo IV, durante el gobierno del emperador Teodosio, se convirtieron en una provincia dentro del Imperio Romano –*Insulae Baleares*–, que formaba parte de la *diocesis Hispaniarum* y de la *praefectura praetorio Galliarum*. La pertenencia al estado romano quedaría truncada por la llegada de los pueblos germánicos a la cuenca mediterránea. En el año 425 tuvo lugar la primera incursión vándala en las islas y, 30 años más tarde, en el 455 d. C., las Baleares fueron incorporadas al Reino Vándalo del norte de África. Esta dominación duró hasta el año 534, momento en el que Apolinar anexiona las islas al imperio romano de Oriente, actuación inscrita en la campaña de conquistas realizadas por Belisario. Durante estos siglos, se introducirá con fuerza la religión cristiana. Esta empezará a implantarse a partir de los núcleos urbanos portuarios, donde pronto aparecerán las jerarquías eclesiásticas. En el campo, la cristianización fue más tardía. Las comunidades monásticas, como la del monasterio de la isla de Cabrera al sur de Mallorca, debieron desempeñar una tarea evangelizadora importante.

A principios del siglo V, la sociedad balear estaba completamente romanizada. Tanto las fuentes escritas como la arqueología nos muestran que en aquel momento era una comunidad abierta al exterior, aprovechando el cobijo de las autoridades imperiales que controlaban prácticamente todo el Mediterráneo. El derrumbe del Estado romano en Occidente se produce en un tiempo en el que la sociedad es eminentemente rural y cada vez menos urbana. También se estaban acentuando las diferencias económicas, políticas y sociales entre el reducido número de personas que constituían

⁵ Institució Catalana de Recerca i Estudis Avançats (ICREA), Pg. Lluís Companys 23, 08010 Barcelona, Spain; Equip de Recerca Arqueològica i Arqueomètrica de la Universitat de Barcelona (ERAAUB), Institut d'Arqueologia de la Universitat de Barcelona (IAUB); Universitat de Barcelona (UB), Facultat de Geografia i Història, Departament d'Història i Arqueologia, c/ Montalegre 6-8, 08001 Barcelona, Spain; Chercheur Associé, Aix Marseille Univ, CNRS, CCJ, Aix-en-Provence, France.

⁶ Profesor asociado de la Universitat Autònoma de Barcelona, profesor de la Facultat Antoni Gaudí d'Història, Arqueologia i Arts Cristianes, investigador adscrito al Institut Català d'Arqueologia Clàssica.

⁷ Directora del Museu d'Història de Manacor.

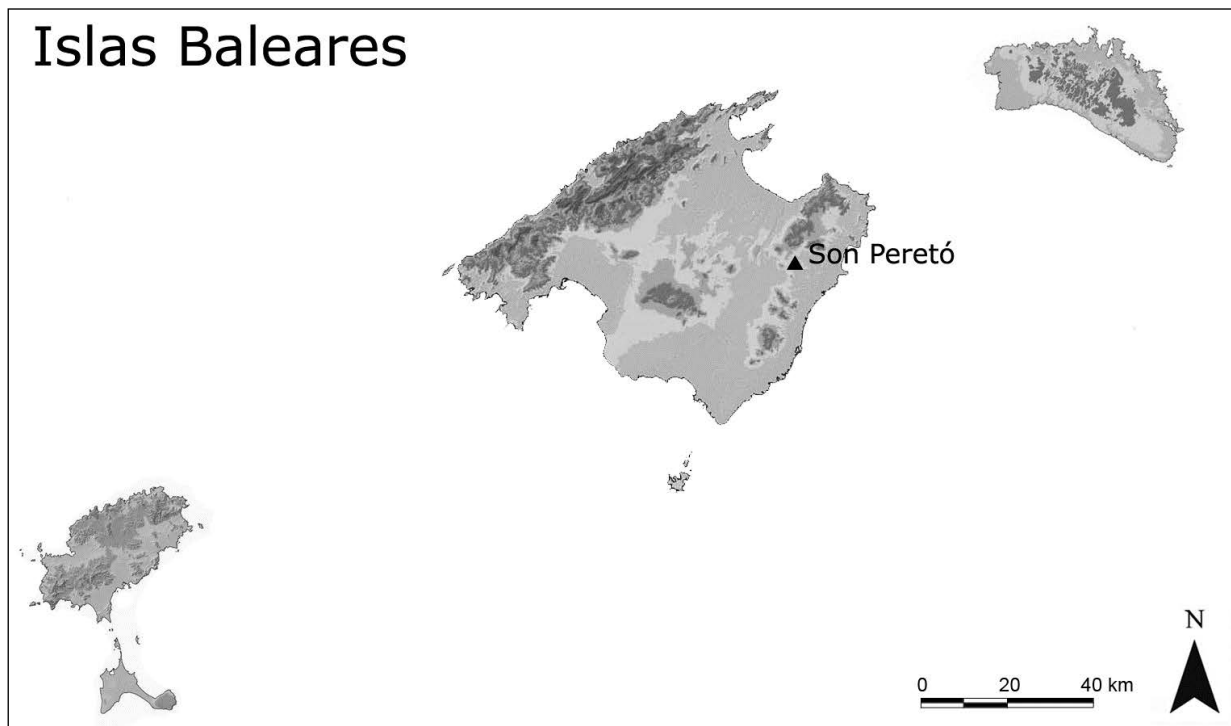


Figura 0.1. Localización de Son Peretó en las islas Baleares (M. Á. Cau)

los grupos acomodados, y una amplia mayoría de gente que estaba inmersa en niveles próximos a los límites de la subsistencia.

En las Baleares, como en muchos otros lugares, los dirigentes cristianos habían ido asumiendo el papel de los gobernantes y funcionarios estatales y, por tanto, ahora estaban en condiciones de imponer sus normas de vida para conseguir un gran objetivo común, el de la salvación. De esta manera, la Iglesia asumió las competencias del Estado, es decir, la recaudación de impuestos, la administración de justicia, la realización de obras públicas, la seguridad ciudadana y muchas otras funciones. Por descontado, estos dirigentes cristianos formaban parte de la minoría acomodada. Con ellos, la Iglesia controlaba y regulaba el devenir de la mayoría de las personas del Mediterráneo, desde el trabajo diario, hasta los momentos más importantes de la vida, como por ejemplo el bautismo, el matrimonio y, especialmente, todo lo relacionado con la muerte. La salvación de uno mismo empezaba por los actos individuales que debían huir del pecado. La fuerza de los estamentos religiosos cristianos de los siglos V, VI y VII queda perfectamente evidenciada en el hecho de que las construcciones más imponentes, y en las que se emplearon más recursos, fueron las iglesias y los edificios bautismales. Es un hecho bien constatado arqueológicamente en las Baleares, uno de los lugares del Occidente Mediterráneo donde más basílicas paleocristianas se conocen para un territorio tan reducido. En sus dos islas mayores se ha descubierto un número considerable de basílicas como las de Cas Frares, Sa Carrotja, Son Peretó y Son Fadriret en Mallorca, y las de la Illa del Rei, Son Bou, Fornàs de Torelló, Cap des Port de Fornells, Illa d'en Colom y Sanitja en Menorca. A estas habría que sumar otros lugares cuyos topónimos revelan la posible existencia de otros edificios cristianos.

Durante los siglos V y VIII se iría produciendo una progresiva disminución del llamado comercio de larga distancia, un comercio mayoritariamente marítimo o fluvial. Según las fuentes escritas, de un extremo a otro del Mediterráneo, los siglos VI, VII y VIII se caracterizaron por los frecuentes episodios de guerra,

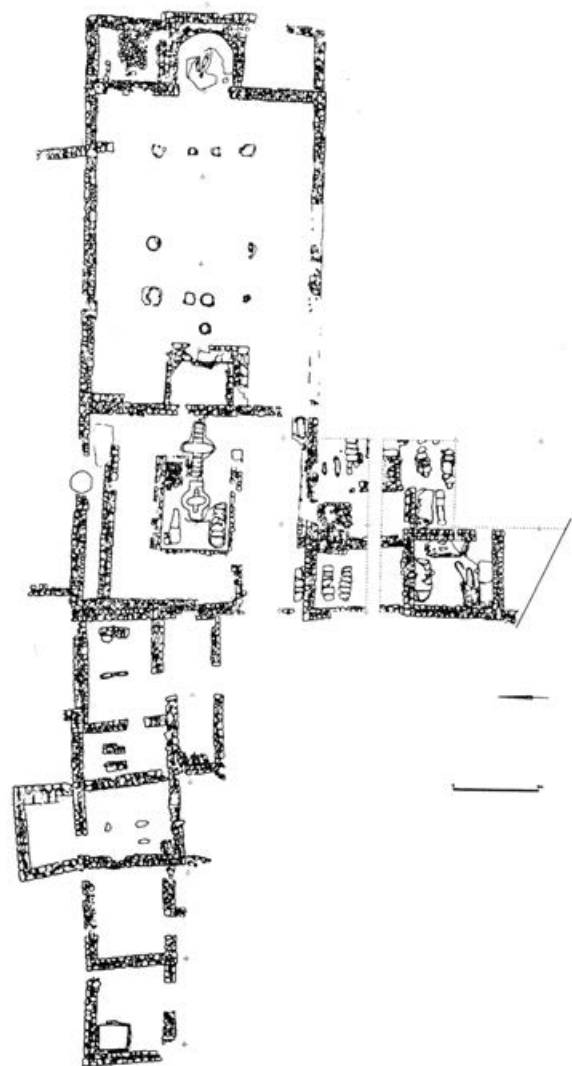
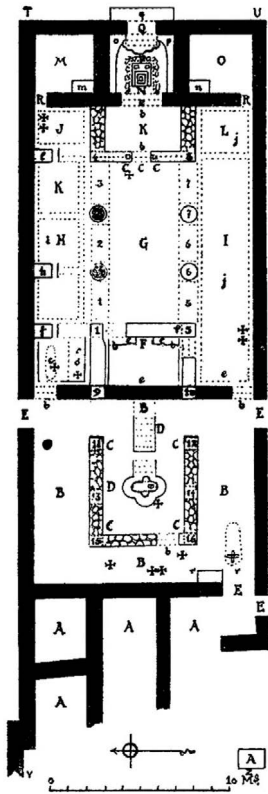


Figura 0.2. Planta de las edificaciones descubiertas por J. Aguiló (Aguiló 1920: 2)

Figura 0.3. Planta de las edificaciones descubiertas o redescubiertas entre 1981 y 1984 (Palol 1989: fig. 10)

inseguridad, catástrofes naturales, epidemias, hambrunas y muerte. Son unas centurias donde se irá desintegrando el modelo que caracterizó a la sociedad de la época antigua, para pasar a lo que será la sociedad de la época medieval. A partir del siglo VII d. C., una vez que los bizantinos fueron expulsados de la península ibérica por los visigodos y, sobre todo, una vez que los musulmanes irrumpieron en el Mediterráneo, la presencia bizantina en las Baleares y su dominio debieron quedar bastante diluidos. Desde este momento, se iniciará una etapa donde el aislamiento y la autarquía irían en aumento, y en la que las élites locales adquirirán posiblemente un mayor protagonismo. Es también durante el siglo VII cuando una nueva religión, la islámica, irrumpió en gran parte del Mediterráneo. La primera razzia documentada de los musulmanes en las Baleares es del año 707, pero la definitiva conquista islámica no se produciría hasta inicios del siglo X d. C.⁸

⁸ Para más detalles sobre todo lo expuesto hasta el momento, véanse, por ejemplo: Amengual 1991, 2008, 2010, 2013; Amengual y Cau 2005; Amengual y Orfila 2007; Barceló 1988a, 1988b, 1988c; Cardell y Cau 2005; Kirchner y Moll 2006; Nadal 2006; Pérez 1978; Ramon 1986; Rosselló 1973, 2006; Vallejo 1993, 2012; Zucca 1998, 2002. Para cuestiones de carácter más general: Brown 1997, 1998, 2006; Cameron 1997, 1998; Delogu 1998; Durliat 1998; Haldon

La estación arqueológica de Son Peretó es, hasta la fecha, la más estudiada y publicada del mundo paleocristiano balear. Se encuentra situada sobre una pequeña elevación a unos 113 metros sobre el nivel del mar, rodeada actualmente por tierras de explotación agrícola. Está a unos 10 km de la costa este de la isla de Mallorca, en la que existen diversas ensenadas que fueron, sin duda, buenos puertos o fondeaderos para las embarcaciones que surcaban el Mediterráneo (Figura 0.1).

El yacimiento de Son Peretó fue descubierto oficialmente por J. Aguiló en 1912, quien inició las excavaciones y sacó a la luz la basílica, el baptisterio y algunas dependencias localizadas al oeste de este (Figura 0.2). También descubrió un número importante de objetos y una notable colección de mosaicos, la más importante de las Baleares (Aguiló 1920).⁹ A principios de la década de 1960, D. Iturgaiz volvió a trabajar en la zona bautismal (Iturgaiz 1963, 1969) y en 1967 se procedió a una nueva y amplia intervención (Palol 1972; Palol *et al.* 1968). Por aquel entonces, prácticamente todas las estructuras localizadas por J. Aguiló estaban cubiertas de tierra. No fue hasta los años 1981 y 1984 cuando se procedió a la excavación de nuevas zonas, descubriéndose una serie de edificaciones situadas al oeste y al sur del baptisterio (Palol 1988, 1989, 1991, 1994) (Figura 0.3).

Las excavaciones del templo permitieron documentar varias fases, no exentas de problemas de interpretación. Quedó al descubierto una iglesia de aproximadamente 23 m de largo por unos 14 m de ancho, de tres naves separadas por hileras de columnas, y con cabecera tripartita situada en el Este. El ábside, donde se localizó la base del altar, se hallaba precedido de un coro cuyas improntas quedaron sobre el pavimento de la nave central. En el lado oeste, y opuesto al coro, se conservaba un “contracoro”. A los pies de la basílica volvió a aparecer el baptisterio de planta cuadrangular donde se encuentran dos piscinas bautismales de planta cruciforme, una más pequeña centrada en el eje longitudinal del edificio y otra, algo mayor, situada aproximadamente en el mismo eje, pero desplazada hacia el extremo oriental.

No se pudo precisar el momento de fundación de los edificios basilicales y bautismales, ni tampoco hasta cuándo estuvieron en uso. Gracias a la datación por paralelos de los mosaicos hallados en la iglesia, se propuso que parte de ellos fueron colocados entre mediados/segunda mitad del siglo VI d. C., claramente vinculados a la *koiné* mediterránea bizantina (Palol 1967b, 1989, 1994; Palol *et al.* 1968).

De los descubrimientos de las campañas del siglo pasado se pueden destacar los estudios o revisiones de los mosaicos (Duval 1982, 1990, 1994; Palol 1967a, 1967b; Palol *et al.* 1968; Riera y Román 1995), la epigrafía (Amengual 1991; Gómez y Mayer 1996; Palol 1967a; Veny 1965), las instalaciones y el mobiliario litúrgico (Alcaide 2005a y b, 2011; Duval 1982, 1990, 1994, 2000; Godoy 1989, 1995, 2000; Schlunk y Hauschild 1978), algunos de los enterramientos (Alcaide 2011; Navarro 1988; Riera Rullan 2009), parte del material cerámico (Buxeda *et al.* 2005; Cau 2007; Cau, Tsantini y Gurt 2010; Riera Rullan 2009; Riera Rullan, Cau y Salas 2013; Riera Rullan y Martínez 2009; Tsantini, Cau y Gurt 2013), metálico (Ripoll 2012a; Ripoll y Velázquez 2013), y el análisis de residuos orgánicos (Pecci, Cau y Garnier 2013).

En 2005 se pudieron reiniciar las excavaciones arqueológicas en Son Peretó gracias a la iniciativa promovida por el Ayuntamiento de Manacor. El yacimiento se encontraba en un estado de degradación progresivo y prácticamente sin ningún tipo de adecuación museográfica. Desde entonces, y hasta la actualidad, se han ido efectuando campañas anuales de entre 3 y 5 semanas de trabajo, realizadas en el marco de un proyecto general coordinado desde el Museu d’Història de Manacor, bajo la dirección

2000; Hodges 1998; Hodges y Whitehouse 1983; Lebecq 1997; Panella 1993; Ramallo y Vizcaíno 2002; Reynolds 2010; Vizcaíno 2009; Wickham 1998.

⁹ Trabajo del que se recogieron diversas informaciones en publicaciones tan relevantes como, por ejemplo: Cabrol y Leclercq 1907-1950; Palol 1967a; Puig i Cadafalch 1961; Testini 1958. Para más información de la vida y los trabajos de J. Aguiló véase: Alcaide 2011; Ferrer 1953; Fuster 1966; Pinya 1953; Riera Rullan, Cau y Salas 2012a.

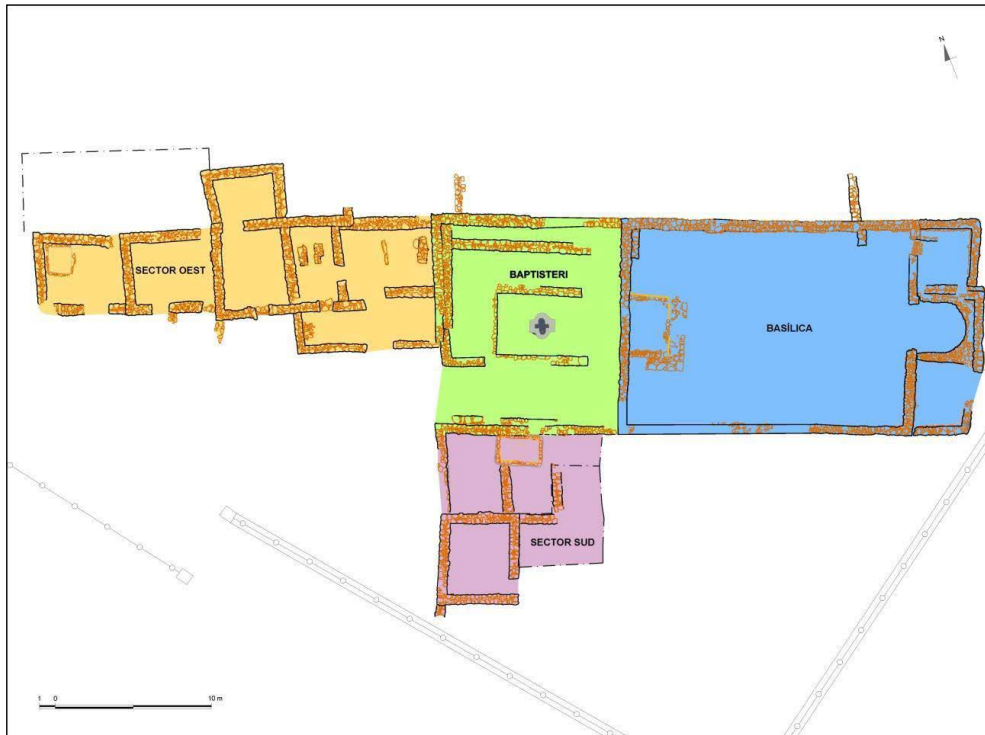


Figura 0.4. Planta de los sectores de Son Peretó (S. Alcaide, J. M. Puche, M. Riera y M^a. J. Rivas)

científica de Miguel Ángel Cau Ontiveros, la dirección técnica de Mateu Riera Rullan y la coordinación de Magdalena Salas Burguera (Riera Rullan *et al.* 2006, 2009; Salas 2010, 2013). Los objetivos esenciales del proyecto se centraron en consolidar y restaurar los restos visibles, permitir una correcta visualización de todo el monumento y proceder a una adecuación para su visita, intentando además resolver algunas de las cuestiones científicas que habían quedado pendientes. Hasta el momento, se ha intervenido prácticamente en todas las zonas exhumadas entre los años 1981 y 1984. Para facilitar la ordenación del registro estratigráfico y gestionar ágilmente la documentación generada, se dividió el yacimiento en cuatro sectores: Basílica, Baptisterio, Sur y Oeste (Figura 0.4).

Hasta ahora la única zona del yacimiento analizada en profundidad, y de la que se han publicado prácticamente todos los elementos muebles e inmuebles, corresponde al llamado Sector Oeste (Cau, Riera Rullan y Salas 2012; Riera Rullan *et al.* 2006, 2009, 2010; Riera Rullan y Martínez 2009; Riera Rullan, Cau y Salas 2012a, 2013; Riera Rullan *et al.* 2014). En 2012, año en el que se celebraba el centenario del inicio de las excavaciones en Son Peretó, se realizó una exposición y un catálogo en los que se presentaron buena parte de los hallazgos realizados hasta ese momento en todas las zonas del yacimiento (Riera Rullan, Cau y Salas 2012b). Tanto en las publicaciones del Sector Oeste, como en el catálogo de 2012, se incorporaron abundantes datos obtenidos en los trabajos arqueológicos iniciados en 2005.

Durante la última década, también se han realizado diversos estudios sobre el territorio de Son Peretó en época antigua. Se ha podido comprobar que no era un asentamiento aislado, sino que estaba relacionado con otros de sus alrededores, que ocupaban un territorio en el que se asentaba una población romana de cierta relevancia. La prospección geofísica, ejecutada recientemente combinando prospección magnética y con georradar, muestra anomalías que revelan la presencia de importantes restos en los terrenos circundantes, incluyendo lo que parecen los restos de una *villa* romana de cierta entidad apenas a unos cientos de metros del conjunto paleocristiano (Mas *et al.*, 2020). Todo apunta a que la basílica estuvo localizada en las inmediaciones de una importante vía de comunicación y que debió

responder a la necesidad de ofrecer servicio religioso a una comunidad ya existente. Es muy probable que hubiese asumido las funciones de iglesia parroquial y, sin duda, en su interior e inmediaciones, se dio sepultura a los cristianos de la zona. La concentración de yacimientos de la Antigüedad tardía en sus alrededores parece indicar que desempeñó un papel fundamental en la estructuración del territorio colindante; con un cierto poder de atracción que, de alguna manera, fue clave para la creación de una red de asentamientos desde donde se explotaron los recursos derivados principalmente del cultivo de secano y la ganadería (Alcaide, Mas y Cau 2005; Mas 2006, 2013; Mas y Cau 2006, 2007, 2012, 2013).

Mucha de la información contenida en este volumen, relacionada con los resultados de las excavaciones arqueológicas efectuadas entre los años 2005 y 2016, es inédita. Se deben exceptuar ciertos datos sobre las características y evolución cronológica de los ambientes bautismales (Alcaide 2011; Miriello *et al.* 2013; Munar *et al.* 2011; Riera Rullan y Cau 2012a, 2012b; Riera Rullan *et al.* 2006, 2009, 2010), algunas de sus tumbas (Alapont y Mas 2015; Alapont, Sastre y Real 2013; Riera Rullan 2009; Riera Rullan y Cau 2012c), así como sobre varios materiales metálicos (Ripoll 2012b, 2012c, 2012d, 2012e), vítreos (Capellà y Martínez 2012; Riera Rullan, Capellà y Martínez 2012; Salvà 2012c), cerámicos (Riera Rullan 2015; Riera Rullan y Cau 2012c, 2012d), numismáticos (Marot 2012, 2013) y de joyería (Salvà 2012a, 2012b). Se habían publicado también los trabajos dedicados al proceso de levantamiento de la piscina bautismal pequeña (Munar y Burgaya 2009; Munar *et al.* 2011). En cualquier caso, una vez que se decidió dar por concluidos los trabajos de excavación del Sector Baptisterio de Son Peretó,¹⁰ así como muchos de los estudios realizados sobre los elementos muebles e inmuebles descubiertos, era el momento apropiado para publicar una monografía que recogiese toda la información generada. Esta se justifica por la relevancia de los elementos bautismales de Son Peretó y por la importancia de los resultados obtenidos en el proceso de excavación.

El volumen se estructura con la presentación de las intervenciones arqueológicas desarrolladas durante el siglo XX que constituyen los antecedentes de las intervenciones actuales. El capítulo 2 ofrece los resultados detallados de las excavaciones efectuadas entre 2005 y 2016. El estudio de los materiales cerámicos aparecidos se presenta en el capítulo 3, mientras que el capítulo 4 incluye el estudio de los vidrios recuperados. El capítulo 5 se dedica al estudio antropológico de los restos esqueléticos de las inhumaciones excavadas en el Sector Baptisterio. En el capítulo 6, se ofrecen los resultados de la caracterización arqueométrica de algunos morteros y revestimientos, un estudio particularmente relevante para las piscinas bautismales. En el capítulo 7, se ofrecen los resultados de los análisis de residuos orgánicos sobre algunas muestras del baptisterio. El análisis arquitectónico y la propuesta de reconstrucción del baptisterio y de la basílica, especialmente de su fase más reciente, se presenta en el capítulo 8. La evolución histórica del Sector Baptisterio se desgrana en el capítulo 9 a modo de conclusión de los trabajos y estudios realizados, intentando encuadrar el caso de Son Peretó en un marco más amplio. Asimismo, el volumen se completa con varios apéndices que contienen el estudio arqueozoológico de los restos de fauna aparecidos, una descripción de los trabajos de restauración y las fichas de las monedas aparecidas.

En su conjunto, el volumen ofrece una descripción detallada de las intervenciones realizadas en el baptisterio desde su descubrimiento en 1912 hasta las excavaciones recientes. Se ponen a disposición de los investigadores la mayor parte de los datos obtenidos en las excavaciones y nuestra interpretación —fundamentada en el trabajo de campo y también de laboratorio— sobre un espacio muy simbólico de un yacimiento crucial para entender la cristianización de la isla de Mallorca y, por extensión, el tránsito del mundo romano a la Edad Media insular.

¹⁰ Esto no significa que se haya agotado todo el registro arqueológico de la zona bautismal puesto que, tal y como se podrá observar en los siguientes capítulos, se decidió dejar una zona sin excavar como reserva para las futuras generaciones.

Capítulo 1

Antecedentes: excavaciones arqueológicas en el baptisterio de Son Peretó durante el siglo XX

Mateu Riera Rullan¹¹, Miguel Ángel Cau Ontiveros¹², Magdalena Salas Burguera¹³

A continuación, se presentan las informaciones más relevantes y los principales resultados de las campañas arqueológicas realizadas en los ámbitos bautismales de Son Peretó durante el siglo XX y que constituyen los antecedentes directos de las nuevas intervenciones iniciadas en 2005. Se tratan las excavaciones realizadas entre 1912 y 1924; las de los años 60; y las efectuadas entre 1981 y 1984.

Excavaciones realizadas entre 1912 y 1924

Tal y como se ha explicado en la introducción, J. Aguiló fue el primero en realizar excavaciones arqueológicas en Son Peretó. Estas se iniciaron en 1912 y duraron aproximadamente una década. Para conocer los resultados de aquellos trabajos es fundamental el artículo, posiblemente redactado y preparado por J. Puig i Cadafalch a partir de la documentación aportada por J. Aguiló, publicado en el *Anuari de l'Institut d'Estudis Catalans* (Aguiló 1920: 2).¹⁴ Fue entonces cuando se presentó por primera vez una planta general del complejo que incluía el Sector Baptisterio (Figura 1.1).

En el texto, esta parte del yacimiento se describió como el “atrio” de la basílica, *format per un quadrat central, descobert, voltat de corredors, la coberta dels quals era sostinguda per columnes apoiades en els basaments 11-16; columnes i basaments han sigut destruïts pel propietari. Restes de teules han estat trobats en els corredors B, mentres que no es senyalen en el pati D. A l'extrem de les galeries N. i S. s'obren dos portals (E) que comuniquen amb l'exterior, i immediats a aquests hi han els d'ingrés a la basílica (b). L'atri va ésser utilitzat com a baptisteri; al mig de l'espai central descobert s'hi troba construïda, damunt del primitiu paviment, la piscina, en forma de creu, molt semblant a la de la basílica de Sa Carrotja; s'hi pujava per dos esglaons per la part E.; és feta de pedres ajuntades amb terra i calç i té a la part S. un engolidor per a donar sortida a l'aigua... Era recoberta d'una capa vermellenca de picadís de teules, que encara avui serveix per a obtenir un morter hidràulic, i calç* (Aguiló 1920: 2-3).

Cabe destacar que el plano publicado en 1920 es bastante fiel a la realidad actual (Figuras 0.2 y 1.1). Los desajustes en la localización de alguna estructura son poco significativos a la hora de poder apreciar todo el conjunto. En cambio, de los seis “portales” señalados (letras E y b), tan solo se conservan trazas

¹¹ Profesor asociado de la Universitat Autònoma de Barcelona, profesor de la Facultat Antoni Gaudí d'història, arqueologia i arts cristianes, investigador adscrito al Institut Català d'Arqueologia Clàssica.

¹² Institució Catalana de Recerca i Estudis Avançats (ICREA), Pg. Lluís Companys 23, 08010 Barcelona, Spain; Equip de Recerca Arqueològica i Arqueomètrica de la Universitat de Barcelona (ERAAUB), Institut d'Arqueologia de la Universitat de Barcelona (IAUB); Universitat de Barcelona (UB), Facultat de Geografia i Història, Departament d'Història i Arqueologia, c/ Montalegre 6-8, 08001 Barcelona, Spain; Chercheur Associé, Aix Marseille Univ, CNRS, CCJ, Aix-en-Provence, France.

¹³ Técnica de patrimonio del Ajuntament de Manacor y directora del Museu d'Història de Manacor.

¹⁴ Para conocer la discusión sobre otras posibles autorías del susodicho: Palol *et al.* 1968: 5.

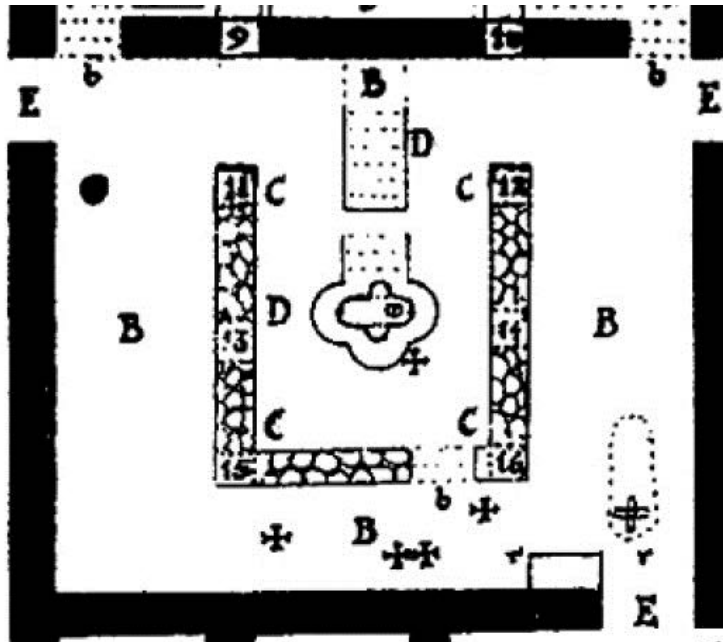


Figura 1.1. Detalle de la zona del Sector Baptisterio de la planta de las edificaciones descubiertas por J. Aguiló (1920: 2). Las letras B marcan los “corredores”; la D localizada en la zona central señala el “patio”; la otra D marca “una escalera”, las E indican la localización de los “portales que comunican con el exterior”; las b la de los que permiten el ingreso a la basilica y del corredor occidental al “patio”. Los números 11 a 16 señalan los “basamentos de las columnas”, mientras que las cruces indican la presencia de sepulturas

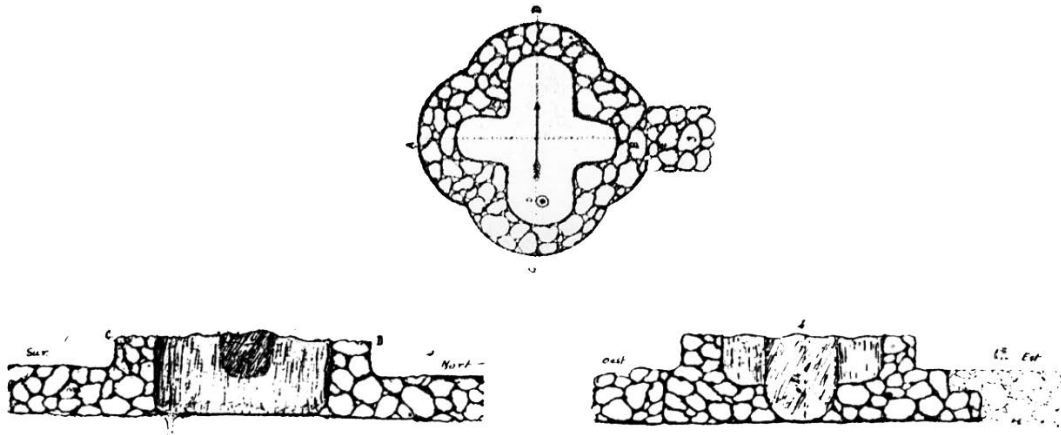


Figura 1.2. Planta y secciones de la piscina bautismal pequeña de Son Peretó (Aguiló 1920: 2 y 3)

de uno, el localizado en el extremo meridional del muro de poniente. En la planta, se muestra con detalle la piscina bautismal pequeña, mientras que tan solo se esboza la grande. En ese momento, todavía no se había excavado del todo y se interpretaba como una escalera que, localizada en la “galería oriental del atrio”, posiblemente bajaba a una cisterna. También se afirmaba que estaba tapada, *a nivell del paviment per un batiport de fusta del qual queden encara fragments carbonitzats adherits al marc* (Aguiló 1920: 3).

En el artículo del *Anuari de l'Institut d'Estudis Catalans*, además de una fotografía, se presentaron una planta y dos secciones de la piscina bautismal pequeña, otra vez muy fieles a los restos conservados hoy en día (Figura 1.2). También se informa del descubrimiento de mosaicos fuera del recinto basilical, pero no se indica que se hubiese encontrado ninguno de ellos en la parte del Sector Baptisterio. Tampoco se



Figura 1.3. Fotografía del sepulcro localizado en el ángulo suroeste del “atrio” (Aguiló 1920: 7)

especifica si en dicho sector apareció la capa de 20 a 30 cm de cenizas y carbones, localizada en el campo de la basílica, *sobre el primitiu paviment..., relíquies de l'incendi de la coberta de fusta.*

Se revela la existencia de “sepulcros” en el “atrio” orientados siempre de levante a poniente.¹⁵ De entre todos ellos se destacó el localizado en su ángulo suroeste (letra r de la Figura 1.1, 1.3), del que se afirmó que estaba *coberta amb una llosa feta de calç, trossos de terrissa i petites pedres, de 2,50 x 1,20 m de pla i 0,04 de gruix. Dels ornaments que la decoraven en queden no només deixes imprecises: un sol n'ha romàs, segurament el més interessant, una creu feta del material mateix de la llosa, de braços iguals i amb un petit clot circular al centre tapat per un disc i dintre d'ell una terra poca, negrosa i fina. La creu és posada a la banda del cap o sigui a l'O., sota d'aquesta coberta hi ha una capa de 0,30 metres de terra i davall d'ella cinc lloses de pedra ajuntades amb calç i trencadissa de ceràmica, cloent perfectament el sepulcre. Per a obrir la fossa els enterradors trencaren el paviment de formigó vermell del corredor, enfondint fins a 0,40 mestres. El cadàver estava quasi per complet cobert de terra posada a posta en el moment de la inhumació. A l'esquelet, corresponent a un home, li faltaven el crani i alguns ossos del peu* (Aguiló 1920: 7).

Entre la abundante documentación de campo que generó J. Aguiló (Aguiló a y b; Alcaide 2011; Riera Rullan, Cau y Salas 2012b), se pueden extraer algunas informaciones de cierto interés. Así, por ejemplo, se tiene constancia de la identificación en 1921 del *baptisteri magno y primitiu*, que correspondería a la

¹⁵ Llama mucho la atención esta última afirmación ya que las dos únicas sepulturas conservadas en el “corredor” oeste, en el que se marcan cuatro sepulcros en la planta de 1920 (Figura 2.1), presentan una orientación norte / sur. Tal vez J. Aguiló no llegó a vaciar las dos tumbas preservadas y no pudo apreciar bien su orientación. O quizás se excavaron entonces cuatro sepulturas localizadas en cotas superiores y que ya habían desaparecido entre 1981 y 1982 cuando se reprimieron las excavaciones en esta parte del yacimiento. Tampoco puede descartarse del todo que en el artículo se hubiese hecho una generalización de la orientación de los sepulcros de la basílica y del “atrio” que no correspondía completamente a la realidad.



Figura 1.4. Fotografía inédita de J. Aguiló de la piscina bautismal pequeña de Son Peretó (Museu d'Història de Manacor)



Figura 1.5. Fotografía inédita de J. Aguiló de la piscina bautismal pequeña de Son Peretó (Museu d'Història de Manacor)

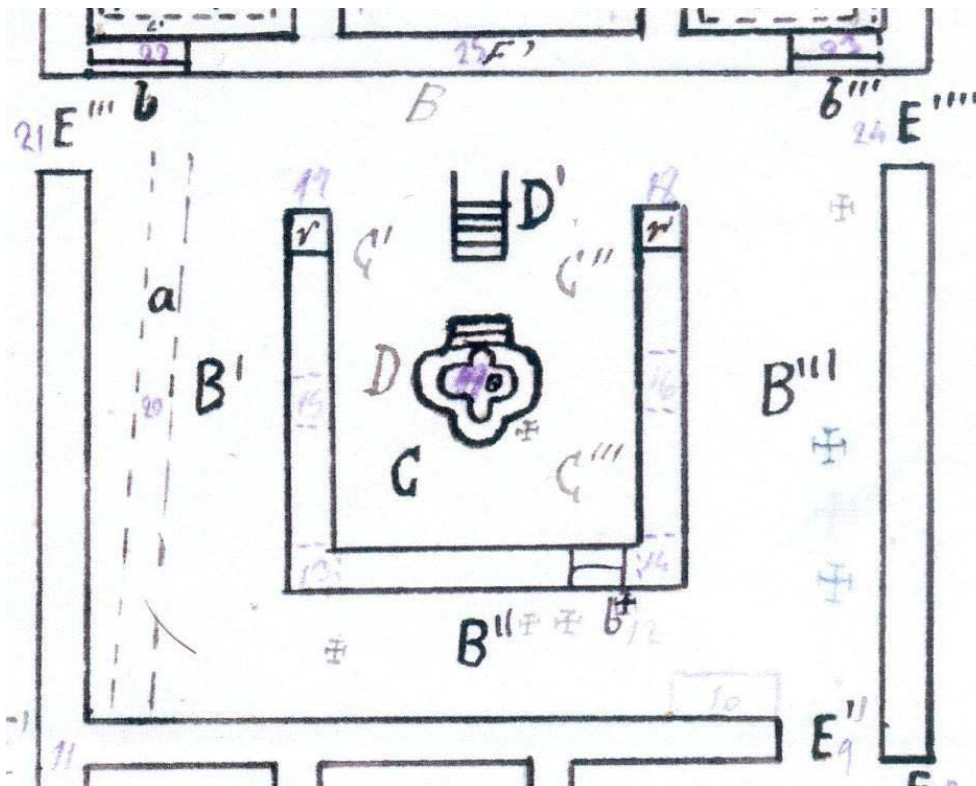


Figura 1.6. Detalle de la zona del Sector Baptisterio de la planta original de J. Aguiló (Museu d'Història de Manacor)

piscina bautismal mayor.¹⁶ No cabe duda de que descubrió también la piscina bautismal pequeña (Figura 1.4, 1.5).

En el Museu d'Història de Manacor se conserva el plano original hecho durante las excavaciones de J. Aguiló (Figura 1.6). En él aparecen ocho cruces que marcarían la localización de sepulturas, dos más que las que hay en la planta que se publicó en 1920 (Figura 1.1). Hoy en día todavía se conservan las fosas de la mayoría de ellas. En cambio, en la zona del “corredor” occidental donde se marcaron tres cruces muy cercanas las unas de las otras, tan solo resta una única fosa.

En el plano original, a diferencia del publicado en 1920, aparece, cruzando casi en diagonal el corredor septentrional, una estructura marcada con dos líneas discontinuas paralelas señalizadas con la letra a y el número 20. No hay duda de que se trata de un zócalo que todavía se conserva, que J. Aguiló ya debió considerar o, como mínimo intuir, que correspondía a una obra posterior al momento de construcción del baptisterio.

Conviene remarcar que tanto en el artículo de 1920 antes citado, como en la documentación manuscrita de J. Aguiló, quedó constancia manifiesta de que este erudito defendió que el conjunto religioso de Son Peretó se encontraba en la ciudad romana de *Cinium*. Su argumentación partía, entre otros motivos, del hallazgo en los alrededores de una extensa zona con numerosos restos arqueológicos, muchos de ellos de carácter funerario. Se especifica que las sepulturas *poblaven els voltants del temple cristià en una gran extensió, tal com a Empúries* (Aguiló 1920: 9).

Se ha afirmado que fue entre 1912 y 1924 cuando tuvo lugar la primera restauración de las dos piscinas bautismales (Alcaide 2011: 98), pero se desconocen los detalles de los trabajos realizados, así como de los criterios seguidos para las reconstrucciones efectuadas.

Excavaciones realizadas en los años 60

A principios de los años 60 del siglo pasado, D. Iturgaiz puso de relieve la presencia de dos piscinas en el baptisterio de Son Peretó, una información que hasta entonces permanecía inédita (Iturgaiz 1963) (Figura 1.7). Como se ha visto, J. Aguiló ya se había percatado de la existencia de una segunda piscina, pero no la llegó a publicar. Debe tenerse en cuenta que su muerte se produjo en 1924, tres años después de haber identificado la piscina mayor.

Cuando D. Iturgaiz llegó al yacimiento de Son Peretó, tan solo podía verse la piscina bautismal grande, que estaba en un estado “lamentable”, totalmente rellena de piedras, cantos rodados y tierra, y rodeada de hierbas y arbustos. Después de proceder a su limpieza y vaciado, se pudo observar el deterioro que había padecido, “sobre todo de aquellas partes más débiles, como las aristas de las escaleras de bajada y subida que estaban desconchadas”. En cambio, “internamente la piscina se encontraba en perfecto estado, especialmente sus paredes, protegidas por un enlucido de cemento rugoso que ha salvado en lo sustancial su conservación” (Iturgaiz 1963: 279-280, 1969: 236). Se llegó a afirmar que todas las edificaciones del lugar ya habían desaparecido y que solo había “llegado a nosotros la piscina bautismal”, los mosaicos y algunos restos de inscripciones (Iturgaiz 1969: 239), una visión catastrofista que, poco después se comprobó que no era tal.

Se expuso que en Son Peretó había existido “un baptisterio con piscina y pila”. Por lo que respecta a la piscina, se la describió como “de tipología cruciforme, excavada en el pavimento del atrio de la primitiva basílica según la técnica del vaciado”. También se observó que estaba “formada por un

¹⁶ Fecha que coincide con las anotaciones que G. Fuster Forteza dejó consultar a D. Iturgaiz (Iturgaiz 1963: 281).

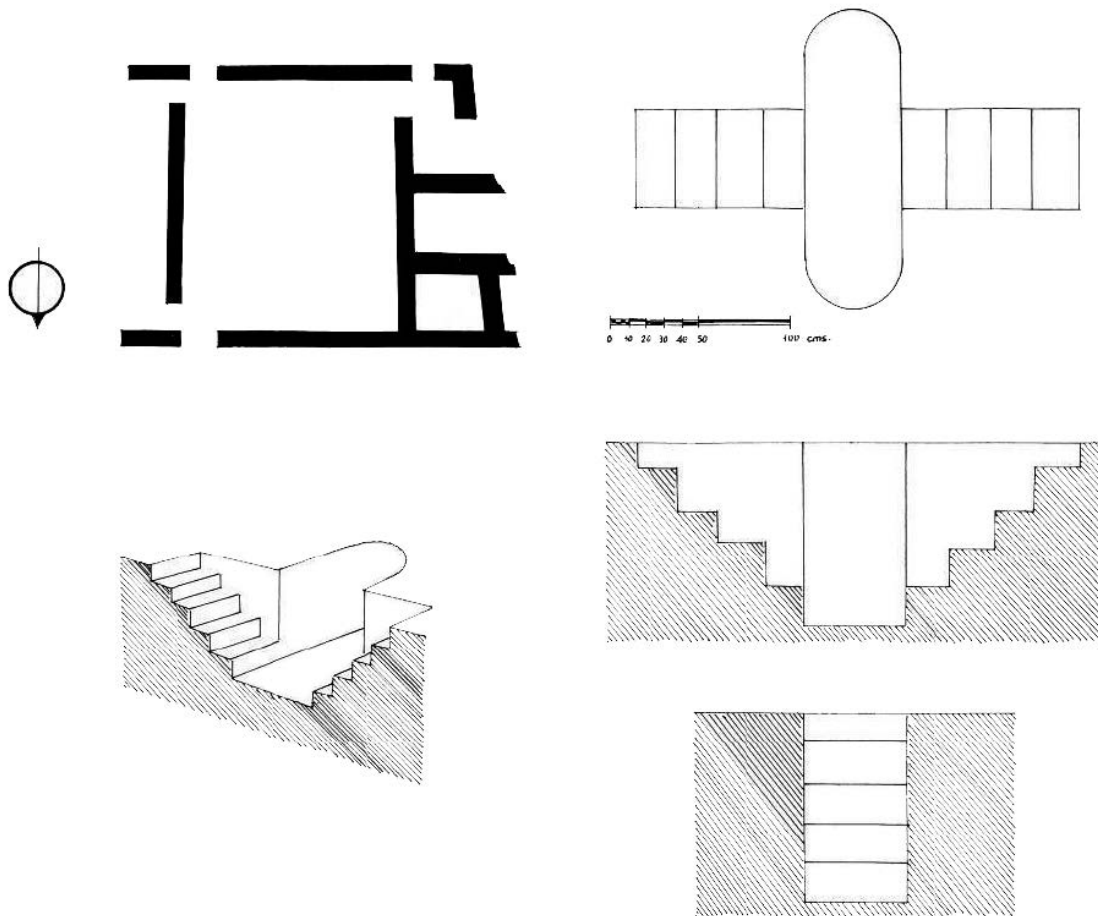


Figura 1.7. Dibujo esquemático de la planta del baptisterio de Son Peretó, y planta, alzado y secciones de su piscina bautismal mayor (Iturgaiz 1963)

esquema arquitectónico integrado de dos espacios lobulados y dos espacios rectangulares. El espacio bilobulado propiamente constituye la « fons » o recipiente del agua natural [...] Los dos espacios laterales rectangulares son los medios accesibles al interior de la piscina, compuesto por los dos grupos de escaleras para bajar y subir cada una de tres gradas”.¹⁷ Las medidas de la piscina eran: 2,75 m de largo por 1,75 m de ancho y 1,10 m de profundidad (Iturgaiz 1963: 281-284).

Otro aspecto destacable del estudio de D. Iturgaiz es que afirmó que, en todas las piscinas de las Baleares, incluso en la de Son Bou, se practicó el rito de inmersión (Iturgaiz 1963: 283-284).¹⁸ En cambio, defendió que, “con distinta destinación”, las dos piscinas de Son Peretó funcionaron juntas. Apuntaba que las reducidas dimensiones de la piscina pequeña, de hasta 0,44 m de profundidad y una anchura de 0,37 m, así como sus formas internas redondeadas, no eran medidas apropiadas para efectuar el rito de inmersión. Después de recordar diversas hipótesis referidas a los recipientes para contener óleo de unción o para

¹⁷ Cabe señalar que, aunque D. Iturgaiz se refiere varias veces a las dos escaleras con tres escalones cada una, conservaban realmente dos más (Figura 1.7). Unas páginas más adelante, hablaba de la existencia de cuatro escalones en cada escalera y de hasta cinco según J. Aguiló (Iturgaiz 1963: 287).

¹⁸ Unos pocos años después, siguió afirmando lo mismo para las “diversas basílicas con los respectivos baptisterios, dotados de piscinas bautismales para la celebración del rito por inmersión, como Son Bou, Son Peretó, Sa Carrotja, Fornás de Torelló”. También recordó que a partir de la *Carta-encíclica del obispo Severo* del año 418, se puede suponer que en Menorca “el bautismo no era por simple infusión, sino por inmersión”, tal y como ya había defendido G. Seguí en 1937 (Iturgaiz 1969: 221).

la “ceremonia postbautismal del lavatorio de pies”, se decantó por un uso para la administración del bautismo a los niños, no con el ritual de la «fons», sino del «vas» contemplados en el *Liber Ordinum*. Según Iturgaiz, probablemente el término «fons» haría referencia a la “piscina bautismal”, mientras que el de «vas» lo haría a la “pila bautismal”. De esta manera, “con esta diferencia entre *piscina* y *pila*, el ritual presupone la práctica de la duplicidad ritual, y por tanto da por supuesto la existencia de lugares ad hoc, acondicionados para conferir el rito en cada uno de los casos, según sea el sujeto de la administración adulto o infante” (Iturgaiz 1963: 284-285).¹⁹

Analizando la documentación de J. Aguiló y los restos observados *in situ*, se concluyó que en Son Peretó “las dos piscinas bautismales ciertamente estuvieron unidas”, localizadas en un “atrio que será utilizado como baptisterio”. También se consideró que la “pila” o “piscina pequeña” fue “la primitiva piscina” o “primitiva pila bautismal” (Iturgaiz 1963). Este investigador, siguiendo el planteamiento de J. Aguiló, se refiere constantemente a que el “baptisterio con doble piscina bautismal” se encontraba en el “atrio” o “quadripórtico” de la basílica, incluyéndolo en su grupo de baptisterios *extra ecclesiam* (Iturgaiz 1963, 1969: 270-272, 278 y 292). También afirmó que no se sabía si los revestimientos pavimentales en mosaico habían cubierto “sólo la basílica sino también la zona bautismal”, y que no se podía concluir su ausencia en dicha zona (Iturgaiz 1969: 292).

En 1967, un equipo liderado por P. de Palol, y en el que también participaron A. Alomar, J. Camps, B. Llompart, L. Plantalamor, G. Rosselló, M^a. L. Serra y M. Trias, retomó los trabajos de excavación en el Sector Baptisterio (Palol *et al.* 1968²⁰: 5-6; 1988). También se procedió a la restauración de los zócalos de los tres muros de su ámbito central, y se protegieron y reforzaron las dos piscinas bautismales (Palol *et al.* 1968: 9 y 14).²¹ La mayoría de las fotografías que se presentan a continuación de aquella campaña permanecían inéditas (Figuras 1.8, 1.9, 1.10, 1.11, 1.12).²²

Asimismo, se destapó todo el ámbito central del baptisterio y una zona de unos 16 m² al sudeste de este. En la planta de la Figura 1.13, realizada por M. Trias y B. Llompart, se puede apreciar la zona de intervención, y en la Figura 1.14. la sección este-oeste que atraviesa las dos piscinas bautismales.

Buscando el pavimento del baptisterio se localizaron una serie de tumbas. En cambio, el pavimento solo se localizó en la zona abierta en el extremo sudoriental (Figuras 1.15, 1.16), lugar del que se afirmó que era donde solía estar la “entrada normal al baptisterio” desde la basílica (Palol *et al.* 1968: 7). Conviene señalar que, gracias a haber podido apreciar los restos del extremo meridional del muro de los pies de la basílica (Figuras 1.17, 1.18), se afirmó que la puerta de aquella zona debió de estar más al norte que la que había marcado J. Aguiló en su plano (Palol *et al.* 1968: 10).

A partir de la documentación escrita y del plano de J. Aguiló, se comentó que se podía “pensar en una cubierta del ámbito bautismal a manera de cúpula, al señalar en el dibujo del aparejo unas grandes pilastras en los ángulos del Oeste, en los extremos de los muros del Este y en la mitad de los paramentos. Esto hacía poder conjeturar la existencia de basamentos de columnas para sostener la cúpula, mientras que el muro exterior del recinto del baptisterio sería el formado por la continuación de la pared exterior de las naves laterales de la basílica”. No obstante, en 1967 ya tan solo se conservaba un único basamento

¹⁹ Argumentos ampliados en: Iturgaiz 1969: 227-228.

²⁰ Este estudio también se publicó en el número 33 del *Boletín del Seminario de Arte y Arqueología*, editado con fecha de 1967.

²¹ Estas se volvieron a limpiar ya que se encontraron “mal cubiertas con abundantísimas piedras” y rodeadas de una profusa vegetación. Ambas ya habían “sido muy restauradas” intentando devolverles su estado original, “creemos con muy pocas alteraciones, dado que de ellas se conservan partes originales suficientes para haber llegado a la total reconstrucción, hecha con esmero y precisión tipológica” (Palol *et al.* 1968: 7).

²² Se pueden consultar muchas otras en: Palol *et al.* 1968.



Figura 1.8. Excavación de 1967 en la zona del baptisterio (Fons Palol-ICAC FG-0005)



Figura 1.9. Excavación de 1967 en la zona del baptisterio (Fons Palol-ICAC FG-0048)



Figura 1.10. Excavación de 1967 en la zona de la piscina mayor (Fons Palol-ICAC FG-0063)



Figura 1.11. Zona del baptisterio en 1967 (Fons Palol-ICAC FG-0089)



Figura 1.12. Trabajos de restauración de 1967 en la zona del baptisterio (Fons Palol-ICAC FG-0015)

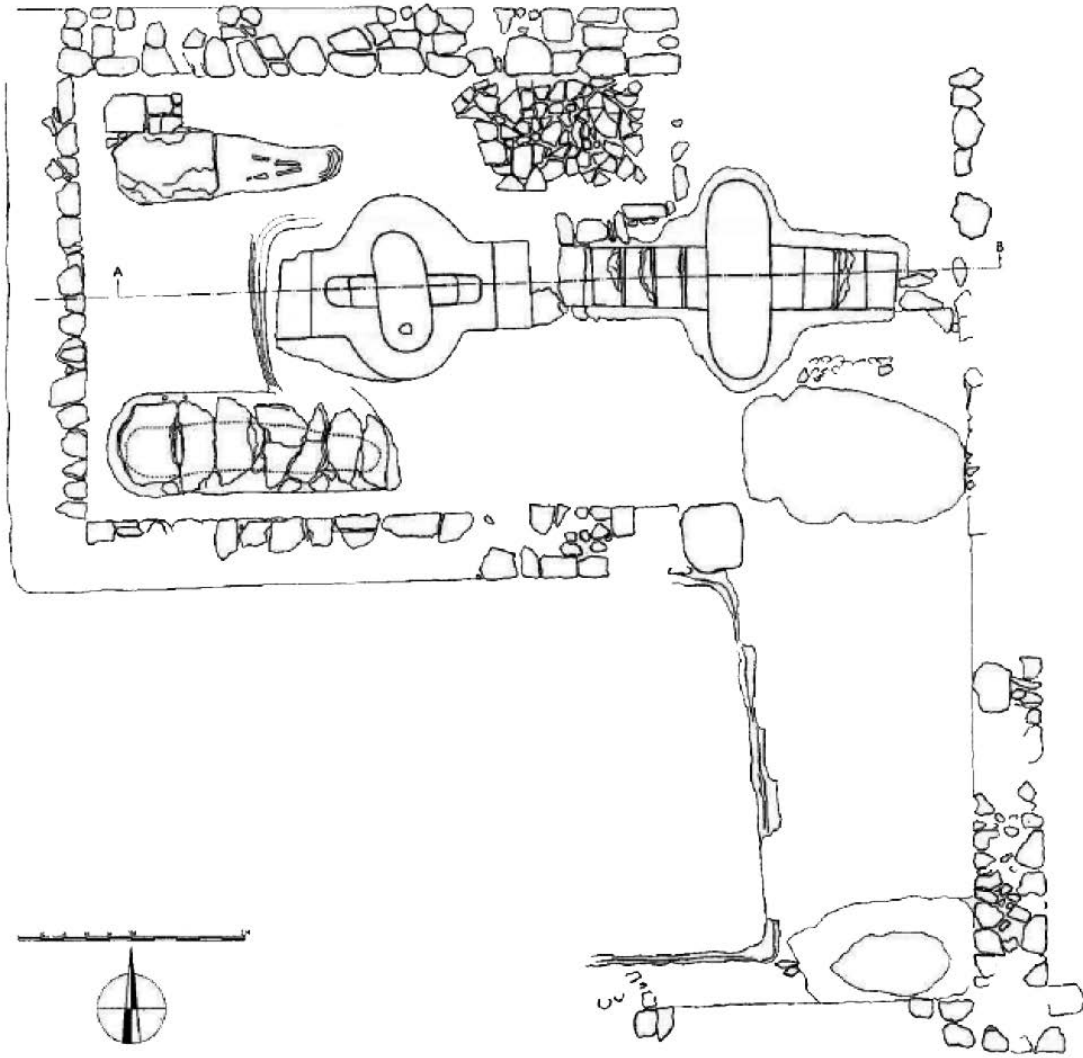


Figura 1.13. Planta de la intervención de 1967 (Palol et al. 1968)

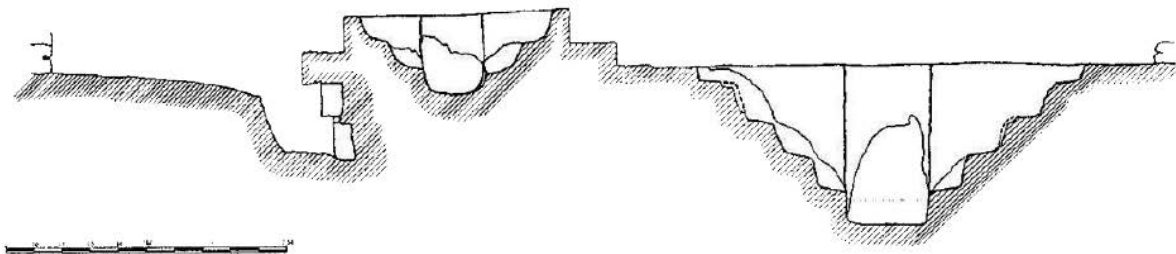


Figura 1.14. Sección este/oeste de las piscinas bautismales de la intervención de 1967 (Palol et al. 1968)



Figura 1.15. Excavación de 1967 en el extremo sudoriental del baptisterio (Fons Palol-ICAC FG-0080)



Figura 1.16. Excavación de 1967 en el extremo sudoriental del baptisterio (Fons Palol-ICAC FG-0081)



Figura 1.17. Detalle del ángulo suroeste de la basílica en 1967 (Fons Palol-ICAC FG-0022)



Figura 1.18. Detalle del ángulo suroeste de la basílica en 1967 (Fons Palol-ICAC FG-0004)

de pilastra, localizado en el extremo oriental de la pared meridional del ámbito central, y eso que el aparejo de este pequeño recinto supuestamente apareció “completo y bien conservado”, formado “por hiladas en las dos caras” del mismo (Figuras 1.19, 1.20, 1.21).²³ Por todo ello, así como por la posición de las dos piscinas, se creyó que “este pequeño recinto estaba cerrado y cubierto, separado de los tres corredores laterales que lo ciñen por el Norte, Sur y Oeste, dentro del mismo plano rectangular de la gran fábrica del templo” (Palol *et al.* 1968: 9-10).

En 1967, se identificaron “cuatro zonas de enterramiento”. De una de ellas, localizada en el ángulo suroeste del recinto central (Figuras 1.22, 1.23, 1.24), se señaló que se había “excavado en forma bastante regular en la piedra natural del terreno, y cubierto por una serie de siete losas transversales. Contenía los

²³ El descubrimiento del aparejo del “pequeño recinto bautismal completo y bien conservado”, también sirvió para sostener “la inexistencia de una supuesta puerta de fondo en el ángulo Sudoeste” propuesta desde tiempos de J. Aguiló (Palol *et al.* 1968: 9-10).



Figura 1.19. Zona de la piscina mayor donde se puede apreciar el único basamento conservado (Fons Palol-ICAC FG-0098)



Figura 1.20. Paredes oeste y norte del pequeño recinto central del baptisterio en 1967 (Fons Palol-ICAC FG-0040)



Figura 1.21. Paredes sur, oeste y norte del pequeño recinto central del baptisterio en 1967 (Fons Palol-ICAC FG-0042)

restos de un varón, al parecer de edad madura, y en los pies de este habían sido desplazados, mezclados, los restos de un enterramiento anterior en la misma fosa. No contenía ajuar alguno ni pavimento por encima de las losas de la cubierta”. Se identificó otra sepultura en el ángulo noroeste del mismo recinto, pero tan solo se destapó parcialmente (Figuras 1.25, 1.26). Los dos sepulcros presentaban “fosas iguales y paralelas, y ambos están perfectamente orientados Este-Oeste, con la cabeza a Poniente” (Palol *et al.* 1968: 11).

Las otras dos sepulturas identificadas no se llegaron a abrir. De hecho, ni siquiera se levantaron sus pavimentos, uno efectuado con fragmentos de *tegulae* (Figura 1.27) y el otro de *opus signinum*, fino y rojo. Los dos se encontraban muy cerca de la piscina mayor, el primero inmediatamente al noroeste, mientras que el segundo estaba al sureste. Se señaló que por “su ubicación parece que hayan sido abiertas cuando ya el baptisterio tenía función de tal” (Palol *et al.* 1968: 12 y 16).

Se pudo detectar que debajo de la piscina menor había “una cavidad excavada, también en la roca viva, mucho más ancha que las fosas sepulcrales. Tiene la pared del fondo —Oeste— vertical, lisa y de forma



Figura 1.22 Sepultura localizada en el ángulo suroeste del recinto central del baptisterio
(Fons Palol-ICAC FG-0029 / Riera Rullan 2009: 136)



Figura 1.24. Sepultura localizada en el ángulo suroeste del recinto central del baptisterio
(Fons Palol-ICAC FG-0027)



Figura 1.23. Sepultura localizada en el ángulo suroeste del recinto central del baptisterio
(Fons Palol-ICAC FG-0031)



Figura 1.25. Sepultura localizada en el ángulo noroeste del recinto central del baptisterio
(Fons Palol-ICAC FG-0007)



Figura 1.26. Sepultura localizada en el ángulo noroeste del recinto central del baptisterio
(Fons Palol-ICAC FG-0050)



Figura 1.27. Sepultura localizada en el ángulo noreste del recinto central del baptisterio (Fons Palol-ICAC FG-0012)



Figura 1.28. Cavidad localizada por debajo de la piscina bautismal pequeña (Fons Palol-ICAC FG-0006)



Figura 1.29. Cavidad localizada por debajo de la piscina bautismal pequeña (Fons Palol-ICAC FG-0021)

redondeada. Es muy difícil interpretar este foso, que hemos hallado en parte abierto, y sobre el cual se apoya la construcción de la pequeña pila bautismal” (Palol *et al.* 1968: 11) (Figuras 1.28, 1.29).²⁴

Para interpretar este recorte localizado por debajo de la piscina se plantearon dos posibilidades o bien que se trataba de “una superposición encima de una vieja zona de necrópolis, o bien que pudo existir una pequeña piscina bautismal anterior, en el centro del recinto. Hipótesis ambas difíciles de probar sin levantar la actual piscina bautismal o excavar por el lado de ella. Cosa que no hemos efectuado ahora por carencia de medios técnicos, pero que juzgamos del mayor interés llevar a cabo algún día” (Palol *et al.* 1968: 12).²⁵

²⁴ También se pudo observar que esta piscina se apoyaba “sobre unos bloques de piedra, pequeños, bien escuadrados, a manera de piezas de sillería, colocados sobre el fondo de esta fosa anterior” (Palol *et al.* 1968: 11).

²⁵ Problemática también citada en: Navarro 1988: 32 y 33. En este artículo, se vuelven a citar otra vez las sepulturas identificadas en 1967.



Figura 1.30. Parte del enlucido externo “auténtico” conservado en el ángulo suroeste de la piscina pequeña (Fons Palol-ICAC FG-0028)

Se afirmó que la minuciosa observación de la piscina pequeña permitía afirmar su autenticidad, por lo menos parcial (Figura 1.30). Así, se indicó que:

[...]

las diferencias de enlucido interior de los cuatro lóbulos permiten reconstruir, como de hecho se ha realizado, todo el interior del monumento, lo cual nos lleva, insensiblemente, a dar autenticidad a los niveles de este interior, tanto del fondo —evidentemente auténtico con su agujero de desagüe— como a la línea alta del mismo. Pero, en relación al exterior, la cosa cambia, ya que está totalmente rehecho, tanto en su forma de cruz como en sus escaleras. Aunque éstas puedan reconstruirse a través de las piedras del momento de la excavación y de una parte del enlucido auténtico conservado en el ángulo Sudoeste de la piscina, junto al arranque de la escalera Oeste. Esta parte de enlucido [...], conserva un trozo plano que debe corresponder al nivel del pavimento exterior de la piscina y, por tanto, del piso del baptisterio (de hecho es el mismo nivel superior de la piscina del Este, mayor) y el arranque de la curva para enlucir las paredes laterales de la piscina. Esto es auténtico, por tanto los límites y la forma general externa de esta piscina, aunque está rehecha, tienen todas las garantías de una buena semejanza con lo que debió ser en su estado original. Incluso podemos pensar en que es real la forma semicircular del extremo de los brazos transversales de la cruz (Palol et al. 1968: 13).

Las dos piscinas presentaban semejanzas en su disposición interna, “de forma que el brazo transversal de la cruz —Norte-Sur— no presenta peldaños en su interior y existe siempre doble escalera, de ingreso y salida, en el eje litúrgico del templo”. La piscina más grande, excavada en el suelo, “como es frecuente y normal en la mayor parte de esta clase de monumentos, sobre todo dedicados al rito de inmersión”, se puso en relación con la de la basílica de Aljezares (Murcia). Se vinculó a la de la segunda mitad del siglo VI, tanto por este paralelo, como por la datación propuesta para los mosaicos de la basílica de Son Peretó (Palol et al. 1968: 14).

Los detalles del coronamiento de la piscina mayor permitieron plantear la hipótesis de que esta “no estuvo, originalmente, a ras de suelo, sino que pudo estar un poco realzada” (Figuras 1.31, 1.32). Gracias a las fracturas detectadas en los bordes de los peldaños, se pudo observar que presentaba “tres capas sucesivas de enlucido. Una primera con cal por encima de la piedra del muro; otra capa de 1 a 3 centímetros de espesor, de ceniza o de enlucido gris oscuro, y, por encima, una fina capa de revoque rojizo, de cal y cerámica machacada” (Palol et al. 1968: 15).



Figura 1.31. Piscina grande durante la intervención de 1967 (Fons Palol-ICAC FG-0099)



Figura 1.32. Piscina grande durante la intervención de 1967 (Fons Palol-ICAC FG-0079)

En 1967 (Figuras 1.33, 1.34, 1.35, 1.36, 1.37, 1.38, 1.39, 1.40), se concluyó que la más probable sucesión de etapas de construcción en el baptisterio de Son Peretó podía haber empezado “en un ámbito de vestíbulo, o nártex de los pies del templo”, donde habrían existido desde antiguo un conjunto de enterramientos, excavados en la piedra natural.²⁶ Se apuntó que no se tenía seguridad alguna de que las dos piscinas fuesen “coetáneas de origen”, pero sí que se consideró que se podía pensar “que se utilizaron simultáneamente, aunque en origen puedan ser de épocas ligeramente distintas. De otra forma sería normal que la piscina pequeña del Oeste —posiblemente la última construida— hubiera tapado o cubierto parte de la anterior”. También se afirmó que la relación de escaleras entre las dos piscinas “hace suponer una relación de uso, a pesar de la desviación del eje longitudinal”, y se consideró que tipológicamente ambas se podían llevar al siglo VI (Palol *et al.* 1968: 15-16).

La supuesta constatación “de dos piscinas en uso en un mismo momento” se creyó un ejemplo único en todo el mundo cristiano. Se daba así veracidad a la propuesta hecha por D. Iturgaiz, pero considerando que los paralelos aducidos por este investigador “nada tienen que ver con la tipología arqueológica ni con el espíritu de Son Peretó”. Y es que en este caso existen “dos piscinas grandes, con capacidad suficiente cada una para cumplir perfectamente con el ritual correspondiente, incluso de inmersión”. Así, la pequeña se debió utilizar para el bautismo infantil (Palol *et al.* 1968: 16-17).²⁷

Debe recordarse, además, que P. de Palol en el estudio que realizó sobre los mosaicos de Son Peretó no descartaba la posibilidad de que alguno de ellos perteneciera al baptisterio (Palol *et al.* 1968: 17-37).

No se tiene constancia de la publicación de ningún material mueble encontrado durante las excavaciones de los años sesenta del siglo pasado. Durante el 2014 se procedió a la revisión de las piezas guardadas en el Museu de Mallorca, pertenecientes a la campaña de 1967. No se ha podido localizar ninguna referencia ni en la documentación, ni en los embalajes, que permita determinar el lugar en el que

²⁶ Una afirmación que no se basaba en las tumbas hasta entonces descubiertas, sino por el foso identificado por debajo de la piscina pequeña que “sería el mejor argumento para pensar en la prioridad de los enterramientos, en caso de que se trate de una fosa sepulcral” (Palol *et al.* 1968: 15). Se puede avanzar que en 2008 se comprobó que dicho recorte no pertenecía a ningún sepulcro.

²⁷ Un año antes, se había defendido que el ritual de inmersión era el que correspondía a todos los baptisterios hispanos conocidos de los siglos IV a VI, incluyendo la piscina pequeña de Son Peretó. Sin embargo, también se recordaba que en Roma se “usaba a veces, indistintamente, la aspersión o la inmersión” (Palol 1967: 147).



Figura 1.33. Fotografía inédita de las piscinas bautismales al inicio de la campaña de 1967 (Fons Palol-ICAC DG-00)



Figura 1.34. Fotografía inédita de la piscina pequeña durante la campaña de 1967 (Fons Palol-ICAC DG-00)



Figura 1.35. Fotografía inédita de la piscina mayor durante la campaña de 1967 (Fons Palol-ICAC DG-00)



Figura 1.36. Fotografía inédita de la excavación de 1967 en el extremo sudoriental del baptisterio (Fons Palol-ICAC DG-00)



Figura 1.37. Fotografía inédita del pequeño recinto central del baptisterio en 1967 (Fons Palol-ICAC DG-00)



Figura 1.38. Fotografía inédita del pequeño recinto central del baptisterio en 1967 (Fons Palol-ICAC DG-00)



Figura 1.39. Fotografía inédita del pequeño recinto central del baptisterio en 1967 (Fons Palol-ICAC DG-00)



Figura 1.40. Fotografía inédita del pequeño recinto central del baptisterio en 1967 (Fons Palol-ICAC DG-00)

aparecieron. Viendo la zona en la que se intervino aquel año, se puede pensar que la mayoría de ellas se recuperaron en el Sector Baptisterio, aunque también puede ser que alguna hubiese aparecido en el espacio que ocupa el contra-coro de la basílica e, incluso, que se hubiese recogido fuera de la zona de intervención. En el capítulo 5 se expondrá detalladamente toda la cerámica examinada, entre la que destaca la numerosa presencia de vajilla fina (*Terra Sigillata Africana D*²⁸ y *Late Roman C*²⁹), de la que se han podido contabilizar 20 fragmentos de un total de 35 piezas analizadas.³⁰ Parece evidente, pues, que se seleccionaron las piezas que debían ir al museo y más si se tiene en cuenta que tan solo se conservan fragmentos pertenecientes a formas o que presentan decoración. Además de la cerámica, también se guardaron cuatro elementos líticos. Uno de ellos, de forma esférica y de hasta 8,5 cm, parece ser un “percutor”. Otro es de piedra volcánica, de hasta 17 cm de largo, y tal vez pertenece a una muela de molino. La tercera pieza es de un material muy compacto y resistente, llega a los 19,5 cm de largo y a los 6,6 cm de alto. Presenta una de sus superficies muy plana, alisada y con marcas, que evidencian que se habría utilizado para el procesamiento de alimentos o para trabajar alguna manufactura. La última pieza lítica conservada pertenece sin duda a un objeto trabajado, tal vez una pileta o urna. Sin embargo, su elevado nivel de fragmentación —tan solo conserva hasta 16 cm de largo—, así como su mal estado de conservación, plantean la necesidad de un análisis más detallado de la pieza para poder llegar a discernir su uso. No se ha podido localizar ningún material óseo, ni humano ni animal.

Excavaciones realizadas entre 1981 y 1984

Entre 1981 y 1984, se realizaron abundantes trabajos de excavación en Son Peretó. Fue durante estos años cuando quedaron al descubierto todas las edificaciones visibles hoy en día (Figura 1.3). Algunas de las intervenciones en el Sector Baptisterio se hicieron sin personal cualificado, y en él se produjeron diversos episodios de vandalismo o expolio (Puerto 1981, 1982, 1983, 1984).

²⁸ A partir de ahora: TSAD.

²⁹ A partir de ahora: LRC.

³⁰ También se revisó una bolsa que contenía cuatro fragmentos más de TSAD, una cuenta de color blanco y cinco fragmentos de vidrio. Pero se debe advertir que no es del todo seguro que pertenezca al baptisterio de Son Peretó, ya que estaba rotulada con los nombres de “Son Peretó” y de “Sa Carrotja”.



Figura 1.41. Sector Baptisterio durante la campaña de 1982 (Fons Palol-ICAC DG-0064)

El detonante para que se produjera este nuevo arranque de las intervenciones en Son Peretó fue la detección, por parte de J. Amengual i Batle, de trabajos agrícolas con maquinaria pesada sobre la basílica (Amengual 1991: 307; Palol 1988: 12; Puerto 1981). Pronto se pudieron apreciar los enormes daños causados por aquellas labores de labranza (Palol 1989, 1990, 1994: 19). Por todo ello, en ese mismo año 1981, se realizó una campaña de cuatro meses en la que, entre otras, se empezaron a destapar las estructuras del Sector Baptisterio (Puerto 1981).³¹ Dicha labor continuó durante 1982. Teóricamente, solo se estaban retirando las piedras y la tierra de los sitios ya excavados por J. Aguiló. No obstante, existe diversa documentación, y alguna denuncia, que permiten entrever que se estaban efectuando también otras actividades. De aquí que el alcalde de Manacor llegase a “rogar” a los trabajadores municipales que no abrieran “las sepulturas si no es necesario”. También se tiene constancia del vaciado de un “silo o tal vez un depósito de agua” localizado cuando se estaba destapando la pared norte del recinto bautismal. En su interior, no se identificó ningún material de interés.³² Parece que por aquella parte del edificio seguían apareciendo “muchas tejas”, justo el día antes de la identificación de dos nuevas sepulturas (Puerto 1982).³³

Las campañas de excavación propiamente arqueológica se realizaron durante los años 1982 y 1984. Fueron dirigidas por P. de Palol, G. Rosselló y M. Orfila. Formaron parte del equipo, entre otros, J. Gual, J.M^a. Gurt, J. Merino, M. Muntanyola, M. Riera, M^a.G. Salvà, J. Serra, N. Soberats, F. Tuset, y P. Valeriano. Fue en este momento cuando se hizo una revisión del yacimiento y, especialmente, del conjunto basilical (Palol 1988, 1989, 1991, 1994). Por lo que respecta al Sector Baptisterio (Figura 1.41), fueron pocas las novedades publicadas entonces. Es por esta razón por la que para la elaboración del presente apartado también se tomarán informaciones de diversas fuentes inéditas. En este sentido, cabe destacar el diario con textos y fotografías de la campaña de 1982 cedido por P. de Palol y la colección fotográfica del Fons Pere de Palol depositado en el Institut Català d’Arqueologia Clàssica.³⁴ También se han obtenido informaciones de las anotaciones que había en las etiquetas de los materiales almacenados en el Museu

³¹ Trabajos que fueron, como mínimo en parte, dirigidos por G. Rosselló Bordoy (Palol 1988: 12).

³² Esta UE negativa también aparece citada en la documentación de P. de Palol como “agujero de almendro”, y parece que se habría considerado una “fosa de un árbol” (Alcaide 2011: 120). Tal y como se expondrá más adelante, todavía hoy se puede apreciar en el yacimiento cortando la roca natural.

³³ Enterramientos 2005-1 y 2008-5 de las campañas del siglo XXI.

³⁴ Queremos agradecer la amabilidad que nos ha dispensado el Institut Català d’Arqueologia Clàssica, especialmente a la que era su directora, Isabel Rodà, cuando se procedió a la revisión y escaneo de la documentación sobre Son Peretó depositada en el Fons Pere de Palol, y también a Joan Gómez Pallarès, Jordi Peiret, Josep Maria Puche y Eduard Padró.

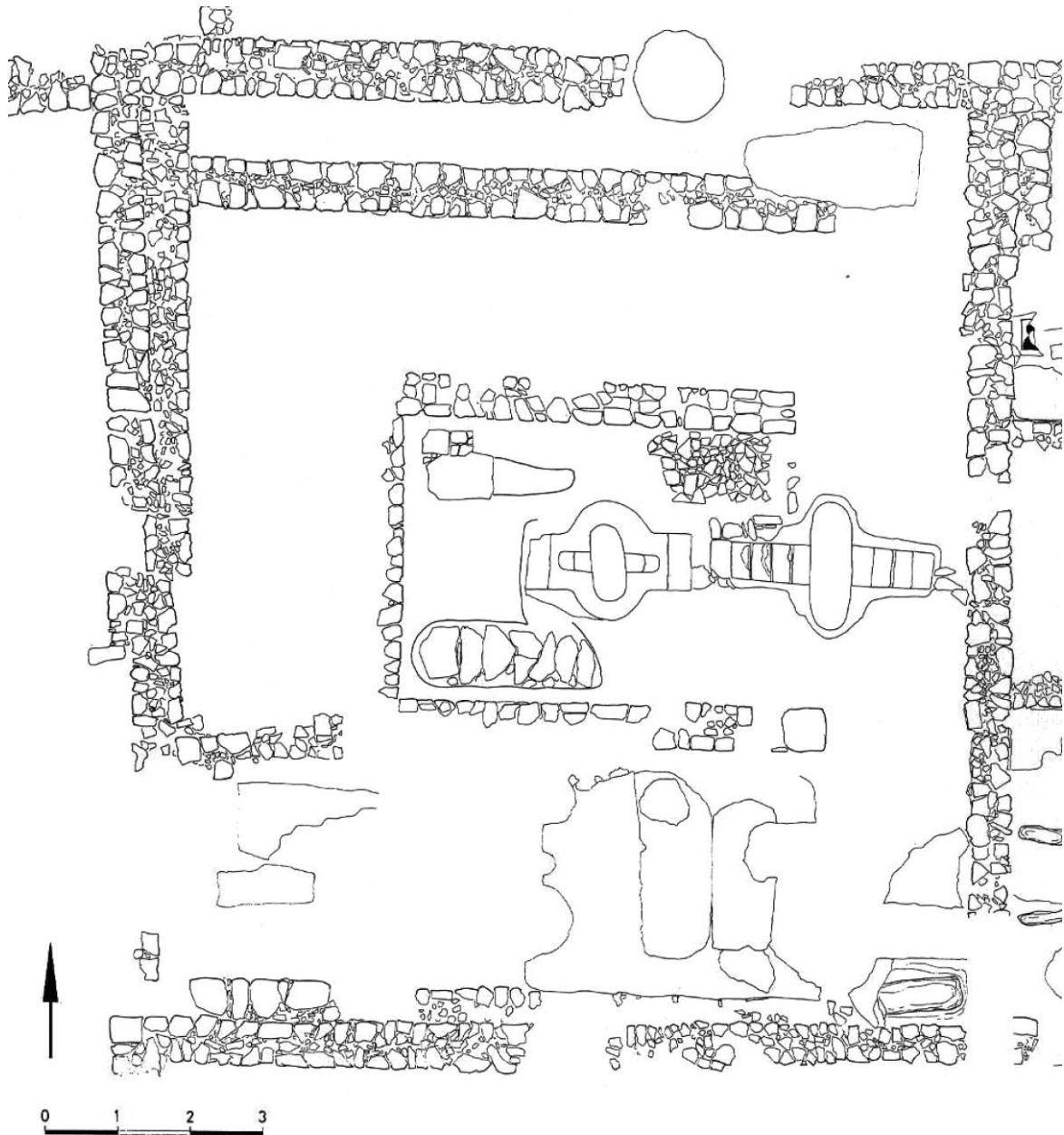


Figura 1.42. Planta detallada de las estructuras y principales elementos del Sector Baptisterio en 1984 (Palol 1994: 20)

de Mallorca, y de la documentación administrativa conservada en dicha institución y en el Museu d'Història de Manacor.³⁵

Referente a los datos e informaciones publicados destaca, especialmente, la planimetría detallada de las estructuras y principales elementos detectados (Palol 1989: 1989, 1991: 40, 1994: 20-21) (Figura 1.42). Entonces se pudo apreciar que efectivamente el baptisterio tenía la misma anchura que la basílica, y que se adosaba a esta, probablemente en una segunda fase que se situaba a mediados del siglo VI, o ya en su segunda mitad, y que coincidiría con la piscina mayor. Se señaló que en un último momento constructivo

³⁵ Entre la que destacan las memorias anuales del entonces director del Museu de Manacor: Puerto 1981, 1982, 1983, 1984.

(tercera fase) se redujo la superficie del baptisterio con la construcción de un muro interior paralelo a su pared original septentrional. Sería entonces cuando se construiría la segunda piscina. Se afirmó que el “ámbito funerario” debió ocupar originalmente todo el primitivo edificio bautismal, pero se duda de si se seguiría enterrando durante la tercera fase. También se afirmó que no “[...] podemos inclinarnos por ninguna de las dos posibles soluciones al problema de la coexistencia de tumbas en la cámara bautismal. En primer lugar, si se trata de enterramientos anteriores a la creación del baptisterio. O, en segundo lugar, si a pesar de la prohibición canónica se seguía enterrando en el mismo como podría hacernos suponer la correcta alineación de tumbas y piscinas” (Palol 1989: 1993-1994).

Gran parte de los argumentos y afirmaciones publicadas en 1989 se repiten unos años más tarde, aunque con algunas contradicciones. Así, se escribe que el ámbito bautismal *fou afegit el primer moment del temple amb una cambra ampla probablement funerària. Ja al segle VI, o una mica abans si acceptem aquest moment per a la cronologia i tipologia de la piscina. Construïda a nivell de sol, s’hi va posar seguint l’eix del conjunt i reduint el primitiu àmbit funerari en convertir-lo en baptisteri. En un altre moment es va construir la segona piscina, a un nivell més alt evidentment per a una litúrgia baptismal no d’immersió com la primera, però conservant com aquesta, l’eix del conjunt de l’edifici* (Palol 1994: 22).

Se afirmó que todo sugería la no amortización de la primera piscina y, por tanto, del uso simultáneo de las dos fuentes bautismales, “tal vez para el bautismo infantil”, recordando que generalmente la reforma o sustitución de las piscinas bautismales se hacían sobre la más antigua, tal y como se podía apreciar en Barcelona, Sevilla y en tantos otros casos del Mediterráneo central y oriental. Sin embargo, también se advirtió que no se habían podido analizar los materiales encontrados en el interior de la piscina grande de Son Peretó y que, en consecuencia, no se había podido resolver el problema que generaba el uso simultáneo de las dos piscinas, manifestándose, además, que era “muy problemático el momento de la segunda piscina” (Palol 1994: 22).³⁶

En el año 1999, en el volumen enciclopédico *Del romà al romànic. Història, art i cultura de la Tarraconense mediterrània entre els segles IV i X*, P. de Palol insistía en que las dos piscinas de Son Peretó “poden correspondre a cronologies semblants dins el segle VI, sobretot la piscina oriental” (Palol 1999: 166). También afirmó que “de les dues piscines, la més antiga, del segle VI, és d’un tipus molt usual, de fons cilíndric i escales radials, amb paral·lels a la zona d’Orient, a l’Àfrica cristiana i a Itàlia” (Palol 1999: 171). En dicha obra, también se publicó una planta simple de la basílica y el baptisterio de Son Peretó, en la que se marcaron dos fases: “primer moment de construcció”, de color gris oscuro, y “segon moment de construcció”, de color gris claro (Figura 1.43). En cualquier caso, en relación con el baptisterio no se justifica la pertenencia de los diferentes muros a una u otra fase. Por otro lado, tampoco se aclara si las aberturas marcadas corresponden a puertas o a tramos desaparecidos (Figuras 1.44, 1.45).

La posición del ámbito bautismal de Son Peretó a los pies del templo, “en el lugar donde normalmente podía haber un atrio”, se ligó a monumentos de la península ibérica de época visigoda, pero recordando que las Islas Baleares nunca formaron parte activa del Reino de Toledo (Palol 1991: 30, 1999: 165-166).

En 1988, gracias a las informaciones orales aportadas por F. Tuset, se afirmó que no cabía la menor duda de que las tumbas del corredor meridional habían sido construidas después del levantamiento de las

³⁶ De hecho, en una de las intervenciones del mismo investigador catalán en aquella *III Reunión de Arqueología Cristiana Hispánica*, llegó a afirmar que *no hi ha document arqueològic en absolut de substitució d’una piscina baptismal per una altra. És a dir, a l’excavació de la zona baptismal de Son Peretó no hi havia elements arqueològics per creure que la piscina des sòl havia estat amortitzada. Sempre havia estat oberta [...] Realment l’excavació d’aquesta zona no la vaig fer jo, però vaig fer la reexcavació, és a dir, la revisió de l’any 1967, i he pogut disposar dels diaris d’excavació del pare Aguiló. En fi, la meva impressió era que estava en ús en el mateix moment que la petita. Aquesta és la impressió que jo he tret de les dades arqueològiques* (Duval 1994: 207). Tal y como se verá, estas afirmaciones de P. de Palol deben hoy matizarse.

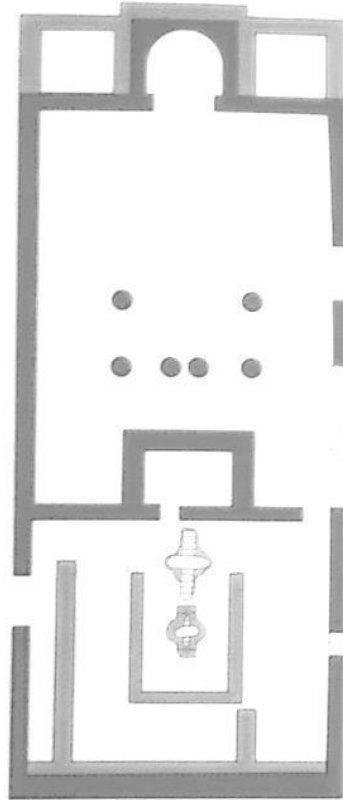


Figura 1.43. Planta simple de las fases propuestas para la basílica y el baptisterio de Son Peretó (Palol 1999: 165)



Figura 1.44. Sector Baptisterio durante la campaña de 1982 (Fons Palol-ICAC FG-0147)



Figura 1.45. Sector Baptisterio durante la campaña de 1984 (Fons Palol-ICAC DG-0041)



Figura 1.46. Sector Baptisterio durante la campaña de 1982 (Diario P. de Palol)

paredes del recinto, puesto que se adaptaban y se adosaban perfectamente a los espacios resultantes. Ya entonces se identificaron “dos grupos triples de tumbas ubicadas en los extremos que siguen la dirección E-O, mientras que, en medio, otro conjunto lo hace en sentido N-S. Ignoramos de forma concreta los tipos de enterramiento, ya que un consistente pavimento de *opus signinum* los cubre por completo. Por el momento, solo es posible distinguir el perímetro de cada enterramiento, gracias a la diferencia de color en el signino, al haber sido revestido cada uno, independientemente, por la capa del signino, que al estar yuxtapuestos constituyen la perfecta apariencia de un único pavimento” (Navarro 1988: 33). A pesar de que, en algunos momentos, R. Navarro se refiere a los corredores como recintos que no formarían parte del baptisterio, está claro que lo son, tal y como afirma en otras partes del texto. Se indica también que los enterramientos se extendían “por el recinto que rodea el baptisterio”, si bien solo se distinguían con claridad en el “corredor meridional”, aunque que ya en 1982 se habían identificado y excavado sepulturas de los corredores septentrional y occidental (Figuras 2.33, 2.34, 2.39 y 2.40) (Figuras 1.46, 1.47).

En las fotografías de 1982, se puede apreciar que ese año ya se había vaciado un mínimo de tres sepulturas del Sector Baptisterio, una localizada en su extremo sureste (Figura 1.47),³⁷ una segunda situada en la parte central de su extremo meridional (Figura 1.50),³⁸ y la tercera localizada en la parte central de su extremo de poniente (Figuras 1.48, 1.49).³⁹ Gracias a la misma documentación fotográfica se sabe que en el cuadro G2N, que se describirá a continuación, se documentó un enterramiento muy superficial, pero parece que este ya se encontraba fuera del recinto bautismal.

Gracias a la documentación presente en las bolsas de los materiales de 1982 guardados en el Museu de Mallorca, se puede intuir que se contabilizaron hasta seis enterramientos en el baptisterio, pero solo

³⁷ Equivale al Enterramiento 2009-2 de las campañas del siglo XXI.

³⁸ Equivale al Enterramiento 2009-5 de las campañas del siglo XXI.

³⁹ Equivale al Enterramiento 2005-2 de las campañas del siglo XXI.



Figura 1.47. Sepultura localizada en el extremo sureste del Sector Baptisterio en el año 1982 (Diario P. de Palol)



Figura 1.48. Sepultura localizada en el extremo occidental del Sector Baptisterio, año 1982 (Fons Palol-ICAC FG-0161)



Figura 1.49. Sepultura localizada en el extremo occidental del Sector Baptisterio, año 1982 (Fons Palol-ICAC FG-0216 / Riera Rullan 2009: 134)

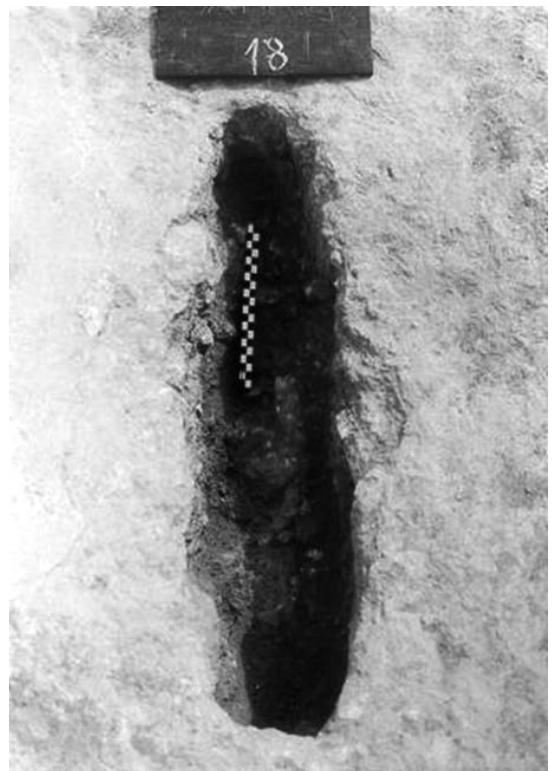


Figura 1.50. Sepultura localizada en la parte central del extremo meridional del Sector Baptisterio, año 1982 (Diario P. de Palol)

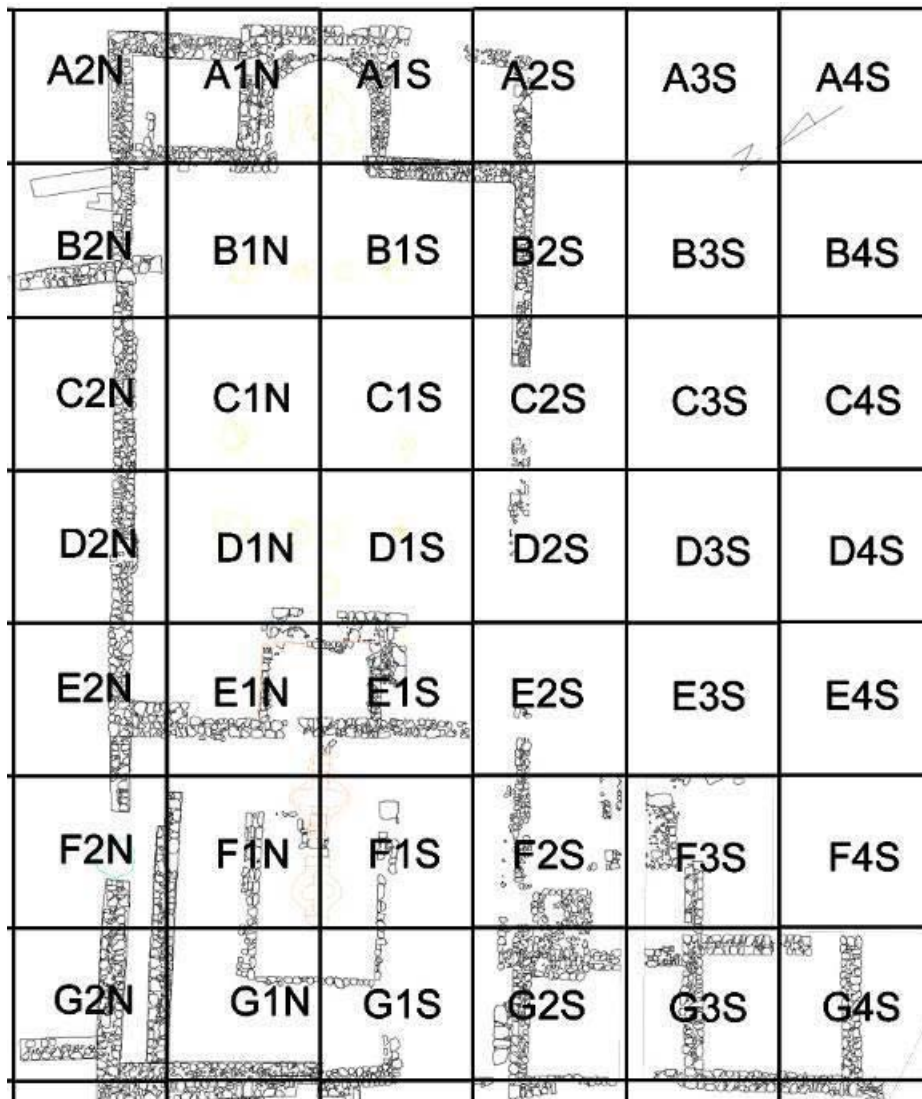


Figura 1.51. Croquis de la cuadrícula original de 1982 (S. Alcaide y M. Riera a partir del plano realizado, principalmente, por F. Tuset)

se ha podido identificar uno, el denominado “Bap 6” que es el que se puede apreciar en las Figuras 1.48 y 1.49. En cambio, de todos ellos tan solo se han podido localizar los restos óseos asociados a la etiqueta “Bap 5”.⁴⁰ Se desconoce si es que no se guardaron los huesos de las demás sepulturas, si es que permanecen ocultos en el museo, o si las tumbas ya habían sido expoliadas. Tampoco se puede descartar que alguna de ellas no se llegara a excavar.

En 1982 se planteó una cuadrícula que abarcaba la zona del yacimiento en el que se estaba interviniendo. Sus cuadros eran de 5 m de costado y quedó fijada tal y como se puede apreciar en la Figura 1.51.

⁴⁰ Hasta la actualidad no se ha podido llegar a determinar dónde pudo estar este supuesto sepulcro ya que, tal y como se verá más adelante, en el Sector Baptisterio, durante las campañas del siglo XXI, se localizaron una decena de fosas que ya habían sido vaciadas. En cualquier caso, sí que se puede citar que entre los materiales depositados en el Museu de Mallorca asociados a la etiqueta “Bap 5”, se identificaron un mínimo de tres individuos, pertenecientes a un adulto masculino, un adulto femenino y un subadulto (observaciones realizadas por Llorenç Alapont y Magdalena Sastre).



Figura 1.52. Portamechas de plomo de la campaña de 1982 (A. Martínez y M. Riera)

Por tanto, se pudo conocer que los cuadros pertenecientes únicamente al Sector Baptisterio eran los F1N, F1S, G1N y G1S, mientras que los cuadros E2N, E1N, E1S, E2S, F2N, F2S, G2N y G2S también afectaban al edificio bautismal, pero no únicamente.

Durante los años 2008 y 2014 se procedió a la limpieza, siglado y clasificación de los materiales encontrados en el Sector Baptisterio en 1982.⁴¹ Estos se encontraban en los almacenes del Museu de Mallorca y permanecían sin limpiar y, aparentemente, en las mismas bolsas con las que habían salido de la excavación varias décadas atrás. En su interior, todavía se conservaban algunas etiquetas, muy deterioradas, que permitieron la identificación de los cuadros F2N, F2S, G1S y G2N en los que se habían recogido las distintas piezas. En ningún caso se encontró referencia estratigráfica alguna, ni tampoco información que hiciese referencia a algún tipo de contexto, estructura o tumba. Dado que los cuadros F2N, F2S y G2N no se ceñían únicamente al Sector Baptisterio, es imposible saber si los materiales guardados se localizaron dentro o fuera del edificio bautismal. La única excepción correspondía a una bolsa, con abundante material cerámico, en la que se encontraba una etiqueta que ponía “G2N Entre las dos paredes”. Gracias a la memoria de A. Puerto de 1982, se sabe que en el cuadro G2N, inmediatamente al sur del muro septentrional del baptisterio, apareció una importante concentración de fragmentos cerámicos.

Las piezas de cerámica y de vidrio recogidas en 1982 en los cuadros F2N, F2S, G1S y G2N se expondrán con más detalle en los siguientes capítulos. Por lo que respecta a la cerámica, se recogieron 26 fragmentos de borde, siete fragmentos de base, 13 fragmentos de asa y 344 fragmentos informes. Las reducidas dimensiones de algunos ejemplares y la presencia de tantos informes no dejan duda sobre la recogida sistemática de todos los fragmentos aparecidos. Respecto al vidrio, se almacenaron un fragmento de

⁴¹ En cambio, no se ha podido localizar material mueble de las campañas de 1981, 1983 y 1984 que pudiese pertenecer al Sector Baptisterio.

borde, uno de base, uno de un asa y nueve informes. También se recogieron cinco huesos, tres elementos pétreos, una pieza de sílex, un clavo de hierro y un portamechas de plomo (Figura 1.52).

Entre 1982 y 1984, se procedió a la restauración de los muros de la basílica (Puerto 1982, 1983, 1984) y, por tanto, del que limitaba el baptisterio por el Este. Sin embargo, de esta última edificación no se restauraron, ni consolidaron, ni cubrieron, ninguno de los zócalos de sus límites meridional, occidental y septentrional, ni tampoco los pavimentos, estructuras o sepulcros identificados en su interior. Esto significó un deterioro muy importante de todos ellos, detectado en 2005 cuando se reemprendieron los trabajos de restauración y adecuación del yacimiento (véase Anexo II).

Las excavaciones realizadas durante el siglo XX en el conjunto de Son Peretó contribuyeron al conocimiento de la zona del baptisterio. En general, los trabajos permitieron obtener la planta completa de un gran edificio bautismal en el que se podían detectar diferentes fases constructivas cuya evolución presentaba algunas incógnitas. La particularidad más interesante del conjunto era la presencia de dos piscinas bautismales, una mayor y otra más pequeña. Esta coexistencia física de las piscinas motivó, como hemos señalado, una interesante polémica en relación con su posible uso simultáneo. Este interrogante no había sido resuelto por las diferentes intervenciones realizadas hasta los años 80 del siglo XX y seguían existiendo dudas razonables sobre el uso simultáneo de las piscinas. Otro de los aspectos a resolver era la cronología relativa de los enterramientos que aparecen en el sector. Existía la duda sobre la presencia de enterramientos anteriores a la construcción del complejo bautismal, así como la de la diacronía de la utilización del espacio como necrópolis. Entre otros aspectos, la fecha final de uso no estaba clara.

La nueva intervención en el Sector Baptisterio tenía como objetivos, por una parte, clarificar la secuencia constructiva del sector. Otro objetivo esencial era contribuir con nuevos datos que permitieran resolver la cuestión del uso simultáneo de las piscinas bautismales. En este sentido, como se verá, siguiendo una idea ya sugerida por P. de Palol, se procedió a levantar la piscina pequeña y a excavar por debajo de la misma. Finalmente, los nuevos trabajos perseguían estudiar los restos de la necrópolis para entender los rituales funerarios y su evolución cronológica.

Capítulo 2

Las excavaciones recientes en el baptisterio en el marco del nuevo proyecto sobre Son Peretó (2005-2016)

Mateu Riera Rullan⁴², Miguel Ángel Cau Ontiveros⁴³, Magdalena Salas Burguera⁴⁴

Tras las excavaciones de la década de 1980, buena parte de las estructuras quedaron a la intemperie sin consolidar ni restaurar y el yacimiento se fue degradando progresivamente. En el año 2004, se encontraba semiabandonado, con apenas carteles informativos y con el solar cubierto de maleza que cubría la mayoría de los restos arqueológicos. Todo ello motivó que, desde el Museu d'Història de Manacor y por iniciativa de su directora Magdalena Salas, se activara un proyecto de investigación, consolidación y difusión en cuyo marco se realizaron los trabajos que se describirán a continuación y en los siguientes capítulos. Las excavaciones arqueológicas se llevaron a cabo bajo la dirección científica de Miguel Ángel Cau y la dirección técnica de Mateu Riera. En la zona del baptisterio en particular, se contó varios años con los trabajos de ayudante en la dirección de Roger Real, con los arqueólogos Antonia Martínez y Antoni Puig, y con los antropólogos Llorenç Alapont, Gemma Prats y Magdalena Sastre. Los trabajos planimétricos de campo fueron realizados por Sílvia Alcaide, María José Rivas y Josep Maria Puche.

Tal y como se puede apreciar en las Figuras 1.41, 1.42 y 1.44, a principios de los años 80 del siglo pasado ya se habían excavado prácticamente todos los niveles arqueológicos localizados por encima de los pavimentos del Sector Baptisterio. Asimismo, como ya se ha indicado, también se tenía constancia del vaciado de las dos piscinas bautismales y de una decena de sepulturas con anterioridad a 1985. Por consiguiente, cuando en el año 2005 se reiniciaron los trabajos arqueológicos en el baptisterio, la mayor parte de los niveles arqueológicos del lugar ya habían sido excavados. Nada quedaba de los niveles de derrumbe y amortización de la edificación. En cambio, se conservaban abundantes restos de los pavimentos, sobre todo de las tumbas, pero también de alguno de los corredores, y se conservaban intactos todos los estratos por debajo de ellos y debajo de los zócalos de la mayoría de los muros o banquetas. También cabe destacar que prácticamente no se había actuado en los niveles que se encontraban bajo la piscina bautismal pequeña, ni tampoco en los de la cimentación de la piscina mayor.

Para poder organizar mejor los trabajos, describir ordenadamente y localizar de manera ágil los distintos hallazgos se dividió el Sector Baptisterio en cinco ámbitos diferentes (Figura 2.1):

- Ámbito Lateral Norte
- Ámbito Lateral Este

⁴² Profesor asociado de la Universitat Autònoma de Barcelona, profesor de la Facultat Antoni Gaudí d'Història, Arqueologia i Arts Cristianes, investigador adscrito al Institut Català d'Arqueologia Clàssica.

⁴³ Institució Catalana de Recerca i Estudis Avançats (ICREA), Pg. Lluís Companys 23, 08010 Barcelona, Spain; Equip de Recerca Arqueològica i Arqueomètrica de la Universitat de Barcelona (ERAAUB), Institut d'Arqueologia de la Universitat de Barcelona (IAUB); Universitat de Barcelona (UB), Facultat de Geografia i Història, Departament d'Història i Arqueologia, c/ Montalegre 6-8, 08001 Barcelona, Spain; Chercheur Associé, Aix Marseille Univ, CNRS, CCJ, Aix-en-Provence, France.

⁴⁴ Directora del Museu d'Història de Manacor.

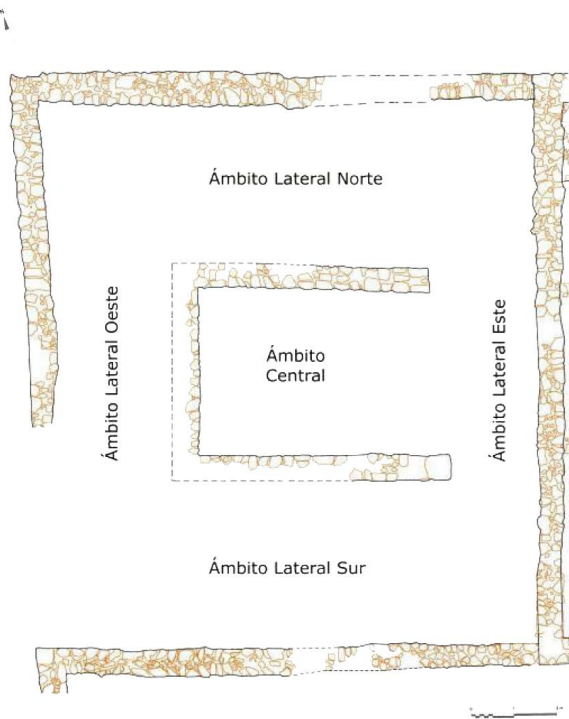


Figura 2.1. Planta con la indicación de los ámbitos en los que se ha dividido el Sector Oeste (S. Alcaide, J. M. Puche y M. Riera)

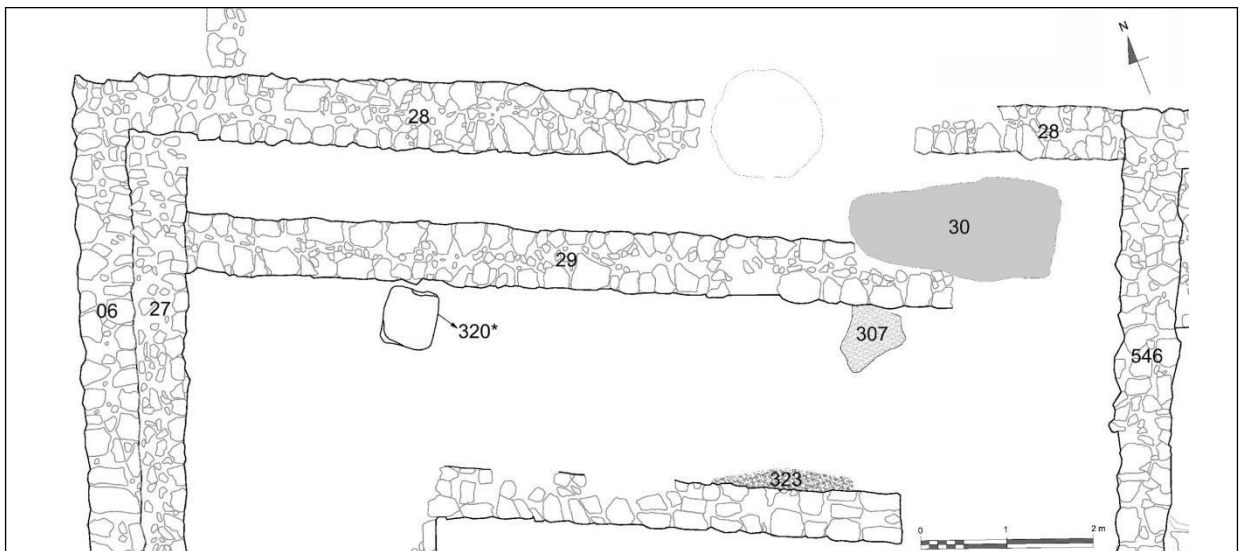


Figura 2.2. Planta del Ámbito Lateral Norte con indicación de algunos de sus elementos (S. Alcaide, J. M^a. Puche y M. Riera)

- Ámbito Lateral Sur
- Ámbito Lateral Oeste
- Ámbito Central

Tal y como se verá, las características del lugar no permitieron hacer una división en partes perfectamente delimitadas y, por tanto, hay elementos que abarcan más de un ámbito. Cabe señalar que, en buena parte de los cinco ámbitos, se habían ido acumulando sedimentos formados durante el final del siglo XX o inicios del siglo XXI (UE 21), y que estos fueron sistemáticamente retirados.



Figura 2.3. UE negativa (M. Riera)



Figura 2.4. Pavimento UE 307 (M. Riera)

Ámbito Lateral Norte

El Ámbito Lateral Norte es de planta rectangular (Figura 2.2). Su límite oriental corresponde a la fachada de los pies de la basílica (UE 546), está limitado al norte por el zócalo UE 28, al oeste por el zócalo UE 06 y al sur por el muro septentrional del Ámbito Central. En su interior mide unos 11,50 m de largo (este/oeste) por unos 3,75 m de ancho (norte/sur).

Se debe destacar que los zócalos UE 06 y 28 son claramente solidarios, mientras que este último se adosa al zócalo UE 546 de la fachada occidental de la basílica. La continuidad del zócalo UE 28 se encontraba interrumpida por un gran agujero de forma cilíndrica de 1,40 m de diámetro y hasta 0,70 m de profundidad, del que ya se ha visto que en los años 80 fue interpretado como un silo, depósito o fosa de árbol (Figura 2.3). Puesto que ya se había vaciado en 1982, no se puede precisar su fecha de construcción ni de amortización, ni tampoco se conoce su función. Se encontraba recortado en roca permeable y tanto las paredes como la base estaban toscamente desbastadas sin presentar ningún tipo de revoque. El fondo no es ni plano ni regular. Aunque en 2005 ya no se halló ninguna secuencia estratigráfica asociada, parece que podría tratarse de una negativa realizada una vez que el muro septentrional del baptisterio ya no estaba en uso, aunque dicha interpretación debe tomarse con cautela.

Al retirar la capa superficial UE 21, quedaron a la vista las partes conservadas de dos pavimentos de mortero de cal. Uno de ellos (UE 30) presentaba abundantes fragmentos cerámicos y sellaba la sepultura del Enterramiento 2005-1. En cambio, el otro (UE 307) (Figura 2.4) no tenía inclusiones cerámicas ni tampoco estaba en contacto con ninguna sepultura. Se encontraba localizado aproximadamente en el centro de la mitad oriental del ámbito. No se pudo observar en toda su extensión ya que continuaba por debajo del zócalo UE 29. La parte que estaba a la vista ocupaba una superficie de hasta 0,70 m de largo (norte/sur) por 0,50 m de ancho (este/oeste), y su grosor máximo rondaba los 2 cm. Por debajo de



Figura 2.5. Estructuras UE 06, 27, 28 y 29 (M. Riera)



Figura 2.6. Enterramiento 2005-1 tal y como se encontró en el año 2005 (Riera Rullan 2009, 134)



Figura 2.7. Mitad oriental de la cubierta de losas del Enterramiento 2005-1 (M. Riera)



Figura 2.8. Fosa del Enterramiento 2005-1 (M. Riera)

este pavimento, se documentó su preparación (UE 351), que tenía una potencia de hasta 4 cm, y estaba compuesta por una tierra de color naranja y abundante cal. Una vez retirada la UE 351, apareció la capa UE 350 que se describirá más adelante.

Tal y como se ha ido exponiendo en los apartados dedicados a las excavaciones del siglo pasado, el Ámbito Lateral Norte es atravesado por un muro que presenta una orientación oeste/este, del que tan solo se conserva su zócalo (UE 29) (Figura 2.5). Este se adosa a una estructura (UE 27) que parece corresponder a un banco o a un refuerzo del muro occidental del baptisterio (UE 06). En cambio, no llega hasta la fachada occidental de la basílica. Su anchura, como la de los zócalos UE 06 y 28, es de entre 0,65 y 0,70 m.

La sepultura del Enterramiento 2005-1 estaba localizada inmediatamente al nordeste del zócalo UE 29 (Figura 2.6). Esta, desde que quedó al descubierto en 1982 y hasta el año 2016, ha sufrido diversos actos de expolio o vandalismo. Aún y así, se pudo apreciar que era un sepulcro que constaba de una fosa (UE 32) en forma de bañera, es decir, de planta trapezoidal con los extremos redondeados. Presentaba unas paredes bastante verticales y paralelas, y con un rebaje para poder encajar mejor las losas de la cubierta. En su parte superior, la fosa llega a los 2,20 m de largo, 0,95 m de ancho, y hasta los 0,60 m de alto. En su fondo llega a 1,84 m de largo y a 0,44 m de ancho. Todo apunta a que su cubierta tuvo un total de cinco losas calcáreas (UE 55), toscamente trabajadas y de diversas formas y medidas (Figura 2.7).⁴⁵ Encima de

⁴⁵ Cabe señalar que, en todas las sepulturas del Sector Baptisterio de Son Peretó, se colocaron piedras, normalmente de pequeño o mediano tamaño para cegar los agujeros que quedaban en las juntas de las losas o entre estas y las



Figura 2.9. UE 211 (M. Riera)



Figura 2.10. Ámbito Lateral Norte una vez retirada la UE 211 (M. Riera)

estas, se había colocado una capa (UE 31), de unos 10 cm de potencia, de abundantes piedras de menos de 15 cm mezcladas con una arcilla de color blanquecino –como una especie de *rudus*–, para después colocar un pavimento de *opus signinum* (UE 30) de hasta 10 cm de grosor.

En el interior de esta sepultura, se encontraron unos pocos restos de un solo individuo adulto de sexo masculino.⁴⁶ Aunque solo se documentó parcialmente, se pudo observar que presentaba la cabeza al oeste y los pies al este, y que estaba en posición decúbito supino, con los brazos colocados a ambos lados del cuerpo. También se pudo apreciar que descansaba sobre un lecho de arcilla (UE 826), de color amarillento, muy fina y depurada, de hasta 6 cm de potencia. Una vez retirado este lecho, se pudo observar que el fondo de la fosa era muy irregular y no bien horizontal (Figura 2.8). Sobre uno de los huesos del esqueleto del Enterramiento 2005-1 se efectuó una datación por ¹⁴C que ha aportado los siguientes resultados: cal d. C. 410AD-5570AD (2σ).

El Ámbito Lateral Norte es el único del baptisterio en el que se conservaban niveles anteriores al siglo XX por encima de los pavimentos o niveles de circulación, aunque presentaban intrusiones modernas. El nivel principal era una capa de tierra de color gris claro, casi blanco, granulosa y bastante compactada de hasta 12 cm de potencia (UE 211) (Figura 2.9). No se pudo determinar si correspondía a un nivel de derrumbe o amortización, o si pudo pertenecer a una nivelación intencionada para crear una zona de circulación. De hecho, parecía que este nivel pasaba por debajo del zócalo UE 29 antes citado y, en cierta manera, su composición era semejante a la de ciertos pavimentos de color blanquecino localizados

fosas de las tumbas.

⁴⁶ Para conocer más detalles de los restos humanos encontrados entre los años 2005 y 2016 en el baptisterio, así como de los análisis antropológicos realizados, véase el capítulo 5.



Figura 2.11. Fosa del Enterramiento 2008-5 (M. Riera)

en los ámbitos del siglo VII del Sector Oeste (Riera Rullan, Cau y Salas 2013). Los materiales muebles anteriores al siglo XX encontrados en el interior de esta UE 211 no ayudan a datar el momento de su formación, pero, dado que tapaba el Enterramiento 2008-8 que se describirá un poco más adelante, esta se tuvo que producir en un momento posterior a c. 770 d. C.

Una vez retirada la capa UE 211, se pudieron observar completamente los límites de tres sepulcros: Enterramientos 2008-5, 2008-6 y 2008-8 (Figura 2.10).

El sepulcro del Enterramiento 2008-5 estaba situado en la mitad oriental del ámbito, a unos pocos decímetros del muro septentrional del Ámbito Central. Se pudo observar que había sido expoliado o excavado en su práctica totalidad y luego vuelto a rellenar con abundantes piedras y tierra (UUEE 239, 242 y 250). Conservaba, en su extremo occidental, una gran losa calcárea bastante bien escuadrada (UE 253). En algunos puntos concretos del fondo de la fosa, se encontraron restos de un posible lecho de arcilla (UE 321), de color marrón claro, en el que se encontraron unos pocos huesos humanos todavía *in situ*, pertenecientes a un individuo adulto de sexo indeterminado.⁴⁷ La fosa del Enterramiento 2008-5 (UE 347) también presentaba una orientación este/oeste. Pese a su mal estado de conservación, se pudo apreciar que tenía forma de bañera con restos de un rebaje para poder encajar las losas (Figura 2.11). En su coronamiento llegaba a los 2,15 m de largo, 0,56 m de ancho, y hasta 0,56 m de alto. En el fondo medía un máximo de 2 m de largo por 0,50 de ancho. Su superficie tampoco era plana ni bien horizontal.

A unos 50 cm a poniente de la tumba del Enterramiento 2008-5, se localizó la del Enterramiento 2008-8, que presentaba la misma orientación y alineación. Durante los trabajos de excavación, se pudo observar cómo, ya en época antigua, se había procedido al rellenado, con tierra, piedras y fragmentos de téglulas colocados planos (UUEE 267, 285 y 289), de los huecos que se habían producido por el hundimiento de las tres losas centrales de la cubierta del sepulcro.⁴⁸ No se pudo determinar con seguridad si este desplome había sido casual o si era el resultado de un expolio antiguo del interior de la tumba. Tampoco se descarta que se hubiesen dado las dos opciones. Las tres losas partidas y hundidas eran de poco grosor y de escasa consistencia lo que las convertía en poco resistentes, pero en la UE 267, claramente por encima de las tres losas, se encontró un hueso humano fuera del lugar original de su deposición. De hecho, el único esqueleto que se encontró en el interior de la sepultura no conservaba la mayoría de los

⁴⁷ En esta UE 321 también se encontró una cuenta de vidrio que, tal vez, podría estar indicando que la persona inhumada en el interior de esta sepultura era de sexo femenino, aunque tampoco se puede descartar que fuese una intrusión.

⁴⁸ En dichos huecos, pero por debajo de las losas, se documentó un sedimento terroso muy fino (UE 286), de color rojizo, que parecía corresponder al resultado de filtraciones naturales.



Figura 2.12. Piedras y fragmentos de tégula que tapaban las zonas hundidas de la cubierta de losas del Enterramiento 2008-8 (M. Riera)



Figura 2.13. Cubierta de losas del Enterramiento 2008-8 (M. Riera)

huesos de su caja torácica. De lo que no cabía duda era de que las UUEE 267, 285 y 289 eran el resultado de una acción antrópica intencionada con la que se rellenaron los agujeros de la sepultura para sellarla concienzudamente (Figura 2.12).

La cubierta del Enterramiento 2008-8 (UE 279) consistía en cinco piezas ligeramente retocadas, y de diversas formas y medidas (Figura 2.13). Las dos de los extremos eran de piedra calcárea, en cambio, las tres de la parte central estaban hechas con un material mucho menos resistente, semejante a la arcilla y de un color marrón azulado.

Por debajo de las losas, aparecieron dos capas con unos sedimentos muy finos (UUEE 298 y 299), que parecían el resultado de filtraciones naturales. Una vez se hubieron retirado, se pudo apreciar todo el esqueleto de un individuo adulto de sexo femenino colocado en posición de decúbito supino, con los brazos y piernas bien estirados, excepto el brazo izquierdo que estaba ligeramente flexionado sobre la pelvis (Figura 2.14). Presentaba la cabeza al oeste y los pies al este. Junto a su cabeza, en su lado izquierdo, se localizó un jarrito de cerámica común africana, al que solo le faltaba una parte del asa (Figura 2.15, Riera Rullan y Cau 2012d). Presentaba una pasta de color beige marronáceo y una superficie muy desgastada, que parece mostrar que era un recipiente de cierta antigüedad en el momento de su deposición en el interior del sepulcro (Figura 2.16). Dicha observación se vería corroborada por la datación por ^{14}C de un hueso de este Enterramiento 2008-8, que aporta una fecha cal d. C. 770-970AD (2 σ), momento en que no se tiene constancia de que este tipo de jarritos se siguieran fabricando. Entre los materiales publicados de Cartagena, un ejemplar en particular (CA4-11290-176-1)⁴⁹ presenta similitudes notables con el de Son Peretó. Los autores encuentran jarritos similares que se fechan entre los siglos V-VII d. C. (Vizcaíno y Madrid 2006)⁵⁰ en diferentes yacimientos del norte de África y de la península ibérica, incluidas algunas necrópolis. Asocian este ejemplar particular al tipo G/CA?/6.2 de Macías (1999: 97) fechado entre los años 425 y 713 en Tarragona (Vizcaíno y Madrid 2006: 440). Asocian también estos jarritos en general a algunas de las variantes más tardías del tipo Bonifay 52 (Bonifay 2004: 286-287;) para las que dicho investigador afirma que podrían haber seguido fabricándose en momentos posteriores a la presencia bizantina del norte de África (Vizcaíno y Madrid 2006: 440).

⁴⁹ Llama la atención que entre los jarritos africanos que se han encontrado en el interior de sepulturas de la *Cartagho Spartaria* de los siglos V a VII, tan solo el CA4-11290-176-1 presentaba una pasta de color entre marronáceo y beige-amarillento y, solo este, había “perdido el tratamiento de su superficie” (Vizcaíno y Madrid 2006: 440 y 444).

⁵⁰ También se han documentado jarritos de los siglos VI y VII, de formas prácticamente idénticas a nuestro ejemplar, en tumbas de necrópolis sicilianas, pero considerados de producción local (Vizcaíno y Madrid 2006: 445 y Figs. 6 y 7).



Figura 2.14. Enterramiento 2008-8 (M. Riera)



Figura 2.15. Enterramiento 2008-8 con el jarrito junto a la cabeza de la difunta (M. Riera)



Figura 2.16. Jarrito del Enterramiento 2008-8 (foto M. Riera Sureda; Riera Rullan y Cau 2010d)



Figura 2.17. Fosa del Enterramiento 2008-8 (M. Riera)

Por debajo del esqueleto, se localizó una capa muy fina de arcilla (UE 306) que volvía a corresponder a un lecho colocado en el fondo de la fosa para nivelarlo y regularizarlo. Dicha capa era un poco más gruesa en la parte del cráneo y del jarrito, formando una especie de cojín. Finalmente, se pudo observar que la fosa del Enterramiento 2008-8 (UE 348) volvía a tener forma de bañera con un rebaje para el encaje de la cubierta de losas (Figura 2.17). En su coronamiento llegaba a los 2,17 m de largo, al metro de ancho y hasta 0,50 m de alto. Su fondo medía un máximo de 1,75 m de largo, por 0,45 m de ancho.

A medio metro a poniente del Enterramiento 2008-8 se localizó la sepultura del Enterramiento 2008-6. Estaba situada parcialmente por debajo del muro septentrional del Ámbito Central y, todavía más claramente debajo del zócalo UE 29. Es la única del Ámbito Lateral Norte que presentaba una orientación norte/sur. Tal y como se puede apreciar en la Figura 2.10, por debajo de la UE 211 apareció el relleno superior de la fosa de este nuevo enterramiento. Dicho relleno (UE 241) tenía una potencia de hasta 10

cm, y presentaba una arcilla de color gris con muchísimas piedrecitas de color blanco semejantes al yeso o mortero de cal, y abundantes fragmentos cerámicos de pequeñas dimensiones. Cabe señalar que entre ellos se pudo identificar un fragmento de borde de TSAD del tipo Hayes 99A o B y un fragmento vítreo con el borde con perfil de “cabeza de cerilla” y decorado con hilos aplicados de vidrio. El primero aportaría un *terminus post quem* (*tpq*) de c. 480/500 d. C.⁵¹ para la formación de este estrato. Una datación que no se desdice con la de la pieza de vidrio que se puede remontar, como mucho, al siglo V, pero que suelen ser más características de los conjuntos de los siglos VI y VII (Sánchez de Prado 2009).⁵² Teniendo presente que esta UE 241 pasaba por debajo del muro septentrional del Ámbito Central del baptisterio,⁵³ dichos materiales proporcionan un *tpq* para su edificación. También ayudan a fechar el momento en el que se realizó la inhumación del Enterramiento 2008-6, dado que la UE 241 habría formado parte de su sistema de cubierta.

Una vez retirada la UE 241, quedó a la vista un nuevo relleno (UE 262) de la fosa, esta vez de hasta 15 cm de potencia, y hecho con una tierra de color amarillento. En su superficie, se pudo identificar un hoyo (UE 249) de entre 40 y 46 cm de diámetro y hasta 20 cm de profundidad (Figura 2.18). En la capa superior UE 241 no se identificó dicho hoyo, pero revisando las fotografías del proceso de excavación parece muy probable que este la hubiese cortado. De ser así, estaríamos delante de otro agujero relacionado con el ritual de dar de comer o beber a los muertos en la misma línea de los documentados en los llamados Sectores Oeste y Sur de Son Peretó (véase capítulo 9).

En el interior del relleno UE 262, se pudieron recuperar tres fragmentos de borde de TSAD. Dos podrían pertenecer a ejemplares de los tipos Hayes 93/94/98, mientras que el tercero parece claro que se puede asimilar al tipo Hayes 103. Por tanto, sería esta última forma la que aportaría el *tpq* más moderno relacionado con el momento en el que procedió al vertido de la UE 262. Dicho *tpq* se suele situar c. 500 d. C. (*Atlante* 1981: 99; Hayes 1972: 160; Raynaud 1993b: 195; Reynolds 1995: 28), aunque también hay investigadores que no descartan un inicio de su fabricación a finales del siglo V (*Atlante* 1981: 99; Cavallès-Llopis y Vallauri 1994: 102) e incluso, de hasta los años 470/480 (Tortorella 1998). Conviene apuntar que entre los fragmentos cerámicos también había cuatro informes de cerámica común con decoración incisa polilineal que, si fuesen de producción ibicenca, podrían aportar un *tpq* de c. 535 d. C. (Ramon 1986: 32; 2008: 571 y 574), pero se debe remarcar que no se ha podido determinar con seguridad su lugar de fabricación. En la UE 262 también se halló un fragmento de vidrio con el borde con perfil de “cabeza de cerilla” y con hilos aplicados que, tal y como se ha expuesto anteriormente, se empezaron a fabricar en el siglo V, pero son mucho más habituales en contextos de los siglos VI y VII. Por tanto, estos materiales de la UE 262 proporcionan un *tpq* para la edificación del Ámbito Central del baptisterio y para la realización del sellado de la tumba del Enterramiento 2008-6 de, como mínimo, los años 470/480-500, tal vez, incluso, de c. 535 d. C. si alguno de los fragmentos de cerámica común con decoración incisa polilineal pertenece a las producciones de Ibiza.

Debajo de la UE 262 apareció la cubierta de losas (UE 269) de la sepultura (Figura 2.19). Estaba compuesta por seis piezas de piedra calcárea, toscamente retocadas y de formas y medidas muy diversas. Una vez levantadas cinco de ellas se pudo observar que el fondo de la fosa se había mantenido parcialmente

⁵¹ La fecha de inicio de fabricación del tipo Hayes 99 es muy controvertido (Aquilué 1989: 139; *Atlante* 1981: 109-110; Hayes 1972: 155; 1980: 516; Murcia *et al.* 2005: 15; Ramon y Cau 1997: 274 y 276; Tortorella 1998;), pero parece que puede situarse en algún momento del último cuarto del siglo V o de los primeros años del siglo VI (Amores, García y González 2007: 13; Bonifay 2004: 181; Raynaud 1993b: 194; Reynolds 1995: 23, 146, 152, 281; 2007: 74; 2010, fig. 16b).

⁵² Para más detalles de la propuesta cronológica ver el capítulo 4.

⁵³ Cabe señalar que este muro ya se había restaurado en los años 60 del siglo pasado y, por tanto, esta zona podría estar un tanto alterada e, incluso, presentar alguna intrusión.



Figura 2.18. Capa UE 262 con el agujero UE 249 del Enterramiento 2008-6 (M. Riera)



Figura 2.19. Cubierta de losas del Enterramiento 2008-6 (M. Riera)



Figura 2.20. Enterramiento 2008-6 (M. Riera)



Figura 2.21. Revoque UE 287 del Enterramiento 2008-6 (M. Riera)



Figura 2.22. Detalle del revoque UE 287 del Enterramiento 2008-6 (M. Riera)

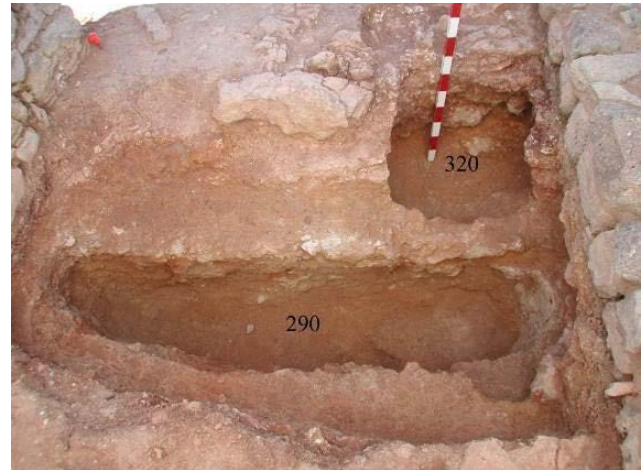


Figura 2.23. Negativa UE 320 y fosa UE 290 del Enterramiento 2008-6 (M. Riera)

vacío y que, encima del esqueleto, tan solo aparecían unos pocos sedimentos (UE 277) resultado del derrumbe parcial de las paredes del sepulcro.

En el interior de la fosa, se halló un único esqueleto perteneciente un individuo adulto de sexo masculino, que se había depositado en posición de decúbito supino, con los brazos y piernas bien estirados, excepto el brazo izquierdo que estaba ligeramente flexionado sobre la pelvis (Figura 2.20). Presentaba la cabeza a septentrión y los pies a mediodía.

Las paredes y el fondo de la fosa presentaban un revoque hecho con mortero de cal (UE 287) que se encontró en un pésimo estado de conservación, excepto en las paredes de la cabecera y en una pequeña parte del fondo de la sepultura (Figura 2.21, 2.22). Tenía entre 1 y 2 cm de grosor, y sirvió para regularizar la forma de la fosa y darle cierta consistencia, ya que en esta zona el terreno natural es de muy mala calidad y se desmorona con mucha facilidad. Por debajo del revoque que hacía de pavimento de la tumba, se documentó un lecho realizado con un sedimento arenoso (UE 288), de hasta 10 cm de potencia, que sirvió para regularizar y nivelar el fondo del sepulcro.

Aunque no se pudo descubrir el extremo septentrional de la fosa (UE 290), ya que quedaba por debajo del zócalo UE 29, se puede afirmar que tenía forma de bañera y que presentaba un gran rebaje para el encaje de la cubierta de losas. En su coronamiento, superaba los 2,50 m de largo, tenía una anchura máxima de hasta 0,95 m. y una profundidad de hasta 0,95 m. En su base medía un máximo de 2,17 m de largo, por 0,30 m de ancho. Cabe remarcar que la fosa era mucho más grande que la persona inhumada en su interior.

Se pudo apreciar como la fosa UE 290 cortaba parcialmente la negativa UE 320 (Figura 2.23),⁵⁴ que era un agujero muy irregular, relativamente piriforme en la parte inferior, mientras que su coronamiento, de hasta 0,65 m de largo, presentaba unos ángulos considerablemente rectos. Podría tratarse de un silo, pero la verdad es que no se documentó ningún elemento que permita determinar cuál pudo ser su

⁵⁴ De hecho, en el punto de contacto entre las dos negativas, se tuvieron que colocar diversos fragmentos de téglula para poder dar consistencia al extremo noroeste de la pared de la sepultura (Figuras 2.20 a 2.22).

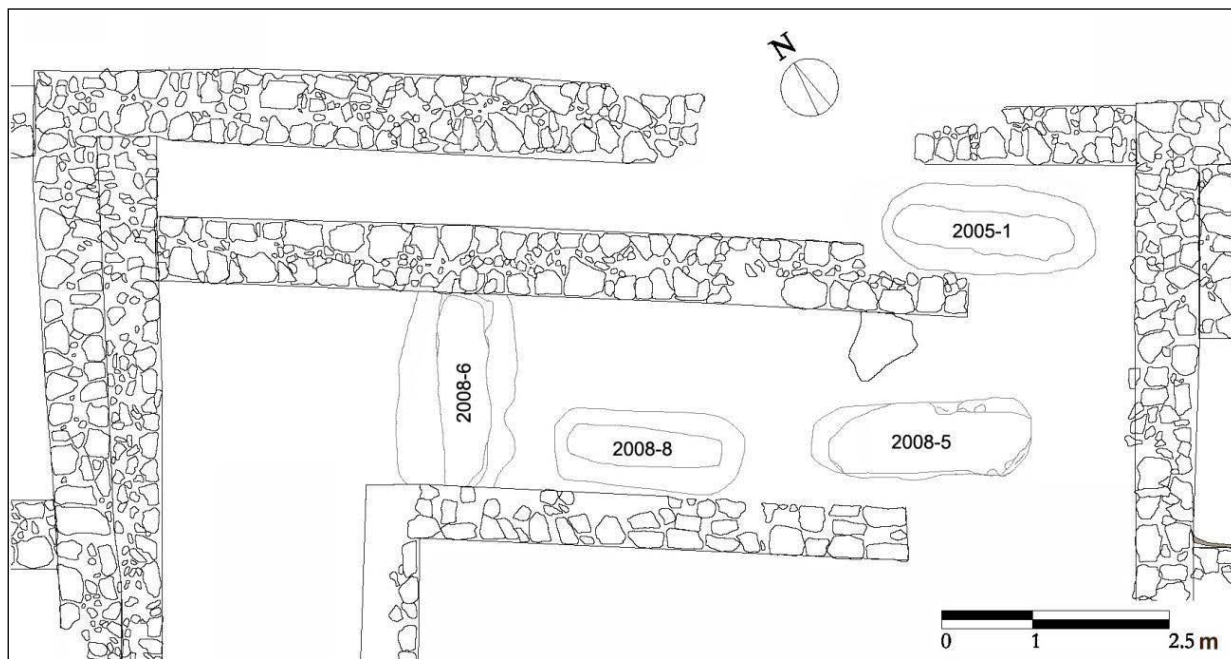


Figura 2.24. Fosas de los enterramientos del Ámbito Lateral Norte (S. Alcaide, J. M. Puche, M. Riera y M.J. Rivas)

función. Sus paredes estaban toscamente recortadas. Conservaba una altura máxima de hasta 0,64 m. y un diámetro máximo de 0,80 m. En su interior, se localizaron dos rellenos perfectamente diferenciados.⁵⁵ En el de más arriba (UE 303) se documentó un fragmento de base de TSAD que presenta una decoración estampillada de círculos concéntricos en decoración Aii, la cual aportaría un *tpq* de c. 350 (*Atlante* 1981: 125; Hayes 1972) para la fecha de la formación de dicho relleno.

Todavía en el Ámbito Lateral Norte, aunque sobre todo por debajo del muro septentrional del Ámbito Central, se localizó otra sepultura (Enterramiento 2008-A).⁵⁶ Presentaba una orientación este-oeste, estaba aproximadamente en el centro de la mitad oriental del susodicho muro, y no se pudo excavar completamente ya que había que desmontar tanto el muro como la restauración que se le colocó encima en la década de 1960. Antes de localizar la sepultura de este Enterramiento 2008-A, se procedió a la excavación de una capa (UE 322) de tierra de color gris oscuro (Figura 2.25), localizada justo encima de su cubierta, pero tan solo al norte del muro septentrional del Ámbito Central. Todo apunta a que dicha capa, de entre 2 y 10 cm de potencia, sirvió para nivelar la superficie del Ámbito Lateral Norte. Y es que tal y como se puede apreciar en las Figuras 2.26 y 2.27, la cubierta (UE 323) del sepulcro no era plana, sino que era más profunda en la zona central que en los extremos. Estaba hecha con mortero de color gris claro, rico en cal, y que presentaba también gravas pequeñas y redondeadas. Su grosor siempre rondaba los 6 cm. Es interesante señalar que los análisis químicos y petrográficos efectuados sobre diversas muestras de mortero demuestran que la composición de esta cubierta UE 323 es muy diferente a la del pavimento UE 307 (Figura 2.2), descrito más arriba, y localizado 1,20 m más al norte (Miriello *et al.* 2013 y capítulo 6 de este mismo volumen).

⁵⁵ El superior (UE 303) estaba compuesto por una tierra de color marrón oscuro, con abundantes piedras, una loseta, y numerosos fragmentos cerámicos. En cambio, el inferior (UE 308) prácticamente solo presentaba una tierra de color amarillento, similar a la localizada en el interior del sepulcro del Enterramiento 2008-4, situado a una distancia de un 1 m en dirección suroeste y ya en el Ámbito Lateral Oeste.

⁵⁶ Sepulcro dado a conocer en la tesis doctoral de S. Alcaide (2011: 123, 128, 356 y 410 fig. 50.1), aunque la fotografía presentada no correspondía a dicha tumba, sino a una localizada en el Ámbito II del Sector Oeste.



Figura 2.25. UE 322 localizada sobre la cubierta del Enterramiento 2008-A (M. Riera)



Figura 2.26. Cubierta UE 323 del Enterramiento 2008-A y fosas de los Enterramientos 2008-5 y 2008-8 (M. Riera)



Figura 2.27. Detalle de la cubierta UE 323 del Enterramiento 2008-A (M. Riera)



Figura 2.28. Cubierta de losas UE 346 del Enterramiento 2008-A (M. Riera)

Por debajo de la cubierta hecha con mortero de cal (Figura 2.25), se documentó una capa de tierra de color amarillo anaranjado (UE 344), de unos 5 cm de potencia, que cubría la cubierta de losas de la sepultura. De esta última (UE 346) tan solo se pudieron identificar parcialmente tres piezas (Figura 2.28). Tampoco se pudo apreciar en toda su extensión la fosa (UE 347) de este Enterramiento 2008-A, ni a lo ancho ni a lo largo. Puede afirmarse, sin embargo, que, observando la forma en que iba cerrando el coronamiento de la fosa, esta no habría albergado a un adulto, ya que medía apenas 1,40 m de largo.

Aproximadamente en el centro de la mitad occidental del Ámbito Lateral Norte, en el espacio que había entre los zócalos UE 28 y 29, se localizó una bolsada de mortero de cal (UE 126), que ocupaba una superficie de unos 0,95 m de largo (este/oeste) por unos 0,40 m de ancho, y que tenía una potencia máxima de 12 cm (Figura 2.29). Descansaba encima de la roca natural y se pudo observar que continuaba por debajo del zócalo UE 29. Por sus características, parece que podría tratarse de un vertido del sobrante del mortero de cal de alguna obra realizada en las inmediaciones.



Figura 2.29. Bolsada de mortero de cal UE 126
(M. Riera)

Al oeste de la bolsada UE 126, tan solo por debajo del zócalo UE 29, se identificó una capa (UE 122) de tierra de color marrón, que presentaba un elevado número de pequeños fragmentos cerámicos⁵⁷ entre los que destacan dos fragmentos de borde de TSAD que permiten fijar un *tpq* para el momento de la construcción del zócalo UE 29. Uno se puede asimilar al tipo Hayes 80B/99 (= Hayes 99D), y podría aportar un *tpq* de las primeras décadas del siglo VI (*Atlante* 1981: 105; Tortorella 1998), aunque es más característico del siglo VII y, especialmente, de su segunda mitad (Bonifay 2004: 181). El otro fragmento parece corresponder al tipo Hayes 91D, que se habría empezado a fabricar hacia el año 600 (*Atlante* 1981: 106; Bonifay 2004: 179; Hayes 1972, 144;), 580 (Raynaud 1993b: 194; Tortorella 1998), o 575/580 (Reynolds 1995: 31), siendo característico “muy especialmente” del siglo VII (Vizcaíno 2009: 624). Conviene indicar que esta pieza de Son Peretó se encontró tan deteriorada que puede parecer un fragmento de mortero del tipo 11C de Bonifay (2004) de cerámica común africana, pero lo cierto es que presenta unas características macroscópicas que se asemejan más a las producciones de TSAD. En cualquier caso, cabe señalar que la producción de los morteros del tipo 11C se ha propuesto de en torno a finales del siglo VII (Bonifay 2004: 252). Por todo ello, se puede señalar que la construcción del zócalo UE 29 se habría producido en un momento posterior al 575/580 d. C. y, muy probablemente, posterior al año 600.

El estrato más antiguo (UE 350) excavado en el Ámbito Lateral Norte corresponde a una capa de tierra de color rojizo, que presentaba gravas y piedras de pequeño tamaño, y que aparecía, sobre la roca natural (UE 50), por toda la superficie que no había sido afectada por las UUEE negativas descritas hasta ahora, ni por las excavaciones del siglo XX. En las zonas mejor conservadas, presentaba una superficie plana y horizontal, de entre -45 y -46 cm respecto a la cota cero del yacimiento,⁵⁸ factores que, unido a su relación con los coronamientos de la mayoría de las sepulturas, indican que se estuvo utilizando como nivel de circulación. En cambio, su potencia variaba mucho, desde los 2 a los 20 cm, dado que la roca que cubría presentaba numerosas irregularidades claramente naturales (Figura 2.104). Tal vez, por encima de esta capa UE 350 se extendió por todo el ámbito el pavimento UE 307 antes descrito, junto con su

⁵⁷ Parece muy probable que se trate de la misma capa de la que, tal y como se ha explicado más arriba, se recogieron abundantes fragmentos cerámicos en 1982, guardados con una etiqueta que ponía “G2N Entre las dos paredes”.

⁵⁸ Todas las cotas que se expondrán a continuación se han tomado respecto a la misma referencia. Dicha cota cero se encuentra a 113,95 metros sobre el nivel del mar.

preparación (UE 351). De hecho, este pavimento presentaba su superficie a una cota -42 cm, es decir, perfectamente coherente con la de la UE 350.

La caracterización arqueométrica de algunos morteros de Son Peretó ha permitido sugerir que el utilizado para la elaboración del pavimento UE 307, tuvo que ser coetáneo al de otro pavimento localizado en el Ámbito II del Sector Oeste, que cubría la sepultura del Enterramiento 2008-1 (Miriello *et al.* 2013 y capítulo 6 de este mismo volumen). Dado que se ha podido constatar que dicho enterramiento se efectuó durante el siglo VI (Riera Rullan, Cau y Salas 2012a; Riera Rullan, Cau y Salas 2013), se puede afirmar que el pavimento UE 307 también se debe situar en aquella centuria. Cabe señalar que se han podido detectar restos de aceite sobre el pavimento UE 307 (véase capítulo 7 de este mismo volumen; Riera Rullan y Cau 2012b).



Figura 2.30. Zona central del Ámbito Lateral Este en 2007, en el momento de reemprender las excavaciones arqueológicas (M. Riera)

Ámbito Lateral Este

El Ámbito Lateral Este (Figura 2.30) es de planta rectangular. Su límite oriental corresponde a la fachada de los pies de la basílica (UE 546), está limitado al norte por el zócalo UE 28 y al sur por el zócalo UE 359. Como límite occidental se ha trazado una línea, orientada de norte a sur, situada en la parte externa de la entrada al Ámbito Central. En su interior mide unos 12,75 m de largo (norte/sur) por unos 2 m de ancho (este/oeste). Tal y como se puede apreciar en las Figuras 1.41 a 1.46, en 1982 ya se había excavado la mayor parte de la secuencia estratigráfica de esta parte del baptisterio, pero incluso así, se conservaban niveles arqueológicos de gran interés.

En el Ámbito Lateral Este, se han podido identificar un mínimo de siete sepulcros, pertenecientes a los Enterramientos 2005-1 y 2008-5 ya descritos en el apartado anterior, y a los Enterramientos 2007-2, 2009-2, 2009-6 y 9, 2010-6, y 2011-1 (Figura 2.31). Parece que también se habría podido localizar la fosa de un enterramiento infantil (¿Enterramiento? 2010-1), pero, tal y como se verá, su atribución no es nada segura.

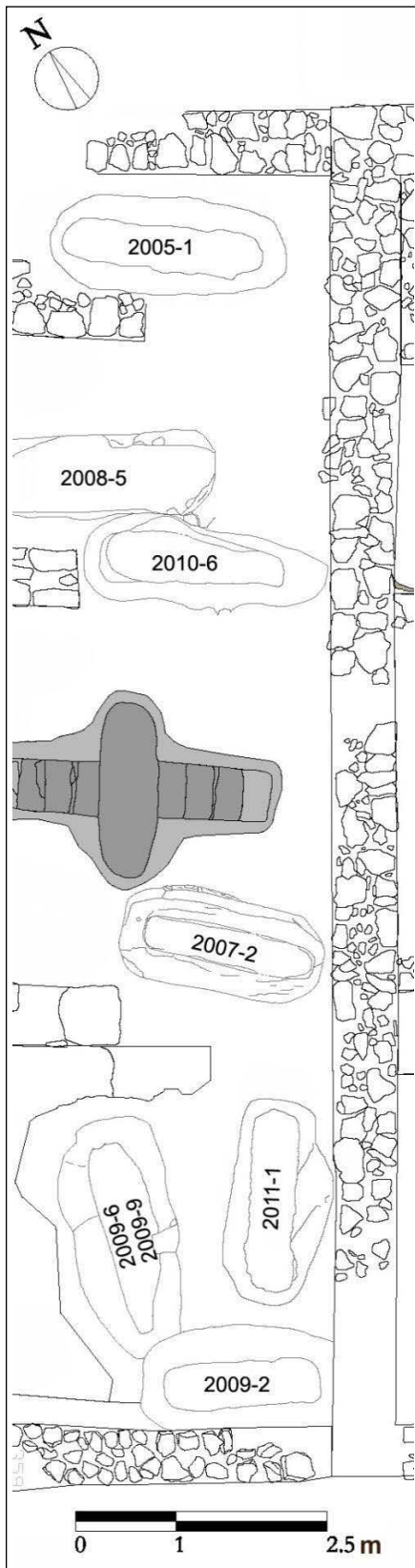


Figura 2.31. Fosas de los enterramientos del Ámbito Lateral Este (S. Alcaide, J. M. Puche, M. Riera y M. J. Rivas)



Figura 2.32. Fosa UE 416 del posible Enterramiento 2010-1 (M. Riera)

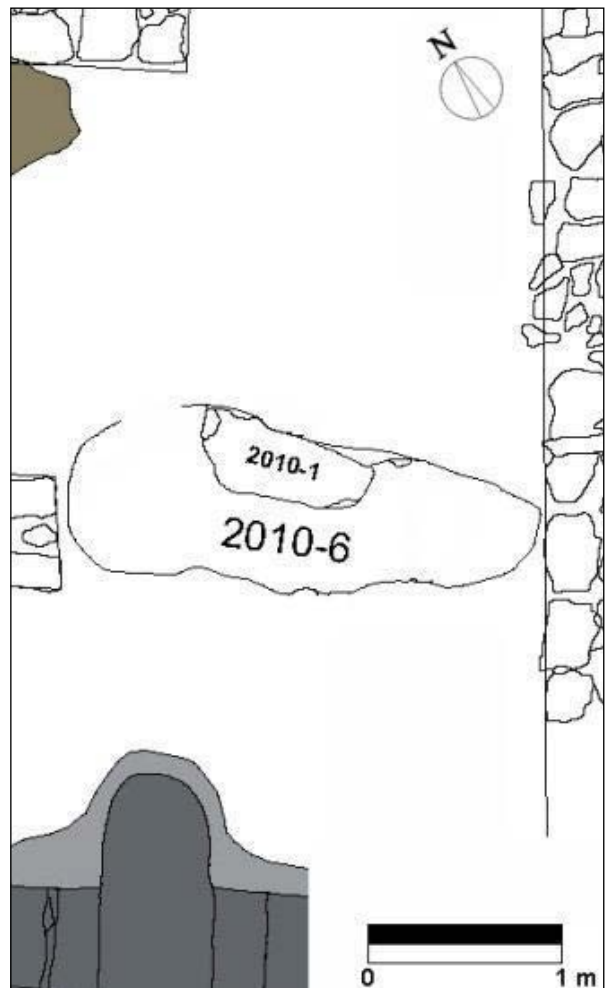


Figura 2.33. Fosa UE 416 del posible Enterramiento 2010-1 en el interior de la fosa UE 453 del Enterramiento 2010-6 (S. Alcaide y M. Riera)

El sepulcro del Enterramiento 2010-6 se encuentra inmediatamente al sur de la sepultura del Enterramiento 2008-5, pero un poco más hacia oriente. Está aproximadamente a la misma altura que el muro septentrional del Ámbito Central y presenta una orientación este/oeste. Considerando la ubicación que debería haber ocupado el basamento adosado al extremo oriental de dicho muro (véase capítulo 8) resulta manifiesto que el Enterramiento 2010-6 sería anterior a la construcción del Ámbito Central. En su interior, no se encontró ningún cadáver,⁵⁹ y son diversas las evidencias que permiten pensar que ya se habría vaciado en época antigua. Así, por ejemplo, en los distintos estratos que rellenaban su fosa (UUEE 430, 438, 444, 447, 448) no se encontró ningún material claramente posterior al siglo V. Ni tampoco ningún hueso humano, hecho que sugiere que la tumba se habría vaciado a conciencia. Por el contrario, sí que se encontraron numerosos fragmentos de *opus signinum* que parecen pertenecer al revoque de la piscina bautismal grande, de hecho, algunos incluso tenían forma de escalón.⁶⁰ También se pudo observar cómo los rellenos UUEE 430 y 438 estaban cortados por lo que podría haber sido la fosa (UE 416) de la posible tumba infantil antes citada (¿Enterramiento? 2010-1) (Figura 2.32). Esta fosa cortaba el lateral septentrional de la sepultura del Enterramiento 2010-6 (Figura 2.33). Tenía forma de bañera, de hasta 0,70 m de largo por 0,38 m de ancho en la parte más alta, y 0,50 m por 0,18 en el fondo. Presentaba unas paredes muy irregulares, con una altura máxima de 0,45 m. Su orientación era este/oeste, pero no perfectamente paralela al eje longitudinal de la basílica. Su interior estaba completamente repleto de piedras y arcilla (UE 417), entre las que había hasta 26 fragmentos de *opus signinum* que también parecía que pudieron pertenecer al revoque de la piscina bautismal grande –uno volvía a tener forma de escalón–, abundantes fragmentos de teja, cinco teselas de piedra de color gris, un asa de una lámpara de vidrio, y cuatro huesos humanos no infantiles, pertenecientes al húmero y al cráneo. En cambio, no se pudo localizar ningún hueso que se pudiese relacionar con una tumba tan pequeña.

El Enterramiento 2010-6 se había vaciado por su parte central, pero todavía quedaban en su sitio tres de las losas de su cubierta (UE 441), concretamente dos de su cabecera y una del extremo de los pies (Figura 2.34). Todas ellas eran de piedra calcárea y tenían unas formas y medidas muy irregulares. En el extremo occidental de la tumba, es decir, el de la cabeza, todavía se conservaba una capa de mortero de cal (UE 440), que ocupaba una superficie de hasta 50 cm de largo por 15 cm de ancho, y que presentaba una potencia máxima de 7 cm. Se trataba de un mortero muy podre en cal, de color blanco amarillento, y bastante compacto. Su cota superior se encontraba a -62 cm, pero debido a su mal estado de conservación, no se pudo determinar si se trataba de la cubierta que haría de pavimento sobre el sepulcro, o si se trataría de su preparación.

En el fondo de la fosa (UE 453) del Enterramiento 2010-6, aunque muy alterada, se documentó una capa de arcilla (UE 451) de color marrón oscuro, de hasta 11 cm de potencia, que parece que habría pertenecido a un lecho depositado intencionalmente para regularizar y nivelar el fondo de la sepultura (Figura 2.35). A pesar de que la fosa UE 453 había sido cortada por la del posible Enterramiento 2010-1 (Figura 2.33), así como por la del Enterramiento 2008-5, se pudo apreciar que tenía forma de bañera con rebaje para poder encajar las losas. En la parte más alta llegaba a los 2,24 m de largo, a 1 m. de ancho, y a 0,70 m de alto. En cambio, en su fondo medía un máximo de 1,80 m de largo por 0,37 m de ancho.

Por encima de las fosas del Enterramiento 2010-6 y del supuesto Enterramiento 2010-1, se localizaron dos capas de tierra de color grisáceo (UUEE 413 y 414), en las que se volvieron a encontrar abundantes fragmentos de *opus signinum* que parecían del revoque de la piscina bautismal grande. Además, en la UE 414, también se encontró un fragmento de mortero de cal que bien podría ser del revestimiento de una

⁵⁹ Cabe señalar que en un artículo reciente (Alapont, Sastre y Real 2013) se ha indicado equivocadamente que en el Enterramiento 2010-6 se había encontrado un esqueleto.

⁶⁰ Parece pues que se habría podido rellenar la fosa de dicho enterramiento durante el período temporal en el que se destruía parcialmente la piscina grande.



Figura 2.34. Cubierta de losas del Enterramiento 2010-6 (M. Riera)



Figura 2.35. Fosa UE 453 del Enterramiento 2010-6 (M. Riera)

de las cubetas localizadas a ambos lados de dicha fuente. Se estaría pues, nuevamente, delante de unos estratos que se habrían formado una vez destruida la piscina mayor y que posiblemente ayudarían a colmatar el lugar para poder nivelar y pavimentar un nuevo baptisterio. El punto más alto de la UE 413 estaba a una cota de -60 cm, pero resulta evidente que sus niveles superiores ya habían sido excavados durante el transcurso del siglo XX.

Tal y como se puede apreciar en las Figuras 2.30 y 2.36, la sepultura del Enterramiento 2007-2 ya había sido parcialmente expoliada en su mitad oriental. Esta tumba está localizada inmediatamente al sureste de la piscina bautismal grande. De ella, lo primero que se excavó fue su cubierta superior que también funcionó como pavimento exterior, hecho de *opus signinum* (UE 206), que era de color rosado, de hasta 5 cm de grosor y, aunque se encontraba en muy mal estado de conservación, todavía era bastante compacto. Por debajo, se encontró una capa de preparación y/o nivelación (UE 207), hecha con un mortero muy pobre en cal, de color blanco y de hasta 3 cm de potencia. Seguidamente se procedió a la excavación de la UE 222, correspondiente a una capa de tierra de color marrón, de hasta 12 cm de potencia, que cubría la cubierta de losas (UE 208) de la sepultura.

Aunque se encontró parcialmente rota, se pudo comprobar que la cubierta de losas (UE 208) del Enterramiento 2007-2 se había realizado con dos únicas piezas hechas de piedra caliza (*marés*), muy bien escuadradas y con unas superficies muy lisas (Figura 2.37). Con tan solo 6 cm de grosor, eran considerablemente más finas que la gran mayoría de las losas de las cubiertas de los otros sepulcros de Son Peretó.



Figura 2.36. UE 197 y pavimento UE 206 del Enterramiento 2007-2 (M. Riera)



Figura 2.37. Cubierta de losas UE 208 del Enterramiento 2007-2 (M. Riera)



Figura 2.38. Enterramiento 2007-2 (M. Riera)



Figura 2.39. UUEE 220 y 221 del Enterramiento 2007-2 (M. Riera)

En el fondo de la fosa, prácticamente no había sedimento (UE 218) y se encontró, a pesar de los episodios de expolio, un esqueleto bastante completo, pero en muy mal estado de conservación (Figura 2.38). Correspondía a un individuo adulto, probablemente de sexo femenino, que había sido depositado en posición de decúbito supino, con piernas y brazos estirados. Para realizar la sepultura de este Enterramiento 2007-2 se había excavado una fosa (UE 221), muy bien tallada, en la que su coronamiento se había regularizado con piedras y mortero de cal (UE 220) (Figura 2.40). De esta forma, se efectuó un sepulcro en forma de bañera, en el que el rebaje para encajar la cubierta de losas estaba hecho con piedras y mortero de cal (Figura 2.39). Presentaba una orientación este/oeste, muy parecida a la del posible Enterramiento 2010-1, es decir, que no era perfectamente paralela al eje longitudinal de la basílica, y que su extremo occidental estaba más a septentrión que su extremo oriental. En la parte del fondo, la fosa medía 1,70 m de largo por 0,40 m, y tenía una altura máxima de 0,60 m. Cabe señalar que



Figura 2.40. Detalle de la UE 220 del Enterramiento 2007-2 (M. Riera)



Figura 2.41. Zona de unión entre los Ámbitos Lateral Este y Lateral Sur antes del inicio de las excavaciones de 2009 (M. Riera)

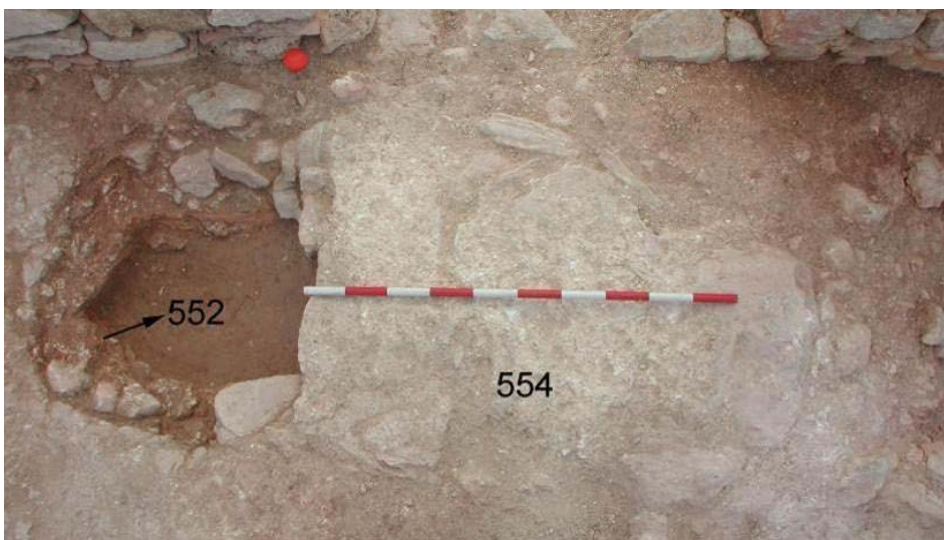


Figura 2.42. UUEE 552 y 554 del Enterramiento 2011-1 (M. Riera)



Figura 2.43. Cubierta de losas del Enterramiento 2011-1 (M. Riera)

no se identificó ningún lecho de arcilla, pero la verdad es que tampoco era necesario ya que el fondo de la fosa era considerablemente plano y horizontal.

En la zona de unión entre los Ámbitos Lateral Este y Lateral Sur, se localizaron tres sepulturas, que habían sufrido diversos grados de excavación y expolio, así como un importante deterioro por haber permanecido a la intemperie durante varias décadas sin ningún tipo de consolidación o protección (Figura 2.41).

El sepulcro del Enterramiento 2011-1 presentaba una orientación norte/sur. Estaba ubicado junto a la fachada de los pies de la basílica, bastante bien centrado en el eje este/oeste del Ámbito Lateral Sur. Todavía conservaba una parte de su cubierta/pavimento de *opus signinum* (UE 544), de un grosor máximo de 4 cm, de color rosado, con abundantes gravas de entre 1 a 2 cm y con muy pocos fragmentos cerámicos, que cubría dos terceras partes de la tumba, pero estaba perdido en la zona de la cabecera. En su conjunto el pavimento cubría una superficie de 2,10 m de largo por 1,10 m de ancho. Cabe destacar que se pudo observar cómo se adosaba al zócalo (UE 546) del muro occidental de la basílica, y como había sido cortado parcialmente durante la realización de la fosa UE 358 del Enterramiento 2009-2. Por debajo de la capa de *opus signinum*, se localizó una preparación (UE 549) hecha con abundantes gravas de entre 1 a 2 cm, ligadas con mortero de cal, que tenía una potencia máxima de 4 cm. Esta última cubría una capa de arcilla de color blanco amarillento (UE 554), de hasta 4 cm de grosor, que tapaba parcialmente las losas de la cubierta y, sobre todo, las juntas que había entre ellas. Todas estas capas (UUEE 554, 549 y 544) presentaban un corte resultado de la realización de un gran agujero (UE 552), claramente antrópico,⁶¹ mediante el cual también se habían retirado una o dos losas de la cubierta (Figura 2.42). En este agujero UE 552, colmatado por tres rellenos diferentes (UUEE 551, 553 y 560), no se encontró ningún material que permitiese datar ni el momento de su realización, ni el de su amortización. En cualquier caso, sí que se puede afirmar que, examinando la documentación generada hasta el año 1984, esta UE negativa podría ser perfectamente anterior a dicho año. Una vez vaciada, se pudo apreciar que presentaba una planta circular muy irregular, de entre 60 y 70 cm de diámetro y hasta 25 cm de profundidad.

De la cubierta de losas (UE 555) del Enterramiento 2011-1 se conservaban tres piezas de piedra calcárea, toscamente recortadas, de medidas y formas diversas (Figura 2.43). Entre ellas se identificó un fragmento de borde de TSAD Hayes 93/94/98, que aportaría un *tpq* para la cubrición del sepulcro de c. 470 (Hayes 1972: 148, 152;), c. 450 (Cavaillès-Llopis y Vallauri 1994: 100; Tortorella 1998) o, de entre los años 400 y 450 (*Atlante* 1981: 101-102, 110 y 112; Raynaud 1993b: 194). Se trataría, aproximadamente, del mismo *tpq* que proporciona un fragmento de borde con perfil de “cabeza de cerilla” localizado entre el mortero de cal de la UE 549. En cualquier caso, cabe advertir que los resultados de una prueba de ¹⁴C que se expondrán más adelante, señalan que la inhumación de esta sepultura se efectuó en una fecha muy posterior al siglo V.

Una vez retiradas las tres losas, se pudo apreciar que la fosa se encontraba completamente rellena por un sedimento arcilloso (UE 558). Sobre este, muy cerca de lo que es el eje longitudinal de la sepultura, e inmediatamente por debajo de la segunda losa empezando a contar por el extremo de los pies, se localizó la primera (558-1) de un total de nueve monedas de bronce que se habían depositado en el interior del sepulcro. Las nueve aparecieron en la UE 558, pero en distintas cotas y localizaciones.⁶² Ocho de ellas fueron fabricadas durante la segunda mitad del siglo IV, mientras que la novena, es una producción del siglo V (Marot 2012 c-k).⁶³ Precisamente esta última, fue la que se encontró en una cota inferior, y

⁶¹ Aunque, tal y como se puede apreciar en el capítulo 5, también habría sido frecuentado por un animal cuadrúpedo de pequeñas dimensiones.

⁶² Se exponen más detalles de los lugares en los que aparecieron en el capítulo 5.

⁶³ Ver más detalles en el Anexo III.

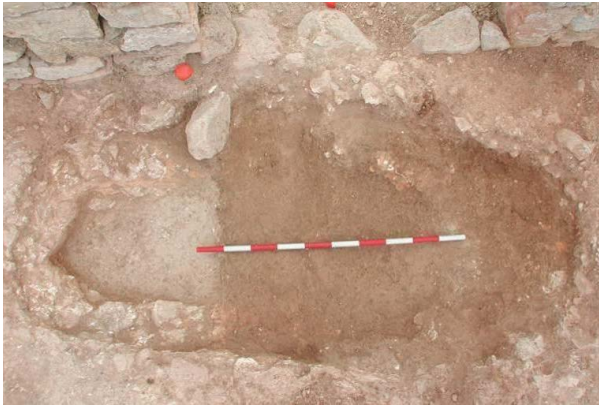


Figura 2.44. UE 558 del Enterramiento 2011-1 después de levantar las losas de su cubierta (M. Riera)

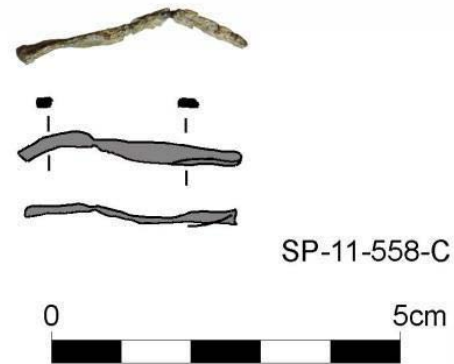


Figura 2.45. Posible portamechas de plomo de la UE 558 (A. Martínez y M. Riera)

todo apunta a que se colocó en el momento de depositar el cadáver o, incluso, un poco antes. Por tanto, aporta un *tpq* de c. 400, respecto a la fecha en la que se realizó el sepelio del Enterramiento 2011-1.

Aunque la capa UE 558 rondaba los 0,40 m de potencia, no se identificó ningún cambio significativo en su composición (Figura 2.44). Estaba compuesto por una arcilla de color gris claro, muy fina, con unas escasas piedrecitas y algunos carbones siempre muy pequeños. Parecía pues corresponder a filtraciones naturales, un hecho que sería corroborado por el análisis antropológico efectuado a partir de la colocación de los huesos del esqueleto encontrado en el interior del sepulcro. En cambio, además de las monedas, en esta UE 558 también se recuperaron alrededor de unos setenta fragmentos cerámicos, normalmente de reducidas dimensiones, dos pequeños fragmentos de vidrio, y una pequeña pieza de plomo que, tal vez, podría haber formado parte de un portamechas (Figura 2.45). No obstante, destacaba, sobre todo, la presencia de gran cantidad de huesos de fauna –más de cien–, y de caracoles terrestres –más de 85–.

Por debajo del relleno UE 558, quedó a la vista todo el esqueleto de un individuo adulto, senil, de sexo masculino, que se encontraba en posición de decúbito supino, con los brazos y las piernas estirados, y la cabeza a septentrión y los pies a mediodía (Figura 2.46). Tal y como se ha anunciado más arriba, se ha realizado una prueba de ^{14}C a partir de uno de sus huesos. Esta ha aportado una datación cal d. C. 660AD (86,9%) 780AD / 790AD (8,5%) 870AD (*calibrated date 95,4% probability*), es decir, que muestra un *tpq* para la fecha de su defunción considerablemente más moderna que la que indican todos los materiales cerámicos, vítreos y numismáticos expuestos anteriormente.

El cuerpo de la persona inhumada en esta sepultura descansó sobre un lecho (UE 574), de hasta 12 cm de potencia, realizado con una arcilla de color marrón, fina y bastante compactada. Una vez retirada toda esta capa de arcilla, se pudo contemplar la fosa (UE 557) del sepulcro en toda su extensión (Figura 2.47). Tenía forma de bañera con un rebaje para poder encajar la cubierta de losas. En su coronamiento, la fosa medía hasta 2,10 m de largo, 1,05 m de ancho, y hasta 0,75 m de alto, mientras que, en su fondo, llegaba a un máximo de 1,80 m de largo por 0,40 m de ancho.

Aprovechando la intervención en la zona del Enterramiento 2011-1, se procedió a la excavación del sedimento que había entre este y la fachada occidental de la basílica. A primera vista parecía que se podía identificar la típica capa de tierra de color rojizo, con gravas o piedrecitas, que suele aparecer directamente sobre la roca natural, por casi todas las partes del yacimiento en las que se ha trabajado desde el año 2005,⁶⁴ y sobre la que descansan los zócalos de las edificaciones de los Sectores Sur y Oeste,

⁶⁴ Como la UE 350 del Ámbito Lateral Norte ya descrita y que también ocupaba gran parte del Ámbito Lateral Oeste.



Figura 2.46. Enterramiento 2011-1 (M. Riera)



Figura 2.47. Fosa del Enterramiento 2011-1 (M. Riera)

así como el de la pared occidental del baptisterio. Sin embargo, en este caso, la capa de tierra rojiza (UE 577), que estaba claramente cortada por la fosa del Enterramiento 2011-1, no pasaba por debajo, sino que se adosaba claramente al zócalo UE 546 del muro occidental de la iglesia. En esta zona, la capa UE 577 tenía una potencia máxima de 7 cm y, desgraciadamente, no se encontró ningún material que pudiese ayudar a precisar el momento de su deposición.⁶⁵ En cualquier caso, tal y como se irá exponiendo, parece evidente que se habría producido durante la construcción del baptisterio más moderno.

Por debajo de la capa UE 577, se localizó la trinchera de cimentación del muro occidental de la basílica (UE 578). En su interior, además del zócalo UE 546, se identificó un relleno (UE 579) que ocupaba el espacio que rondaba los 10 cm de ancho y hasta 8 cm de alto, y que iba desde dicho zócalo hasta el corte occidental de la trinchera. Era un relleno de arcilla de color marrón, muy fina y compactada, en la que tan solo se pudieron encontrar dos pequeños huesos de animal.

Al sur de la sepultura del Enterramiento 2011-1 y de la capa UE 577, se localizó otra tumba (Enterramiento 2009-2), cuya fosa (UE 358) cortaba dicha capa y, también, diversos elementos de la cubierta del sepulcro del Enterramiento 2011-1. Tal y como se puede apreciar en las Figuras 1.46 y 1.47, en 1982 la sepultura del Enterramiento 2009-2 ya estaba vacía o, como mínimo, parcialmente vacía. De hecho, en 2009 ya no se encontró ningún hueso humano en su interior y, en cambio, sí que presentaba un relleno (UE 355) en el que había numerosos desechos del siglo XX. Esta tumba, con una orientación este/oeste, se había encajado justo en el ángulo sureste del baptisterio (Figura 2.48). Se pudo apreciar que conservaba parte

⁶⁵ Tan solo se encontró un pequeño fragmento de borde de cerámica, hecha a mano, de tradición prehistórica autóctona.

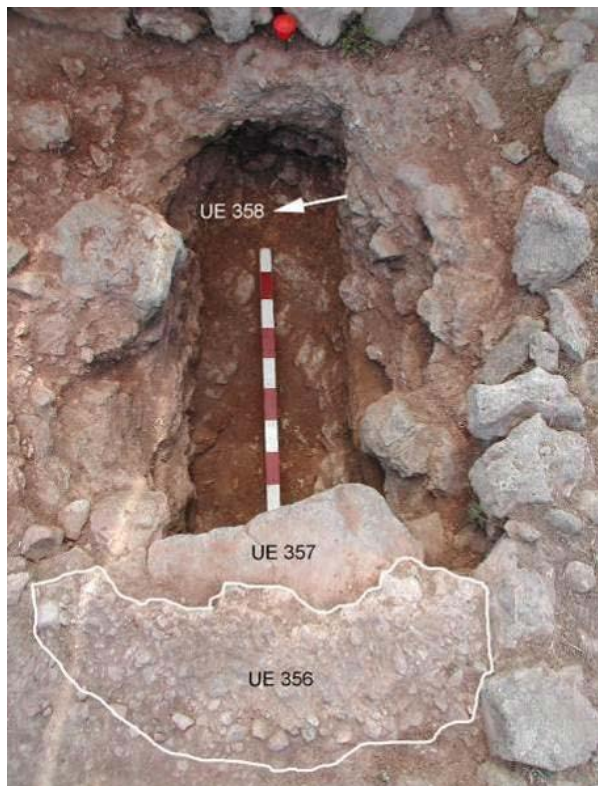


Figura 2.48. UUEE originales del Enterramiento 2009-2 (M. Riera)

de su cubierta en su extremo de poniente, formada por tres capas diferentes. La superior estaba hecha con un *opus signinum* (UE 356), de hasta 6 cm de grosor, que se encontraba muy deteriorado y que se deshacía con facilidad. Era de color rosado y presentaba gravas y abundantes fragmentos cerámicos pertenecientes a cerámicas comunes, ánforas, téglulas, ímbrices, y a un fragmento de base de TSAA. Por debajo, se identificó una capa de tierra, tal vez con un poco de cal, de hasta 2 cm de potencia. Finalmente, se pudo apreciar una única losa calcárea, bastante bien escuadrada (UE 357).

La fosa del Enterramiento 2009-2 (UE 358) era en forma de bañera, en la que tan solo se pudo identificar un poco de rebaje en su extremo occidental para la colocación de la cubierta de losas –seguramente dicho rebaje se debió desmoronar al quedar a la intemperie–. En su fondo medía un máximo de 1,60 m de largo y hasta 0,50 m de ancho. Conservaba una altura máxima de hasta 0,77 m. Aunque la fosa de este enterramiento estaba gravemente afectada por las excavaciones y/o expolios del siglo XX, parece que cortaba la estructura UE 408, así como la fosa de los Enterramientos 2009-6 y 9 que se describirán a continuación.

Medio metro al oeste del sepulcro del Enterramiento 2011-1, se localizó un gran agujero alargado, que estaba lleno hasta arriba, pero que era fácil de delimitar ya que cortaba la roca natural y, además, estaba rodeado de *opus signinum* por sus cuatro costados (Figura 2.41). En su interior, lo primero que se excavó fue la capa superficial UE 21. Una vez retirada quedó a la vista un gran relleno (UE 371), de hasta 0,40 m de potencia, formado por una gran cantidad de piedras de mediano o gran tamaño, y algunos fragmentos de losa que bien podrían haber sido de la cubierta de alguna tumba (Figura 2.49). Todos estos elementos pétreos se habían colocado con cierto cuidado para no dejar huecos entre ellos. Gracias a los materiales del siglo XX recuperados, entre los que se encontraba una peseta de 1975, se evidenció que su colocación tuvo que ser posterior a aquel año. Tal vez, pues, se trataba de una de las tumbas excavadas en los años 80.



Figura 2.49. UE 371 (M. Riera)



Figura 2.50. UE 373, 374 y 399 (M. Riera)



Figura 2.51. Detalle de la rebaba hecha en el signino UE 373 que se adosa al muro meridional del Ámbito Central (M. Riera)



Figura 2.52. Detalle de la rebaba hecha en el signino UE 373 que se adosa al muro meridional del Ámbito Central (M. Riera)

Por debajo del gran relleno UE 371, apareció una capa de arcilla de color marrón (UE 399), muy compactada, entre la que se apreciaba algún escaso fragmento de hueso humano. Pero antes de proceder a su excavación, se efectuó el alzamiento de la única losa de la cubierta (UE 374) que todavía conservaba la sepultura. Aquella estaba localizada en su extremo septentrional, era de piedra calcárea, muy poco desbastada, y todavía estaba parcialmente cubierta por un pavimento de *opus signinum* (UE 373) (Figura 2.50). Este, aunque muy deteriorado, se pudo apreciar que era el mismo pavimento que ocupaba una superficie mucho mayor que la de la sepultura, y que llegaba hasta el zócalo del muro meridional del Ámbito Central, al cual se adosaba. Es exactamente lo mismo que se puede observar en las fotografías de 1967, por ejemplo, las de las Figuras 1.15 y 1.16. En ellas, al igual que en la Figura 2.51 y 2.52, se puede apreciar una rebaba que ya se había reflejado en la planimetría de 1967 (Figura 1.13). Esta, atravesaba, de norte a sur, todo el Ámbito Lateral Sur, cruzando justo por encima del sepulcro en el que se localizaron los Enterramientos 2009-6 y 9. También corría, adosada y paralela, al muro meridional del Ámbito Central, y a la estructura UE 408 que se describirá en el siguiente apartado. Por todo ello, parece que, al este de la susodicha rebaba, debió de erigirse alguna estructura, o elemento vertical, ya desaparecido en 1967, que tendría una orientación norte/sur, y que podría haber dividido el espacio interno del Ámbito Lateral Sur. Incluso, observando la planimetría y las fotografías de 1967, bien pudiera ser que, en su extremo meridional, se hubiera abierto una abertura.

El relleno UE 399, además de una arcilla muy fina, también presentaba abundantes fragmentos de la roca natural desprendida de las paredes de la tumba. Todo apunta a que correspondía al resultado de las filtraciones naturales y al desmoronamiento de la fosa, una impresión que sería corroborada por el hecho de no encontrar en su interior ningún material mueble y, también, por la aparición de los esqueletos de los Enterramientos 2009-6 y 9 en muy buen estado de conservación y con la mayoría de sus huesos todavía colocados en posición primaria (Figura 2.53).

La presencia de la capa de arcilla UE 399, en las que no se documentaron materiales del siglo XX, y que parecía constituir una interfase, así como el hecho de que se encontraba cubriendo los esqueletos de los Enterramientos 2009-6 y 9, sugieren que sobre dicha arcilla podría haberse colocado un tercer esqueleto (¿Enterramiento? 2009-A), que se habría excavado o expoliado en un momento posterior a 1967.⁶⁶ De hecho, entre el coronamiento de la fosa y la superficie de la UE 399, existía un desnivel de unos 0,60 m, es decir, que era más que suficiente para poder colocar un nuevo cadáver.

A partir de la observación de cómo estaban colocados los esqueletos, se pudo determinar que no se habían enterrado en el mismo momento, sino que primero se había depositado el Enterramiento 2009-6 (Figura 2.54) y, un tiempo después, el Enterramiento 2009-9. Observando la forma de los laterales de la fosa (UE 372), también se podía apreciar cómo esta había sido ampliada hacia el este para poder colocar el segundo cadáver, una ampliación que, por cierto, no se había realizado con tanto esmero como en la fosa originaria, de la que se conservaría todo el lateral occidental y sus extremos.

El Enterramiento 2009-9, localizado en la parte oriental del sepulcro, correspondía a un individuo adulto de sexo femenino, mientras que el 2009-6, situado en el costado occidental, era de un individuo adulto de sexo masculino. Los dos se habían depositado en decúbito supino, con los pies hacia el sur y la cabeza hacia el norte. El Enterramiento 2009-9 estaba parcialmente sobre el costado izquierdo del 2009-6. Los resultados de las pruebas de ¹⁴C realizadas a partir de huesos de estos dos individuos han aportado los siguientes resultados (*calibrated date 95,4% probability*): 250AD (14,0%) 300 AD / 310AD (81,4%) 430AD para el Enterramiento 2009-6, y 340AD (3,3%) 370 AD / 380 (92,1%) 540 AD para el Enterramiento 2009-9. Por tanto, según ellos, los dos enterramientos se habrían realizado con anterioridad al c. 540 d. C., el 2009-6 en un momento posterior al año 250 y el 2009-9 al año 340.

⁶⁶ En Son Peretó, se han documentado casos similares en el Sector Sur (Riera Rullan, Cau y Salas 2012b).



Figura 2.53. Enterramientos 2009-6 y 2009-9 (M. Riera)



Figura 2.54. Enterramiento 2009-6 (M. Riera)

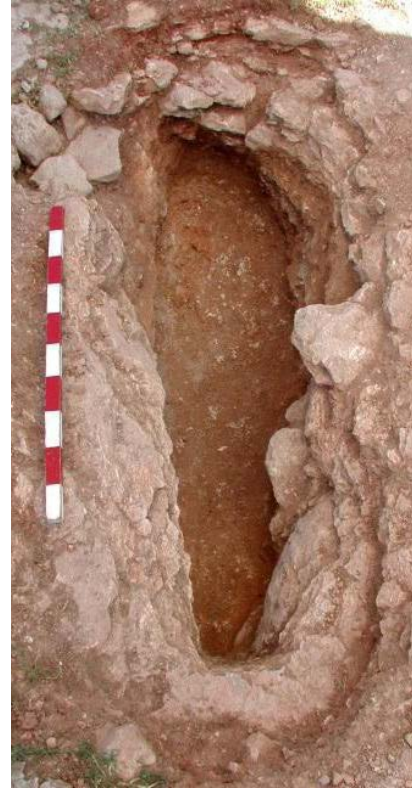


Figura 2.55. Fosa de los Enterramientos 2009-6 y 2009-9 (M. Riera)

Por debajo de los dos Enterramientos 2009-6 y 9, se localizó un lecho (UE 400) realizado con una arcilla de color marrón, de hasta 4 cm de potencia, que sirvió para aplanar y nivelar el fondo de la sepultura. Finalmente, se pudo apreciar que la fosa de los dos enterramientos medía, en su coronamiento, hasta 2,40 m de largo y hasta 1,10 m de ancho, mientras que en su fondo medía un máximo de 2,10 m de largo, por 0,40 m de ancho en la cabecera, 0,75 m en su cuarto norte, 0,48 m en su cuarto sur, y 0,25 m en el extremo de los pies (Figura 2.55). La altura máxima de la fosa era de 0,85 m. Aunque se había realizado en dos etapas, seguía manteniendo forma de bañera. También presentaba un rebaje para encajar la cubierta de losas, que estaba mucho mejor tallado en la parte original que en la ampliación.

En el Ámbito Lateral Este, también se procedió a la excavación alrededor de la mitad oriental de la piscina bautismal mayor. Tal y como se puede apreciar en las Figuras 1.10, 1.11, 1.35, 2.30, 2.56 y 2.57, y en las publicaciones de las intervenciones de los años 60 del siglo pasado, esta zona era una de las que más se había intervenido del yacimiento. También se pueden apreciar algunas de las fases de la restauración del coronamiento de dicha piscina. Aun así, tal y como se describirá a continuación, quedaba una parte sin excavar.

De esta forma, inmediatamente al norte de la escalera oriental de la piscina, se pudo detectar un agujero (UE 461) relacionado con los trabajos de restauración del siglo XX. En su interior, además del coronamiento (UE 460) (Figura 2.58) que se añadió a la piscina, se localizó un relleno hecho de tierra y abundantes piedras (UE 462). Dicho agujero cortaba diversos rellenos (UE 429 y 437) que amortizaban un recorte (UE 428). También cortaba lo que parecía un pavimento (UE 465) hecho con piedras medianas y pequeñas colocadas planas y ligadas con un poco de arcilla de color marrón. Este se había colocado justo en el fondo del recorte UE 428.



Figura 2.56. Extremo oriental de la piscina bautismal en 1982 (Diario P. de Palol)



Figura 2.57. Zona central del Ámbito Lateral Este en 2007 antes de iniciar la excavación alrededor de la piscina bautismal (M. Riera)

Por la localización, sus cotas, y viendo que el recorte UE 428 parecía solidario al del foso (UE 199), en cuyo interior se construyó la piscina mayor, parece que aquel pudo haber servido como de escalera para poder entrar y salir con más facilidad del foso UE 199 y/o para facilitar a los operarios el acceso a los materiales utilizados para la construcción de la fuente. De entre los materiales recuperados en la UE 437, se pueden destacar tres teselas de piedra y tres fragmentos de portamechas de plomo (Figura 2.59 y 2.60). También se localizaron cuatro fragmentos de vidrio, de entre los cuales había uno con el borde con perfil de “cabeza de cerilla” que se puede remontar, como mucho, al siglo V (Sánchez de Prado 2009). Aunque es cierto que la zona estaba muy afectada por las excavaciones y las restauraciones del siglo XX, no parece que estos materiales puedan tener un carácter intrusivo, ya que la UE 437 estaba sellada por la UE 429, de hasta 0,20 m de potencia, y hecha con un mortero que, aunque pobre en cal, todavía se mantenía compacto. Por tanto, se puede afirmar que el fragmento de borde con perfil de “cabeza de cerilla” permite proponer un *tpq* de c. 400 para la construcción de la piscina mayor.

Seguidamente se procedió a la excavación de una parte de los distintos rellenos que había entre la estructura, hecha de obra, de la piscina (UE 489), y los cortes oriental y septentrional del gran foso UE 199 (Figura 2.61, 2.62).⁶⁷ Conviene indicar que ninguno de ellos presentaba una superficie plana, y que su grosor no era homogéneo. El superior (UE 463) era de un mortero rico en cal, de color blanco y bastante compactado, de una potencia de unos 10 cm. Por debajo, se encontró una capa (UE 466), de

⁶⁷ Aunque no se excavaron completamente para no poner en peligro la estabilidad de las paredes de la piscina.

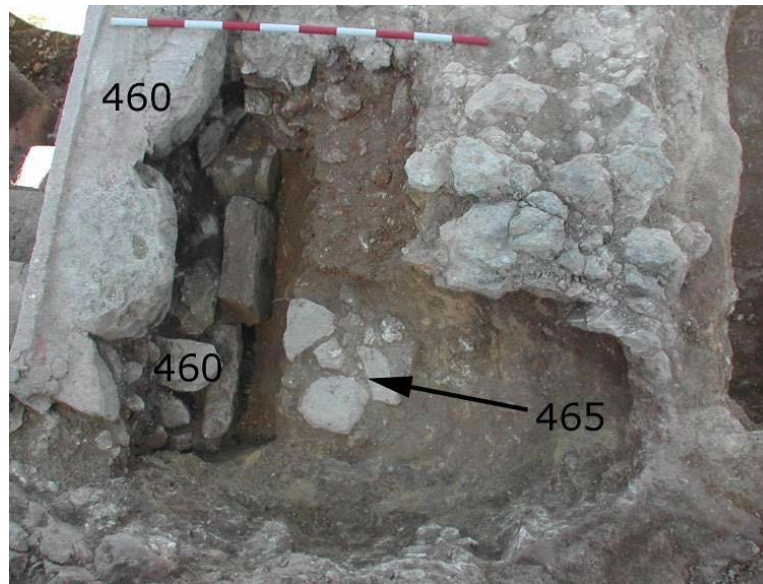


Figura 2.58. UUEE 460 y 465, esta última, en el interior del recorte UE 428 (M. Riera)

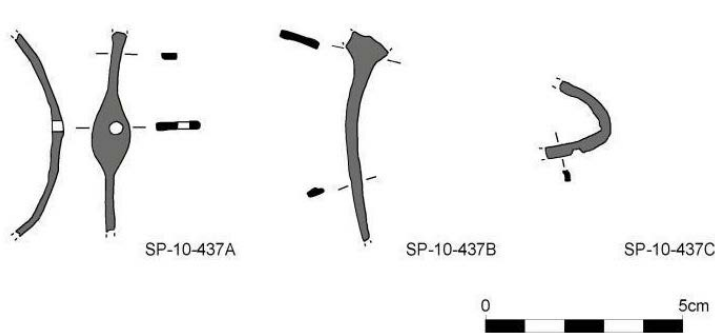


Figura 2.59. Portamechas de plomo de la UE 437 (A. Martínez y M. Riera)



Figura 2.60. Portamechas de la UE 437 (M. Riera)

hasta 0,25 m de espesor, formada fundamentalmente por lascas de piedra que bien podrían pertenecer al momento de la realización del foso UE 199. También presentaba un poco de arcilla de color naranja, muy parecida a la de ciertas vetas naturales que aparecen por la zona. Cabe señalar que en su interior se volvieron a encontrar diversas teselas de piedra. Una vez retirada la UE 466, se documentaron dos rellenos más de piedras ligadas con mortero de cal. El superior (UE 467), tenía una potencia máxima de 0,60 m y, el inferior (UE 488) de 0,30 m. Se diferenciaban por el hecho de que el inferior presentaba piedras considerablemente más grandes. Por debajo de la UE 488, ya apareció el fondo del foso UE 199. Lamentablemente, ni en la UE 467 ni en la 488 se hallaron materiales arqueológicos que aporten información relevante respecto a la fecha de fundación de la piscina.

Inmediatamente a mediodía de la escalera oriental de la piscina, se practicó un sondeo similar al descrito en su lado septentrional. Allí se localizó lo que podía parecer un pavimento (UE 197) pero, una vez analizadas las cotas superiores de los distintos elementos del lugar (Figura 2.36), parece más factible que fuese una preparación para nivelar el terreno y colocar el auténtico pavimento. Estaba realizado con un mortero de cal de color blanco, aparentemente igual que el de la UE 463. Rellenaba la parte superior de la gran fosa UE 199, presentaba un grosor de entre 1 y 5 cm, y su cota superior estaba a - 67 cm.



Figura 2.61. Rellenos del foso UE 199 en su ángulo noreste (M. Riera)

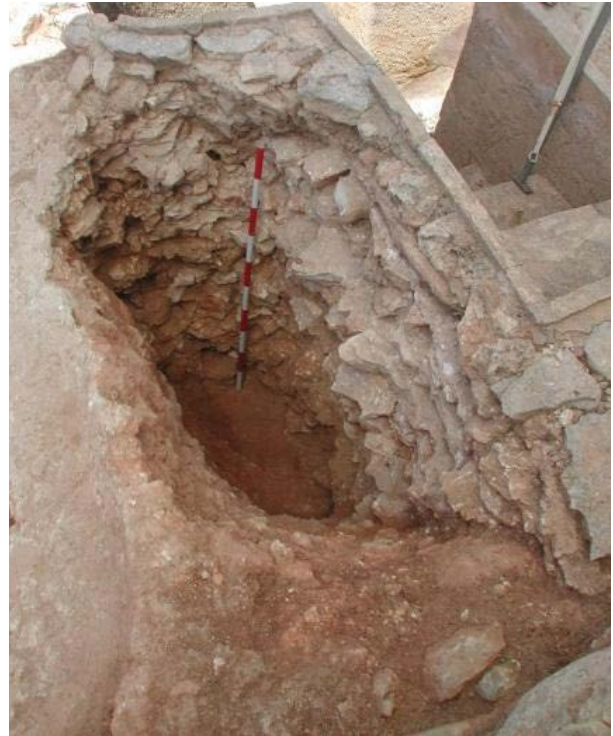


Figura 2.62. Rellenos del foso UE 199 en su ángulo sureste (M. Riera)

Por debajo de la UE 197, se localizó un segundo relleno (UE 198) del foso UE 199. Su composición era muy similar a la de la UE 466 antes descrita, pero, en este caso, prácticamente no había tierra entre las piedras y, además, esta era de color beige. Su potencia máxima era de 0,40 m. El tercer relleno identificado (UE 486), era muy parecido al anterior, pero presentaba unas piedras de mayor tamaño. Su potencia llegaba a los 0,35 m. Finalmente, el relleno inferior (UE 520) de este extremo sureste del foso UE 199, estaba formado por piedras y mortero de cal idéntico al de los rellenos UE 467 y 488 del ángulo noreste de la fosa. Otra vez se debe lamentar la falta, en los rellenos UE 197, 198, 486 y 520 (Figura 2.62), de materiales arqueológicos que ayuden a fijar la fecha de construcción de la piscina.

A partir de los dos sondeos realizados en ambos lados de la escalera oriental de la piscina, se pudo apreciar que esta consistía en una estructura de piedras (UE 489) (Figura 2.63), normalmente de menos de 10 cm de grosor, bastante escuadradas y colocadas planas, ligadas con el mismo mortero de cal de las UUEE 467, 488 y 520. En la parte central de dicha estructura, se fue dejando el hueco que daría forma al interior de la piscina, el cual quedó impermeabilizado por la colocación de un revoque hecho de *opus signinum*. En su mitad oriental (Figura 2.64), el foso de fundación UE 199 medía un máximo 2,10 m de ancho (norte/sur) y 1,10 m de alto. Presentaba unas paredes que no eran ni bien rectas ni bien verticales, de hecho, la fosa se va estrechando a medida que aumenta su profundidad. Presenta unos ángulos bastante redondeados. El proceso de excavación permitió en definitiva obtener importantes datos sobre la construcción de la piscina grande y del todo el Ámbit Lateral Este del baptisterio (Figura 2.65)



Figura 2.63. Cara exterior (meridional) de la estructura UE 489 que da cuerpo a la piscina mayor (M. Riera)



Figura 2.64. Extremo oriental del foso UE 199 y de la estructura UE 489 que da cuerpo a la piscina mayor (M. Riera)



Figura 2.65. Final de excavación en la parte central del Ámbito Lateral Este (M. Riera)

Ámbito Lateral Sur

El Ámbito Lateral Sur es de planta rectangular. En su interior mide unos 3,80 m de ancho (norte/sur). Su límite oriental corresponde a la fachada de los pies de la basílica (UE 546), está limitado al sur por los zócalos UE 359 y 424 y al norte por el muro meridional del Ámbito Central. Tal y como se verá, su límite occidental prácticamente había desaparecido, aunque, en la planimetría y las fotografías de los años 80 (Figuras 1.42, 2.66 y 2.67), parece que quedaban tres piedras de la cara interior del zócalo UE 06.

En las fotografías de 1982 también parece identificarse una UE negativa que, de norte a sur, atraviesa el extremo occidental del Ámbito Lateral Sur. En 2005, ya había desaparecido gran parte, pero todavía se pudo localizar su extremo de poniente, ya que allí empezaba un pavimento de *opus signinum* que también se puede apreciar en las Figuras 2.66 a 2.68.⁶⁸ Las características de la arista oriental de este signino muestran claramente cómo se tuvo que adosar a un elemento vertical preexistente que ya había desaparecido en el año 1982. El hecho de que no se haya identificado ninguna evidencia de trincheras de cimentación relacionadas con alguna de las paredes del baptisterio, parece imposibilitar que dicha

⁶⁸ El “enlosado” al que se refiere S. Alcaide (2011: 120), cuando describe esta zona del yacimiento, empieza cuatro metros más hacia poniente, y se debe relacionar con el Ámbito I del Sector Oeste, más que con la entrada al baptisterio (Riera Rullan, Cau y Salas 2013: 121).



Figura 2.66. *Ámbito Lateral Sur en 1982 (Diario P. de Palol)*



Figura 2.67. *Extremo occidental del Ámbito Lateral Sur en 1982 (Diario P. de Palol)*



Figura 2.68. *Detalle de la UE negativa del extremo occidental del Ámbito Lateral Sur en 1982 (Diario P. de Palol)*

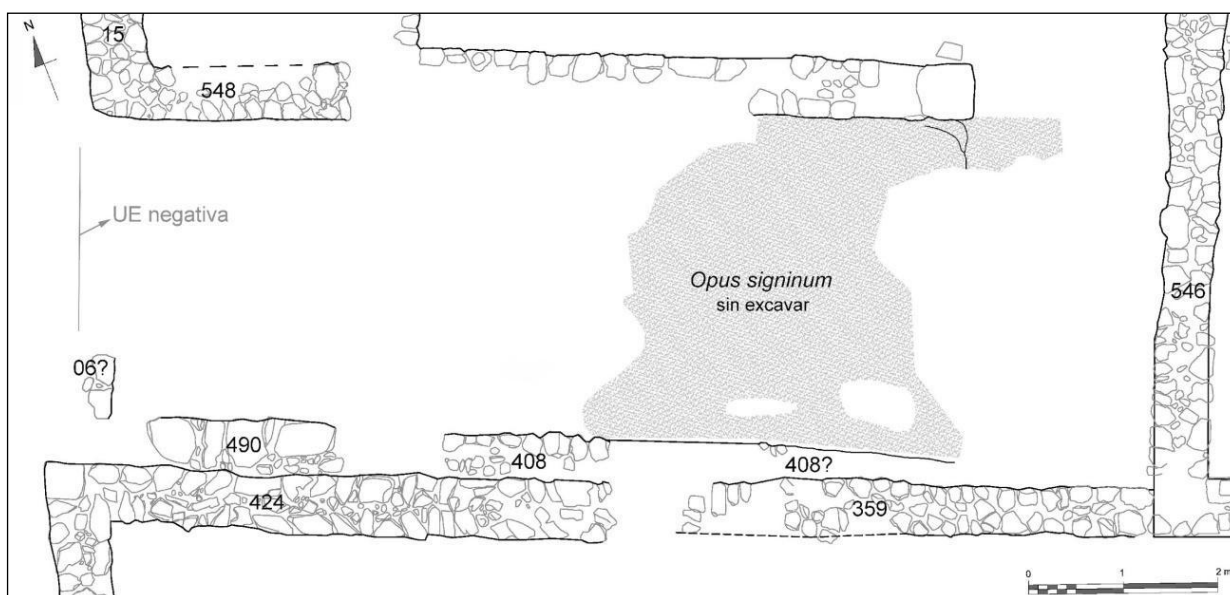


Figura 2.69. *Planta del Ámbito Lateral Sur con indicación de algunos de sus elementos (S. Alcaide, J. M. Puche y M. Riera)*



Figura 2.70. Área Lateral Sur en 1982 (Diario P. de Palol)



Figura 2.71. Detalle de la rebaba en el extremo meridional del Área Lateral Sur en 1982 (Diario P. de Palol)

UE negativa corresponda a la trinchera de cimentación de su muro occidental. De hecho, se ha podido comprobar que no está alineada con el zócalo UE 06. Por todo ello, parece que se pueden plantear dos posibilidades para la UE negativa. La primera, que sea efectivamente una trinchera de cimentación pero que no esté relacionada con la fase de construcción del baptisterio, sino que corresponda a una etapa anterior.⁶⁹ La segunda, que esté relacionada únicamente con una trinchera de expolio de la que se arrancaron los elementos pétreos de su interior, que podrían ser también de una fase anterior a la construcción del baptisterio ya que, tal y como se verá en el apartado dedicado al Área Lateral Occidental, su extremo occidental está perfectamente alineado con la cara de poniente del zócalo UE 15. También cabe la posibilidad de que sea la trinchera de expolio de algún elemento del umbral de la entrada al baptisterio que estuviese retranqueado respecto a la fachada del edificio. En este último caso, bien podría ser un elemento que ya estaría en uso en fases anteriores, o colocado *ex novo*, pero adaptado a edificaciones preexistentes. Dado el enorme arrasamiento de los elementos de esta zona, tal vez no se puedan resolver nunca estas cuestiones.

De la pared meridional del baptisterio todavía se conservaban dos grandes tramos de sus zócalos (UUEE 359 y 424). A ellos, por su cara septentrional, se les adosaban dos estructuras (UUEE 408 y 490) que, tanto por sus diferentes medidas y técnicas constructivas, como por sus distintas cotas de fundación, parece que no formarían parte de un mismo elemento (Figura 2.69). La estructura UE 408 se encontró mucho más deteriorada que la UE 490. De hecho, aparte de haber sido, muy probablemente, cortada por la fosa del Enterramiento 2009-2, había desaparecido casi por completo en sus dos terceras partes más orientales, aunque se pudo constatar a partir de la rebaba presente en el extremo meridional de las distintas capas de *opus signinum* que todavía cubre la mitad oriental del Área Lateral Sur (Figuras 2.74 a 2.77). Dichas capas y la rebaba se conservaban mucho mejor en el año 1982, tal y como se puede apreciar en las Figuras 1.41, 2.70 y 2.71.

Se ha podido interpretar que la UE 408 tuvo que ser, como mínimo, de hasta 5 m de largo. En el tramo mejor conservado, tiene una sola hilada, hecha con piedras de mediano tamaño ligadas con arcilla. Presenta una única cara vista, la de septentrión, y un relleno hecho con piedras más pequeñas con

⁶⁹ Tal vez, incluso podría estar relacionada con la posible trinchera de cimentación del zócalo UE 548 que se describirá un poco más adelante.

abundante arcilla. En total, tiene una anchura máxima de 0,55 m.⁷⁰ Es la misma anchura que tiene la estructura UE 490, localizada a 1,10 m al oeste de la UE 408. Sin embargo, en este caso, tan solo mide 1,88 m de largo y su cara vista consta de cuatro grandes sillares colocados planos (Figuras 2.72, 2.73).⁷¹ Entre estos y la pared meridional del baptisterio (UE 424) quedaba muy poco espacio, y fue rellenado con pequeñas piedras y arcilla. Toda esta estructura UE 424 presenta una superficie considerablemente plana y horizontal, un hecho que corroboraría su uso como banco. También se debe destacar que, justo delante de él se encuentra una de las sepulturas del lugar, la del Enterramiento 2010-2.⁷²

Por sus medidas, localización y características constructivas, estas estructuras UE 408 y 490 se interpretan como banquetas asociadas a las sepulturas que hay en sus inmediaciones.⁷³ En las fotografías y la planta de 1982 (Figuras 1.41 y 1.42) ya se puede intuir la enorme densidad de sepulcros que había en la mitad oriental del Ámbito Lateral Sur. De todos ellos, entre tres y cuatro ya se habían vaciado antes del siglo XXI (Enterramientos 2009-2, 2009-5 y 2009-7 y, tal vez, el ¿Enterramiento? 2009-A), mientras que entre los años 2009 y 2011 se excavaron los de los Enterramientos 2009-6, 2009-9 y 2011-1. Todos estos sepulcros ya se han descrito en el apartado anterior, excepto dos. Son los que pertenecerían a los Enterramientos 2009-5 y 2009-7. Estos que ya se habían vaciado durante el siglo XX (Figuras 1.41 y 2.71) y no aportaron ningún hueso humano en su interior. Por sus medidas, no cabe duda de que pertenecieron a individuos infantiles. Así, la fosa del Enterramiento 2009-5 medía un máximo de 0,76 m de largo, 0,20 m de ancho y hasta 0,12 m de alto. Tenía forma de bañera, y no se detectó ningún rebaje para poder encajar la cubierta de losas. La fosa del Enterramiento 2009-7 tenía también forma de bañera, pero presentaba unas paredes muy irregulares y, en este caso, sí que tenía un rebaje para poder encajar las losas. Su longitud máxima era de 0,88 m, su anchura de hasta 0,54 m y su altura de hasta 0,38 m.

Los Enterramientos 2009-5 y 2009-7 presentaban una orientación este/oeste, y para realizar sus fosas se tuvieron que cortar los signinos del lugar. Parece que se encuentran a los pies de dos sepulcros más. En este caso, a pesar de no haberlos excavado,⁷⁴ parece evidente que se trataría de sepulcros de adultos orientados de norte a sur (Enterramientos 2009-B y 2009-C).⁷⁵

En la mitad occidental del Ámbito Lateral Sur, también había una concentración de sepulcros, aunque no tan densa como la de la mitad oriental (Figura 2.78). En total se pudieron localizar cuatro sepulturas (Enterramientos 2010-2, 2010-5, 2010-7 y 2010-8), todas ellas con una orientación este/oeste. Esta vez, al contrario de lo acontecido en la mitad oriental, sí que se pudo excavar toda la secuencia estratigráfica conservada en el lugar, excepto el sedimento que había justo por debajo de la estructura UE 490.

La sepultura del Enterramiento 2010-2 estaba situada en el extremo sureste del Ámbito, tal y como se ha dicho, justo delante de la estructura UE 490. Su cubierta se encontró muy deteriorada y perdida en su mayor parte. No era de extrañar ya que era la que presentaba una cruz en relieve hecha sobre el signino (Figuras 1.1 y 1.3), que ya se había arrancado en tiempos de J. Aguiló, y que está actualmente

⁷⁰ A partir de la observación de la rebaba antes citada, parece que esta estructura UE 408 sería unos centímetros más estrecha en su extremo oriental (Figura 2.69).

⁷¹ Sus medidas son: 60 x 40 x 20; 42 x 52 x 15; 20 x 53 x 22 y 48 x 50 x 22 cm.

⁷² De hecho, justo delante de la parte mejor conservada de la estructura UE 408, también hay otra sepultura (Enterramiento 2010-5).

⁷³ También se había planteado la posibilidad de que fuesen estructuras para reforzar el muro meridional del baptisterio, sin embargo, tal y como se expondrá más adelante, parece más coherente pensar que formaron parte de dos bancos corridos adosados a la pared. Reforzaría esta interpretación que, probablemente, la estructura UE 408 fue cortada durante la realización de la fosa del Enterramiento 2009-2. Parecería tener más sentido que, para la ejecución de una sepultura, se hubiese procedido a cortar una banqueta y no un muro de refuerzo, sin el que, se volvería a poner en peligro la estabilidad del edificio.

⁷⁴ Esta zona no se ha llegado a excavar. Se ha dejado como reserva para futuras generaciones.

⁷⁵ Sus límites ya habían sido identificados entre 1982 y 1984 (Figura 1.42).



Figura 2.72. Extremo occidental de la estructura UE 408 al inicio de la campaña de 2009 (M. Riera)



Figura 2.73. Estructura UE 490 al inicio de la campaña de 2009 (M. Riera)

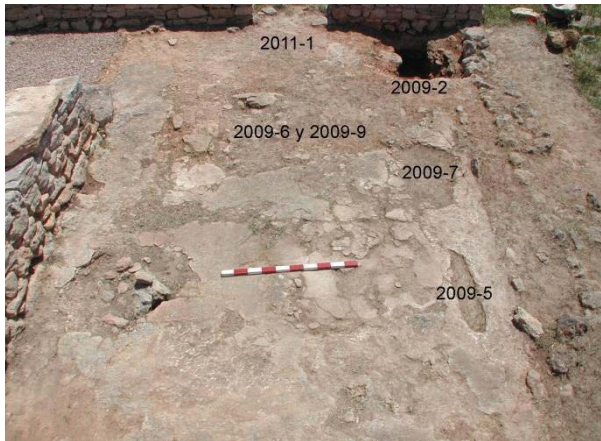


Figura 2.74. Enterramientos excavados hasta día de hoy en la mitad oriental del Ámbito Lateral Sur al inicio de la campaña de 2009 (M. Riera)



Figura 2.75. Fosa del Enterramiento 2009-5 (M. Riera)



Figura 2.76. Fosa del Enterramiento 2009-7 (M. Riera)



Figura 2.77. Mitad oriental del Ámbito Lateral Sur al final de la campaña de 2009 (M. Riera)



Figura 2.78. Sepulcros de la mitad occidental del Ámbito Lateral Sur al inicio de las excavaciones de 2010 (M. Riera)

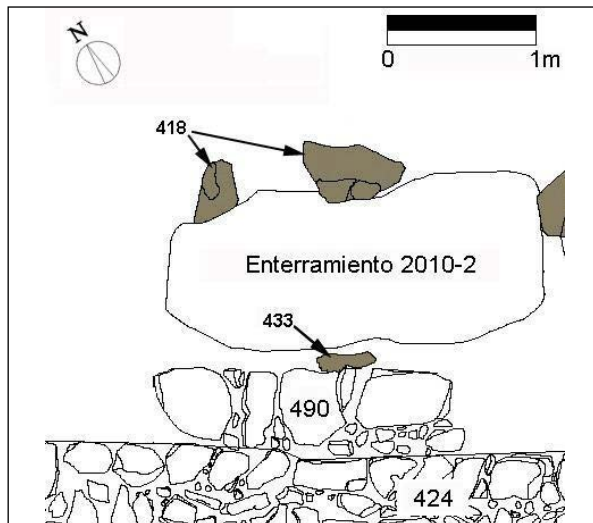


Figura 2.79. Fragmentos de opus signinum UE 418 y UE 433 del coronamiento de la fosa del Enterramiento 2010-2 (S. Alcaide y M. Riera)



Figura 2.80. Fragmento de opus signinum (¿UE 433?) con cruz en relieve del Enterramiento 2010-2 (Riera Rullan 2009: 1)



Figura 2.81. Agujero UE 445 y cubierta del Enterramiento 2010-2 (M. Riera)

expuesta en el Museu d'Història de Manacor (Riera Rullan 2009: 106 y 136). A principios del siglo XX, se localizó un esqueleto de un hombre en su interior (Aguiló 1920: 7). La descripción de las distintas capas que lo cubrían ya permitía intuir que se trataba de una tumba reutilizada varias veces. Apuntaba en la misma dirección el hallazgo de diversos fragmentos de *opus signinum*, todavía *in situ*, alrededor del coronamiento de su fosa, que parecían corresponder a distintas fases, ya que los había que estaban hechos con unos materiales claramente diferenciables a simple vista (UUEE 418 y 433) (Figura 2.79). Cabe señalar que se pudo apreciar que el de la UE 433 pasaba por debajo de la banqueta UE 490, y que, visualmente, era muy parecido al de la cruz del museo (Figura 2.80).

Por otra parte, en el fragmento de *opus signinum* UE 418 localizado a septentrión de la tumba, se pudieron apreciar restos de otro relieve que no podía ser de la misma cruz. Tan solo conservaban unos 15 cm de largo por 10 cm de ancho, y medía hasta 5 cm de alto. Tal vez se trataba de una cruz más antigua que se desmontó para reabrir la sepultura, pero la verdad es que el fragmento conservado era tan pequeño que no es posible restituir toda su forma. Por debajo de los fragmentos de *opus signinum* UE 418, se



Figura 2.82. Agujero UE 445, relleno UE 456 y cubierta del Enterramiento 2010-2 (M. Riera)



Figura 2.83. Restos humanos localizados en el interior de la fosa del Enterramiento 2010-2 (M. Riera)



Figura 2.84. Fosa del Enterramiento 2010-2 (M. Riera)



Figura 2.85. Elementos del sepulcro del Enterramiento 2010-5 (M. Riera)

localizaron tres capas más antes de llegar a la cubierta de losas. La superior estaba hecha con mortero de cal (UE 419), la intermedia de piedras de mediano tamaño (UE 420), y la inferior otra vez de mortero de cal (UE 421). A medida que se iban excavando estas capas se pudo identificar un gran agujero (UE 445), de planta aproximadamente circular, localizado en el extremo noroeste de la tumba (Figura 2.81 y 2.82). Su diámetro máximo en su coronamiento era de hasta 1,15 m, el de su fondo era de 0,80 m, y su altura máxima era de 0,20 m. En el interior, se localizó un único relleno (UE 446), compuesto por una tierra de color marrón oscuro, muy compactada, con algunas piedras de menos de 10 cm de largo, en la que tan solo se documentaron tres pequeños fragmentos de cerámica de época antigua indeterminada. Aunque estaba localizado en una zona muy alterada por las excavaciones del siglo XX y por ser uno de los lugares por donde más suelen pasar los visitantes, parece que podría ser uno de los elementos más antiguos del lugar. De hecho, se ha podido constatar que estaba cortado por la fosa (UE 492) de la tumba del Enterramiento 2010-2 (Figura 2.82). En cualquier caso, se desconoce completamente su función, así como los momentos de fundación y uso.

De las cinco losas que presentaba a principios del siglo XX (Aguiló 1920: 7) el sepulcro del Enterramiento 2010-2, tan solo se localizaron tres, y solo una, la más occidental, permanecía en su sitio original. Ocupaban el extremo de la cabecera y eran de piedra calcárea. Estaban trabajadas muy toscamente y tenían formas y medidas muy diversas. En el interior de la fosa, se halló una potente capa, de hasta 0,50 m de potencia, hecha con piedras y tierra (UE 415), que también presentaba abundantes elementos del siglo XX. Por debajo, apareció un relleno (UE 456), arcilloso y nada compacto, mezclado con bolsas de arena y residuos del siglo XX, que tapaba un conjunto amontonado de restos humanos removidos, pertenecientes a un mínimo de tres individuos adultos (Alapont, Sastre y Real 2013) (Figura 2.83).

Una vez retirados todos los huesos, se pudo apreciar que en el fondo de la fosa todavía se conservaba un lecho realizado con unas arcillas de color rojizo, de hasta 4 cm de potencia (UE 476). Finalmente, se pudo constatar que la fosa UE 492 presentaba forma de bañera con el rebaje para encajar la cubierta (Figura 2.84). En su coronamiento llegaba a los 2,70 m de largo y a 1,30 m de ancho, mientras que en su base medía un máximo de 2,15 m de largo por 0,48 m de ancho. Su altura máxima era de 0,75 m. En su ángulo suroeste se había regularizado parte de su rebaje con una serie de losetas ligadas con mortero de cal (UE 491), con el objetivo de tapar un agujero que presentaba la roca natural del lugar.

El sepulcro del Enterramiento 2010-5 estaba localizado inmediatamente al este del perteneciente al del Enterramiento 2010-2. Los dos estaban perfectamente alineados, y presentaban una orientación idéntica. En 2010, el Enterramiento 2010-5 estaba completamente “explotado”,⁷⁶ tanto, que en su interior no se encontró ningún resto humano.⁷⁷ En cambio, sí que presentaba un gran relleno (UE 431) hecho con abundantes piedras y una tierra de color gris, entre las que había distintos materiales del siglo XX. Retirado este relleno, se pudo apreciar que en el fondo de la fosa todavía se conservaba una capa de arcilla (UE 435), de hasta 10 cm de potencia, que, muy probablemente, pertenecía al lecho vertido intencionadamente en su interior.

La sepultura, en su extremo oriental, todavía conservaba una pequeña parte de su cubierta superior (UE 454). Estaba hecha con una capa de *opus signinum*, de entre 2 a 6 cm de grosor, que no presentaba una superficie bien plana.⁷⁸ Se pudo comprobar que se adosaba a la estructura UE 408 y, muy probablemente, al pavimento de *signinum* que hay en la parte central del ámbito que, tal y como se ha comentado, no se ha llegado a excavar. También se pudo comprobar que cubría una preparación de mortero de cal de hasta 4 cm de potencia.

En el extremo noroeste de esta sepultura del Enterramiento 2010-5, se conservaba otro fragmento de *opus signinum* (UE 450) (Figura 2.85), esta vez sí que bien plano, que también parecía pertenecer a su cubierta, pero cuya composición era considerablemente diferente a la de la UE 454. Parecía que, tal y como se ha visto que sucedió en el sepulcro del Enterramiento 2010-2, esta sepultura pudo ser abierta y sellada varias veces. En el fragmento conservado de la UE 450, de unos 8 cm de grosor, y de unos 0,50 m de largo por entre 0,40 y 0,50 m de ancho, se localizaron numerosos cantos rodados pequeños y abundantes fragmentos cerámicos. De entre estos últimos, destacan diversos fragmentos de TSAD. Uno de ellos pertenecería al tipo Hayes 88, que parece empezar a fabricarse a inicios del siglo VI (*Atlante* 1981: 92-93; Hayes 1972: 136), entre los años 500 y 550 (Raynaud 1993b: 193) o, entre los años 533 y 550 (Reynolds 1995: 31 y 34), aunque también hay investigadores que no descartan su inicio a finales del siglo V (Bonifay 2004: 175 y 177; Tortorella 1998). Se ha identificado un fragmento de borde asimilable al tipo Hayes 99A o B que, como se ha visto más arriba, parece que se pudo empezar a fabricar entre los años 480/500 d. C. También se recuperaron dos pequeños fragmentos de borde que parecen corresponder a páteras de los tipos Hayes 104 o 105 y que, por tanto, no serían anteriores a los años 475/500 d. C. (*Atlante* 1981: 94-95; Bonifay 2004: 183; Cau 2003: 29; Fulford y Peacock 1984: 73-74; Ramon y Cau 1997: 274 y 276; Pieri 2005: 57; Raynaud 1993b: 195; Reynolds 1995: 23, 31, 2007: 38 y 74; Tortorella 1998). Además, se halló también un fragmento de cerámica común, aparentemente ibicenca, que presenta una decoración incisa que representa hojas de palmera, un tipo decorativo que no se habría producido hasta después de c. 535 d. C. (Ramon 1986: 32, 2008: 571 y 574). Gracias a estos materiales se puede afirmar, pues, que en este sepulcro se enterró con posterioridad al c. 480/500 e incluso, después de c. 535.

⁷⁶ No se ha podido determinar si había sido vaciado durante las excavaciones del siglo XX o por las acciones de los explotadores.

⁷⁷ Pocos años atrás se había afirmado, equivocadamente, que en 2010 se había encontrado un esqueleto en su interior (Alapont, Sastre y Real 2013).

⁷⁸ Por la inclinación y el desnivel que conservaba, parece que la parte central de la cubierta podía estar sobreelevada respecto a sus contornos, pero se desconoce completamente la altura que pudo llegar a tener.

El coronamiento de la fosa de la sepultura del Enterramiento 2010-5 (UE 452) tenía una longitud máxima de 2,35 m y una anchura de 0,75 m. En cambio, en su parte inferior tan solo llegaba a los 2,05 m de largo por 0,50 m de ancho. La altura máxima de la fosa era de 0,50 m. Era en forma de bañera, con trazas de haber dispuesto de un rebaje para encajar la cubierta, pero había diversos tramos en los que estaba muy erosionado.

La sepultura del Enterramiento 2010-7 estaba localizada en el ángulo noroeste del ámbito. En el año 2010 todavía conservaba parte de su cubierta de *opus signinum* (UE 457), pero en muy mal estado.⁷⁹ Llegaba a los 4 cm de grosor y presentaba algunas piedrecitas y escasos fragmentos cerámicos. Por debajo, se localizó una preparación (UE 458), de hasta 3 cm de potencia, hecha con un mortero muy pobre en cal y que presentaba abundantes fragmentos cerámicos. Cabe destacar que entre ellos se identificaron dos fragmentos de borde de TSAD. Uno corresponde a un ejemplar del tipo Hayes 88, del que ya se ha indicado anteriormente que se considera que se habría podido empezar a fabricar a finales del siglo V (Bonifay 2004: 175 y 177; Tortorella 1998). En cambio, el otro fragmento sería considerablemente más moderno, ya que parece que se puede asimilar al tipo Hayes 99C que no se habría empezado a producir hasta los años 560/580 (Hayes 1972: 155; Raynaud 1993e: 195). En la misma línea, S. Tortorella (1998) contemplaba el tipo Hayes 99C como posterior a la primera mitad del siglo VI y solo lo identificaba en contextos de finales del siglo VI/inicios del siglo VII o posteriores. M. Bonifay (2004: 181) ha argumentado que son unas cerámicas que aparecieron hacia finales del siglo VI, pero que se documentan principalmente durante el siglo VII. Por otra parte, en esta UE 458 también se encontró un fragmento de cuello de cerámica común, supuestamente ibicenca, con decoración incisa polilineal que se considera posterior al c. 535 d. C. (Ramon 1986: 32, 2008: 571 y 574). Por tanto, se puede proponer que el sellado de la sepultura del Enterramiento 2010-7 no se habría producido antes del siglo VI y, muy probablemente, después de finales de dicha centuria.

La capa de mortero UE 458 cubría diversos niveles de piedras y arcillas (UUEE 459, 471, 474, 475, 484 y 485), depositados de manera ordenada y meticulosa para asegurar un buen sellado del sepulcro y evitar hundimientos (Figura 2.86). Todos juntos llegaban a tener una potencia de hasta 0,30 m. La forma en que estaban colocados los distintos niveles parece indicar que la sepultura, en época antigua, se habría reabierto y vuelto a tapar a conciencia. Estos niveles UE 475, 484 y 485 cubrían una cubierta de un total de ocho losas (UE 512) (Figura 2.87). Estas eran de piedra calcárea, muy poco retocadas, y de diversas dimensiones y formas.

La parte de la fosa (UE 513) situada por debajo de las losas apareció mayoritariamente vacía. En ella tan solo se documentó una pequeña concentración de sedimentos (UE 497), resultado de las filtraciones naturales y del desmoronamiento parcial de las paredes del sepulcro. Estos sedimentos cubrían parcialmente los restos de un esqueleto perteneciente a un individuo adulto de sexo masculino, que se había colocado en posición de decúbito supino, con brazos y piernas estirados (Figura 2.88). Este descansaba sobre un lecho realizado con unas arcillas de color naranja, de hasta 8 cm de grosor (UE 514).

Una prueba de ¹⁴C realizada a partir de un hueso perteneciente, en principio, al esqueleto del Enterramiento 2010-7, ha aportado los siguientes resultados: 330AD (80,9%) 440AD / 450AD (14,5%) 540AD (*calibrated date 95,4% probability*).⁸⁰

⁷⁹ Mucho más degradada de lo que se puede apreciar en las fotografías de 1982 (Figuras 2.66 y 2.67).

⁸⁰ Debe advertirse que, aunque pequeña, existe la posibilidad de haberse producido un error en el etiquetado de la muestra realizada y, no se puede descartar completamente que, en lugar de pertenecer al Enterramiento 2010-7, sea del Enterramiento 2010-8. En cualquier caso, las evidencias detectadas de una reapertura de la tumba en Época Antigua hacen que los resultados de ¹⁴C no sean incompatibles con el hecho de haber encontrado los materiales antes citados, localizados en el interior de la cubierta de *opus signinum* (UE 457), y que aportan un *tpq* de finales del

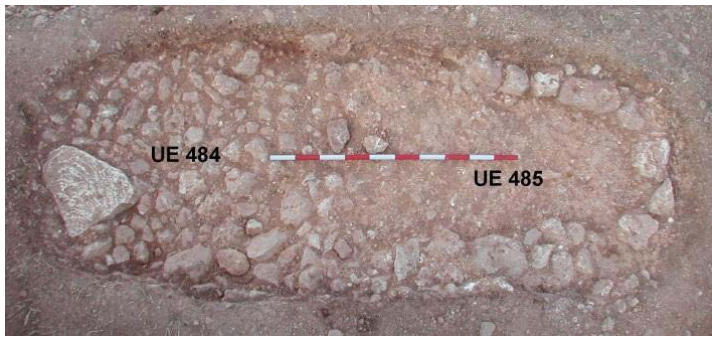


Figura 2.86. UE 484 y UE 485 del Enterramiento 2010-7 (M. Riera)



Figura 2.87. Cubierta de losas UE 512 del Enterramiento 2010-7 (M. Riera)



Figura 2.88. Enterramiento 2010-7 (M. Riera)

La fosa (UE 513) del Enterramiento 2010-7 tenía forma de bañera con un rebaje para encajar la cubierta, considerablemente más alto y ancho que el de la mayoría de las tumbas de Son Peretó. En la parte más alta tenía una longitud máxima de 2,70 m y una anchura de hasta 1,15 m. En la base, medía un máximo de 2,25 m por 0,60 m. Su profundidad máxima llegaba a 1 m.

El sepulcro aparentemente más antiguo de la mitad occidental del Ámbito Lateral Sur es el perteneciente al Enterramiento 2010-8. Estaba localizado inmediatamente a mediodía de la fosa del Enterramiento 2010-5, la cual cortaba diversos elementos del anterior. También se pudo observar que la estructura UE 408 cubría parcialmente la fosa del Enterramiento 2010-8. La parte más alta conservada de esta fosa (UE 530) estaba amortizada por la capa UE 470, de unos 4 cm de potencia, compuesta por un sedimento fino de color gris muy compactado (Figura 2.89). Conviene remarcar que estaba cortada por la fosa del Enterramiento 2010-5 y que se adosaba a la estructura UE 408. En su interior, se localizó un fragmento de borde de TSAD asimilable al tipo Hayes 99B o C, que permite proponer un *tpq* para su momento de

siglo VI para el momento de su construcción. Tampoco se puede descartar que se hubiese realizado una reparación de la cubierta del sepulcro.



Figura 2.89. UE 470 encima del Enterramiento 2010-8 (M. Riera)

formación y, también para el de la realización de la fosa del Enterramiento 2010-5. Este *tpq* oscila entre los años 525 (Tortorella 1998) y 530 (Hayes 1972: 155; Raynaud 1993b: 195).⁸¹

Ya en el interior de la fosa UE 530 se excavaron dos rellenos que la colmataban completamente. El superior (UE 472), de hasta 0,20 m de potencia, estaba formado por una arcilla de color gris amarillento, y presentaba abundantes fragmentos de mortero de cal o de *opus signinum*, así como numerosos fragmentos cerámicos.⁸² Por su composición, parece muy probable que corresponda al momento de la destrucción del coronamiento de la sepultura para poder construir la estructura UE 408, la sepultura del Enterramiento 2010-5, o ambas. En cambio, el segundo relleno (UE 483), de 0,12 m de potencia, estaba compuesto tan solo por una arcilla de color marrón y fragmentos de cerámica. Este cubría el único esqueleto presente en el fondo de la fosa. Pertenece a un individuo adulto de sexo masculino, que estaba colocado en posición de decúbito supino. Descansaba sobre un lecho de arcilla de color naranja (UE 529), de hasta 6 cm de grosor. La parte de la fosa conservada no superaba los 0,40 m de altura. Este hecho, sumado a que no se localizó ninguna evidencia del rebaje para su cubierta, ni ningún rastro de ella, permiten considerar que su coronamiento tuvo que ser sustancialmente recortado. En la base, dicha fosa mide un máximo de 1,85 m de largo por 0,50 m de ancho (Figura 2.90).

Alrededor de las fosas de los Enterramientos 2010-2, 2010-5, 2010-7 y 2010-8, y por debajo de las estructuras UE 408 y 490, se localizaron unas capas de tierra (UUEE469, 507 y 565), de hasta 0,20 m de potencia, que tuvieron que ser aportadas al interior del Ámbito Lateral Sur una vez se había construido su pared meridional (UE 424). Estas presentaban las mismas características que la UE 577 que, tal y como se ha dicho, se adosaba a la fachada de la basílica. Todo apunta a que se vertieron para nivelar el terreno y unificar y realzar la cota de circulación de este ámbito.

Por debajo de las UUEE 469, 507 y 565, ya aparecía la típica tierra rojiza de los niveles más antiguos del yacimiento (UE 575) o directamente la roca natural (Figura 2.91, 2.92). La única excepción estaba

⁸¹ En la misma línea, M. Bonifay (2004: 181) no considera el inicio de la producción del tipo Hayes 99B anterior al segundo cuarto del siglo VI. Por todo ello, no parece seguro dar por buena su aparición en Cartagena durante el primer cuarto de dicho siglo (Murcia *et al.* 2005: 15).

⁸² Entre ellos había tres fragmentos de borde de TSAD, pero, con tan alto grado de fragmentación, no es segura su adscripción a ningún tipo específico. Por todo ello, no se consideran válidos para poder situar cronológicamente el momento de formación de esta UE 472.



Figura 2.90. Fosa del Enterramiento 2010-8 (M. Riera)



Figura 2.91. UUEE 469, 507 y 565 de la mitad occidental del Ámbito Lateral Sur (M. Riera)



Figura 2.92. Fotografía del final de la excavación en el Ámbito Lateral Sur, en la que se puede apreciar el afloramiento de la roca natural (M. Riera)



Figura 2.93. Tramo del zócalo UE 424 por debajo del cual se encontró un fragmento de borde de TSAD perteneciente al tipo Hayes 104 (M. Riera)

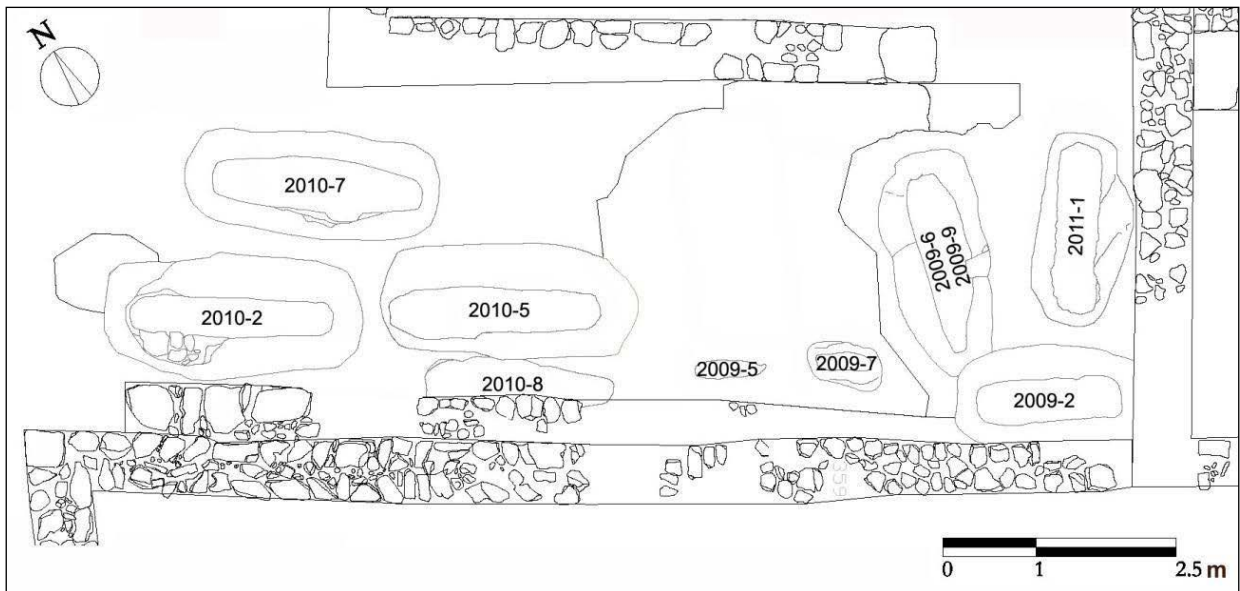


Figura 2.94. Fosas de los enterramientos del *Ámbito Lateral Sur* (S. Alcaide, J. M. Puche y M. Riera)

relacionada con una unidad negativa (UE 508), aparentemente antrópica, que podría estar relacionada con un agujero de palo. Estaba localizado casi en el eje longitudinal del ámbito, 0,45 m al este de la fosa del Enterramiento 2010-5. Medía 32 cm de largo (norte/sur), 20 cm de ancho (este/oeste) y hasta 15 cm de alto. Estaba completamente lleno de un sedimento (UE 509) de color marrón que presentaba abundantes bolitas de cal y microcarbones. Por las relaciones físicas observadas, tuvo que estar en uso durante el proceso de construcción del baptisterio, o con anterioridad.

Conviene remarcar que, justo por debajo del tramo mejor conservado del zócalo UE 424 de la pared meridional del ámbito (Figura 2.93),⁸³ se localizó un fragmento de pátera de TSAD asimilable al tipo Hayes 104, posiblemente A, gracias al cual se puede proponer un *tpq* para el baptisterio de entre los años 475/500 d. C. (*Atlante* 1981: 94-95; Bonifay 2004: 183; Cau 2003: 29; Fulford y Peacock 1984: 73-74; Pieri 2005: 57; Ramon y Cau 1997: 274 y 276; Raynaud 1993b: 195; Reynolds 1995: 23, 31; 2007: 38 y 74; Tortorella 1998). Justo al lado también se encontró un fragmento de borde de vidrio del tipo “cabeza de cerilla” con hilos aplicados vítreos, tal vez perteneciente a un plato, de los que aparecen en los contextos de los siglos V a VII d. C., pero sobre todo de los dos últimos (Sánchez de Prado 2009).

En el momento en el que se acabó la excavación de esta zona, parecía que el extremo occidental del zócalo UE 424 era solidario con uno de los muros del Sector Sur. De confirmarse, estaría mostrando que los dos se construyeron en un mismo momento. Pero conviene indicar que este último muro no se ha descubierto del todo y, además, observando su única cara visible, parece presentar diversas fases. Tampoco se puede descartar que para su construcción se hubiese procedido a recortar parcialmente la esquina suroeste del baptisterio para así trabar mejor las dos edificaciones. Queda pendiente pues excavar el exterior del baptisterio, y del *Ámbito A* del Sector Sur, para resolver estas cuestiones. La excavación del *Ámbito Lateral Sur* permitió en definitiva documentar un buen número de tumbas en el interior del baptisterio (Figura 2.94).

⁸³ Conservaba hasta tres hiladas y una altura de hasta 0,5 m.

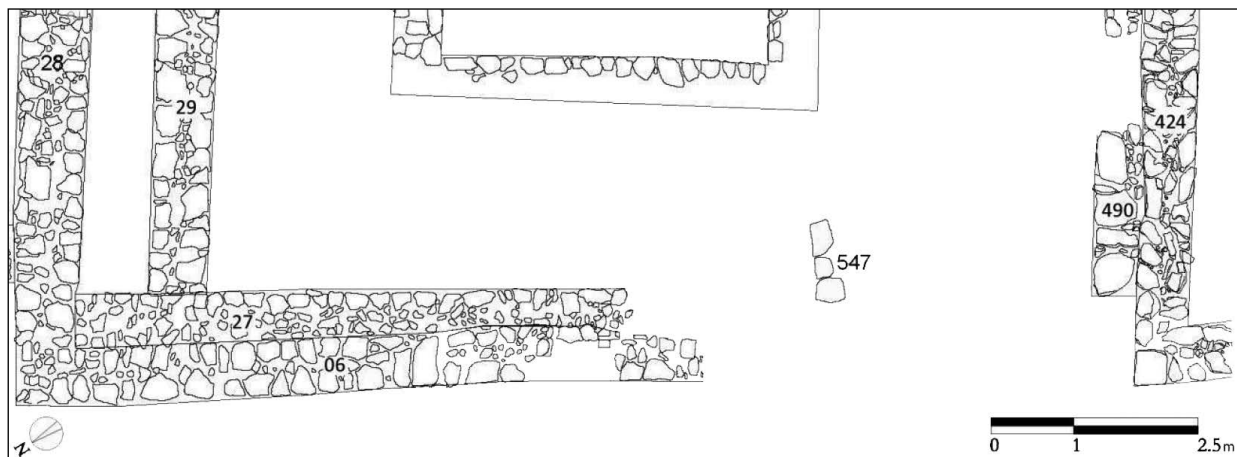


Figura 2.95. Planta del Ámbito Lateral Oeste con indicación de algunos de sus elementos (S. Alcaide y M. Riera)

Ámbito Lateral Oeste

El Ámbito Lateral Oeste es de planta rectangular y, en su interior, mide unos 12,80 m de largo (norte/sur) por unos 2,75 m de ancho (este/oeste) (Figura 2.95). Sus límites septentrional, occidental y meridional corresponden, respectivamente, a los zócalos UE 28, UE 06 y UE 424. Como límite occidental se ha trazado una línea situada en la parte externa del muro occidental del Ámbito Central, y a la que se le ha dado una orientación norte a sur.

Mediante la observación de las relaciones físicas entre los distintos estratos y las estructuras del presente ámbito, se pudo observar que los dos elementos conservados más modernos del lugar correspondían a las UUEE 29 y 547. El primero ya se ha descrito en el apartado dedicado al Ámbito Lateral Norte. Por lo que respecta al segundo, se pudo observar que ya se había descubierto en 1982 (Figuras 1.42, 1.48, 1.49 y 2.95). Aunque esta zona estaba muy arrasada, tanto por lo que se podía observar en las fotografías del siglo pasado, como por lo atestiguado entre los años 2005 y 2011 (Figuras 2.95, 2.97 y 2.98), la estructura UE 547 (Figura 2.96) tuvo que ser solidaria del refuerzo UE 27 o, anterior a él, pero siempre posterior al zócalo UE 06. Se pudo apreciar que presentaba una orientación este/oeste, perpendicular al zócalo citado, y se desconoce completamente su función.

Son cuatro las sepulturas localizadas en el Ámbito Lateral Oeste (Figura 2.99). Dos de ellas, que presentaban una orientación este/oeste, ya se han expuesto en el apartado anterior (Enterramientos 2010-2 y 2010-7). En cambio, las otras dos, con una orientación norte/sur, se expondrán a continuación (Enterramientos 2005-2 y 2008-4).

La fosa del Enterramiento 2005-2, localizada en la parte central del ámbito, se excavó completamente en 1982 (Figuras 1.48, 1.49). En 2005, tan solo se pudo constatar que tenía forma de bañera con rebaje para encajar la cubierta, y que, en su coronamiento, llegaba a los 2,50 m de longitud y a los 0,95 de amplitud. Tenía una profundidad máxima de 0,74 m y en su base medía 2,10 m de largo por hasta 0,40 m de ancho. Gracias a las fotografías de 1982, se sabe que estuvo cubierta por un total de seis losas, aparentemente de piedra calcárea, toscamente trabajadas, y de diversas formas y medidas.

La sepultura del Enterramiento 2008-4 también estaba situada en la parte central del Ámbito Lateral Oeste, inmediatamente al noreste de la del Enterramiento 2005-2. Su cubierta ya había desaparecido parcialmente en el año 2005, pero todavía conservaba todas sus losas *in situ*. Por encima de estas, en la parte conservada intacta de la mitad septentrional del sepulcro, se documentaron hasta 5 niveles



Figura 2.96. UE 547 en 1982 (Fons Palol-ICAC FG-0314)



Figura 2.97. Ámbito Lateral Oeste en 2005 (M. Riera)



Figura 2.98. Enterramiento 2005-2 en el año 2005 (M. Riera)

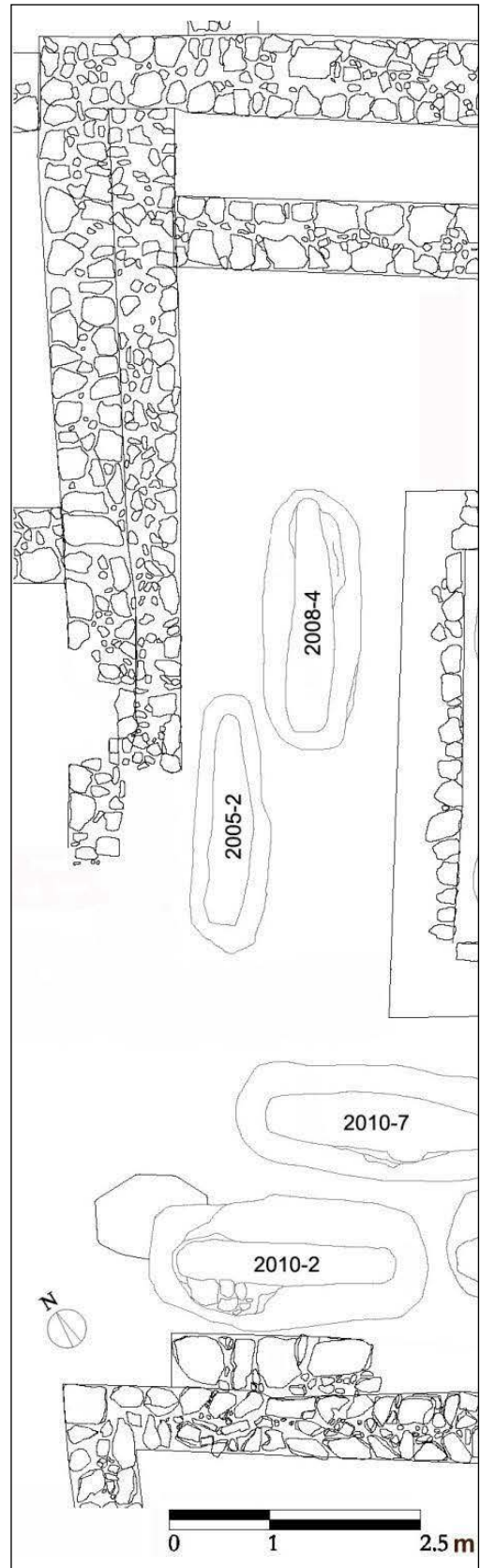


Figura 2.99. Fosas de los enterramientos del Ámbito Lateral Oeste (S. Alcaide, J. M. Puche y M. Riera)



Figura 2.100. UUEE 256, 263 y 270 de la cubierta del Enterramiento 2008-4 (M. Riera)



Figura 2.101. Cubierta de losas UE 270 del Enterramiento 2008-4 (M. Riera)

diferentes (Figura 2.100). El inferior (UE 263), era una capa de tierra de color marrón de hasta 7 cm de potencia. Encima presentaba una capa de piedras (UE 256), de mediano tamaño, de hasta 10 cm de alto. Estaba a su vez cubierta por una capa de arcilla de color amarillo de hasta 12 cm de grosor (UE 255). Por encima, volvía a presentar una segunda capa de piedras (UE 246), un poco más grandes que las de la UE 256, y algún fragmento de losa colocado plano. En total, esta capa UE 246 rondaba los 15 cm de potencia y estaba cubierta por una pequeña capa (UE 234) compuesta por un sedimento arcilloso de color marrón, de hasta 5 cm de grosor. Por encima de esta última capa, ya apareció el nivel superficial. Por lo poco compactada que estaba no parece que fuese la cubierta pavimental de la sepultura y, por tanto, todo apunta a que aquella habría desaparecido durante el siglo XX, sin que se pueda llegar a saber de qué material estuvo compuesta.

Cabe destacar que en el interior de la capa UE 255 se localizó un fragmento de borde de TSAD que se puede asimilar al tipo Hayes 99A o B. De ser acertada esta clasificación, permitiría datar el sellado de la sepultura en un momento posterior al 480/500 d. C.

La cubierta de losas (UE 270) del sepulcro del Enterramiento 2008-4 consistía en seis piezas de piedra calcárea, toscamente trabajadas, de diversas formas y medidas (Figura 2.101). Estas sellaban la parte inferior de la fosa, que apareció mayoritariamente libre de sedimentos.

Sobre el esqueleto del Enterramiento 2008-4 tan solo se encontró un poco de sedimento muy fino (UE 302), que se había filtrado por las juntas de la cubierta, y fragmentos de piedra que se habían desprendido de las paredes de la fosa. Los restos del inhumado aparecieron muy degradados, tal y como suele suceder en las tumbas de Son Peretó que permanecieron durante mucho tiempo en un espacio vacío (Figura 2.102). Aún y así, se pudo observar que pertenecía a un individuo de entre 12 y 14 años de sexo indeterminado, que había sido depositado en posición de decúbito supino, con los pies hacia septentrión y la cabeza a mediodía. Conviene remarcar que es el único esqueleto localizado en el baptisterio colocado con los pies en dirección al norte, aunque por la forma de la fosa del Enterramiento 2005-2, más estrecha en su mitad septentrional, parece que aquel también se pudo depositar con la misma dirección.

De la manera en la que se encontraron removidos los huesos de la cabeza, y también las distintas capas de la cubierta, no cabe duda de que esta tumba había sido profanada, levantando únicamente la losa más meridional. Por las características composicionales del estrato (UE 254) que rellenaba el agujero de expolio —en el que, aparte de la tierra de color amarillo, no apareció ningún otro material ni de época



Figura 2.102. Enterramiento 2008-4 (M. Riera)



Figura 2.103. Fosa del Enterramiento 2008-4 (M. Riera)



Figura 2.104. Roca natural (UE 50) al norte de los Enterramientos 2005-2 y 2008-4 (M. Riera)

antigua ni del siglo XX—, parece que aquella UE negativa podría ser de muchos siglos atrás, aunque tampoco se puede descartar que corresponda a una acción de la pasada centuria.

Por debajo de los restos humanos, se encontró una pequeña concentración de arcilla que podía pertenecer a un lecho realizado intencionadamente, aunque su escasa potencia no permite descartar que fuese resultado de las filtraciones. La fosa (UE 349) del Enterramiento 2008-4 tenía una profundidad máxima de 0,85 m, y presentaba forma de bañera con rebaje para el encaje de la cubierta (Figura 2.103). En la parte más alta conservada, medía un máximo de 2,60 m de longitud y hasta 0,95 m de amplitud, mientras que en el fondo medía un máximo de 1,95 m de largo por 0,75 m de ancho. Se pudo comprobar como esta fosa era mucho más larga que el individuo juvenil allí enterrado, como si se hubiese realizado originalmente para enterrar a un adulto.

Al norte de los sepulcros de los Enterramientos 2005-2 y 2008-4, se volvió a encontrar la UE 350 que ya se ha comentado en el apartado dedicado al Ámbito Lateral Norte. Por debajo, ya apareció la roca natural (UE 50) (Figura 2.104).

A mediodía y a poniente de la sepultura del Enterramiento 2005-2, se localizaron dos zócalos (UE 15 y 548) que eran perpendiculares y solidarios entre ellos (Figuras 2.106., 2.107. y 2.108.). También se pudo

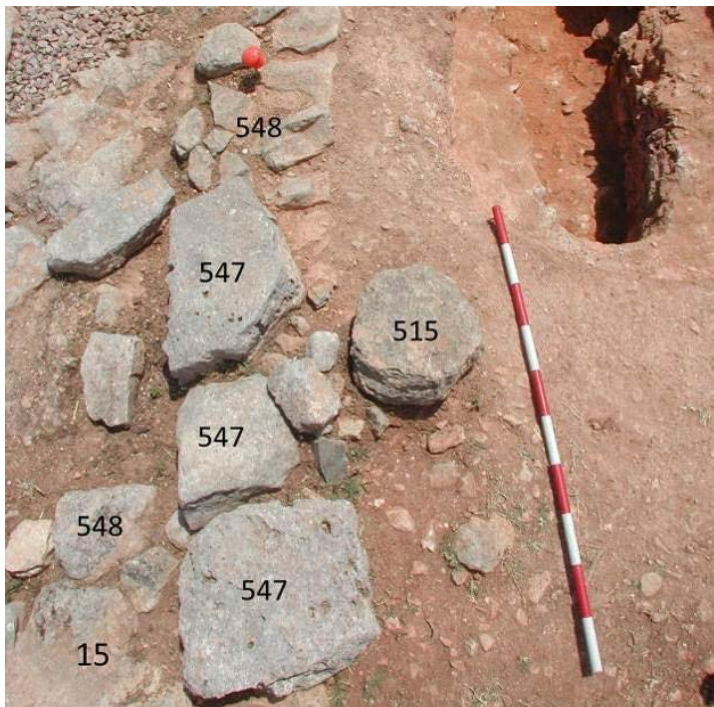


Figura 2.105. UUEE 15, 515, 547 y 548 (M. Riera)



Figura 2.106. Zócalos UE 06 ya restaurado y UUEE 15 y 547 sin restaurar (M. Riera)



Figura 2.107. Zócalos UE 15 ya restaurado y UE 548 sin restaurar (M. Riera)

apreciar que el que presentaba una orientación norte/sur (UE 15), pasaba por debajo del zócalo UE 06 de la pared maestra occidental del baptisterio y, también pasaba por debajo del refuerzo UE 27. Parcialmente por encima de los dos zócalos UE 15 y 548, estaba la estructura UE 547 antes citada. Dado que esta última estaba muy arrasada se procedió a su desmontaje. Se pudo apreciar que tan solo conservaba tres piedras alineadas, con una orientación este/oeste, que formaban una cara vista que miraba hacia el norte, de hasta 1,15 m. de largo.⁸⁴ Inmediatamente a mediodía suyo, se localizó otra piedra que se encontraba a la misma cota. Por precaución se le dio un número de UE diferente (UE 515), pero parece muy probable que, junto con la UE 547, formaron parte de una misma estructura, perteneciente a un zócalo que tendría una anchura de unos 0,60 m y una orientación este/oeste (Figura 2.105). De esta forma, la piedra de la

⁸⁴ Todo apunta a que la más oriental se encontraba un poco desplazada hacia septentrión.

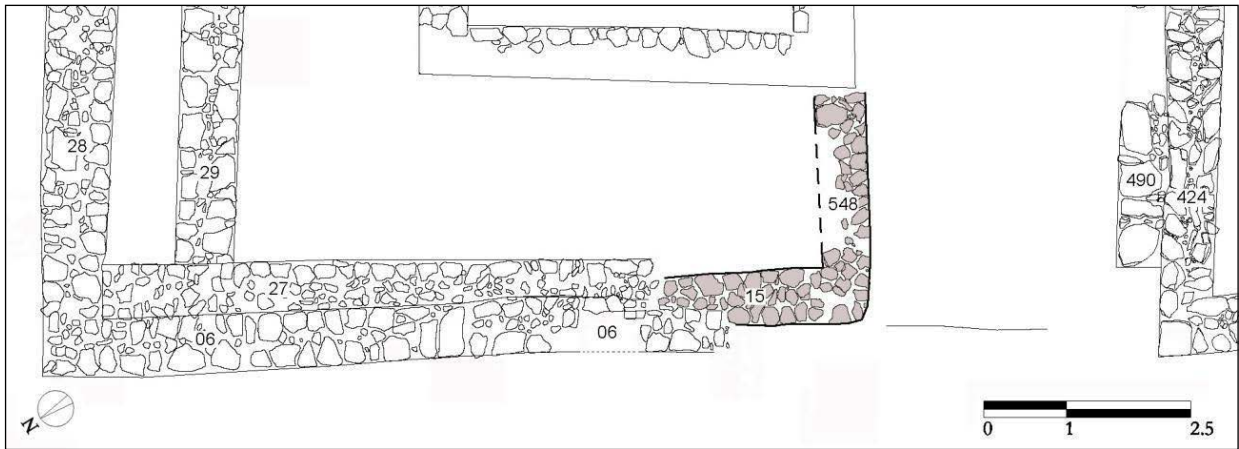


Figura 2.108. Planta del Ámbito Lateral Oeste con indicación de algunos de sus elementos (S. Alcaide y M. Riera)

UE 515 pertenecería a la cara vista meridional de dicho zócalo. Cabe señalar que era una pieza cilíndrica de piedra caliza (*marés*), de entre 27 y 29 cm de diámetro y hasta 10 cm de altura. Aunque presentaba unas paredes muy irregulares, no se descarta que hubiese podido pertenecer a un tambor de columna que habría sido reutilizado.

Por debajo de la UE 547, se encontró una capa de tierra de color rojizo (UE 550) que podría ser la misma que la de la UE 507 del Ámbito Lateral Sur, pero de solo 3 cm de potencia. Una vez retirada la capa UE 550 se pudo apreciar toda la superficie conservada de los zócalos UE 15 (Figura 2.106) y 548 (Figura 2.107), de los que tan solo quedaba la primera hilada. Del primero se conservaba un tramo de unos 2 m de longitud de entre 0,60 y 0,65 m de anchura, mientras que el segundo medía 2,74 m de largo por 0,60 m de ancho. Los dos se apoyaban sobre el terreno natural (Figura 2.108).

Alineado con la cara meridional del zócalo UE 548, a unos 5 cm de distancia, parece identificarse un pequeño rebaje, muy irregular, de un máximo de 10 cm de profundidad, que podría corresponder al límite meridional de la trinchera de cimentación de dicho zócalo. Aunque es verdad que esta supuesta UE negativa se encontró muy arrasada, y que tampoco se puede descartar completamente que pertenezcan a un desnivel natural, el hecho de que sea perfectamente perpendicular a la UE negativa de las Figuras 2.66. a 2.69 reforzaría la primera opción.

En el interior del zócalo UE 548, se encontraron cuatro pequeños huesos de animal, tres carboncitos y una cuenta de pasta vítrea. Mientras que en el de la UE 15, mucho mejor conservado, se localizó un fragmento de borde de cazuela y una moneda de bronce. El primero pertenece a una producción de cerámica de cocina tardía, asimilable al tipo Ca/Dau/3 o Cb/Dau/1 de Macías (1999), que no parece que se hubiesen empezado a fabricar antes de c. 400 d. C. La moneda corresponde a un *nummus* del Reino Vándalo, acuñado en Cartago entre c. 432 y el 484 (Marot 2012a, 2013: 141; Riera Rullan, Cau y Salas 2013: 112, 114 y 116; véase también el Anexo III de este mismo volumen). Por tanto, se puede concluir que los zócalos UE 15 y 548 se construyeron a partir del año 432 d. C.

Ámbito Central

El Ámbito Central es de planta rectangular, de unos 5,90 m de largo (este/oeste) por unos 3,90 m de ancho (norte/sur). Conviene recordar que sus muros perimetrales ya fueron restaurados en los años 60 del siglo pasado, y que no se ha llegado a encontrar ningún dibujo en el que esté representada la cara exterior del zócalo de su pared occidental, ni de gran parte de su pared meridional. En cualquier caso, observando las fotografías de aquellos años (por ejemplo, las de las Figuras 1.9, 1.11, 1.12, 1.20 y 1.21), no cabe duda de que la parte restaurada se montó sobre el original, siendo fiel a sus orientaciones y localizaciones.

El Ámbito Central es la zona de Son Peretó donde más intervenciones arqueológicas se han realizado, pero, tal y como se verá a continuación, en el año 2007 todavía quedaba una parte importante de su estratigrafía intacta (Figura 2.109). En su interior, se han llegado a identificar cinco sepulcros (Enterramientos 2007-3, 2007-4, 2007-5, 2009-4 y 2009-11), que rodean la piscina bautismal localizada justo en su centro. Las cinco presentan una orientación este/oeste perfectamente paralela al eje largo del ámbito. Por su localización y por las relaciones físicas observadas, no cabe duda de que todas estas tumbas son posteriores a la construcción tanto del ámbito como de su piscina.

Tan solo retirando el nivel superficial (UE 21) ya se pudieron localizar los coronamientos de las fosas de los Enterramientos 2007-3, 2007-4 y 2007-5 (Figura 2.110). Dos de ellas se habían abierto durante el siglo pasado, tal y como se ha visto más arriba (Figuras 1.21 y 1.26). En cambio, no se tenía conocimiento de la afectación de la del Enterramiento 2007-3. Por otra parte, antes de iniciar las excavaciones de 2007, ya se intuía la presencia de una cuarta fosa (Enterramiento 2009-4), justo allí donde en 1967 se descubrió un pavimento de fragmentos de téglulas (Figuras 1.9, 1.11, 1.13 y 1.27), del cual, en 2005 ya no quedaba ningún rastro.

En el interior de las fosas de los Enterramientos 2007-3, 2007-4 y 2007-5, se localizaron diversos rellenos a base de piedras de mediano y gran tamaño, mal colocadas, que fueron colocados durante la segunda mitad del siglo XX, tal y como se pudo comprobar por los materiales muebles encontrados en su interior.

Una vez retiradas las piedras del relleno de la fosa del Enterramiento 2007-3, se pudo apreciar que, en su mitad oriental, todavía conservaba intacta una parte de su cubierta (Figura 2.111). Esta constaba de una capa de arcilla de color amarillo (UE 205), tal vez mezclada con un poco de cal, de hasta 0,30 m de potencia, que cubría dos grandes losas de caliza (*marés*), bastante bien escuadradas (UE 204). Por debajo



Figura 2.109. Ámbito Central en el momento de iniciar las excavaciones de 2007 (M. Riera)



Figura 2.110. Ámbito Central una vez retirado el nivel superficial UE 21 (M. Riera)

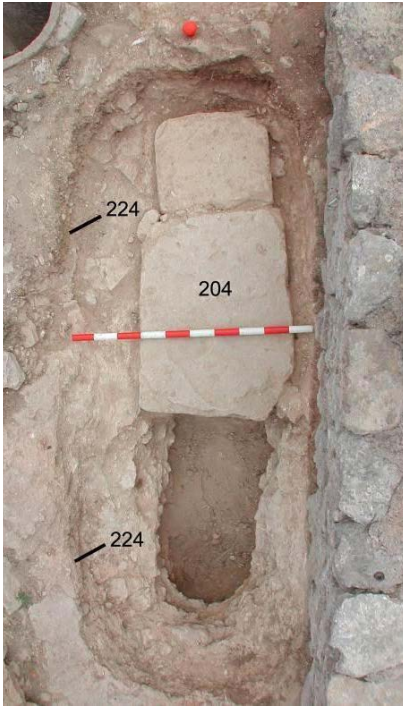


Figura 2.111. Cubierta de losas del Enterramiento 2007-3 (M. Riera)



Figura 2.112. Fosa UE 224 del Enterramiento 2007-3 (M. Riera)



Figura 2.113. Restos humanos en el fondo de la fosa UE 225 del Enterramiento 2007-4 (M. Riera)

de estas, la fosa estaba casi completamente llena de un sedimento terroso de color negro. Aunque se excavó en dos tiempos (UUEE 210 y 219), no se identificó ningún cambio composicional, excepto que en la inferior (UE 219) aparecieron un mayor número de huesos humanos, siempre removidos y fuera de su lugar original. Apparently, todos ellos pertenecían a un único individuo adulto de sexo indeterminado.

La fosa (UE 224) del Enterramiento 2007-3 tenía forma de bañera y presentaba un gran rebaje para encajar su cubierta (Figura 2.112). Su altura máxima conservada llegaba a los 0,90 m. En su base medía un máximo de 2,05 m de largo y hasta 0,50 m de ancho. Por la forma de su planta, más estrecha en la zona oriental que en la occidental, se puede interpretar que la cabeza del inhumado se colocó a poniente.

De la cubierta del sepulcro del Enterramiento 2007-4 tan solo se conservaba *in situ* una de sus losas (UE 209). En todo caso, a partir de las fotografías y la planta de la campaña de 1967 (Figuras 1.13 y 1.22.), se puede observar que tenía un total de siete piezas muy poco trabajadas, aparentemente de piedra calcárea, y de formas y medidas muy diversas. Tal y como se ha expuesto más arriba, en 1967, en el interior de esta tumba se encontró, en posición primaria y de decúbito supino, un esqueleto perteneciente “a un varón, al parecer de edad madura” (Palol *et al.* 1968: 11). Presentaba a sus pies –al este–, los huesos mezclados y amontonados de otro individuo (Figuras 1.23 y 1.24). En cambio, en el año 2007, una vez retirado un gran relleno de tierra de color marrón oscuro (UE 216), en el que aparecían materiales del siglo XX, ya solo se localizaron unos pocos huesos de un individuo adulto de sexo masculino, que aparecieron removidos, amontonados y concentrados en la mitad oriental del fondo de la fosa (UE 225) (Figura 2.113). Esta era en forma de bañera y presentaba un rebaje para encajar su cubierta. Su altura máxima conservada era de 0,60 m. En su base, llegaba a los 2,20 m de longitud y hasta los 0,45 m de anchura.



Figura 2.114. Enterramiento 2007-5 (M. Riera)



Figura 2.115. Fosas de los Enterramientos 2007-3, 2007-4 y 2007-5 (M. Riera)



Figura 2.116. UE 365 del Enterramiento 2009-4 (M. Riera)

En el sepulcro del Enterramiento 2007-5, también se encontró *in situ* una única losa, considerablemente grande (Figura 2.110). Era de piedra calcárea, y ya se había dibujado en 1967 (Figura 1.13.). Por aquel entonces, también se destapó parcialmente el esqueleto del interior de la sepultura (Palol *et al.* 1968: 11), pero no se llegó a extraer ya que en 2007 todavía se localizaron muchos de sus huesos en posición primaria (Figura 2.114). Estos pertenecían a un individuo adulto, de sexo indeterminado, que estaba colocado en posición de decúbito supino, con la cabeza al oeste y los pies al este.

La fosa (UE 226) del Enterramiento 2007-5 se encontraba en muy mal estado de conservación, pero se pudo apreciar que era en forma de bañera, con un gran rebaje para poder encajar su cubierta (Figura 2.115). Presentaba una profundidad máxima de 0,70 m y, en su base, medía hasta 1,95 m de largo por 0,50 m de ancho.

Como se ha apuntado anteriormente, en la zona localizada inmediatamente al noreste de la piscina bautismal pequeña, existió un pavimento sepulcral de fragmentos de tégulas colocados horizontalmente⁸⁵, que en el año 2005 había desaparecido completamente. Dado que fue allí donde se localizó la sepultura del Enterramiento 2009-4, se puede afirmar que dicho pavimento formó parte de su cubierta. Por debajo de este, se localizó una capa (UE 365), de hasta 0,25 m de potencia, de tierra de color naranja, granulosa, y con abundantes piedras muy fragmentadas y gravas, todo ello muy compactado (Figura 2.116). En

⁸⁵ La revisión de las fotografías y de la planimetría de 1967 (Figuras 1.9, 1.11, 1.13 y 1.27) demuestran que estaba en el ángulo nordeste. Conviene señalarlo porque esta fotografía del Ámbito Central se había publicado varias veces de manera invertida (Alcaide 2011: Lám. 47.1; Alcaide y Cau 2016: fig. 13; Palol 1999: 169) lo que podría hacer pensar erróneamente que este pavimento sepulcral estaba localizado en su ángulo sureste.



Figura 2.117. Cubierta de losas UE 366 del Enterramiento 2009-4 (M. Riera)



Figura 2.118. Enterramiento 2009-4 (M. Riera)



Figura 2.119. Fosa del Enterramiento 2009-4 y UE 386 del Enterramiento 2009-11 (M. Riera)

su interior, se localizaron dos fragmentos de *opus signinum* que, por su forma y composición, parecen pertenecer a los escalones de la piscina bautismal mayor. También se halló un pequeño fragmento de borde de TSAD que se podría asimilar, aunque con ciertas reservas, al tipo Hayes 81. Para este tipo cerámico se propuso una datación de mediados-segunda mitad del siglo V (Bonifay 2004: 173; Hayes 1972: 128), pero otros investigadores consideran que se habría podido empezar a fabricar a principios del siglo V (*Atlante* 1981: 104; Raynaud 1993b: 193). En cualquier caso, vistos los resultados de las pruebas de ^{14}C realizadas sobre un hueso del individuo encontrado en la presente tumba, ambas fechas son demasiado antiguas como para ayudar a situar el momento de la inhumación.

La capa UE 365 tapaba la cubierta de losas de la sepultura (UE 366), que presentaba 5 piezas de piedra calcárea de diversas medidas y de formas siempre muy irregulares (Figura 2.117). Por debajo de las losas, ya apareció el esqueleto de un individuo infantil de sexo indeterminado, colocado en posición de decúbito supino, y cubierto, muy parcialmente, por un sedimento muy fino (UE 370), que se había filtrado por las juntas de la cubierta (Figura 2.118).

Los resultados de la prueba de ^{14}C realizada a partir de un hueso de este Enterramiento 2009-4 son los siguientes: 720AD (3,0%) 740AD / 770AD (92,4%) 900AD (*calibrated date 95,4% probability*). Por debajo del inhumado, no se identificó ningún lecho de arcilla, sino directamente el corte de la fosa (UE 367). Esta tenía una profundidad máxima de 0,63 m y, en su base, llegaba a 1,25 m de largo por 0,25 m de ancho. Presentaba cierta forma de bañera, pero muy irregular, con un rebaje para el encaje de la cubierta



Figura 2.120. Cubierta superior de tégulas del Enterramiento 2009-11 (M. Riera)



Figura 2.121. Cubierta inferior de tégulas del Enterramiento 2009-11 (M. Riera)



Figura 2.122. Fosa UE 387 del Enterramiento 2009-11 y UE 397 (M. Riera)



Figura 2.123. Fosa UE 387 del Enterramiento 2009-11 y UE 397 (M. Riera)

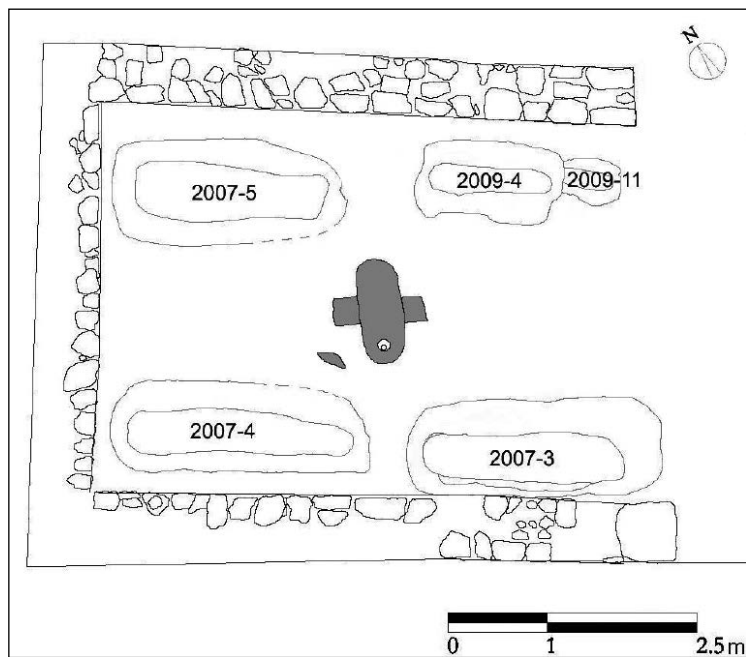


Figura 2.124. Fosas de los enterramientos del Ámbito Central y opus signinum original de su piscina bautismal (S. Alcaide, J. M. Puche, M. Riera y M^aJ. Rivas)

también muy asimétrico. Se pudo apreciar que cortaba una tumba más antigua (Enterramiento 2009-11), localizada inmediatamente al este (Figura 2.119). De esta última, todavía se conservaba gran parte de su fosa (UE 387), que, en su parte más alta, presentaba un relleno (UE 386) realizado con una arcilla de color blanco, bastante compactada y de hasta 14 cm de potencia.

Por debajo de la UE 386, se localizaron dos niveles de fragmentos de téglula colocados planos (UE 388) (Figura 2.120). Alrededor de la superior también se localizó una capa de arcilla de color marrón (UE 391). Todo alcanzaba un máximo de 15 cm de grosor.

Una vez levantada la capa inferior de téglulas (Figura 2.121), se halló la parte inferior de la fosa de la tumba bastante repleta por unas tierras filtradas, muy finas y de color marrón, mezcladas con pequeñísimos fragmentos de téglula desprendidos de la cubierta. La mayor parte de aquellas tierras se filtraron por el extremo meridional de la sepultura, justo el lugar donde se había desmoronado una parte de su pared. En cualquier caso, se pudo apreciar que su fosa (UE 387) tenía forma de bañera, con un rebaje para encajar la cubierta de téglulas (Figura 2.122 y 2.123). En la parte más alta, llegaba a 0,66 m de longitud por 0,45 de amplitud, y tenía una altura máxima de 0,34 m. En la base, medía un máximo de 0,50 m de largo por 0,18 m de ancho. En su interior, no se localizó el más mínimo rastro de restos humanos, muy probablemente por su desintegración al tratarse de una sepultura para un individuo de muy corta edad.

La excavación de este sector reveló en su conjunto la presencia de hasta cinco sepulcros de inhumación (Figura 2.124).

En el año 2008, se procedió al levantamiento de la piscina bautismal pequeña.⁸⁶ Antes de alzar la piscina, tal y como se puede apreciar en la fotografía de la Figura 2.115, ya se observó que las fosas de los Enterramientos 2007-4 y 2007-5 cortaban una UE negativa y su relleno superior (UUEE 237 y 238), ambos localizados justo por debajo de la piscina.⁸⁷ Una parte de dicha UE negativa (foso UE 237) ya se había localizado en el año 1967 (Figuras 1.13, 1.14, 1.20 a 22 y 1.26 a 29). Según se ha descrito en el capítulo anterior, entonces ya se encontró parcialmente vacía y se pudo apreciar que era mucho más ancha que las fosas sepulcrales, afirmando que era muy difícil poder interpretar su función (Palol *et al.* 1968: 11). También ya se ha visto cómo se conjeturó que, o bien se trataba de “una superposición encima de una vieja zona de necrópolis, o bien que pudo existir una pequeña piscina bautismal anterior, en el centro del recinto” (Navarro 1988: 32 y 33; Palol *et al.* 1968: 12). Ambas pueden ser descartadas a tenor de los resultados de la excavación, como se verá a continuación.

Al retirar la capa superficial (UE 21) del Ámbito Central y el relleno (UE 236) que tapaba la excavación del siglo pasado (UE 317) se pudo observar que lo poco que se conservaba en 1967 del original de la cara exterior de la piscina se había reducido muy considerablemente (Figura 1.30). Dicha cara estaba hecha con un *opus signinum* visualmente idéntico al del interior de la fuente (UE 352), del cual apenas se conservaba su base y un escalón en cada uno de sus brazos occidental y oriental (Figura 2.125). El interior presentaba un desagüe aproximadamente en el centro del fondo del brazo meridional (Figura 2.126 y 2.127). Allí, el revoque de *opus signinum* era de unos 4 cm de grosor y presentaba un agujero de hasta 12 cm de diámetro. Por debajo, se podía apreciar una capa de mortero de cal (UE 273) que se describirá un poco más adelante, en la que también se había efectuado un agujero, pero, en este caso de tan solo unos 4 cm de diámetro.

⁸⁶ Queremos agradecer al arquitecto Joan Pascual, al herrero Toni Riera, y a los restauradores Margalida Munar y Bernat Burgaya, el exitoso levantamiento de la piscina. Diversas síntesis de los trabajos realizados, tanto arqueológicos como de restauración, han sido publicadas en: Munar y Burgaya 2009; Munar *et al.* 2011; Alcaide 2011; Riera Rullan, Cau y Salas 2012b; véase también Anexo II de este mismo volumen.

⁸⁷ Observación apuntada en: Alcaide 2011: 124.



Figura 2.125. Interior de la piscina bautismal pequeña con indicación del límite de la parte original (M. Riera)

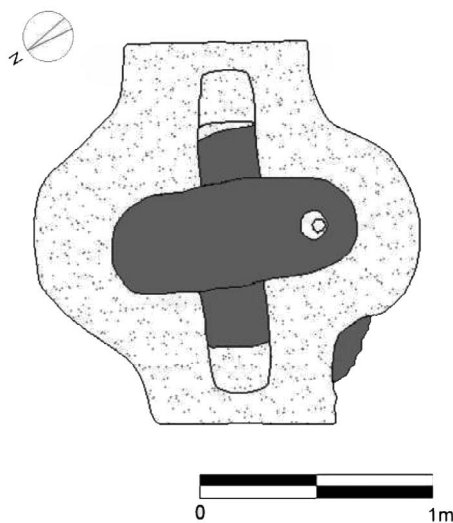


Figura 2.126. Piscina bautismal con indicación en color gris del opus signinum original UE 352 (S. Alcaide y M. Riera)



Figura 2.127. Desagüe de la piscina bautismal pequeña (M. Riera)

Toda la parte superior de la piscina por encima del *opus signinum* UE 352 estaba reconstruida con piedras y fragmentos de teja ligados con un cemento claramente del siglo XX. También se pudo comprobar que sus dos escalones externos, localizados a oriente y a poniente (Figuras 1.8, 1.9, 1.11 y 2.109), estaban hechos con un cemento que evidenciaba que eran un añadido del siglo pasado. Tanto por este hecho como por su mal estado de conservación, se decidió proceder a su retirada.

Una vez retirados los dos escalones citados, se pudo observar mucho mejor el coronamiento del foso UE 237 y su relleno superior (UE 238) (Figura 2.128 a 2.131). Este último tenía una potencia de hasta 0,20 m y estaba hecho con piedras, normalmente de mediano tamaño, y abundantes fragmentos de *opus signinum*, todo ello ligado con una arcilla, muy compacta, de color marrón oscuro. Cabe destacar que muchos de los fragmentos de *opus signinum* tenían forma de escalón y que sus características macroscópicas



Figura 2.128. UUEE 237 y 238 (M. Riera)



Figura 2.129. UUEE 237 y 238 (M. Riera)



Figura 2.130. UUEE 237 y 238 (M. Riera)



Figura 2.131. UUEE 237 y 238 (M. Riera)

eran aparentemente idénticas a las de los que todavía se conservaban *in situ* en el interior de la piscina bautismal grande.⁸⁸

A medida que se iba retirando el relleno UE 238, se pudo observar que era sobre este dónde descansaba el cuerpo de la piscina, cuerpo que estaba hecho con el mortero de cal UE 273 que se podía apreciar a través del agujero del desagüe. Este mortero rellena un hueco localizado en la parte central de la UE 238, hecho *ex profeso* cuando se colocaban las piedras y los fragmentos de *opus signinum* antes citados (Figura 2.132). Incluso, algunas de las piedras, bastante bien escuadradas y considerablemente más grandes que la media, se habían colocado de tal manera que ya daban forma a los dos escalones, oriental y occidental, del interior de la fuente.

La estructura realizada con el mortero de cal UE 273 tenía forma cruciforme. Conservaba hasta 1,50 m de largo, de este a oeste, hasta 1,20 m de norte a sur, y una altura máxima de 0,32 m. El mortero era muy compacto y rico en cal, con gravas considerablemente pequeñas y algún escaso fragmento cerámico.

⁸⁸ En el interior de esta UE 238, también se hallaron siete pequeños fragmentos cerámicos, dos de los cuales pertenecientes a producciones de TSAD, cinco huesos de animal y tres carbones.



Figura 2.132. A la izquierda: corte vertical de la UE 237; en la parte central: piedras y fragmento de escalón de opus signinum de la UE 238; a la derecha: estructura de mortero de cal UE 273 (M. Riera)

Por debajo de la UE 238, apareció un segundo relleno (UE 271), de hasta 0,35 m de potencia, que también presentaba un agujero central en el que se colocó la base de la piscina. Estaba hecho con abundante tierra de color gris marronáceo, bastante compactada, y alguna escasa piedra de menos de 15 cm, pero, sobre todo, con fragmentos de *opus signinum* cuyas formas denotaban que habían formado parte de unos escalones de una piscina (Figura 2.133).⁸⁹ Cabe señalar que algunos pegaban con los fragmentos encontrados en la UE 238 (Figura 2.134), pero también los había que tenían una composición aparentemente diferente. Entre los que eran idénticos a los primeros, se pudo apreciar que sus características eran visualmente muy similares a las del *opus signinum* que todavía se conservaba en el interior de la piscina bautismal mayor. También se recuperaron algunos fragmentos de escalón que tenían unas medidas coincidentes con los de las escaleras de dicha piscina.

Se debe resaltar que gracias a la caracterización arqueométrica de varias muestras de un fragmento de *opus signinum* encontrado en la UE 271 y de otro extraído del revoque original de la piscina grande, se han podido observar unas enormes similitudes entre ellos, tanto a partir del análisis químico como del petrográfico.⁹⁰ De hecho, los resultados de ambos análisis sugieren que los dos revoques pertenecen a la misma fase constructiva, es decir, la de la construcción de la piscina bautismal mayor. Por tanto, se pudo corroborar que la piscina grande fue parcialmente destruida y que sus restos fueron depositados, como relleno o solera, para la construcción de la piscina bautismal menor (Miriello *et al.* 2013; Riera Rullan y Cau 2012a; 2012b; véase también el capítulo 6 de este mismo volumen).

Llegados a este punto, se procedió al levantamiento de la piscina (véase Anexo II), es decir, de las UUEE 273 (Figura 2.135 y 2.136) y 352, así como del añadido del siglo XX. Justo debajo del mortero UE 273, siguió apareciendo un poco de la UE 271, pero también empezaron a aflorar las UUEE 305 y 319 (Figura 2.137).

Mientras se terminaba de retirar la UE 271, también se vació un canalillo orientado norte/sur localizado inmediatamente a poniente de la estructura UE 319. En la parte más alta, estaba colmatado por la UE 305,

⁸⁹ En el interior de la UE 271, había algunos carbones de los que se recogieron los más grandes. También se recuperaron 11 restos faunísticos, tres fragmentos de estuco, cuatro pequeños fragmentos de tégula, dos de ímbrice, y hasta 40 fragmentos de cerámica, entre los cuales había cuatro ejemplares de TSAD.

⁹⁰ En cambio, también se pudo comprobar que las muestras del revoque de la piscina grande son claramente diferentes a las del revoque original de la piscina pequeña.



Figura 2.133. Fragmentos de opus signinum en el interior de la UE 271 (M. Riera)



Figura 2.134. Fragmentos de escalera encontrados en las UUEE 238 y 271. Se pueden apreciar parte de una huella, la contrahuella y el arranque de una segunda huella (M. Riera)

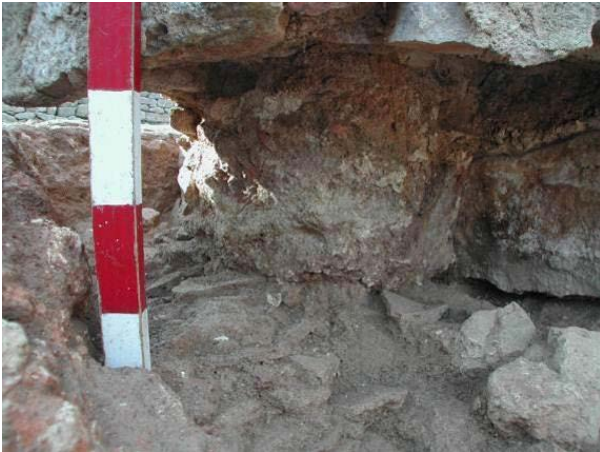


Figura 2.135. Estructura de mortero de cal UE 273 una vez retirado el relleno UE 271 (M. Riera)



Figura 2.136. Estructura de mortero de cal UE 273 una vez retirado el relleno UE 271 (M. Riera)



Figura 2.137. UUEE 237, 271, 305, 316 y 319 una vez levantada la piscina bautismal pequeña (M. Riera)



Figura 2.138. UUEE 313, 315, 316, 318 y 319 del interior del foso UE 237 (M. Riera)

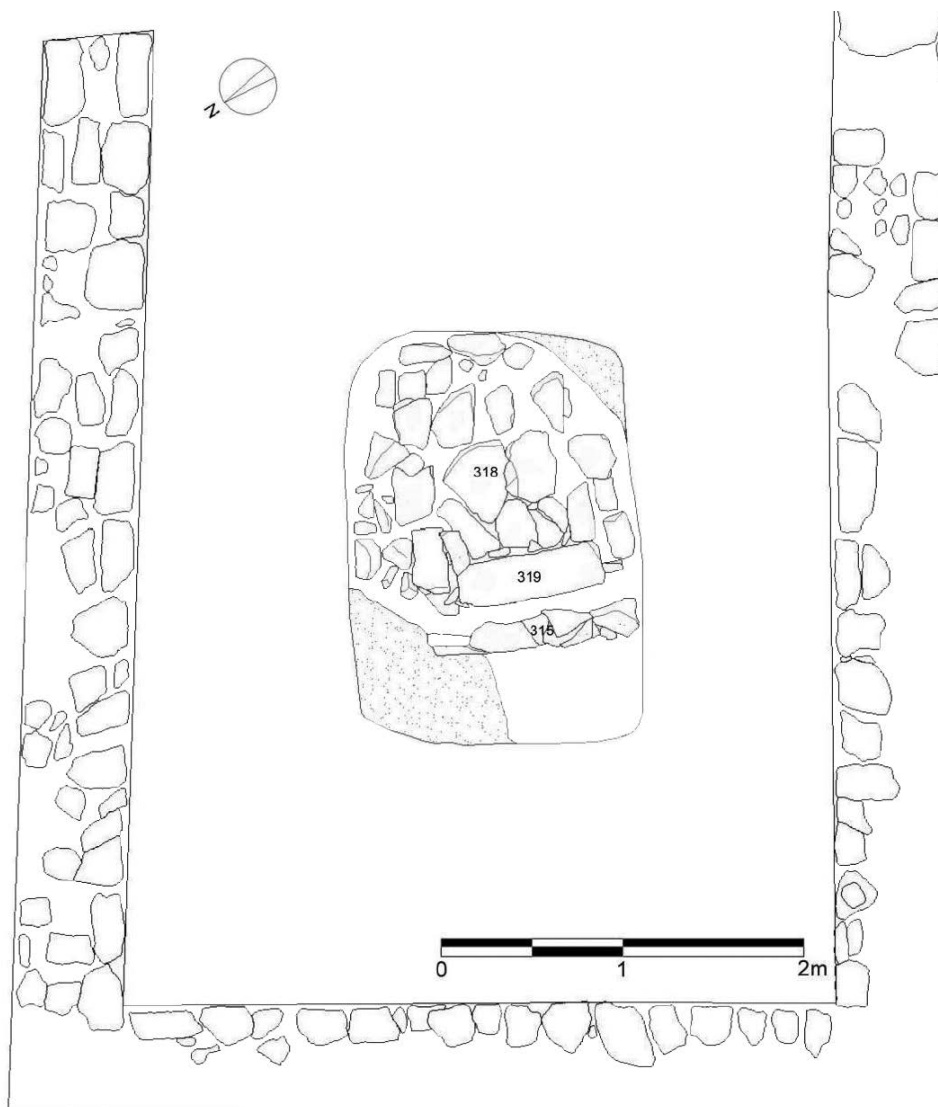


Figura 2.139. UUEE 315, 318 y 319 del interior del foso UE 237 (S. Alcaide y M. Riera)

de hasta 0,22 m de potencia, y formada por una arcilla muy fina de color marrón, bastante compactada, que tan solo presentaba alguna escasa piedrecilla, once pequeños fragmentos cerámicos, uno de hierro, otro de vidrio, y 44 restos faunísticos. Por debajo de ella, se encontró la UE 314, también de arcilla muy fina, pero mucho más compacta y de color gris claro, con una potencia máxima de hasta 0,20 m. En su interior, tan solo se encontraron un par de pequeños carbones y ocho caracoles terrestres.

Seguidamente, se excavó la UE 313, que era una pequeña capa también de arcilla de color gris claro, aparentemente igual a la de la UE 314, pero con abundantes fragmentos de *opus signinum* como los de la UE 271, algunos también con forma de escalón.⁹¹ Estaba localizada en los extremos norte, este y sur del foso UE 237, y su potencia máxima era de 0,12 m. También se procedió a la retirada de la UE 316, que correspondía a un relleno localizado en el extremo suroeste de dicho foso. Estaba hecho con una tierra de color marrón, que contenía abundantes piedras de entre 10 y 15 cm, y algún escaso fragmento de signino. En ese momento, ya se pudo apreciar en toda su extensión la estructura UE 318, a la que

⁹¹ También se recuperaron unos pocos carbones, dos pequeños fragmentos de cerámica y 26 restos de fauna.



Figura 2.140. UUEE 315, 318 y 319 del interior del foso UE 237 (M. Riera)

Figura 2.141. UUEE 315, 318 y 319 del interior del foso UE 237 (M. Riera)



Figura 2.142. UUEE 315, 319 y 324 del interior del foso UE 237 (M. Riera)

se puede definir como una especie de cubierta que estaba localizada al este del elemento UE 319, y compuesta por una serie de losas colocadas planas y a distintas cotas, de tal manera que quedaba una superficie escalonada y con pendiente, donde la parte más alta estaba al oeste y la más baja al este (Figura 2.138, 2.139, 2.140 y 2.141). Estaba hecha con unas piezas de piedra calcárea, poco retocadas, de entre 11 y 14 cm de grosor, de diversas formas y medidas, de las cuales, la más grande medía 38 x 28 x 14 cm. Entre ellas, se localizaron 11 pequeños fragmentos de cerámica, nueve caracoles terrestres, cuatro carbones y dos fragmentos de vidrio.

Bajo la cubierta UE 318, apareció una capa de arcilla muy fina y de color gris (UE 324) (Figura 2.142), que tenía una potencia de hasta 20 cm pero que no solía sobrepasar los 10. En su interior se hallaron más de un centenar de caracoles terrestres, tres fragmentos de caracoles marinos y tres huesos de animal. También se encontraron, dos teselas de piedra de color blanco, un fragmento de estuco, y 11 pequeños fragmentos de cerámica, entre los cuales había dos de las producciones de TSAD.

Retirada la capa UE 324, aparecieron tres nuevos canalillos, conformados por la estructura UE 319, y tres pequeñas paredes (UUEE 326, 328 y 331), que también cruzaban de norte a sur el foso UE 237 (Figura 2.143). Los tres canales estaban rellenos por unas arcillas muy finas y compactadas, de color marrón claro (UUEE 327, 329 y 332), en el interior de las cuales se encontraron algunos escasos y minúsculos



Figura 2.143. UUEE 315, 319, 326, 327, 328, 329, 330, 331 y 332 del interior del foso UE 237 (M. Riera)

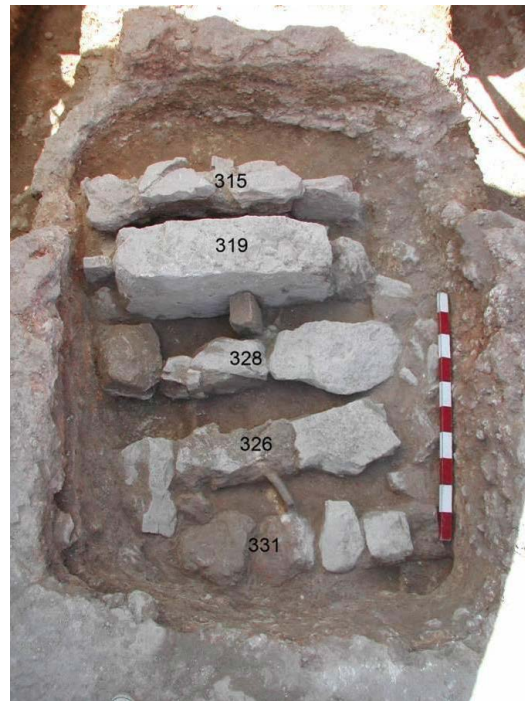


Figura 2.144. UUEE 315, 319, 326, 328 y 331 del interior del foso UE 237 (M. Riera)



Figura 2.145. UUEE 315, 319, 326, 328 y 331 del interior del foso UE 237 (M. Riera)

fragmentos de *opus signinum*.⁹² La potencia de estos rellenos oscilaba entre los 5 y los 12 cm. El único relleno que no presentaba la misma arcilla era el de la UE 330. Esta también era muy fina y compacta, pero tenía un color marrón oscuro, y presentaba granitos de color blanco y negro.⁹³ Estaba localizada aproximadamente en el centro del foso UE 237, en su mitad meridional, entre las paredes UE 319 y UE 328, a mediodía de una piedra rectangular, colocada en posición vertical, y situada justo en el centro del canal.

Una vez vaciados los tres canales más orientales ya se pudieron contemplar completamente las cinco paredes que atravesaban de norte a sur el foso UE 237 (Figura 2.144). Medían aproximadamente 1,20 m de largo y presentaban una altura decreciente, siendo la pared occidental (UE 315) la más alta, de hasta

⁹² En la UE 327 también se recuperaron 12 caracoles terrestres, un hueso de animal, cinco pequeños fragmentos de cerámica, tres de estuco y uno que parece de escoria. En la UE 329 aparecieron cinco caracoles terrestres y dos fragmentos de cerámica y, en la UE 332, dos carbones, dos caracoles terrestres y una posible tesela de color negro.

⁹³ También presentó 9 caracoles de tierra, dos teselas de piedra –una de color negro y la otra de color blanco–, cinco pequeños fragmentos de vidrio y tres de cerámica.

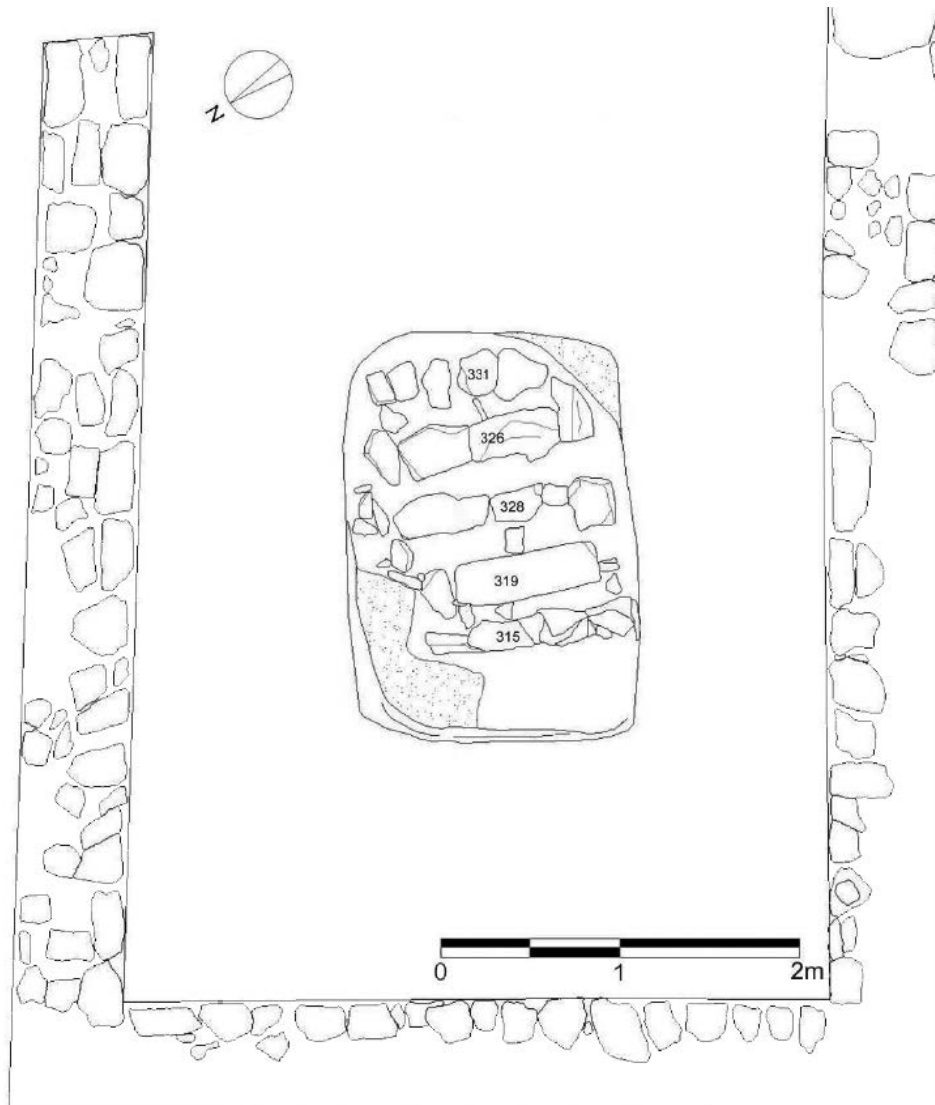


Figura 2.146. UUEE 315, 319, 326, 328 y 331 del interior del foso UE 237 (S. Alcaide y M. Riera)

0,50 m, mientras que la más oriental (UE 331), de tan solo 0,12 m, era la más baja. Las paredes de las UUEE 326, 328 y 331 eran de una sola hilada de piedras calcáreas, poco o nada retocadas, normalmente colocadas planas, y de medidas y formas muy diversas.⁹⁴ La pared UE 315 era de piedras similares ligadas con una arcilla de color gris,⁹⁵ pero conservaba hasta cinco hiladas. Cabe señalar que presentaba una cara vista bastante recta y horizontal al este, mientras que su cara occidental era mucho más irregular.⁹⁶ Finalmente, la pared UE 319, estaba hecha con un gran bloque, bastante bien escuadrado, y excepcionalmente grande (86 x 44 x 23 cm), si se compara con las piedras de las otras paredes. Presentaba en sus dos extremos un par de piedras más de mediano tamaño (Figura 2.145 y 2.146).

⁹⁴ Entre estas piedras tan solo se encontraron otros materiales en la UE 328. Allí se pudieron identificar 14 caracoles terrestres, cuatro carbones, 10 fragmentos de cerámica, tres de vidrio, dos de estuco y uno de hueso de animal.

⁹⁵ En el interior de esta arcilla también se encontraron unos pocos carbones, tres caracoles terrestres, un trozo de hueso, cuatro fragmentos de estuco y dos de cerámica.

⁹⁶ Hacía de muro de contención del relleno UE 316.



Figura 2.147. Piedra de la UE 328 que presenta marcada un aspa (M. Riera)



Figura 2.148. Capa UE 333 del interior del foso UE 237 (M. Riera)



Figura 2.149. Capa UE 336 del interior del foso UE 237 (M. Riera)

Dado que se pudo apreciar que por debajo de la mayoría de las cinco paredes seguía apareciendo sedimento (UE 333 y UE 336), se decidió proceder a su desmonte. De entre todas las piedras extraídas, cabe destacar una que, tal y como se puede apreciar en la Figura 2.147, presenta unas incisiones en forma de aspa. Esta presentaba unos brazos de unos 10 cm de largo por 0,6 cm de grosor. Aunque sus incisiones son muy poco profundas y romas, bien parece ser el resultado de una acción antrópica. De hecho, podría tratarse de una representación de cariz cristiano (Baudry 2009: 32, 53-55), más aún si se tiene presente que esta piedra, formando parte de la UE 328, estaba localizada cerca del centro del foso UE 237, inmediatamente al norte del desagüe de la piscina y, tal y como se verá a continuación, justo encima del agujero UE 335.

A continuación, se procedió a la excavación de la capa UE 333 que, aunque pasaba por debajo de muchas de las piedras de las paredes UUEE 315, 319, 326, 328 y 331, era el resultado de una sedimentación posterior a la construcción de estas (Figura 2.148). Esta UE 333 tenía una potencia máxima de 10 cm. Estaba compuesta por una arcilla muy fina, bastante compactada, de color marrón claro, con algunos pequeños nódulos de color blanco o naranja, y algunos pequeños carbones. También presentó 33



Figura 2.150. UUEE 338 y 340 en el interior del agujero UE 335 (M. Riera)



Figura 2.151. UUEE 337 y 340 en el interior del agujero UE 335 (M. Riera)



Figura 2.152. UE 342 en el interior del agujero UE 335 (M. Riera)

caracoles de tierra y seis pequeños fragmentos de cerámica, cuatro de estuco, tres de fauna y uno de vidrio.

Por debajo de la UE 333, ya apareció el fondo del foso UE 237. Así, se pudo comprobar que este estaba hecho cortando la roca natural y que era de planta cuadrangular con los extremos redondeados, de hasta 2,25 m de largo (este/oeste) por entre 1,40 y 1,65 m de ancho. Dado que sus paredes no eran perfectamente verticales, era más estrecho en su base que en su coronamiento. En la parte inferior, en su extremo noroeste, presentaba un pequeño escaloncito, de unos 10 cm de altura, que tenía forma de L. Su brazo corto medía 53 cm de longitud, mientras que el largo llegaba a los 61 cm. La anchura de ambos oscilaba entre los 20 y los 22 cm.

En el fondo de este foso UE 237, en el centro de su mitad meridional, se localizó un agujero (UE 335) con un relleno (UE 336), de hasta 8 cm de potencia, otra vez de arcilla muy fina, pero de color gris, muy compactada, y que presentaba algún pequeño carboncito (Figura 2.149). En su interior se hallaron 32 pequeños caracoles terrestres, dos huesos de animal, una tesela de piedra de color rojo y cuatro pequeños fragmentos de estuco. También eran de pequeñas dimensiones un borde y cuatro informes de vidrio, y un borde y tres fragmentos informes de cerámica. Cabe señalar que este último borde pertenece a una jarra/jarrón o jarrita/jarrito, muy probablemente de las llamadas producciones ibicencas.

El relleno UE 336 cubría dos estratos diferentes, correspondientes a las UUEE 338 y 340 (Figura 2.150), que también rellenaban el agujero UE 335. De estas, la más moderna era la UE 338, localizada en el extremo oriental de dicho agujero. Estaba formada por una arcilla muy fina de color marrón, poco compactada y con abundantes fragmentos de *opus signinum* diminutos. En el interior de esta arcilla se localizaron dos pequeños caracoles terrestres, un pequeño fragmento de hueso, una tesela de piedra de color negro y una barrita de oro finísima de poco menos de 2 cm de largo. También se hallaron dos pequeños fragmentos informes de vidrio, 12 de cerámica, y otro pequeño fragmento perteneciente a un borde de cerámica común que parece que habría formado parte de una jarrita o jarrito.

La UE 338 rellenaba completamente otra UE negativa (UE 337) (Figura 2.151), que era de forma aproximadamente cilíndrica, de 38 cm de largo (este/oeste) y 25 cm de ancho (norte/sur), y hasta 15 cm de alto. Por las características de sus paredes, no parecía una obra antrópica, sino más bien el resultado de la acción de un líquido en movimiento.

Seguidamente se procedió a excavar la UE 340, que rellenaba el agujero UE 335 (Figura 2.152), incluso por debajo de la UE negativa 337. Su potencia máxima era de 18 cm. Estaba compuesta otra vez por una arcilla muy fina de color marrón, pero mucho más compacta que la de la UE 338, y con pequeños carbonillos, nódulos de color blanco o naranja, y fragmentos diminutos de *opus signinum*. Por debajo de la UE 340, apareció un último relleno (UE 342), que ocupaba toda la superficie del agujero UE 335. Su composición era prácticamente idéntica a la de la UE 340, pero todavía estaba más compactada y presentaba un mayor número de diminutos fragmentos de *opus signinum*. Su potencia máxima era de 20 cm.

En el interior de la UE 340, sobre todo en sus cotas inferiores o ya directamente en contacto con la UE 342, y también en dicha UE 342, aparecieron diversos objetos suntuarios o de adorno personal, así como una variada representación de otros tipos de materiales. Se pueden destacar: una gema de piedra semipreciosa tallada en forma de cabujón (Salvà 2012a) (Figura 2.153); una cuenta de perla natural (Salvà 2012b) (Figura 2.154) y una de vidrio (Salvà 2012c) (Figura 2.155); dos pequeños clavos de oro (Ripoll 2012b) (Figura 2.156); una barrita de oro como la de la UE 338; un pendiente de bronce (Ripoll 2012c) (Figura 2.156); tres agujas de bronce (Figura 2.156);⁹⁷ tres eslabones de cadena de bronce (Ripoll 2012e) (Figura 2.156); un remache de bronce (Figura 2.156); un fragmento de portamechas de plomo (Figura 2.157); una ficha o aplique de vidrio, cuatro fragmentos de borde y 19 informes pertenecientes a recipientes de vidrio; cuatro, tal vez cinco, “teselas” de vidrio de color azul (Figura 2.158); dos teselas de piedra; y 12 fragmentos de estuco, uno de ellos aparentemente retocado en forma de disco. También se localizaron 10 fragmentos de hueso de animal y dos fragmentos de caracola marina *murex trunculus*.⁹⁸ Finalmente, cabe destacar que, entre los 11 fragmentos de borde de cerámica encontrados en estas UUEE 340 y 342, todos, excepto uno, pertenecen a producciones de cerámica común, y 9 parecen corresponder a jarritos o jarritas (Figura 2.159).⁹⁹

⁹⁷ Una de ellas publicada en: Ripoll 2012d.

⁹⁸ Cabe señalar que todos los restos de moluscos marinos localizados entre los años 2005 y 2016 en el Sector Baptisterio pertenecen a la especie *Trunculariopsis trunculus*. Se han podido identificar un total de 13 fragmentos, 11 de los cuales aparecieron en distintas UUEE del interior del foso UE 237, es decir, por debajo de la piscina bautismal pequeña (UUEE 238, 305, 313, 314, 324 y 340). Se desconoce completamente a que pudo deberse dicha concentración. En cambio, los otros dos fragmentos se localizaron en las UUEE 472 y 483 que rellenaban la fosa del Enterramiento 2010-8 (ver más detalles en el capítulo 5). También se halló un ejemplar completo de *Trunculariopsis trunculus* en el interior de la sepultura del Enterramiento 2005-1, pero en los niveles claramente removidos durante las últimas décadas del siglo XX o ya en el siglo XXI.

⁹⁹ La mayoría de estos jarritos o jarritas parecen de producción “ibicenca”, pero también hay un ejemplar que parece norteafricano.

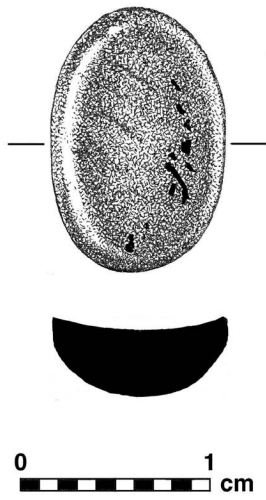


Figura 2.153. Gema de piedra semipreciosa de la UE 340 (M. Trias)

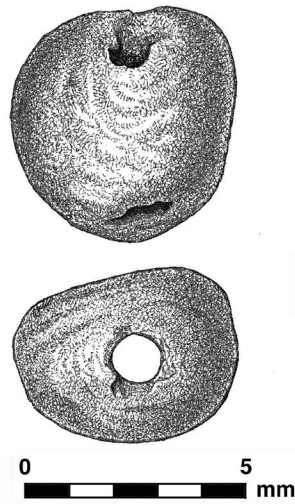


Figura 2.154. Cuenta de perla natural de la UE 340 (M. Trias)

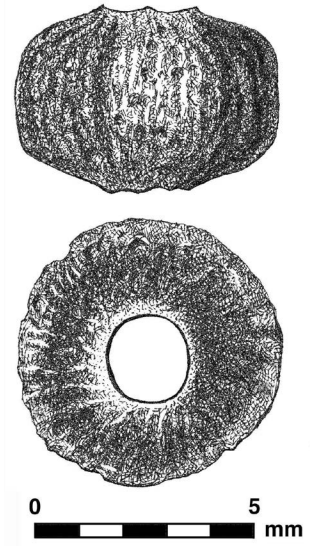


Figura 2.155. Cuenta de vidrio de la UE 340 (M. Trias)

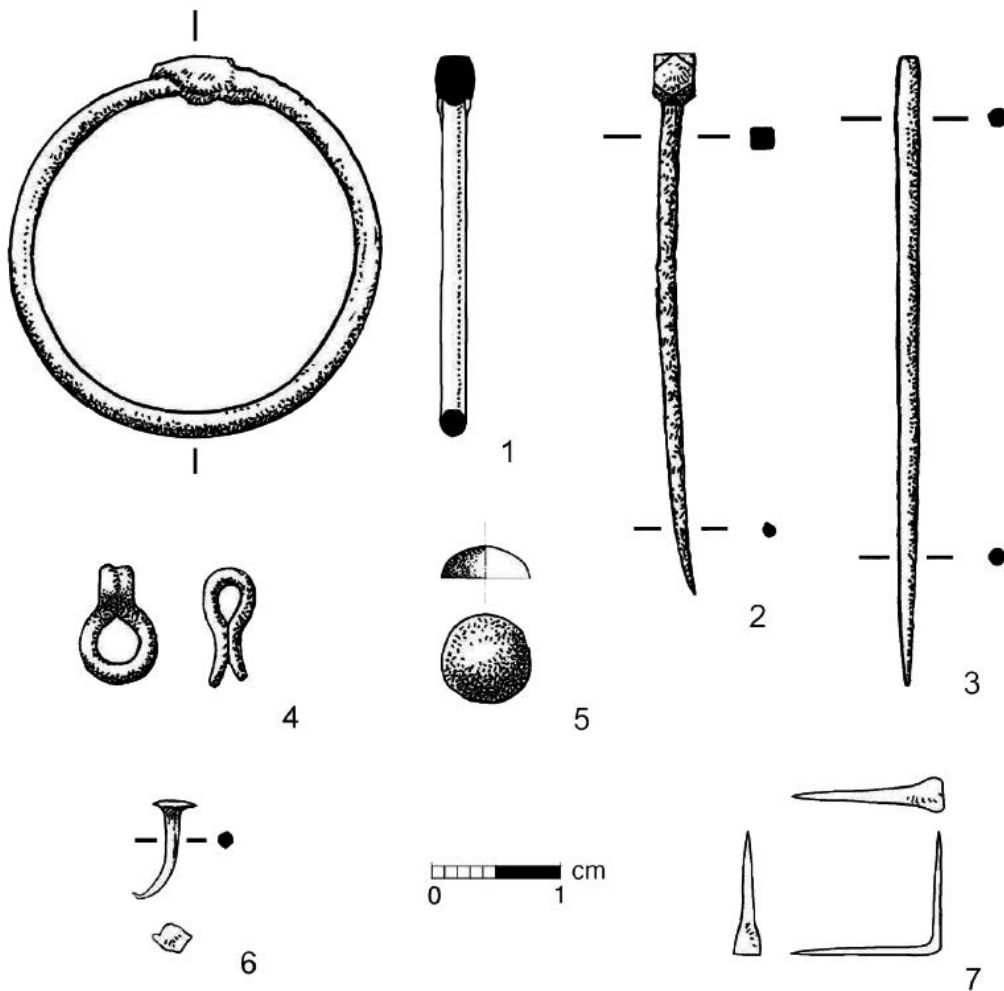


Figura 2.156. Elementos metálicos de la UE 340. 1: pendiente de bronce; 2 y 3: agujas de bronce; 4: eslabón de bronce; 5: cabeza de remache de bronce; 6 y 7: clavitos de oro (M. Trias)

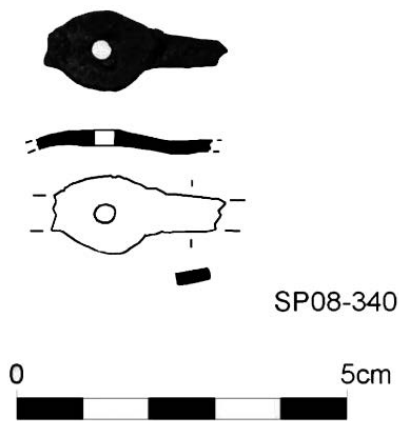


Figura 2.157. Portamechas de plomo de la UE 340 (M. Riera)



Figura 2.158. "Teselas" de vidrio de las UE 340 y 342 (M. Riera)

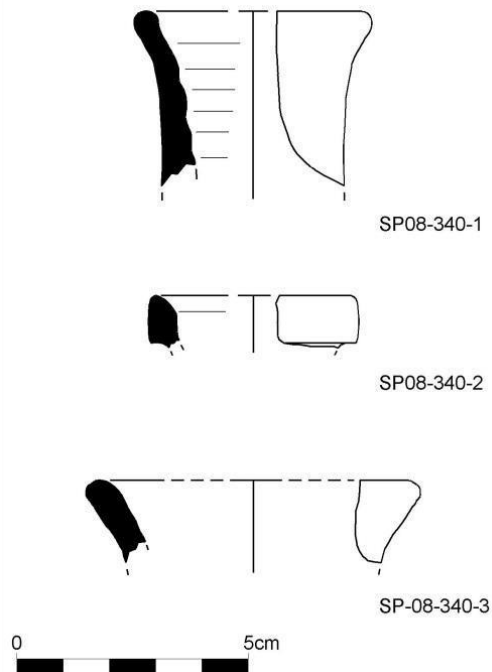


Figura. 2.159. Bordes de jarritos o jarritas de la UE 340 (A. Martínez y M. Riera)

Una vez retirados los rellenos UE 340 y 342, se pudo apreciar que el agujero UE 335 presentaba una planta rectangular, con los extremos redondeados. Medía un máximo de 92 cm de largo por entre 30 y 35 cm de ancho (Figura 2.160, 2.161 y 2.162). Sus paredes no eran demasiado rectas, ni su base perfectamente plana ni del todo horizontal. Su profundidad máxima era de 40 cm.

Por todo lo visto hasta ahora, se puede afirmar que el agujero UE 335 y el foso UE 237 (Figura 2.162), así como todas las estructuras que había en su interior, formaron parte de un sistema que permitía evacuar el agua de la piscina bautismal pequeña, sin inundar el baptisterio (Figura 2.163, 2.164 y 2.165). La gran mayoría de las arcillas muy finas de las UUEE 305, 313, 314, 324, 327, 329, 332, 333, 336, 338, 340 y 342



Figura 2.160. Agujero UE 335 en el fondo del foso UE 237 (M. Riera)



Figura 2.161. Agujero UE 335 en el fondo del foso UE 237 (M. Riera)

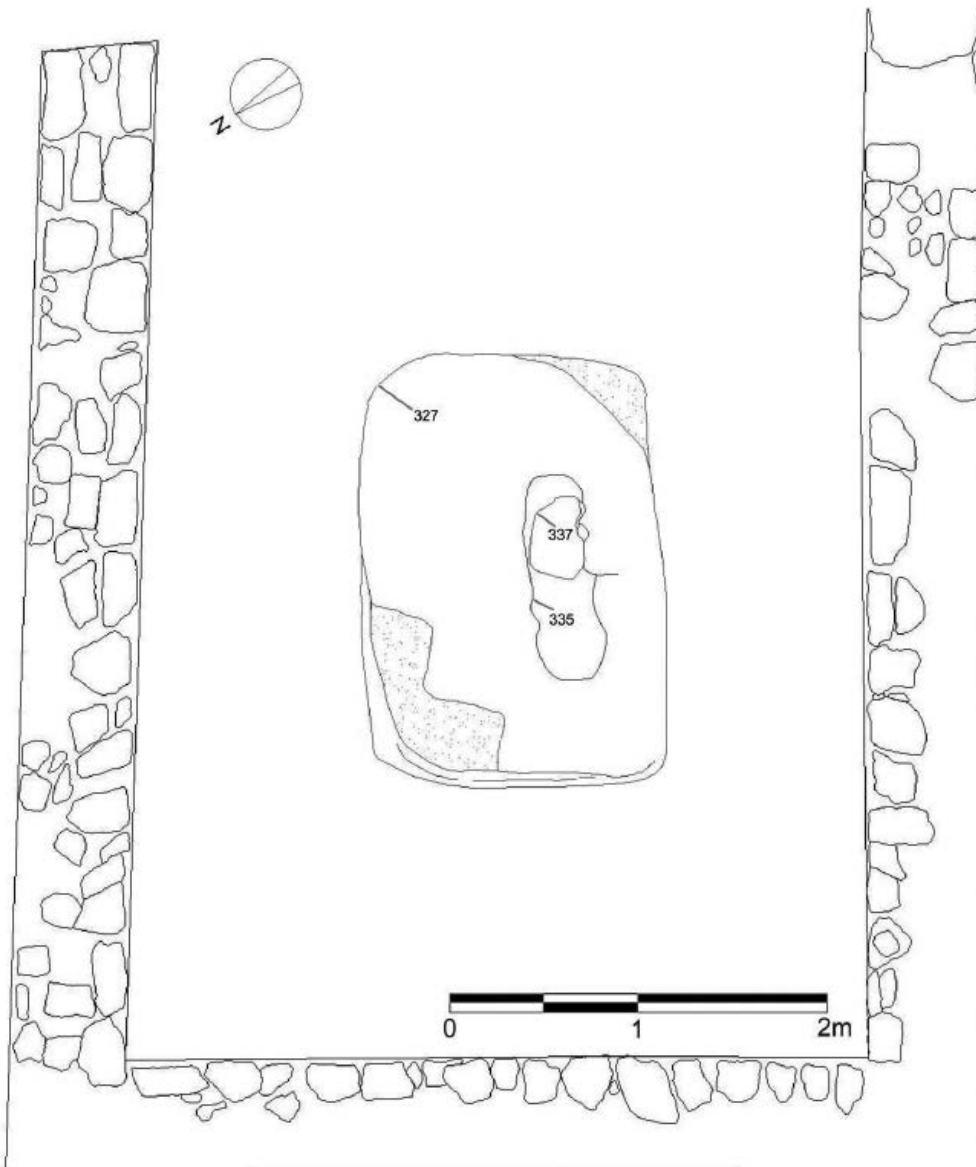


Figura 2.162. UUEE 335 y 337 del interior del foso UE 237 (S. Alcaide y M. Riera)

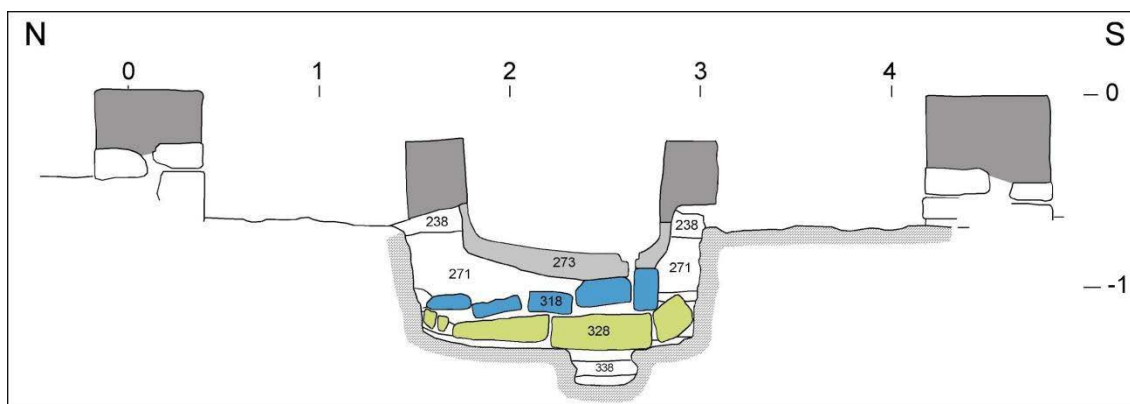


Figura 2.163. Sección norte/sur que pasa por el centro de la piscina bautismal pequeña (M. Riera)



Figura 2.164. Sección oeste/este que pasa por el centro de la piscina bautismal pequeña (M. Riera)

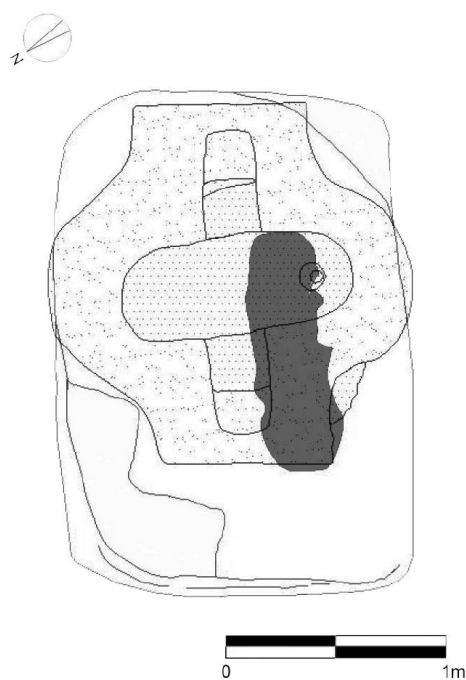


Figura 2.165. Superposición de la piscina bautismal pequeña sobre el foso UE 327 y el agujero UE 335 (S. Alcaide y M. Riera)



Figura 2.166. Agujero UE 503 (M. Riera)

son el testimonio de los lodos que pasaron por el desagüe de la piscina.¹⁰⁰ Conviene señalar, asimismo, que todos los elementos muebles encontrados en las UUEE 340 y 342, por dimensiones, también podían pasar perfectamente por dicho sumidero.

Inmediatamente al norte del basamento del extremo oriental del muro meridional del Ámbito Central,¹⁰¹ se localizó un pequeño agujero (UE 503), claramente antrópico, que cortaba el terreno natural (Figura 2.166). Era de planta aproximadamente rectangular, de 27 cm de longitud (este/oeste), 20 cm de anchura (norte/sur), y hasta 31 cm de profundidad. En su interior, se localizó un relleno (UE 504) que parecía de época antigua, aunque no se puede asegurar completamente, ya que la estratigrafía de aquella zona había sido excavada muchos años atrás. Pese a todo, por la forma del agujero, sus dimensiones y su localización, parece factible que hubiese podido pertenecer a la cimentación de un andamio o una cimbra, aunque tampoco se pueden descartar otras posibilidades.

Todavía dentro del Ámbito Central, aunque, como se ha expuesto más arriba, perteneciente a una fase anterior a su construcción, también se pudieron identificar diversos elementos localizados en la mitad occidental del interior del foso de fundación UE 199 de la piscina mayor. Allí, a ambos lados del brazo occidental de la fuente, se descubrieron dos pequeñas cubetas de planta cuadrangular.¹⁰² Estas no conservaban su coronamiento, y fueron gravemente afectadas durante la realización de las fosas de los Enterramientos 2007-3 y 2009-11, pero sí que mantuvieron parte de los sedimentos que las rellenaban, y partes suficientes de sus bases y paredes para poder conocer sus anchuras y longitudes originales.

En el interior de la cubeta septentrional se documentaron cinco rellenos diferentes. El superior (UE 397) estaba formado por un sedimento muy compactado, terroso, de color marrón y con abundantes manchas blancas (¿cal?). Presentaba algunas gravas y alguna pequeña piedra, y su potencia máxima era de 3 cm (Figura 2.122). El segundo relleno (UE 398) (Figura 2.167), de hasta 18 cm de potencia, consistía en una tierra compacta, de diversos colores (marrón, negro y blanco), y con abundantes fragmentos de mortero de cal y alguna pequeña piedra. El tercero (UE 401) presentaba una tierra de color marrón rojizo, suelta y granulada, y tenía una potencia máxima de 5 cm (Figura 2.168). En cambio, el cuarto (UE 402), de hasta 3 cm de grosor, estaba formado por una arcilla de color gris, muy fina y bastante compactada (Figura 2.169). Finalmente, el quinto relleno (UE 403), era también de arcilla muy fina, bastante compacta, y de color gris, pero con nódulos blancos y algún pequeño carbón (Figura 2.170). Su potencia máxima era de 7 cm. Las características físicas de la composición de las UUEE 402 y 403 recuerdan mucho a los limos que transportan las aguas en movimiento, y que son las que suelen aparecer en los fondos de las canales o depósitos en los que se almacena agua. Se debe destacar que en el fondo del todo de la UE 403 se encontró una moneda de bronce, que corresponde a un AE3, que se habría acuñado entre el 351 y el 360 d. C. (Marot 2012b; véase también el Anexo III de este mismo volumen). Por tanto, se puede afirmar que la amortización de la cubeta se tuvo que producir en un momento posterior al año 351.

¹⁰⁰ Tal vez también lo serían una parte de las arcillas de las UUEE constructivas 238, 271 y 316.

¹⁰¹ Basamento del que se debe recordar que ya fue identificado e ilustrado por J. Aguiló (Figura 1.1), y que seguía en su sitio en 1967 (Figuras 1.8, 1.13, 1.15 y 1.19) y hasta nuestros días.

¹⁰² En la Figura 2.57, se puede apreciar la zona en la que se encuentran las dos cubetas en un momento anterior a su descubrimiento.



Figura 2.167. Relleno UE 398 (M. Riera)



Figura 2.168. Relleno UE 401 (M. Riera)



Figura 2.169. Relleno UE 402 (M. Riera)



Figura 2.170. Relleno UE 403 (M. Riera)

Una vez excavados los cinco rellenos se pudo observar que la cubeta presentaba una planta aproximadamente cuadrangular, con los extremos ligeramente redondeados, y con unas paredes que no eran rectas, ni bien verticales, ni del todo paralelas (Figura 2.171 y 2.172). En su interior, medía 48 cm de longitud (norte/sur) y entre 40 y 46 cm de anchura. Su altura máxima conservada era de 35 cm. Tanto las paredes como la base tenían un revoque de mortero de cal de color gris (UE 404), muy deteriorado, pero que todavía conservaba algunas superficies muy lisas. Medía entre 2 y 6 cm de grosor.

En el interior de la cubeta meridional, se localizó un agujero de expolio (UE 528), a través del cual se arrancó prácticamente todo el revoque de su base, y de los 8 a 12 cm más bajos de sus paredes. Dicho agujero, de hasta 35 cm de altura, se adaptó a la anchura de la cubeta. En su interior, se documentaron cinco rellenos diferentes (UUEE 501, 502, 505, 506 y 516), pero que siempre presentaban fragmentos de *opus signinum* que parece que pertenecieron a la piscina bautismal mayor (Figuras 2.173, 2.174, 2.175 y 2.176).¹⁰³

A pesar de los destrozos ocasionados durante la realización del agujero UE 528 y de la fosa del Enterramiento 2007-3, se pudo apreciar que la cubeta meridional era muy parecida a la septentrional

¹⁰³ En la UE 502 también se identificaron cenizas; carbones en la UE 516; y, en la UE 505, fragmentos del revoque de las paredes de esta cubeta meridional.



Figura 2.171. Cubeta septentrional una vez vacía (M. Riera)



Figura 2.172. Detalle de la cubeta septentrional una vez vacía (M. Riera)



Figura 2.173. UUEE 199, 460, 501 y 543 de la zona de la cubeta meridional (M. Riera)



Figura 2.174. UE 502 de la zona de la cubeta meridional (M. Riera)



Figura 2.175. UE 505 de la zona de la cubeta meridional (M. Riera)



Figura 2.176. UE 506 de la zona de la cubeta meridional (M. Riera)



Figura 2.177. UE 516 de la zona de la cubeta meridional (M. Riera)



Figura 2.178. Cubeta meridional una vez vaciado el agujero de expolio UE 528 (M. Riera)



Figura 2.179. Cubetas meridional y septentrional a ambos lados de la escalera occidental de la piscina bautismal mayor (M. Riera)

antes descrita, tanto por lo que respecta a su forma, como a sus dimensiones internas (Figura 2.177 y 2.178).¹⁰⁴ Sus revoques también eran visualmente idénticos, aunque en el presente caso no superaba los 3 cm de grosor.

Las paredes este, sur y oeste de la cubeta septentrional, y las paredes este, norte y oeste de la meridional, se habían realizado mediante la colocación de piedras y losetas, normalmente de plano, formando hiladas, solidarias entre ellas, y ligadas con abundante mortero de cal (UUEE 526 y 527) (Figura 2.179 y 2.180). Conviene resaltar que se pudo observar cómo estas paredes eran imbricadas a los rellenos UE

¹⁰⁴ En la cubeta meridional su altura máxima conservada no superaba los 28 cm.



Figura 2.180. Cubetas meridional y septentrional a ambos lados de la escalera occidental de la piscina bautismal mayor (M. Riera)



Figura 2.181. Base de la piscina bautismal mayor con su desagüe (M. Riera)



Figura 2.182. Detalle del desagüe de la piscina bautismal mayor (M. Riera)

463 y 543,¹⁰⁵ lo cual evidencia que se construyeron al mismo tiempo que la piscina bautismal. En cambio, como pared norte de la primera cubeta, y sur de la segunda, se aprovechó únicamente el corte del foso UE 199, al que se adosaron directamente los revocos de ambos depósitos.

Llegados a este punto, se pudo apreciar que el foso de fundación UE 199 de la piscina mayor medía un máximo 2,45 m de ancho (norte/sur), por 3,5 m de largo (este/oeste). Como se ha visto más arriba, en su extremo oriental tenía una profundidad máxima de 1,10 m, pero todo apunta a que en su parte central sería más honda. Y es que se debe tener presente que, en el fondo de la fuente, aproximadamente en su centro, existe un desagüe realizado en el signino (Figura 2.181, 2.182, 2.183, 2.184). Este es de planta entre circular y ovalada, con un diámetro máximo de 3,5 cm.

El proceso de excavación del baptisterio de Son Peretó aportaba, por tanto, numerosos datos que permiten comprender mejor la evolución de este espacio del complejo paleocristiano, así como aclarar el problema de la existencia de dos piscinas bautismales. En su conjunto, como se verá más adelante, los datos obtenidos, contribuyen enormemente a entender la evolución histórica del espacio y a obtener datos adicionales sobre los rituales de enterramiento desarrollados en este espacio privilegiado. Este proceso lento y laborioso de excavación, cuyas conclusiones se verán más adelante, ha permitido además recuperar un sector del yacimiento (Figura 2.185 y 2.186) y gracias a las tareas de conservación y restauración ponerlo a disposición del público.

¹⁰⁵ Muy probablemente también lo eran con el relleno UE 466 (Figuras 2.61, 2.62 y 2.171).

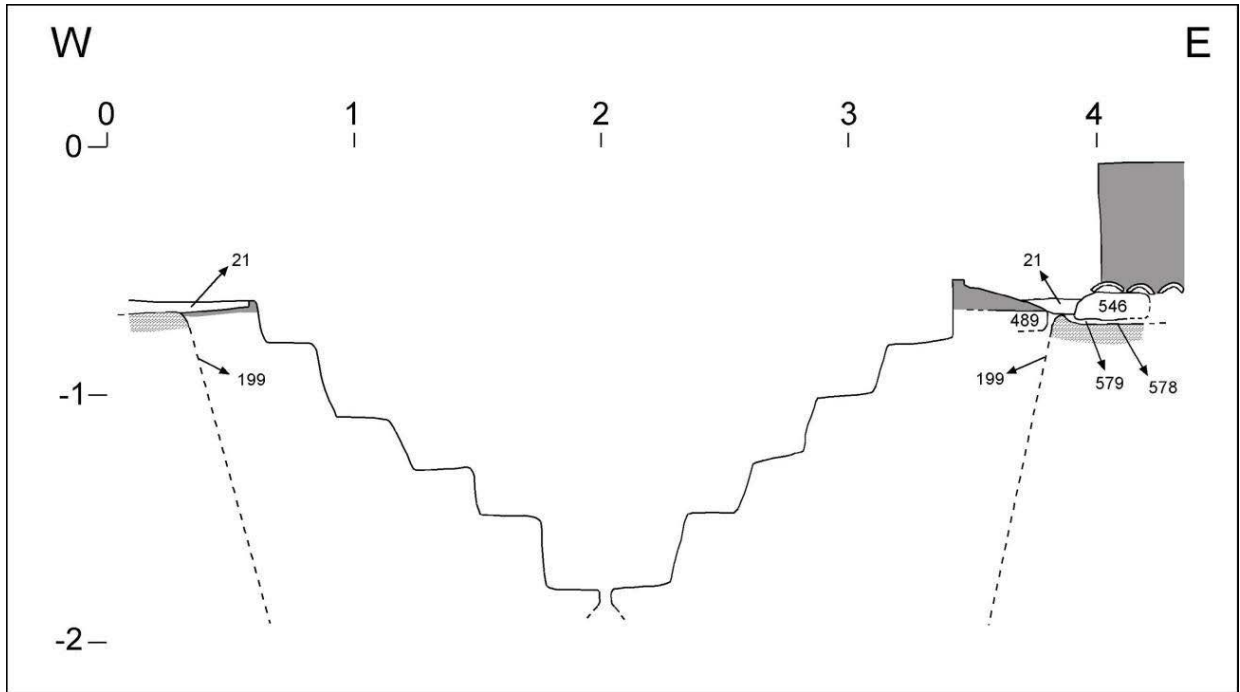


Figura 2.183. Sección este/oeste pasada por el eje longitudinal de la piscina bautismal (M. Riera)

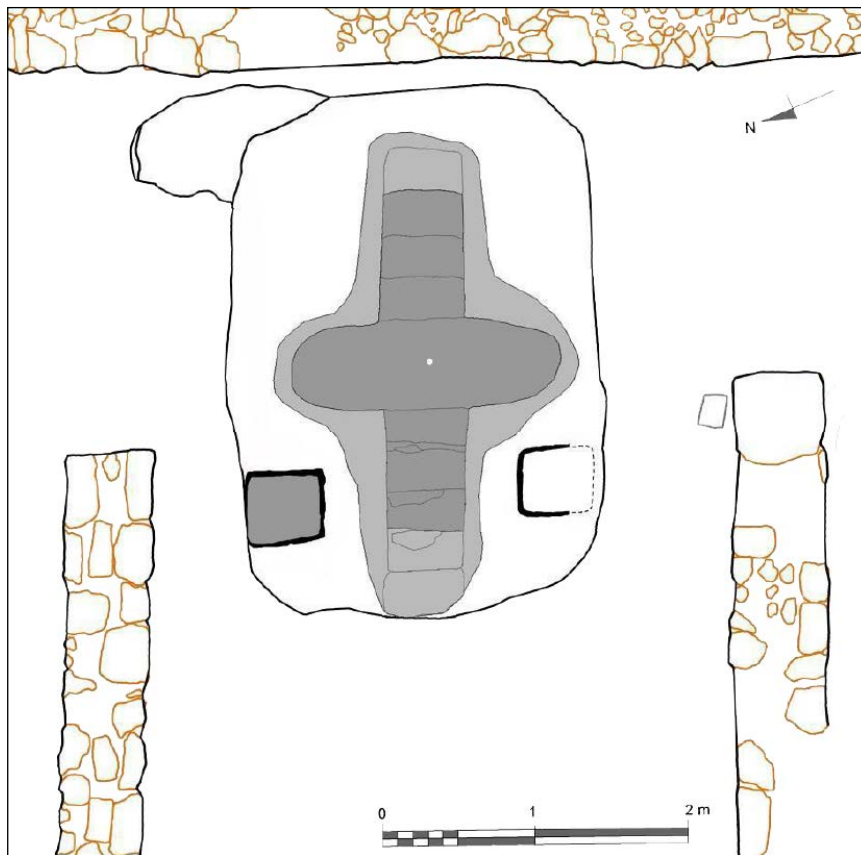


Figura 2.184. Planta del agujero UE 503 y del foso UE 199. En el interior de este último se pueden apreciar las dos cubetas en su estado original y la piscina bautismal, de la que se ha marcado en gris oscuro la parte original conservada, y en gris claro la parte añadida en el siglo XX (S. Alcaide, J. M. Puche y M. Riera)



Figura 2.185. Ortofoto de la basílica y el baptisterio de Son Peretó una vez acabada la intervención de 2016
(Fotos con dron: M. À. Escanelles; Montaje: J. M. Puche)



Figura 2.186. Ortofoto del baptisterio de Son Peretó una vez acabada la intervención de 2016
(Fotos con dron: M. À. Escanelles; Montaje: J. M. Puche)

Capítulo 3

Los materiales cerámicos del baptisterio de Son Peretó

Mateu Riera Rullan¹⁰⁶, Miguel Ángel Cau Ontiveros¹⁰⁷

Introducción

A continuación, se presentan las cerámicas recuperadas en el Sector Baptisterio durante las campañas de 1967, 1982 y, entre 2005 y 2016. Conviene recordar que cabe la posibilidad de que ciertos materiales de 1967 y 1982 no se hubiesen hallado exactamente en dicho sector, sino en las inmediaciones. En cualquier caso, dado que todo apunta a que estos serían una minoría, se ha considerado oportuno incluirlos en el presente estudio. Se ignora completamente el contexto arqueológico en el que aparecieron los materiales de las campañas de 1967 y 1982.

La gran mayoría del material analizado (Número Mínimo de Individuos¹⁰⁸=176) es de época antigua, entendiéndose por esta, desde el 123 a. C. hasta el 902 d. C. pero, tal y como se verá a continuación, predominan, sobre todo, las producciones de los siglos V a VII d. C.

Además de los materiales adscribibles a época antigua que se presentarán en el siguiente apartado, se puede citar un pequeño grupo de piezas de producción autóctona que podrían corresponder a momentos anteriores a la conquista romana de las Baleares del 123 a. C. Se trata de cerámicas de tradición indígena hechas a mano (NMI: 2).¹⁰⁹ En cualquier caso, se debe tener en cuenta que estas producciones se siguieron fabricando durante varias décadas después de la incorporación de las islas al dominio romano y, por tanto, no es posible determinar si datarían de momentos anteriores o posteriores al año 123 a. C. Sucede lo mismo con unos pocos materiales importados que se presentarán a continuación pertenecientes a producciones de Cocina Itálica, Ánfora Ibicenca y Ánfora Itálica, así como algunas de las del subapartado dedicado a las producciones indeterminadas, pero todo apunta a que la mayoría de estas cerámicas llegaron a Mallorca después de la conquista romana.

¹⁰⁶ Profesor asociado de la Universitat Autònoma de Barcelona, profesor de la Facultat Antoni Gaudí d'Història, Arqueologia i Arts Cristianes, investigador adscrito al Institut Català d'Arqueologia Clàssica.

¹⁰⁷ Institució Catalana de Recerca i Estudis Avançats (ICREA), Pg. Lluís Companys 23, 08010 Barcelona, Spain; Equip de Recerca Arqueològica i Arqueomètrica de la Universitat de Barcelona (ERAAUB), Institut d'Arqueologia de la Universitat de Barcelona (IAUB); Universitat de Barcelona (UB), Facultat de Geografia i Història, Departament d'Història i Arqueologia, c/ Montalegre 6-8, 08001 Barcelona, Spain; Chercheur Associé, Aix Marseille Univ, CNRS, CCJ, Aix-en-Provence, France.

¹⁰⁸ A partir de ahora: NMI. Para calcularlo se han utilizado los bordes dado que son estos los que suelen permitir una identificación más precisa de la forma y el tipo de las piezas. Solo se han hecho servir las bases o las asas cuando se carecía de bordes. En el caso de solo tener fragmentos informes, el NMI siempre es uno como máximo. Para más detalles de esta manera de calcular el NMI, véase: Riera Rullan 2015; 2017: 266).

¹⁰⁹ Corresponden a un fragmento de borde de la UE 577, un fragmento de forma indeterminada de la UE 469, y 26 fragmentos informes de las UUEE 21, 469, 507, 561 y 565. En la UE 474 también se encontró un fragmento informe del que no se pudo determinar si correspondía a una de estas producciones o a cerámica de Cocina Tardía.

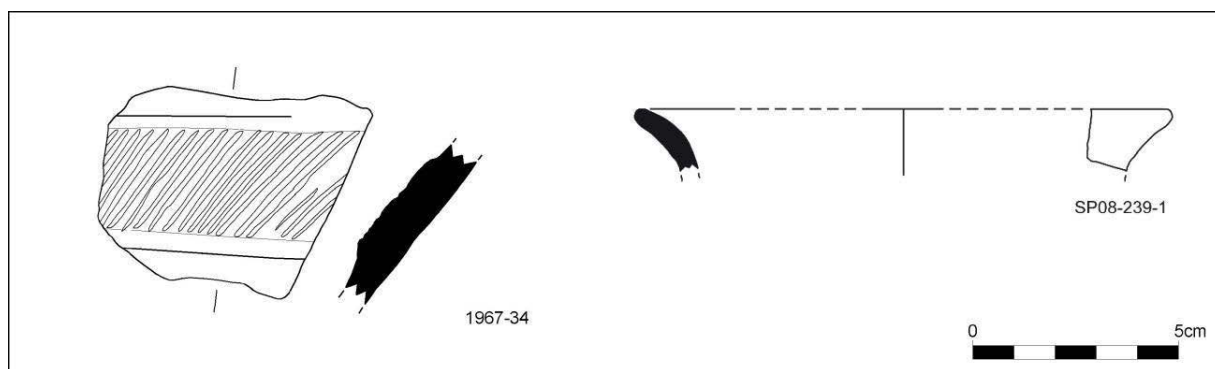


Figura 3.1. Materiales de época islámica, o posiblemente de dicha época (A. Martínez y M. Riera)

También se ha podido identificar una pieza de época islámica (902/3 hasta 1229 d. C.). Corresponde a un fragmento informe de tinaja o lebrillo que presenta un cordón con incisiones rectas, inclinadas y paralelas (Figura 3.1: 1967-34). En la UE 188, perteneciente al nivel superficial, se recuperaron un fragmento de base y un fragmento informe que, por las características de la pasta y por sus acabados, parece que también podrían pertenecer al periodo andalusí de las Baleares, aunque no puede descartarse que sean unas producciones unos siglos anteriores. Idéntica problemática presentan un fragmento de borde que parece pertenecer a una olla (Figura 3.1: 08-239-1) y 3 fragmentos informes de las UUEE 239 y 242.

En las UUEE 21, 188 y 239 se encontraron un fragmento de borde y tres fragmentos informes de cerámica de cocina con vidriado melado en su interior que serían posteriores al año 1230 y anteriores a la segunda mitad del siglo XX. También se puede encuadrar en este arco cronológico un fragmento informe de cerámica común con vidriado melado en su interior, localizado en la UE 216. Finalmente, en las UUEE 21, 188, 211, 216, 239 y 250, se localizaron un fragmento de base, dos fragmentos de asa y 14 fragmentos informes de los que no se ha podido determinar su antigüedad.

Producciones de época antigua

El material de época antigua se puede agrupar en siete grandes clases: Vajillas Finas, Cerámicas de Cocina, Ánforas, Cerámica común, Lucernas, y Tejas y ladrillos. También se ha creado un grupo aparte denominado Producciones Indeterminadas.

Vajillas Finas

Dentro del grupo de las cerámicas que se pueden considerar como pertenecientes a la vajilla fina de mesa se pueden diferenciar las siguientes: Paredes Finas, *Terra Sigillata* Indeterminada (TS Indeterminada), *Terra Sigillata* Clásica (TS Clásica), *Terra Sigillata* Lucente (TS Lucente), *Terra Sigillata* Africana Indeterminada (TSA Indeterminada), *Terra Sigillata* Africana A (TSAA), *Terra Sigillata* Africana D (TSAD) y *Late Roman C* (LRC).¹¹⁰ Tal y como se puede apreciar la Tabla 3.1, la inmensa mayoría de la vajilla fina encontrada en el Sector Baptisterio pertenece a las producciones de TSAD.¹¹¹

¹¹⁰ Para la identificación, clasificación y datación de estas producciones se han utilizado, principalmente, los siguientes trabajos: Hayes 1972; 1980; *Atlante I* 1981; López Mullor 1989; Raynaud 1993b; 1993c; Reynolds 1995; Tortorella 1998; Bonifay 2004.

¹¹¹ En las tablas del presente capítulo se utilizan las siguientes abreviaturas: BO = Borde; BA = Base; AS = Asa; IN = Informe; OT = Otros; REF = Referencia de las piezas.

Estos productos de vajilla pertenecen, mayoritariamente, a un arco cronológico que abarca los siglos V a VII d. C. (NMI: 40). Sin embargo, es posible identificar cuatro piezas (NMI: 4) que pueden fecharse entre los siglos I a. C. y IV d. C.: dos ejemplares de Paredes Finas (Figura 3.2), uno de TS Clásica, y uno de TSAA. Hay también un total de 120 piezas (NMI: 18), de las que no es posible determinar si pertenecen al período de entre los siglos I a. C. y IV d. C. o al de los siglos V a VII d. C. Estas corresponden a dos fragmentos de TS Indeterminada, un posible fragmento de TS *Lucente*, 13 fragmentos de TSA Indeterminada, y 104 fragmentos de TSAD. Entre estos 104 últimos fragmentos hay 15 bordes: tres de ellos asimilables al tipo Hayes 61B; uno al tipo Hayes 91A o B; y un posible tipo Ostia III, 128 (Figura 3.2); 12 bases y 77 informes (Figura 3.3), la mayoría de los cuales parecen pertenecer a producciones posteriores al año 400 d. C., aunque no se puede descartar que sean algo más antiguas.

Las cerámicas de TSAD fechables más claramente entre el siglo V y VII (NMI: 39) se pueden asimilar a los tipos Hayes 87 (2 bordes), Hayes 88 (1 borde), Hayes 90 (1 borde), Hayes 91C (1 borde), Hayes 93/94/98 (Entre 2 y 4 bordes), Hayes 99A o B (6 bordes), Hayes 99B o C (1 borde), Hayes 99C (4 bordes), Hayes 99C o 80B (1 borde), Hayes 99D=80B/99 (3 borde)¹¹², Hayes 103 (2 bordes), Hayes 104 (1 borde), Hayes 104, seguramente de la variante A (1 borde), Hayes 104B (1 borde), Hayes 104C (1 borde), Hayes 104 o 105 (2 bordes), Hayes 106 (1 borde). También se pueden enmarcar en dicho arco cronológico una posible Hayes 80B, una posible Hayes 81, una posible Hayes 98, una posible Hayes 91D y diversas piezas de tipo indeterminado pertenecientes a un borde, cuatro bases¹¹³ y tres informes (Figuras 3.4 a 3.7).

Entre las producciones de los siglos V a VII d. C., además de la TSAD hasta ahora descritas originarias del norte de África, concretamente del territorio del actual Túnez, también se han documentado dos fragmentos de LRC (NMI: 1) originarias de Focea, actual Turquía. Se trata de un fragmento de borde y un fragmento de base (Figura 3.7).¹¹⁴

¹¹² Uno de ellos tal vez corresponde al tipo Hayes 50B, nº 61.

¹¹³ Tal y como se indica en la tabla, dos de estas bases podrían no ser del baptisterio de Son Peretó, sino del de Sa Carrotja (1967-35 y 1967-36).

¹¹⁴ Se trataría, muy probablemente, de dos individuos, ya que sus pastas y barnices son muy diferentes, pero se considera uno el NMI, siguiendo los criterios antes expuestos.

CAPÍTULO 3: LOS MATERIALES CERÁMICOS DEL BAPTISTERIO DE SON PERETÓ

VAJILLA FINA								
CLASE	TIPO O FORMA	BO	BA	AS	IN	OT	OBSERVACIONES	REF
Paredes Finas		1						10-21-1
Paredes Finas			1					10-507
TS Indeterminada					2			07-188
TS Clásica					1			10-475
TS Lucente?					1		No es nada seguro que lo sea	07-211
TS Africana Indeterm.					1			F2N
TS Africana Indeterm.	Cerrada?		1	1	2			07-188
TS Africana Indeterm.					1			07-217
TS Africana Indeterm.					1			08-250
TS Africana Indeterm.					2			08-271
TS Africana Indeterm.		1			1			09-371
TS Africana Indeterm.					2			10-21
TS Africana A			1					09-356
TS Africana D	Hayes 61B	1			1			1967-3
TS Africana D	Hayes 61B	1						1967-4
TS Africana D	Hayes 61B	1					Tal vez variante tardía (Bonifay 2004)	07-188-1
TS Africana D	Hayes 80B?	1						10-472-2
TS Africana D	Hayes 81?	1						09-365-1
TS Africana D	Hayes 87	1						F2S-1
TS Africana D	Hayes 87	1						05-21-1
TS Africana D	Hayes 88					2		10-450
TS Africana D	Hayes 88	1						10-458-3
TS Africana D	Hayes 90	1						1967-5
TS Africana D	Hayes 91A o B	1						1967-6
TS Africana D	Hayes 91C	1						07-188
TS Africana D?	Hayes 91D	1					Está tan rodada y desgastada que puede llegar a confundirse con cerámica común africana	06-122-4
TS Africana D	Hayes 93/94/98	1						G2N-12
TS Africana D	Hayes 93/94/98?	1						08-262-1
TS Africana D	Hayes 93/94/98?	1						08-262-3
TS Africana D	Hayes 93/94/98	1						11-555-1
TS Africana D	Hayes 98?	1						1967-7
TS Africana D	Hayes 99A o B	1						1967-8
TS Africana D	Hayes 99A o B	1						1967-9
TS Africana D	Hayes 99A o B	1						1967-10
TS Africana D	Hayes 99A o B	1						08-241-2
TS Africana D	Hayes 99A o B	1						08-255-1
TS Africana D	Hayes 99A o B	1					Probablemente B	10-450-1
TS Africana D	Hayes 99B o C	1						10-470-1
TS Africana D	Hayes 99C	1						1967-11
TS Africana D	Hayes 99C	1						G2N-7
TS Africana D	Hayes 99C	1						G2N-13
TS Africana D	Hayes 99C	1						10-458-4
TS Africana D	Hayes 99C o 80B	1					Borde ahumado y barniz muy diluido	1967-12

TABLA 3.1. INVENTARIO DE LA VAJILLA FINA

EXCAVACIONES EN EL BAPTISTERIO DEL CONJUNTO ECLESIASTICO DE SON PERETÓ

VAJILLA FINA								
CLASE	TIPO O FORMA	BO	BA	AS	IN	OT	OBSERVACIONES	REF
TS Africana D	Hayes 99D=80B/99	1					Por la pasta y el barniz parece una producción tardía	G2N-6
TS Africana D	Hayes 99D=80B/99 o Hayes 50B, nº 61	1					Por la pasta y el barniz parece una producción tardía	G2N-11
TS Africana D	Hayes 99D=80B/99	1						06-122-5
TS Africana D	Hayes 103	1						1967-13
TS Africana D	Hayes 103	1						08-262-2
TS Africana D	Hayes 104	1						1967-14
TS Africana D	Hayes 104	1					Seguramente de la variante A	13-424
TS Africana D	Hayes 104B	1						G2N-14
TS Africana D	Hayes 104C	1						F2S-2
TS Africana D	Hayes 104 o 105	2						10-450
TS Africana D	Hayes 106	1						07-188-2
TS Africana D	Hayes 107	1						1967-15
TS Africana D	Ostia III, 128?	1						1967-16
TS Africana D		1						1967-17
TS Africana D	Pátera?		1				Con decoración estampillada	1967-18
TS Africana D	Abierta		1				Con decoración estampillada: pies de una figura humana	1967-19
TS Africana D	Bol?		1				Con decoración estampillada: cruz	1967-20
TS Africana D	Bol?		1				Con decoración estampillada: paloma	1967-35 ¹¹⁵
TS Africana D			1				Con decoración estampillada: cabeza humana?	1967-36 ¹¹⁶
TS Africana D			1				Con posible grafiti post-cocción	F2N-1
TS Africana D			1					F2N
TS Africana D					1		Decoración espatulada= glanztonfilm	F2S-3
TS Africana D			1		4			F2S
TS Africana D		2	1		2			G2N
TS Africana D		1			1			05-21
TS Africana D					1			07-188
TS Africana D					1		Con agujeros para grapas	07-211
TS Africana D					2			08-238
TS Africana D					2			08-262
TS Africana D		1						08-271-2
TS Africana D			1					08-271-3
TS Africana D					2			08-271
TS Africana D			1				Con decoración estampillada: círculos concéntricos en decoración Aii	08-303-1
TS Africana D		1			1			08-321
TS Africana D					1			08-322
TS Africana D					2			08-324
TS Africana D		1			1			08-340
TS Africana D		1						09-21-1
TS Africana D					1			09-371

TABLA 3.1. INVENTARIO DE LA VAJILLA FINA CONT.

¹¹⁵ No se ha podido determinar si esta pieza se encontró en el baptisterio de Son Peretó o en el de Sa Carrotja.

¹¹⁶ Tampoco se ha podido determinar si esta pieza se encontró en el baptisterio de Son Peretó o en el de Sa Carrotja.

CAPÍTULO 3: LOS MATERIALES CERÁMICOS DEL BAPTISTERIO DE SON PERETÓ

VAJILLA FINA								
CLASE	TIPO O FORMA	BO	BA	AS	IN	OT	OBSERVACIONES	REF
TS Africana D					12			10-21
TS Africana D					1			10-413
TS Africana D					3		Una podría ser TSAE	10-414
TS Africana D					1			10-421
TS Africana D					1			10-430
TS Africana D					1			10-431
TS Africana D					1			10-438
TS Africana D					1			10-450?
TS Africana D		1	3		11	1		10-450
TS Africana D					1			10-456
TS Africana D			1		3		La base con decoración a ruedecilla	10-458
TS Africana D					1			10-470
TS Africana D		1						10-472-1
TS Africana D		1			5			10-472
TS Africana D					1			10-474
TS Africana D					1			10-483
TS Africana D			1					10-485
TS Africana D					1			10-516
TS Africana D					6			11-472
TS Africana D					1			11-490
TS Africana D					1			11-545
TS Africana D					1			11-560
LRC	Pátera?		1					1967-22
LRC	Hayes 3	1						F2S-4

TABLA 3.1. INVENTARIO DE LA VAJILLA FINA CONT.

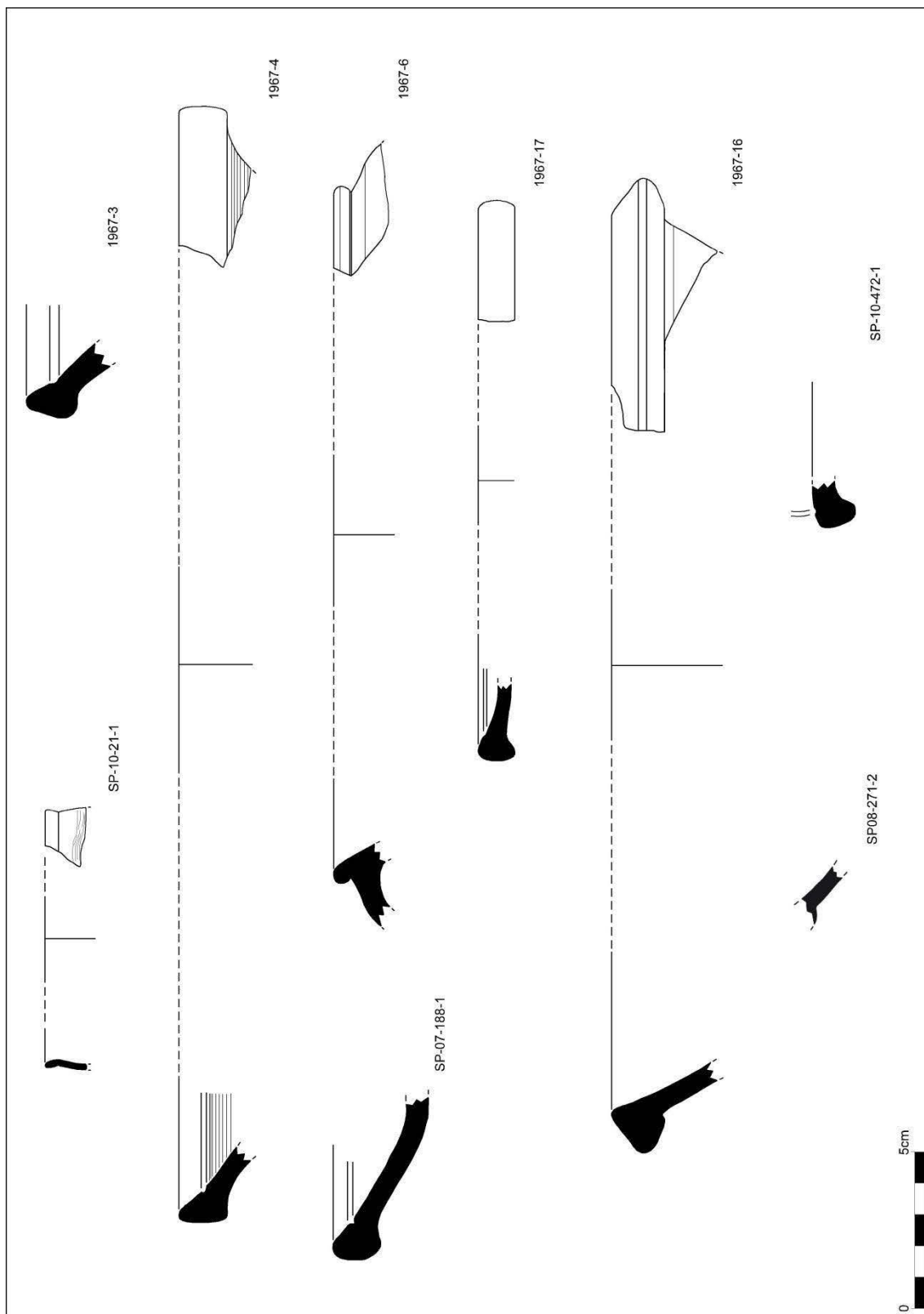


Figura 3.2. Vajilla Fina de entre los siglos I a. C. y VII d. C. (A. Martínez y M. Riera)

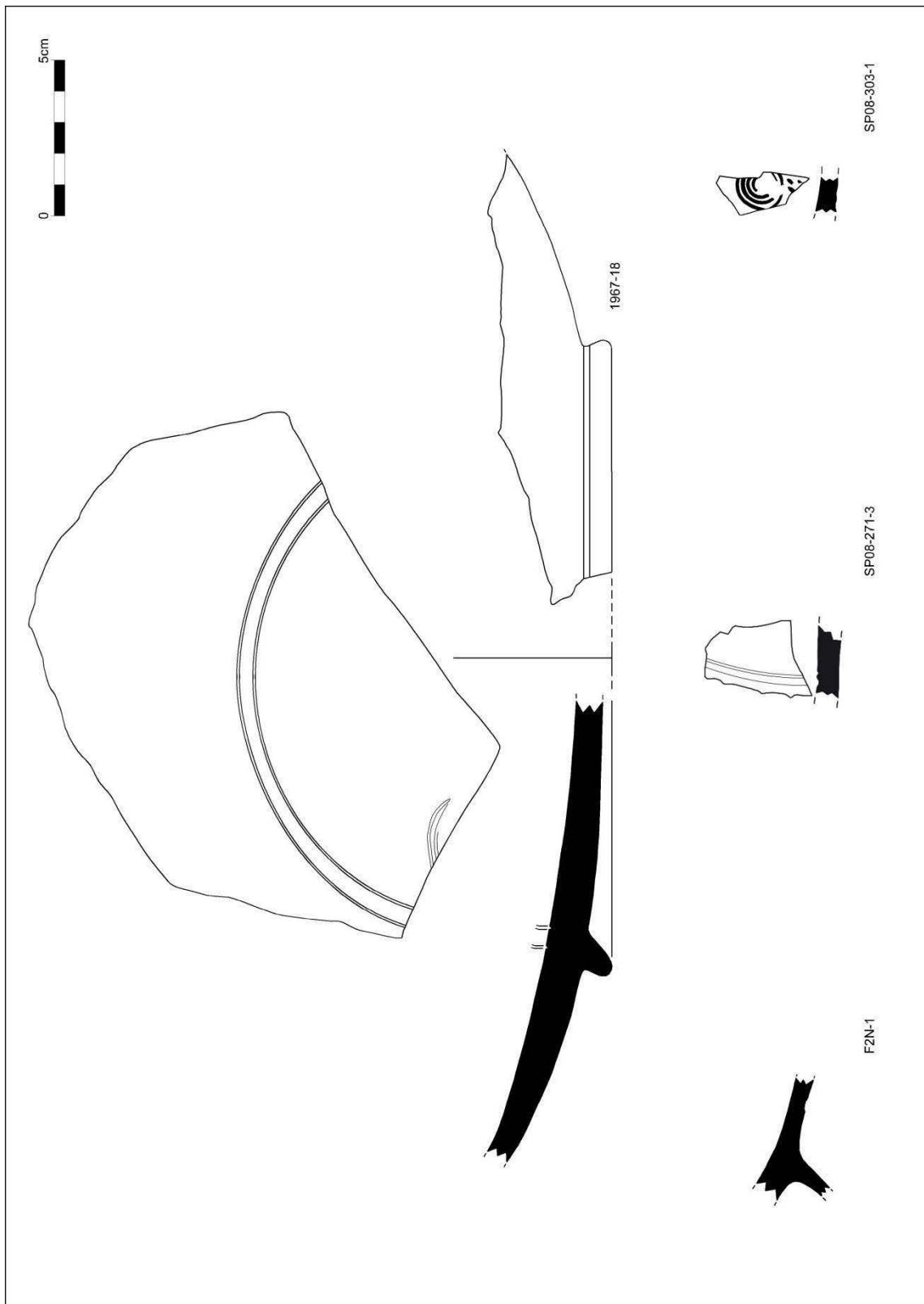


Figura 3.3. TSAD de los siglos IV a VII d. C. (A. Martínez y M. Riera)

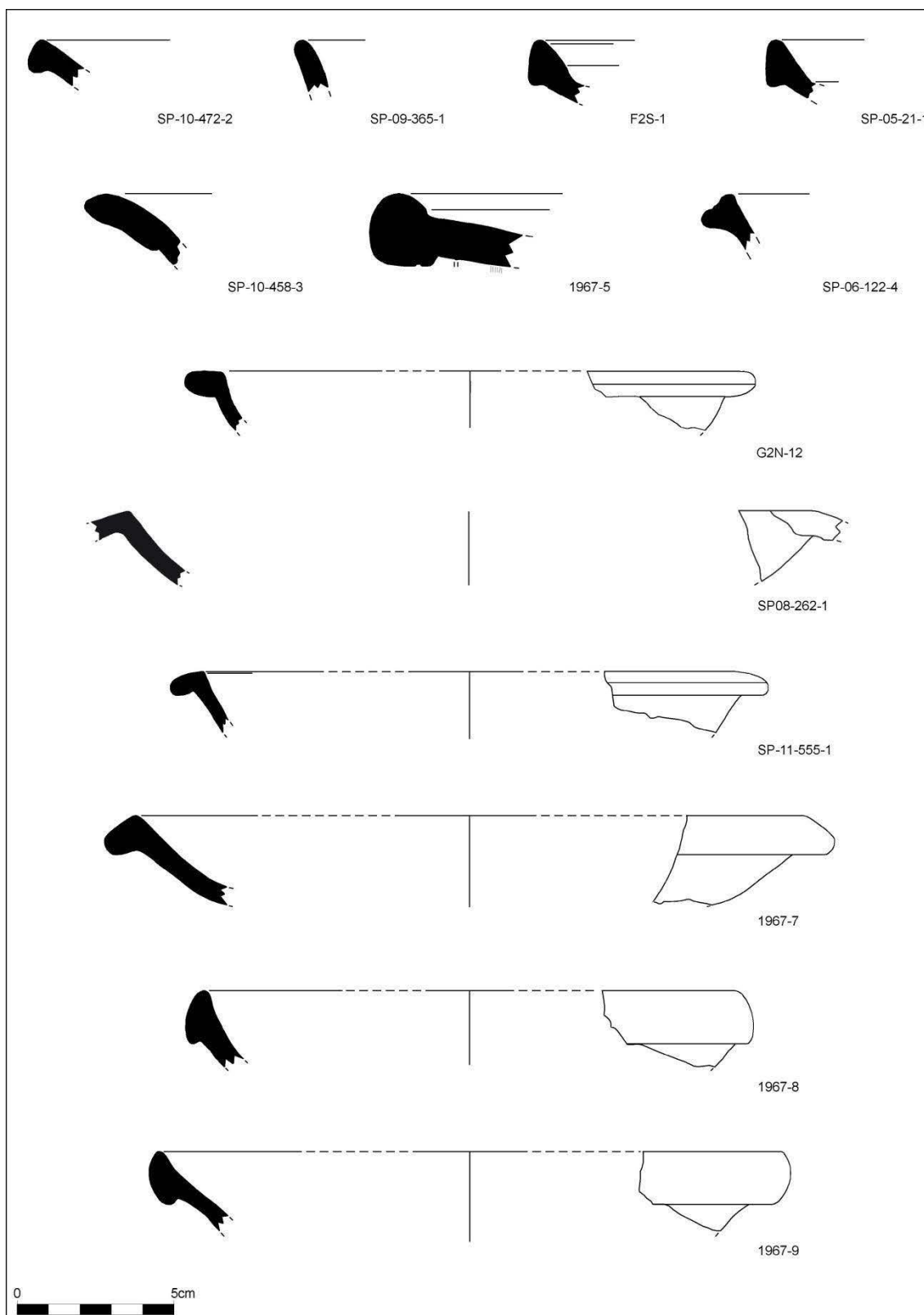


Figura 3.4. TSAD de los siglos V a VII d. C. (A. Martínez y M. Riera)

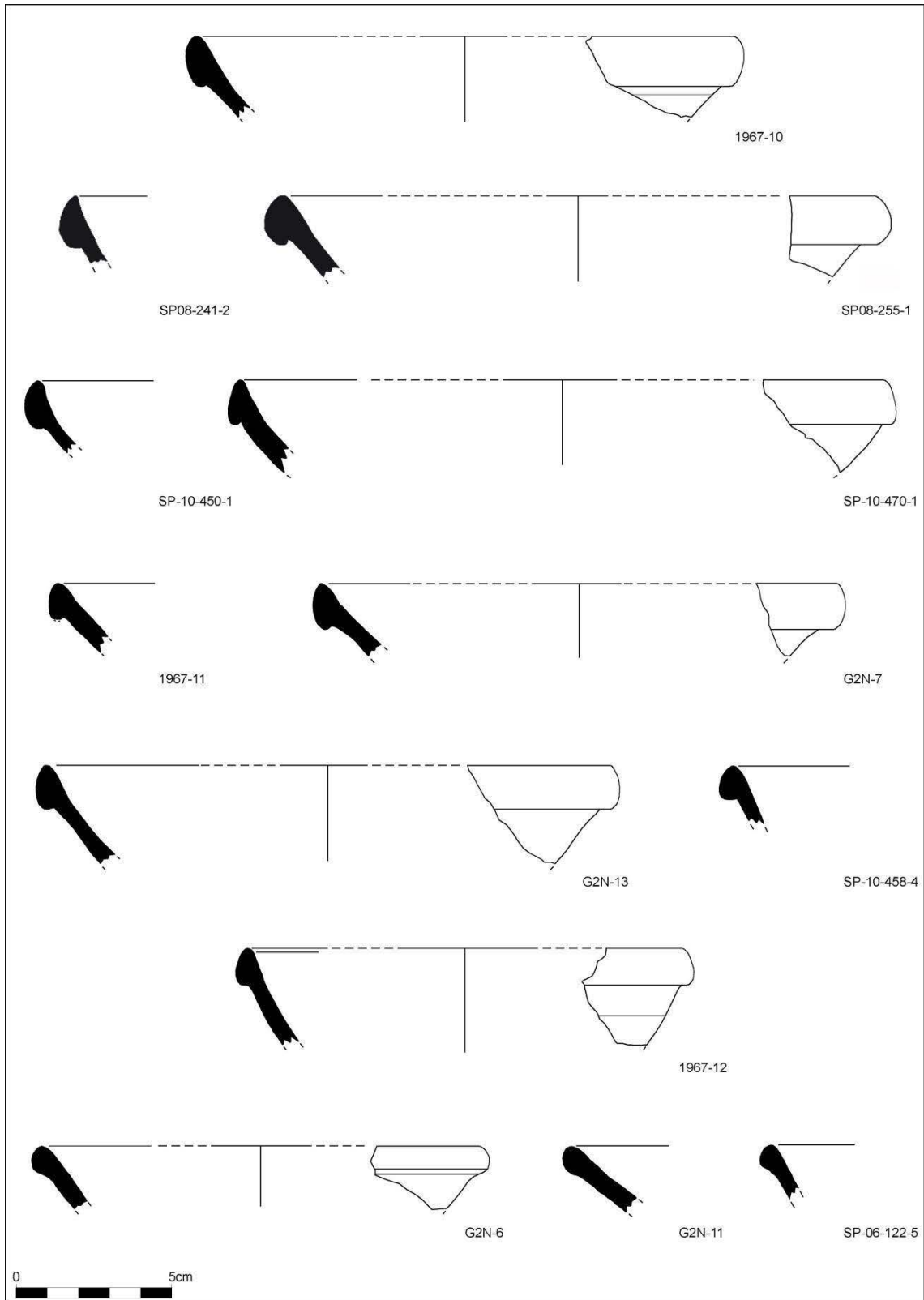


Figura 3.5. TSAD de los siglos V a VII d. C. (A. Martínez y M. Riera)

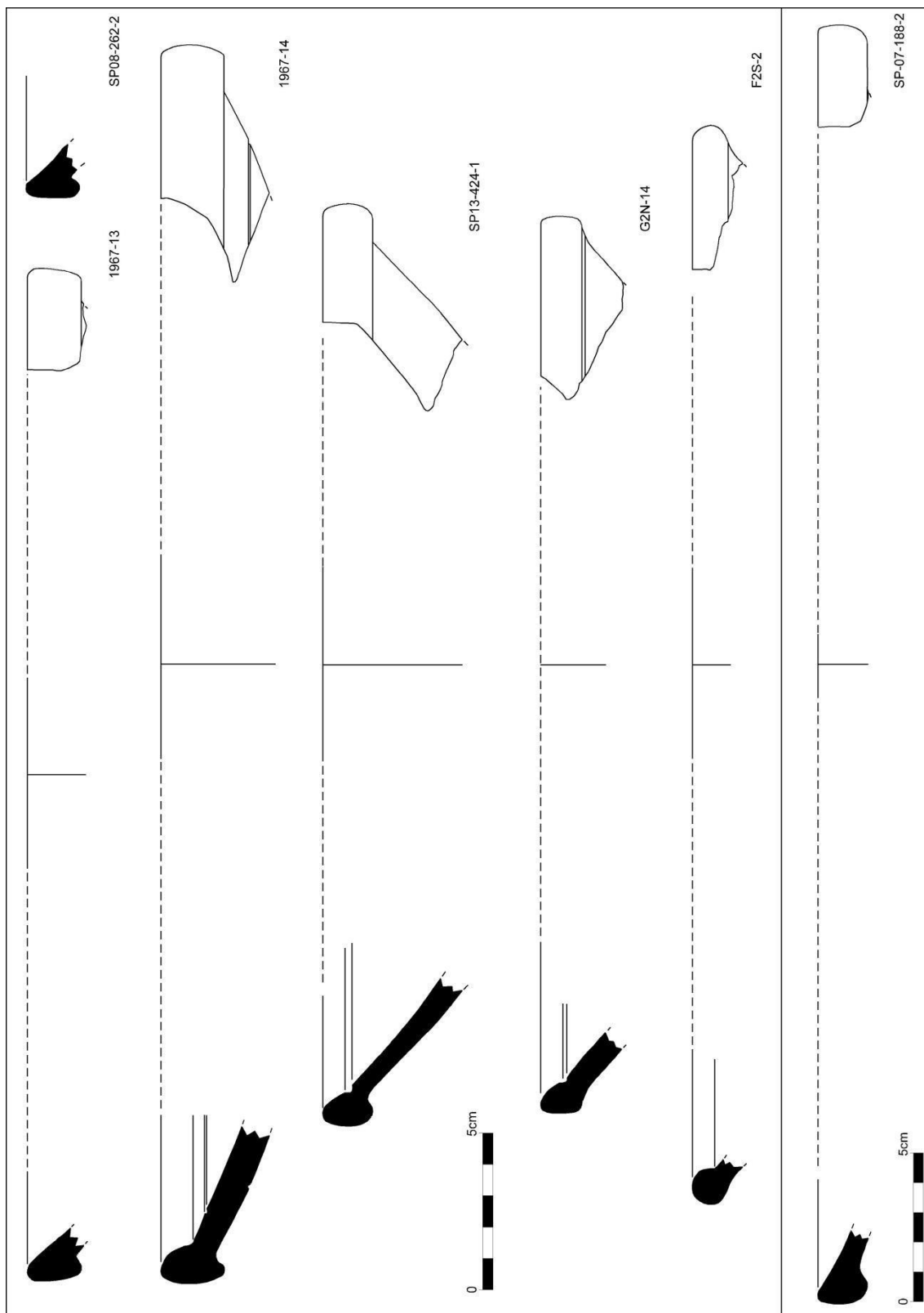


Figura 3.6. TSAD de los siglos V a VII d. C. (A. Martínez y M. Riera)

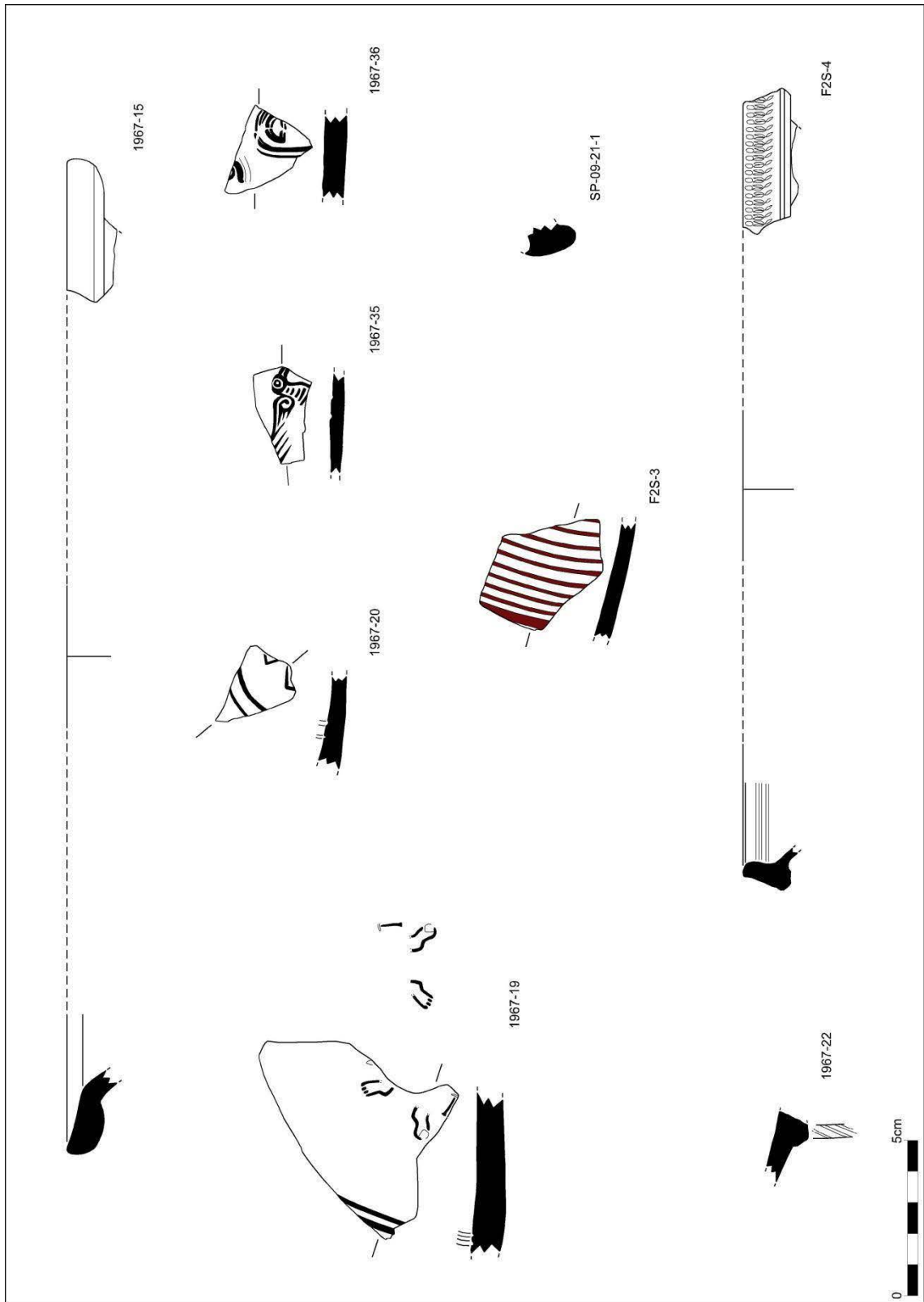


Figura 3.7. TSAD y LRC de los siglos V a VII d. C. (A. Martínez y M. Riera)

Cerámicas de Cocina

Se han podido identificar 48 fragmentos cerámicos de cocina (NMI: 12), que se han agrupado en cuatro grupos: Cocina Itálica (NMI: 1), Cocina Africana (NMI: 4), Cocina Tardía (NMI 6) y Cocina Indeterminada (NMI: 1) (Tabla 3.2).¹¹⁷

Entre las cerámicas de Cocina Africana se han podido constatar una cazuela del tipo Lamboglia 10A = Hayes 23B = Cb/CCA/Lamb. 10a, una cazuela Ostia III, 267 = Hayes 197 = Bonifay 10, y dos platos-tapadera (Figura 3.8). Entre las de Cocina Tardía se han identificado: una cazuela del tipo Fulford 8;¹¹⁸ una cazuela del tipo Ca/Dau/3 o Cb/Dau/1;¹¹⁹ una forma indeterminada con abundantes partículas plateadas;¹²⁰ una olla de producción indeterminada que, tal vez, podría corresponder a producciones HMW10 de Reynolds (1993);¹²¹ una forma indeterminada con desgrasante vegetal;¹²² y otra forma indeterminada con partículas de calcárea (Figura 3.8).

Tan solo una de las piezas de cerámica de cocina se puede situar claramente con anterioridad al siglo V (la pieza de Cocina Itálica). Son cinco las que podrían ser del siglo V (las de Cocina Africana y la de Cocina Indeterminada), pero también podrían ser más antiguas. Finalmente, se pueden considerar de los siglos V a VII los seis ejemplares de Cocina Tardía, aunque no se descarta que alguna de ellas sea del siglo VIII.

Por lo que respecta a las cerámicas que podrían pertenecer a los siglos V a VIII, las cuatro piezas de Cocina Africana son originarias del territorio tunecino, y la cazuela del tipo Fulford 8 parece que se habría fabricado en Cerdeña, aunque no está del todo claro. En cambio, se desconoce el lugar de fabricación de las otras cerámicas de Cocina Tardía. Las que presentan desgrasante vegetal podrían ser producciones autóctonas, aunque tampoco se puede descartar que sean importaciones (Cau 2007: 226, 229 y 245; Cau, Tsantini y Gurt 2010: 196; Riera Rullan 2015, 2017; Tsantini, Cau y Gurt 2013: 130 y 139).

¹¹⁷ Para la identificación, clasificación y datación de estas producciones se han utilizado, principalmente, los siguientes trabajos: Aguarod 1992; *Atlante I* 1981; Bonifay 2004; Buxeda *et al.* 2005; CATHMA 1991; Cau 1994; 1998; 1999; 2003; 2007; Fulford y Peacock 1984; Hayes 1972; Macias 1999; Reynolds 1993; 1995.

¹¹⁸ De las producciones *A major black-burnished volcanic fabric. Fabric 1.2* (Fulford y Peacock 1984, 10) = Fábrica 3.1 (Cau 1994, 1998, 2003).

¹¹⁹ De las producciones con abundantes partículas doradas (Macias 1999) = *Fabrics with golden micaceous particles. Fábrica 3.2/3.3* (Cau 1998, 2003) = *Handmade Ware 8* (Reynolds 1993).

¹²⁰ De las producciones *muscovite-rich fabrics. Fabrics 1.6/1.7* (Fulford y Peacock 1984: 12) = Fábricas 2.1/2.2, 2.3, 2.4, 2.5 (Cau 1998, 2003) = Fábricas moscovíticas (Riera Rullan y Cau 2013).

¹²¹ Son producciones que ya se habían identificado en el Sector Oeste de Son Peretó (Riera Rullan y Cau 2013).

¹²² Aparentemente, de las producciones *Fabric 6.21* (Buxeda *et al.* 2005: 231) o *Group B* (Cau, Tsantini y Gurt 2010), documentadas en diversas zonas de Son Peretó: Cau 2007: 226; Cau, Riera Rullan y Salas 2012b: 236, 239 y fig. 11 y 15; Riera Rullan 2009: 109 y fig. 91; Riera Rullan y Cau 2012a, 2012b, 2012c; Riera Rullan, Cau y Salas 2012a: 147 y 149, 2013; Riera Rullan y Martínez 2009; Tsantini, Cau y Gurt 2013: 130.

CAPÍTULO 3: LOS MATERIALES CERÁMICOS DEL BAPTISTERIO DE SON PERETÓ

CERÁMICA DE COCINA								
CLASE	TIPO O FORMA	BO	BA	AS	IN	OT	OBSERVACIONES	REF
Cocina Itálica			1					10-507
Cocina africana	Lamb. 10A	1						1967-1
Cocina africana	Ostia III, 267	1						08-271-1
Cocina africana	Plato-tapadera	1						1967-2
Cocina africana	Plato-tapadera	1						07-188
Cocina africana					1			08-236
Cocina africana					1			08-269
Cocina africana					1			11-469
Cocina africana					1			11-472
Cocina Tardía	Fulford 8	1						1967-30
Cocina Tardía	Fulford 8?				1			F2N
Cocina Tardía	Ca/Dau/3 o Cb/ Dau/1	1						07-15-1
Cocina Tardía							Con partículas doradas	08-303
Cocina Tardía					2		Abundantes partículas plateadas	08-340
Cocina Tardía	Olla	1					Con decoración a peine. Tal vez, HMW10?	1967-31
Cocina Tardía	Olla?		1				Tal vez, HMW10?	1967-32
Cocina Tardía	Olla?				1		Con decoración a peine	1967-33
Cocina Tardía					2		Con desgrasante vegetal	F2N
Cocina Tardía					4			05-21
Cocina Tardía					3			07-188
Cocina Tardía					1			07-216
Cocina Tardía					2			08-239
Cocina Tardía					1			08-263
Cocina Tardía					3			08-271
Cocina Tardía					1			08-328
Cocina Tardía					1			08-350
Cocina Tardía					2			09-393
Cocina Tardía					1			10-21
Cocina Tardía					1			10-414
Cocina Tardía					1			10-415
Cocina Tardía		1					Muy tosca y con partículas de calcárea	10-417-1
Cocina Tardía					1		Muy tosca y con partículas de calcárea	10-417
Cocina Tardía					1		Con desgrasante vegetal	10-431
Cocina Tardía					1			10-437
Cocina Tardía					1			10-438
Cocina Tardía					1			10-456
Cocina Tardía					1			10-472
Cocina Indeterm.					1			11-507

TABLA 3.2. INVENTARIO DE LAS CERÁMICAS DE COCINA

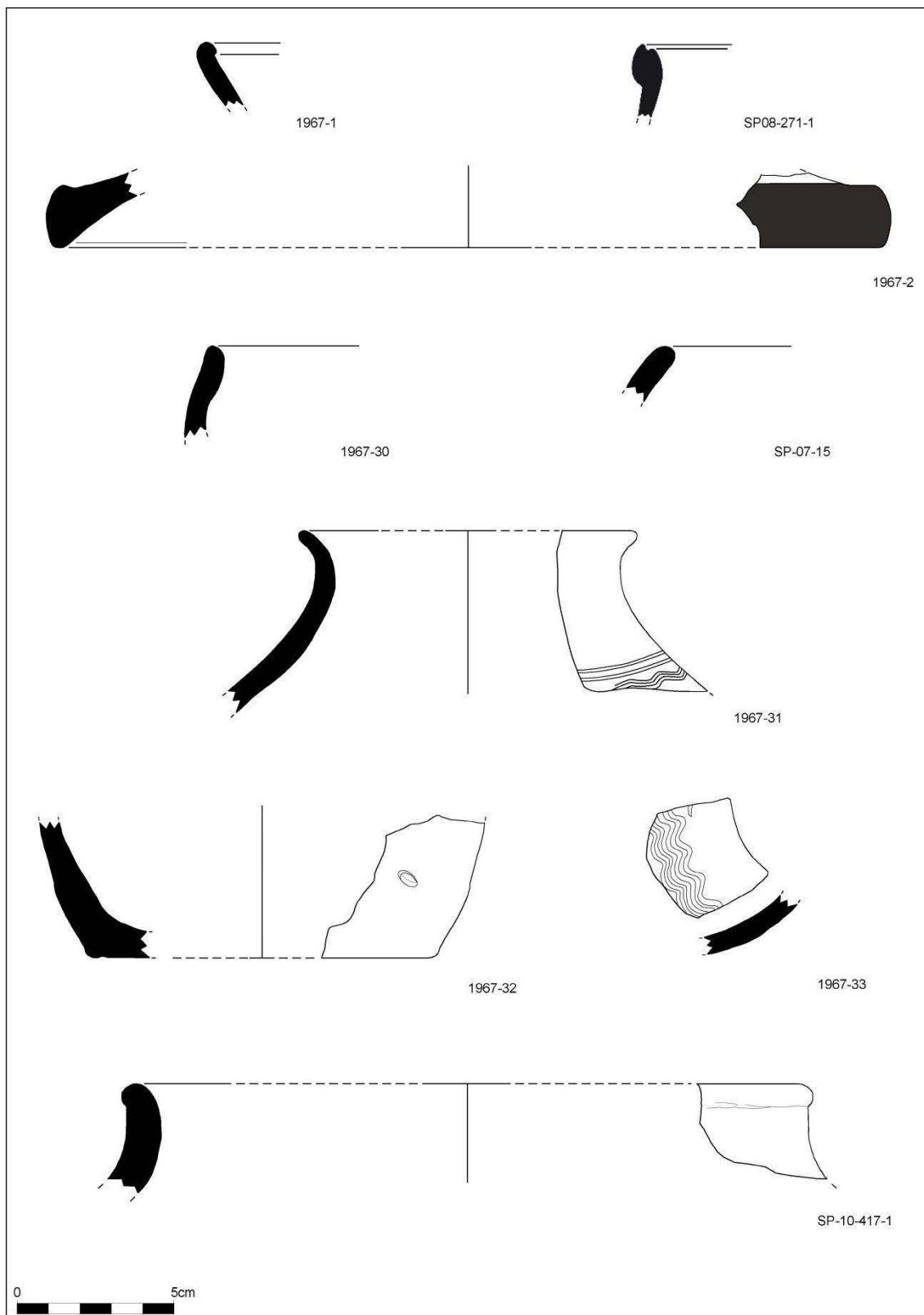


Figura 3.8. Cocina Africana y Cocina Tardía (A. Martínez y M. Riera)

Ánforas

Se han identificados ánforas de diversas procedencias: ibicencas (NMI: 1), itálicas (NMI: 1), de la Tarraconense (NMI: 1 o 2), sudhispánicas (NMI: 1), norteafricanas (NMI: 3) y del Mediterráneo oriental (NMI: 2), pero también ejemplares de los que no ha sido posible determinar su lugar de fabricación (NMI: 1 o 2) (Tabla 3.3).¹²³

Se puede afirmar pues, que se habrían identificado entre 10 y 12 individuos que corresponderían a ánforas, de entre las cuales habría un mínimo de dos que se pueden considerar inequívocamente de los siglos V a VII d. C. (Figura 3.9): 1 ánfora africana del tipo Keay LXI o LXII y 1 *Late Roman Amphora* 1 = Keay 53. También podrían pertenecer perfectamente a aquellas tres centurias una posible ánfora africana globular y una posible *Late Roman Amphora* 3 o *Late Roman Amphora* 8 de Pieri 2005. El ejemplar o los dos ejemplares de Dressel 2-4 de la Tarraconense, y la posible ánfora Africana II A, son claramente anteriores al siglo V, mientras que es imposible fijar la cronología de las demás piezas.

Otra vez se puede observar el predominio de los materiales tunecinos, aunque de una manera mucho más discreta que en los anteriores apartados. Cabe señalar que las piezas procedentes del Mediterráneo oriental son originarias de Siria, de la península de Anatolia, de sus islas más cercanas, o de Chipre.

¹²³ Para la identificación, clasificación y datación de estas producciones se han utilizado, principalmente, los siguientes trabajos: Bonifay 2004; Bonifay y Raynaud 1993; Keay 1984; López y Martín 2008; Pieri 2005, 2007; Ramon 1986; 2008; Remolà 2000.

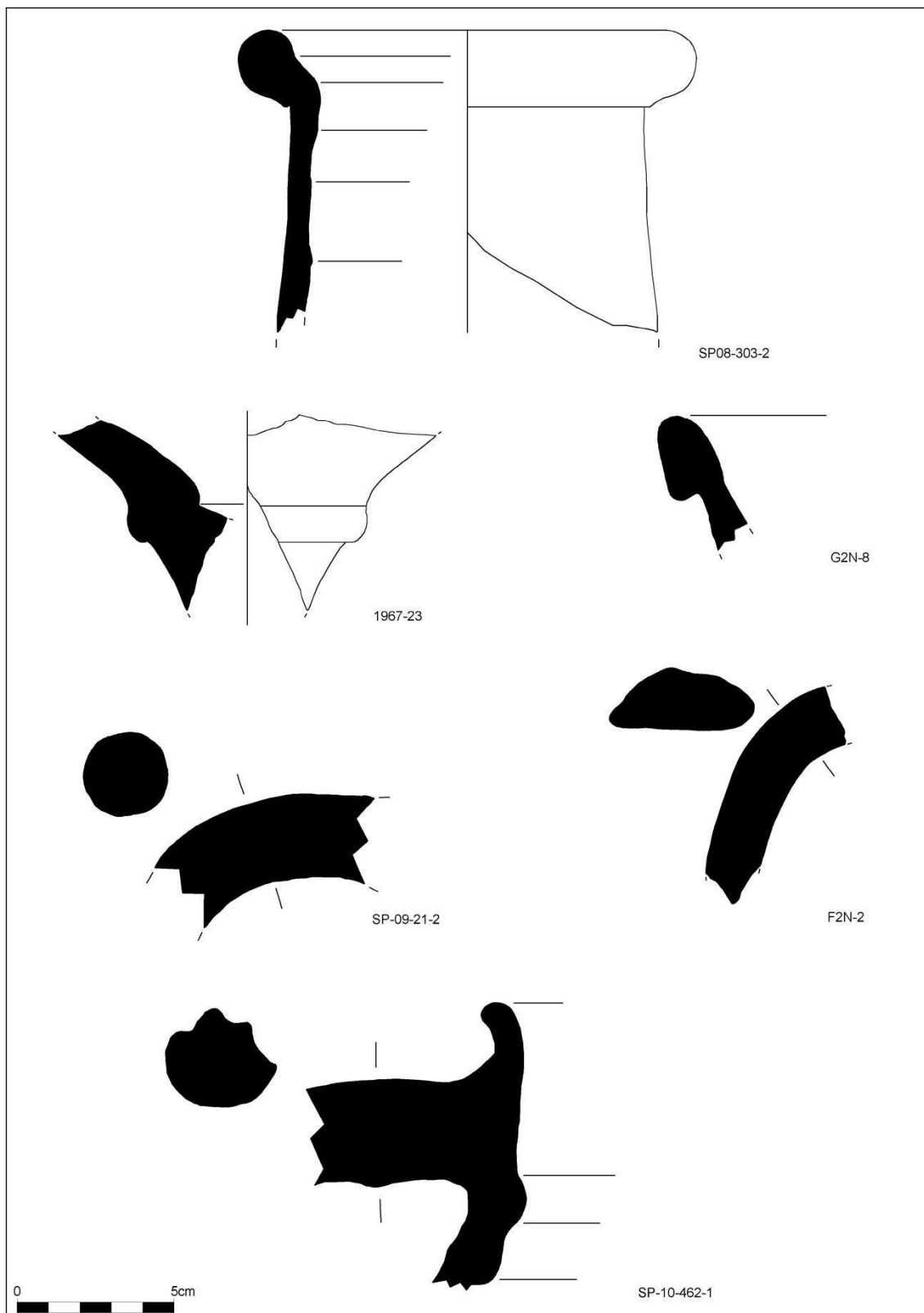


Figura 3.9. Ánforas africanas y LRA 1 (A. Martínez y M. Riera)

CAPÍTULO 3: LOS MATERIALES CERÁMICOS DEL BAPTISTERIO DE SON PERETÓ

ÁNFORAS								
CLASE	TIPO	BO	BA	AS	IN	OT	OBSERVACIONES	REF
Ánfora Ibicenca					1			10-466
Ánfora Ibicenca					3			11-561
Ánfora Ibicenca					1			11-565
¿Ánfora Ibicenca?					1			16-30
Ánfora Itálica					1			07-188
Ánfora Itálica		1			1			10-21
Ánfora Itálica					1			10-437
Ánfora Itálica					1			10-458
Ánfora Tarraconense	Dressel 2-4	1						08-239
Ánfora Tarraconense	Dressel 2-4?	1						10-458
Ánfora Tarraconense					2			07-211
Ánfora Tarraconense					2			08-239
Ánfora Tarraconense					1			10-437
Ánfora Tarraconense			1					10-450
Ánfora Tarraconense					2			11-565
Ánfora Sudhispánica					1			16-30
Ánfora Africana	Africana IIA?					1	O algún otro de cronología similar, es decir, de los siglos II/III d. C. (Bonifay 2004)	08-303-2
Ánfora Africana	Keay LXI o LXII		1				Pasta de color beige	1967-23
Ánfora Africana	Keay LXII?	1						G2N-8
Ánfora Africana	Globular 1?			1			Bonifay 63	09-21-2
Ánfora Africana				1				F2N-2
Ánfora Africana		1						G2N
Ánfora Africana					2			07-188
Ánfora Africana					8			07-210
Ánfora Africana					7			07-211
Ánfora Africana					15			07-216
Ánfora Africana					1			07-217
Ánfora Africana					2			08-340
Ánfora Africana					3			09-356
Ánfora Africana				1				09-374
Ánfora Africana					1			10-414
Ánfora Africana		1	1		10			10-450
Ánfora Africana					13			10-458
Ánfora Africana					6			10-470
Ánfora Africana					2			10-471
Ánfora Africana					14			10-472
Ánfora Africana					1			10-483
Ánfora Africana					2			11-545
Ánfora Africana					1			11-550

TABLA 3.3. INVENTARIO DEL MATERIAL ANFÓRICO

EXCAVACIONES EN EL BAPTISTERIO DEL CONJUNTO ECLESIAÍSTICO DE SON PERETÓ

ÁNFORAS								
CLASE	TIPO	BO	BA	AS	IN	OT	OBSERVACIONES	REF
Ánfora Africana					1			16-30
Ánfora Oriental					1			07-188
Ánfora Oriental	LRA1				1			10-450
Ánfora Oriental	LRA1					1		10-459-1
Ánfora Oriental	LRA1				1			10-459
Ánfora Oriental	LRA1?				1			11-469
Ánfora Oriental	LRA1				1			11-545
Ánfora Oriental					1		Pasta similar LRA3 o LRA8	07-217
Ánfora Oriental					1		Pasta similar LRA3 o LRA8	10-21
Ánfora Indeterminada				2	7			05-06
Ánfora Indeterminada		1			7			05-21
Ánfora Indeterminada					3			06-122
Ánfora Indeterminada					6			07-188
Ánfora Indeterminada					1			07-210
Ánfora Indeterminada					3			07-211
Ánfora Indeterminada					2			07-215
Ánfora Indeterminada				1				07-216
Ánfora Indeterminada					1			07-217
Ánfora Indeterminada					3			08-308
Ánfora Indeterminada					1			08-350
Ánfora Indeterminada					1			09-21
Ánfora Indeterminada			1					10-450
Ánfora Indeterminada					1			10-469
Ánfora Indeterminada					2			10-507
Ánfora Indeterminada		1					No es seguro que sea ánfora	11-472
Ánfora Indeterminada					1			11-550

TABLA 3.3. INVENTARIO DEL MATERIAL ANFÓRICO CONT.

Cerámica Común

La Cerámica Común analizada se ha dividido en tres grandes grupos: Cerámica “Ibicenca” (NMI: 20), Común Africana (NMI: 2) y Común Indeterminada (NMI: 32) (Figuras 3.10, 3.11, 3.12 y 3.13).¹²⁴ Lo cierto es que, con el análisis macroscópico, el único aplicado, tan solo se puede asegurar la procedencia del segundo grupo. Las cerámicas de este son originarias del norte de África, especialmente del territorio que hoy conforma el estado de Túnez (Bonifay 2004; Capelli y Bonifay 2007). Las cerámicas del primer grupo bien podrían ser de Ibiza (Figura 3.10),¹²⁵ pero no puede descartarse la posibilidad de que sean de Mallorca o importaciones originarias de otras zonas geográficas (Buxeda *et al.* 2005: 228–229; Cau 2007: 228; Cau, Tsantini y Buxeda 2004: 59 y 60; Cau, Tsantini y Gurt 2010, 197; Reynolds 1993: 101–102; Riera Rullan 2015, 2017; Tsantini, Cau y Gurt 2013: 138–140; Vizcaíno 2009: 656). Hechas estas aclaraciones, la cerámica común de época antigua del Sector Baptisterio se ha ordenado según consta en la Tabla 3.4.

Conviene advertir que no es posible acotar suficientemente bien la datación de muchas de las cerámicas del tercer grupo. Así, en la mayoría de los casos, no se puede determinar si son producciones de los siglos V a VII d. C., o de etapas anteriores. Tampoco se puede descartar que haya piezas del siglo VIII. En cambio, sí que se puede indicar que prácticamente todas las formas de los dos primeros grupos son de los siglos V a VII y que la producción de algunas de ellas puede llegar al siglo VIII.

¹²⁴ Para la identificación, clasificación y datación de estas producciones se han utilizado, principalmente, los siguientes trabajos: Bonifay 2004; Buxeda *et al.* 2005; Cau, Tsantini y Gurt 2010; Cela y Revilla 2004; Macias 1999; Ramon 1986, 2008; Reynolds 1993, 1995.

¹²⁵ La elaboración de cerámica común en Ibiza, de los siglos V a VII d. C., hace décadas que se dio conocer (Ramon 1986, 1995: 48, 2008) y se está documentando su exportación hacia las otras islas de las Baleares e, incluso, fuera de estas (Buxeda *et al.* 2005; Cau 2007; Cau, Tsantini y Buxeda 2004; Cau, Tsantini y Gurt 2010; Macias 1999; Murcia y Guillermo 2003; Murcia *et al.* 2005; Reynolds 1993, 101–102; Riera Rullan 2015, 2017; Tsantini, Cau y Gurt 2013; Vizcaíno 2009).

EXCAVACIONES EN EL BAPTISTERIO DEL CONJUNTO ECLESIAÍSTICO DE SON PERETÓ

CERÁMICA COMÚN								
CLASE	TIPO/FORMA	BO	BA	AS	IN	OT	OBSERVACIONES	REF
Cerámica "Ibicenca"	Jarra/anforita					1	Borde con asa	1967-24
Cerámica "Ibicenca"	Jarra/anforita					1	Borde con asa	1967-25
Cerámica "Ibicenca"	Jarra/anforita		1	1				F2N
Cerámica "Ibicenca"	Jarra/anforita	1						G2N
Cerámica "Ibicenca"	RE-0206 = Keay 72	1					Àmfora Ebusità 2 (Cela y Revilla 2004)	G2N-1
Cerámica "Ibicenca"	RE-0206 = Keay 72	1					Àmfora Ebusità 2 (Cela y Revilla 2004)	10-458-2
Cerámica "Ibicenca"	RE-0314? = Keay 70?				1		Decoración incisa de hojas de palmera	10-450-4
Cerámica "Ibicenca"	Jarra o Jarra/ anforita?			1				10-431
Cerámica "Ibicenca"	Cerrada					1	Con decoración a peine	06-122-3
Cerámica "Ibicenca"	RE-0901b/c	1					Luteri Ebusità 2 (Cela y Revilla 2004)	1967-26
Cerámica "Ibicenca"	RE-0901b/c	1					Luteri Ebusità 2 (Cela y Revilla 2004)	G2N-10126
Cerámica "Ibicenca"	Abierta con vertedor?	1						G2N-4
Cerámica "Ibicenca"	Mortero RE-0812c	1						1967-27
Cerámica "Ibicenca"	Mortero	1					Morter Ebusità 2 (Cela y Revilla 2004)	1967-28
Cerámica "Ibicenca"	Mortero	1					Morter Ebusità 2 (Cela y Revilla 2004)	06-122-1
Cerámica "Ibicenca"	Mortero		1					10-431-1
Cerámica "Ibicenca"	RE-0808f?	1						G2N-5127
Cerámica "Ibicenca"	Bol?	1						G2N
Cerámica "Ibicenca"	Abierta	1						10-450-2
Cerámica "Ibicenca"	Lebrillo?	1						10-450-3
Cerámica "Ibicenca"			1					F2S
Cerámica "Ibicenca"					1		Con decoración a peine	F2S
Cerámica "Ibicenca"					1		Con decoración a peine	G2N
Cerámica "Ibicenca"					1		Con decoración "puntillada"	G2N
Cerámica "Ibicenca"		1			1		Con decoración incisa	G2N
Cerámica "Ibicenca"				1			Con posible grafiti pre-cocción	G2N
Cerámica "Ibicenca"					4		Parecen todas de la misma pieza	08-280
Cerámica "Ibicenca"					1		Con decoración a peine	10-21
Cerámica "Ibicenca"		2		1	11		Algunos informes decoración a peine	10-450
Cerámica "Ibicenca"						1	Combinación de decoración incisa monolineal y polilineal	10-458-1
Cerámica "Ibicenca"			1	1	4			10-458
Cerámica "Ibicenca"		1						10-472-3
Cerámica "Ibicenca"		1						10-472
Cerámica "Ibicenca"					1		Con decoración a peine	10-522
Común Africana	Mortero Bonifay 11	1					Visera ahumada	1967-29
Común Africana	Jarrito					1	Publicada en: Riera Rullan y Cau 2012d	Ent2008-8

TABLA 3.4. INVENTARIO DE LA CERÁMICA COMÚN

¹²⁶ Esta pieza se había publicado como posible tipo RE-0206 (Riera Rullan, Cau y Salas 2013), pero parece que se puede asimilar mejor con los recipientes con vertedor.

¹²⁷ Esta pieza se había publicado equivocadamente como del tipo Hayes 62/64 de TSAD (Riera Rullan, Cau y Salas 2013).

CAPÍTULO 3: LOS MATERIALES CERÁMICOS DEL BAPTISTERIO DE SON PERETÓ

CERÁMICA COMÚN								
CLASE	TIPO/FORMA	BO	BA	AS	IN	OT	OBSERVACIONES	REF
Común Africana					1		Con decoración incisa	G2N
Común Africana?					1		Con decoración a peine	10-472
Común Indeterm.	Jarra/anforita?	1						F2N-3
Común Indeterm.	Jarra/anforita?	1						08-234-1
Común Indeterm.	Jarra/anforita?		1				Umbilicada	08-271-4
Común Indeterm.	Jarra o Jarra/ anforita	1						11-550-1
Común Indeterm.	Jarrito/jarrita	1					No se descarta que corresponda a un asa	G2N-2
Común Indeterm.	Jarrito/jarrita	1					¿Podría ser ibicenca? ¿Tal vez jarra?	08-336-1
Común Indeterm.	Jarrito/jarrita	1						08-338-1
Común Indeterm.	Jarrito/jarrita	1						08-340-1
Común Indeterm.	Jarrito/jarrita	1					¿Podría ser africana?	08-340-2
Común Indeterm.	Jarrito/jarrita	1					¿Podría ser ibicenca?	08-340-3
Común Indeterm.	Jarrito/jarrita?	5					La mayoría parecen ibicencas	08-340
Común Indeterm.	Jarrito/jarrita?	1						08-342
Común Indeterm.	Tapadera					1		08-340-5
Común Indeterm.	Mortero	1						08-241-1
Común Indeterm.			1					F2N
Común Indeterm.		1						G2N-3
Común Indeterm.		5						G2N
Común Indeterm.		1			1			05-06
Común Indeterm.			2		8			05-21
Común Indeterm.					1		Con decoración incisa monolineal	06-122
Común Indeterm.		5	1	3	4		Algunas con decoración a peine	07-188
Común Indeterm.					1		De color verde pasada de cocción	07-210
Común Indeterm.				1	1			07-211
Común Indeterm.		1			1			07-215
Común Indeterm.		1						07-236
Común Indeterm.					1			08-241
Común Indeterm.					2			08-250
Común Indeterm.	Cerrada				1		Con decoración a peine	08-262-4
Común Indeterm.			4				3 umbilicadas y 1 anular	08-262
Común Indeterm.					3		Con decoración a peine	08-262
Común Indeterm.					1		Con decoración incisa monolineal	08-273
Común Indeterm.			2	1	1		El informe tiene un agujero para grapa	08-303
Común Indeterm.					1			08-308
Común Indeterm.		1	1					09-356
Común Indeterm.			1	1	2			09-374
Común Indeterm.					1			11-555
Común Indeterm.					4			11-558
Común Indeterm.					1			11-566

TABLA 3.4. INVENTARIO DE LA CERÁMICA COMÚN CONT.

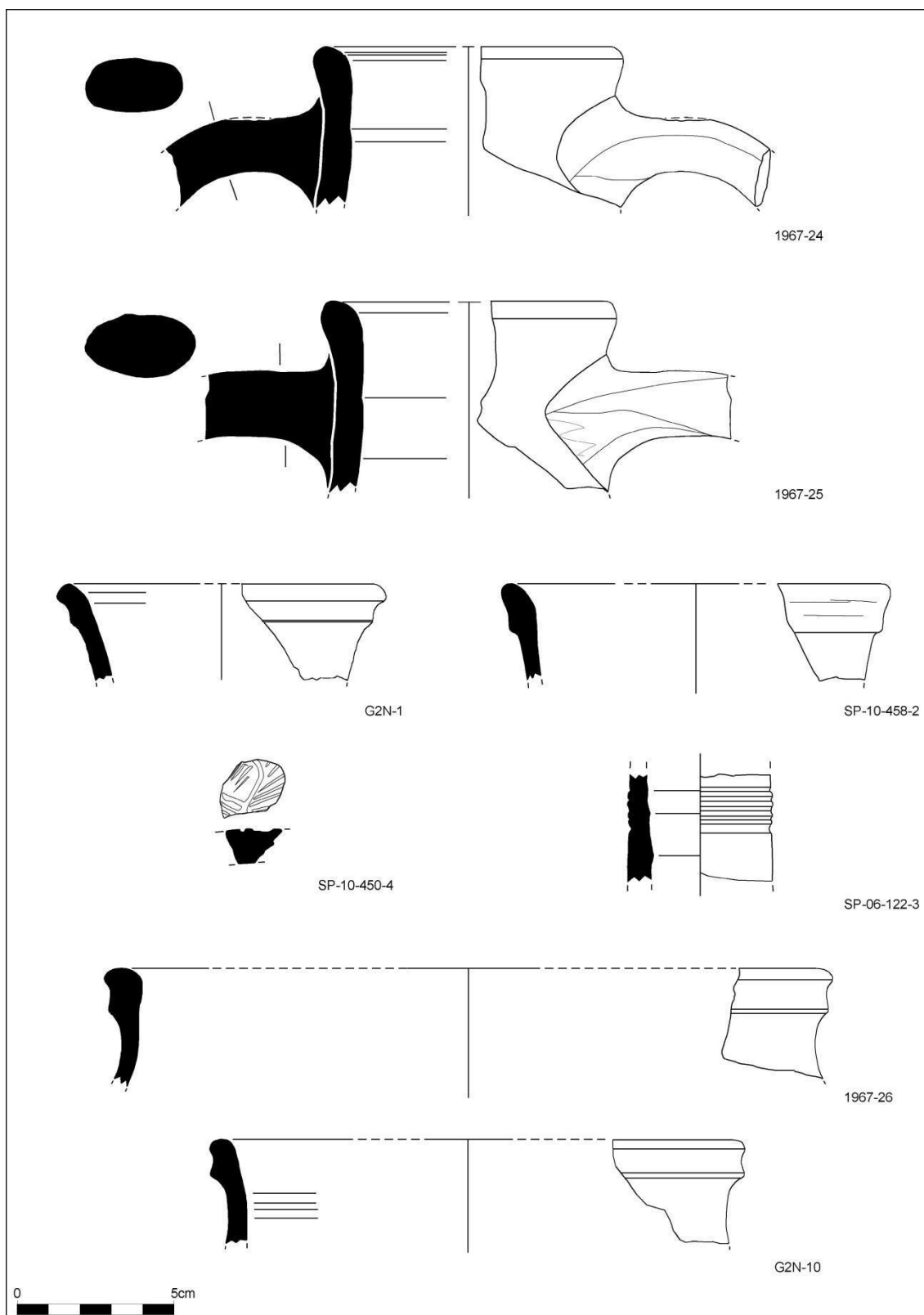


Figura 3.10. Cerámica "Ibicenca" (A. Martínez y M. Riera)

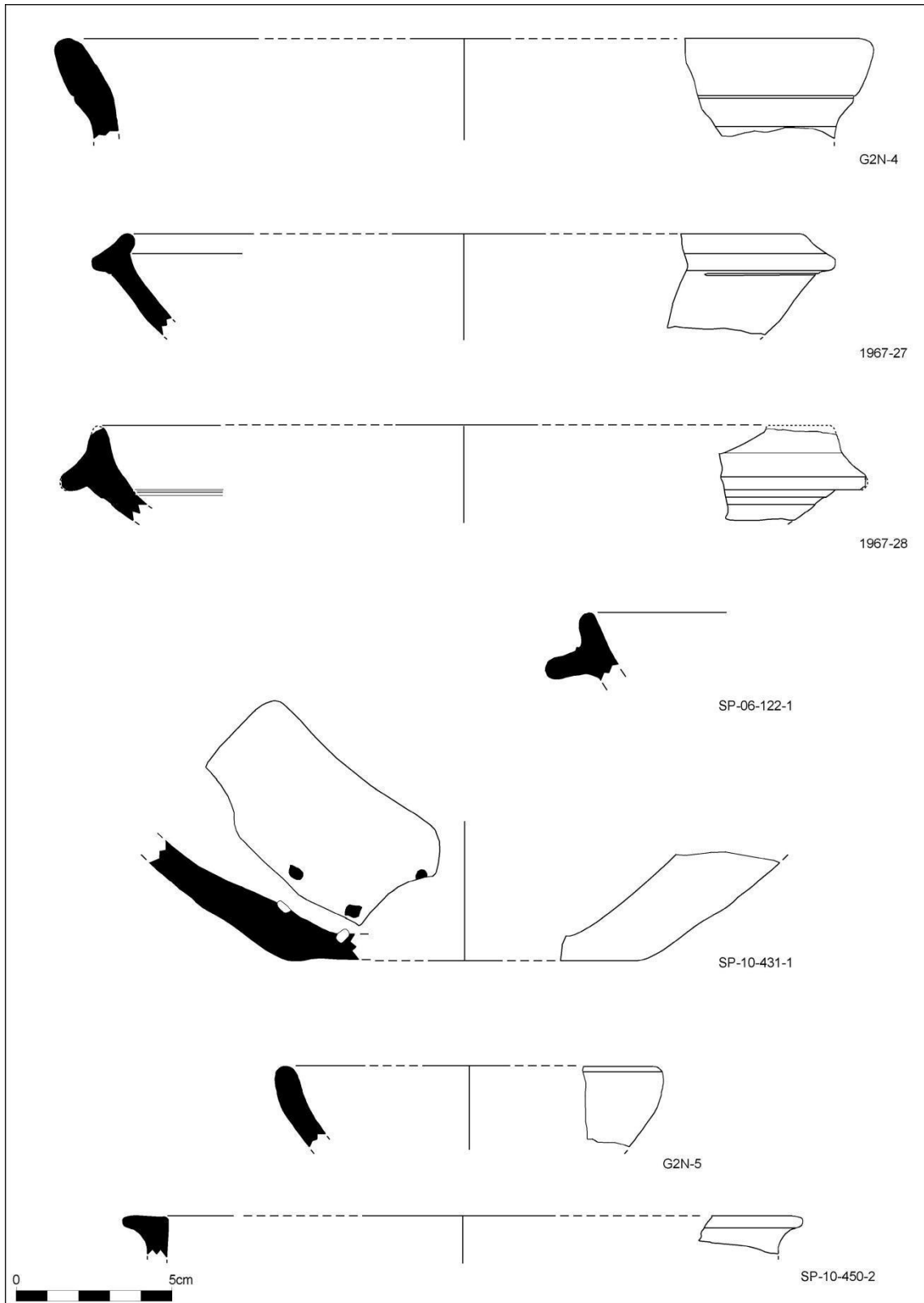


Figura 3.11. Cerámica "Ibicenca" (A. Martínez y M. Riera)

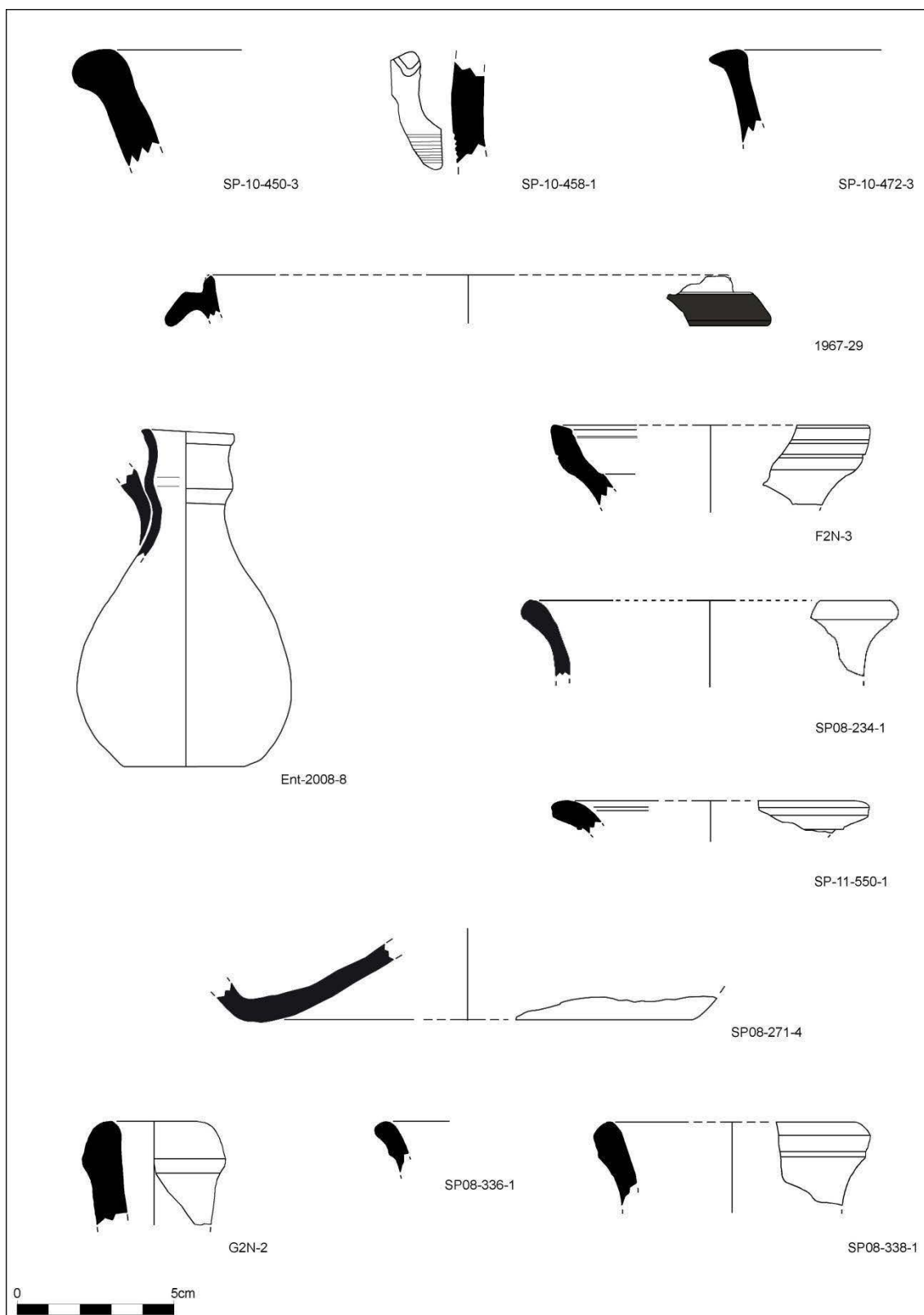


Figura 3.12. Cerámica "Ibicenca" (SP-10-450-3; SP-10-458-1; Sp-10-472-3), Común Africana (1967-29; Ent-2008-8) y Común Indeterminada (A. Martínez y M. Riera)

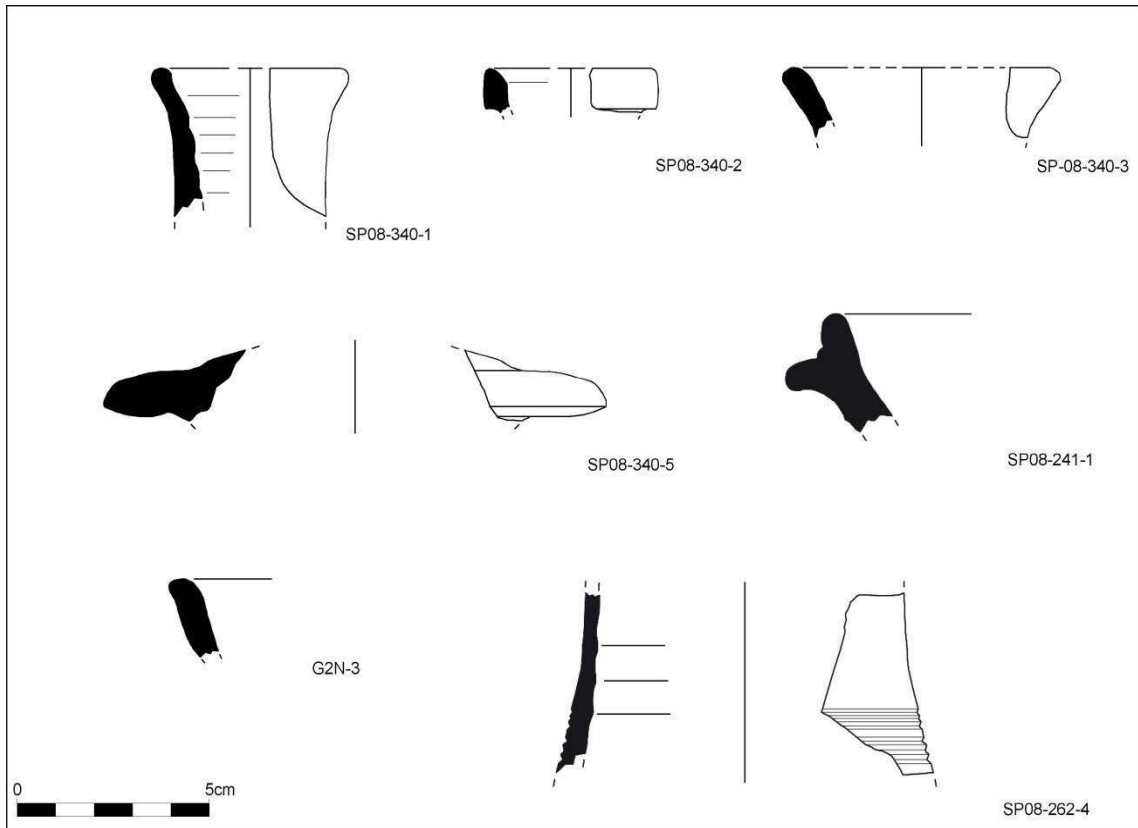


Figura 3. 13. Cerámica Común Indeterminada (A. Martínez y M. Riera)

Lucernas

Todos los fragmentos de lucerna de cerámica localizados en el Sector Baptisterio pertenecen a las producciones de TS Africana (NMI: 4), fabricadas en el territorio del actual Túnez (Tabla 3.5).¹²⁸

LUCERNAS							
CLASE	TIPO	BO	BA	AS	IN	OT	REF
TS Africana	Atlante X					1	1967-21
TS Africana						1	08-303
TS Africana						1	10-21
TS Africana	Atlante X			1			10-472

TABLA 3.5. INVENTARIO DE LAS LUCERNAS

En dos de los casos se trata de fragmentos muy pequeños, tanto, que no es posible determinar a qué forma pertenecen, ni tampoco se puede acotar su datación más allá de un amplio abanico que abarca del siglo IV al VIII d. C. En cambio, los ejemplares 1967-21 y SP10-472 se pueden asimilar al tipo Atlante X, C o D, que se produjeron entre finales del siglo IV hasta finales del siglo VII o, tal vez incluso, hasta principios del siglo VIII (Figura 3.14).

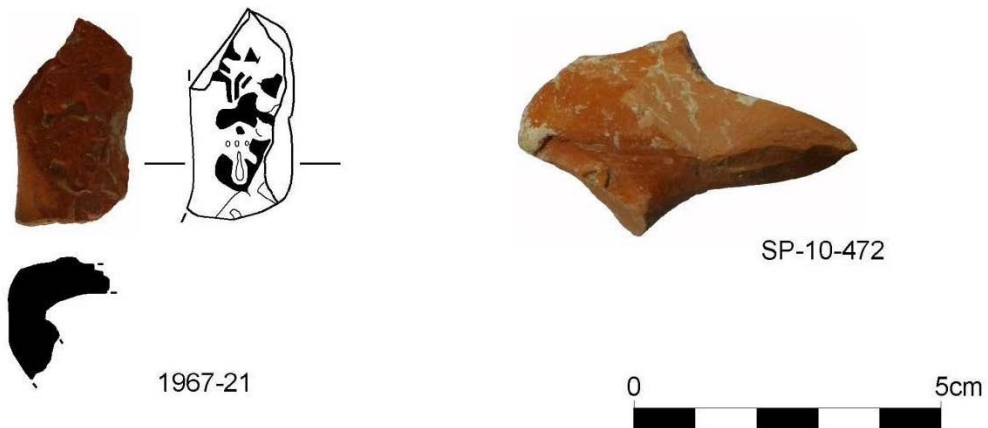


Figura 3.14. Lucernas de TSA (A. Martínez y M. Riera)

¹²⁸ Para la identificación, clasificación y datación de estas producciones se han utilizado los siguientes trabajos: *Atlante I* 1981; Bonifay 2004; Hayes 1972.

Tejas y ladrillos

Tal y como se ha visto en el capítulo 1, fue en el siglo pasado cuando se excavaron los niveles de derrumbe del tejado del baptisterio. En ellos se localizaron muchas tejas, pero nada más sabemos de ellas.¹²⁹ A continuación se presentan los fragmentos de *tegulae* e *imbrices* recogidos entre los años 2005 y 2016, y un fragmento de ladrillo (Tabla 3.6). Pertenecen a niveles superficiales, de relleno, a la cubierta de la sepultura del Enterramiento 2009-11, y a la reparación de la cubierta de la sepultura del Enterramiento 2008-8.¹³⁰ También se recuperaron diversos fragmentos que formaban parte del material utilizado para construir estructuras como, por ejemplo, la pared occidental de la sepultura del Enterramiento 2008-6, etc.

En total se han recogido 111 fragmentos de tégula (NMI: 10) y 30 de ímbrice (NMI: 3).¹³¹ Cabe señalar que algunos ejemplares de tégula presentan decoración digital hecha antes de la cocción de la pieza. Se trata de decoraciones muy sencillas en forma de círculo o lazo (Figura 3.15). Tan solo en dos casos, en una tégula y en un ímbrice, se ha documentado la presencia de abundantes marcas digitales, conformando una “decoración” muy tupida.

El fragmento de ladrillo se encontró en el interior de la fosa del Enterramiento 2005-1, en un nivel de espolio. Mide 4,5 cm de grosor y hasta 8 cm de largo.

¹²⁹ También desaparecieron los fragmentos de tégula del pavimento del Enterramiento 2009-4 (Figuras 1.9, 1.11, 1.13 y 1.27).

¹³⁰ Para la reparación de la cubierta de la sepultura del Enterramiento 2008-8 (UE 289), se colocaron una veintena de fragmentos de tégula y tres fragmentos de ímbrice, que no aparecen en las tablas ya que se dejaron en el yacimiento.

¹³¹ No se han contabilizado los fragmentos de unas dimensiones inferiores a los 2 cm de largo.

EXCAVACIONES EN EL BAPTISTERIO DEL CONJUNTO ECLESIASTICO DE SON PERETÓ

TEJAS Y LADRILLOS							
CLASE	BO	BA	AS	IN	OT	OBSERVACIONES	REF
<i>Tegulae</i>					1		1967
<i>Tegulae</i>					7	Alguna con decoración digital. Una convertida en discoide	07-188
<i>Tegulae</i>					1		07-210
<i>Tegulae</i>					3	Dos convertidas en discoides	07-211
<i>Tegulae</i>					1		08-236
<i>Tegulae</i>					4		08-241
<i>Tegulae</i>					2	Una con decoración digital	08-250
<i>Tegulae</i>					1		08-256
<i>Tegulae</i>					3		08-262
<i>Tegulae</i>					1		08-267
<i>Tegulae</i>					4		08-271
<i>Tegulae</i>					2		08-277
<i>Tegulae</i>					1		08-299
<i>Tegulae</i>					3		08-303
<i>Tegulae</i>					1		08-350
<i>Tegulae</i>					4		09-356
<i>Tegulae</i>					1		09-365
<i>Tegulae</i>					1	Con decoración digital	09-388-1
<i>Tegulae</i>					1	Con decoración digital	09-388-2
<i>Tegulae</i>					1	Con decoración digital	09-388-3
<i>Tegulae</i>					1	Con decoración digital	09-388
<i>Tegulae</i>					1	Marcas digitales en la parte inferior	09-398
<i>Tegulae</i>					6		10-417
<i>Tegulae</i>					2		10-429
<i>Tegulae</i>					1		10-430
<i>Tegulae</i>					6		10-437
<i>Tegulae</i>					8	Una podría presentar un grafiti post-cocción	10-438
<i>Tegulae</i>					1		10-447
<i>Tegulae</i>					3		10-450
<i>Tegulae</i>					3		10-458
<i>Tegulae</i>					1		10-459
<i>Tegulae</i>					1		10-465
<i>Tegulae</i>					1		10-470
<i>Tegulae</i>					1		10-471
<i>Tegulae</i>					2		10-472
<i>Tegulae</i>					2		10-503
<i>Tegulae</i>					3		10-505
<i>Tegulae</i>					1		10-506
<i>Tegulae</i>					15	Fragmentos muy pequeños tal vez de una misma pieza	11-549

TABLA 3.6. INVENTARIO DE LOS MATERIALES DE CONSTRUCCIÓN CERÁMICOS

CAPÍTULO 3: LOS MATERIALES CERÁMICOS DEL BAPTISTERIO DE SON PERETÓ

TEJAS Y LADRILLOS							
CLASE	BO	BA	AS	IN	OT	OBSERVACIONES	REF
<i>Tegulae</i>					9		16-30
<i>Imbrices</i>					1		G1S
<i>Imbrices</i>					1		05-06
<i>Imbrices</i>					1		05-21
<i>Imbrices</i>					1	Una con decoración digital	07-188
<i>Imbrices</i>					1		07-211
<i>Imbrices</i>					2		08-262
<i>Imbrices</i>					1		08-267
<i>Imbrices</i>					2		08-271
<i>Imbrices</i>					1		08-279
<i>Imbrices</i>					1		08-333
<i>Imbrices</i>					2		09-356
<i>Imbrices</i>					1		09-388
<i>Imbrices</i>					1		10-417
<i>Imbrices</i>					1		10-429
<i>Imbrices</i>					1		10-447
<i>Imbrices</i>					1		10-454
<i>Imbrices</i>					1		10-458
<i>Imbrices</i>					1		10-470
<i>Imbrices</i>					1		10-472
<i>Imbrices</i>					1		10-503
<i>Imbrices</i>					1		10-506
<i>Imbrices</i>					4		11-507
<i>Imbrices</i>					2		16-30
Ladrillo					1		16-30

TABLA 3.6. INVENTARIO DE LOS MATERIALES DE CONSTRUCCIÓN CERÁMICOS CONT.



Figura 3.15. Téglas y ladrillo (A. Martínez y M. Riera)

Producciones Indeterminadas

Se han analizado un total de 2.947 fragmentos de los que no se ha podido determinar con seguridad a que producciones pertenecen (NMI: 10). Son los que se presentan en la Tabla 3.7.

PRODUCCIONES INDETERMINADAS							
CLASE	BO	BA	AS	IN	OT	OBSERVACIONES	REF
Cerámica Indeterminada				8			F2N
Cerámica Indeterminada				11			F2S
Cerámica Indeterminada				52			G1S
Cerámica Indeterminada			10	230			G2S
Cerámica Indeterminada				27			G2N
Cerámica Indeterminada	1						05-06
Cerámica Indeterminada	1			8			05-21
Cerámica Indeterminada				10			06-21
Cerámica Indeterminada			2	15			06-122
Cerámica Indeterminada				13			07-188
Cerámica Indeterminada				4			07-210
Cerámica Indeterminada			1	13			07-211
Cerámica Indeterminada	1			2			07-215
Cerámica Indeterminada				2			07-216
Cerámica Indeterminada				4			07-217
Cerámica Indeterminada				1			08-234
Cerámica Indeterminada				4			08-236
Cerámica Indeterminada				5			08-238
Cerámica Indeterminada				43			08-239
Cerámica Indeterminada				26			08-241
Cerámica Indeterminada				3			08-242
Cerámica Indeterminada				7			08-250
Cerámica Indeterminada				3			08-256
Cerámica Indeterminada			4	115			08-262
Cerámica Indeterminada				2			08-263
Cerámica Indeterminada				7			08-267
Cerámica Indeterminada				1			08-269
Cerámica Indeterminada				29			08-271
Cerámica Indeterminada				1			08-273
Cerámica Indeterminada				4			08-277
Cerámica Indeterminada				47			08-303
Cerámica Indeterminada				11			08-305
Cerámica Indeterminada				2			08-313
Cerámica Indeterminada				2			08-315
Cerámica Indeterminada				11			08-318
Cerámica Indeterminada				7			08-321

TABLA 3.7. INVENTARIO DE LAS CERÁMICAS DE PRODUCCIONES INDETERMINADAS

EXCAVACIONES EN EL BAPTISTERIO DEL CONJUNTO ECLESIAÍSTICO DE SON PERETÓ

PRODUCCIONES INDETERMINADAS							
CLASE	BO	BA	AS	IN	OT	OBSERVACIONES	REF
Cerámica Indeterminada			2	25			08-322
Cerámica Indeterminada				9			08-324
Cerámica Indeterminada				5			08-327
Cerámica Indeterminada				8			08-328
Cerámica Indeterminada				2			08-329
Cerámica Indeterminada				3			08-330
Cerámica Indeterminada				5			08-333
Cerámica Indeterminada				3			08-336
Cerámica Indeterminada				12			08-338
Cerámica Indeterminada				35		Uno con agujero para laña	08-340
Cerámica Indeterminada				6			08-342
Cerámica Indeterminada				11			08-350
Cerámica Indeterminada				1			09-21
Cerámica Indeterminada				68			09-356
Cerámica Indeterminada				2			09-365
Cerámica Indeterminada				28			09-371
Cerámica Indeterminada				12			09-374
Cerámica Indeterminada				1			09-378
Cerámica Indeterminada				16	3		09-388
Cerámica Indeterminada				3			09-393
Cerámica Indeterminada				3			09-397
Cerámica Indeterminada				2			09-398
Cerámica Indeterminada				28			09-402
Cerámica Indeterminada				4			09-403
Cerámica Indeterminada	2		1	18			10-21
Cerámica Indeterminada				1			10-413
Cerámica Indeterminada				12			10-414
Cerámica Indeterminada				2			10-415
Cerámica Indeterminada				11			10-417
Cerámica Indeterminada				49			10-419
Cerámica Indeterminada				13			10-420
Cerámica Indeterminada				3			10-421
Cerámica Indeterminada				3			10-429
Cerámica Indeterminada				6			10-431
Cerámica Indeterminada			2	45			10-437
Cerámica Indeterminada				11			10-438
Cerámica Indeterminada				1			10-440
Cerámica Indeterminada			1	3			10-444
Cerámica Indeterminada			1	2			10-446
Cerámica Indeterminada				9			10-448
Cerámica Indeterminada	2			493			10-450
Cerámica Indeterminada				2			10-455

TABLA 3.7. INVENTARIO DE LAS CERÁMICAS DE PRODUCCIONES INDETERMINADAS CONT.

CAPÍTULO 3: LOS MATERIALES CERÁMICOS DEL BAPTISTERIO DE SON PERETÓ

PRODUCCIONES INDETERMINADAS							
CLASE	BO	BA	AS	IN	OT	OBSERVACIONES	REF
Cerámica Indeterminada				4			10-456
Cerámica Indeterminada				15			10-457
Cerámica Indeterminada				172			10-458
Cerámica Indeterminada				3			10-459
Cerámica Indeterminada	1			8			10-462
Cerámica Indeterminada				2			10-465
Cerámica Indeterminada				1			10-466
Cerámica Indeterminada				4			10-467
Cerámica Indeterminada				1			10-469
Cerámica Indeterminada				25	2		10-470
Cerámica Indeterminada				9			10-472?
Cerámica Indeterminada			1	620			10-472
Cerámica Indeterminada			1	6			10-474
Cerámica Indeterminada				1			10-475
Cerámica Indeterminada				35			10-483
Cerámica Indeterminada				1			10-484
Cerámica Indeterminada				4			10-485
Cerámica Indeterminada				4			10-486
Cerámica Indeterminada				2			10-501
Cerámica Indeterminada				3			10-503
Cerámica Indeterminada		1		7			10-506
Cerámica Indeterminada				1			10-516
Cerámica Indeterminada				1			10-522
Cerámica Indeterminada				7			11-469
Cerámica Indeterminada				139			11-472
Cerámica Indeterminada				3			11-483
Cerámica Indeterminada				3			11-490
Cerámica Indeterminada				29			11-507
Cerámica Indeterminada				2			11-545
Cerámica Indeterminada				2			11-553
Cerámica Indeterminada				10			11-555
Cerámica Indeterminada				53			11-558
Cerámica Indeterminada				2			11-560
Cerámica Indeterminada				1			11-561
Cerámica Indeterminada				13			11-565
Cerámica Indeterminada				5			11-566
Cerámica Indeterminada				3			16-30

TABLA 3.7. INVENTARIO DE LAS CERÁMICAS DE PRODUCCIONES INDETERMINADAS CONT.

La cerámica en los contextos de época antigua

Los materiales que se presentan a continuación proceden de las campañas realizadas entre los años 2005 y 2016, ya que son los únicos para los que se dispone de su contexto estratigráfico. Tal y como se ha visto en los capítulos precedentes, en el año 2005, la mayor parte de los niveles arqueológicos del lugar ya habían sido excavados y nada quedaba de los niveles de derrumbe y amortización del baptisterio. Por este motivo, todas las piezas que ahora se presentan proceden de estratos de fases anteriores a la de dicho derrumbe.

Cabe señalar que la gran mayoría de las cerámicas recuperadas aparecieron muy fragmentadas, excepto un jarrito hallado en el interior de una sepultura, y que muchas de ellas son de carácter residual. Tampoco hay unidades estratigráficas con un conjunto de materiales especialmente relevante o estratos de formación rápida que permitan un estudio detallado por UUEE. Aun así, en su conjunto, los materiales aportan datos de indudable interés histórico.

Debido a estas limitaciones, se ha optado por presentar los materiales cerámicos en cuatro bloques. Tres corresponden a las Fases 1, 2 y 3, mientras que en el otro se han agrupado las cerámicas de las UUEE sobre las que existen dudas de si pertenecen a la Fase 2 o 3.

Fase 1

En esta fase se han agrupado todos los materiales cerámicos de las UUEE que son anteriores al gran baptisterio de planta cuadrangular de la Fase 2. Sin embargo, cabe advertir que no son todas necesariamente coetáneas; de hecho, las hay que claramente no lo son.¹³² El enorme arrasamiento del lugar que se realizó previamente a la construcción de dicho baptisterio motivó que no se conservaran relaciones físicas entre la gran mayoría de los elementos considerados como de la Fase 1.

Todas las piezas correspondientes a cerámicas de Vajilla Fina pertenecen a las producciones de TSAD. Se han podido identificar tres informes y cuatro fragmentos de borde. De entre estos últimos, se ha documentado un ejemplar asimilable al tipo Hayes 99A o B en la UE 241 (Figura 3.16: 241-2) y otro al tipo Hayes 103 en la UE 262 (Figura 3.16: 262-2). Los otros dos fragmentos de borde parecen corresponder a la familia de los tipos Hayes 93/94/98 y aparecieron también en la UE 262 (Figura 3.16: 262-1). Finalmente, cabe destacar en la UE 303 un fragmento informe con decoración estampillada de círculos concéntricos en estilo Aii (Figura 3.16: 303-1).

Cabe recordar, nuevamente, que la fecha de inicio de fabricación del tipo Hayes 99 es un tema muy discutido (Aquilué 1989: 139; *Atlante* 1981: 109–110; Hayes 1972: 155, 1980: 516; Murcia *et al.* 2005: 15; Ramon y Cau 1997: 274 y 276; Tortorella 1998), pero parece que se puede situar en algún momento del último cuarto del siglo V o de los primeros años del siglo VI, dependiendo de las variantes (Amores, García y González 2007: 13; Bonifay 2004: 181; Raynaud 1993b: 194; Reynolds 1995: 23, 146, 152, 281, 2007: 74, 2010, fig. 16b).

Los dos fragmentos atribuidos a posibles Hayes 93/94/98 no serían anteriores a c. 470 (Hayes 1972: 148, 152;), c. 450 (Cavaillès-Llopis y Vallauri 1994: 100; Tortorella 1998) o, de entre los años 400 y 450 (*Atlante* 1981: 101–102, 110 y 112; Raynaud 1993b: 194).

¹³² En concreto, se pudo observar que cuando se construyó la fosa del Enterramiento 2008-6, el posible silo UE 320 ya había sido amortizado.

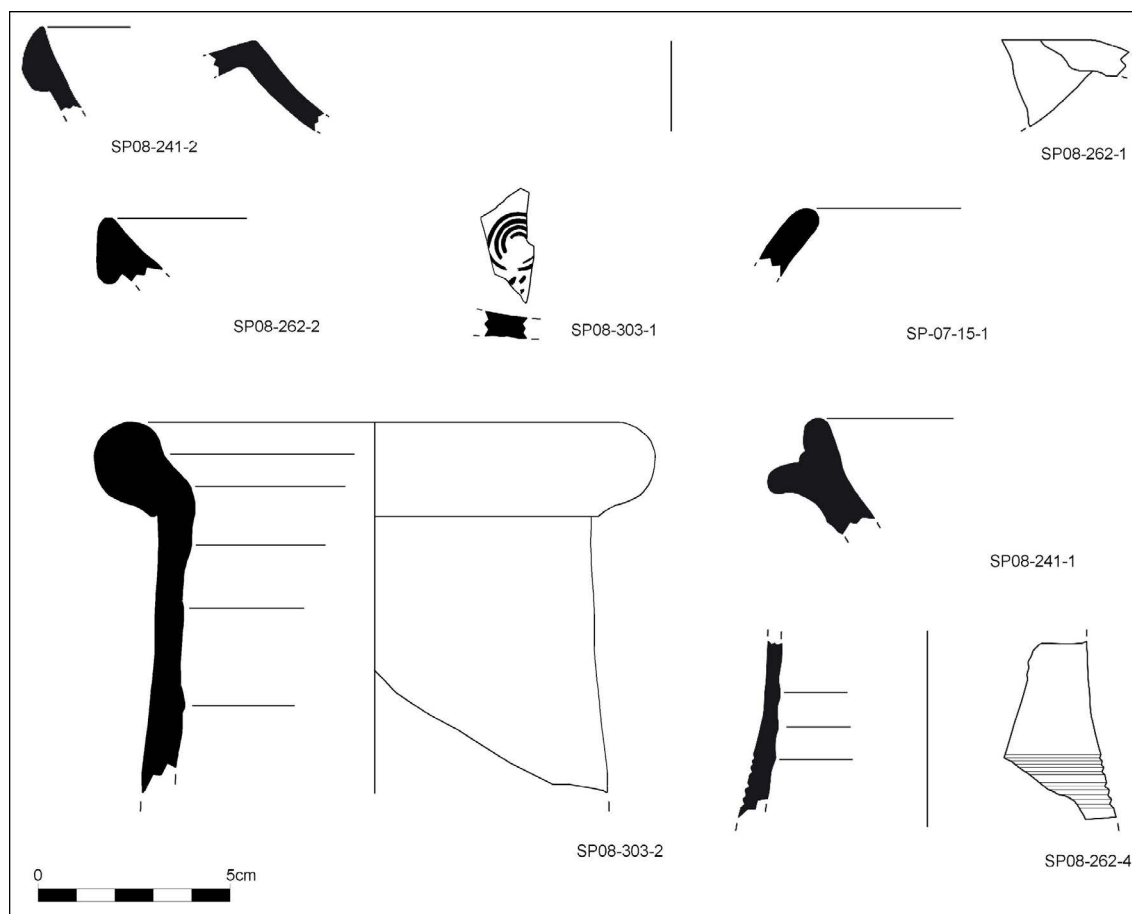


Figura 3.16. Selección de las cerámicas de las UUEE de la Fase 1 (A. Martínez y M. Riera)

Finalmente, el tipo Hayes 103 aportaría un *tpq* que se suele situar *c.* 500 d. C. (Atlante 1981: 99; Hayes 1972: 160; Raynaud 1993b: 195; Reynolds 1995: 28), aunque también hay investigadores que no descartan un inicio de su fabricación a finales del siglo V (Atlante 1981: 99; Cavaillès-Llopis y Vallauri 1994: 102) e incluso, hasta de los años 470/480 (Tortorella 1998).

Entre los materiales de la Fase 1, en la UE 303, también se localizó un pequeño fragmento de lucerna de las producciones de TSA, del que tan solo se puede indicar que sería posterior al *c.* 300 d. C. (Bonifay 2004).

De entre los fragmentos de cerámica de cocina se han podido contabilizar un fragmento de borde y cinco fragmentos informes. Tanto el fragmento de borde (UE 15) como dos de los informes (UE 303) parecen corresponder a las producciones con abundantes partículas doradas (Macias 1999) = *Fabrics with golden micaceous particles*. Fábrica 3.2/3.3 (Cau 1998, 2003) = *Handmade Ware 8* (Reynolds 1993). El borde (Figura 3.16: 15-1), incluso, se puede asociar al tipo Ca/Dau/3 o Cb/Dau/1 de Macias (1999) y a los tipos Forma 1 y Forma 2 de Cau (1998, 2003, 2007), para los que se ha propuesto un inicio de fabricación cercano al 400 d. C. Es más difícil poder precisar la datación de dos fragmentos informes de Cocina Tardía indeterminada (UUEE 350 y 437) y de uno de Cocina Africana (UE 269), pero sí que se puede comentar que no se ha detectado ningún detalle que permita situarlos inequívocamente en un momento posterior al *c.* 400 d. C.

Por los que respecta a las ánforas, se han documentado siete fragmentos informes, de los cuales, uno es de producción itálica (UE 437), uno tarraconense (UE 437) y uno ebusitano (UE 466). Tan solo pertenecía

a una forma el ejemplar de la UE 303. Este conservaba el borde y una parte importante del cuello (Figura 3.16: 303-2) y parece poder asimilarse al tipo Africana IIA, o a algún otro tipo de cronología similar, es decir, de los siglos II/III d. C. (Bonifay 2004).

Se han vinculado al grupo de las cerámicas comunes un total de 15 fragmentos, de entre los cuales hay un borde, seis bases, un asa y siete informes. Todos ellos son de producciones oxidadas y de origen indeterminado. El fragmento de borde (Figura 3.16: 241-1) se puede asociar formalmente a un mortero que, por el perfil que presenta, parece que se puede asociar a producciones de los siglos V a VII d. C. (Riera Rullan 2015, 2017: 311–314; 336–337 y 544). Entre los fragmentos informes hay cuatro ejemplares que presentan una decoración incisa polilineal, aparecidos en la UE 262 (Figura 3.16: 262-4). Estos, si fuesen de producción ibicenca, podrían aportar un *tpq* de c. 535 d. C. (Ramon 1986: 32, 2008: 571 y 574), pero se debe remarcar que no se ha podido determinar con seguridad su lugar de fabricación. De las cuatro bases aparecidas en la UE 262, tres son umbilicadas y una anular. Destaca también un fragmento informe con un agujero de una laña en la UE 303.

Entre los fragmentos de teja se recuperaron 22 fragmentos de tégula y tres fragmentos de ímbrice.

En los estratos de la Fase 1 también se hallaron 267 fragmentos cerámicos de los que no se pudo determinar su producción. Seis de ellos pertenecían a fragmentos de asa, cuatro en la UE 262 y dos en la 437. Los fragmentos informes aparecieron en diferentes unidades estratigráficas entre las que destaca la UE 262 con 115 fragmentos informes, la 303 con 47 o la 437 con 45.

Fase 2

Tal y como se verá a continuación, gran parte del material cerámico de la Fase 2 tiene un marcado carácter residual. Esta evidencia parece estar relacionada, sobre todo, por el hecho de que muchos de los estratos de dicha fase pertenecen a niveles de relleno colocados durante la construcción del gran baptisterio, para los cuales se habrían recogido tierras de los alrededores. Buena muestra de ello son 25 fragmentos informes de cerámica de tradición indígena hecha a mano aparentemente, toda ella anterior al cambio de era¹³³, recogidos en las UUEE 469, 507, 565 y un borde procedente de la UE 577.

Las cerámicas de vajilla fina aparecidas en UUEE de la Fase 2 pertenecen, sobre todo, a producciones de TSAD (dos bordes y 14 informes¹³⁴). De la mayoría de ellas tan solo se puede indicar que han de ser posteriores a las primeras décadas del siglo IV (Raynaud 1993b), dado que su elevado grado de fragmentación impide reconocer a qué tipos pudieron pertenecer (Figura 3.17: 271-2 y 271-3). En cambio, el ejemplar de la UE 424, se asocia al tipo Hayes 104, seguramente a su variante A (Figura 3.17: 424-1), y permite proponer un *tpq* de entre los años 475/500 d. C. (*Atlante* 1981: 94–95; Bonifay 2004: 183; Cau 2003: 29; Fulford y Peacock 1984: 73–74; Pieri 2005: 57; Ramon y Cau 1997: 274 y 276; Raynaud 1993b: 195; Reynolds 1995: 23, 31, 2007: 38 y 74; Tortorella 1998).

Entre las piezas que también pertenecían al grupo de la Vajilla Fina, hay dos fragmentos informes de TSA Indeterminada que podrían ser incluso anteriores al siglo IV, pero el fragmento de mayor antigüedad es, sin duda, el de Paredes Finas de la UE 507.

¹³³ Se puede indicar, además, que no se documentaron fragmentos de estas producciones de tradición indígena ni en estratos de la Fase 1 ni de la Fase 3.

¹³⁴ Uno de estos informes (UE 414) presenta un barniz con un color rojo intenso que recuerda a las producciones de Terra Sigillata Africana E.

La mayoría de los fragmentos cerámicos de producciones aptas para ir al fuego son de la familia denominada Cocina Tardía: siete informes y un borde de la UE 417 (Figura 3.17: 417-1). De ellos, tan solo se puede indicar que no parecen producciones mallorquinas y que serían, muy probablemente, posteriores al siglo IV. Sin embargo, también se encontraron en estratos de la Fase 2 dos fragmentos de Cocina Africana, uno perteneciente a una cazuela del tipo Ostia III, 267 en la UE 271 (Figura 3.17: 271-1). Ambos pertenecen a las denominadas producciones «clásicas» de cronología más antigua, aunque se podrían haber fabricado hasta mediados del siglo V o como máximo hasta la segunda mitad de dicha centuria (Bonifay 2004; Macias 1999: 169–173; Macias y Cau 2012: 513, 516). Un fragmento de base de Cocina Itálica y un fragmento informe de cerámica de Cocina Indeterminada son claramente materiales de cronología mucho más antigua.

Los 22 fragmentos de ánforas documentados, entre los que se encuentran dos asas y 20 informes, aportan poca información con respecto a las de la fase anterior. Sí que se observa un abanico más amplio de producciones en el que, además de la africana, la tarraconense y la ebusitana, también se ha documentado la sudhispánica y una del Mediterráneo oriental. Esta última parece corresponder a alguna de las producciones *Late Roman Amphora 1*, fabricadas en la costa de las antiguas provincias de Cilicia I y II, Isauria y Siria I, así como en las islas de Chipre y Rodas (Pieri 2005: 80–81, 2007: 613). No obstante, ninguno de los fragmentos de ánfora recuperados aporta alguna precisión cronológica significativa a la presente Fase 2.

La cerámica común está representada por seis fragmentos: dos bordes, una base y tres informes. Tan solo un fragmento presenta una decoración incisa (UE 273) que es, en concreto, monolineal. La base es umbilicada y podría pertenecer a una jarra/anforita (Figura 3.17: 271-4), aunque tampoco se pueden descartar otras posibilidades, y uno de los fragmentos informes presenta decoración incisa monolineal.

Por lo que respecta a las tejas, se documentaron 37 fragmentos de tégula y 13 fragmentos de ímbrice. Entre el total de los 50 fragmentos, tan solo uno presenta características composicionales que permiten descartar que sea de producción local (ímbrice de la UE 417 que presenta partículas negras brillantes). Es interesante hacer notar que es en esta fase donde se documenta, por primera y única vez en el Sector Baptisterio, un ejemplar de tégula con abundantes marcas digitales en la parte inferior de la pieza. También se puede destacar la presencia de un grafiti post-cocción en una tégula de la UE 430, el cual también es un *unicum* en el sector ahora estudiado.

Entre el material cerámico para la construcción se documentó un pequeño fragmento de ladrillo (UE 30) que mide 4,5 cm de grosor y hasta 8 cm de largo (Figura 3.17: 30-1). Cabe destacar que es el único ejemplar de este tipo de material cerámico documentado en el Sector Baptisterio y que estos son muy escasos en todo el yacimiento de Son Peretó. Destacan también un ejemplar con marcas digitales en la UE 398, uno con un grafiti post-cocción en la UE 438 y uno con decoración digital en la UE 506.

Entre la cerámica de producción indeterminada se han contabilizado 296 informes, dos fragmentos de borde en las UUEE 06 y 215, uno de base y tres de asa. Cabe destacar que también se documentaron ejemplares que parecen claramente anteriores al siglo V.

En resumen, se puede señalar que en las UUEE de la Fase 2 apareció gran cantidad de material residual y que el ejemplar del tipo Hayes 104 de TSAD aporta un *tpq* de entre los años 475/500 d. C. para dicha fase. Sin embargo, también cabe advertir que esta propuesta cronológica es similar a la que han aportado los materiales de la Fase 1.

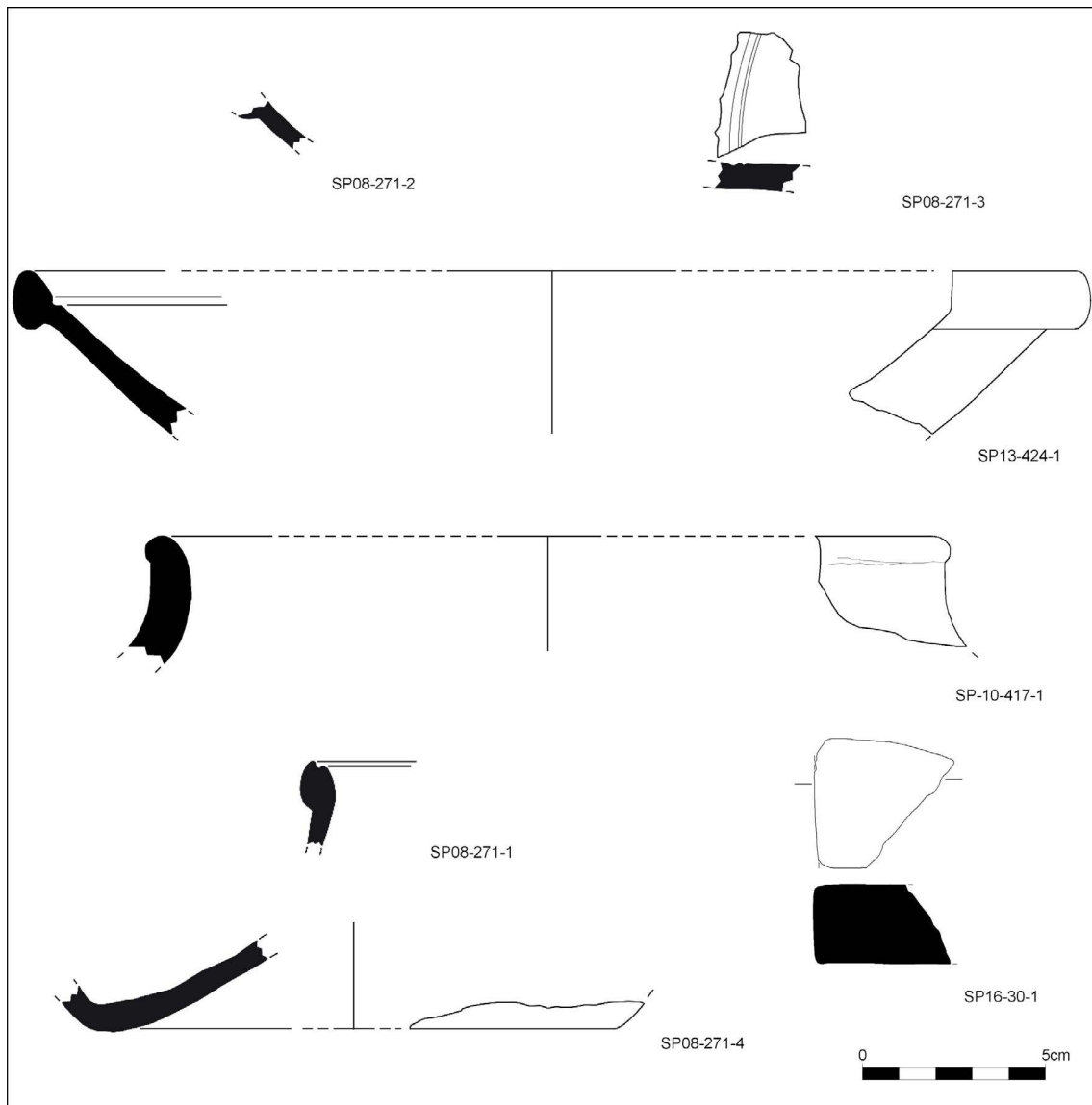


Figura 3.17. Selección de las cerámicas de las UUEE de la Fase 2 (A. Martínez y M. Riera)

Fase 2 o 3

Entre las UUEE para las que no se ha podido determinar si pertenecen a la Fase 2 o a la Fase 3, vuelve a predominar absolutamente la TSAD entre la Vajilla Fina (cuatro fragmentos de borde, dos de base y siete informes). También se documentó un pequeño fragmento informe y muy rodado de *Terra Sigillata* Clásica que tiene, sin ninguna duda, un marcado carácter residual. Dos de los fragmentos de borde de TSAD se han podido asociar a dos tipos de la tipología propuesta por J.W. Hayes, concretamente a los tipos 88 y 99C aparecidos en la UE 458 (Figura 3.18: 458-3 y 458-4), asociados a un fragmento de base con decoración a ruedecilla.

El tipo Hayes 88 parece que se empezó a fabricar a inicios del siglo VI (*Atlante* 1981: 92-93; Hayes 1972: 136;), entre los años 500 y 550 (Raynaud 1993b: 193) o, entre los años 533 y 550 (Reynolds 1995: 31 y 34), aunque también hay quien no descarta que se iniciase a finales del siglo V (Bonifay 2004: 175 y 177; Tortorella 1998).

En cambio, el tipo Hayes 99C no se habría empezado a producir hasta los años 560/580 (Hayes 1972: 155; Raynaud 1993b: 195) o hasta finales del siglo VI (Tortorella 1998). M. Bonifay (2004, 181) ha argumentado que son, efectivamente, unas cerámicas que aparecieron hacia finales del siglo VI, pero que se documentan principalmente durante el siglo VII.

Todos los fragmentos cerámicos de producciones aptas para ir al fuego son de la familia denominada Cocina Tardía (5 informes). Otra vez no parecen producciones mallorquinas y serían todas posteriores al siglo IV. En cambio, es la primera vez que no se documenta ninguna otra producción de cocina claramente de época romana.

Dos de los cinco fragmentos (UE 340) presentan abundantes partículas plateadas y parecen pertenecer al grupo «*muscovite-rich fabrics. Fabrics 1.6/1.7 from Fulford and Peacock* (1984: 12) / *Fábricas 2.1/2.2, 2.3, 2.4, 2.5*» (Cau 1998, 2003) = Fábricas moscovíticas (Riera Rullan y Cau 2013). Son cerámicas que se habían propuesto de la primera mitad del siglo VI y anteriores al 575 (Reynolds 1993: 23 y 26; Cau 2007: 221) y de entre el 450 y el 550 (Santoro 2007: 368). Más recientemente se ha considerado que, en general, se puede datar de entre los años 500 y 550, pero advirtiéndose que su cronología inicial podría ser del último cuarto del siglo V y que es conveniente ser prudentes ya que existen diversas fábricas semejantes cronológicamente anteriores (Macías y Cau 2012: 516). Desafortunadamente, todavía no se puede precisar su área de fabricación (Macías y Cau 2012: 516).

La información que aportan los 19 fragmentos de ánfora detectados es escasa, pero puede señalarse el predominio de las producciones del norte de África con 15 fragmentos. Es imposible acotar la datación de los fragmentos africanos mientras que, el fragmento itálico y, sobre todo, el de la Tarraconense (tal vez perteneciente al tipo Dressel 2-4), serían claramente anteriores al siglo IV.

Los 21 fragmentos de cerámica común analizados pertenecen a producciones oxidantes. Se desconoce el lugar de producción de la mayoría, pero los ocho ejemplares de la UE 458 presentan unas características compatibles con las producciones “ibicencas”. Tal vez también pertenecerían a dicho grupo un ejemplar de la UE 336 y varios de la UE 340. Otro de los fragmentos de la UE 340 parece pertenecer a una producción del norte de África. Cabe destacar que entre el material considerado como Cerámica Común de las Fases 1 y 2, no se habían detectado ejemplares atribuibles claramente a las producciones “ibicencas” ni a las africanas.

La gran mayoría de los fragmentos de borde encontrados en las UUEE 336, 338, 340 y 342 –estratos que amortizaban la parte más profunda del sistema de desagüe de la piscina bautismal pequeña– corresponden a jarritos o jarritas. Algunos parecen de producción africana y de producción “ibicenca”, pero otros han sido clasificados como de producción indeterminada (Figura 3.18: 336-1; 338-1; 340-1; 340-2 y 340-3).

En la UE 340 también se recuperó un fragmento de tapadera (Figura 3.18: 340-5). Formalmente se asemeja mucho a otras tapaderas aparecidas en Son Peretó en contextos de los siglos VII–VIII (Riera Rullan, Cau y Salas 2012b: 60 y 66).

También se ha documentado un ejemplar de jarra/anforita (Figura 3.18: 458-2) asimilable al tipo RE-0206 (Ramon 1986, 2008) = Ánfora Keay 72 (Keay 1984) = Ànfora Ebusità 2 (Cela, Revilla 2004) = *Primer Grup gerra/amforeta «eivissenca»* (Riera Rullan 2015, 2017: 278–293). Son unas cerámicas características de los siglos VI y VII, pero no se puede descartar que su producción se iniciase un poco antes (Riera Rullan 2015, 2017: 281–286 y 544).

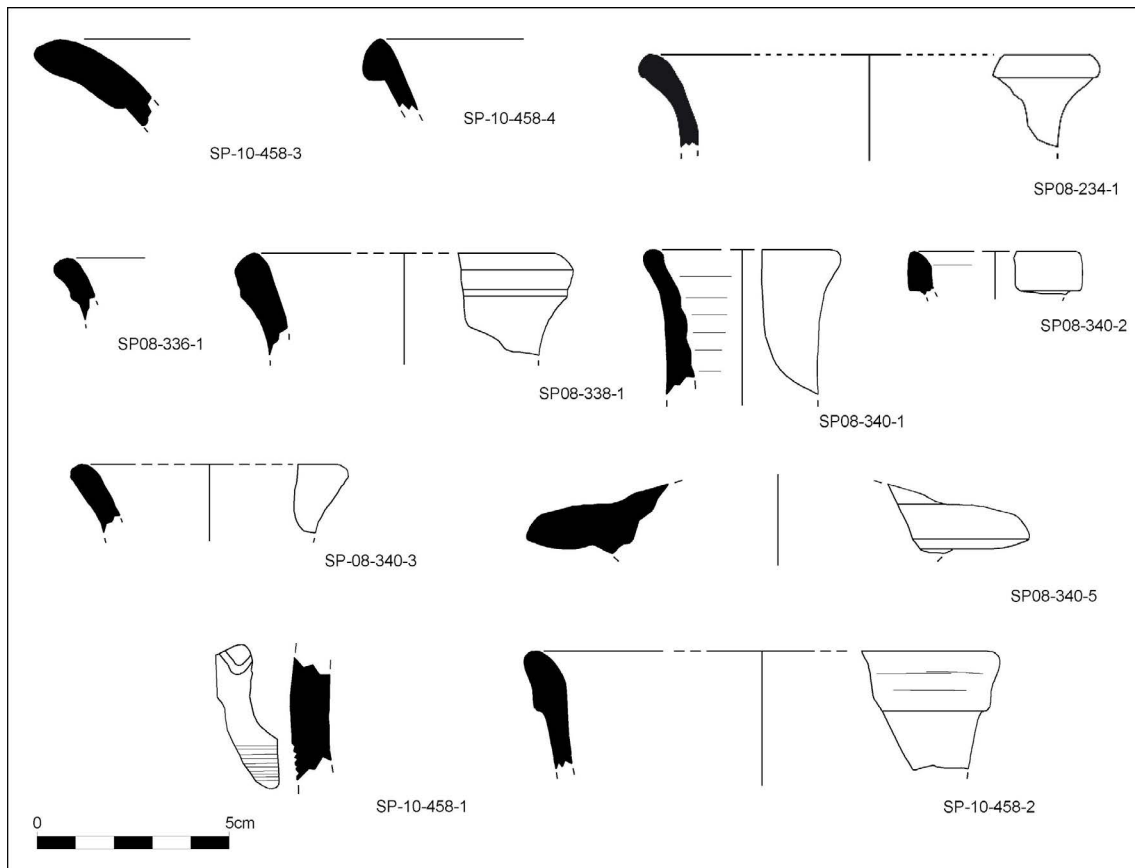


Figura 3.18. Selección de las cerámicas de las UUEE de la Fase 2 o 3 (A. Martínez y M. Riera)

Tal vez también pertenecería a una de jarra/anforita el fragmento de borde de la UE 234, pero no se puede descartar que fuese una jarra (Figura 3.18: 234-1). Se desconoce el lugar de producción.

Un fragmento de producción “ibicenca” (UE 458) presenta una decoración incisa que combina motivos monolineales y polilineales (Figura 3.18: 458-1). Para dicha decoración se ha propuesto un *tpq* de c. 535 d. C. (Ramon 1986: 32, 2008: 571 y 574), que encaja con lo que se ha podido observar en los contextos del Sector Oeste de Son Peretó y en los de la isla de Cabrera (Riera Rullan 2015; 2017: 271 y 278).

Las características de las tejas del presente subapartado (10 fragmentos de tégula y dos de ímbrice) son las mismas que las de las de la Fase 1 y de la gran mayoría de la Fase 2. No se ha detectado ningún ejemplar con características composicionales incompatibles con las producciones locales. Tampoco aparecen abundantes marcas digitales ni grafiti post-cocción. Cabe destacar que tres de los cuatro ejemplares de la UE 388 (Figura 3.15), son algunas de las piezas más completas encontradas en el Sector Baptisterio durante las excavaciones del siglo XXI y que algunas presentan decoración de improntas digitales. Su mejor estado de conservación se debe a que fueron reutilizadas para elaborar la cubierta de la sepultura infantil del Enterramiento 2009-11.

De los 295 fragmentos informes que se han considerado de producciones indeterminadas solo puede indicarse que no parecen incluir piezas que sean claramente anteriores al siglo V.

Según la vajilla fina documentada podemos situar este conjunto de materiales de la Fase 2/3 en momentos posteriores a finales del siglo VI. Tal vez indiquen lo mismo los dos fragmentos de Cocina Tardía de fábricas moscovíticas. También están representadas algunas producciones que podrían ser de

los siglos VI–VII. Todo ello es muy coherente con las dataciones que se propondrán para las Fases 2 y 3 del baptisterio.

Fase 3

Tal y como se verá en el capítulo 9, es muy probable que las UUEE que se proponen de la Fase 3, perteneciesen en realidad a diferentes subfases constructivas, pero se ha decidido unificarlas en una sola fase, puesto que en la mayoría de los casos es imposible determinar cuáles son anteriores, posteriores o coetáneas.

La vajilla fina recuperada en los estratos de la Fase 3 es toda originaria del norte de África. Toda ella es de las producciones de TSAD (nueve fragmentos de borde, cuatro de base y 17 informes), excepto un pequeño fragmento de TSAA de carácter residual.

Entre los fragmentos de borde de TSAD habría ejemplares pertenecientes a los tipos Hayes 99A o B (Figura 3.19: 450-1), 93/94/98 (Figura 3.19: 555-1) y, tal vez, 104, que ya habían aparecido en las Fases 1 y 2. Por tanto, no se insistirá en sus propuestas cronológicas.¹³⁵ Tampoco se insistirá en las de los tipos Hayes 88 y 99C, tratados en el subapartado dedicado a las UUEE de las que no se pudo determinar si correspondían a la Fase 2 o 3 (Hayes 99B o C de la Figura 3.19: 470-1). Por lo que respecta al posible ejemplar del tipo Hayes 81 de la UE 365 (Figura 3.19: 365-1), cabe recordar que su clasificación no es segura y, en cualquier caso, parece corresponder a un material claramente residual.

En cambio, los ejemplares correspondientes a los tipos Hayes 91D (Figura 3.19: 122-4), Hayes 99D=80B/99 (Figura 3.19: 122-5) y, tal vez, al tipo Hayes 105, sí que son una novedad y sí que parecen aportar unos *tpq* más modernos a los establecidos para las Fases 1 y 2.

El tipo Hayes 91D se habría empezado a fabricar hacia el año 600 (*Atlante* 1981: 106; Bonifay 2004: 179; Hayes 1972: 144), 580 (Raynaud 1993b: 194; Tortorella 1998), o 575/580 (Reynolds 1995: 31), y se han considerado, “muy especialmente”, del siglo VII (Vizcaíno 2009: 624). El ejemplar documentado en Son Peretó (UE 122) se encontró muy deteriorado, pero su atribución parece bastante segura.¹³⁶

El tipo Hayes 99D = 80B/99 podría aportar un *tpq* en torno a las primeras décadas del siglo VI (*Atlante* 1981: 105; Tortorella 1998), aunque también se ha afirmado que son unas cerámicas más características del siglo VII y especialmente de su segunda mitad (Bonifay 2004: 181).

Para el tipo Hayes 105 se ha propuesto una datación inicial de c. 580/600, con ciertas variantes arcaicas de finales del siglo VI (*Atlante* 1981: 96; Bonifay 2004; Hayes 1972: 169; Raynaud 1993b: 196). También se propuso un inicio de fabricación ligeramente anterior, en torno a los años 575/580 (Reynolds 1995: 10 y 31; Tortorella 1998). Debido a su elevado grado de fragmentación, no se puede descartar que los dos fragmentos de borde del Sector Baptisterio que podrían pertenecer al tipo Hayes 105 (UE 450), sean más bien del tipo Hayes 104.

¹³⁵ Tan solo se quiere indicar que el ejemplar documentado en la UE 555 de la presente Fase 3, presenta un perfil y unas dimensiones muy semejantes a la variante A/B del tipo Hayes 98 propuesta por M. Bonifay (2004: 185–187), para la que dicho autor propone una fabricación de entre el final del siglo V, hasta mediados del siglo VI, con ejemplares tardíos del final del siglo VI que, tal vez, evolucionaron hacia el tipo Hayes 108.

¹³⁶ Existe una duda razonable respecto a que pudiese ser un fragmento de mortero del tipo 11C de Bonifay (2004) de cerámica común africana, pero presenta una composición que se asemeja más a las producciones de TSAD.

Por todo lo observado hasta ahora, incluyendo el fragmento del tipo Hayes 99C de la UE 458 del que no se ha podido determinar si pertenecía a la Fase 2 o a la Fase 3, se puede proponer una cronología de c. 600 en adelante para los elementos de la Fase 3.

Nuevamente, la información que aportan los fragmentos de ánfora recuperados es escasa. Se han podido contabilizar 25 fragmentos informes, tres fragmentos de base y un fragmento de borde. Su estado de fragmentación no permite asimilar ninguna de las formas a algún tipo conocido. En cualquier caso, sí cabe reseñar el predominio de las producciones africanas y la presencia inequívoca de ánfora del Mediterráneo oriental, concretamente de la familia de las *Late Roman Amphora 1* = Keay 53.

Entre las piezas del conjunto de Cerámica Común, todas ellas siguen perteneciendo a producciones oxidadas. Conviene señalar que se manifiesta un claro aumento de las consideradas como producciones “ibicencas” que, como ya se ha comentado, no se habían detectado en las Fases 1 y 2. También se observa una mayor cantidad de ejemplares con decoración incisa polilineal (Figura 3.19: 122-3) y, por primera vez, se detecta una decoración incisa de “hojas de palmera” (Figura 3.19: 450-4).

A partir del análisis de los materiales cerámicos hallados en la Pitiusas, se ha observado que las piezas con decoración incisa de “hojas de palmera” aparecen en el siglo VI, después de la conquista bizantina del 534, y habría continuado hasta un momento todavía no determinado del siglo VII. También se ha indicado que esta decoración se aplicó, especialmente, a las jarras/anforita RE-0314b¹³⁷ y a las jarras RE-0204b (Ramon 2008: 574–575). Aunque el fragmento ahora presentado es extremadamente pequeño, por su grosor, parece más factible que esté relacionado con las jarras/anforita RE-0314, aunque dicha asociación no es segura.

Entre los ejemplares de las llamadas producciones “ibicencas”, también se han documentado cuatro fragmentos de borde (UE 450) de los que no se ha podido determinar con seguridad la forma cerámica al que pertenecen (Figura 3.19: 450-2). Parece que uno de ellos podría pertenecer a un lebrillo (Figura 3.19: 450-3). En cambio, un fragmento de borde de la UE 122 (Figura 3.19: 122-1) puede asociarse a los morteros de los tipos RE-0812b o c (Ramon 1986, 2008) = *Morter 2 ebusità* (Cela y Revilla 2004) = *Primer Grup Morters* (Riera Rullan 2015, 2017). Parece ser que estos morteros se fabricaron durante los siglos VI y VII, pero, tal vez también, durante una parte del siglo V (Riera Rullan 2015, 2017: 310–314 y 544).

Como parte del grupo de la Cerámica Común, se incluye una pieza de producción africana. Se trata de un jarrito hallado prácticamente completo –solo le faltaba una parte del asa–, que apareció en el interior de la sepultura del Enterramiento 2008-8 (Figuras 2.14 a 2.16 y 3.19), junto a la cabeza (Riera Rullan y Cau 2012d). Tal y como se ha expuesto en el capítulo 2, presenta unas características formales y composicionales muy parecidas a un ejemplar de Cartagena (CA4-11290-176-1), también encontrado en el interior de una tumba e igualmente considerado originario del norte de África (Vizcaíno y Madrid 2006: 440 y 444). En dicha publicación, se citan jarritos similares que se fechan entre los siglos V–VII d. C. en distintos yacimientos norteafricanos y de la península ibérica, incluidas algunas necrópolis,¹³⁸ pero no siempre sus formas son tan semejantes a nuestro ejemplar. En cambio, sí que lo son varios jarritos hallados en tumbas de necrópolis sicilianas y considerados de producción local para los que se ha propuesto una cronología de los siglos VI y VII (Vizcaíno y Madrid 2006: 445 y Figs. 6 y 7).

¹³⁷ La variante RE-0314b de Ramon 2008 corresponde a las RE-0314b y RE-0314c del trabajo tipológico original (Ramon 1986: 2, 25, portada y fig. 10).

¹³⁸ Asocian el ejemplar de Cartagena CA4-11290-176-1 al tipo G/CA?/6.2 de Macías (1999: 97) fechado entre los años 425 y 713 en Tarragona (Vizcaíno y Madrid 2006: 440). También a alguna de las variantes más tardías del tipo Bonifay 52 (Bonifay 2004: 286–287); para las que dicho investigador afirma que podrían haber seguido fabricándose en momentos posteriores a la presencia bizantina del norte de África (Vizcaíno y Madrid 2006: 440).

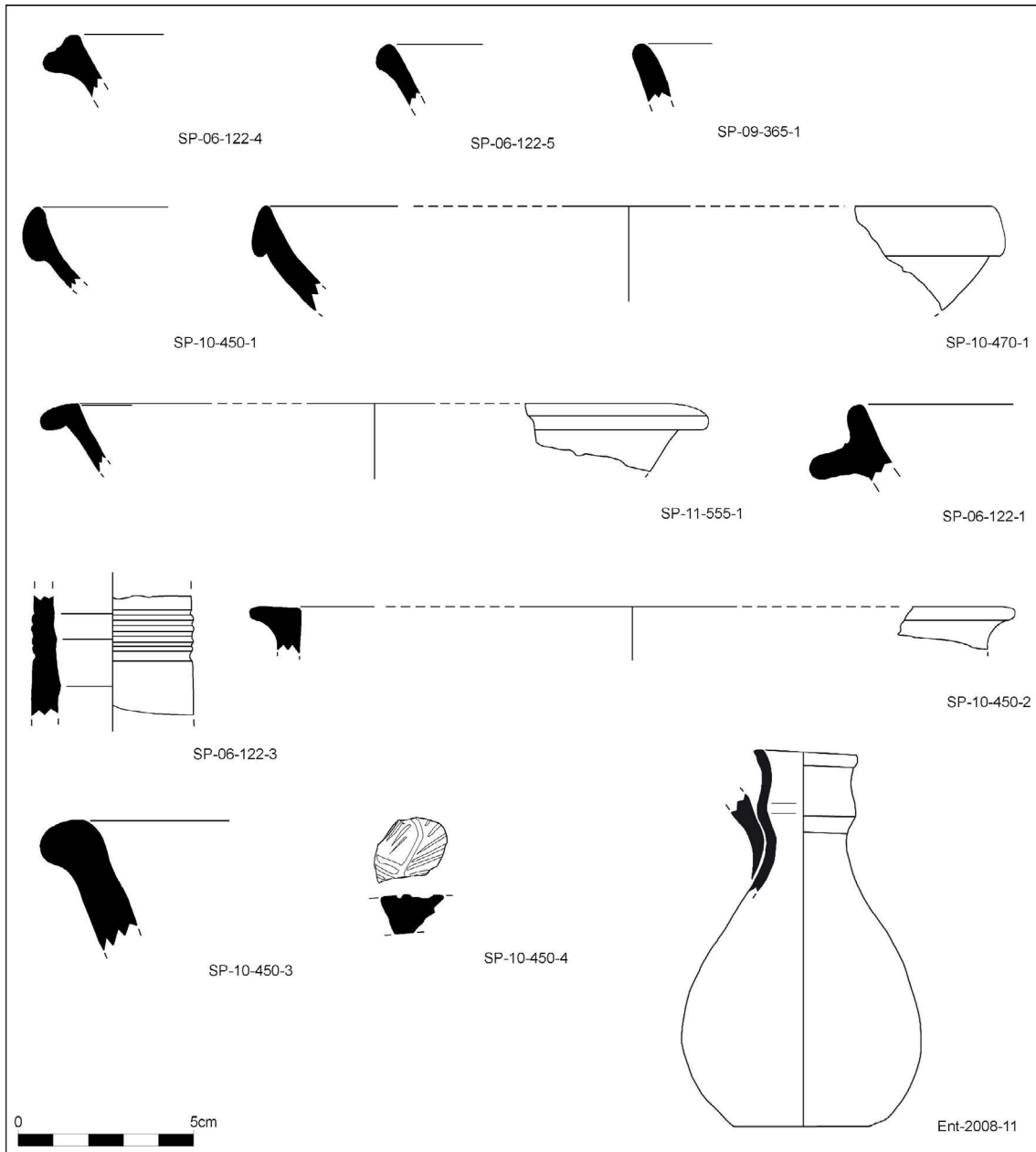


Figura 3.19. Selección de las cerámicas de las UUEE de la Fase 3 (A. Martínez y M. Riera)

Entre los estratos de la Fase 3 se hallaron 40 fragmentos de teja, 31 pertenecientes a tégulas y nueve a ímbrices, de los cuales 20 fragmentos de tégulas aparecieron en la UE 289. Al igual que en todos los otros subapartados, excepto el de la Fase 2, no se ha detectado ningún ejemplar con características incompatibles con las producciones locales, ni tampoco ninguna pieza con abundantes marcas digitales o con grafitis post-cocción.

En los estratos de las UUEE de la Fase 3, se recogieron 686 fragmentos, entre los que destacan los 493 de la UE 450, para los que no se ha podido determinar la producción cerámica, ni tampoco su forma. Nuevamente no se han podido detectar piezas claramente anteriores al siglo V. En cambio, se aprecian, por primera vez, varios individuos que podrían fecharse con posterioridad al siglo VII, pero, en ningún caso, más allá de la conquista islámica de Mallorca del 902–903.

El análisis de la Vajilla Fina de las UUEE de la Fase 3 permite situarla con posterioridad a c. 600. Es una datación que encaja bastante bien con el aumento detectado de ejemplares de producción “ibicenca” con decoración incisa polilineal que, tal y como se ha expuesto, se habría iniciado después del 534 d. C. También es coherente con el único hallazgo en todo el Sector Baptisterio de una pieza con decoración incisa de “hojas de palmera”, también de producción “ibicenca” que, probablemente perteneció a una jarra/anforita del tipo RE-0314. Finalmente, cabe señalar que en esta fase es la única en la que no se ha documentado ni un solo fragmento de cerámica de cocina.

Valoración

El material cerámico recuperado en el Sector Baptisterio de Son Peretó muestra una frecuentación del lugar desde, como mínimo, el siglo I a. C. hasta nuestros días, pero la mayoría pertenece a la Antigüedad. De entre el material de época antigua se observa un predominio de los productos de los siglos V al VII d. C., justo las centurias en las que se ha podido documentar el uso de las piscinas bautismales del lugar. Serían igualmente de estas tres centurias las tres fases principales documentadas.

A pesar de haber podido comprobar, a partir de los resultados de las pruebas de ¹⁴C realizadas, que se seguía enterrando en el interior del baptisterio más moderno, como mínimo hasta el año 770 d. C., no se ha identificado ninguna cerámica que se pueda situar inequívocamente en el siglo VIII, aunque es muy probable que ciertos ejemplares, sobre todo de cerámicas comunes o indeterminadas, puedan ser de dicha centuria, tal y como sucede con las piezas que pertenecerían a los niveles del incendio y destrucción del Sector Oeste (Riera Rullan 2009; Riera Rullan y Cau 2013; Riera Rullan y Martínez 2009: 311).

De entre las cerámicas que podrían corresponder a los siglos VII u VIII, llama la atención el reducido número de ejemplares de Cocina Tardía con desgrasante vegetal documentado en todo el Sector Baptisterio,¹³⁹ especialmente si se compara con los Sectores Oeste y Sur (Riera Rullan y Martínez 2009).¹⁴⁰ Sin embargo, esta escasez es coherente con el hecho de no haber hallado cerámica de cocina en los niveles de la Fase 3 y, tan solo cinco fragmentos informes en la denominada Fase 2 o 3. En cambio, en los estratos de la Fase 1 se recuperaron un fragmento de borde y cinco fragmentos informes y, en los de la Fase 2, dos fragmentos de borde, uno de base y nueve informes. Todo ello, tal vez esté relacionado con la no utilización de utensilios de cocina en aquella parte del asentamiento durante los siglos en los que funcionaron los baptisterios. El reducido número de individuos de ánfora recuperados en el Sector Baptisterio (NMI: 10 o 12), prácticamente siempre pertenecientes a fragmentos muy pequeños y, en numerosas ocasiones, de cronologías considerablemente anteriores al uso bautismal del lugar, parece apuntar en la misma dirección. El caso de las lucernas, también muy poco representadas, parece que se puede deber a otras circunstancias.¹⁴¹

En cambio, destaca el gran número de ejemplares de cerámicas de Vajilla Fina (NMI: 62) y de cerámica común (NMI: 54) recuperados en el Sector Baptisterio. Corresponden, respectivamente, al 36,9 % y al 32,14 % del total del NMI de época antigua documentados. Tal y como se ha ido exponiendo y como se

¹³⁹ Tan solo se han documentado tres pequeños fragmentos y de los niveles superficiales.

¹⁴⁰ Es la cerámica de cocina más bien representada en el Sector Oeste de Son Peretó, donde aparece solo a partir del siglo VII (Cau, Riera Rullan y Salas 2012b; Riera Rullan 2009: 109 y fig. 91; Riera Rullan, Cau y Salas 2012a, 2012b).

¹⁴¹ La escasez de piezas de cerámica para la iluminación se ha detectado en numerosos contextos de los siglos V a VIII, tanto del Mediterráneo como del Atlántico. En las Baleares, se ha constatado en los yacimientos del subarchipiélago de Cabrera y en el Illot dels Frares (Riera Rullan 2015, 2017: 532–534). También se documentó en el Sector Oeste de Son Peretó (Riera Rullan y Cau 2013). Este fenómeno se ha relacionado con la sustitución de las tradicionales lucernas de cerámica por piezas de vidrio, las cuales tendrían mejor funcionamiento y luminosidad (Sánchez de Prado 2009: 185; Vizcaíno 2009: 681).

acabará de justificar en el capítulo 9, parece razonable pensar que un número considerable de estas piezas se habrían utilizado en la celebración de *refrigeria* en las inmediaciones de los sepulcros, pero lo cierto es que son pocas las cerámicas halladas en contextos que se puedan asociar directamente a su uso. Entre estas, tan solo se pueden citar el jarrito encontrado en el interior de la sepultura del Enterramiento 2008-8 (Figuras 2.15, 2.16 y 3.19),¹⁴² los fragmentos de tégula utilizados como cubierta de dos sepulturas (Enterramientos 2009-11 y 2008-8), y los numerosos fragmentos de jarritos o jarritas localizados debajo del desagüe de la piscina bautismal pequeña (UUEE 336, 338, 340 y 342; Figura 3.18).¹⁴³ En cambio, es imposible saber si las demás cerámicas, antes de acabar amortizadas en la zona del baptisterio, se utilizaron en ambientes domésticos, funerarios, o relacionados con actividades litúrgicas, caritativas, etc.

Dejando a un lado las producciones de Mallorca o de otras islas de las Baleares, entre los materiales de los siglos V a VII d. C. existe un predominio de los materiales provenientes del norte de África, fundamentalmente de lo que es hoy en día Túnez. Este predominio ya se había documentado en el Sector Oeste de Son Peretó (Riera Rullan y Cau 2013) y viene siendo una constante en los yacimientos de Mallorca y Cabrera activos durante aquellas tres centurias (Cerdà 1978: 31, 1994: 299; Marimon 2004; Marimon *et al.* 2005: 410; Riera Rullan 2005, 2015, 2017). De entre los siglos V y VIII se documenta un número destacado de cerámicas que podrían ser originarias de Ibiza, pero, tal y como se ha comentado más arriba, no se debe descartar la posibilidad que algunas sean de Mallorca o de otras zonas geográficas de fuera de las Baleares. En el Sector Baptisterio también se han documentado unas pocas importaciones originarias de la península itálica, Galia, península ibérica, Cerdeña y de la península de Anatolia o islas adyacentes, pero cabe señalar que muchas de ellas podrían pertenecer a cronologías más antiguas. También cabe mencionar que son numerosas las piezas de las que no se ha podido determinar su procedencia.

Tal y como se verá a continuación, los contextos y las dataciones de las cerámicas documentadas en las Fases 1, 2 y 3, así como el de la denominada “Fase 2 o 3”, son coherentes con la evolución cronológica observada en el Sector Baptisterio y, también, con las dataciones propuestas a partir de las monedas, los fragmentos de vidrio y los resultados de las pruebas de ¹⁴C.

En general, con el conjunto ahora presentado del Sector Baptisterio, se ha podido observar un comportamiento muy similar al del Sector Oeste de Son Peretó (Riera Rullan y Cau 2013). Ambos han aportado informaciones relevantes respecto a lo acontecido en esta zona de Mallorca durante más de dos mil años y, muy especialmente, entre los siglos V a VIII d. C.

¹⁴² Para conocer las distintas justificaciones que se vienen argumentando para la presencia de estos pequeños recipientes en el interior de los sepulcros véase: Vizcaíno y Madrid 2006; Vizcaíno 2009: 535–596.

¹⁴³ Los cuales parece muy probable que se pueden relacionar con el agua de dicha piscina.

Capítulo 4

El conjunto de materiales vítreos del baptisterio de Son Peretó

Miquel Àngel Capellà Galmés¹⁴⁴, Antonia Martínez Ortega¹⁴⁵

Introducción

El presente estudio se centra en el conjunto de materiales vítreos localizados en el Sector Baptisterio del yacimiento paleocristiano de Son Peretó (Manacor, Mallorca). Dichos materiales se recuperaron a lo largo de diferentes campañas arqueológicas.

Unos doce fragmentos de vidrio fueron documentados durante las excavaciones realizadas en el año 1982 y están depositados en el Museo de Mallorca. A pesar de que se desconoce el contexto preciso en el que aparecieron, cabe ubicarlos en un área que abarca el baptisterio y el Sector Oeste (CE08-3-SP82-G2N-9) (Riera Rullan y Martínez 2009). Aunque la basílica y el baptisterio de Son Peretó fueron descubiertos por Joan Aguiló en 1912, no fue precisamente hasta 1982 cuando se iniciaron las primeras excavaciones extensivas bajo la dirección de Guillem Rosselló Bordoy, Pere de Palol y Margarita Orfila Pons (Riera Rullan, Cau y Salas 2012b: 7–8). Se presenta, además, un individuo depositado en este centro que fue recuperado de un expolio cometido durante los años 80, del que desconocemos el lugar exacto del yacimiento donde apareció (CE12/01/001).

El resto de los materiales vítreos que se estudian pertenecen a las campañas de excavación realizadas entre los años 2005 y 2013, y se encuentran depositados en el Museu d'Història de Manacor.

Este trabajo se inició con la localización y limpieza de todos los materiales y, en la medida de lo posible, en el caso de las piezas más completas, se procedió a su remonte. El conjunto se encuentra en mal estado de conservación. De hecho, solo han llegado hasta nosotros unos mínimos restos de cada individuo, lo que dificulta una correcta identificación tipológica. Puesto que la mayor parte de los vidrios proceden de zonas de uso, la fragmentación de estos es mayor que cuando proceden de depósitos cerrados, como es el caso de tumbas o silos. En cualquier caso, los depósitos de objetos en enterramientos o muy cercanos son escasos en este yacimiento, algo que se ha visto también, por ejemplo, en el sur de Francia (Foy 2010a: 391). En el caso de los dos enterramientos aparecidos en el área del baptisterio (Enterramientos 2007-4 y 2007-5), los fragmentos de vidrio recuperados corresponden, en su mayoría, a pequeños fragmentos informes que no aportan información relevante.

La clasificación de aquellos materiales mejor conservados se ha realizado partiendo de la tipología publicada por C. Isings (1957), completada por J.I. Feyeux (1995) y D. Foy (1995), en el ámbito francés; además de considerar la breve catalogación precedente de un pequeño conjunto de restos vítreos perteneciente a este mismo yacimiento de Son Peretó (Riera Rullan, Cau y Salas 2012b: 70–74 y 78). En el ámbito hispánico, escaso en investigaciones sistemáticas hasta el momento, ha sido de gran ayuda

¹⁴⁴ Profesor titular de la Universitat de les Illes Balears.

¹⁴⁵ Arqueóloga y técnica documentalista, Consell de Mallorca.

la reciente publicación de la tesis doctoral de la Dra. M. D. Sánchez de Prado (2018) titulada *La vajilla de vidrio en el ámbito suroriental de la Hispania romana*, que supondrá, sin duda, un impulso clave en el estudio regional del vidrio de este período.

Otro aspecto que no se puede contestar en este momento es el lugar de fabricación de estos materiales. No se tiene constancia de la existencia de hornos vítreos activos en este período en la isla, aunque sí podemos mencionar que en el yacimiento han aparecido algunos materiales asociados a artesanos que trabajaron con vidrio, como pueden ser algunos restos de escoria de vidrio y una barrita de pasta vítrea. Sin embargo, por el momento, no se consideran indicios suficientes como para asegurar la existencia de un taller local, ya que no se ha documentado hasta la fecha ninguna estructura arquitectónica ni suficientes indicadores productivos (restos de crisoles, goteos, “vidrio en bruto”, ...) que demuestren esta actividad artesana en la isla.¹⁴⁶

Estudio del conjunto de materiales vítreos

Para el presente estudio se ha mantenido el orden cronológico consecutivo de las distintas campañas de excavación en el inventario adjunto, llegando a sumar un total de 143 fragmentos. Dicho cómputo se estructura de la siguiente manera, tal y como se muestra en la Tabla 4.1 de inventario del conjunto de los materiales: un individuo con perfil completo pertenece al expolio citado de los años 80; 12 fragmentos de un mismo individuo pertenecen a la excavación de 1982; un fragmento pertenece a la campaña de 2005 (UE-06); 23 fragmentos proceden de la campaña de 2007 (UE: 188, 211, 216, 217); 81 fragmentos de la campaña de 2008 (UE: 188, 236, 241, 262, 303, 305, 318, 321, 328, 330, 333, 336, 338, 340, 342, 350); cuatro fragmentos de la campaña de 2009 (UE: 365, 401, 403); 10 fragmentos de la campaña de 2010 (UE: 21, 415, 417, 437, 455, 472); 10 fragmentos de la campaña de 2011 (UE: 472, 507, 548, 549, 558, 565); y un sólo fragmento corresponde a una de las estructuras limítrofes de esta área perteneciente a la campaña de 2013 (UE: 424).

Los estudios de D. Foy (1995, 2010a) en el ámbito francés indican que el repertorio formal tiende a reducirse en comparación con los siglos precedentes y también a repetir sus formas de manera sistemática, solo con ligeros cambios, entre los s. V y VII. Una vajilla que estaría formada principalmente por cuencos, copas, frascos/ungüentarios y lámparas (Sánchez 2018: 385). Por esta razón, se considera dificultosa la clasificación de algunas piezas, al contar con largas cronologías sin disponer de más contextos arqueológicos ni de más ejemplares que permitan concretar mejor lo que sucede con determinadas producciones.

La única pieza del estudio en buen estado de conservación es un frasco/ungüentario (Figura 4.1, CE12/01/001),¹⁴⁷ que destaca por tener prácticamente un 90% de su volumen total, siendo por lo tanto la más completa. Desgraciadamente, se desconoce la zona y el contexto estratigráfico específico en el que apareció, aunque en contextos arqueológicos peninsulares estos objetos aparecen amortizados en la mayoría de las ocasiones en las zonas funerarias, ya que son recipientes que se relacionan con las ceremonias desarrolladas en estos espacios. Se trata de un ungüentario que puede clasificarse como una variante del tipo Isings 101/Gamo tipo IC (Isings 1957: 119–120; Gamo 1995: 307–308). Es un recipiente sencillo soplado al aire, de base ligeramente cóncava, cuerpo piriforme tendente a globular y cuello largo y estrecho, que facilita el vertido dosificado de su contenido, rematado por un labio con engrosamiento interior. Es de color verde claro con cierta tonalidad más amarillenta en la parte de su base. El cuerpo

¹⁴⁶ Remitimos a la reflexión realizada sobre el tema por M. D. Sánchez de Prado (2018: 363–375), así como a la relación de indicadores productivos y a los talleres secundarios localizados en *Hispania*.

¹⁴⁷ No se publica la fotografía ya que el Museo de Mallorca no facilitó su toma en el año 2018 cuando se realizó el dibujo arqueológico y se estudió la pieza.

presenta la decoración de un hilo de vidrio del mismo color que el resto de la pieza aplicado en espiral. La falta de contexto arqueológico, debido a las circunstancias ya explicadas, no permite otorgarle una cronología concreta, aunque por paralelos podría situarse entre los siglos VI–VII d. C.¹⁴⁸

El primer grupo de piezas a considerar son tres fragmentos de asa pertenecientes probablemente a recipientes para la iluminación, aunque también podrían estar asociadas a otros objetos. Las primeras lámparas de vidrio aparecieron en el siglo I d. C., imitando modelos cerámicos o metálicos, como demuestran los ejemplares más antiguos localizados en Italia. Si bien, parece que se trata de una materia escasa hasta aproximadamente los siglos IV–V d. C., cuando empezaron a definirse los tipos vítreos,¹⁴⁹ que acabaron por desplazar a la cerámica, debido a su mayor practicidad y a la transparencia del vidrio (Foy 2011: 207–208). Es en este momento cuando, directamente vinculadas a los complejos religiosos, pasaron a ser una de las formas más desarrolladas por los artesanos vidrieros, soplándose ejemplares de gran creatividad. Sus pequeñas asas, juntamente con pequeñas cadenas, permitían suspenderlas del techo o las paredes, y se utilizaban para iluminar los espacios arquitectónicos. La lámpara va asociada a portamechas que permiten proteger la llama del aire y por la transparencia de las paredes proporcionaban una iluminación muy vistosa. Dos asas de Son Peretó pueden asimilarse a la lámpara tipo Isings 134. Esta forma se caracteriza por tener un cuerpo troncocónico, el borde plegado hacia el exterior y la base cóncava, además de tres asas aplicadas desde la mitad del cuerpo hasta el borde; si bien sabemos que se producen variantes en la morfología del cuerpo (Isings 1957: 162). Este tipo es una creación de los vidrieros en Oriente a lo largo del siglo IV d. C., donde son muy frecuentes hasta finales del VII d. C. Se introdujo en Occidente a finales de la misma centuria según los ejemplares conservados en Italia, donde son más abundantes en el siglo VI d. C. (Sternini 1995: 259). En cambio, en Francia los ejemplares recuperados son escasos (tipo Foy 11; Foy 1995: 197), característica que comparte la península ibérica.¹⁵⁰ La primera asa (Figura 4.1, SP08-262-A) es de vidrio de color amarillo de sección circular. Un ejemplar similar, que conserva el borde y las dos asas, se ha localizado en la estancia 2 de la domus de los Baños de la Reina (Calpe, Alicante), datado en el siglo V d. C. (Sánchez 2018: 329–330, fig. 211–2). La segunda pieza (Figura 4.1, SP10-417-A) es de vidrio color azul celeste de sección circular (Riera Rullan, Capellà y Martínez 2012), que tendría un paralelo localizado en la excavación del sector Arena del Anfiteatro de *Segobriga* (Saelices, Cuenca). Este apareció descontextualizado, pero datable también en el siglo V d. C. (Sánchez 2018: 329, fig. 211-núm. 3). Ninguna de los ejemplares del baptisterio ha conservado el borde, sin embargo, en el mismo conjunto aparecen fragmentos de bordes plegados hacia el exterior que podrían ser restos de estas lámparas (Figura 4.3, SP-08-262-6).¹⁵¹

El servicio de mesa se ejemplifica con varios fragmentos de cuencos de borde engrosado (Feyoux 81), que se utilizaban tanto para comer como beber. Se trata de uno de los tipos vítreos con mayor difusión por el territorio peninsular que aparece puntualmente durante la primera mitad del s. V d. C. y que es muy frecuente en los contextos de los siglos VI–VII d. C. (Sánchez 2018: 318–322, 344–348). La principal dificultad radica en su encuadre cronológico debido a su presencia a lo largo de varias centurias y los escasos cambios formales que sufre. Se caracteriza por tener una base prácticamente plana, un cuerpo troncocónico de perfil sinuoso y el borde engrosado, preferentemente hacia el interior. Asociamos a esta forma seis vidrios muy finos, mayoritariamente incoloros (Figura 4.2, SP05-06, SP09-365-2, SP13-

¹⁴⁸ Este ejemplar muestra ciertas similitudes, tanto por la forma como por la decoración, con un ungüentario localizado en la necrópolis de Polisixto (Cocentaina, Alicante). Debemos indicar que estos recursos decorativos son característicos también de las piezas galas de época merovingia (Sánchez 2018: 334).

¹⁴⁹ Véanse las principales variedades formales en: Crowfoot y Harden 1931; Uboldi 1995.

¹⁵⁰ A la relación de ejemplares se pueden citar los casos de Vigo y Braga en el noroeste peninsular (Sánchez 2018: 329).

¹⁵¹ Entre los siglos VI–VII d. C. en Francia se introducen nuevos modelos de lámpara con asas muy similares a las descritas, pero tienen la particularidad de estar aplicadas sobre la pared y no sobre el borde del objeto (forma 22c; Foy 1995: 207, 172–175, 2011: 225).

424-2), aunque también hay dos individuos de color violeta (Figura 4.2, SP08-241-A, SP08-262-4) y uno, verde claro (Figura 4.2, SP08-188-A). La mayoría presentan una degradación total de la superficie vítrea, aspecto que dificulta su estudio. En cuatro de ellos se pueden apreciar unas sencillas líneas paralelas grabadas bajo el borde, los restantes son lisos. Además, también se recuperaron dos fragmentos de base, casi planas, que podría corresponder a ejemplares de esta forma (Figura 4.4, SP-10-415-A, SP-08-350-A).

Los vasos cónicos, de gran variedad en cuanto a su forma, están representados tan solo por dos bordes (forma Isings 106d/Foy 21b). Presentan un ligero engrosamiento interno y tonalidad azul celeste, sin restos de decoración aplicada (Figura 4.2, SP08-340-6, SP11-549-A), aunque algún fragmento podría corresponder al borde de una lámpara (forma Foy 21c). Asociamos a este tipo un fragmento de pared informe de vidrio incoloro muy irisado, que presenta decoración de hilos blancos aplicados en paralelo, en parte desaparecida y degradada con el paso del tiempo, siendo ahora de color negruzco (Figura 4.3, SP08-236-A). La forma 21b (Foy 1995),¹⁵² que también incluye lámparas de cuerpo cónico o acampanado, es muy frecuente en contextos arqueológicos del Midi francés. Probablemente es un producto realizado por talleres locales en el sur de Francia (Foy 2010a: 414). La difusión de estas producciones en la península ibérica es escasa, según los datos actuales, aunque se han documentado ejemplares en diferentes yacimientos.¹⁵³ Los vasos cónicos y otros modelos, que pueden estar decorados o no, aparecen a inicios del siglo V y perduran hasta mediados del VI (Sánchez 2018: 348-350).

Otro grupo de fragmentos son los cuatro bordes de cuenco con el labio plegado hacia el exterior dos de vidrio amarillo, uno de ellos azul opaco y otro incoloro (Figura 4.3, SP07-188-A, SP-08-262-5, CE08-3-SP82-G2N-9, SP-08-262-6). Todos ellos presentan alguna similitud, por la técnica de elaboración del labio, con la forma Foy 28, que tiene el fondo convexo y se data a fines del siglo VII (Foy 1995: 211-212 y 237). Sin embargo, el deficiente estado de conservación, impide que se puedan precisar más aspectos y que se puedan clasificar con total seguridad como de esta forma. Incluso, es posible, como ya hemos indicado, que sean fragmentos de lámparas. Además, debemos tener en cuenta que los vasos y cuencos, localizados con gran profusión en los yacimientos de esta cronología, también podrían haberse utilizado para iluminar, cumpliendo ambas funciones indistintamente (Foy 2010a: 415).

Un fragmento que posiblemente pertenezca a una copa o a una pieza de forma abierta, presenta una decoración grabada en frío representando un motivo geométrico-vegetal sobre vidrio incoloro (Figura 4.3, SP07-217-A). Su mal estado de conservación no permite precisar las características de la decoración y tampoco fijar algún paralelo productivo. Sin embargo, este ejemplar puede ser un testimonio de la existencia en el yacimiento de Son Peretó de piezas más sofisticadas y prestigiosas que las estudiadas, caracterizadas por las decoraciones grabadas realizadas en frío, que introducen repertorios figurativos de temática cristiana.

Otro conjunto de piezas de formas diversas lo componen varias cuentas de collar, una de ellas de forma esférica moldeada con decoración gallonada de forma longitudinal a su eje y color verde turquesa (Figura 4.4, SP-08-340-41) utilizada en la manufactura de collares, a lo largo del s. V e inicios del s. VI (Salvà 2012c). La segunda se trata de una pieza de forma ovalada, obtenida mediante fusión y moldeada en caliente, con decoración incisa de una acanaladura en un lateral y varias marcas circulares en una de sus caras (Figura 4.4, SP-11-548-A) y que, por su contexto estratigráfico, se considera anterior al siglo VI d. C. (Capellà y Martínez 2012a). Otra pieza es una pequeña ficha de juego o *calculus* (Figura 4.4, SP08-340-40) de forma discoidal, con un ligero deterioro en un extremo, obtenida mediante fusión y moldeada en caliente sin decoración aparente, de color azul opaco. Podría tratarse de una ficha de juego

¹⁵² También muy frecuente en las producciones galas merovingias estudiadas por Feyeux (1995: tipo 51 y 56).

¹⁵³ Véase principalmente los ejemplos publicados en: Coll 2011; Marcos y Vicent 2000; Pérez-Sala 2004; Romero y Garcés 2004; Sánchez De Prado 2004; Uscatescu 2004.

o bien de un elemento destinado a la incrustación sobre un objeto de metal, pudiendo considerarse una pieza de los siglos V–VII d. C. (Uscatescu 2004: 46). Y, por otro lado, destacan las cuatro piezas talladas de forma cúbica de color azul. Podría tratarse de *tesselae* de mosaico, sin embargo, no se descarta que puedan ser piezas de pasta vítrea que hubiesen podido ser empleadas en un taller de piedras duras. Tres de ellas pertenecen a un mismo estrato (SP08-340-A) y la cuarta a otro distinto (SP08-342-A), aunque están directamente relacionados (Figura 2.158). Este tipo de piezas ya se había documentado en Son Peretó y se habían datado entre los siglos V–VII d. C. (Capellà y Martínez 2012b). Más recientemente, se ha localizado un nuevo ejemplar en su Sector Sur todavía inédito.

Finalmente, se han documentado en esta área dos vidrios planos. El primero es incoloro, de pequeño tamaño y muy deteriorado, con un grosor máximo de 2 mm (Figura 4.4, SP10-437-B). El segundo también es de pequeño tamaño (Figura 4.4, SP07-188-B), pero de mayor grosor y de color azul celeste. Con dimensiones tan reducidas no es posible diferenciar si se trata de fragmentos de ventana o bien de piezas de vajilla de sección prismática.¹⁵⁴

Conclusiones

El conjunto de vidrios procedente de la excavación del área del baptisterio de Son Peretó supone una primera aproximación al estudio del vidrio tardoantiguo en Mallorca. Aunque se trata de un reducido número de piezas, en muy mal estado de conservación y fragmentación, esto no ha impedido la identificación y clasificación de algunos de los tipos característicos del período. La muestra recuperada ejemplifica el proceso de simplificación del repertorio formal creado por los vidrieros en el período tardoantiguo en el occidente europeo, siendo los tipos más frecuentes las piezas de vajilla, las lámparas y los adornos personales. Estas producciones se introdujeron en el siglo V y se mantendrán sin grandes variaciones hasta el inicio de la dominación islámica. Finalmente, queremos indicar que la extensión del estudio al complejo de la basílica y a otros yacimientos de la misma cronología, permitirá ampliar el horizonte de conocimiento vidriero, precisar cronologías y tipos. Además, se podrá valorar la incidencia de la dominación bizantina sobre el vidrio insular y la obertura o no a productos orientales hasta el momento no documentados que demostrarían una cierta recuperación comercial a larga distancia.

¹⁵⁴ Algunos ejemplos en Pérez-Sala 2004: 505.

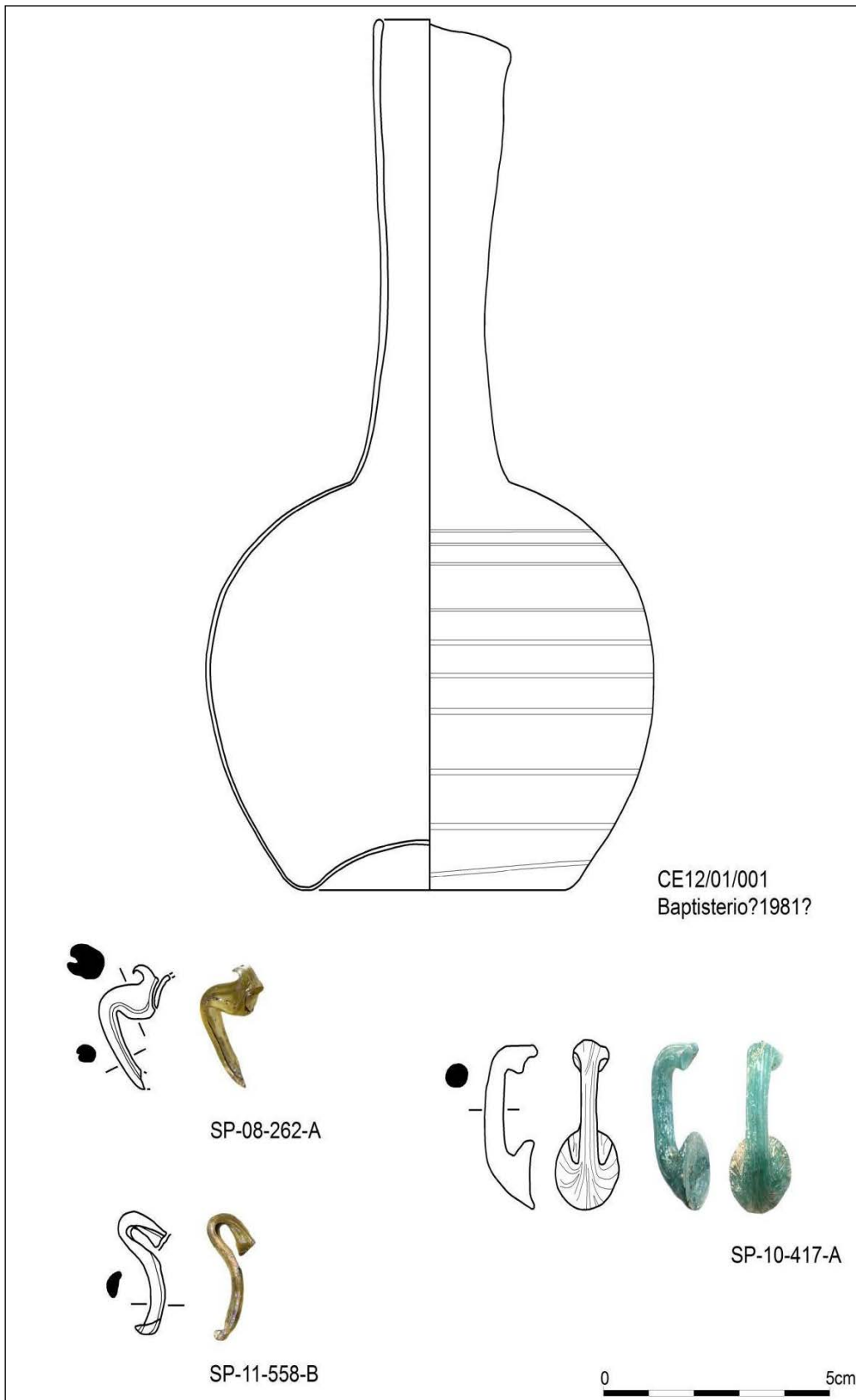


Figura 4.1. Materiales vítreos; frasco/ungüentario y asas de posibles recipientes para la iluminación (A. Martínez)

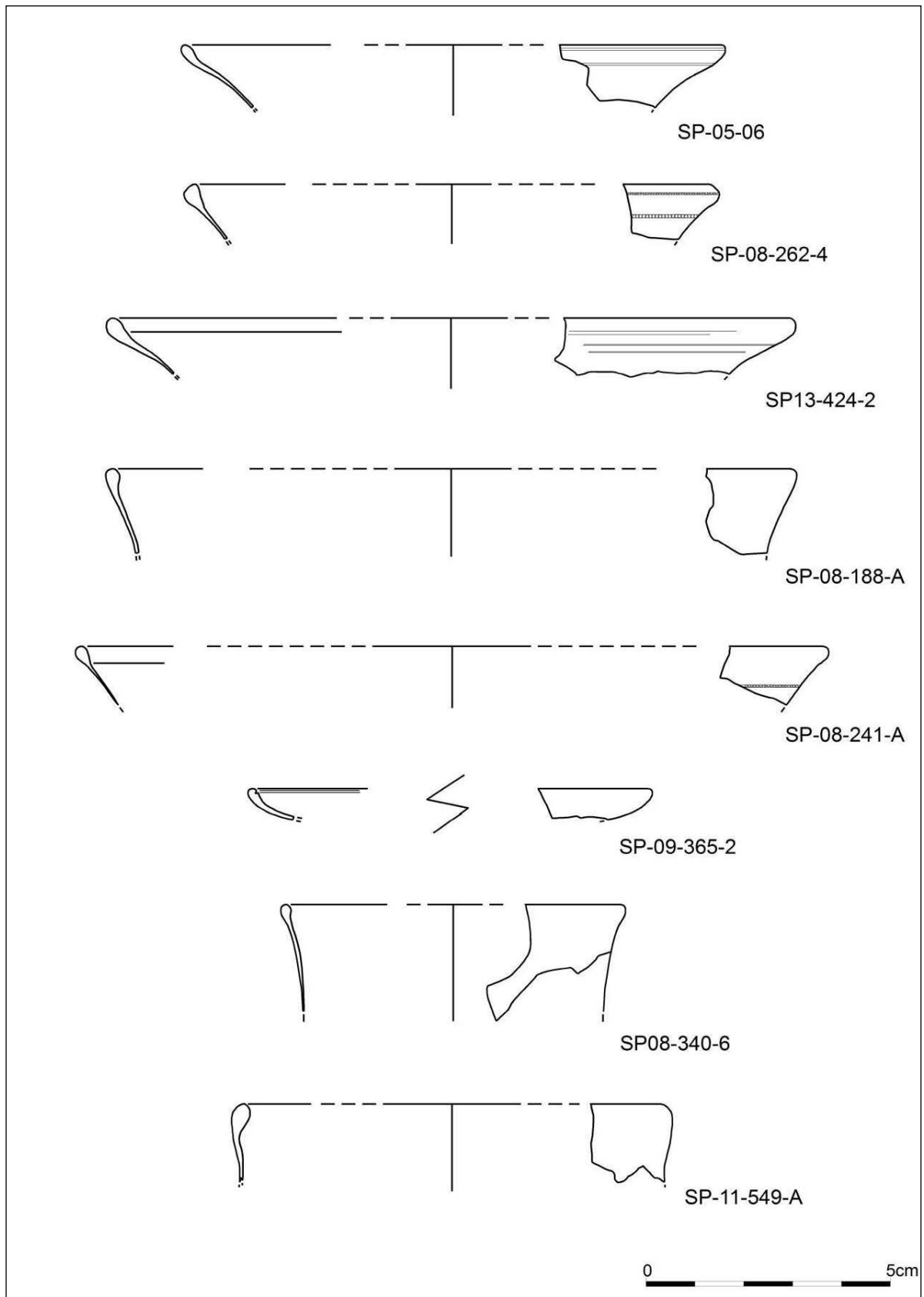


Figura 4.2. Materiales vítreos; fragmentos de cuencos y vasos cónicos (A. Martínez)

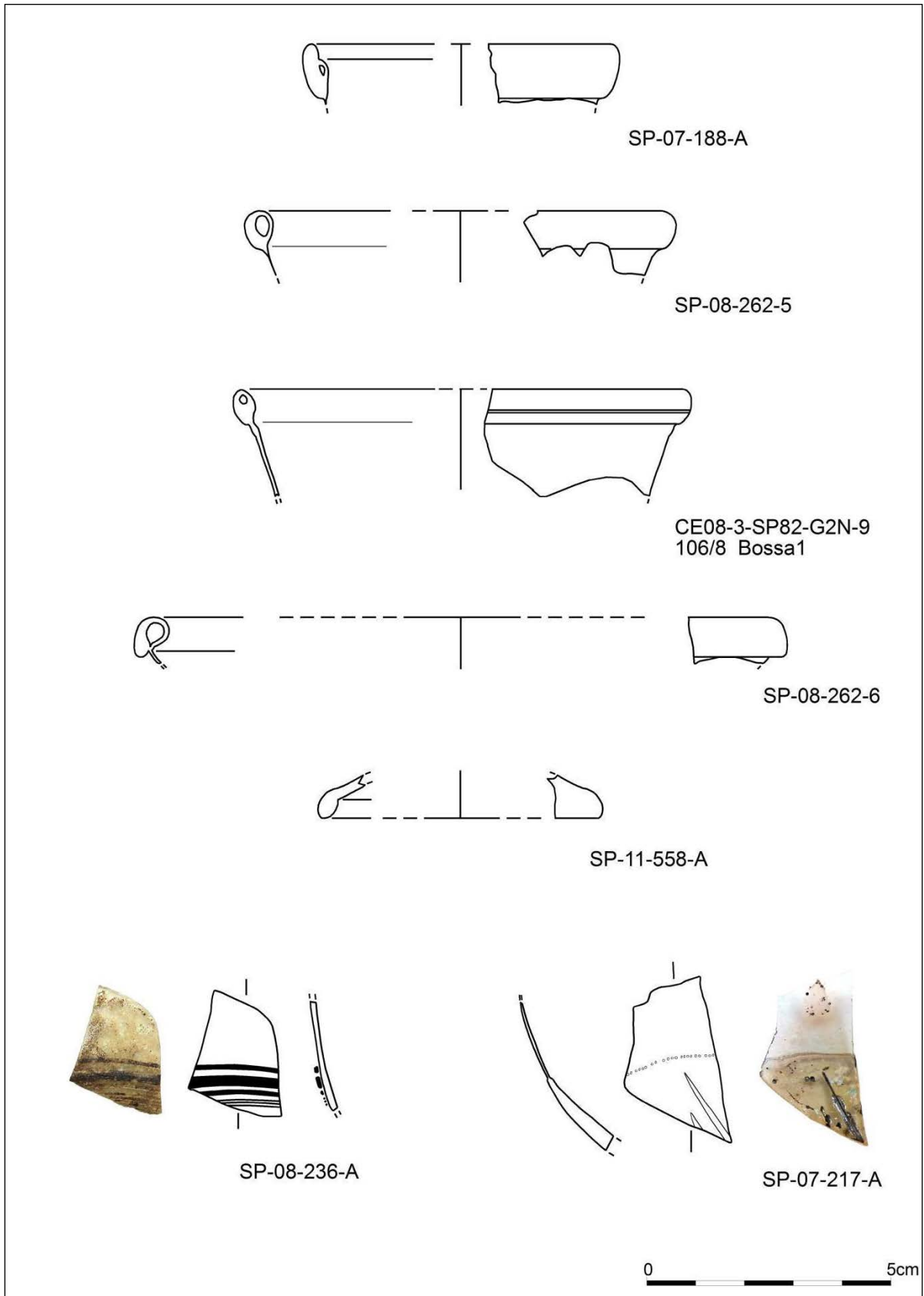


Figura 4.3. Materiales vítreos; fragmentos de cuencos, base y fragmentos decorados (A. Martínez)

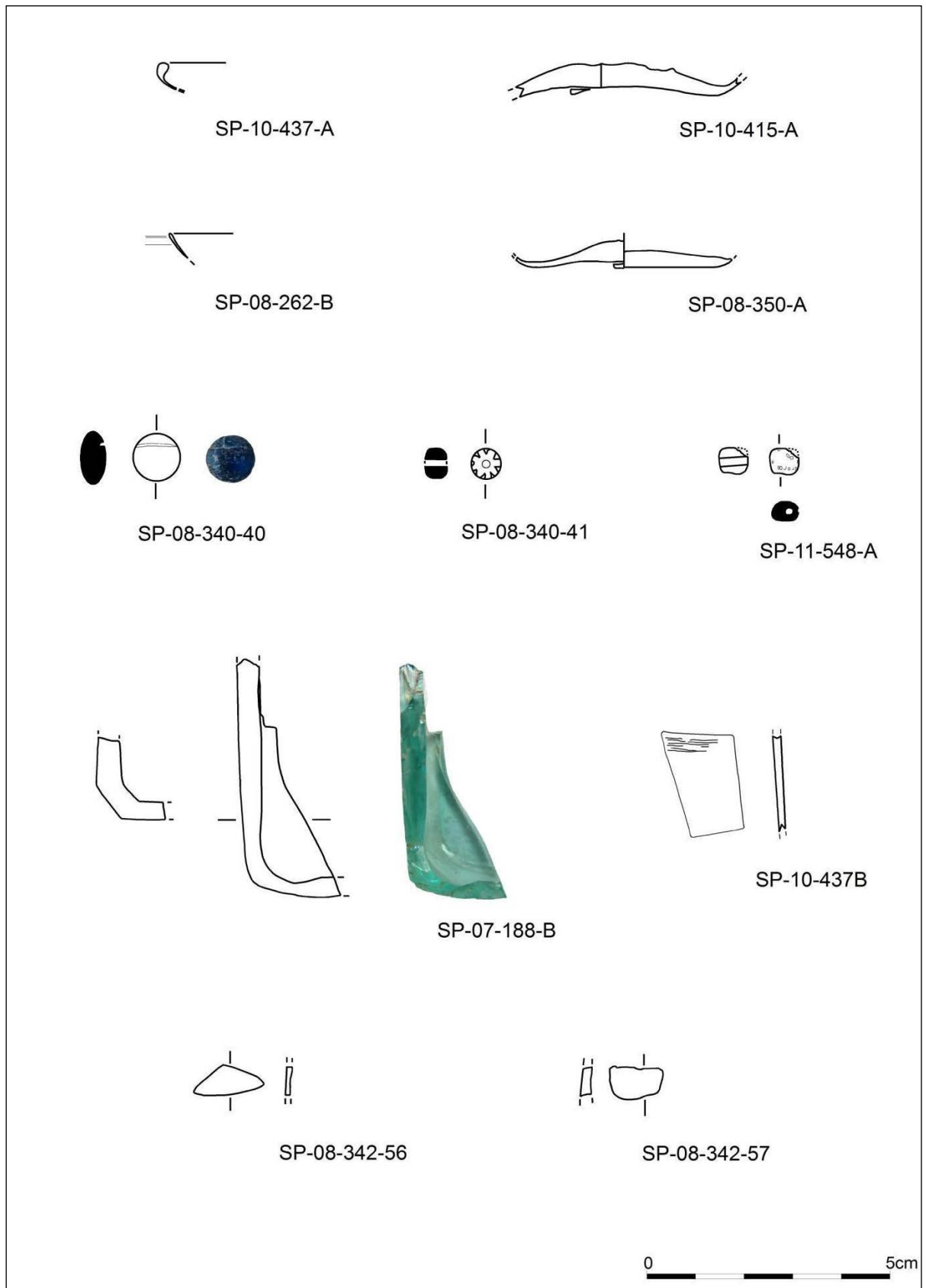


Figura 4.4. Materiales vítreos; miscelania (A. Martínez)

CAPÍTULO 4: EL CONJUNTO DE MATERIALES VÍTREOS DEL BAPTISTERIO DE SON PERETÓ

MATERIALES 1981?												
UE	SECTOR	TIPO	FORMA	BO	BA	AS	INF	OT	PC	IND	OBSERVACIONES	Ref.
-	Baptisterio?	Botella	Isings 101/Gamo tipo IC						1	1	Material recuperado de expolio. Se desconoce su contexto específico. Tonalidad verdosa y ligeramente amarillenta en su base, decorada con finas estrias repartidas de manera irregular aunque paralelas en su exterior	CE12/01/001
MATERIALES 1982												
UE	SECTOR	TIPO	FORMA	BO	BA	AS	INF	OT	PC	IND	OBSERVACIONES	Ref.
06	Baptisterio	Cuenco		1			11			1	Cuadrícula G2N (Bolsa-106/8)	CE08-3-SP82-G2N-9
MATERIALES 2005												
UE	SECTOR	TIPO	FORMA	BO	BA	AS	INF	OT	PC	IND	OBSERVACIONES	Ref.
06	Oeste/Baptisterio	Cuenco	Feyeux 81	1						1	Incoloro	SP-05-06
MATERIALES 2007												
UE	SECTOR	TIPO	FORMA	BO	BA	AS	INF	OT	PC	IND	OBSERVACIONES	Ref.
188	Baptisterio	Varios		3	1		2			5-6	1 Bo incoloro (A) cuenco Foy 28?; 1 bo verde; 1 bo y 1 Inf incoloro; 1 Ba celeste (B); 1 Inf amarillo	188-A; 188-B
211	Baptisterio						5			2	3 incoloros; 2 amarillos	
216	Baptisterio				1		6	1		2-3	1 Ba verde; 1 tallo? blanco; 6 Inf blancos	
217	Baptisterio	Copa?					4			2	3 blanco-amarillento (A con decoración); 1 verdoso	217-A
MATERIALES 2008												
UE	SECTOR	TIPO	FORMA	BO	BA	AS	INF	OT	PC	IND	OBSERVACIONES	Ref.
188	Baptisterio	Cuenco	Feyeux 81	1						1	Amarillo	A
236	Baptisterio	Vaso?			1		1			1-2	1 base y 1 Inf con decoración (A) incoloro con cierta tonalidad amarillenta. Podrían ser del mismo individuo.	A
241	Baptisterio	Cuenco	Feyeux 81	2						2	1 Bo violeta (A); 1 Bo amarillo	A
262	Baptisterio	Varios		5	1	1	10			5-6	1 Bo incoloro-violeta (4) Cuenco Foy 21a; 2 Bo amarillos (5 y 6) cuencos Foy 28?; 1 As amarilla (A) Isings 134/Foy 11 o 22; 1 Bo amarillo pequeño; 1 Bo pequeño y fino incoloro con mucha oxidación (B); 1 Ba incolora de tonalidad violeta; 10 Inf incoloros	4, 5, 6; A, B
303	Baptisterio			1			5			2-3	1 Bo i 3 Inf verdes que parecen del mismo individuo; 1 Inf celeste; 1 Inf incoloro.	

TABLA 4.1. INVENTARIO DE LOS MATERIALES VÍTREOS.

Abreviaturas: UE = Unidad estratigráfica; Tipo = Tipo de clasificación; Forma = Forma de la pieza; Bo = Bordes; BA = Bases; AS = Asas; INF = Informes; OT = Otros; PC = Perfiles completos; IND = Individuos

EXCAVACIONES EN EL BAPTISTERIO DEL CONJUNTO ECLESIAÍSTICO DE SON PERETÓ

305*	Baptisterio						1			1	Engancha con 1 Inf de UE-318	
318*	Baptisterio						2			1	1 engancha con 1 Inf de UE-305	
328*	Baptisterio						3			1	Celeste-verdosos, 1 engancha con 2 Inf de UE-338	
330*	Baptisterio						5			1	Color celeste-verdosos	
333*	Baptisterio						1			1	Celeste	
336	Baptisterio			1	1		5			1-3	1 Bo blanco-amarillento; 1 Ba incolora (B) del mismo individuo que los 5 Inf	
338*	Baptisterio						2			1	Celeste-verdosos que enganchan con 1 Inf de UE 328	
340	Baptisterio	Varios		4			19			2-4	2 Bo celeste (6) Vaso Foy 21b; 2 Bo celeste diferentes; 19 Inf celestes	6
340	Baptisterio	<i>Tesselae?</i>								3	Piezas de pasta vítrea o <i>tesselae</i> color azul	A
340	Baptisterio	Calculus o ficha de juego								1	Pieza circular azul	40
340	Baptisterio	Cuenta de collar								1	Cuenta estriada verde turquesa	41
342	Baptisterio	<i>Tessela?</i>					2	1		2	2 Inf: 1 verde y 1 verde-celeste; 1 pieza de pasta vítrea o <i>tessela</i> color azul	A
350	Baptisterio				1					1	Amarillo	A
MATERIALES 2009												
UE	SECTOR	TIPO	FORMA	BO	BA	AS	INF	OT	PC	IND	OBSERVACIONES	Ref.
365	Baptisterio	Cuenco	Feyeux 81	2						2	Incoloros	2
401	Baptisterio						1			1		
403	Baptisterio						1			1	Verde	
MATERIALES 2010												
UE	SECTOR	TIPO	FORMA	BO	BA	AS	INF	OT	PC	IND	OBSERVACIONES	Ref.
21	Baptisterio			1	1		1			2-3	1 Bo amarillo; 1 Ba amarilla; 1 Inf incoloro	
415	Baptisterio				1					1	Amarilla	A
417	Baptisterio	Lámpara	Isings 134			1				1	Celeste	A
437	Baptisterio			1			2			2-3	1 Bo amarillo (A); 2 Inf incoloros. Uno de ellos plano (B)	A i B
455	Baptisterio						1			1	Amarillo	
472	Baptisterio						1			1	Verde (podría ser 1 base)	
MATERIALES 2011												
UE	SECTOR	TIPO	FORMA	BO	BA	AS	INF	OT	PC	IND	OBSERVACIONES	Ref.

TABLA 4.1. INVENTARIO DE LOS MATERIALES VÍTREOS CONT.

CAPÍTULO 4: EL CONJUNTO DE MATERIALES VÍTREOS DEL BAPTISTERIO DE SON PERETÓ

472	Baptisterio						2			1	Color celeste del mismo individuo (fragmento de cuello)	
507	Baptisterio				1		2			2	1 Ba y 1 Inf verde (La base no se descarta que sea una intrusión); 1 Inf incoloro.	
548	Baptisterio	Cuenta de collar							1	1		A
549	Baptisterio	Vaso	Foy 21b	1						1	Celeste	A
558	Baptisterio				1	1				1-2	1 Ba amarilla (A) y 1 As (B) amarillenta Podrían ser del mismo individuo.	A, B
565	Baptisterio						1			1	Amarillo claro	
MATERIALES 2013												
UE	SECTOR	TIPO	FORMA	BO	BA	AS	INF	OT	PC	IND	OBSERVACIONES	Ref.
424	Sur/Baptisterio	Cuenco	Feyeux 81	1						1	Incoloro	2

TABLA 4.1. INVENTARIO DE LOS MATERIALES VÍTREOS CONT.

Capítulo 5

Estudio antropológico de los enterramientos del baptisterio de Son Peretó

Llorenç Alapont Martín¹⁵⁵

Introducción

En el baptisterio de la basílica de Son Peretó se han registrado un mínimo de veinticinco sepulcros (Figura 5.1). Siete de estas tumbas aparecieron vacías y otras seis mostraban importantes alteraciones. Tanto la ausencia de restos, como la evidencia de remociones se deben, en la mayoría de los casos, al expolio en busca de objetos y materiales preciosos. Evidentemente, el baptisterio era una zona privilegiada y, por tanto, predilecta para los cazadores de tesoros. Las tumbas, sobre todo aquellas que, por su arquitectura, localización o por la importancia de su morador mostraban cierta relevancia, siempre han estado bajo la amenaza del saqueo. Ni un epitafio pensado para evitar el expolio puede evitar el robo de un cráneo o de una reliquia.

A pesar de los expolios que afectan a muchos de los enterramientos, los restos esqueléticos preservados en el interior de los sepulcros han proporcionado un conocimiento esencial sobre las condiciones y modo de vida, prácticas funerarias, aspecto físico y actividad cotidiana de aquellos que vivieron y murieron en relación con el complejo basilical y que tuvieron el privilegio de enterrarse próximos a su baptisterio.

El estudio antropológico y paleopatológico se realizó sobre un total de 17 individuos.¹⁵⁶ La mayoría de ellos, 12 sujetos, fueron enterrados en tumbas individuales. Sólo cinco fueron sepultados en dos tumbas colectivas, una tumba doble y otra que contenía al menos los componentes óseos de tres individuos. La mayoría eran sujetos de sexo masculino, siete hombres. Tan sólo se estimó de sexo femenino tres esqueletos. Dos sujetos resultaron infantiles de sexo indeterminado; mientras que, en el resto de los individuos adultos, cinco en total, resultó imposible estimar el sexo.

La distribución por sexos y categorías de edad se puede observar en la Tabla 5.1.

¹⁵⁵ Departament de Prehistòria, Arqueologia i Història Antiga de la Universitat de València.

¹⁵⁶ Cabe señalar que en el presente artículo no se exponen todos los restos humanos hallados en el baptisterio de Son Peretó, sino tan solo los marcados en la Figura 5.1. Esto se debe, principalmente, a que algunas de las sepulturas fueron expoliadas durante la segunda mitad del siglo XX, pero también al hecho de no haber podido localizar los restos óseos de algunas de las tumbas excavadas en las décadas de 1960 y 1980.

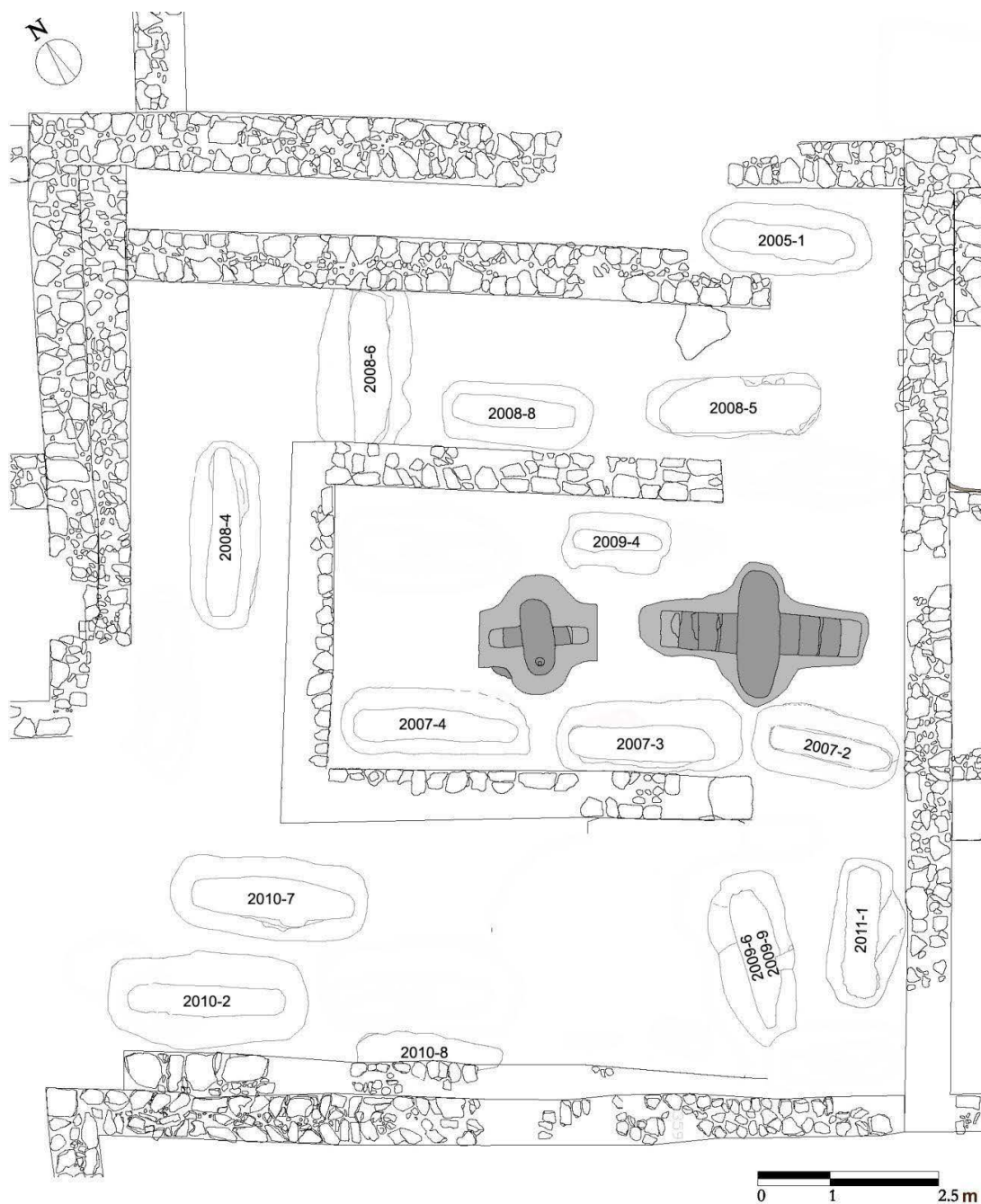


Figura 5.1. Localización de los esqueletos objeto de nuestro estudio antropológico (S. Alcaide, J. M^a. Puche, M. Riera y M^a. J. Rivas)

	Infantil 1	Infantil 2	Adolescente	Adulto 1	Adulto 2	Senil	TOTAL
Femenino	0	0	0	2	1		3
Masculino	0	0	0	5	1	1	7
Indeterminado	1	1	0	4	1	0	7
TOTAL	1	1	0	11	3	1	17

TABLA 5.1. DISTRIBUCIÓN POR SEXOS Y EDAD DE LOS 17 INDIVIDUOS ESTUDIADOS PROCEDENTES DEL BAPTISTERIO DE SON PERETÓ

Análisis de los restos esqueléticos

Esqueleto 2005-1

Esqueleto adulto de sexo masculino, muy mal conservado, solamente se conservan algunos componentes óseos correspondientes a la columna vertebral, cráneo y extremidades superiores e inferiores superior izquierda y la pelvis. Todo parece indicar que la tumba fue expoliada y los huesos removidos (Figura 5.2).

El sujeto presentaba una serie de patologías características en el cráneo. El hueso temporal izquierdo del individuo presentaba exóstosis auditiva. Se trata de un tumor benigno alrededor del agujero auditivo (Figura 5.3).

El cráneo mostraba signos de hiperostosis porótica con numerosos y diminutos orificios. La hiperostosis porótica es la manifestación esquelética de la anemia, la cual puede definirse como la reducción anormal de hemoglobina o glóbulos rojos. La anemia es resultado de la falta de hierro que puede ser heredada genéticamente o consecuencia de consumir habitualmente alimentos pobres en hierro. Condiciones mórbidas, malnutrición, falta de higiene, ambientes malsanos y falta de alimentos adecuados, pueden ser las causas principales de hiperostosis porótica (Figura 5.4).

El húmero derecho presentaba unas marcadas inserciones musculares del músculo deltoides derivadas de una actividad y esfuerzo muscular muy frecuente y repetitivo (Figura 5.5).



Figura 5.2. Componentes óseos del Enterramiento 2005-1 (M. Riera)



Figura 5.3. Exóstosis auditiva en el temporal izquierdo (Ll. Alapont)



Figura 5.4. Hiperostosis porótica craneal en el individuo 2005-1 (Ll. Alapont)



Figura 5.5. Húmero derecho presentaba unas marcadas inserciones musculares del músculo deltoides en el individuo 2005-1 (Ll. Alapont)

Esqueleto 2007-2

Se trata de una inhumación individual, en la que el esqueleto muestra cierta conexión anatómica (Figura 5.6). La disposición del individuo es en decúbito supino con los codos en extensión y las extremidades superiores paralelas al cuerpo. La posición de los antebrazos no es concluyente en las fotografías de campo, ahora bien, se ven algunos huesos de la mano entre los fémures, por tanto, eso indicaría que el antebrazo izquierdo estaría posicionado sobre los muslos. Además, la posición de ciertos elementos óseos indica que hubo cierta actividad en la tumba, se observaron claros signos de expolio. La posición incoherente del radio izquierdo (desplazado hacia arriba), y de los cuerpos vertebrales, podría corroborar los signos del expolio. Los fémures presentan una buena conexión anatómica, con las tibias indicando que la posición de las piernas era totalmente extendida. La orientación del individuo es Oeste (cabeza)-Este (pies).

Existe cierta rotación de ambos fémures que podría indicar una descomposición en espacio vacío. El análisis antropológico permite establecer que los restos pertenecen a un individuo adulto joven, con una edad en el momento de la muerte comprendida entre 18 y 25 años. Por la débil robustez de los huesos, entre otros factores, se trataría de un individuo de sexo probablemente femenino. En este caso, se observa que la preservación, en general, es regular ya que el índice total de conservación es de 59%.



Figura 5.6. Enterramiento 2007-2 (M. Riera)



Figura 5.7. Componentes óseos del Enterramiento 2007-3 (M. Riera)

Esqueleto 2007-3

Esqueleto adulto de sexo indeterminado, muy mal conservado, solamente se conservan algunos componentes óseos como el hueso temporal derecho, la tercera vértebra cervical, la clavícula y el húmero derecho, ambos fémures y peronés y tarsos y metatarsos de ambos pies (Figura 5.7). Todos los huesos presentan un deficiente estado de conservación por lo que ha resultado muy complicado extraer datos concluyentes del análisis antropológico.

Esqueleto 2007-4

Los restos del esqueleto 2007-4 se localizaron muy removidos y amontonados. Correspondían a un individuo adulto, de entre 30 y 35 años (desgaste de los molares) y sexo masculino (morfología del cráneo y medidas del fémur y calcáneos) (Figura 5.8). Sólo se conservan de forma muy deficiente los componentes óseos del esqueleto apendicular, la pelvis y algunas piezas dentales.

En relación con el análisis paleopatológico, observaremos una serie de lesiones que evidencian Hiperóstosis Esquelética Idiopática Difusa. D.I.S.H. Esta es una enfermedad que suele afectar a individuos de mediana y avanzada edad. Su etiología es desconocida pero no se trata de una artropatía, ya que el cartílago no se ve afectado. Dolor y limitación de la movilidad de la espalda son los síntomas característicos de la enfermedad. Recientes estudios han establecido una relación directa de D.I.S.H. con la obesidad, diabetes, consumo habitual de alimentos ricos en grasa, proteínas y carbohidratos (alternativamente: e hidratos de carbono), incluso bebidas alcohólicas.



Figura 5.8. Componentes óseos del Enterramiento 2007-4 (M. Riera)



Figura 5.9. Exuberante formación ósea en la superficie anterior de la rótula derecha (Ll. Alapont)



Figura 5.10. Superficie posterior de la rótula con exóstosis y formación de osteófitos (Ll. Alapont)



Figura 5.11. Entesopatía simétrica en los calcáneos en la inserción del talón de Aquiles (Ll. Alapont)



Figura 5.12. Entesopatía simétrica en los calcáneos en la inserción del talón de Aquiles. Se aprecian también entesofitos en la espuela inferior del calcáneo. Estas formaciones óseas son el resultado de traumatismos repetitivos sobre las inserciones de los tendones abductor y flexor (Ll. Alapont)



Figura 5.13. Entesofitos en espolón inferior del calcáneo (Ll. Alapont)



Figura 5.14. Formación de entesofitos en la línea de inserción del músculo sóleo y formación de una careta al cóndilo lateral (Ll. Alapont)

La primera evidencia de D.I.S.H. la observamos en la rótula derecha. La rótula presenta una exuberante formación ósea en la superficie anterior (Figura 5.9). En la superficie posterior de la rótula, apreciamos exóstosis y formación de osteófitos en las superficies articulares (Figura 5.10).

Entesopatía simétrica en los calcáneos y las rótulas indican D.I.S.H. En nuestro caso, también registramos una formación severa de entesofitos en la inserción del talón de Aquiles (Figuras 5.11, 5.12 y 5.13).

En la tibia derecha, se observa la formación de entesofitos en la línea de inserción del músculo sóleo (Figura 5.14). Estas lesiones posturales o de estrés, están relacionadas directamente con la actividad física constante y repetitiva. Estas lesiones se reflejan en la formación de osteófitos en las inserciones musculares, tendones y ligamentos. Los entesofitos son el resultado de una excesiva y frecuente actividad muscular. En la misma tibia observaremos al cóndilo lateral una careta en zona articular con el peroné formada por la continua hiperflexión de la articulación de la rodilla.



Figura 5.15. Exóstosis en la cabeza del peroné derecho en la zona de contacto con el cóndilo lateral de la tibia (Ll. Alapont)



Figura 5.16. Exóstosis en la cabeza del peroné derecho en la zona de contacto con el cóndilo lateral de la tibia (Ll. Alapont)



Figura 5.17. Osteoartritis en las falanges distales de los pies con evidente osteofitosis y porosidad (Ll. Alapont)



Figura 5.18. Marcada depresión del cóndilo lateral del fémur derecho (Ll. Alapont)

En correspondencia con la zona articular de la cabeza del peroné derecho con el cóndilo lateral de la tibia, donde se encuentra la careta neoformada, observamos la formación de nuevo hueso con exóstosis, por la pérdida del cartílago a causa de la continua hiperflexión (Figuras 5.15 y 5.16).

Una consecuencia más, derivada de la repetitiva posición que implica la hiperflexión de rodillas y tobillos, es la marcada osteoartritis en las falanges distales de los pies que muestran una evidente osteofitosis y porosidad (Figura 5.17).

Finalmente, se observa una marcada depresión del cóndilo lateral del fémur derecho (Figura 5.18). Es posible que esta depresión en la zona articular de la epífisis distal del fémur se corresponda también con una lesión postural relacionada con las patologías anteriores. También es posible interpretar la patología como osteocondritis dissecans. Se trata de necrosis en las superficies condilares articulares resultante en una depresión y pérdida de un segmento de hueso subcondilar. Las causas de osteocondritis dissecans pueden ser un microtrauma repetitivo y crónico en la articulación de la rodilla.



Figura 5.19. Componentes óseos del Enterramiento 2008-4 (M. Riera)

Esqueleto 2008-4

El esqueleto 2008-4 corresponde a un individuo infantil, de entre 12 y 14 años (Figura 5.19). La epífisis distal del húmero y epífisis proximales del radio se encuentran ya fusionadas. Por el contrario, las epífisis proximales de los húmeros, proximales y distales de los fémures, proximales de las tibias, distales del radio y cúbito, escápulas y disco vertebrales permanecían sin fusionar.



Figura 5.20. Caries mesial en el primer molar maxilar derecho del esqueleto 2008-5 (Ll. Alapont)



Figura 5.21. Caries distal en el segundo molar maxilar derecho del esqueleto 2008-5 (Ll. Alapont)

Esqueleto 2008-5

El esqueleto 2008-5 se encontraba en un estado muy deficiente de conservación. Se trata de un individuo adulto, de entre 30 y 35 años. Los escasos dientes conservados del sujeto mostraban caries mesial en el primer molar maxilar derecho y distal en el segundo premolar maxilar derecho (Figura 5.20 y 5.21).

Esqueleto 2008-6

El esqueleto 2008-6 corresponde a un individuo adulto, de entre 20 y 30 años y sexo masculino (Figura 5.22). El sujeto presentaba numerosas patologías en varios huesos. En las vértebras lumbares registramos espondilosis deformans con una masiva osteofitosis entre la tercera y cuarta vértebras lumbares uniendo las dos vértebras con la nueva formación ósea, creando un puente que no afecta al espacio intervertebral (Figura 5.23, 5.24, 5.25, 5.26).



Figura 5.22. Componentes óseos del Enterramiento 2008-6 (M. Riera)



Figura 5.23. Espondilosis deformans entre la tercera y cuarta vértebras lumbares del esqueleto 2008-6 (Ll. Alapont)



Figura 5.24. Espondilosis deformans entre la tercera y cuarta vértebras lumbares del esqueleto 2008-6 (Ll. Alapont)



Figura 5.25. Espondilosis deformans entre la tercera y cuarta vértebras lumbares del esqueleto 2008-6 (Ll. Alapont)



Figura 5.26. Espondilosis deformans entre la tercera y cuarta vértebras lumbares del esqueleto 2008-6 (Ll. Alapont)



Figura 5.27. Eburnación en la superficie articular del acetábulo del esqueleto 2008-6 (Ll. Alapont)



Figura 5.28. Entesofitos en el ala ilíaca del esqueleto 2008-6 (Ll. Alapont)



Figura 5.29. Fosa unilateral a nivel de la inserción del músculo pectoral mayor del húmero derecho (Ll. Alapont)



Figura 5.30. Fosa romboidal en la clavícula izquierda del sujeto 2008-6 (Ll. Alapont)

Algunos investigadores atribuyen la extensa formación de osteófitos y espondilosis a muchos años de desgaste. No obstante, trauma, actividad física muy dura y obesidad pueden también provocar esta osteofitosis masiva. También ha sido interpretada como una rara manifestación de tuberculosis espinal (Spekker, O. et al. 2018, pp 346-347)

En la pelvis observamos eburnación en la superficie articular como consecuencia de la degeneración y pérdida del cartílago. La actividad continua de la articulación de la cadera acaba provocando un contacto de la cabeza femoral del fémur con el receptáculo acetabular y esclerosis del hueso subcondral (Figura 5.27).

También en la pelvis, observaremos entesofitos en el ala ilíaca (Figura 5.28), en las inserciones de los tendones y ligamentos. Esta osificación se forma por obesidad, o por acciones repetitivas de la articulación de la cadera.

En ambos húmeros hemos detectado una entesopatía mecánica, es decir, una patología funcional de las inserciones tendino-musculares, y que en ciertos casos suele ser un buen indicador del tipo de actividad. Se trata de una fosa unilateral al nivel de la inserción del hombro pectoral mayor. El tipo de fosa observado permite pensar que esta lesión se ha producido por efecto de una actividad y esfuerzo muscular muy frecuente y repetitivo (Figura 5.29).



Figura 5.31. Periostitis en el fémur derecho del sujeto 2008-6 (Ll. Alapont)



Figura 5.32. Erosión de la espina y apertura nasales redondeada en el esqueleto 2008-6 (Ll. Alapont)



Figura 5.33. Cribra orbitalia en el área superior de las órbitas (Ll. Alapont)



Figura 5.34. Múltiple mieloma en parietal izquierdo en el esqueleto 2008-6 (Ll. Alapont)



Figura 5.35. Múltiple mieloma en el parietal izquierdo en el esqueleto 2008-6 (Ll. Alapont)



Figura 5.36. Torus en el paladar del esqueleto 2008-6 (Ll. Alapont)



Figura 5.37. Torus mandibular en el esqueleto 2008-6 (Ll. Alapont)

La clavícula derecha mostraba una entesopatía grave con fosa romboide por estrés muscular (Figura 5.30).

También observaremos periostitis de tipo laminar formándose estriaciones, con disposición de una capa de tejido perióstica y expansiones rugosas donde las capas del tejido nuevo son paralelas al eje de la diáfisis del fémur derecho (Figura 5.31).

En el cráneo registramos la erosión de la espina nasal y de la apertura nasal redondeada. La erosión del área nasal es un síntoma de sífilis y lepra, tuberculosis y leishmaniosis. La erosión de la espina nasal es la primera zona afectada por la enfermedad, seguida por la erosión del borde infero-lateral de la apertura nasal (Figura 5.32).

En las cuencas oculares, detectaremos cribra orbitalia bilateral, con pequeños orificios en el área superior de las órbitas. Esta patología ha sido atribuida a la falta de hierro, malnutrición, escorbuto, gastroenteritis crónica y epidemias (Figura 5.33).

En el parietal izquierdo, localizamos un múltiple mieloma identificado como orificios de diferentes dimensiones (Figura 5.34, 5.35).

En el maxilar aparecía un rasgo morfológico característico como es el torus palatino en el paladar (Figura 5.36).

Por otra parte, también encontramos en la mandíbula torus mandibular, considerado un tiro morfológico adquirido por herencia genética (Figura 5.37).

Con respecto a la dentición, dieta y salud, el individuo presentaba varias pérdidas de dientes in vivo (Figura 5.38). De hecho, la mandíbula presentaba la pérdida ante mortem de los molares y premolares, con un severo receso del hueso a lo largo de los márgenes alveolares de los engastes dentales (Figura 5.39, 5.40). La periodontitis resulta la causa más importante de la pérdida de dientes ante mortem. Aunque problemas metabólicos pueden provocar inflamación alveolar y una deficiencia proteica aumenta el riesgo de sufrir periodontitis, una deficiente higiene oral o una consumición excesiva de carbohidratos favorecen sin duda la presencia de placa dental y sarro que son, por otra parte, los mayores causantes de periodontitis (Ortner y Putschar 1981: 442; Roberts y Manchester 1995: 56).



Figura 5.38. Mandíbula del individuo 2008-6 en la que se observa la pérdida in vivo de los molares y premolares con una acusada periodontitis y receso del hueso a lo largo de los márgenes alveolares (Ll. Alapont)



Figura 5.39. Detalle de la mandíbula del individuo 2008-6 (Ll. Alapont)



Figura 5.40. Detalle de la mandíbula del individuo 2008-6 (Ll. Alapont)

Los dientes son los componentes más resistentes del esqueleto humano. Este hecho es especialmente afortunado ya que la dentición es uno de los restos esqueléticos más importantes para extraer información sobre la edad, la higiene, la dieta y la salud de los individuos. En este sentido, una importante pérdida de dientes ante mortem y un severo y prolongado receso del hueso a lo largo del margen alveolar, suelen asociarse a una edad muy avanzada. No obstante, en nuestro caso, se trata de un individuo adulto joven, por tanto, las pérdidas ante mortem deben ser motivadas por enfermedad, falta de higiene bucodental, y un uso de la dentadura más allá de la mera función masticadora.



Figura 5.41. Enterramiento 2008-8 (M. Riera)

Esqueleto 2008-8

El esqueleto 2008-8 pertenecía a un individuo maduro, de entre 40 y 60 años y sexo femenino (Figura 5.41). Presentaba en un estado muy deficiente de conservación la mayoría de los huesos del esqueleto axial y apendicular, tanto el cráneo como las extremidades superiores e inferiores.

Esqueleto 2009-4

Se trata del esqueleto de un individuo infantil de entre cuatro y seis años, depositado decúbito supino, orientado Oeste-Este, con la cabeza al Oeste y los pies al Este (Figura 5.42). El esqueleto estaba muy alterado, sobre todo el bloque craneofacial y la mandíbula, la cintura escapular, el tórax y el raquis vertebral. A excepción de las vértebras lumbares que estaban en conexión estricta con el sacro. El esqueleto apendicular se encontraba articulado, aunque con algunas distorsiones. No obstante, la conservación de las conexiones anatómicas confirma, junto a la arquitectura de la tumba, el carácter primario de la sepultura.

El bloque craneofacial se encontraba muy alterado y fragmentado, las vértebras cervicales y torácicas estaban completamente movidas y sus caras de aparición eran muy variadas, sin seguir un patrón. El volumen torácico había desaparecido y la caja torácica se había descompuesto, ya que todas las costillas aparecían movidas y dispuestas sin un orden aparente. La cintura escapular había desaparecido igualmente. La clavícula izquierda aparece movida, fuera del volumen original del cuerpo, sobre el pecho, en cara superior. Esta alteración del esqueleto axial hasta las vértebras lumbares es el resultado de fenómenos tafonómicos derivados de las condiciones de descomposición en un medio vacío y sobre todo de la intervención de agentes naturales. Sobre todo, las características de la tumba hacen posible la filtración de agua y de un sedimento de tierra fina. El agua filtrada, quizá llenaría la tumba durante cierto tiempo, durante el cual los huesos estarían sumergidos y sometidos a las corrientes y movimientos del agua filtrada. De hecho, podemos observar cómo han sido los huesos más ligeros los más alterados, como el cráneo, por estar vacío, o huesos planos como las escápulas, o las costillas o las vértebras que, una vez descompuesto el cuerpo, se vuelven muy porosas.

Las extremidades superiores se encontraban ligeramente flexionadas. El brazo izquierdo con el antebrazo sobre el coxal izquierdo. El brazo derecho se encontraba con el codo ligeramente flexionado con el antebrazo bajo el coxal derecho. Las extremidades inferiores se encontraban paralelas, con las rodillas extendidas siguiendo el eje longitudinal del cuerpo. Los fémures, se encontraban en cara antero-medial, las tibias y fíbulas en cara antero-medial.

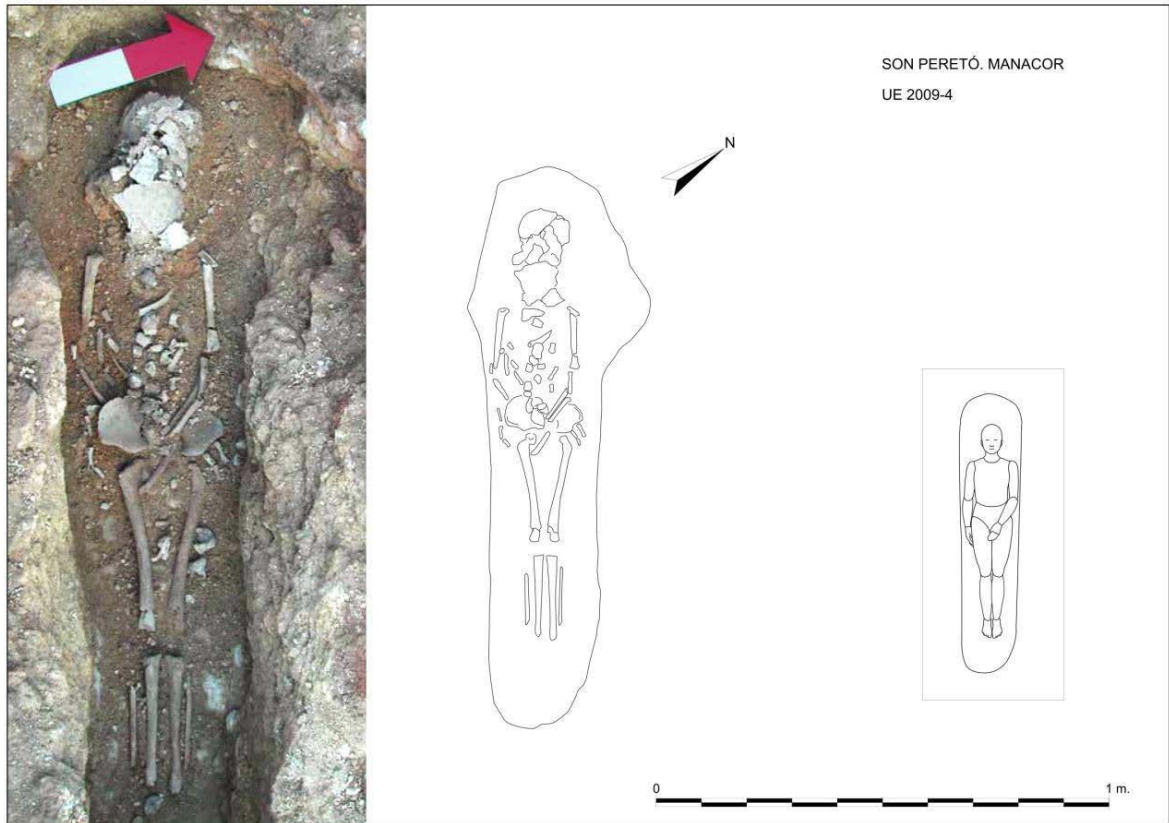


Figura 5.42. Esqueleto 2009-4. Restitución de su posición original (Ll. Alapont y P. Mas)

Al estar el individuo en decúbito supino, en un ambiente vacío, observamos cómo se había producido una abertura y allanamiento de la pelvis, y caída de los coxales por efecto de la gravedad, así como la disyunción total de las sínfisis púbicas. De la misma manera, las cabezas femorales encajadas en las cavidades acetabularias, han sufrido un movimiento de abducción que ha provocado una rotación lateral.

La posición de las piernas sugiere que el cuerpo estaría amortajado en un sudario con ataduras a la altura de las rodillas y tobillos. La forma de la tumba no condiciona en este caso la posición particularmente estrecha de las piernas, que aparecen muy juntas a la altura de las rodillas y tobillos, ya que existe una cierta separación de las extremidades con respecto a los límites de la fosa. Por tanto, solamente el amortajamiento del cuerpo puede justificar esta posición de las extremidades inferiores.

Los esqueletos 2009-6 y 2009-9

En el interior de un mismo sepulcro aparecieron dos esqueletos muy completos y bien conservados. Observando las características de la fosa y la colocación de los dos cuerpos, todo indica que ambos individuos fueron colocados uno al lado del otro con poco tiempo de diferencia. De esta forma, primero se enterró al individuo 2009-6 en la mitad Oeste de la fosa, y después al sujeto 2009-9 en la mitad Este (Figura 5.43).

Como hemos señalado anteriormente, el individuo 2009-9 fue el último que se depositó en la tumba. El esqueleto corresponde a un sujeto femenino de entre 25 y 30 años de edad y 1,57 m de estatura,

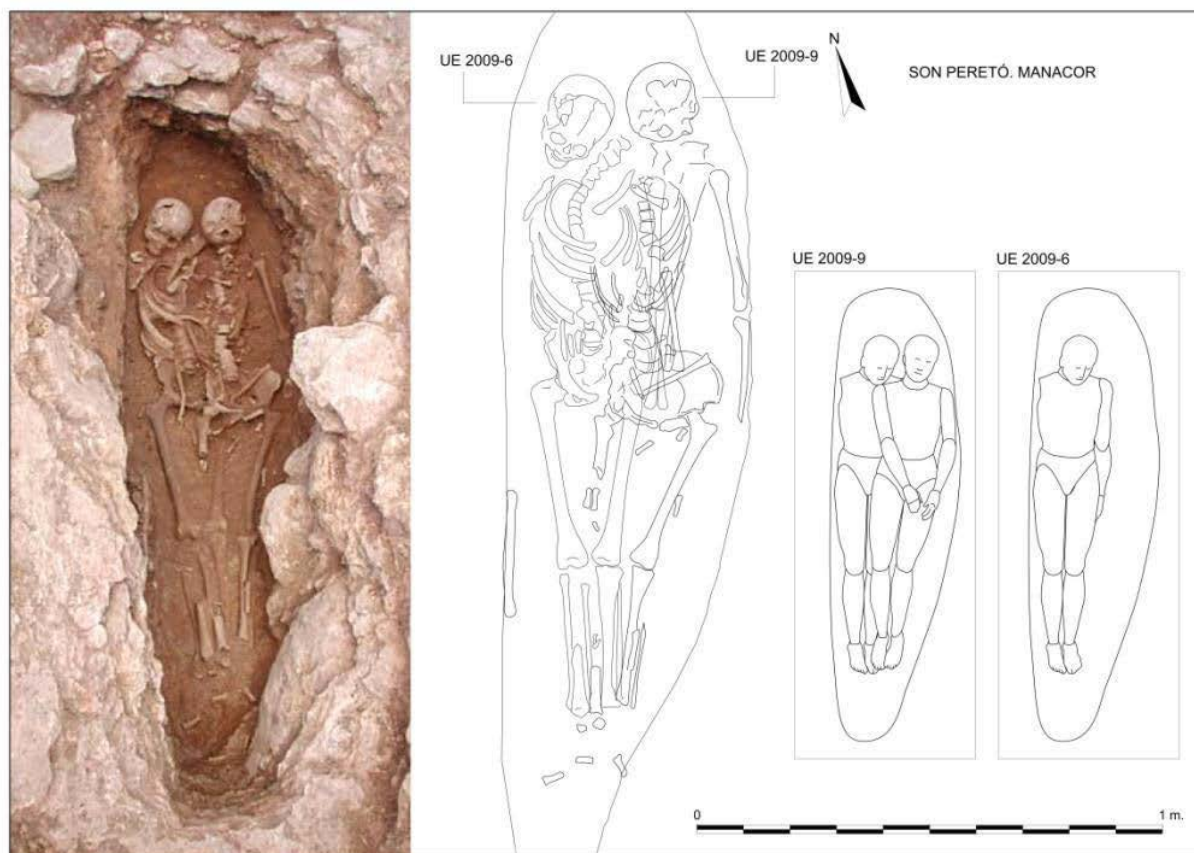


Figura 5.43. Esqueletos 2009-6 y 2009-9. Restitución de su posición original (Ll. Alapont y P. Mas)

depositado decúbito supino, orientado Norte-Sur. Con la cabeza al Norte. Tanto el esqueleto axial y apendicular se encontraban bien articulados, conservando tanto las conexiones anatómicas persistentes como las débiles, hecho que confirma el carácter primario de la sepultura. El bloque craneofacial se encontraba apoyado sobre el occipital, mirado en el frente. La mandíbula había caído hacia adelante. Las extremidades superiores se encontraban con el codo en extensión a lo largo del tórax, paralelas al eje longitudinal del cuerpo. El brazo izquierdo se encontraba con el codo en extensión, con el antebrazo bajo el coxal izquierdo y la mano, en cara dorsal, pegada al fémur con el pulgar hacia el interior. El brazo derecho se encontraba con el codo ligeramente flexionado con el antebrazo bajo el coxal derecho y la mano, en cara dorsal. Las extremidades inferiores se encontraban paralelas, extendidas siguiendo el eje longitudinal del cuerpo. La caja torácica aparece hundida y el volumen torácico es prácticamente nulo. Las costillas presentan su oblicuidad natural acentuada después de caer en el interior de la caja torácica.

La columna vertebral muestra una dislocación parcial a la altura de la décima vértebra torácica y la cuarta vértebra lumbar. Las vértebras se encuentran en conexión estricta, a excepción de la discontinuidad entre la cuarta y quinta vértebras lumbares y la novena y décima vértebras torácicas causada por los movimientos de contracción, provocadas por la descomposición y consiguiente ruptura de los ligamentos en estos espacios intervertebrales.

A partir de las observaciones osteológicas de la posición del esqueleto y de cada hueso individual podemos restituir la posición original del cuerpo y de la arquitectura funeraria. El bloque craneofacial se encontraba apoyado sobre el occipital. Tanto el bloque craneofacial como la mandíbula se encontraban posicionados en el eje longitudinal del cuerpo. La mandíbula aparecía completamente desarticulada,



Figura 5.44. Enterramiento 2009-6 (M. Riera)



Figura 5.45. Hernia discal en la vértebra del individuo 2009-6 (Ll. Alapont)

indicando que la descomposición del cuerpo se produjo en un ambiente vacío una vez desaparecidos los ligamentos y músculos de la articulación temporo-mandibular.

La columna sub-occipital, el atlas y el axis y las vértebras cervicales se encontraban en conexión estricta en cara anterior sobre las apófisis espinosas y se mantienen en el eje longitudinal del cuerpo. Por tanto, la posición del cráneo y del raquis es original. Por el contrario, la mandíbula se encuentra totalmente desarticulada, apoyada sobre las vértebras torácicas, caída hacia adelante por efecto de la gravedad una vez desaparecidos los ligamentos y músculos de la articulación temporo-mandibular, que resulta especialmente débil. Esto indica la descomposición de la región cefálica en un ambiente vacío y, por tanto, una situación post-deposicional de la mandíbula. No obstante, la descomposición del cuerpo se produjo en un espacio semi-colmatado, ya que el sacro se mantiene vertical en su posición natural, las alas ilíacas se mantienen igualmente verticales, conservando las conexiones sacroilíacas y la unión prácticamente intacta de las sínfisis púbicas. Por tanto, resulta evidente que se produjo un rápido pero progresivo relleno por filtración de la tumba, que —observada la pendiente de la fosa y la sobre elevación del bloque craneofacial—, empezó por los pies. Por otra parte, sabemos que la putrefacción de la articulación temporo-mandibular se produce en un par de semanas, por tanto, en este corto espacio de tiempo, la mitad inferior del cuerpo ya estaba cubierta de sedimento.

La forma de la fosa condicionaba necesariamente la disposición del cadáver y tuvo una influencia directa en la evolución de la descomposición del cuerpo y en los procesos tafonómicos y posdeposicionales. En este caso, observamos como el fémur izquierdo y ambas tibias se encontraban muy fracturadas, seguramente a causa del desprendimiento de piedras de la cubierta y las paredes de la tumba.

Directamente bajo el esqueleto anteriormente descrito 2009-9, se encontraba el esqueleto 2009-6 (Figura 5.44). A pesar de que los huesos del primero están en contacto con los huesos del segundo, de manera que parece que están el uno sobre el otro, existen indicios de que transcurrió un cierto espacio de tiempo entre ambas sepulturas. Los huesos del brazo derecho del individuo 2006-6 están desplazados. El húmero derecho aparecía en cara lateral, paralelo al fémur derecho, pegado a la pared Sur de la fosa. De la misma manera, el radio y el cúbito derechos aparecen desplazados y situados paralelos al radio y cúbito izquierdos, entre estos y la pared Norte de la fosa. Por tanto, la última inhumación comportó, sino la reducción de la inhumación anterior, si la manipulación posdeposicional de los huesos del brazo derecho. Por tanto, el cuerpo del sujeto 2006-6 estaría ya en un avanzado estado de descomposición, o ya esqueletizado, cuando se enterró al segundo individuo.

Como hemos explicado anteriormente, el individuo 2009-6 fue el primero en ser enterrado. Este esqueleto corresponde a un individuo masculino de entre 20 y 25 años de edad y 1,70m de estatura. Estaba depositado decúbito supino, ligeramente inclinado hacia la izquierda, probablemente motivado por la irregularidad y la pendiente de la base de la fosa, y orientado Norte-Sur, con la cabeza al Norte. El esqueleto axial y apendicular se encontraban bien articulados conservando tanto las conexiones anatómicas persistentes como las débiles, hecho que confirma el carácter primario de la sepultura.

El bloque craneofacial se encontraba apoyado sobre el occipital y foramen magnum, La mandíbula se encontraba desplazada, sin conexión anatómica con el bloque craneofacial, apoyado sobre los cóndilos. El bloque craneofacial se encontraba totalmente separado de la columna vertebral a la derecha del cuello. Mientras que la columna vertebral en conexión anatómica estricta estaba inclinada hacia la izquierda. Esta es la posición típica de los huesos cuando desaparece un elemento que originalmente sostenía la cabeza, como una almohada de cuero o un reposacabezas de madera. La presencia de un elemento de apoyo deja signos sobre los huesos solamente si el material de este objeto se descompone sucesivamente a la desaparición de los ligamentos de las articulaciones temporomandibular y craneovertebral. La descomposición del elemento de sobre-elevación de la cabeza ha provocado la disyunción de los elementos de la región cefálica, el raquis cervical en conexión estricta se encontraba curvado hacia la izquierda y la mandíbula también había basculado hacia la misma zona.

La extremidad superior izquierda se encontraba pegada a lo largo del tórax, paralela al eje longitudinal del cuerpo. El brazo derecho se encontraba alterado, como hemos descrito anteriormente.

Las costillas mantenían su posición inicial, conservando la oblicuidad natural y manteniendo la forma de la caja torácica y su volumen original. La permanencia del volumen torácico solamente puede deberse a un relleno de filtración lento y progresivo del espacio vacío de la caja torácica a medida que desaparecen las vísceras y órganos internos, o porque la tumba es muy estrecha. La descomposición del cuerpo se produjo en un espacio parcialmente colmatado, ya que las alas ilíacas se mantienen igualmente verticales, conservando las conexiones sacroilíacas y la unión de las sínfisis púbicas.

Las piernas aparecen con las rodillas en extensión y paralelas. Los fémures se encuentran en cara anterior y tibias y peronés en cara antero-medial. La posición de las piernas sugiere que el cuerpo estaría amortajado en un sudario con ligaduras a la altura de las rodillas y tobillos. La tibia derecha aparecía muy fracturada, probablemente por la caída de piedras de la cubierta.

Los trastornos más comunes en el individuo estudiado se encuentran localizados en las articulaciones. El sujeto presentaba una osteoatrosis muy desarrollada en las vértebras torácicas y lumbares con osteofitosis marginal en los discos vertebrales, presentando macroporosidad y distorsión. La osteoartritis es un importante indicador del estilo de vida y de la actividad física de la población que la sufre. De

hecho, la localización anatómica de la osteoartritis puede reflejar el tipo de empleo que el individuo desarrolló durante su vida.

Osteoartritis es una enfermedad crónica y progresiva que se produce durante algunos meses y años, y que se caracteriza por la pérdida del cartílago de la articulación, la formación de hueso nuevo alrededor de los márgenes de la articulación (osteofitosis), porosidad en la superficie del hueso (osteoporosis) y pulido de las superficies articulares cuando el cartílago ha desaparecido.

Varios factores pueden influir en el desarrollo del osteoartritis. Por ejemplo, los síntomas pueden ser menos severos en lugares con climas cálidos. También se ha apreciado una mayor incidencia en los individuos de gran tamaño y peso corporal (Moskowitz 1989), y en aquellos con una buena musculatura (Steinbock 1976, 279). Finalmente, la edad representa, sin duda, un factor de gran importancia. No obstante, en nuestro estudio la osteoartritis afecta a individuos relativamente jóvenes, hecho que puede indicar que la causa principal de osteoartritis en la población estudiada sería una gran actividad física relacionada seguramente con la realización de trabajos muy duros durante un prolongado espacio de tiempo.

Se han detectado nódulos de Schmorl en las superficies inferior y superior de los cuerpos vertebrales. Estas depresiones se observan igual que la osteoartritis en individuos bastante jóvenes, por lo que podemos descartar que sean resultado de procesos degenerativos. Suponemos que los casos estudiados estarían relacionados con la compresión vertebral derivada de levantar y transportar en la espalda pesos excesivos y realizar una dura actividad física (Figura 5.45) (Mann y Murphy 1990). También debemos tener en cuenta que caídas accidentales y otros episodios traumáticos pueden provocar esta hernia discal intervertebral.

Hemangioma capilar se detectó en el parietal izquierdo del individuo 2009-6. Se trata de un tumor que prolifera a través de los canales sanguíneos y las sinuosidades vasculares. Normalmente predomina en las mujeres de edad avanzada, no obstante, por debajo de los 30 años es más común en los hombres que en las mujeres. En el cráneo el tumor implica un adelgazamiento y expansión del córtex, provocando una reacción periosteal. Empieza siempre como un pequeño tumor aislado (menos de 2 cm), pero a menudo crece con una expansión radial e irregular abriéndose camino a través de las conductas vasculares, provocando finalmente la muerte del enfermo. En nuestro caso se trata de la fase inicial de la patología y, por tanto, no podemos afirmar que fuera el motivo de la muerte del individuo.

El cráneo del individuo 2009-6 presentaba metopismo, conservando sin obliterar la sutura medio-frontal desde nasión hasta bregma. La sutura craneal medio-frontal desaparece normalmente durante el primer o segundo año de vida, en algunos casos, sin embargo, esta sutura persiste y se puede distinguir incluso en individuos de edad avanzada. Según varios autores, este rasgo morfológico está determinado por factores genéticos y, por tanto, sería heredado por los miembros de una misma familia (Brothwell 1981).

Esqueletos 2010-2

Se trata de un enterramiento colectivo, probablemente familiar (Figura 5.46). La tumba había estado alterada y expoliada en un momento reciente, ya que se encontraron en su interior varias intrusiones modernas. En el interior de la fosa, se encontraron numerosos componentes óseos, sobre todo pertenecientes al esqueleto axial. Aparecen los restos desarticulados correspondientes a ambas tibias, peronés, tarsos, metatarsos y falanges de un individuo adulto masculino. Los huesos de un brazo derecho aparecen semi-articulados. El cúbito aparece en posición postero-medial y el radio en posición antero-medial, la mano aparece en posición dorsal con algunos metacarpos y falanges dislocados.



Figura 5.46. Esqueletos 2010-2 (M. Riera)

Una vez retirados los niveles en que se situaban los anteriores restos esqueléticos, aparecieron, en un segundo nivel, una tibia y peroné en posición antero-medial y dos tibias fragmentadas en la diáfisis. En el centro de la tumba, localizamos dos falanges pertenecientes a los dedos meñique y anular. Por debajo del nivel donde se encontraban las falanges, sobre la base de la tumba, registramos las extremidades inferiores de un individuo adulto masculino. Se conservaban ambos fémures, tibias y peronés. Los fémures se encontraban en posición anterior, mientras que las tibias se encontraban en posición antero-medial. La distribución aleatoria de los huesos indica que la alteración se debió a causas externas, probablemente un expolio moderno que removió gran número de huesos de la tumba probablemente con la intención de encontrar algún elemento de ajuar o algún objeto valioso. El cálculo del número mínimo de individuos ha demostrado que los huesos pertenecen al menos a tres individuos adultos.

Esqueleto 2010-7¹⁵⁷

Se trata del esqueleto de un individuo masculino de entre 30 y 40 años y 1,74 m de estatura, depositado decúbiteo supino, orientado Oeste-Este, con la cabeza al Oeste y los pies al Este (Figura 5.47). El esqueleto estaba muy alterado, sobre todo el bloque craneofacial y la mandíbula, la cintura escapular, el tórax y el raquis vertebral a excepción de las vértebras lumbares que estaban en conexión estricta con el sacro. El esqueleto apendicular se encontraba articulado, aunque con algunas distorsiones. No obstante, la conservación de las conexiones anatómicas débiles de las manos y pies confirma, junto a la arquitectura de la tumba, el carácter primario de la sepultura.

¹⁵⁷ Publicamos este individuo erróneamente como “Enterrament 2010-5” en: Alapont, Sastre, Real 2013.

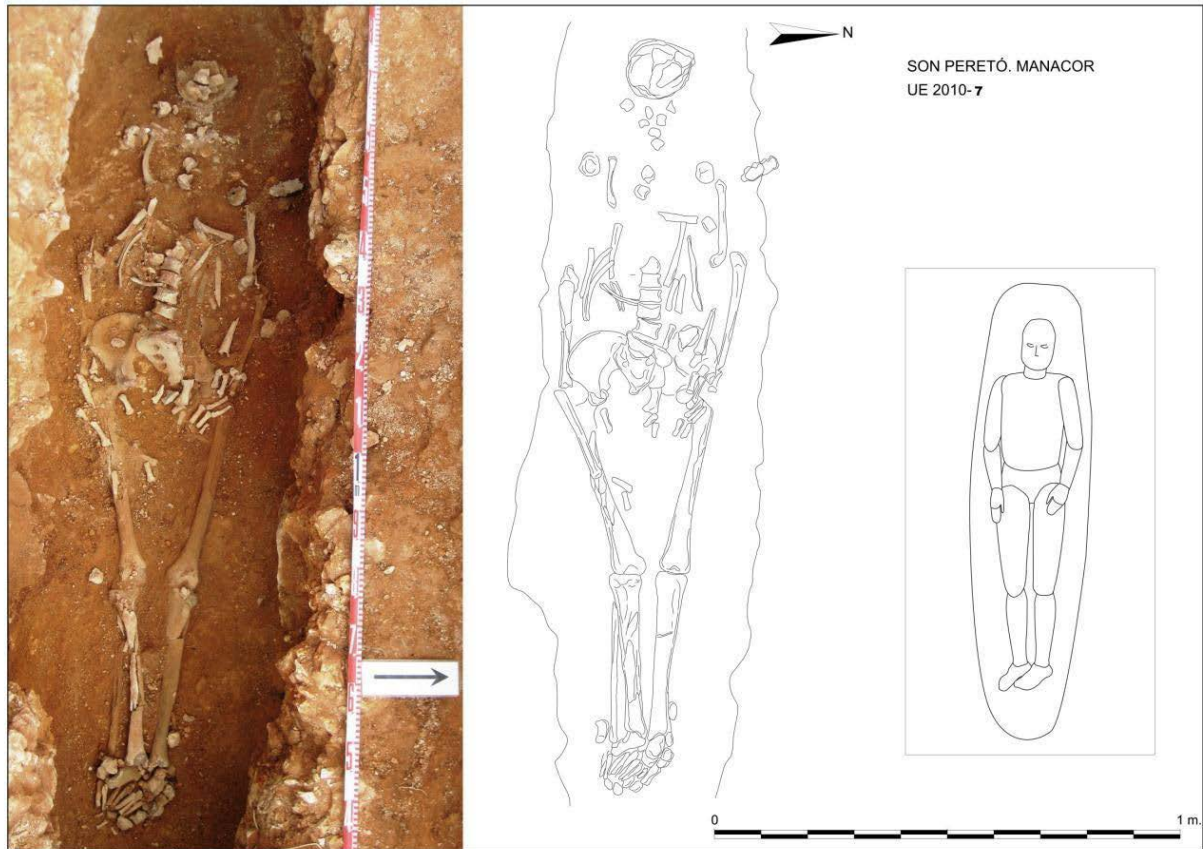


Figura 5.47. Esqueleto 2010-7. Restitución de su posición original (Ll. Alapont y P. Mas)

El bloque craneofacial se encontraba muy alterado y fragmentado, las vértebras cervicales y torácicas estaban completamente movidas y sus caras de aparición eran muy variadas, sin seguir un patrón. El volumen torácico había desaparecido y la caja torácica se había descompuesto, ya que todas las costillas aparecían movidas y dispuestas sin un orden aparente. La cintura escapular había desaparecido igualmente, las escápulas prácticamente se habían desintegrado. La clavícula derecha aparece movida, fuera del volumen original del cuerpo, paralela al eje longitudinal de este, en cara antero-superior.

Esta alteración del esqueleto axial hasta las vértebras lumbares es resultado de fenómenos tafonómicos derivados de las condiciones de descomposición en un medio vacío y sobre todo de la intervención de agentes naturales, concretamente de acciones físico-químicas. Al tratarse de un espacio estanco, la acumulación de humedad y materia orgánica procedente del mismo proceso de putrefacción del cuerpo, sobre todo en la base de la mitad superior de la fosa, ha provocado una continua y prolongada reacción química en los huesos que acaba destruyéndolos. Sobre todo, las características de la tumba hacen posible la filtración de agua, pero no del sedimento. El agua filtrada, quizá llenaría la tumba durante cierto tiempo, durante el que los huesos estarían sumergidos y sometidos a las corrientes y movimientos del agua filtrada.

Las extremidades superiores se encontraban pegadas a lo largo del tórax, paralelas al eje longitudinal del cuerpo. El brazo izquierdo se encontraba con el codo en extensión, con el antebrazo sobre el coxal izquierdo y la mano, en cara dorsal, sobre el fémur con el pulgar hacia el interior. El brazo derecho se encontraba con el codo ligeramente flexionado con el antebrazo bajo el coxal derecho y la mano, en cara dorsal, sobre la articulación coxo-femoral, con el pulgar hacia el interior. El húmero derecho en

cara antero-mesial, y el cúbito y radio derechos en posición anterior. Las extremidades inferiores se encontraban paralelas, extendidas siguiendo el eje longitudinal del cuerpo. Los fémures se encontraban en cara antero-medial, las tibias y fibulas en cara antero-medial. El pie derecho estaba en cara medial y el izquierdo en cara lateral. Se podían apreciar una serie de fracturas en la extremidad superior derecha, diáfisis del fémur derecho y diáfisis de las tibias derecha e izquierda, causadas seguramente por el desprendimiento de piedras de la cubierta y las paredes de la tumba.

Al estar el individuo decúbiteo supino, en un ambiente vacío, observamos cómo se había producido una abertura y allanamiento de la pelvis, y caída de los coxales por efecto de la gravedad, así como la disyunción total de las sínfisis púbicas. De la misma manera las cabezas femorales encajadas en las cavidades acetabularias, han sufrido un movimiento de abducción que ha provocado una rotación lateral.

La posición de las piernas sugiere que el cuerpo estaría amortajado en un sudario, con ataduras a la altura de las rodillas y tobillos. La forma de la tumba no condiciona en este caso la posición particularmente estrecha de las piernas, que aparecen juntas a la altura de las rodillas y tobillos, ya que existe una cierta separación de las extremidades con respecto a los límites de la fosa. Por tanto, solamente el amortajamiento del cuerpo puede justificar esta posición de las extremidades inferiores.

Esqueleto 2010-8¹⁵⁸

En el interior de la fosa se encontraba el esqueleto de un individuo masculino de entre 30 y 40 años y 1,70 m de estatura, depositado decúbiteo supino, orientado Oeste-Este, con la cabeza del Oeste y los pies del Este (Figura 5.48). El esqueleto axial y apendicular se encontraban bien articulados, conservando tanto las conexiones anatómicas persistentes, como las débiles, lo que confirma el carácter primario de la sepultura.

El bloque craneofacial se encontraba apoyado sobre los huesos, parietal y temporal izquierdos, mirando al Norte. La mandíbula se encontraba articulada, apoyada sobre la rama izquierda. Tanto el bloque craneofacial como la mandíbula se encontraban posicionados en el eje longitudinal del cuerpo. Sin embargo, hay una desconexión con el raquis cervical y las vértebras cervicales reposan sobre su arco posterior, articuladas con una rotación superior. El cráneo, al contrario, se encuentra girado sobre el lado izquierdo, lo que indica una rotación lateral debido a la ley de la gravedad, una vez desaparecidos los ligamentos y músculos de la articulación temporo-mandibular, que resulta especialmente frágil. Mientras han perdurado los ligamentos que unen la extremidad cefálica en el tronco, la cabeza ha permanecido en su posición inicial, pero una vez destruidos estos ligamentos, el cráneo ha caído hacia la izquierda. Por tanto, el cráneo debía encontrarse originariamente mirando al frente, pero como consecuencia de la descomposición en un ambiente vacío, el bloque craneofacial se hallaba en situación posdeposicional.

Observamos como la posición del cuerpo está condicionada por la forma y dimensiones de la fosa, de modo que el cadáver se adaptaba al contenedor funerario. Las costillas mantenían su posición inicial, conservando la oblicuidad natural y manteniendo la forma de la caja torácica y su volumen original. La permanencia del volumen torácico solo puede deberse a un relleno de filtración lento y progresivo del espacio vacío de la caja torácica a medida que desaparecen las vísceras y órganos internos, o porque la tumba es muy estrecha y las costillas se apoyaban en las paredes.

¹⁵⁸ Publicamos este individuo erróneamente como “Enterrament 2010-6” en: Alapont, Sastre y Real 2013.

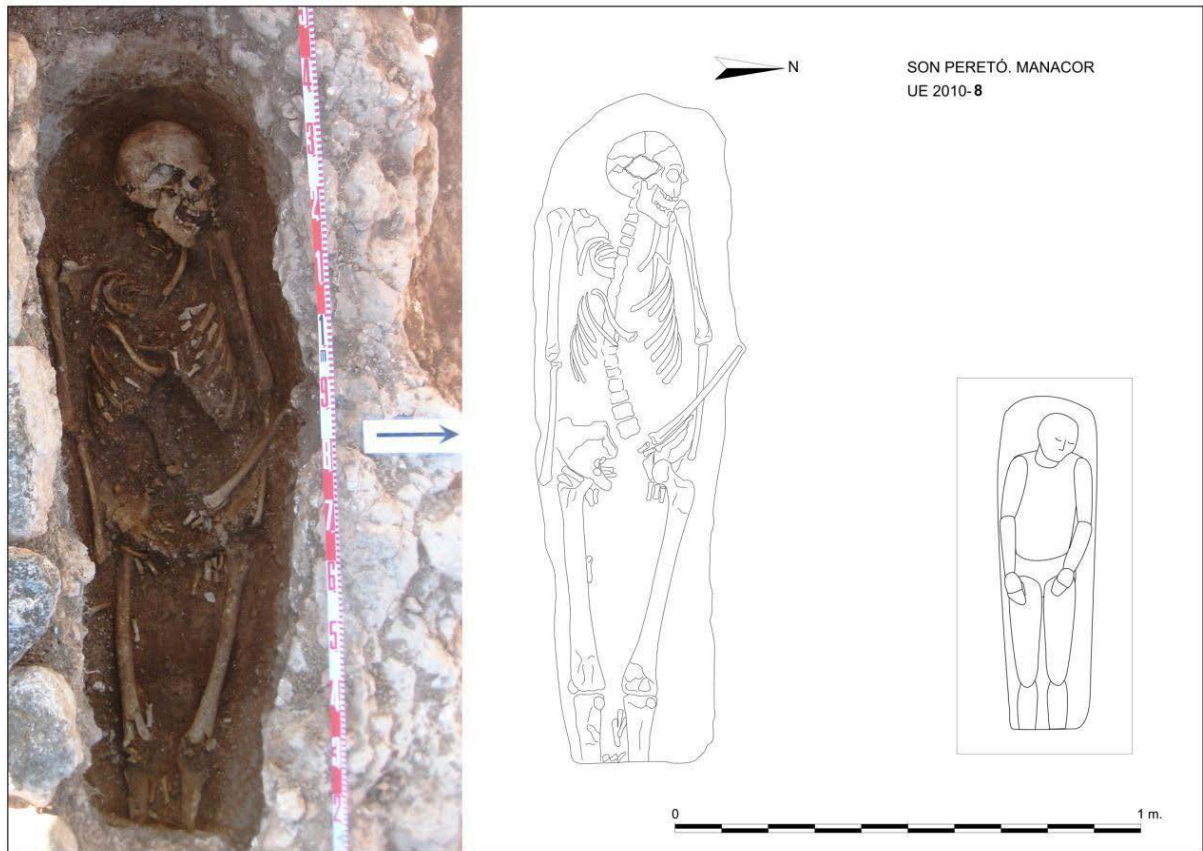


Figura 5.48. Esqueleto 2010-8. Restitución de su posición original (Ll. Alapont y P. Mas)

Las extremidades superiores se encontraban pegadas a lo largo del tórax, paralelas al eje longitudinal del cuerpo. El brazo izquierdo se encontraba extendido, con el codo en extensión, con el antebrazo sobre el coxal izquierdo y la mano, en cara dorsal, sobre el pubis con el pulgar hacia el interior. Al situarse el antebrazo sobre la pelvis, la descomposición en medio vacío ha provocado que el radio y el cúbito se separaran cayendo a un lado y otro del ala íliaca y causando la desarticulación del radio con el húmero. El brazo derecho se encontraba con el codo en extensión con el antebrazo bajo el coxal derecho y la mano, en cara dorsal, sobre la articulación coxo-femoral, con el pulgar hacia el interior. Las extremidades inferiores se encontraban paralelas, extendidas siguiendo el eje longitudinal del cuerpo.

La pelvis mostraba una apertura y aplanamiento de los coxales, por efecto de la gravedad, al descomponerse los ligamentos y músculos en un ambiente vacío. Del mismo modo, las cabezas femorales encajadas en las cavidades acetabulares habían sufrido un movimiento de aducción que ha inducido a una rotación lateral de los fémures.

La forma del contenedor funerario condicionaba la disposición del cadáver y tenía una influencia directa en la evolución de la descomposición del cuerpo y en los procesos tafonómicos y post-deposicionales. La compresión del cuerpo en el espacio estrecho que conformaba la cista había provocado una evidente compresión de la cintura escapular y la “verticalización” de las clavículas, la derecha se encontraba en cara superior, paralela al eje raquídeo, pero desplazada de su sitio natural con la extremidad lateral proyectada en alto y la medial hacia abajo. La izquierda también paralela al raquis se encontraba sobre la cara anterior. Al mismo tiempo los húmeros aparecían en cara lateral mostrando una rotación

medial. Las escápulas aparecen oblicuas en cara antero-medial. Esta posición es consecuencia de una compresión transversal al nivel de los hombros. La postura estrecha del individuo por un efecto “pared” ha provocado una sobreelevación de la articulación húmero-escapular del brazo izquierdo, y se puede observar como el hombro izquierdo se encuentra a una altura superior al derecho.

Respecto a la dentición, dieta y salud, observamos líneas transversales o depresiones en bandas en el esmalte dental, en los incisivos y premolares mandibulares, el indicador físico de hipoplasia. Hipoplasia es el resultado de un trastorno en la formación del esmalte (Sarnat y Schour 1941).

La presencia de múltiples líneas de hipoplasia dental fue observada en el individuo, mostrando que este sufrió episodios de enfermedad o malnutrición entre los 3 y 5 años.

Este defecto que ocurre durante el desarrollo dental queda durante toda la vida como prueba de haber sufrido problemas de crecimiento y desarrollo biológico durante la infancia. A fin de conocer en qué momento se producían estos trastornos, efectuamos la medición de la distancia de cada línea respecto a la línea de la encía comparándola con el diagrama de Goddman. Los resultados mostraron que los procesos de morbilidad afectaron al individuo cuando tenía entre tres y cinco años. Enfermedad, deficiencias en la dieta de nutrientes básicos para el desarrollo durante la infancia, como por ejemplo la leche, falta de vitamina D (Huss-Ashmore *et al.* 1982: 395-447) e hipoparatiroidismo (Luckács 1989: 267) podrían ser las causas de hipoplasia.

Debemos destacar la ausencia de hipoplasia dental en la mayoría de los individuos estudiados, lo que indica unas buenas condiciones de vida durante la infancia.

Esqueleto 2011-1

En el interior de la fosa se encontraba una inhumación individual, primaria, conformada por el esqueleto de un individuo masculino, senil, de edad muy avanzada, más 60 años y 1,70 m de estatura, depositado decúbito supino, orientado nordeste-sudoeste con la cabeza a nordeste y los pies al sudoeste (Figura 5.49).

El esqueleto axial y apendicular se encontraban bien articulados, conservando tanto las conexiones anatómicas persistentes como las débiles, hecho que confirma el carácter primario de la sepultura. El bloque craneofacial se encontraba apoyado sobre el parietal y temporal derechos, desconectado de la mandíbula, con clara evidencia de haber experimentado una rotación lateral y hacia atrás. La mandíbula había caído sobre el raquis cervical. El cuerpo estaba depositado originalmente decúbito dorsal. Hasta que han persistido los ligamentos que unen la extremidad cefálica al tronco, la cabeza quedaba en su posición inicial, apoyado sobre el hueso occipital, mirando hacia delante, pero una vez han desaparecido los ligamentos relativos al raquis cervical, el cráneo ha caído hacia el lado derecho y hacia atrás porque el cráneo es esférico, y por tanto inestable en la región occipital. La caída de la mandíbula hacia adelante, con una leve inclinación sugiere una ligera inclinación original de la cabeza; sucesivamente la cabeza se deslizó en el sentido contrario porque la articulación temporo-mandibular se destruye antes que la articulación del raquis cervical. Por tanto, la rotación y posición del bloque craneofacial es de origen tafonómico producida en un ambiente vacío. Además, la desconexión total y alejamiento de las vértebras cervicales, la separación tanto del atlas como del axis, así como la orientación completamente diversa al eje que muestra el raquis cervical, indican que además de la fuerza de la gravedad, agentes externos actuaron separando el cráneo del cuerpo, como queda patente en las marcas posdeposicionales observadas en el cráneo y que analizaremos más adelante.

Las extremidades superiores se encontraban pegadas a lo largo del tórax, paralelas al eje longitudinal del cuerpo. Los brazos se encontraban con los codos en extensión, con los antebrazos bajo los coxales y las manos, en cara volar, pegadas a los fémures con los pulgares hacia el interior. Las extremidades inferiores se encontraban paralelas, con las rodillas en extensión siguiendo el eje longitudinal del cuerpo, con los pies juntos.

La caja torácica aparece hundida y el volumen torácico es prácticamente nulo. Las costillas presentan su oblicuidad natural acentuada después de caer en el interior de la caja torácica, resultando en una evidente reducción del volumen torácico. Una vez los pulmones y demás órganos internos desaparecen por efecto de la descomposición se crea un espacio vacío secundario. Cuando las conexiones costo-vertebrales, costo-esternales e intercostales pierden su funcionalidad, las costillas se encuentran suspendidas sobre el vacío y, en consecuencia, caen. Al encontrarse el cuerpo decúbite dorsal la caída de los dos hemitórax ha sido simétrica.

La columna vertebral muestra una serie de dislocaciones parciales, entre la 1ª y 2ª vértebras torácicas y entre la 1ª y 2ª vértebras lumbares. Las vértebras se encuentran en conexión anatómica estricta, a excepción de las discontinuidades nombradas, donde observamos una traslación de las vértebras causada por los movimientos de contracción provocados por la descomposición, con la consiguiente ruptura de los ligamentos, en los espacios intervertebrales entre las vértebras cervicales y torácicas y entre las torácicas y las lumbares.

A partir de las observaciones osteológicas de la posición general del esqueleto y de cada hueso individual, podemos restituir la posición original del cuerpo y de la arquitectura funeraria. La forma de contenedor

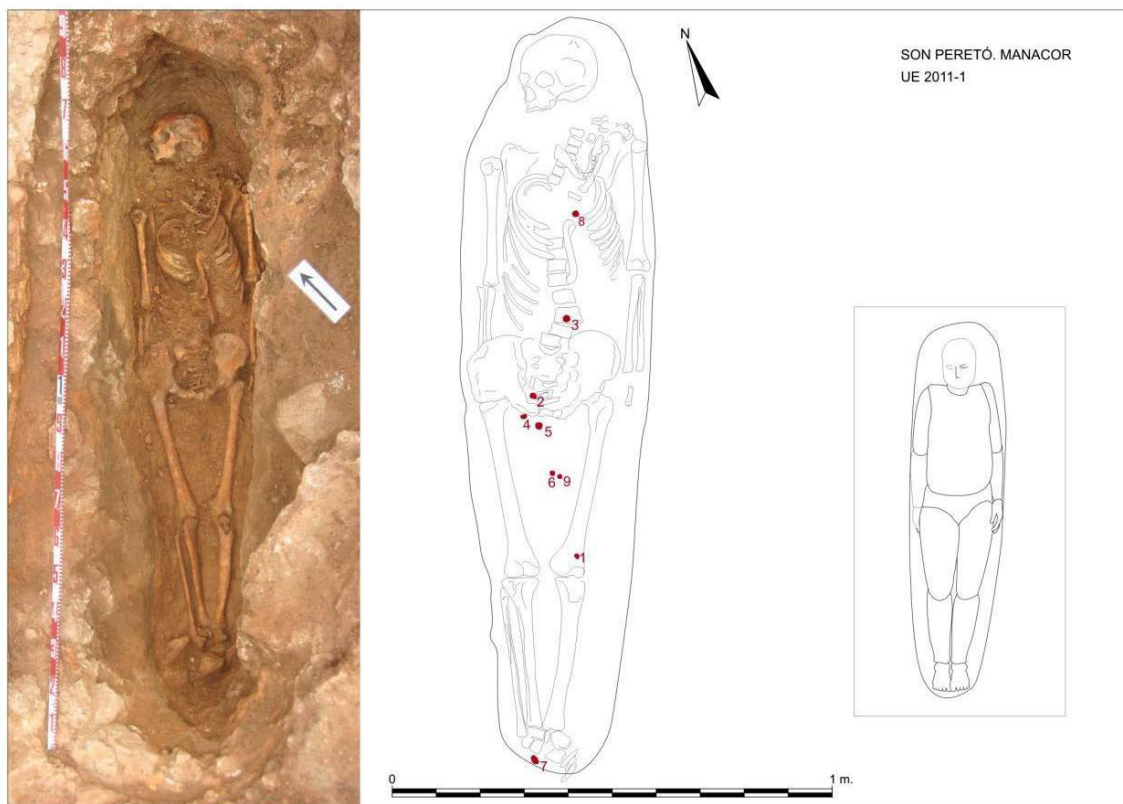


Figura 5.49. Esqueleto 2011-1. Restitución de su posición original (Ll. Alapont y P. Mas)

funerario condicionaba necesariamente la disposición del cadáver y tenía una influencia directa en la evolución de la descomposición del cuerpo y en los procesos tafonómicos y posdeposicionales.

La compresión del cuerpo en el espacio estrecho que conforma la fosa se observa claramente en las extremidades superiores, provocando una evidente compresión de la cintura escapular y la “verticalización” de las clavículas; concretamente de la clavícula izquierda que aparece paralela al eje raquídeo, con la extremidad lateral proyectada en alto y la medial hacia abajo. La clavícula derecha aparece fuera de su posición original, alejada de su lugar natural, paralela a las vértebras torácicas y sobre el esternón. Esto es debido a que una vez el cuerpo está esqueletizado y ha perdido los ligamentos que mantienen unidos los huesos, en un espacio vacío, los huesos más ligeros o situados en posiciones inestables suelen desplazarse fácilmente de su posición natural por las microcorrientes de los sedimentos infiltrados.

Las escápulas aparecen oblicuas en cara antero-medial. Al mismo tiempo los húmeros se presentan en cara antero-lateral mostrando una rotación medial. La postura estrecha del individuo por un efecto “pared” ha provocado una sobre-elevación de la articulación húmero-escapular de los brazos y se puede observar cómo los hombros se encuentran a la altura de la articulación cervical. Esta posición es consecuencia de una compresión transversal al nivel de los hombros, que indica que el individuo estaba en una postura estrecha o envuelto en un sudario, con ataduras que comprimían los hombros.

El efecto pared, se observa también en una abertura mínima de las sínfisis púbicas y el mantenimiento de los coxales en su posición original. La pelvis se encuentra en posición vertical, apoyado el coxal derecho en la pared de la fosa y el izquierdo sobre el radio y el cúbito, manteniéndose las alas ilíacas alzadas y conservando la mayor parte de la conexión sacroilíaca.

Las piernas aparecen extendidas y paralelas con los pies juntos en cara superior, y con las cabezas femorales encajadas en las cavidades acetabularias. La pierna izquierda ha sufrido un movimiento de aducción y la derecha de abducción, que ha motivado una rotación lateral de las cabezas femorales. El fémur, tibia y peroné izquierdos se encuentran en cara antero-medial, indicando un movimiento posdeposicional, por efecto de la gravedad en espacio vacío, de rotación lateral hacia el exterior. En cambio, el fémur, tibia y peroné derechos se presentan en cara antero-lateral debido a una rotación medial, hacia el interior por el mismo efecto. Este hecho indica un cierto desnivel en la base de la tumba por el que, la parte derecha del cuerpo estaría a un nivel más alto que la parte izquierda, desplazándose los huesos hacia la parte izquierda. La evidencia de que el cuerpo se descompuso en un ambiente vacío con un desnivel, la tenemos en la caída de las rótulas, la izquierda al exterior de la rodilla entre el fémur y la pared de la fosa y la derecha hacia el interior, entre las dos tibias, ambas fuera del volumen natural del cuerpo. Este hecho también se confirma observando cómo ha sido la clavícula derecha la que se ha trasladado hacia la izquierda hasta permanecer sobre el hemitórax izquierdo y cómo el esternón ha caído hasta situarse a la izquierda del raquis torácico. Asimismo, la mandíbula se ha desplazado hasta situarse sobre la clavícula izquierda que se mantiene en su posición original y los carpos, metacarpos y falanges de la mano derecha han ido a parar casi todos al interior de la pelvis o sobre las sínfisis púbicas. La posición de las piernas sugiere que el cuerpo estaría amortajado con un sudario, con ataduras a la altura de las rodillas y tobillos. La forma de la tumba que condiciona la posición particularmente estrecha de la parte superior del cuerpo no afecta, por el contrario, a la posición de las piernas, ya que la anchura es suficiente y existe una cierta separación de las extremidades con respecto a los límites de la fosa. Por tanto, solamente el amortajamiento del cuerpo puede justificar esta posición de las extremidades inferiores.

Respecto al análisis en el laboratorio, las medidas efectuadas en el cráneo mostraban que se trata de un cráneo alargado, dolicrocrao (72,96) (Figura 5.50, 5.51, 5.52, 5.53, 5.54, 5.55)

El módulo craneal resulta en 160,33.

Índice Altura media: (83,78), Alta

Índice Anchura – Altura: (99,30) alta, Acrocranio.

Índice Longitud – Altura: (72,45), Orthocranio.

Índice Media Pori6n – Altura: (70,64), Media.

Índice Orbital: (78,54) ancho, Camaeconqu6no

Índice nasal: (98,76) ancho, Platyrrino

Índice frente-parietal: (76,66), Eurymet6pico.



Figura 5.50. Norma superior del cráneo del Esqueleto 2011-1 (Ll. Alapont)



Figura 5.51. Frontal del cráneo del Esqueleto 2011-1 (Ll. Alapont)



Figura 5.52. Lateral derecho del cráneo del Esqueleto 2011-1 (Ll. Alapont)



Figura 5.53. Norma inferior del cráneo del Esqueleto 2011-1 (Ll. Alapont)



Figura 5.54. Norma posterior del cráneo del Esqueleto 2011-1 (Ll. Alapont)



Figura 5.55. Lateral izquierda del cráneo del Esqueleto 2011-1 (Ll. Alapont)



Figura 5.56. Marcas en el cráneo del individuo 2011-1 hechas con las uñas de las extremidades delanteras de un animal roedor grande (Ll. Alapont)

El cráneo mostraba numerosas marcas incisas de diversa profundidad (Figura 5.56). Las marcas eran paralelas y la mayor parte, de un mismo sentido. Hemos comprobado que se trata de marcas posmortem y posdeposicionales de origen tafonómico realizadas de forma mecánica por agentes externos. Concretamente, son marcas de arañazos paralelos siguiendo un mismo sentido y de forma repetitiva, características de animales roedores que tienen las extremidades anteriores con uñas en forma de garras. Muy probablemente se trata de un roedor grande, un conejo o una liebre que ha utilizado sus uñas para rascar la superficie de la calota craneal para acceder más fácilmente a la materia orgánica más blanda y porosa de la bóveda y paredes craneales

En efecto, al haber desaparecido la losa de la cubierta de la cabecera de la tumba, se facilitó el acceso al interior de la fosa sepulcral de agentes externos. Este hecho se comprueba observando la estratigrafía



Figura 5.57. Huesos de roedores de pequeñas y medianas dimensiones en el interior de la tumba 2011-1 (Ll. Alapont)



Figura 5.58. Proceso supra-condilar en el húmero izquierdo del individuo 2011-1 (Ll. Alapont)

alterada justo bajo el lugar que debía ocupar la losa desaparecida, una secuencia estratigráfica completamente diversa a la del resto de la tumba, motivada sobre todo por la acción de agentes animales que han aprovechado este lugar para excavar agujeros para hacer una madriguera o acceder al alimento que les podían proporcionar los huesos del esqueleto (Figuras 2.85, 2.86 y 4.75).

La presencia de animales roedores que se han alimentado de los huesos del esqueleto inhumado o que han hecho madrigueras en el interior de la tumba está también confirmada por el registro de numerosos huesos de fauna de origen tafonómico (Figura 5.57). Es decir, estos huesos provienen del propio esqueleto del animal. Así son abundantes los hallazgos de huesos de roedores de pequeñas y medianas dimensiones en el interior de la tumba.

El índice platimérico muestra el grado de llanura de la parte subtrocantérica de la diáfisis femoral. El índice platimérico calculado en el fémur izquierdo resultó platimérico. El significado de las condiciones de platinemia y platicnemia sigue siendo incierto. La platimeria ha sido interpretada como una característica derivada de una actividad mecánica, continua y prolongada del fémur. Esta condición también se ha asociado con varias circunstancias patológicas o como resultado de la falta de calcio o de las vitaminas necesarias para la formación del hueso. Al igual que la platimeria, la Platicnemia puede ser resultado de diferentes estados patológicos, sin embargo, otros autores la relacionan con un trabajo realizado continuamente de cuclillas (Brothwell 1981: 88). El índice platimérico calculado en la tibia derecha resultó 69,33 y en la tibia izquierda 67,67; por tanto, ambas resultaron mesocnémicas.

Los rasgos morfológicos se definen como características anatómicas que se registran como “presente” o “ausente”, determinadas generalmente por la herencia genética. Estas variantes fueron observadas en detalle en los restos humanos tanto craneales como infra-craneales. El origen de los rasgos morfológicos es fundamentalmente genético, sin embargo, estudios recientes han comprobado que algunas variaciones en la morfología esquelética están controladas por factores medioambientales. Aun así, es evidente que algunos rasgos son siempre más frecuentes que otros y que, además, es posible expresar el porcentaje de población que muestra una determinada variedad morfológica. Por tanto,



Figura 5.59. Cuarta costilla derecha bifurcada del individuo 2011-1 (Ll. Alapont)



Figura 5.60. Cuarta costilla derecha bifurcada del individuo 2011-1 (Ll. Alapont)

puede compararse la frecuencia de estas características anatómicas entre poblaciones, deduciendo de esta manera si su incidencia es más o menos “normal”. Por medio de este estudio comparativo, también es posible esbozar posibles relaciones familiares y orígenes comunes o dispares dentro de una población o entre distintas poblaciones. La evidente influencia genética en gran parte de los rasgos morfológicos puede permitirnos conocer la proximidad o divergencia entre los individuos de una población.

Nuestro análisis morfológico permitió observar un rasgo morfológico en el cráneo y uno en el esqueleto infra-craneal. El cráneo se pudo registrar en posición exsutural del foramen mastoides bilateral.

Al esqueleto infra-craneal detectamos dos rasgos morfológicos, proceso supra-condilar y costilla bifurcada. En el húmero izquierdo se registró proceso supra-condilar (Figura 5.58). El proceso supra-condilar representa una exostosis que funciona como una inserción ligamentosa accesoria del músculo pronador. Este rasgo se encuentra aproximadamente en un 1% de la población europea antigua. Está considerado como una característica morfológica con un alto grado de traspaso por herencia genética, de hecho, se ha podido reconocer en niños e incluso embriones. También pudimos registrar que la cuarta costilla derecha era una costilla bifurcada o bífida (Figura 5.59, 5.60).

Respecto a la dentición, dieta y salud, el individuo presentaba varias pérdidas *post mortem*, pero ninguna in vivo. Los dientes mostraban un acentuado desgaste debido a la edad y la dieta, que afectaba acentuadamente todos los dientes, especialmente los incisivos, de forma que muchos dientes incluso tenían la pulpina expuesta. La dentadura también mostraba una avanzada periodontitis y depósitos de sarro. La aparición del sarro se deriva de la formación de depósitos de placa dental.

Periodontitis es una infección del hueso alveolar y los tejidos blandos de la boca. Esta infección es normalmente el resultado de la inflamación provocada por uno o más agentes irritantes como la placa bacteriana y el sarro. Esta inflamación resulta a menudo en una recesión del hueso a lo largo de los márgenes alveolares de los encastres dentales (Figura 5.61). Si la recesión alveolar es severa, el diente pierde su sujeción natural causando su pérdida (Hillson 1996: 260–67). De hecho, periodontitis



Figura 5.61. Incisivo superior con un acusado desgaste que ha dejado la pulpina expuesta (Ll. Alapont)



Figura 5.62. Caries en el primer molar mandibular izquierdo (Ll. Alapont)



Figura 5.63. Caries en el segundo molar mandibular derecho (Ll. Alapont)



Figura 5.64. Caries en el tercer molar mandibular derecho (Ll. Alapont)

resulta la causa más importante de la pérdida de dientes ante mortem. Aunque problemas metabólicos pueden provocar inflamación alveolar y una deficiencia proteica aumenta sin duda el riesgo de sufrir periodontitis, una deficiente higiene oral, o una consumición excesiva de carbohidratos favorece la presencia de placa dental y sarro que son los mayores causantes de irritación e inflamación alveolar (Hillson 1996: 259; Ortner y Putsch 1981: 442; Roberts y Manchester 1995: 56).

El individuo presentaba caries en varios dientes (Figura 5.62, 5.63, 5.64). Así presentaba caries medial en el segundo molar mandibular izquierdo, caries distal en el primer molar mandibular izquierdo y segundo molar mandibular derecho, y caries medial en los terceros molares mandibulares derecho e izquierdo.

En relación con el análisis paleopatológico, observamos una osteoatrosis muy desarrollada en las vértebras lumbares (Figura 5.65, 5.66) y torácicas (Figura 5.67) y con osteofitosis marginal en los discos vertebrales, presentando macroporosidad y distorsión. La osteoartritis es un importante indicador del estilo de vida y de la actividad física de la población que la padece. De hecho, la localización anatómica de la osteoartritis puede reflejar el tipo de empleo que el individuo desarrolló durante su vida. Osteoartritis es una enfermedad crónica y progresiva que se produce durante varios meses y años, y que se caracteriza por la pérdida del cartílago de la articulación, la formación de hueso nuevo alrededor de los márgenes



Figura 5.65. Osteoartritis en la vértebra lumbar (Ll. Alapont)



Figura 5.66. Osteoartritis en la vértebra lumbar (Ll. Alapont)



Figura 5.67. Osteoartritis en la vértebra torácica (Ll. Alapont)



Figura 5.68. Osteoartritis en el epicóndilo medial del fémur izquierdo (Ll. Alapont)

de la articulación (osteofitosis), porosidad en la superficie del hueso (osteoporosis) y pulido de las superficies articulares cuando el cartílago ha desaparecido.

Varios factores pueden influir en el desarrollo de la osteoartritis. Por ejemplo, los síntomas pueden ser menos severos en lugares con climas cálidos. También se ha apreciado una mayor incidencia en los individuos de gran tamaño y peso corporal (Moskowitz 1989), y en aquellos con una buena musculatura (Steinbock 1976: 279). Finalmente, la edad representa, sin duda, un factor de gran influencia.

También hemos registrado osteoartritis en la articulación de la rodilla izquierda, concretamente en la epífisis distal del fémur, en el epicóndilo medial, donde se observa osteofitosis marginal y porosidad (Figura 5.68). Esta afección es típica en individuos con sobrepeso, y con una edad media o avanzada. A partir de una edad madura, el sobrepeso afecta especialmente a la articulación de la rodilla que soporta en mayor medida la masa corporal del sujeto. Por lo tanto, la obesidad o el peso corporal excesivo tienen un reflejo directo en la osteoartritis de la articulación de la rodilla.

Respecto a las enfermedades traumáticas, debemos destacar que el individuo analizado mostraba signos de haber sufrido la fractura de los dos peronés y del radio y cúbito izquierdos. En el radio izquierdo hemos registrado los signos de una fractura traumática cicatrizada y totalmente remodelada, denominada



Figura 5.69. Fractura de Colles cicatrizada en el tercio distal del radio (Ll. Alapont)



Figura 5.70. Fractura de Colles cicatrizada en el tercio distal del radio (Ll. Alapont)



Figura 5.71. Fractura de Pott en la epífisis proximal de la fíbula izquierda (Ll. Alapont)

fractura de Colles. La fractura aparece en el tercio distal del radio, como resultado de una caída en la que se ha apoyado todo el peso sobre el antebrazo izquierdo. La confirmación de que se trata de una fractura de Colles (Figura 5.69, 5.70), debida a que durante la caída todo el peso corporal ha recaído sobre el radio y cúbito izquierdas al apoyar en una mala posición la mano sobre tierra, la tenemos con los signos de la misma fractura cicatrizada y remodelada en el cúbito izquierdo. Este muestra los signos de una fractura antigua y reparada en el tercio distal.

La epífisis proximal del peroné izquierdo mostraba signos de haber sufrido una lesión denominada fractura de Pott (Figura 5.71), que resulta normalmente de un traumatismo al caer y girar la rodilla. La deficiente cicatrización de la fractura ha resultado en exóstosis, una reacción que ha hecho la creación de nuevo hueso e inflamación de la membrana o periostitis. Esta lesión se produce sobre todo en personas de edad avanzada.

A la altura de la diáfisis media del peroné derecho hemos detectado los signos de una fractura cicatrizada (Figura 5.72, 5.73). Podemos observar las marcas del callo después de que la fractura se haya soldado y reparado totalmente. Se observa también cómo ha sido una reacción perióstica que finalmente se ha curado y cicatrizado.

Estas lesiones traumáticas implicarían que el sujeto estaría mucho tiempo inmovilizado. Muy probablemente la lesión conllevara cojera y cierta dificultad para caminar, con toda seguridad el sujeto debería ayudarse con un bastón o una muleta. Esta circunstancia podría ser la razón de la lesión



Figura 5.72. Fractura cicatrizada en la diáfisis media de la fíbula derecha (Ll. Alapont).



Figura 5.73. Fractura cicatrizada en la diáfisis media de la fíbula derecha (Ll. Alapont).



Figura 5.74. Fosa unilateral al nivel de la inserción del músculo pectoral mayor del húmero derecho (Ll. Alapont)

detectada en el húmero derecho (Figura 5.74). En él hemos detectado una entesopatía mecánica, es decir, una patología funcional de las inserciones tendino-musculares, y que en ciertos casos son un buen indicador del tipo de actividad. Se trata de una fosa unilateral al nivel de inserción del músculo pectoral mayor. El tipo de fundición observada permite pensar que esta lesión se produjo por efecto de una actividad y esfuerzo muscular muy frecuente y repetitivo, perfectamente compatible con el esfuerzo y repetición de apoyar el cuerpo con una muleta portada bajo la axila del brazo derecho.

El individuo mostraba la formación de entesofitos en las inserciones musculares de ambos fémures. Las alteraciones situadas en la articulación de la cadera, la extensión de la superficie de la cabeza del fémur y cuello femoral y ciertas lesiones vertebrales degenerativas se identifican con el “síndrome del caballero”. Es decir, estas lesiones serían propias de aquellos que montaban a caballo de forma habitual. Este tipo de marcas posturales o de estrés que identifican la acción de montar frecuentemente a caballo durante períodos prolongados a lo largo de la vida se ha podido observar en otros individuos inhumados en la necrópolis de Son Peretó. Así, el individuo masculino 2006-2, enterrado en el Sector Oeste, con una edad comprendida entre 40–50 años, y una talla estimada en 169 cm mostraba la huella ilíaca con la extensión de la cabeza femoral hacia el cuello del fémur. Igualmente, el sujeto masculino 2009-10, inhumado en el Sector Sur, con una edad comprendida entre 25–30 años, y una talla estimada en 177 cm presentaba una evidente huella ilíaca en el cuello femoral.

En el interior de la fosa del Enterramiento 2011-1, se excavaron varios rellenos de infiltración sucesivos que cubrían el esqueleto (Figura 5.75). También se encontraron 9 monedas de bronce localizadas en diferentes cotas y lugares dentro del sepulcro (Figura 5.75). El hecho de la existencia de 9 monedas en un mismo sepulcro es un hecho inusual y sugiere que este sepulcro recibió una veneración particular, tal vez por su localización respecto al baptisterio o la basílica, o por la condición o estatus del difunto. La posición de las monedas dentro de la tumba no parece nada casual, al contrario, parece obedecer a

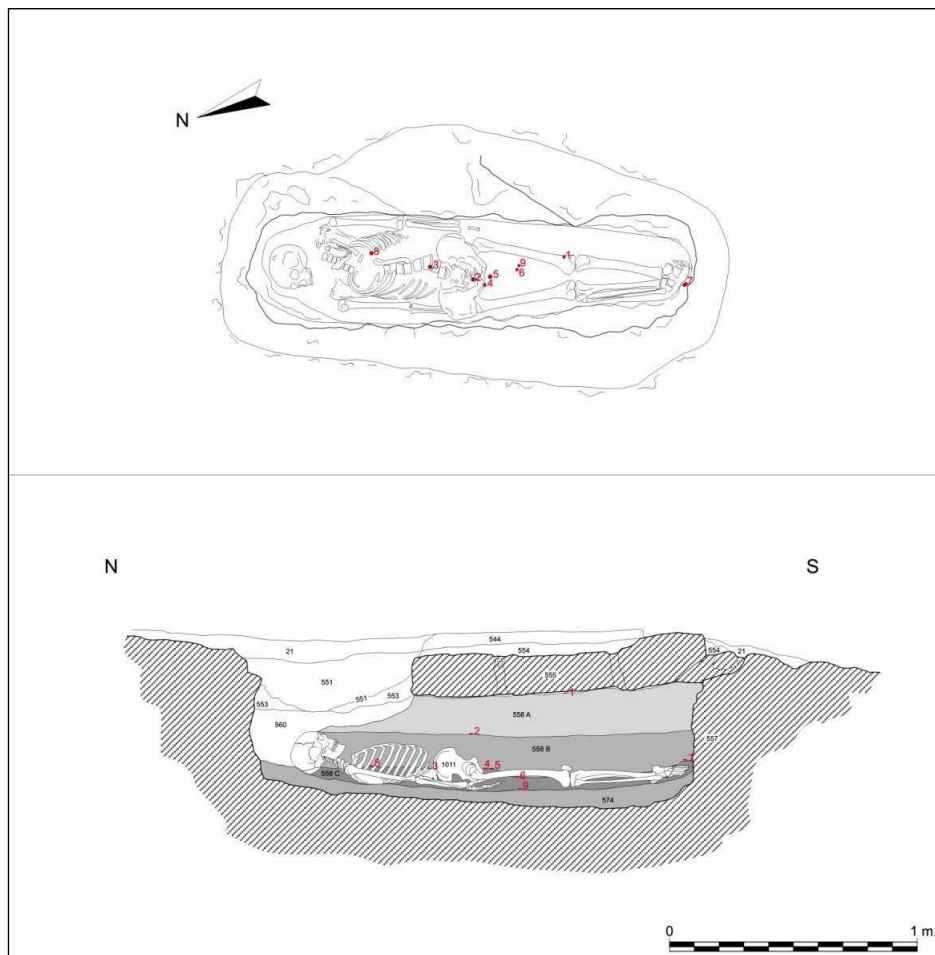


Figura 5.75. Planta y sección estratigráfica de la tumba 2011-1 donde se observa la diferente estratigrafía sobre el cráneo debido a la intervención de agentes externos, sobre todo, roedores. También se ha marcado el lugar en el que se encontraron las monedas (Ll. Alapont, P. Mas y M. Riera)

un ritual y gestos funerarios intencionados y programados. La moneda nº 9 estaba situada en la misma base de la tumba y no cabe duda de que se colocó en el momento del entierro, o incluso antes de que se depositara el cuerpo del finado, cuando la tumba estaba vacía. Es muy posible que esta moneda tuviera un significado profiláctico, en el sentido de consagrar la tumba y dejarla libre de cualquier maleficio, una ofrenda para que la sepultura fuera impoluta.

Entre la deposición de la moneda nº 9 y las monedas posteriores, existe un estrato arenoso-arcilloso formado progresivamente por la filtración y descomposición de las sustancias orgánicas muelles en descomposición, es decir, los órganos internos y la masa corporal en putrefacción, junto otros elementos orgánicos que conformaban el sudario o la vestimenta del fallecido. La formación de este relleno puede haber sido consecuencia del aumento del volumen del sedimento arcilloso al estar húmedo. El líquido de descomposición del cadáver baña el sedimento impregnándose de él y la zona arcillosa enfanga, rellenando el espacio vacío. Otra posibilidad puede ser la perturbación causada por los gusanos o lombrices que excavan galerías tragando la tierra que pasa por su tubo digestivo y es inmediatamente expulsada. Estos gusanos buscan los lugares húmedos, donde el sedimento es rico en materia orgánica como son las zonas adyacentes al cadáver. De hecho, la acción de las lombrices puede



Figura 5.76. Localización de la moneda nº 8 en el interior de la caja torácica (Ll. Alapont)



Figura 5.77. Localización de la moneda nº3 entre las vértebras lumbares 3ª y 4ª (Ll. Alapont)

modificar sustancialmente el contexto sedimentario próximo a la inhumación. Por ello sabemos que la moneda nº9 era anterior al resto y fue colocada en un momento inicial.

Después tenemos las monedas 3, 4, 5, 6, 7 y 8. No podemos saber si todas estas monedas se depositaron al mismo tiempo o en momentos diferentes, ya que todas ellas están en una situación estratigráfica similar. Lo cierto es que estas monedas se colocaron sobre el difunto cuando su cuerpo aún no estaba descompuesto, ni cubierto por ningún relleno posterior de infiltración natural. Esto significa que todas ellas se depositaron al poco tiempo de la inhumación del difunto. Como hemos dicho, no podemos saber si todas ellas fueron depositadas sobre el cuerpo del finado durante los rituales y gestos funerarios del sepelio, o fueron depositadas una cada día, durante seis días, o primero unas y a los pocos días otras. Nuestra opinión es que las monedas 3, 4, 5, 6, 7 y 8 fueron depositadas al mismo tiempo como un gesto ritual funerario realizado inmediatamente después de colocar el cuerpo del finado en la tumba. En este ritual, las monedas toman el significado de talismanes protectores, no debemos olvidar que las monedas muestran la imagen del Dios o de la Victoria. Así la localización de las monedas sobre ciertas partes del cuerpo del individuo es un hecho muy documentado en numerosos enterramientos. Resulta habitual encontrar las monedas depositadas sobre el pecho, la pelvis o los pies del sujeto. En nuestro caso, el depósito de las 6 monedas repartidas a lo largo del cuerpo pretende proteger al difunto por completo, de pies a cabeza.

Por tanto, con toda seguridad la moneda nº8 fue colocada sobre el pecho del difunto y a medida que los pulmones y demás órganos internos desaparecían por efecto de la descomposición y se formaba un espacio vacío secundario, la moneda cayó, por efecto de la gravedad, hasta alojarse en el interior del hemitórax izquierdo (Figura 5.76).

La moneda nº 3 fue depositada sobre el abdomen del difunto, de forma que, cuando desaparecieron los órganos internos del estómago, se situó definitivamente entre la 3ª y 4ª vértebras lumbares por efecto de la gravedad (Figura 5.77).

Está claro que las monedas nº 4 y nº 5 (Figura 5.78), estuvieron depositadas originalmente en el vientre del individuo y una vez descompuesto cayeron en el interior de la pelvis y sobre las sínfisis púbicas. La moneda nº 5 estuvo colocada entre las piernas del difunto a la altura de las diáfisis de los fémures. Podemos observar cómo entre la moneda nº 9 y la moneda nº 6 hay un cierto volumen de tierra acumulada, como hemos señalado antes, por la filtración, descomposición y licuación de sustancias



Figura 5.78. Localización de las monedas nº4 y nº5 sobre las sínfisis púbicas (Ll. Alapont)



Figura 5.79. Localización de la moneda nº6 entre los fémures (Ll. Alapont)



Figura 5.80. Localización de la moneda nº7, a los pies de la tumba (Ll. Alapont)

orgánicas blandas. Esto quiere decir que existía un espacio vacío secundario entre la moneda nº6 y la moneda nº9. Por lo tanto, la moneda estuvo suspendida en su lugar original el tiempo suficiente para que se formara por debajo este relleno progresivo derivado de la desaparición de las partes muelles del cuerpo. La única explicación es que la moneda nº 6 estuviera sobre un sudario o mortaja (Figura 5.79). Efectivamente la mortaja crea en su interior un espacio vacío secundario que se llenará de tierra de forma diferida cuando la tela se pudra y desaparezca. Parece evidente que la desaparición del sudario fue más lenta y tardía que la descomposición del cuerpo y la creación del relleno consecuente. Cuando el sudario cedió, la moneda depositada sobre él fue a apoyarse directamente sobre el relleno descrito que ya se había sedimentado. Seguramente este ejemplo, es válido también para las demás monedas 3, 4, 5, 7 (Figura 5.80) y 8. Es decir, probablemente todas ellas estaban sobre el sudario o vestimenta que cubría el cuerpo. No obstante, este hecho solo es comprobable en el caso de la moneda nº 6, y como veremos en la nº 7, al no existir ningún componente esquelético por debajo de su localización.

En efecto, la moneda nº 7, está por encima de las extremidades inferiores del sujeto, pero no está en contacto con ninguno de los huesos de los pies. Sin embargo, está sobre el estrato arenoso-arcilloso formado progresivamente por la filtración y descomposición de las sustancias orgánicas, y por encima de dos piedras que parecen haber caído de la cubierta. Por lo tanto, la moneda nº 7 estuvo apoyada sobre

la parte del sudario que envolvía los pies, y cuando este desapareció, simplemente cayó sobre el nuevo estrato ya formado.

La disposición de las monedas (Figura 5.81) permite explicaciones diferenciadas. La interpretación de las circunstancias de las monedas nº 1 y nº 2 es, de hecho, bien diferente. La moneda nº 2 estaba por encima de un relleno de infiltración de sedimento natural de tierra arenosa-arcillosa de color amarillento y marrón claro. Este relleno había llenado la fosa y cubierto el cuerpo del individuo tras el enterramiento durante un espacio de tiempo considerable. De hecho, el cuerpo estaba ya totalmente descompuesto y esqueletizado cuando comienza a hacerse efectivo este relleno de infiltración. Como podemos observar, previamente a la formación del descrito estrato de infiltración, el cuerpo se había descompuesto en un ambiente vacío. Algunos huesos como la clavícula derecha, el esternón o la mandíbula aparecían totalmente desplazados, alejados de su posición natural y original, hecho solamente posible si el espacio se mantuvo vacío, durante la descomposición del cadáver y tiempo después de que este estuviera completamente esquelético cuando las partes blandas, los músculos, tendones y ligamentos habían desaparecido.

Una vez pasado el tiempo suficiente para que el individuo conservara solamente su estructura ósea, sumado al tiempo suficiente para que esta se cubriera progresiva y completamente por la tierra infiltrada, la moneda fue colocada en el interior de la tumba. ¿En qué momento sucedió este gesto ritual?, ¿tal vez para celebrar el aniversario de la muerte?, ¿fue una ofrenda para pedir un buen augurio?, ¿o para cumplir con la obligación de venerar la memoria de los antepasados?, ¿o fue para contentar el alma del difunto y evitar que esta volviera para vengarse o provocar infortunio? Puede haber sido cualquiera de estos motivos, pero es muy complicado saber exactamente cuál fue la verdadera razón de este gesto ritual realizado tiempo después del entierro del difunto.

Respecto a la moneda nº1, se trata de un caso similar al de la moneda nº2, con la particularidad de que esta se encontraba bajo las losas de la cubierta. La moneda estaba por encima de un relleno que se había filtrado en la tumba después de la colocación de la moneda nº2 (Figura 5.82). Entre las dos monedas, hay un sedimento infiltrado de tierra arenosa-arcillosa de color amarillento y marrón claro de unos 20 cm de potencia. Por lo tanto, entre la colocación de la moneda nº2 y la moneda nº1 transcurrió un tiempo suficiente para que se acumulará en el interior de la tumba una nueva aportación de tierra que determinará la separación física y cronológica entre el depósito de las dos monedas.

¿Quizás la moneda se depositó en el siguiente aniversario de la muerte del difunto?, ¿para cumplir con la obligación de venerar la memoria de los antepasados? Estas interpretaciones son plausibles. No obstante, el hecho de que la moneda estuviera directamente bajo la losa de la cubierta aporta una nueva posibilidad. Sabemos que las tumbas a menudo se deterioraban y era necesario su reparación y mantenimiento. No sería sorprendente que la cubierta de esta tumba, por el lugar de paso y trasiego donde se sitúa, necesitara en cierto momento una reparación de las losas de su cubierta y una remodelación que incluyera un remate con mortero de *signinum*. Es posible, que para reparar y remodelar la tumba fuera necesario abrirla y retirar las losas de la cubierta, para repararlas o poner unas nuevas. Si fue así, es evidente que el hecho de abrir una tumba o trabajar sobre ella, podía representar un hecho funesto al profanar la casa del difunto y al estorbar el descanso de su alma. Por lo tanto, podemos interpretar la colocación de la moneda nº 1 como un gesto ritual apotropaico y, por otra parte, como un indicio de la reparación y remodelación de la tumba tiempo después de su utilización (Figura 5.83).

La reconstrucción y representación de la posición original del cuerpo constituye una etapa esencial de la arqueología funeraria. Todo arqueólogo es capaz de definir la posición del cuerpo en la tumba. Sin embargo, esta posición no suele coincidir con la posición original en la que se enterró el fallecido. Para poder averiguarlo es necesario conocer el origen y motivo de la posición de las articulaciones y



Figura 5.81. Localización de las monedas (Ll. Alapont)

de los componentes anatómicos una tarea en muchos casos complicada que requiere un conocimiento anatómico avanzado y una exhumación particularmente minuciosa. Este análisis debe también tener en cuenta los procesos tafonómicos, derivados de la descomposición del cuerpo en un espacio vacío, o en el interior del sudario, en un ambiente vacío diferido, o incluso influidos por la arquitectura de la tumba y de los elementos depositados en su interior.

Una vez deducida la posición original y los procesos derivados de la tafonomía y la descomposición del cadáver podemos aplicar un modelo 3D que muestra lo que ha sucedido en el sepulcro desde el momento de la inhumación.

La moneda nº 9 estaba situada en la misma base de la tumba, no cabe duda de que esta moneda se colocó en el momento del entierro, o incluso antes de que se depositara el cuerpo del finado, cuando la tumba estaba vacía (Figura 5.84). Es muy posible que esta moneda tuviera un significado profiláctico, en el sentido de consagrar la tumba y dejarla libre de cualquier maleficio, una ofrenda para que la tumba



Figura 5.82. Localización de la moneda nº2 sobre el relleno de infiltración (M.Riera)

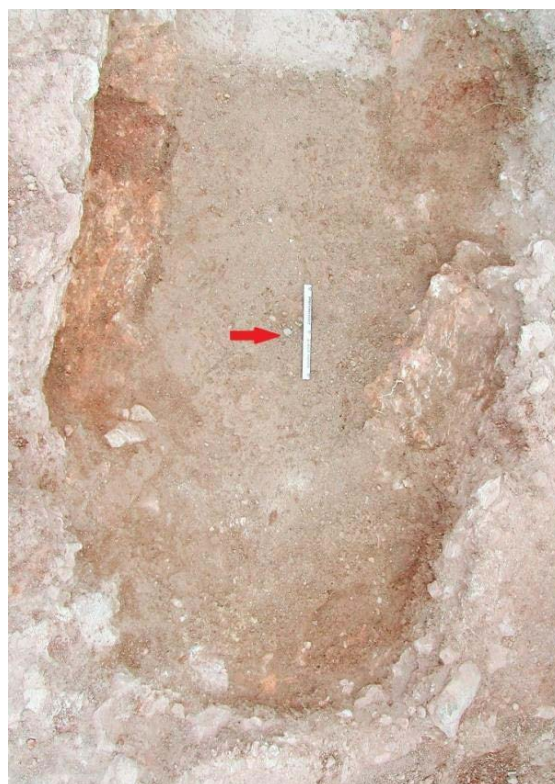


Figura 5.83. Localización de la moneda nº1 sobre el relleno de infiltración, justo debajo de las losas de la cubierta (M. Riera)

fuera impoluta. Además, sin embargo, la disposición de las monedas nos proporciona una cronología relativa de lo que sucedió en el interior del sepulcro desde el momento del entierro o incluso antes.

Las monedas 3, 4, 5, 6, 7 y 8 se colocaron sobre el difunto cuando su cuerpo aún no estaba descompuesto, ni cubierto por ningún relleno posterior de infiltración natural (Figura 5.85). Esto significa que todas ellas se depositaron al poco tiempo del soterramiento del difunto. Podemos observar cómo entre la moneda nº 9 y el resto de las monedas hay un cierto volumen de tierra acumulada, como ya se ha indicado, por la filtración, descomposición y licuación de sustancias orgánicas muelles. Esto quiere decir que existía un espacio vacío secundario entre la moneda nº 6 y la moneda nº 9. Por lo tanto, la moneda estuvo suspendida en su lugar original el tiempo suficiente para que se formara por debajo este relleno progresivo derivado de la desaparición de las partes muelles del cuerpo. La única explicación es que la moneda nº 6 estuviera sobre un sudario o mortaja. Efectivamente, la mortaja crea en su interior un espacio vacío secundario que llenará de tierra de forma diferida cuando ocurriera que la tela se pudra y desaparezca. Parece evidente que la desaparición del sudario fue más lenta y tardía que la descomposición del cuerpo y la creación del relleno consecuente.

Como se ha comentado, la interpretación de las vicisitudes de las monedas nº 1 y nº 2 es diferente. La moneda nº 2 estaba por encima de un relleno de infiltración de sedimento natural (Figura 5.86). Este relleno había llenado la fosa y cubierto el cuerpo del individuo tras el soterramiento durante un espacio de tiempo considerable. De hecho, el cuerpo estaba ya totalmente descompuesto y esquelético cuando comienza a hacerse efectivo este relleno de infiltración. Una vez pasado el tiempo suficiente para que el individuo conservara solamente su estructura ósea, sumado al tiempo suficiente para que esta se cubriera progresiva y completamente por la tierra infiltrada, la moneda fue colocada en el interior de la tumba.



Figura 5.84. Moneda nº9 del Esqueleto 2011-1 (Ll. Alapont y P. Mas)



Figura 5.85. Monedas colocadas sobre el Esqueleto 2011-1 (Ll. Alapont y P. Mas)



Figura 5.86. Moneda nº2 del Esqueleto 2011-1 (Ll. Alapont y P. Mas)



Figura 5.87. Agujero localizado sobre el cráneo del Esqueleto 2011-1 (Ll. Alapont y P. Mas)

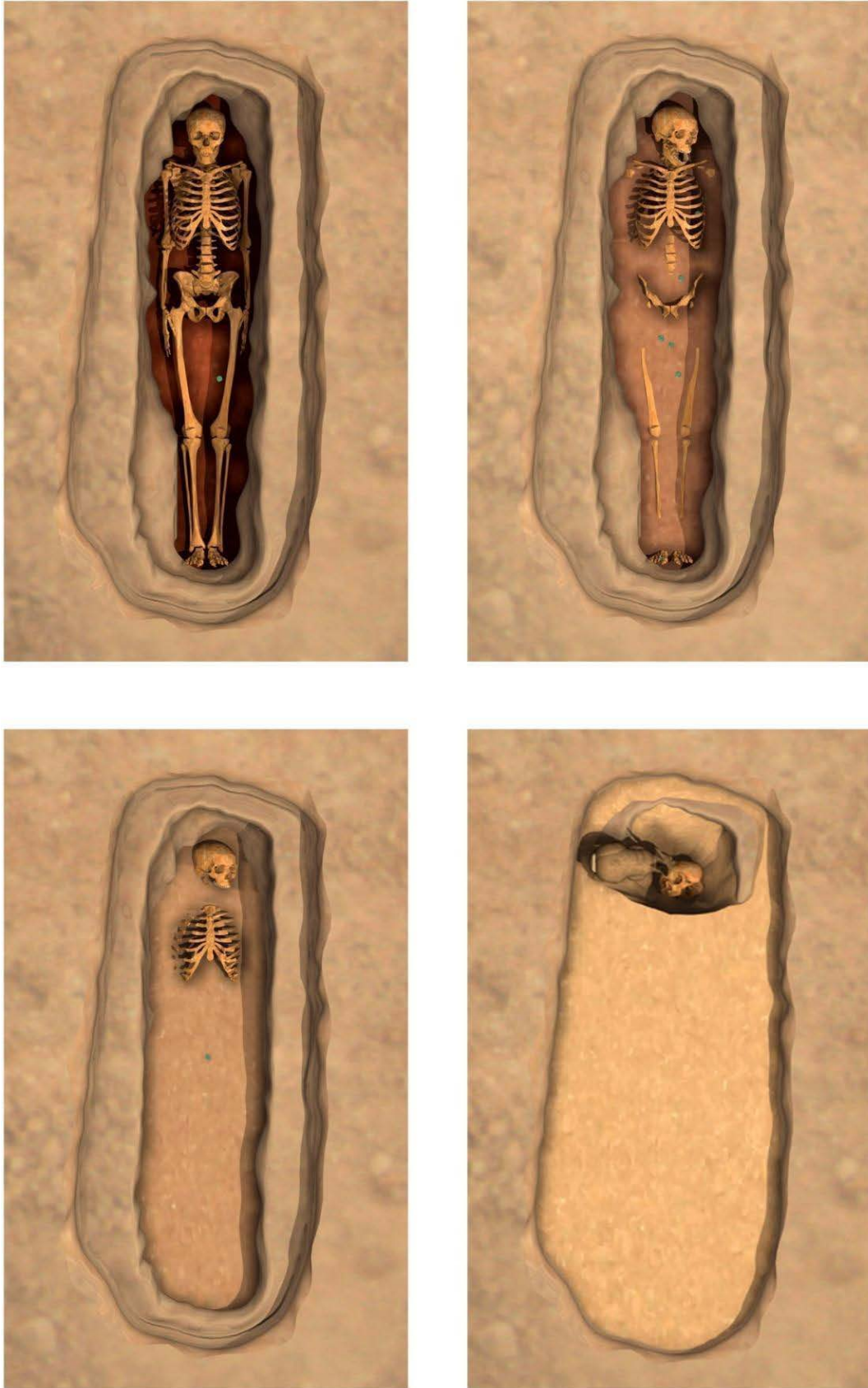


Figura 5.88. Plantas 3D de algunas de las fases detectadas en el sepulcro del Esqueleto 2011-1 (Ll. Alapont y P. Mas)

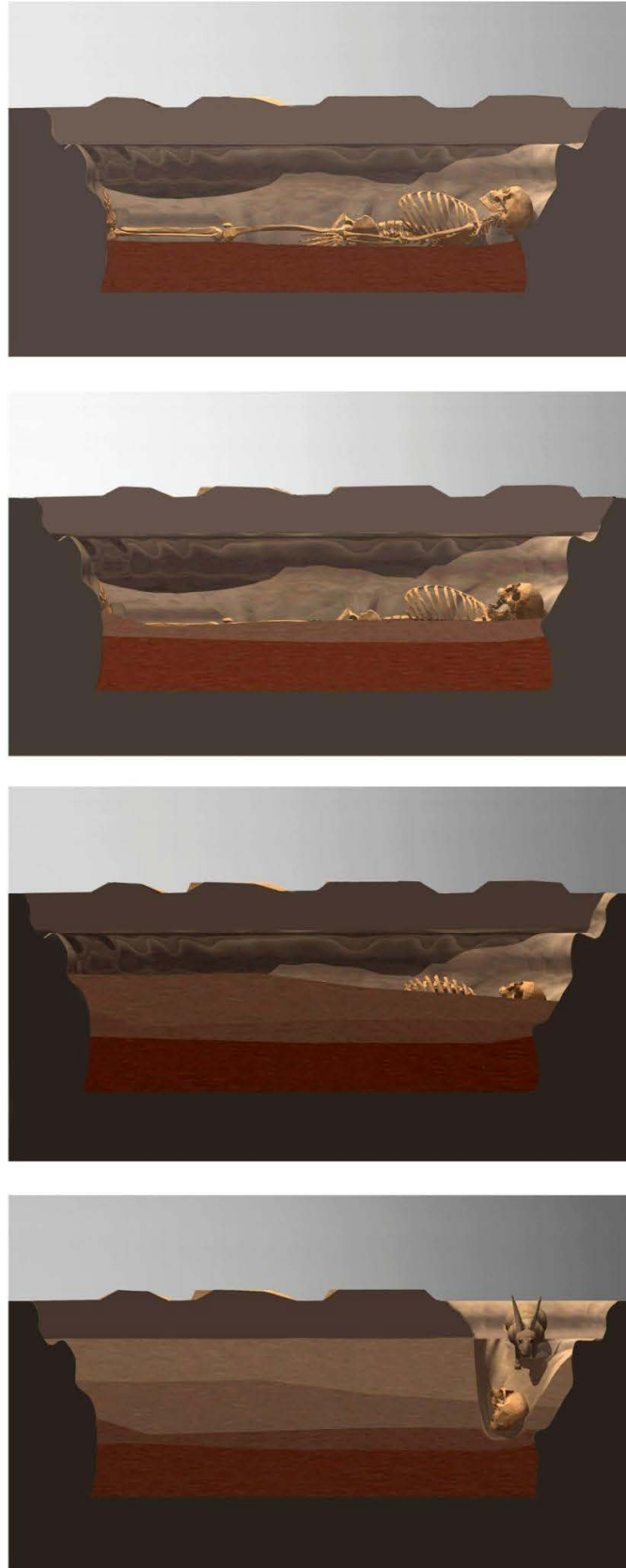


Figura 5.89. Secciones 3D de algunas de las fases detectadas en el sepulcro del Esqueleto 2011-1 (Ll. Alapont y P. Mas)

Al haber desaparecido la losa de la cubierta de la cabecera de la tumba, este hecho ha facilitado el acceso al interior de la fundición sepulcral de agentes externos. Este hecho se comprueba observando la estratigrafía alterada justo bajo el lugar que debía ocupar la losa desaparecida, una secuencia estratigráfica completamente diversa a la del resto de la tumba, motivada sobre todo por la acción de agentes animales que han aprovechado este lugar para excavar agujeros para hacer una madriguera o acceder al alimento que les podían proporcionar los huesos del esqueleto (Figura 5.87).

Todo ello permite proponer una secuencia de colmatación de la tumba y de deposición de las monedas que aporta información para entender los procesos deposicionales y posdeposicionales de este enterramiento que resultan ilustrativos de la complejidad de los procesos acaecidos en la necrópolis de Son Peretó y que pueden ser en este caso restituidos en plantas (Figura 5.88) y secciones (Figura 5.89).

Conclusiones

El estudio antropológico de los esqueletos inhumados en la zona del baptisterio de Son Peretó indica que existe un predominio de los adultos respecto a los niños, y, en principio, de los hombres respecto a las mujeres. Los individuos enterrados no muestran grandes diferencias respecto al resto de individuos sepultados en otras zonas de la necrópolis (Alapont 2012; Alapont *et al.* 2012; Alapont, Sastre y Real 2013). La mayoría son adultos de entre 25 y 35 años, solo una mujer se encuentra entre los 40 y 60, y solo un hombre supera los 60 años. Este individuo de edad senil presentaba claros signos de un estatus elevado, por su condición física y por las monedas que contenía su tumba. A este respecto, debemos tener en cuenta que probablemente, debido al expolio que sufrieron muchas de las tumbas, tenemos una infravaloración de los depósitos funerarios que acompañaban a los difuntos.

También es interesante observar el escaso número de tumbas colectivas. Tan sólo se han registrado una tumba doble y una posible tumba triple. De hecho, la poca presencia de tumbas colectivas y de reducción parece ser una característica de la necrópolis de Son Peretó. En el caso de las tumbas del baptisterio, los sepulcros individuales son claramente dominantes. La forma de sepultar a los difuntos, su aspecto y posición del cuerpo en la tumba indica un gran respeto y cuidado a la hora de preparar al difunto para la otra vida y de depositar el cuerpo en el que será su último hogar y futuro lugar de culto, honra y veneración. Previamente a ser depositado en la tumba, el cuerpo era amortajado, envuelto por un sudario atado rodeando el cuerpo, conformando de esta manera un elemento fácil de transportar y depositar en la sepultura. La deposición normalizada sugiere una significativa atención y respeto al enterrar al difunto. Las distorsiones están motivadas por fenómenos tafonómicos, la descomposición del cuerpo en espacio vacío, la arquitectura de la tumba y prácticas funerarias postsepulcrales.

La detención de los individuos analizados muestra en general la ausencia de una higiene dental. Sarro y periodontitis se detectan a menudo. Estas enfermedades dentales podrían ser debidas a la preparación y consumición de cereales como principal elemento de la dieta.

El estudio paleopatológico revela que las enfermedades metabólicas y artrósicas son las más frecuentes. Las artropatías se relacionan tanto con la edad avanzada de los individuos como con la actividad física continuada. A este respecto también resultan frecuentes las entesopatías y relacionadas con la actividad y estrés físico, aunque también hay presencia de algunas lesiones traumáticas. Respecto a las enfermedades relacionadas con la nutrición de los individuos, resulta interesante observar cómo aparecen casos como la hipoplasia o la criba orbitalia relacionadas con episodios de malnutrición o enfermedad crónica, mientras por el contrario también detectamos enfermedades como el D.I.S.H, relacionada con la obesidad y la diabetes.

Capítulo 6

Caracterización arqueométrica de morteros y revestimientos del yacimiento tardoantiguo de Son Peretó (Mallorca, islas Baleares)

Domenico Miriello¹⁵⁹, Miguel Ángel Cau Ontiveros¹⁶⁰, Alessandra Pecci¹⁶¹, Andrea Bloise¹⁵⁹,
Gino Mirocle Crisci¹⁵⁹, Mateu Riera Rullan¹⁶²

Introducción

El estudio de morteros y revoques, mezclas artificiales de aglutinante (principalmente cal), arena (u otros aditivos) y agua, puede ayudar a resolver problemas tecnológicos, arqueológicos e históricos importantes. La composición mineralógica y química del agregado y aglutinante puede producir mezclas con características tecnológicas muy diferentes que han sido utilizadas para establecer las fases de construcción en los edificios o para inferir la presencia de diferentes grupos de trabajadores que contribuyeron a su construcción. En general, es posible afirmar que las muestras con las mismas características composicionales y texturales pueden pertenecer a la misma fase constructiva y pueden haber sido producidas por la misma fuerza de trabajo (Cagnana y Mannoni 2000; Carò *et al.* 2008; Crisci *et al.* 2001, 2004; Crisci y Miriello 2006; Miriello *et al.* 2010; Moropoulou *et al.* 2003; Vendrell-Saz *et al.* 1996). El estudio de morteros y revestimientos puede proporcionar información sobre la proveniencia de las materias primas y la tecnología utilizadas en su fabricación (Alfano *et al.* 2005; Anastasiou *et al.* 2006; Barba *et al.* 2009; Barca *et al.* 2013, 2019; Crisci *et al.* 2004; Franzini *et al.* 2000; Genestar y Pons 2003; Hein *et al.* 2009; Iordanidis *et al.* 2011; Miriello *et al.* 2010a, 2010b, 2011a, 2011b; Miriello y Crisci 2006; Montoya *et al.* 2003; Moropoulou *et al.* 1995, 2000; Pecci *et al.* 2018; Regev *et al.* 2010; Riccardi *et al.* 2007; Vendrell-Saz 1996).

En este capítulo¹⁶³ se presentan los resultados de un estudio arqueométrico que tenía por objeto resolver un problema importante relacionado con la presencia de dos piscinas bautismales en el

¹⁵⁹ Università della Calabria, Dipartimento di Scienze della Terra, Via P. Bucci cubo 12B -87036 Rende (CS -Italy).

¹⁶⁰ Institució Catalana de Recerca i Estudis Avançats (ICREA), Pg. Lluís Companys 23, 08010 Barcelona, Spain; Equip de Recerca Arqueològica i Arqueomètrica de la Universitat de Barcelona (ERAAUB), Institut d'Arqueologia de la Universitat de Barcelona (IAUB); Universitat de Barcelona (UB), Facultat de Geografia i Història, Departament d'Història i Arqueologia, c/ Montalegre 6-8, 08001 Barcelona, Spain; Chercheur Associé, Aix Marseille Univ, CNRS, CCJ, Aix-en-Provence, France.

¹⁶¹ Equip de Recerca Arqueològica i Arqueomètrica, Universitat de Barcelona (ERAAUB), Institut d'Arqueologia de la Universitat de Barcelona (IAUB), Universitat de Barcelona (UB), Facultat de Geografia i Història, Departament d'Història i Arqueologia, c/ Montalegre 6-8, 08001 Barcelona (Spain).

¹⁶² Profesor asociado de la Universitat Autònoma de Barcelona, profesor de la Facultat Antoni Gaudí d'Història, Arqueologia i Arts Cristianes, investigador adscrito al Institut Català d'Arqueologia Clàssica.

¹⁶³ Parte de este trabajo se realizó en el marco del proyecto Production, trade and consumption of food in Late Antiquity, PIEF-GA-2009-235863 funded by the Marie Curie actions and of the project LRCWMED (HAR200908290/HIST) financiado por el Ministerio de Ciencia e Innovación, Subdirección General de Proyectos de Investigación, con contribución de fondos FEDER. Es también parte de las actividades del Equip de Recerca Arqueològica i Arqueomètrica de la Universitat de Barcelona (ERAAUB) (SGR2009-1173). Estamos en deuda con el Consell de

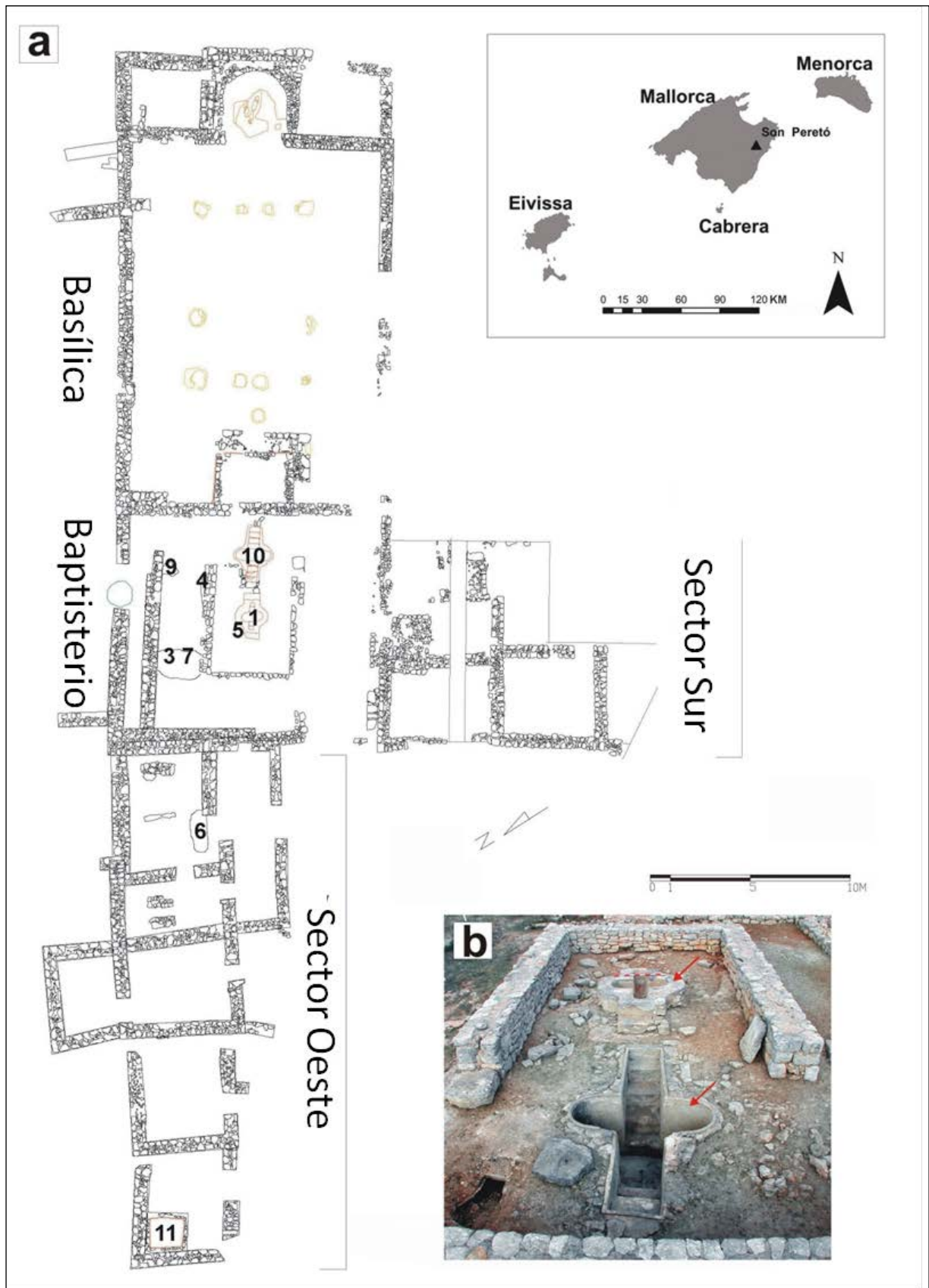


Figura 6.1. a) Localización de Son Peretó y muestreo de los revestimientos; b) Piscinas bautismales.

Sample	UE*	Descripción
SPO 001		Mortero de la piscina pequeña
SPO 003	241	Fragmento de argamasa hallado en el relleno superficial de la tumba 2008-6 del Ala Norte del baptisterio
SPO 004	323	Mortero de la cubierta de una tumba hallada bajo en muro que separa los espacios central y norte del baptisterio
SPO 005	271	Restos de mortero hallado bajo la piscina bautismal pequeña
SPO 006	34	Mortero de la cubierta de la tumba 2008-1 en la Habitación II del Sector Oeste
SPO 007	262	Fragmento de un mortero hallado en el relleno de la tumba 2008-6 del Ámbito Lateral Norte del baptisterio
SPO 009	307	Revestimiento de los restos de un suelo del Ámbito Lateral Norte del baptisterio
SPO 010		Mortero de la piscina bautismal grande
SPO 011	184-186	Mortero de un depósito productivo del Sector Oeste

TABLA 6.1. MUESTRAS ANALIZADAS DE SON PERETÓ.

*UE= Unidad estratigráfica

mismo baptisterio que podrían haber sido utilizadas simultáneamente. Como se ha visto en capítulos precedentes, una de las fuentes bautismales es de 1,10 m de profundidad y tiene una planta cruciforme formada por un brazo rectangular de este-oeste (2,95 m) y un eje más corto (1,85 m) de norte a sur con bordes redondeados. La segunda fuente bautismal es más pequeña y con una profundidad de 0,56 m con dos brazos con bordes redondeados de 1,40 m (este-oeste) y 1,05 (norte-sur). La presencia de dos piscinas bautismales en el mismo baptisterio es rara y su uso contemporáneo sería extraño, sobre todo teniendo en cuenta que ambas fuentes son muy diferentes en tamaño. El hecho de que las excavaciones antiguas no permitieran fijar una cronología relativa fiable para ambas fuentes bautismales suscitó una cierta controversia sobre su posible contemporaneidad (Alcaide 2011; Duval 1994, 1995; Godoy 1989, 1995: 161; Palol 1994). El estudio de los morteros de las dos piscinas se orientó a identificar semejanzas y diferencias entre las dos, sobre una base analítica más firme, teniendo en cuenta que el uso del mismo mortero para ambas fuentes podría haber sido una indicación de una construcción en la misma fase y probablemente de un uso contemporáneo. Además, en las excavaciones recientes, como se ha visto, se levantó la piscina pequeña permitiendo excavar por debajo de la misma donde, sorprendentemente, se recuperaron fragmentos de una piscina bautismal. Estos fragmentos podrían ser parte de la piscina más grande o parte de una piscina diferente que no conocemos. Si la caracterización arqueométrica permitía identificar estos fragmentos como parte de la piscina más grande, esto significa que la misma fue parcialmente desmantelada y que algunos fragmentos se utilizaron como relleno para la construcción de la piscina más pequeña. De confirmarse, se demostraría formalmente la preexistencia de la piscina más grande, cerrando así el debate suscitado en torno al posible uso contemporáneo de las dos piscinas bautismales conservadas en el baptisterio.

La intención de resolver dicha cuestión arqueológica es la que motivó que la mayoría de las muestras fueran tomadas de diferentes partes del baptisterio, aunque se incluyeron algunas de otras zonas como muestras comparativas (Tabla 6.1 y Figura 6.1).

Mallorca y el Ajuntament de Manacor por la financiación obtenida para el proyecto de excavaciones arqueológicas en Son Peretó. Agradecemos a M. Salas su ayuda en el muestreo y en las tareas administrativas. Una versión más extensa de este estudio fue publicada en inglés: Miriello, D., Bloise, A., Crisci, G. M., Cau Ontiveros, M. Á., Pecci, A., Riera Rullan, M. (2013). Compositional Analyses of Mortars from the Late Antique Site of Son Peretó (Mallorca, Balearic Islands, Spain): Archaeological Implications. *Archaeometry* 55(6): 1101–1121.

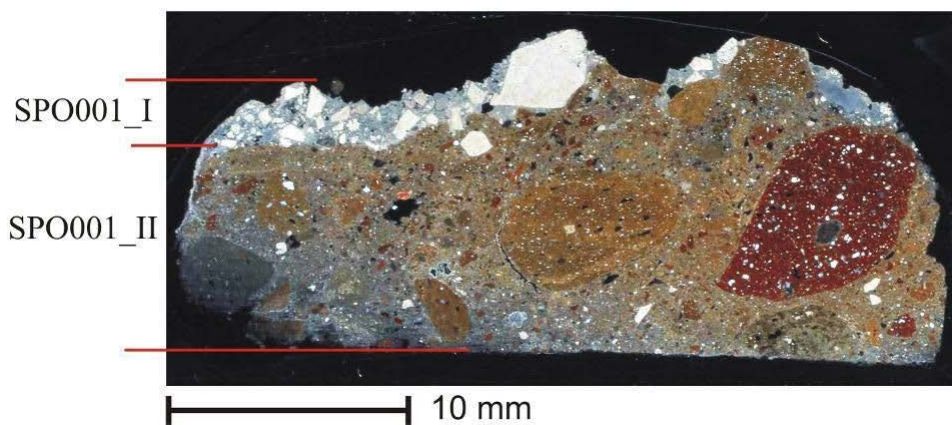


Figura 6.2. Imagen en un escáner de la muestra SPO001 (nícoles cruzados).

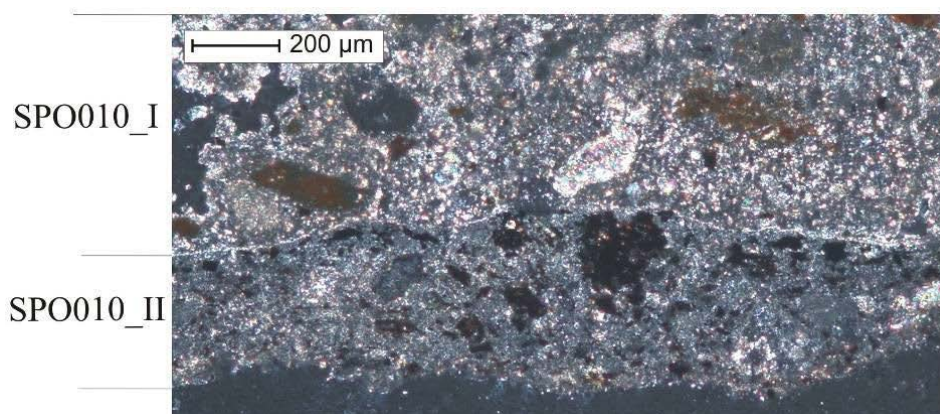


Figura 6.3. Microfotografía de la muestra SPO010 (nícoles cruzados).

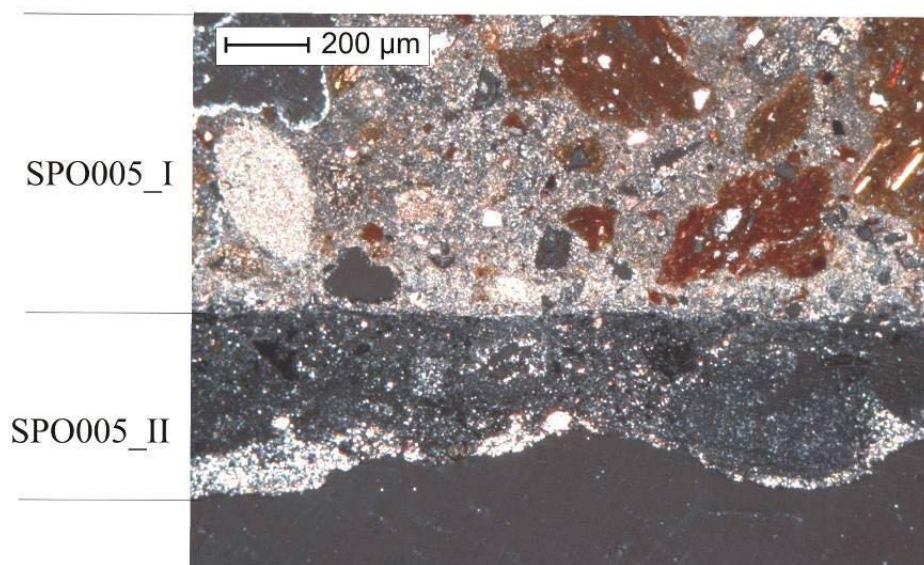


Figura 6.4. Microfotografía de la muestra SPO005 (nícoles cruzados).

El análisis de las muestras permite una primera aproximación a las técnicas de construcción y las materias primas utilizadas. Por otra parte, permite clasificar las muestras en función de su composición, lo que puede, basado en las diferencias o similitudes de las materias primas y técnicas utilizadas, permitir una mejor comprensión de la secuencia de construcción. Así, el objetivo principal fue caracterizar las muestras para identificar las materias primas y verificar si existen cambios tecnológicos en las diferentes fases constructivas, con especial atención a las muestras pertenecientes a las piscinas pequeña y grande y a los fragmentos de una posible piscina desmantelada y encontrada bajo la piscina pequeña.

Materiales y Métodos

Materiales

Las muestras (Tabla 6.1 y Figura 6.1) fueron tomadas *in situ* de los revestimientos de las piscinas bautismales, suelos y cubiertas de algunas tumbas, o como fragmentos contenidos en los rellenos de tumbas o de otros sedimentos. Para el estudio se seleccionaron nueve muestras de diferentes partes del baptisterio (Tabla 6.1 y Figura 6.1b). La muestra 01 proviene de la llamada “piscina bautismal pequeña” (Figura 6.1c). En lámina delgada, la muestra presenta dos capas: la capa más delgada e interna fue denominada 01_I (Figura 6.2), mientras que la capa más gruesa y externa se etiquetó como 01_II (Figura 6.2).

La muestra 10 proviene de la pared de la llamada “piscina bautismal grande”. Tiene dos capas: la 10_I, interior y más fina, y la 10_II, capa externa más gruesa (Figura 6.3). La muestra 05 es un fragmento de *opus signinum* (cerámica triturada mezclada con cal) que se recuperó bajo la piscina pequeña. La muestra 05 presenta dos capas, la capa externa (05_II) (Figura 6.4) y una capa interna que numeramos como 05_I (Figura 6.4). Este mortero podría pertenecer a la piscina mayor (muestra 10) parcialmente desmantelada, o a una piscina más antigua, destruida para construir una más pequeña (muestra 01). El análisis de este conjunto de muestras se llevó a cabo con el fin de resolver la cuestión de la posible contemporaneidad de las piscinas bautismales.

La muestra 03 fue tomada del relleno superficial del entierro 2008-6, que fue encontrado en espacio norte del baptisterio. La muestra 07 proviene de un relleno inferior de la misma tumba. Ambas muestras tienen una sola capa. La muestra 04 fue recuperada del mortero de la cubierta de una tumba encontrada debajo de la pared que divide los ámbitos central y norte del baptisterio, mientras que la muestra 09 fue tomada de un pavimento del ámbito norte. Las dos muestras tienen una sola capa. Junto con estas dos muestras, la muestra 06 proviene de la cubierta enlucida de la tumba 2008-1, en el Sector Oeste Habitación II, porque proporciona un buen *terminus post quem* de alrededor del 500 d. C. debido a la presencia de African Red Slip Ware forma Hayes 99. Una segunda muestra (muestra 11) comparativa fue seleccionada del enlucido de un depósito hallado en la Habitación VII del Sector Oeste (Figura 6.1) que presentaba un mortero hidráulico. Este depósito tiene las características de una cubeta de producción y se utilizó para producir y/o almacenar vino y aceite (Pecci *et al.* 2013).

Métodos

Todas las muestras fueron estudiadas mediante microscopía óptica en lámina delgada utilizando un microscopio petrográfico Zeiss (Tabla 6.2) que trabaja entre 25 y 400 aumentos, y se tomaron microfotografías utilizando una cámara Zeiss AxioCam Mrc con un sensor CCD de 2/3”. La composición química de los elementos mayores, menores y trazas (SiO_2 , TiO_2 , Al_2O_3 , Fe_2O_3 , MnO , MgO , CaO , Na_2O , K_2O , P_2O_5 , Ni , Cr , V , La , Ce , Co , Ba , Nb , Y , Sr , Zr , Rb) se obtuvo mediante fluorescencia de rayos X (XRF) utilizando 6 g de polvo prensado sobre un lecho de ácido bórico (máxima presión de trabajo = 25 bar).

EXCAVACIONES EN EL BAPTISTERIO DEL CONJUNTO ECLESIASTICO DE SON PERETÓ

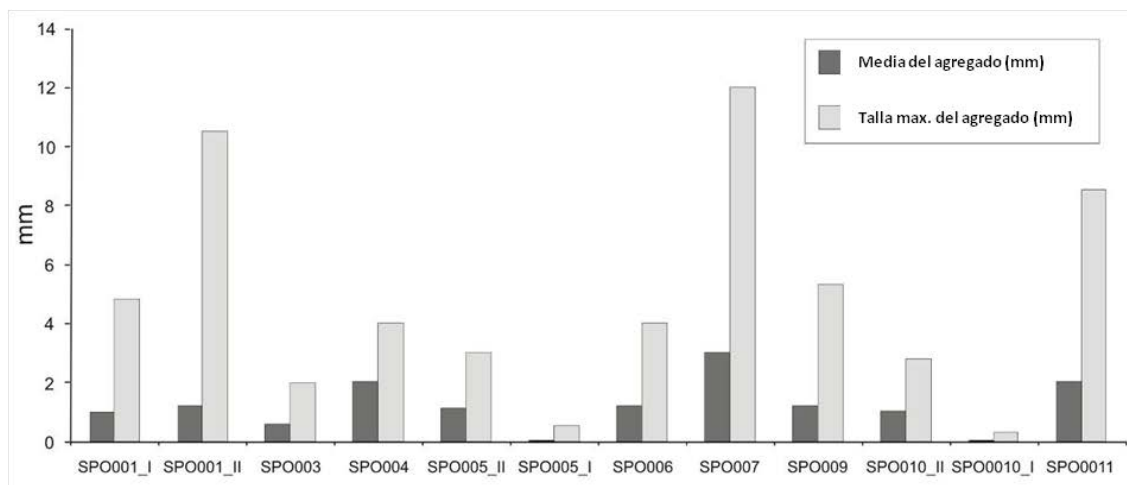


Figura 6.5. Tamaño medio y máximo de los agregados en los morteros

	mediante microscopía óptica de polarización		Estimación visual semicuantitativa mediante microscopía óptica (Ricci y Lucchi 1980; Myron y Best 2003)			mediante microscopía óptica de polarización				
	Tamaño medio del agregado (mm)	Tamaño máximo del agregado (mm)	% Agregado (size>1/16 mm)	% Aglutinante (size<1/16 mm)	% Macroporosidad (size>1/16 mm)	Fases minerales del agregado	Cerámica triturada	Fragmentos de roca (con confirmación por SEM-EDS)	Sorting según Jerram <i>et al.</i> 1996	Otros
SPO001_I	0.95	4.80	20	78	2	Dol, Ms, Or	no	rocas dolomíticas	M.W.S	-
SPO001_II	1.20	10.50	35	60	5	Qtz, Pl, Dol, Ms, Cal, Bt, Om, Di	sí	rocas dolomíticas, calizas (trazas)	P.S.	-
SPO003	0.57	1.97	1	96	3	Cal, Qtz, Ms	no	Chert y argilitas (trazas)	W.S.	-
SPO004	2.00	4.00	40	55	5	Dol, Qtz	no	rocas dolomíticas	W.S.	-
SPO005_I	1.12	3.00	25	73	3	Qtz, Pl, Dol, Ms, Bt, Om, Di	sí	rocas dolomíticas	W.S.	carbón (trazas)
SPO005_II	0.035 (solo carbón)	0.5 (solo carbón)	7	92	2	Dol (trazas)	no	rocas dolomíticas (trazas)	M.S.	-
SPO006	1.21	4.00	40	59	2	Dol, Qtz	no	rocas dolomíticas y trazas de argilitas	W.S.	-
SPO007	3.00	12.00	30	68	3	Qtz, Ms, Cal, Pl, Dol, Om	sí	rocas dolomíticas (trazas)	M.S.	-
SPO009	1.20	5.30	38	60	2	Dol, Qtz	no	rocas dolomíticas y trazas de argilitas	W.S.	-
SPO010_I	1.00	2.80	25	72	4	Qtz, Pl, Ms, Bt, Dol, Om	sí	rocas dolomíticas	W.S.	-
SPO010_II	0.038 (solo carbón)	0.3 (solo carbón)	10	89	2	Dol (trazas)	no	rocas dolomíticas (trazas)	M.S.	-
SPO011	2.00	8.50	23	75	2	Dol, Cal, Qtz	sí (trazas)	rocas dolomíticas, calizas (trazas)	P.S.	bioclastos (trazas)

TABLA 6.2. CARACTERÍSTICAS PETROGRÁFICAS A PARTIR DE LAS LÁMINAS DELGADAS.

Bt: biotita, Cal: calcita, Di: dióxido, Dol: dolomita, Ms: moscovita, Om: minerales opacos, Or: ortoclasa, Pl: plagioclasa, Qtz: cuarzo, M.S: moderately sorted, M.W.S: moderately well sorted; P.S: poorly sorted; W.S: well sorted

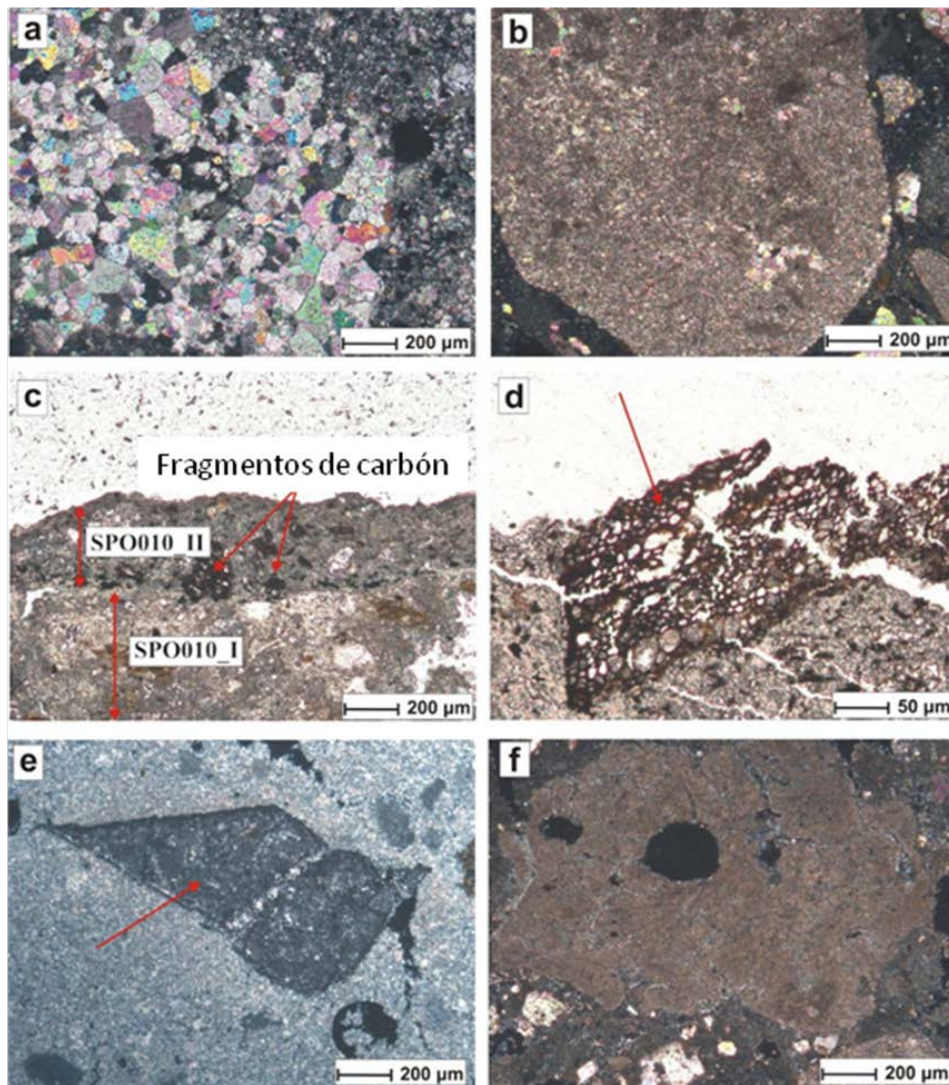


Figura 6.6. Microfotografías del agregado del mortero: a) Roca dolomítica microcristalina en la muestra SPO004; b) Fragmento de roca dolomítica criptocristalina en la muestra SPO006; c) Muestra SP010; d) Fragmento de carbón en la muestra SPO005_II; e) Fragmento de chert en la muestra SPO003; f) Grumo en la muestra SPO006.

% wt	SiO ₂	TiO ₂	Al ₂ O ₃	Fe ₂ O ₃	MnO	MgO	CaO	Na ₂ O	K ₂ O	P ₂ O ₅	L.O.I.	Sum
SPO001_II	39.46	0.60	9.89	3.20	0.05	4.21	19.66	0.32	1.84	0.24	20.54	100.00
SPO003	9.77	0.13	1.56	0.55	0.02	2.06	56.43	n.d.	0.31	0.21	28.95	100.00
SPO004	1.89	0.05	0.72	0.29	0.01	15.24	37.41	n.d.	0.16	0.03	44.21	100.00
SPO005_I	33.29	0.54	7.37	2.65	0.04	2.06	29.80	0.26	1.30	0.27	22.41	100.00
SPO006	6.04	0.10	1.42	0.44	0.02	8.00	41.57	n.d.	0.32	0.13	41.96	100.00
SPO007	43.62	0.69	12.68	4.44	0.08	3.72	15.93	0.42	2.50	0.21	15.73	100.00
SPO009	4.08	0.07	0.86	0.27	0.02	11.08	40.25	n.d.	0.19	0.06	43.13	100.00
SPO010_I	33.87	0.51	6.96	2.52	0.05	1.90	29.37	0.25	1.52	0.28	22.78	100.00
SPO011	12.79	0.19	3.06	0.90	0.03	5.47	38.48	0.11	0.64	0.14	38.19	100.00

TABLA 6.3. COMPOSICIÓN QUÍMICA DE LOS PRINCIPALES ELEMENTOS DE LOS REVESTIMIENTOS POR ANÁLISIS XRF (L.O.I.: pérdida al fuego; n.d.: no detectado)

Los elementos químicos fueron analizados mediante un espectrómetro de fluorescencia de rayos X Bruker S8 Tiger WD con tubo de rodio con intensidad de 4 kW. Los resultados analíticos se presentan en las Tablas 6.3 y 6.4.

Se obtuvo una estimación semicuantitativa de la relación agregado/aglutinante y de la macroporosidad (Tabla 6.2) comparando las secciones delgadas observadas por microscopía óptica con gráficos para la estimación visual de las proporciones modales de minerales en rocas (Myron y Best 2003; Ricci y Lucchi 1980). El aglutinante (tamaño <math>< 1/16\text{ mm}</math>), los grumos y los fragmentos de roca carbonática de los morteros también se analizaron en secciones delgadas pulidas para determinar la composición química mediante microscopía electrónica de barrido con microanálisis de espectroscopía de energía dispersiva de rayos X (SEM-EDS) con un instrumento FEI Quanta 200 equipado con un detector EDAX Si con Li (Tablas 6.5 y 6.6).

La composición mineralógica semicuantitativa (Tabla 6.7) fue determinada con un difractómetro Bruker D8 Advance X-ray powder diffractometer (XRPD) utilizando la radiación $\text{Cu-K}\alpha$, operando a 40 kV y 20 mA. Los datos fueron recopilados entre 3 y $60^\circ 2\theta$ en pasos de $0.02^\circ 2\theta$ (tiempo de paso de 0.4 segundos). La identificación de las principales fases cristalinas se realizó con el software EVA (DIFFRACplus EVA) comparando los picos experimentales con los patrones de referencia PDF2.

ppm	Ni	Cr	V	La	Ce	Co	Ba	Nb	Y	Sr	Zr	Rb
SPO001_II	25	54	86	11	44	5	403	12	33	404	141	76
SPO003	9	n.d.	27	n.d.	7	n.d.	36	6	19	471	25	13
SPO004	4	n.d.	17	n.d.	8	n.d.	19	5	8	221	24	12
SPO005_I	19	32	72	4	36	4	210	10	34	520	125	52
SPO006	6	n.d.	28	n.d.	14	n.d.	29	5	14	260	37	17
SPO007	27	78	111	10	61	11	548	12	34	381	141	92
SPO009	6	n.d.	17	n.d.	10	n.d.	n.d.	5	10	365	31	12
SPO010_I	17	29	75	n.d.	39	3	179	11	33	472	122	56
SPO011	12	n.d.	42	n.d.	13	n.d.	114	7	19	333	48	32

TABLA 6.4. COMPOSICIÓN QUÍMICA DE ELEMENTOS MENORES DE LOS REVESTIMIENTOS POR ANÁLISIS XRF (n.d.: no detectado).

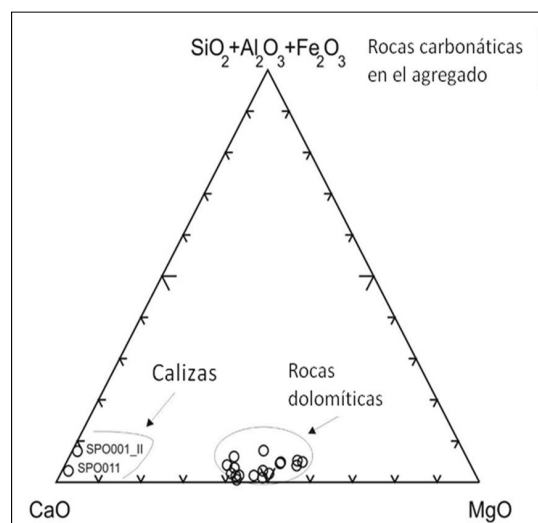


Figura 6.7. Composición de las rocas carbonáticas en el mortero a partir de los resultados del análisis por SEM-EDS.

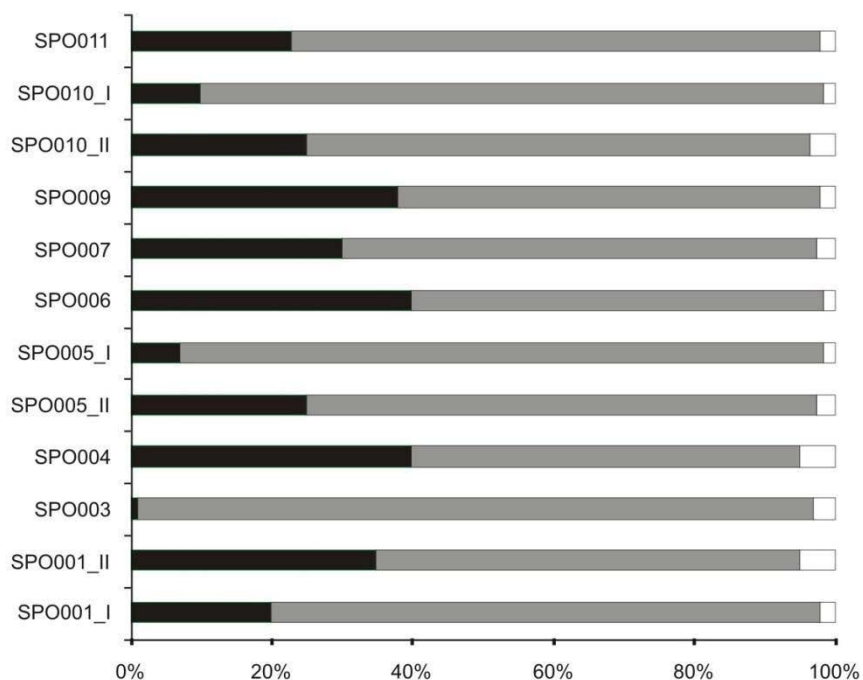


Figura 6.8. Estimación semicuantitativa del contenido modal del agregado (negro), aglutinante (gris) y macroporosidad (blanco) en los morteros

En las muestras con capas múltiples los análisis de XRF y XRPD se realizaron solo en las capas más gruesas (muestras 01_II, 05_II y 10_II).

Resultados y discusión

Análisis petrográfico y composición mineralógica de los morteros

Las capas analizadas de los morteros objeto de estudio se pueden dividir en dos grupos principales: las que no presentan cerámica triturada (muestras 01_I, 03, 04, 05_I, 06, 09, 10_I), y las que incluyen cerámica triturada en su composición (muestras 01_II, 05_II, 07, 10_II, 11).

El tamaño medio de los agregados varía de 0,035 mm en la muestra 05_II a 3 mm en la muestra 07 (Tabla 6.2 y Figura 6.5). Su tamaño máximo es a veces superior a un centímetro, como en las muestras 01_II y 07 (Figura 6.5). La mayoría de las capas sin cerámica triturada (muestras 01_I, 04, 06, 09) presentan un agregado de calizas dolomíticas microcristalinas (Figura 6.6a) (Gregg y Sibley 1984; Sibley y Gregg 1987). Con frecuencia, las calizas dolomíticas pueden presentar una textura criptocristalina (Figura 6.6b). Ocasionalmente, en muestras sin cerámica triturada, es posible identificar la presencia de cuarzo monocristalino, ortoclasa y moscovita.

En las muestras 01_II y 11 se encontraron rastros de roca caliza, mientras que solo se encontraron restos de argilitas en las muestras 03, 06 y 09. La composición dolomítica de los fragmentos de roca fue confirmada mediante el microanálisis SEM-EDS (Figura 6.7). En la Figura 6.7, podemos observar que la mayoría de las rocas tienen una composición rica en magnesio, excepto dos fragmentos en las muestras 01_II y 11, clasificados como caliza. En las capas con agregados compuestos principalmente por cerámica triturada, así como dolomita, moscovita y cuarzo, también es posible observar la presencia de diópsido, biotita, plagioclasa y minerales opacos (Tabla 6.2 y 6.7).

Entre las capas sin cerámica triturada, las muestras 05_I y 10_I son particulares. Representan la capa más delgada de los morteros 05 y 10, respectivamente. Estas capas tienen un agregado compuesto principalmente de fragmentos de carbón vegetal (Figura 6.6c y 6.6d), con trazas de rocas carbonatadas. La muestra 03 también es interesante ya que está constituida aproximadamente por un 96% de aglutinante (Figura 6.8). Es la única en la que no se detectó la presencia de dolomita, mientras que se identificaron rastros de cuarzo, moscovita, mullita (Tabla 6.7) y fragmentos de chert (Figura 6.6e). En las capas 01_II y 07, el tamaño medio de los fragmentos cerámicos es mayor que en las capas 05_II y 10_II (Figura 6.5 y Tabla 6.2). Estas capas también tienen diferentes proporciones de agregado/aglutinante (Figura 6.8 y Tabla 6.2). En la muestra 11, se encontraron restos de cerámica triturada y roca caliza. El agregado se compone principalmente de rocas microcristalinas y criptocristalinas dolomíticas. Por lo tanto, los minerales encontrados son dolomita, calcita y cuarzo (Tablas 6.2 y 6.7).

Composición del aglutinante

El estudio del aglutinante se realizó mediante la comparación de su composición química con la de los grumos aparecidos en el interior del mismo mortero. De hecho, la composición de estos grumos es la misma que la de la roca caliza utilizada para producir la cal (Barba *et al.* 2009; Bakolas *et al.* 1995). Entre las muestras analizadas en este trabajo, solo se encontraron grumos en las capas 01_I, 03, 04, 05_II, 06

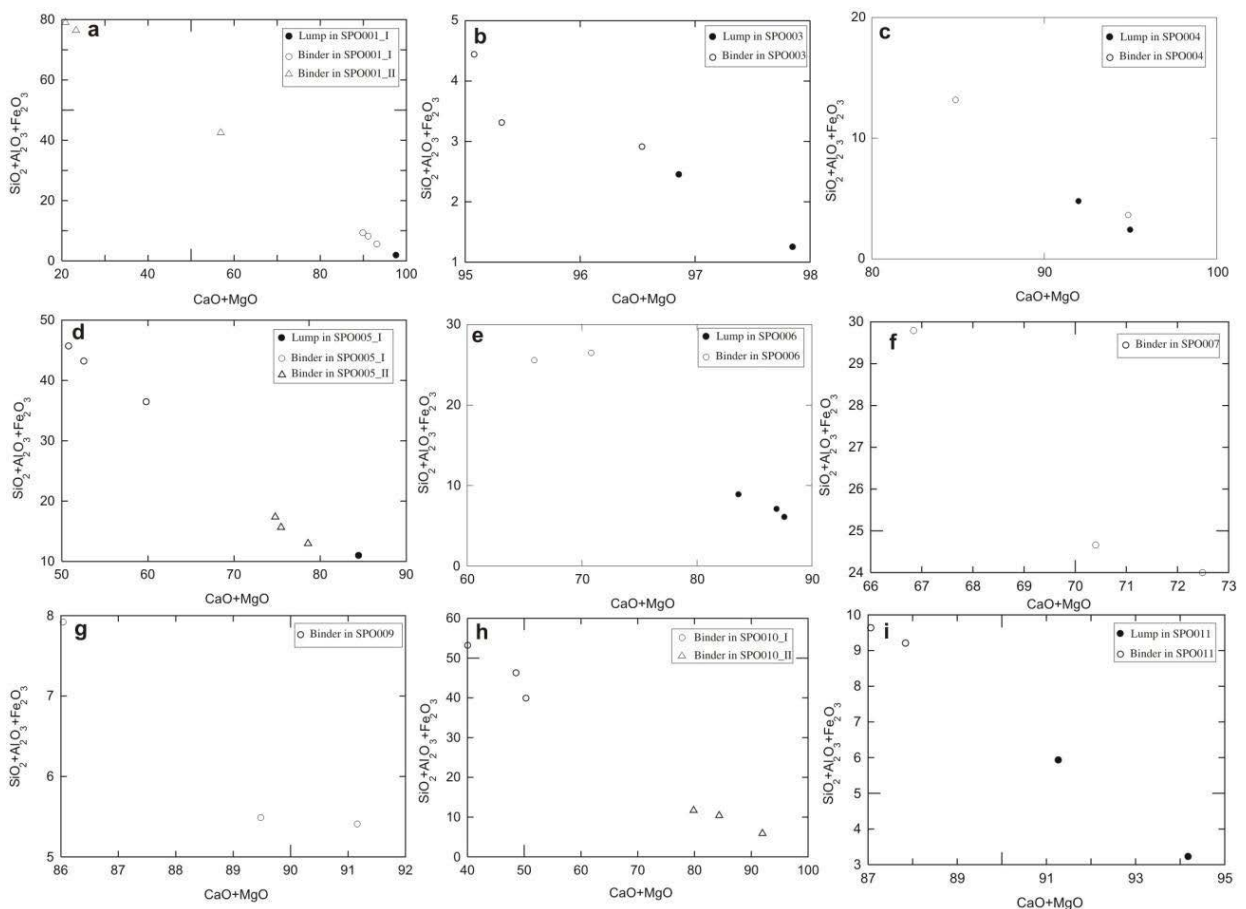


Figura 6.9 Diagramas $\text{SiO}_2 + \text{Al}_2\text{O}_3 + \text{Fe}_2\text{O}_3$ vs $\text{CaO} + \text{MgO}$ del aglutinante (símbolo blanco e identificado como binder) y grumos (símbolo negro e identificados como lump) analizados en los morteros mediante SEM-EDS. a) Muestras SPO001_I y SPO001_II; b) Muestra SPO003; c) Muestra SPO004; d) Muestras SPO005_I y SPO005_II; e) Muestra SPO006; f) Muestra SPO007; g) Muestra SPO009; h) Muestras SPO010_I y SPO010_II; i) Muestra SPO011.

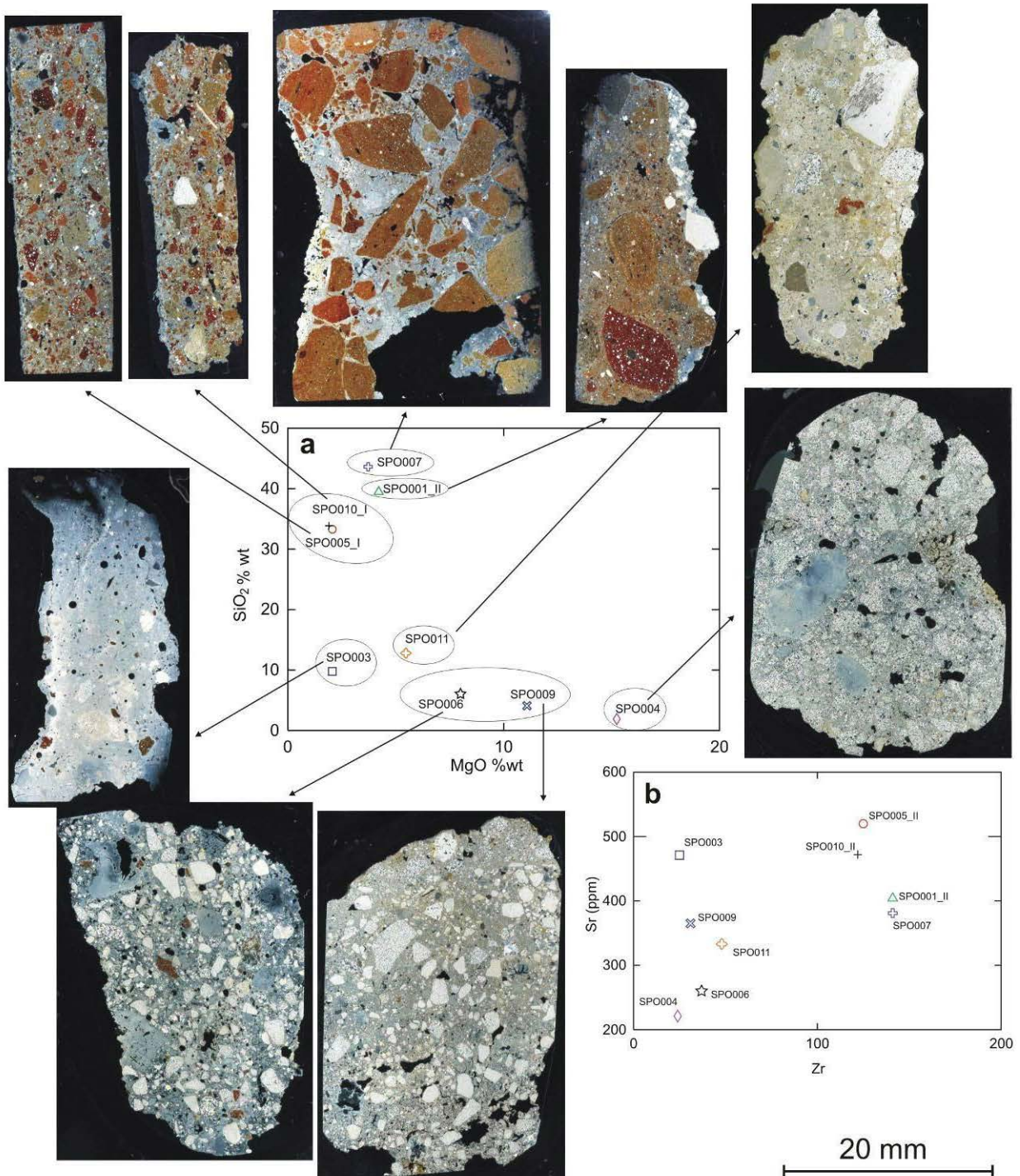


Figura 6.10. a) Gráfico bivalente MgO vs CaO e imágenes de las argamasas en luz polarizada. La elipse engloba las muestras que tienen la misma composición química y petrográfica. b) Gráfico bivalente Zr vs Sr.

EXCAVACIONES EN EL BAPTISTERIO DEL CONJUNTO ECLESIASTICO DE SON PERETÓ

% wt	SiO ₂	TiO ₂	Al ₂ O ₃	Fe ₂ O ₃	MnO	MgO	CaO	Na ₂ O	K ₂ O	P ₂ O ₅	Sum
SPO001_I_B1	3.67	n.d.	1.92	n.d.	n.d.	4.73	88.40	0.54	n.d.	0.75	100.00
SPO001_I_B2	6.25	n.d.	1.99	n.d.	n.d.	3.33	87.76	0.28	n.d.	0.38	100.00
SPO001_I_B3	6.54	n.d.	2.80	n.d.	n.d.	5.05	84.83	0.34	n.d.	0.44	100.00
SPO001_II_B1	45.13	0.30	15.78	15.50	n.d.	5.37	17.92	n.d.	n.d.	n.d.	100.00
SPO001_II_B2	58.05	n.d.	17.53	3.48	n.d.	4.92	15.93	0.08	n.d.	n.d.	100.00
SPO001_II_B3	33.39	n.d.	8.10	1.05	n.d.	2.16	54.72	0.57	n.d.	n.d.	100.00
SPO001_I_L1	1.28	n.d.	0.67	n.d.	n.d.	1.58	95.99	n.d.	n.d.	0.49	100.00
SPO003_B1	2.19	n.d.	0.72	n.d.	n.d.	3.20	93.34	0.54	n.d.	n.d.	100.00
SPO003_B2	2.32	n.d.	0.99	n.d.	n.d.	2.57	92.75	0.71	n.d.	0.66	100.00
SPO003_B3	3.76	n.d.	0.68	n.d.	n.d.	2.92	92.16	0.49	n.d.	n.d.	100.00
SPO003_L1	0.82	n.d.	0.43	n.d.	n.d.	2.83	95.02	0.64	n.d.	0.26	100.00
SPO003_L3	1.50	n.d.	0.95	n.d.	n.d.	3.33	93.53	0.23	n.d.	0.46	100.00
SPO004_B1	2.33	n.d.	1.29	n.d.	n.d.	6.05	88.83	0.69	n.d.	0.81	100.00
SPO004_B3	6.30	0.50	4.15	2.71	0.19	8.53	76.34	0.27	n.d.	1.02	100.00
SPO004_L1	1.21	n.d.	1.20	n.d.	n.d.	1.51	93.48	1.68	n.d.	0.92	100.00
SPO004_L2	2.39	n.d.	1.82	0.57	n.d.	1.48	90.52	2.75	n.d.	0.48	100.00
SPO005_I_B1	31.93	0.25	9.67	1.62	0.42	2.99	49.56	1.81	0.37	1.38	100.00
SPO005_I_B2	25.32	0.31	10.44	0.72	0.14	3.99	55.80	1.97	0.19	1.11	100.00
SPO005_I_B3	34.18	0.21	10.57	0.97	0.20	4.01	46.77	1.84	0.97	0.27	100.00
SPO005_I_L1	7.33	n.d.	3.03	0.65	n.d.	2.72	81.73	2.60	0.63	1.31	100.00
SPO005_II_B1	11.38	1.12	4.27	1.71	0.26	5.95	68.83	4.19	0.31	1.98	100.00
SPO005_II_B2	7.62	0.54	4.49	0.84	n.d.	5.01	73.58	4.90	0.84	2.18	100.00
SPO005_II_B3	8.92	0.83	4.13	2.59	0.80	4.23	71.23	4.11	0.54	2.63	100.00
SPO006_B1	15.73	0.80	8.32	1.50	0.86	6.84	59.03	3.39	0.83	2.69	100.00
SPO006_B3	16.57	n.d.	7.41	2.46	n.d.	8.00	62.81	1.47	0.41	0.87	100.00
SPO006_L1	4.04	0.66	2.47	0.56	0.32	3.77	83.17	2.55	0.57	1.89	100.00
SPO006_L2	3.27	n.d.	2.81	n.d.	0.00	4.94	82.68	4.22	n.d.	2.08	100.00
SPO006_L3	4.33	0.67	3.46	1.09	0.65	4.50	79.12	3.89	0.43	1.86	100.00
SPO007_B1	16.47	n.d.	6.85	1.34	0.28	7.49	62.91	2.28	0.54	1.85	100.00
SPO007_B2	16.49	0.45	6.05	1.46	0.41	6.60	65.89	1.10	0.54	1.01	100.00
SPO007_B3	19.67	n.d.	6.36	3.76	n.d.	12.06	54.78	1.46	0.66	1.24	100.00
SPO009_B1	3.23	0.83	3.31	1.38	1.01	3.57	82.47	3.39	n.d.	0.80	100.00
SPO009_B2	2.09	0.30	2.37	0.95	0.32	2.23	88.93	1.90	0.29	0.62	100.00
SPO009_B3	2.82	n.d.	2.22	0.45	n.d.	3.18	86.30	3.06	0.50	1.47	100.00
SPO010_I_B1	41.04	0.79	10.63	1.56	0.56	4.39	35.65	2.74	1.09	1.55	100.00
SPO010_I_B2	36.96	0.34	8.49	0.86	0.39	2.38	46.18	1.78	1.32	1.29	100.00
SPO010_I_B3	28.53	1.48	9.46	1.95	1.22	5.50	44.81	3.86	1.38	1.81	100.00
SPO010_II_B1	4.04	0.40	0.93	0.91	0.25	1.24	90.73	n.d.	0.35	1.16	100.00
SPO010_II_B2	6.89	0.46	3.88	0.89	0.33	6.73	73.12	4.92	0.40	2.38	100.00
SPO010_II_B3	6.48	0.53	2.65	1.25	0.76	3.79	80.55	2.85	n.d.	1.14	100.00
SPO011_B1	6.35	0.29	2.33	0.96	0.22	1.64	85.42	1.29	0.44	1.05	100.00
SPO011_B2	5.59	0.30	2.39	1.23	0.24	1.61	86.23	1.10	0.42	0.88	100.00
SPO011_L1	1.79	0.00	1.00	0.44	0.24	1.27	92.91	0.95	0.32	1.08	100.00
SPO011_L2	4.04	0.24	1.56	0.34	0.00	1.40	89.86	0.62	0.38	1.57	100.00

TABLA 6.5. RESULTADOS DEL MICROANÁLISIS POR SEM-EDS DEL AGLUTINANTE (B) Y LOS GRUMOS (L) EN MORTEROS PLASTERS (n.d.: no detectado)

(Figura 6f) y 11. En las muestras restantes solo fue posible analizar la composición del aglutinante. Los resultados de los análisis se resumen en la Tabla 6.5.

La Figura 6.9 muestra que todas las muestras con cerámica tienen un contenido de $\text{SiO}_2 + \text{Al}_2\text{O}_3 + \text{Fe}_2\text{O}_3$ en el aglutinante que varía del 24.66 %, en la muestra 07 al 79.06% en la muestra 01_II. Esto es debido al uso inicial de hidróxido de calcio que, mezclado con las cerámicas, ha sufrido un incremento del contenido de SiO_2 , Al_2O_3 y Fe_2O_3 por la probable formación de fases de C-S-H de baja cristalinidad (Taylor 1997; Hodgkinson y Hughes 1999; Qing *et al.* 2006). Solo en la muestra 11 el contenido de $\text{SiO}_2 + \text{Al}_2\text{O}_3 + \text{Fe}_2\text{O}_3$ es relativamente bajo (aproximadamente 9.64%), porque en esta muestra en particular el contenido de fragmentos cerámicos determinado mediante el estudio petrográfico es inferior al 1%. La muestra 05_II es el único mortero con cerámica en el que fue posible identificar y analizar un grumo. En la Figura 6.9, es posible observar cómo este grumo conservó su composición original tal y como demuestra el alto contenido en $\text{CaO} + \text{MgO}$ y el bajo contenido de $\text{SiO}_2 + \text{Al}_2\text{O}_3 + \text{Fe}_2\text{O}_3$.

Otro detalle interesante, sintetizado en la Tabla 6.5 y en la Figura 6.9, es que las composiciones de los grumos y del aglutinante son compatibles con una roca caliza con un contenido en CaO superior al 80 % aproximadamente. Teóricamente, el alto contenido de CaO en los grumos no excluye el uso de una caliza magnésiana en el proceso de preparación de la cal. De hecho, Chever *et al.* (2010) muestran que la calcinación de caliza dolomítica o dolomita ocurre entre 510 y 750 °C, a una temperatura considerablemente más baja de la necesaria para descomponer una caliza rica en calcio (900 °C aproximadamente). En consecuencia, cuando la calcita está bien calcinada, la dolomita tiende a estar sobrecalcinada. Además, en morteros ricos en magnesio, podemos encontrar grumos de cal rica en calcio que corresponden a rocas carbonáticas que no se han calcinado completamente. No obstante, descartamos la explicación propuesta por Chever *et al.* (2010) porque los grumos analizados en este trabajo tienen forma, morfología y microtexturas compatibles con grumos formados durante el proceso de apagado de la cal viva (Figura 6.6). En consecuencia, no son fragmentos de roca caliza que no han sido completamente calcinados durante el proceso de calcinación. Además, la hipótesis del uso de una caliza con un contenido superior al 80 % de CaO en el proceso de producción de la cal se sustenta en el hecho de que no solo los grumos son pobres en magnesio sino también el aglutinante.

Semejanzas químicas y petrográficas entre las muestras

La combinación de todos los datos obtenidos permite observar una fuerte similitud composicional entre las muestras 10 y 05. Ambas muestras son muy similares desde un punto de vista de la composición química (Figura 6.10a y 6.10b) y pertenecen a morteros con cerámicas trituradas. Tienen además una proporción de agregado/aglutinante (Figura 6.8), así como el *sorting* (Table 6.2) y el tamaño medio de los agregados, compatibles. Los morteros 10 y 05 son también los únicos morteros multicapa que presentan una capa muy fina (muestras 10_I e 05_I) de un grosor aproximado de 200 μm en la que el agregado es fundamentalmente de carbón. Lo anterior permite sugerir que pertenecen a la misma fase constructiva o incluso a la misma piscina bautismal, resolviendo el problema de la sucesión en la construcción de las piletas (ver abajo).

Las muestras 06 y 09 son también muy similares entre sí. El agregado está compuesto principalmente por caliza dolomítica criptocristalina y microcristalina en una proporción 1:1. La muestra 06 es de un revestimiento de la cubierta de una tumba de la Habitación II del Sector Oeste, mientras que la muestra 09 proviene de un pavimento de la parte norte del Sector Baptisterio (Figura 6.1). Los datos analíticos sugieren que ambas pertenecen a la misma fase constructiva. La muestra 04 difiere de las muestras 06 y 09 en el sentido de que los fragmentos carbonáticos microcristalinos son más abundantes que los criptocristalinos, mientras que en las muestras 06 y 09 los microcristalinos son más abundantes.

EXCAVACIONES EN EL BAPTISTERIO DEL CONJUNTO ECLESIAÍSTICO DE SON PERETÓ

% wt	SiO ₂	TiO ₂	Al ₂ O ₃	Fe ₂ O ₃	MnO	MgO	CaO	Na ₂ O	K ₂ O	P ₂ O ₅	Sum
SPO001_I_R1	1.54	n.d.	0.58	n.d.	n.d.	40.07	57.35	0.32	n.d.	0.13	99.99
SPO001_I_R2	3.26	n.d.	0.90	n.d.	n.d.	38.13	57.25	0.47	n.d.	n.d.	100.01
SPO001_II_R3	5.48	n.d.	1.66	0.37	n.d.	1.24	90.66	0.20	n.d.	0.40	100.01
SPO001_II_R4	4.40	n.d.	1.60	0.18	n.d.	38.63	54.47	0.61	n.d.	0.11	100.00
SPO004_R1	1.03	n.d.	0.50	n.d.	n.d.	41.36	56.36	0.57	n.d.	0.18	100.00
SPO004_R2	0.39	n.d.	0.22	n.d.	n.d.	41.94	56.51	0.60	n.d.	0.33	99.99
SPO005_II_R1	2.46	n.d.	1.65	0.40	0.25	49.67	43.99	0.86	0.09	0.62	99.99
SPO006_R1	2.42	0.48	2.10	0.51	0.44	52.10	38.70	2.12	0.21	0.92	100.00
SPO006_R2	2.30	0.58	1.94	0.45	0.15	48.79	42.91	2.08	0.00	0.80	100.00
SPO006_R3	0.62	0.20	0.99	0.45	0.30	48.13	47.56	1.22	0.19	0.35	100.01
SPO007_R1	1.67	n.d.	1.91	0.33	n.d.	52.95	39.76	2.27	n.d.	1.11	100.00
SPO009_R1	0.43	0.38	0.53	0.62	0.21	44.90	51.39	0.81	0.12	0.60	99.99
SPO009_R2	1.04	n.d.	1.27	0.42	n.d.	46.43	48.74	1.29	n.d.	0.81	100.00
SPO009_R3	4.04	0.47	2.56	0.86	0.33	43.84	45.78	1.29	n.d.	0.84	100.01
SPO010_I_R1	0.40	0.09	0.45	0.25	0.14	47.10	49.56	1.40	0.20	0.40	99.99
SPO010_II_R1	2.00	n.d.	2.42	0.36	0.17	54.13	38.22	2.18	0.25	0.28	100.01
SPO011_R1	0.59	0.00	0.31	0.74	0.35	41.64	54.97	0.62	0.11	0.66	100.00
SPO011_R2	1.82	0.10	1.31	0.28	0.00	39.47	54.91	0.94	0.17	0.99	100.00
SPO011_R3	1.54	0.00	1.15	0.00	0.00	1.47	93.22	1.12	0.26	1.24	100.00

TABLA 6.6. RESULTADOS DEL MICROANÁLISIS MEDIANTE SEM-EDS DE FRAGMENTOS DE ROCAS CARBONATADAS CONTENIDAS EN LAS ARGAMASAS (n.d.: no detectado)

	análisis por XRPD
	max.-----min.
SPO001_II	Cal, Qtz, Dol, An, Sm, Ms
SPO003	Cal, Qtz, Mul
SPO004	Dol, Cal, Qtz
SPO005_I	Cal, Qtz, Dol, Ms, An
SPO006	Dol, Cal, Qtz
SPO007	Qtz, Cal, Ms, An
SPO009	Dol, Cal, Qtz
SPO010_I	Cal, Qtz, An, Ms, Dol
SPO011	Dol, Cal, Qtz

TABLA 6.7. COMPOSICIÓN MINERALÓGICA CUALITATIVA DE LOS REVESTIMIENTOS EN ORDEN DE DISMINUCIÓN DE LA ABUNDANCIA RELATIVA (SEGÚN LO DETECTADO POR XRPD, SEM-EDS Y MICROSCOPIA ÓPTICA)

An: anortita, Cal: calcita, Dol: dolomita, Ms: moscovita, Mul: mullita, Qtz: cuarzo, Sm: esmectita

Estos datos sugieren el uso de agregados provenientes de diferentes fuentes de aprovisionamiento. La muestra 03 procede del único mortero en el que no se ha detectado dolomita y muestra el porcentaje más alto de aglutinante (Figura 6.8). Aunque las muestras 07 y 01_II son químicamente similares (Figura 6.10a y 6.10b), se diferencian en el tamaño medio del agregado (mayor en la muestra 07) y en el *sorting* (menor en la muestra 01_II). El mortero 11 puede ser considerado diferente al resto porque es el único mortero que contiene escasas cerámicas trituradas y presente un contenido de agregados del 23 % que consiste principalmente en fragmentos de roca caliza (Tabla 6.2).

Conclusiones

El estudio de los morteros recuperados en Son Peretó revela que muchas de las muestras analizadas tienen un agregado compuesto principalmente de calizas dolomíticas con un alto contenido de MgO que oscila entre el 38,13 % y el 52,95 % (Tabla 6.6). Este tipo de roca se puede utilizar para la producción de cal, como han demostrado trabajos anteriores (Bruni *et al.* 1998; Cagnana y Mannoni 2000; Chever *et al.* 2010; Montoya *et al.* 2003; Rampazzi *et al.* 2006). Sin embargo, el análisis SEM-EDS realizado en el aglutinante y los grumos de las muestras de Son Peretó no muestran el uso de estas rocas (Figura 6.9 y Tabla 6.5). La cal fue, de hecho, producida en todos los casos mediante la calcinación de una roca caliza que tiene un contenido muy alto de CaO (aproximadamente 80 %). Probablemente en la geología local se encuentran ambas tipologías de rocas (Álvaro López *et al.* 1991). Los estudios sobre la proveniencia de las materias primas utilizadas para preparar los morteros deberán ser el objetivo de nuestros futuros trabajos.

En los morteros con un agregado compuesto principalmente de fragmentos de calizas dolomíticas, es posible detectar el uso de dos tipos de agregado: el primer tipo está compuesto predominantemente de calizas dolomíticas criptocristalinas (solo en la muestra 04); el segundo consiste en calizas dolomíticas microcristalinas y criptocristalinas en proporción 1:1 (en las muestras 06 y 09).

El estudio, muestra además que existen algunas similitudes entre parejas de muestras. En particular entre las muestras 10 y 05, y entre las muestras 06 y 09. Al contrario, las muestras 03 y 07 no muestran similitudes, indicando así que el relleno del entierro 2008-6 incorporó morteros procedentes de diferentes fases de construcción. La muestra 04 no muestra ninguna similitud con ningún otro mortero, por lo que no nos permite -por el momento- relacionar la cubierta de la tumba encontrada bajo la pared que divide las habitaciones central y norte del baptisterio con cualquier otra parte del yacimiento analizada. La muestra 11 también es diferente de todas las demás, probablemente debido a las características del depósito del que se tomó, que se utilizó para la producción o almacenamiento de vino y aceite.

Las similitudes entre las muestras 06 y 09 sugieren que pertenecen a morteros de la misma fase constructiva. Esto es importante en términos arqueológicos porque la muestra 06 proviene de la cubierta enlucida de una tumba en el Sector Oeste-Ámbito II, para la que el estudio de la cerámica proporciona *un terminus post quem* de alrededor del 500 d. C. y, por tanto, de al menos siglo VI d. C. Por lo tanto, los resultados analíticos de estos morteros sugieren una datación similar para los restos de un suelo (muestra 09) que se encuentra en el baptisterio y la tumba (muestra 06) del Sector Oeste. En esta fase, una necrópolis se extendía en el Sector Oeste vinculado a la iglesia y el baptisterio. En una fecha posterior, algunas habitaciones fueron construidas sobre esta necrópolis, y se utilizaron hasta la destrucción del yacimiento, probablemente en el siglo VIII.

Las muestras 01 (piscina bautismal pequeña) y 10 (piscina bautismal grande) son claramente diferentes. En cambio, las similitudes entre las muestras 05 y 10 son evidentes, como demuestran los análisis químicos y petrográficos. Estas observaciones son muy interesantes desde un punto de vista

arqueológico. De hecho, la muestra 10 pertenece a la piscina grande, mientras que la muestra 05 es un fragmento de mortero que se encuentra bajo la pequeña piscina bautismal. Los resultados de los análisis sugieren que los morteros 05 y 10 pertenecen a la misma fase de construcción. Las fuertes similitudes composicionales entre las dos muestras apoyan la hipótesis de que la muestra 05 perteneció, de hecho, a la piscina grande. Esta última habría sido parcialmente destruida y los escombros depositados como nivel de construcción de la piscina pequeña. Esto refuerza la idea de que la piscina pequeña sustituyó a la más grande, probablemente debido a un cambio en el ritual bautismal que evolucionó de la inmersión de adultos a la de niños u otras prácticas donde ya no se utilizaba una piscina profunda. Esta interpretación contribuye a resolver el problema arqueológico planteado por la posible coexistencia de ambas piscinas bautismales en la misma iglesia, indicando que no se utilizaron juntas y cerrando el largo debate arqueológico que estas fuentes bautismales habían generado desde su descubrimiento.

En general, conviene remarcar que las piscinas bautismales (muestras 10, 01), que tenían que contener agua, fueron recubiertas con un mortero elaborado con cerámica triturada mezclada con cal, que se utilizó debido a sus propiedades hidráulicas. También la muestra 05, perteneciente a una piscina bautismal, es un mortero con cerámica triturada. La presencia de capas (10_I y 05_I; capas internas de las muestras 10 y 05) que están hechas casi exclusivamente de carbón es también un aspecto interesante debido a su singularidad composicional. Una mención sobre el uso de carbón vegetal en la fabricación de morteros se puede encontrar en el Libro 36, Cap. 63 de la Historia Natural de Plinio cuando se refiere a un tipo de pavimento “*Graenic*” en el que se combina la utilización de cerámica triturada con una capa de carbón por encima bien apisonada con una mezcla de arena, cal y cenizas, que da uniformidad y la apariencia de un pavimento de color negro. La razón del uso de carbón vegetal en Son Peretó aún no está del todo clara, aunque podría haber sido utilizado para mejorar las propiedades de impermeabilización del mortero.

Los datos obtenidos con los análisis de los morteros encontrados en este asentamiento tardoantiguo y complejo eclesiástico de Son Peretó, además de resolver el problema de la sincronía o diacronía de las dos piscinas bautismales, ha aportado también información valiosa sobre el proceso tecnológico de quienes participaron en la construcción de los edificios, contribuyendo al estudio de las fases constructivas, que serán además de utilidad en la reproducción de morteros compatibles para futuras obras de restauración. En particular, el estudio muestra cómo un estudio a escala reducida puede proporcionar datos relevantes para resolver una cuestión arqueológica muy importante con implicaciones históricas.

Capítulo 7

Análisis de residuos orgánicos en pavimentos y piscinas del Baptisterio de Son Peretó (Manacor, Mallorca)

Alessandra Pecci¹⁶⁴, Miguel Ángel Cau Ontiveros¹⁶⁵

Introducción

Los materiales porosos absorben las sustancias líquidas o semilíquidas con las que entran en contacto. Esto es especialmente cierto para la cerámica (Condamin *et al.* 1976; Evershed 1993, 2008) y para algunos tipos de pavimentos arqueológicos (Barba 1986, 2007; Barba *et al.* 1996; Middleton *et al.* 2010; Ortiz y Barba 1993; Pecci 2009). Esta característica de los materiales proporciona una interesante herramienta para estudiar las actividades humanas antiguas. Los residuos de las sustancias que se conservan en los poros de los materiales pueden ser estudiados para obtener información sobre el contenido de la cerámica y sobre las actividades llevadas a cabo en los suelos y, por lo tanto, para obtener información sobre la función de los recipientes y de los diferentes espacios de los edificios.

También los recubrimientos de depósitos que aparecen con frecuencia en las instalaciones de producción se elaboraron con argamasas (en muchos casos con *opus signinum*) que son porosas y absorben los residuos de sustancias líquidas. En estos depósitos, a menudo, se produjeron, decantaron o almacenaron vino, aceite o salsas de pescado. Esta característica se ha utilizado para estudiar la función de las instalaciones a través del análisis de los residuos orgánicos absorbidos en los depósitos (Allevato *et al.* 2012; Pecci 2007, 2010; Pecci *et al.* 2013a, 2013b, 2013c; Pecci y D'Andria 2014).

Para esta contribución se decidió aplicar el análisis de residuos en las piscinas bautismales y en los espacios del baptisterio del yacimiento tardoantiguo de Son Peretó en Mallorca (Balears). Para el estudio se muestrearon restos de pavimento y recubrimientos de diversas estructuras con el objetivo de identificar si presentaban residuos de sustancias orgánicas que pudieran corroborar o ayudar a entender la función

¹⁶⁴ Equip de Recerca Arqueològica i Arqueomètrica, Universitat de Barcelona (ERAAUB), Institut d'Arqueologia de la Universitat de Barcelona (IAUB), Universitat de Barcelona (UB), Facultat de Geografia i Història, Departament d'Història i Arqueologia, c/ Montalegre 6-8, 08001 Barcelona (Spain).

¹⁶⁵ Institució Catalana de Recerca i Estudis Avançats (ICREA), Pg. Lluís Companys 23, 08010 Barcelona, Spain; Equip de Recerca Arqueològica i Arqueomètrica de la Universitat de Barcelona (ERAAUB), Institut d'Arqueologia de la Universitat de Barcelona (IAUB); Universitat de Barcelona (UB), Facultat de Geografia i Història, Departament d'Història i Arqueologia, c/ Montalegre 6-8, 08001 Barcelona, Spain; Chercheur Associé, Aix Marseille Univ, CNRS, CCJ, Aix-en-Provence, France.

de los depósitos y las habitaciones¹⁶⁶. En la zona del baptisterio en particular, se tomaron muestras de las dos piscinas bautismales y de algunas cubiertas de tumbas que actuaron también como pavimento del baptisterio (Figura 7.1) (Tabla 7.1).

Materiales y métodos

Materiales analizados

Un total de cinco muestras fueron seleccionadas de diferentes partes del yacimiento para ser analizadas (Figura 7.1; Tabla 7.1). Dos de ellas provienen de las dos piscinas bautismales. Una de las piscinas es más grande, para el bautismo de inmersión, y es más antigua; mientras que la segunda, más pequeña, es más tardía y ha sido considerada para rituales de aspersión o bautismo de niños (*infra*). En el marco del proyecto arqueológico y de restauración reciente, la piscina bautismal pequeña fue levantada permitiendo la excavación de los niveles situados por debajo de la misma. En ellos, se recuperaron fragmentos de piscina bautismal que podrían pertenecer a la piscina más grande, como demuestran los análisis químicos y petrográficos efectuados (Miriello *et al.* 2013 y capítulo 7 de este mismo volumen). Ello sugiere que la piscina mayor fue parcialmente desmantelada y que algunos fragmentos fueron utilizados como relleno para la construcción de la piscina pequeña.

La muestra SPO001 (muestra de laboratorio 19) procede del mortero del interior de la piscina pequeña (Figura 7.1). La muestra SPO010 (muestra para laboratorio 24) se tomó de la pared de la piscina grande. La muestra SPO005 (laboratorio 20) corresponde a un fragmento hallado bajo la piscina pequeña que los análisis de argamasa (Miriello *et al.* 2013 y capítulo 6 de este mismo volumen) han demostrado que podría haber pertenecido a la piscina grande desmantelada. La muestra SPO009 (muestra de laboratorio 23) fue tomada de un pavimento del ámbito norte del baptisterio. Finalmente, la muestra SPO007 (muestra de laboratorio 22) pertenece a la cubierta del enterramiento 2008-6 del ámbito norte del baptisterio, que actuó como pavimento de la habitación.

Sample	Lab. nº.	UE*	Descripción
SPO 001	19	352	Enlucido de la piscina pequeña
SPO 005	20	271	Enlucido de los fragmentos de piscina bautismal hallados bajo la piscina pequeña
SPO 007	22	262	Fragmento de enlucido encontrado en el interior de la tumba 2008-6 hallada en la parte norte del baptisterio
SPO 009	23	307	Enlucido de los restos de un piso en la parte norte del baptisterio
SPO 010	24		Enlucido de la piscina bautismal grande

TABLA 7.1. MUESTRAS ANALIZADAS PROCEDENTES DEL BAPTISTERIO DE SON PERETÓ
UE= Unidad Estratigráfica

¹⁶⁶ Las muestras fueron analizadas por los autores en las instalaciones de los Centros Científicos y Tecnológicos de la Universitat de Barcelona en el Departamento de cromatografía de gases. Esta contribución es parte de las actividades del proyecto PROFOLANT (PIEF-GA-2009-235863), 7º Programa marco, People, Marie Curie, IEF, y las sinergias creadas con los proyectos LRCWMED (HAR2009-08290), RACAMed (HAR2017-84242-P) y ARCHREMOTELANDS (HAR2017-83335-P) financiados por el Ministerio de Ciencia e Innovación, Subdirección General de Proyectos de Investigación, con la contribución de fondos FEDER. Este estudio forma parte de las actividades del Equip de Recerca Arqueològica i Arqueomètrica de la Universitat de Barcelona (ERAAUB) (2017 SGR-1043). El estudio de un depósito hallado en una habitación anexa al baptisterio (muestra SP011 del capítulo 6 de este volumen) se ha publicado en Pecci *et al.* (2013).

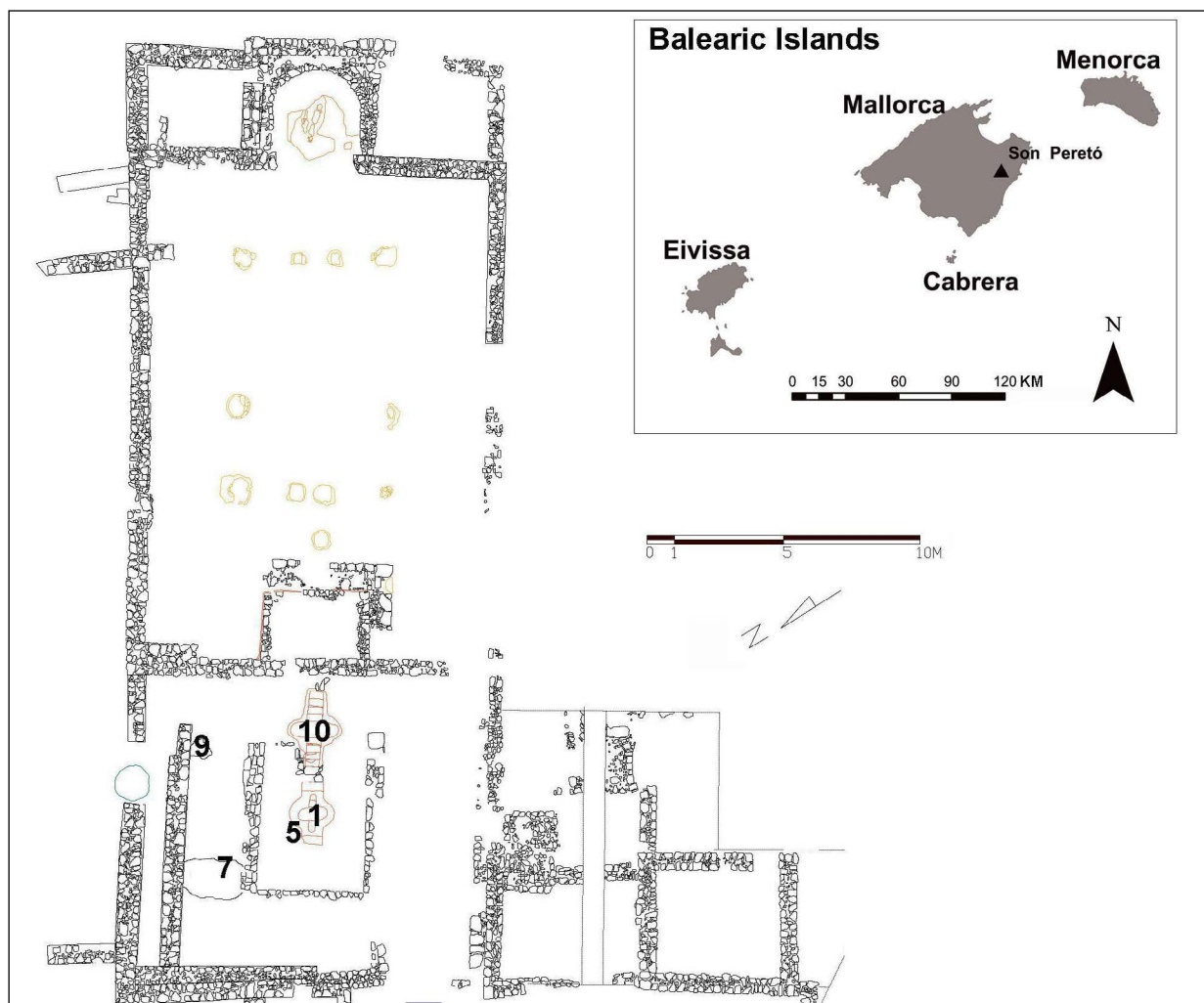


Figura 7.1. Muestras de argamasa para análisis de residuos

Métodos

Las muestras se obtuvieron in situ en el propio yacimiento utilizando un bisturí y fueron limpiadas en el laboratorio. Se recuperaron entre 2 y 4 gramos de polvo de la capa superficial de las muestras, que fueron preparadas siguiendo metodologías de extracción diferentes y analizadas mediante cromatografía de gases-espectrometría de masas:

- i. El extracto lipídico y su hidrólisis se obtuvieron siguiendo el procedimiento descrito por Mottram *et al.* (1999) sobre 1 g de muestra. Antes de la extracción, se agregaron 5 μ l de una solución de octacosane (3 mg/mL) como estándar interno.
- ii. Para identificar eventuales residuos de vino se siguió la extracción alcalina propuesta por Pecci *et al.* (2013c) sobre 500 mg de muestra.

Todos los extractos fueron derivatizados añadiendo 25 μ l de N, O-bis (trimetilsilil) trifluoroacetamida (BSTFA, Sigma-Aldrich) y calentados a 70° C durante 1 hora. Se agregaron 75 μ l de hexano y 5 μ l de una solución estándar de dotriacontano (1 mg/mL).

Las muestras fueron analizadas utilizando un cromatógrafo de gases GC Thermo Scientific TS GC ultra, equipado con una columna capilar de sílice fundida de un diámetro de película de 0.25 μm y 30 m, y con un espectrómetro de masas Thermo Scientific ITQ 900 operado en el modo de ionización por electrones (eV 70). El rango de masa fue analizado en la gama de m/z 40-900. La temperatura del horno del GC fue mantenido a 50° C durante 1 min, luego se incrementó en 5° C/min hasta alcanzar los 330° C y se mantuvo isotérmicamente durante 10 minutos.

Resultados

En ambas muestras de las piscinas bautismales (SP 010 y SP 001) se identificó ácido dehidroabiético que se considera un marcador de resina o pez de árboles de la familia de las *Pinaceae*. Se ha identificado principalmente en ánforas, *dolia* y otros materiales cerámicos romanos y tardoantiguos, pero también en depósitos para la producción de vino y aceite (Allevato *et al.* 2012; Colombini *et al.* 2015; Pecci *et al.* 2013b, 2013c, 2017b) y su presencia podría estar relacionada con un posible recubrimiento orgánico de las piscinas con el objeto de contribuir a su impermeabilización.

La muestra de la piscina bautismal grande (SP 010) no presenta ninguna traza de otros residuos orgánicos. En cuanto a la piscina bautismal pequeña (SP 001) el extracto ii muestra ácido $C_{18:1}$ (oléico) seguido por el ácido esteárico $C_{18:0}$ así como ácido $C_{18:2}$ (ácido linoleico) y ácido azelaico, lo que es compatible con la presencia de trazas de un aceite de origen vegetal, diferente del aceite de olivo, aunque falte el sitosterol para brindar mayor seguridad en la interpretación.

Las trazas de aceite, de ser confirmadas, podrían sugerir que en los rituales desarrollados en la piscina pequeña se podría haber utilizado algún tipo de aceite o ungüento. La ausencia de residuos en la piscina grande podría estar relacionada con el hecho de que se trata de una piscina bautismal en cuyo ritual se utilizó tan solo agua que no dejaría ningún rastro que se pueda detectar con los análisis o que si se utilizaron pequeñas cantidades de aceite que no dejaron rastro tal vez por un efecto de dilución en una piscina grande con importantes cantidades de agua.

Como se ha indicado, los análisis petrográficos y químicos sugieren que la muestra SP005 (UE271) procedente del mortero hallado durante la excavación bajo la piscina pequeña, perteneció a la piscina grande que fue parcialmente destruida para construir la pequeña (Miriello *et al.* 2013 y capítulo 6 en este mismo volumen). En esta muestra, como en la SP010, se detectó solo ácido dehidroabiético, posiblemente relacionado con la impermeabilización de la piscina bautismal. Este dato, junto con la ausencia de otros residuos indica que las muestras SP010 y SP005 son parecidas no solo del punto de vista de la tecnología de fabricación, sino también del uso que se ha dado a la piscina y refuerza la idea que pertenezcan a la misma piscina bautismal.

El análisis del extracto lipídico de la muestra SP 007 (UE262) (Figura 7.2), muestra que el ácido palmítico es el ácido más abundante, seguido por el ácido oleico ($C_{18:1}$) y el esteárico ($C_{18:0}$). El ácido linoleico $C_{18:2}$ está presente en ambos extractos, siendo en el extracto ii más alto incluso que el $C_{18:1}$. Están presentes colesterol y β -sitosterol. Aunque los esteroides puedan derivar de contaminación (Hamman *et al.* 2018), estos resultados son consistentes con la presencia de residuos de un aceite vegetal posiblemente no de oliva.

En el cromatograma de la hidrólisis del extracto lipídico total también hay ácido dehidroabiético y abiético, lo que podría indicar el uso de resina de *Abies*. La resina podría haberse usado para impermeabilizar el mortero o mezclada al aceite vegetal en un posible preparado de ungüento. La muestra procede de los restos de mortero que se encontró en el relleno de una tumba. Por lo tanto, no es posible saber su localización original exacta.

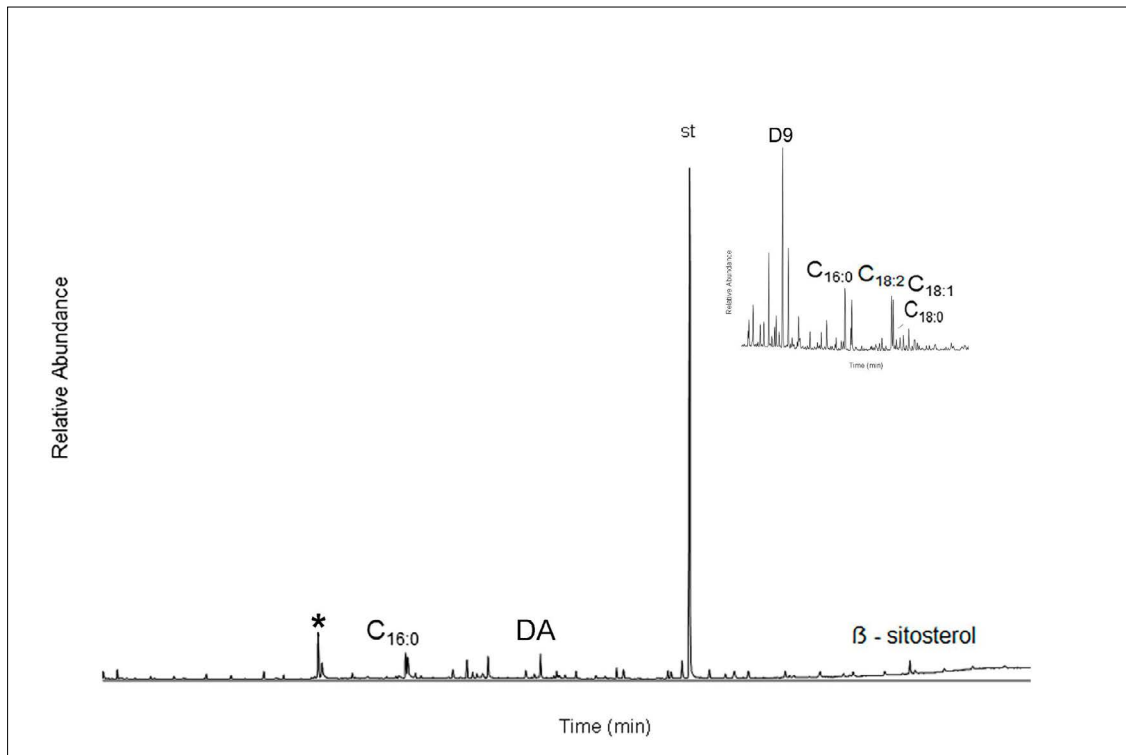


Figura 7.2. Cromatograma del extracto i y en la esquina en alto del extracto ii de la muestra SP007. DA es el ácido dehidroabiético, D9 el ácido dicarboxílico azelaico, C_{16:0} es el ácido palmítico, el C_{18:1} el oleico, C_{18:2} el linoléico y C_{18:0} el esteárico.

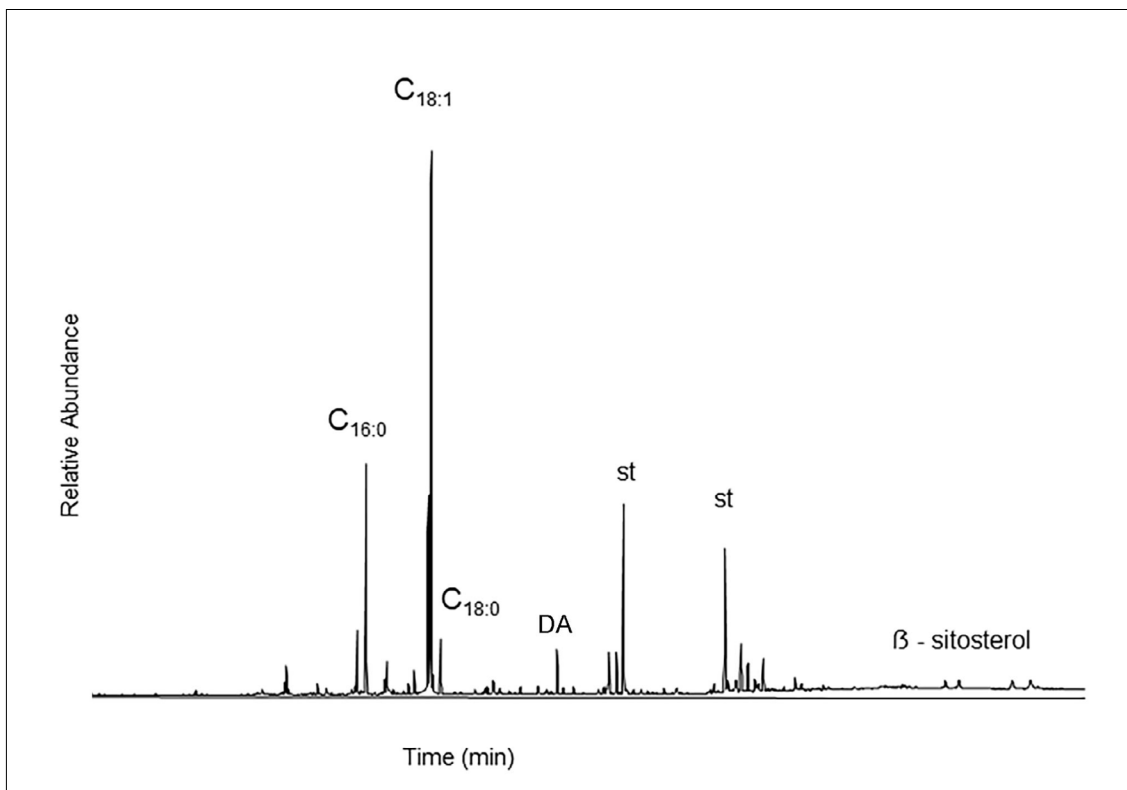


Figura 7.3. Cromatograma del extracto i de la muestra SP009. DA es el ácido dehidroabiético, C_{16:0} es el ácido palmítico, el C_{18:1} el oleico y C_{18:0} el esteárico. Los estándares (st) son soluciones de octacosane (3 mg/mL) (estándar interno) y una solución estándar de dotriacontano (1 mg/mL) (estándar externo).

La muestra SP009 se tomó de los restos de un pavimento en la sala norte del baptisterio (UE 307). En los cromatogramas resultantes del análisis del extracto total de lípidos y de su hidrólisis, el ácido oleico ($C_{18:1}$) es el compuesto más abundante (Figura 7.3). En el cromatograma del extracto ii, el ácido azelaico es también alto. Estos datos son consistentes con un origen vegetal y, en particular, con la presencia de un aceite vegetal. Por el momento, no es posible saber qué tipo de actividad se llevó a cabo en la sala, pero posiblemente implicó el almacenamiento o uso de un aceite vegetal (¿tal vez relacionado con los rituales del bautismo?). El aceite también podría haberse utilizado para la iluminación y haberse derramado sobre el suelo por accidente, al romperse la lámpara o durante las operaciones de recarga de esta.

Conclusiones

Los análisis de residuos absorbidos por los morteros y revestimientos del baptisterio de Son Peretó, si bien en un número exiguo, son interesantes porque permiten confirmar que la piscina bautismal grande, que era utilizada para rituales de inmersión, no contuvo sustancias que dejaran residuos que pueden ser identificados con los análisis realizados. En la muestra SP005, para la que los datos arqueológicos y arqueométricos sugieren que proviene de fragmentos de la piscina mayor (Miriello *et al.* 2013 y capítulo 6 en este mismo volumen), tampoco hay rastros del contenido, confirmando que contuvo únicamente agua. La similitud entre las dos muestras a nivel de residuos orgánicos confirma una vez más que las dos muestras pertenecieron a la misma piscina bautismal. En cambio, la piscina pequeña, muestra algunas trazas de un posible aceite vegetal que podría tal vez estar relacionado con el uso de aceites para el ritual del bautismo. Es interesante destacar que en todas las muestras de las piscinas aparecen residuos de resina o brea que pudo ser utilizada para contribuir a su impermeabilización.

En el suelo analizado en el Ámbito Norte del baptisterio, aparecieron residuos de un aceite vegetal. Como se ha mencionado anteriormente, por el momento, no sabemos qué tipo de actividad supuso un enriquecimiento químico de esta muestra, pero podemos pensar en el almacenamiento o el uso de un aceite vegetal o de un ungüento a base de aceite vegetal, tal vez relacionado con los rituales del bautismo, o al derrame de aceite utilizado para la iluminación. La abundancia de restos de aceite es interesante y debe ser investigada en profundidad. Un aceite vegetal, de hecho, también fue producido y/o almacenado en el yacimiento, tal y como demuestra el análisis de un depósito del llamado Sector Oeste, el que aparecieron también trazas de vino (Pecci *et al.* 2013c).

También las otras muestras de mortero presentan residuos de resinas posiblemente empleadas para impermeabilizarlos o en su fabricación. En el caso de la muestra SP007 la presencia de ácido abiético, que difícilmente se preserva en materiales arqueológicos, podría sugerir que la resina empleada en este caso fue de *Abies*. En esta misma muestra hay también trazas de un aceite vegetal no de olivo.

En definitiva, el análisis de residuos orgánicos permite afirmar que mientras que la piscina grande solo contuvo agua, en la piscina pequeña pudieron llevarse a cabo rituales que comportan el uso de aceite vegetal. La identificación de aceites vegetales en muestras de pavimento y cubiertas de las tumbas que actuaron como suelo del baptisterio demuestra el potencial de este tipo de análisis para explorar el uso de aceites y/o ungüentos como parte del ritual del bautizo o para la iluminación de los espacios.

Capítulo 8

El baptisterio de la segunda fase de Son Peretó. Análisis arquitectónico y propuesta reconstructiva

Josep Maria Puche Fontanilles¹⁶⁷, Ivan Fernández Pino¹⁶⁸

Introducción

Toda construcción, y más si tiene cierta entidad o forma parte de un imaginario colectivo, presenta un determinado orden en sus dimensiones y en sus proporciones. Esto se debe, en gran parte, a la necesidad, tanto del proyectista como del constructor, de crear un edificio armónico y simplificar su construcción.

Obviamente, el significado exacto de armonía ha variado a lo largo de la historia e, incluso, puede variar de un arquitecto a otro, pero en general lo que se busca es conseguir un equilibrio y un cierto orden entre los elementos que configuran el edificio. Y eso se consigue con la decoración y la forma, en este último caso usando la proporción, el ritmo y la modulación.

Existen, además, razones de orden práctico que aconsejan buscar esa armonía, ya que el uso de una determinada proporción simplifica el diseño y los procesos constructivos y facilita el trabajo unísono de diferentes cuadrillas de trabajo aunque sean de diferente especialidad.

Ya en época clásica se era consciente de la conveniencia, y de la necesidad, de buscar esa armonía¹⁶⁹ y por esta razón el estudio de los edificios que se han conservado de esa época consiente, a menudo, definir el orden, y a veces incluso el proyecto, que se esconde detrás de ellos. Es cierto que eso solo es posible en aquellos edificios que nos han llegado con un elevado grado de integridad y que hayan sufrido pocos cambios estructurales, o que estos sean perfectamente identificables.

Es obvio que no todas las construcciones consideran de igual manera la totalidad de los elementos que configuran la armonía arquitectónica y de hecho no todos los edificios muestran la necesidad, o voluntad, de presentarse armónicos. No olvidemos que la arquitectura, además de su clara funcionalidad práctica, a menudo sirve de vehículo de expresión semántica y que cuando más fuerte sea esa necesidad,

¹⁶⁷ Institut Català d'Arqueologia Clàssica (ICAC).

¹⁶⁸ Institut Català d'Arqueologia Clàssica (ICAC).

¹⁶⁹ De hecho, Vitruvio (I,1) especifica que, para conseguirlo, a la hora de diseñar un edificio se tiene que considerar los siguientes elementos:

^{1a} *Ordinatio*: El tamaño adecuado y la correcta distribución del edificio.

^{1a} *Compositio*: La composición, la aplicación del correcto sistema de proporciones.

^{1a} *Euritmia*. La relación conveniente en la composición de las estructuras.

^{1a} *Symmetria*: La razón y proporción entre las diferentes partes.

^{1a} *Decoratio*: El correcto embellecimiento del edificio.

^A estos cinco elementos se tendría que añadir la *Economia*, el uso adecuado y económico de materiales y sistemas constructivos. Los cuatro primeros, en esencia, hacen referencia a la forma del edificio.

o voluntad, de transmitir un mensaje, más énfasis se dará a la armonía general del edificio. Algunos tipos de construcciones sirven de vehículo a una expresión ideológica determinada y pretenden penetrar en el imaginario del colectivo que lo ha de usar o contemplar. Esto se aprecia claramente en los edificios de culto, que son unos de los marcos donde más se manifiesta la identidad de un colectivo. Así, una iglesia, o un baptisterio como es el caso de nuestro estudio, no es únicamente un espacio donde se concentra un grupo de personas que realizan una determinada actividad, sino que sirve, nos atreveríamos a decir, para transmitir o reforzar una ideología o creencia. El caso paradigmático sería el de las iglesias con planta de cruz latina, donde la forma arquitectónica copia literalmente el símbolo emblemático del culto que ahí se celebra, la cruz. Aquí la forma se hace símbolo.

Definir, en un estudio histórico arquitectónico, la forma de un edificio es adentrarse en su comprensión, y en la necesidad o voluntad evocativa que hay detrás de él. Si se considera que, en ciertas edificaciones, como son las religiosas-culturales, hay un elevado valor simbólico, se tiene que aceptar que hubo una especial atención para crear un edificio “armónico” y que esta armonía se puede deducir a partir de las partes conservadas. Si se parte de la premisa de que el orden establecido en la parte conlleva implícito el orden del todo, se llega a la conclusión que se puede llegar a deducir las partes faltantes a partir de los restos conservados. Así, en el caso del baptisterio de Son Peretó, donde se conserva sólo la planta, se puede llegar, teóricamente, a justificar una propuesta reconstructiva del alzado a partir de establecer la razón y la proporción que determinan su forma. Para ello se tienen que contrastar tanto las relaciones dimensionales existentes, el valor simbólico de las medidas, si es que las hay, y los paralelos conservados que ayudan a determinar qué relaciones posibles pudo haber entre la planta y el alzado.

En este capítulo, se estudia la forma del baptisterio, en conjunción con la de la basílica, de la que no puede desligarse, y a partir de ese análisis se presenta una propuesta reconstructiva del volumen original. Es cierto que esta propuesta no se puede validar y, por tanto, necesariamente será discutible, pero se procurará que sea debidamente justificada y argumentada.

La forma

En Son Peretó conocemos, entre otros elementos, la basílica y el baptisterio, que debieron tener un importante valor simbólico en la comunidad donde se situaron. Desconocemos la mayor parte del aparato decorativo con el que, sin duda, se dotaron y sólo ha pervivido una porción de sus formas arquitectónicas, en concreto la planta, y ese será nuestro ámbito de trabajo.

Decimos que el análisis del baptisterio no puede desligarse del de la basílica ya que todos los estudios realizados inciden en el hecho de que el primero es una construcción que se adosa, se adapta, a la segunda. Dicho de otra forma; la basílica, que es preexistente, condiciona y determina necesariamente la forma del baptisterio, por lo que sin entender una no se puede entender la otra. Como no podría ser de otra manera, el baptisterio, a nivel funcional, está subordinado jerárquicamente a la basílica y esta jerarquía se refleja a nivel arquitectónico.

Aunque se han documentado diversas fases constructivas, este estudio se centrará en la Fase 2.¹⁷⁰ Esta diversidad de fases implica la preexistencia de determinadas estructuras que pueden haber condicionado la construcción del conjunto en esta fase como se constata en el muro de delimitación sur del baptisterio, que es previo a su construcción. Aunque los trabajos arqueológicos no lo han podido contrastar con seguridad, este muro en origen, aparentemente, podría haber formado parte del área funeraria del Sector Sur (Figura 0.4) y sería reaprovechado durante la construcción del baptisterio. Esto,

¹⁷⁰ Véase el capítulo 9.

si fuese así, podría explicar su forma trapezoidal irregular con dos fachadas paralelas, pero de longitud diferente (Figura 8.1)¹⁷¹.

Por lo que respecta a sus medidas externas, el baptisterio se inscribe dentro de un cuadrado irregular de 13,8–14,03 m de ancho por 11,61–12,16 m de largo. En su centro se sitúa la piscina de inmersión de planta en cruz griega, que está delimitada por un espacio rectangular de 5,89 m por 3,92 m abierto en su lado oriental.

Por lo que respecta a la basílica, esta consta de tres naves, con un ábside exento de planta exterior cuadrada, y se inscribe dentro de un rectángulo irregular de 23,00/22,60 m de largo por 13,81 m de ancho. Su interior mide 17,74/17,63 m de largo por 12,56 m de ancho y se divide en tres naves. La anchura de las naves se puede definir por las basas de las columnas conservadas¹⁷², dos de las cuales son adyacentes, y por el contracoro, que nos daría una anchura de unos 3,30/3,40 m para las naves laterales y de unos 5,60 m para la nave central. El intercolumnio es difícil de definir. Las dos basas adyacentes presentan una distancia, entre ejes, de 3,05 m, pero entre la segunda y la tercera hay una distancia de 5,5 m, distancia que no es múltiplo de la primera. Entre la primera y el contracoro hay una distancia de unos 2,65 m. La última basa coincide con un muro que corta la nave lateral izquierda lo que permitiría hipotetizar la existencia de un presbiterio adosado al ábside. Si esto fuese así el intercolumnio se configuraría con tres crujías centrales separadas 3,05 m, que a su vez se separarían del contracoro y del posible presbiterio unos 2,60 m. El ábside es de planta interna semicircular y externa cuadrada, observándose diversas fases constructivas. La boca de ingreso mide 3,15 m y presenta un radio de 1,70 m. Su profundidad total es de 3,65 m (Figura 8.2.).

El grosor de los muros, tanto de la basílica como del baptisterio, oscila alrededor de los 0,55 y los 0,65 m, aunque los valores más habituales se sitúan entre los 0,61 y los 0,65 m.

Diferentes evidencias arqueológicas, entre las que destacan la existencia de, como mínimo, dos fases de pavimentación musiva y la constatación de que los muros de la cabecera se adosan a las naves, permiten plantear como hipótesis de trabajo la existencia de dos grandes fases constructivas para la basílica (que las llamaremos Fase A y B). La irregular distribución de las basas de columna, así como las anomalías métricas detectadas en su interior no sólo reforzaría esta idea si no que serían difíciles de explicar sin la existencia de estas dos fases constructivas. De hecho, el análisis métrico que se presenta a continuación refuerza esta idea.

A causa de la falta de excavaciones modernas en la basílica estas fases no se pueden datar, aunque se puede asegurar que la Fase A se construye con anterioridad a la Fase 2 del baptisterio, que se data en torno al 480–570 (véase capítulo 9).

¹⁷¹ Todas las medidas que se muestran en este capítulo se han extraído de la planimetría actualizada y comprobada en el 2015 contrastándose *in situ*.

^{1a} restauración realizada en los años 80 del siglo pasado ha dificultado la comprobación exacta de las medidas ya que ha ocultado gran parte de la estructura original. Diversas observaciones realizadas en aquellos puntos en donde era posible realizarlos nos ha permitido asegurar una fiabilidad de la planimetría actual con la realidad con un valor de $\pm 2,5$ cm. Este valor se ha considerado a la hora de hacer los estudios de equivalencia métrica.

¹⁷² La situación exacta de las basas sólo se puede definir a partir de la planimetría realizada por Tuset y modificada por Alcaide. Ha sido imposible comprobar *in situ* estos elementos al no ser visibles actualmente por lo que no podemos asegurar plenamente su exactitud. No obstante, todas las veces que se ha comprobado la planimetría de Tuset-Alcaide hemos obtenido un grado de fiabilidad correcto, lo que nos permite usar con cierta tranquilidad las medidas que no podemos comprobar actualmente.

La metrología de la basílica

El análisis metrológico se ha realizado a partir de los restos actualmente visibles, que en el caso de la basílica corresponde a la Fase B.

En primer lugar, se ha intentado definir cuál era la unidad métrica utilizada. Este elemento es clave para llegar a entender la composición del edificio, ya que las medidas, y las proporciones que de ellas se deriven, se presentan lógicas y coherentes si se miden en las unidades con las que se diseñó. Al construir, siempre hay una tendencia a utilizar múltiplos y divisores enteros de la unidad, ya que así se simplifica tanto la proyección como la construcción y sólo se rompe esta regla en caso de preexistencias o de uso de determinadas proporciones.

Ya que nos encontramos delante de una construcción de clara e inequívoca tradición arquitectónica romana, se ha supuesto, en primera instancia, el uso de un *pes monetalis*, que tiene un valor de 0,296 m. Así pues, se han convertido las unidades métricas centrándose sobre todo en las medidas de mayor longitud, donde el grado de incertidumbre provocado por la erosión, los errores constructivos y las limitaciones en las mediciones, disminuyen.

Utilizando este pie aparecen medidas poco justificables o coherentes. Así, las medidas externas de la basílica serían de 77,70 x 46,76 *pedes*, que redondeando¹⁷³ los decimales serían de 78 x 47 *pedes*. Y el baptisterio 41,08 x 46,76 *pedes*, que redondeados serían 41 por 47 *pedes*. Estas medidas se nos presentan caprichosas y no encontramos ninguna lógica aparente; 41 y 47 son números primos y, por tanto, no pueden ser múltiplos de ningún sistema ordinal (decimal, sexagesimal ...) mientras que 48 solo puede responder a un sistema sexagesimal.

Se llegó a la conclusión de que, difícilmente, se usó el pie romano como unidad de medida en la Fase B de la basílica, lo que abrió la posibilidad de hallarnos delante de otra unidad métrica. Así que, considerando el marco histórico, se decidió probar con un pie bizantino,¹⁷⁴ que tiene un valor de entre 0,31 y 0,32 m.¹⁷⁵ Usando este pie, la basílica de Son Peretó, sin el baptisterio e incluyendo el ábside, se enmarcaría dentro de un rectángulo de 74,2 x 44,65 *pedes* (en este caso sería más correcto utilizar el término *pous*) que redondeando los decimales resultaría ser de 74 x 45 *pous*.

Obviamente, las medidas redondeadas no se ajustan perfectamente con la realidad. En el caso del pie romano, esta divergencia oscila alrededor del 3,5%, que representa hasta 80 cm (casi el valor de 3 *pes*) en una distancia de 23 metros, que es la longitud de la basílica, mientras que en el del pie bizantino esta divergencia se sitúa cerca del 1,1%, que representa 25 cm (menos de 1 *pous*) en la misma distancia, lo que refuerza la idea del uso de un pie bizantino en Son Peretó. Usando esta unidad, las medidas toman una magnitud coherente y comprensible lo que refuerza la suposición de que esa fue la unidad métrica utilizada. Así la basílica, incluyendo el ábside, se enmarcaría en un rectángulo de 74 x 45 *pous*.

¹⁷³ Se redondea hacia el valor entero más próximo. Así se eliminan las incertezas que ocasionan tanto la falta de atención en la construcción, la erosión sufrida como la precisión de la planimetría.

¹⁷⁴ Este pie, propio del mundo bizantino y que deriva del pie dórico, está documentado en occidente a partir de los siglos IV-V, aunque se hace más común a partir del siglo VI a raíz de la expansión Justiniana (Barresi 2004). Se utiliza en la mayor parte de fortificaciones bizantinas del norte de África y en algunas iglesias paleocristianas italianas (Bianchini 2008: 359) siendo, quizás, el caso más conocido el de la Basílica Beati Archangeli in Septimo en la vía Salaria en Roma (Barresi 1991; Dufay 1985).

¹⁷⁵ Ver, entre otros y a nivel ilustrativo, Foerster 1989 y Chen 1990, que determinan un pie bizantino de 0,32 cm, y Kurent y Vidmar 1997, Dufay 1985 y Barresi 2004 para pies bizantinos de 0,31 cm.

La anchura de la nave central resultaría ser de 18 *pous*, el intercolumnio regular de 10 *pous* y la anchura interna de las dos naves laterales se situaría en los 22 *pous*.¹⁷⁶

¿También una metrología romana?

El interior de la basílica, sin contar el ábside, mide 12,56 m. de ancho por 17,67/17,74 m de largo, que en *pous* serían 57 por 40,5 *pous*. No obstante, estas medidas podrían corresponder perfectamente a 60 por 42 *pedes* romanos lo que podría ser indicativo de un uso de métrica basada en el *pes monetalis*. Esta misma incerteza se observa en las medidas del baptisterio, en donde el cálculo estadístico impide discernir con seguridad si se aplica una métrica bizantina de una romana. En ambos casos el error estimado entre la medida real y medida supuesta es de un 0,6% (Tabla 8.1). Esto abre paso a la posibilidad del uso de una doble métrica en la Basílica – Baptisterio de Son Peretó. Como se verá más adelante, esa misma duplicidad aparece en el uso de las proporciones, fenómeno que solo se puede explicar a partir de la existencia de, como mínimo, dos fases constructivas culturalmente dispares.

El uso de una métrica basada en el *Pes Monetalis* romano entraría dentro de la más absoluta normalidad y, de hecho, sería la unidad que uno esperaría encontrar. Como ya se ha comentado anteriormente el pie de 0,296 m es la medida estándar en el Mediterráneo occidental hasta la Alta Edad Media¹⁷⁷. En el mundo romano occidental predomina de manera absoluta el *pes monetalis*, sobre todo desde época de Augusto, ya que esta es la unidad de medida oficial. Solo se conoce el uso de otros sistemas métricos en época republicana, cuando aún no se ha oficializado el *pes monetalis*, y en época tardoantigua, sobre todo en las zonas de influencia, más o menos directa, bizantina. Sorprende, por inusual, detectar el uso de un pie bizantino en Son Peretó ya que, hasta el momento, no se había aún documentado ni en el área balear ni en el levante peninsular.

En resumen, se puede determinar que la Fase B de la basílica Son Peretó se define a partir de una métrica bizantina que se materializa, exteriormente, con unas naves inscritas dentro de un rectángulo de 74 x 45 *pous*. En su interior, se dibujan una nave central de 18 *pous* y dos naves laterales de 11 *pous*, teóricamente con cinco hileras de columnas situadas a distancias diversas (Figura 8.3).

La cabecera, que constructivamente se adosa al cuerpo de las naves, mantiene la división tripartita, con un ábside de 5,5 *pous* de radio (11 *pous* de diámetro, la misma medida que la anchura de las naves laterales).

En el interior se conserva un contracoro de 18 x 11 *pous* y se puede deducir, a partir de un pequeño muro interior y del basamento de las columnas, la existencia de un posible presbiterio que incluyendo el santuario tendría unos 10,5/11 *pous* de anchura.

Esta distribución crea, en las cuatro esquinas de la basílica, sendos espacios cuadrados de 11 *pous* de lado, que en el lado oriental se podrían interpretar como *pastophoria*.

Destaca la irregularidad de los intercolumnios, y por extensión, de las crujías de la cobertura, que se situarían, de oeste a este a 11, 8, 10, 10, 8, 10-11 *pous*.

Por lo que respecta a la Fase A de la basílica, poco se puede asegurar a causa de la ausencia de excavaciones modernas que permitan definirla claramente. Sin embargo, los elementos existentes permiten especular

¹⁷⁶ Alcaide (2011), en su trabajo, a pesar de seguir un proceso deductivo diferente, llega a la misma conclusión, la utilización de un pie de 0,31 cm en la construcción de la basílica de Son Peretó.

¹⁷⁷ Véase, por ejemplo, algunas de las construcciones tardoantiguas en Catalunya (Puche y López 2016) o algunas valencianas más tardías como el Pla de Nadal (Ribera 2015).

EXCAVACIONES EN EL BAPTISTERIO DEL CONJUNTO ECLESIAÍSTICO DE SON PERETÓ

1 pes romano =0,296 m.					1 pous Bizantino=0,312 m.				
Metros	Pedes	Estimación	Dif. Metrica	Dif. %	Metros	Pous	Estimacion	Dif. Metrica	Dif. %
14,03	47,4	47	0,4	0,85%	14,03	45,0	45	0,0	0,07%
13,80	46,6	47	-0,4	0,81%	13,80	44,2	44	0,2	0,52%
12,78	43,2	43	0,2	0,41%	12,78	41,0	41	0,0	0,09%
12,73	43,0	43	0,0	0,02%	12,73	40,8	41	-0,2	0,48%
12,16	41,1	41	0,1	0,20%	12,16	39,0	39	0,0	0,07%
11,61	39,2	39	0,2	0,57%	11,61	39,2	39	0,2	0,57%
11,61	39,2	39	0,2	0,57%	11,61	37,2	37	0,2	0,57%
11,51	38,9	39	-0,1	0,29%	11,51	36,9	37	-0,1	0,29%
5,89	19,9	20	-0,1	0,51%	5,89	18,9	19	-0,1	0,64%
4,97	16,8	17	-0,2	1,23%	4,97	15,9	16	-0,1	0,44%
3,93	13,3	13	0,3	2,13%	3,93	12,6	13	-0,4	3,11%
3,91	13,2	13	0,2	1,61%	3,91	12,5	12	0,5	4,43%
3,84	13,0	13	0,0	0,21%	3,84	12,3	12	0,3	2,56%
3,82	12,9	13	-0,1	0,73%	3,82	12,2	12	0,2	2,03%
3,78	12,8	13	-0,2	1,77%	3,78	12,1	12	0,1	0,96%
2,04	6,9	7	-0,1	1,54%	2,04	6,5	6	0,5	8,97%
			Promedio	0,6%				Promedio	0,6%

TABLA 8.1. MEDIDAS DEL BAPTISTERIO EN PEDES Y POUS

con la idea de una basílica basada en métrica romana, de planta rectangular, de 60 x 42 *pedes* en su interior, dividida en tres naves con un intercolumnio de 10 *pedes* (Figura 8.3).

De esta hipotética basílica inicial faltaría definir qué solución se aplicó tanto para la cabecera como en su relación con la primera piscina bautismal.

La forma del baptisterio

El baptisterio se presenta como un cuerpo cuasi cuadrangular con un área central diferenciada. Su forma es ligeramente trapezoidal, ya que el ángulo sudoccidental se retrae unos 60 cm, probablemente a causa de alguna preexistencia (arquitectónica o funeraria) que aún no se ha podido definir con exactitud.

En lo referente a la unidad métrica, como se ha visto en la Tabla 1, estadísticamente tanto podría haberse utilizado un pie romano como un pie bizantino. El valor diferencial está, sobre todo, en la coherencia de los resultados. La conversión a pies romanos es más coherente y con una mayor lógica constructiva. Este dato sería concordante con la cronología propuesta para su construcción (480/570 d. C.); anterior, o en el peor de los casos coetáneo, a la conquista bizantina de las Baleares (534 d. C.).

Su exterior mide 14,03/13,80 m por 12,16/11,61 m, que corresponderían a unos 47 x 43 *pedes*. En el centro, se sitúa el ámbito que acoge la piscina que mide 20 x 12,5 *pedes* en el interior y 18 *pedes* de ancho en el exterior sin que se pueda determinar su longitud, que se acercaría a los 22 *pedes*.

En los laterales de este espacio, quedarían dos corredores de unos 12,5 *pedes* de ancho, que funcionaría a modo de deambulatorio, lo que determina que el ancho interior total del baptisterio sea de unos 43 *pedes*. Precisamente, esta distancia es la misma que hay desde la cara interna del muro occidental de

la basílica hasta la cara interna del muro occidental del baptisterio. No creemos que esto obedezca a ninguna casualidad, todo lo contrario, ya que así se configura el baptisterio como un espacio cuadrado de 43 *pedes* (que englobaría el muro oeste de la basílica) que estaría íntimamente relacionado con la basílica. Prácticamente en el centro exacto de ese cuadrado se sitúa la piscina, que en forma de cruz griega se puede inscribir dentro de un cuadrado de 6 *pedes* (Figura 8.4).

La proporción

La basílica de Son Peretó, tal y como afirmó Alcaide (2011), presenta un exterior articulado a partir de la proporción áurea.¹⁷⁸ 74 *pous*, dividido por 45 *pous* da 1,64.¹⁷⁹ Esta misma proporción la encontramos en la relación que se establece entre las anchuras de las naves, 18 *pous* la central por 11 *pous* las laterales (18 dividido por 11 da 1,636). La exactitud encontrada y la redundancia ponen claramente en evidencia que esta proporción es la que determinó la forma de la basílica, al menos en la Fase B (Figura 8.5).

No obstante, se da la circunstancia, ya observada anteriormente (Gurt y Buxeda 1996), de que el interior de las naves, que miden 60 *pedes* por 42 *pedes*¹⁸⁰, presentan una proporción diferente, en este caso de $\sqrt{2}$ ¹⁸¹. El uso de estas dos proporciones en un mismo edificio de este tipo sorprende por inusual y por poco práctico a nivel constructivo. Sólo vemos dos posibilidades para explicar esta anomalía: la existencia de diversas fases constructivas con ideas formales diferentes, o la existencia de un hábil, y complejo, juego de proporciones diferentes. Optamos por descartar esta última posibilidad, tanto por falta de paralelos como porque no hemos sabido hallar la solución necesaria a la hora de encajar estas dos proporciones en una misma construcción.

Quedaría así, como única explicación, la existencia de diversas fases constructivas, hecho ya documentado a nivel arqueológico. Como ya se ha comentado anteriormente, las medidas internas de la basílica aparecen más coherentes si se aplica una métrica romana (60 x 42 *pedes*) lo que denotaba la posibilidad del uso de una doble métrica. Que un mismo elemento arquitectónico presente un uso de una doble métrica y proporción refuerza la idea de que se está delante de dos fases constructivas claramente diferenciadas.

El baptisterio, por el contrario, se presentaría como un espacio definido, internamente, por un cuadrado de 43 *pedes*, justificándose este valor por corresponder a la anchura interna de las naves de la basílica¹⁸². En el centro geométrico de este espacio se situaría la piscina bautismal, que estaría dentro de un ámbito de 20 x 12,5 *pedes*, que sería un rectángulo en proporción áurea.¹⁸³ La luz de este espacio, 12,5 *pedes*, prácticamente es la misma que tienen los corredores laterales que lo envuelven. No obstante, si se considera la anchura total, es decir incluyendo el grosor de los muros del ámbito interior, la proporción entre los espacios laterales y el central es de $\sqrt{2}$ repitiendo la dualidad de proporciones que ya se ha documentado en el interior de la basílica.

¹⁷⁸ Ya en trabajos anteriores justificamos el uso de esta proporción en arquitectura de época clásica, la génesis de su conformación y el valor simbólico que pueda o no tener, y a ellos nos remitimos: Puche 2010; Puche y López 2013.

¹⁷⁹ El valor, con una precisión de tres decimales, del número áureo es de 1,618.

¹⁸⁰ Corresponden a 57,4 *pous* por 40 *pous*. En lo referente al estudio de proporciones el tipo de unidad métrica utilizada es irrelevante, ya que siempre dará el mismo resultado independientemente de si se utilizan pies romanos (*pedes*), pies bizantinos (*pous*) o metros.

¹⁸¹ 60 dividido por 42 da 1,428. El valor, redondeado a tres decimales, es de 1,414. Sobre su construcción y significado nos remitimos a la misma bibliografía citada en el caso de la proporción áurea.

¹⁸² La basílica y el baptisterio tienen una misma anchura externa, pero en la interna divergen unos 30 cm a causa del diferente grosor de los muros, que son unos 10 cm más estrechos en el baptisterio.

¹⁸³ 20 dividido por 12,5 da 1,6.

Esto configuraría el baptisterio como un espacio cuadrado con un espacio central rectangular, en donde se dispondría la piscina, circundado por un deambulatorio.

Propuesta volumétrica

La arquitectura crea un objeto tridimensional donde siempre se establece alguna relación entre la planta y el alzado. Dicho de otra manera, si se es capaz de definir la razón que determina la planta es posible establecer cuál es la razón del alzado, si se deduce cuál es la relación entre esas dos razones.

En los escasos ejemplos de arquitectura paleocristiana donde actualmente es posible establecer su altura original, se puede observar que hay una correspondencia entre las proporciones que definen la planta y las que definen la altura. En la mayoría de los casos estudiados, se puede determinar que la relación que hay entre la anchura y la altura es la misma que la que hay entre la anchura y la longitud o entre las diferentes anchuras internas en los casos de edificios con diversas naves. Esto se observa, entre otros muchos casos, en las basílicas constantinianas de Roma –sobre todo St. Pietro, St. Giovanni y S. Paolo Fuori Mura– (Tollotti 1972); en las basílicas elianas de Sant’Eufemia y de Santa Maria delle Grazie de Grado, del siglo VI (Pozzetto 1980); o en San Lorenzo Maggiore de Milán (Krautheimer 1985), donde la relación entre la anchura de las naves corresponde a la relación entre estas y su altura, que es lo mismo que ocurre en St. Miquel de Terrassa, de finales del siglo V inicios del VI (García, Moro y Tuset 2009). También se observa esta relación entre la altura y la anchura en la iglesia de San Sergio y Baco en Estambul, la actual Küçüç Aya Sofya Camii (Krautheimer 1985), de época justiniana; o en el aula con cúpula de Centelles, en Constantí del siglo IV–V (Puche y Lòpez 2016 y 2017) que se inscriben dentro de un cubo, el primero de 100 *pous* de lado, y el segundo de 50 *pes* de lado. Y, aunque sean cronológicamente posteriores, esta correspondencia se establece también en las iglesias prerrománicas asturianas (Arias 2008).

Es evidente que, en la arquitectura tardoantigua, casi siempre hay una razón semejante entre la planta y el alzado lo que permite proponer, de forma justificada, reconstrucciones volumétricas en aquellos edificios en los que se ha conservado la planta. Estas propuestas no pueden ser demostradas y, por tanto, siempre es arriesgada una extrapolación directa, ya que no pueden descartarse en ningún momento las singularidades. No es menos cierto, sin embargo, que una vez definida una determinada praxis constructiva, las posibilidades estadísticas de que se repliquen son elevadas y, a falta de otros elementos, se puede jugar la carta de la probabilidad coherente usando el principio de la *lex parsimoniae*.¹⁸⁴ Este último principio establece que delante de varias posibles explicaciones en igualdad de condiciones la más simple es la más probable, aunque no necesariamente sea la verdadera. Evidentemente, no es una ley predictiva, pero sí que es un sistema heurístico que permite superar las variables desconocidas optimizando la relación coste-beneficio en un razonamiento.

En el tipo de estudio reconstructivo como el nuestro implica que, a efectos prácticos, frente a la ausencia de evidencias que permitan descartar o afirmar alguna hipótesis, se considera que la más simple es la más probable. Y que la suma de las diferentes hipótesis o suposiciones parciales tienen que generar un cuerpo lógico coherente. Esto no permite demostrar aquello que no es demostrable por una carencia de datos, pero sí que permite construir un discurso coherente, justificable y posibilista. Con este enfoque se pueden llegar a razonar aproximaciones a la realidad más allá de la evidencia pura. Y así se tiene que leer la propuesta volumétrica que se va a realizar a continuación, una hipótesis argumentada que sin poder demostrar su veracidad¹⁸⁵ al menos si tiene demostrada su posibilidad.

¹⁸⁴ Más conocida como *navaja de Ockham*. Este principio se puede formular en dos frases *Pluralitas non est ponenda sine necessitate* y *Entia non sunt multiplicanda praeter necessitatem* (Gal y Brown 1970).

¹⁸⁵ Entonces no estaríamos hablando de una teoría si no de una regla o norma.

La basílica

En la basílica, en su Fase B, se puede determinar que la relación que hay entre las naves laterales y la central se establece a partir de una razón áurea lo que hace presumible que esa sea la misma relación entre la anchura de las naves y su altura.¹⁸⁶ Así, las naves, hasta el arranque de la cubierta, tendrían una altura de 18 *pous* en el caso de las dos laterales, mientras que la altura de la nave central sería de 29 *pous*.

Descartamos una cubierta con bóveda, tanto por razones técnicas, ya que el espesor y la naturaleza de los muros perimetrales ofrecerían una insuficiente resistencia a los empujes laterales, como por el hecho que en las excavaciones arqueológicas no se ha hallado resto alguno que haga suponer la existencia de una bóveda colapsada. Todo lo contrario, ya que en los escritos de J. Aguiló se hace referencia a la existencia de numerosos fragmentos de tejas, clavos y madera quemada que podrían corresponder a una cubierta lúnea (Alcaide 2011, 98). Esto sería coherente con la evolución histórica arquitectónica ya que todo apunta a que las estructuras abovedadas en edificios de culto cristianos, en occidente, no aparecen hasta los siglos VIII–IX (Caballero y Sastre 2014: 280) y, sobre todo, con el ambiente general conocido hoy en día de las basílicas paleocristianas baleáricas (Alcaide 2011: 435).

La opción más probable es la existencia de una cubierta a doble vertiente. Esta tendría una pendiente incierta, pero que por paralelos históricos documentados (Pozetto 1980; Puche y López 2013; Tolotti 1972;) se situaría entre los 21° y los 25°, o lo que es lo mismo, con una pendiente de un 40–45%, que es la pendiente estándar en nuestras latitudes para techos de doble vertiente. Así, la altura total probable de las naves laterales sería de unos 22/24 *pous* y la central de 32/35 *pous* (Figura 8.6a.).

El baptisterio

En el baptisterio, tanto la naturaleza como la distribución de los muros prácticamente descartan la posibilidad de una cobertura abovedada (Riera Rullan y Cau 2012b: 22–23)¹⁸⁷. La anchura de los muros, así como el tipo de fábrica de estos, y la ausencia de cualquier tipo de contrafuerte o refuerzo estructural revelan que, físicamente, estos no pudieron soportar una estructura abovedada. El registro arqueológico reforzaría esta idea ya que aparecieron numerosos fragmentos de *tegulae* en los laterales internos del baptisterio (Aguiló 1920: 2).

En consecuencia, cabría pensar en una cubierta techada a diversas aguas, pudiéndose barajar la posibilidad de una cobertura única para todo el recinto, o una con la parte central sobreelevada. Técnicamente ambas son posibles, pero descartaríamos la primera opción, tanto por los pocos paralelos conocidos, como, sobre todo, porque se adosa a un edificio, con el que forma un *continuum*, en donde claramente hay una techumbre a dos niveles.

No hay ningún indicio que permita suponer el número de aguas de esta cobertura, si era de dos, tres o cuatro. El baptisterio y la basílica de Son Peretó forman parte de una tipología arquitectónica; basílica tripartita con baptisterio en el imafrente, ya sea adosado o ya sea integrado,¹⁸⁸ que se presenta como

¹⁸⁶ El primer problema es establecer el concepto altura. Si esta se entiende desde el pavimento hasta el arranque-imposta de la cubierta o hasta la parte culminante de la misma. En los paralelos consultados, siempre se establece hasta el arranque de la cubierta.

¹⁸⁷ Se había publicado la posibilidad que la parte central del baptisterio estuviese cubierta con una cúpula (Palol *et al.* 1968: 9). La falta de argumentación sobre esta afirmación impide que la podamos valorar y contraponer a nuestra propuesta de cubierta con tejado.

¹⁸⁸ Los casos más emblemáticos son El Bovalar, el Tolmo de Minateda (Gutiérrez, Abad y Gamo 2004) y la basílica de Gerena (Fernández, Alonso y Lasso 1987). Esta ha sido objeto de una interesante propuesta reconstructiva (Velázquez 2013) en la cual, desafortunadamente, no se justifican las soluciones propuestas.

un único volumen arquitectónico al estilo del documentado en la sede de *Egara* (Garcia, Moro y Tuset 2009) o en El Bovalar (Palol 1986), donde la zona del baptisterio no presentaría un volumen diferenciado respecto a la basílica. Por esta razón, descartamos una cubierta a cuatro aguas y creemos poco probable una a tres aguas.

No obstante, es evidente que la división interna del baptisterio y la de la basílica presentan una anchura diferente y, por tanto, marcarían una sección con dos cuerpos diferenciados. De hecho, los muros internos del baptisterio, los que delimitan el espacio de la piscina, no siguen la misma alineación de la columnata de la basílica. Además, la existencia de diversos enterramientos adosados a estos muros impide la existencia de columnas o pilares adosados que podrían suplir la prosecución de las columnatas. Esto hace técnicamente inviable la prosecución de la cubierta de la basílica hacia el baptisterio, que presentaría, a la fuerza, una volumetría diferenciada.

Ya hemos apuntado anteriormente la existencia de, como mínimo, dos fases constructivas en la basílica, la última de las cuales, que incorpora la proporción áurea, implicó un cambio en la anchura de las naves y, por ende, la realización de una nueva cubierta, más alta que la anterior. El estudio de la planta sugiere la posibilidad que durante la Fase A de la basílica, esta se estructuraría en función a la proporción de $\sqrt{2}$ que es la misma documentada en el interior del baptisterio. Esta similitud permite suponer que el baptisterio formaría parte de un mismo proyecto arquitectónico con la Fase A de la basílica. De ser así, las reformas que configuraron la Fase B de la basílica no afectaron al baptisterio, que continuó con su aspecto original (Figura 8.8a).

Analizando de forma individual el baptisterio y en concreto las relaciones entre la planta y el alzado, se nos plantean diversas hipótesis reconstructivas para el baptisterio:

- a) En la primera se plantea que la volumetría del baptisterio se defina a partir del cubo, considerando su planta cuadrada de 43 *pedes* de lado. Para que sea un cuerpo inscrito dentro de este cubo la altura máxima interior, que correspondería a la cruz de la cubierta, sería de 43 *pedes*. Esta altura representa 2,4 veces la anchura del espacio central, proporción que si se aplica a los espacios laterales resultaría que estos tendrían una altura máxima de 30 *pedes*. Con esta hipótesis se obtendría un baptisterio extremadamente vertical con un volumen que sobresaldría por encima de la basílica (Figura 8.6b).
- b) La segunda posibilidad considera que el interior del baptisterio se articula a partir de la proporción de $\sqrt{2}$ y siempre considerando que se comportaría como un aula tripartita. Así, aplicando esta proporción, resultaría que el espacio central, donde se sitúa la piscina bautismal, tendría una altura interna, hasta el arranque de la cobertura, de 25 *pedes*, mientras que los espacios laterales tendrían 17,5 *pedes*. Aplicando la misma pendiente de la techumbre que la definida en la basílica nos indicaría que la altura máxima del baptisterio sería de unos 28 *pedes*. Esta solución dejaría un espacio libre de menos de 3 *pedes* (menos de 90 cm) de altura para el cuerpo central sobreelevado, lo que imposibilitaría, o situaría a la mínima expresión, la creación de ventanas en el cuerpo central (Figura 8.6c).
- c) La tercera posibilidad es una variante de la anterior. Una posible solución sería considerar que se mantiene la proporción de $\sqrt{2}$, con la variante de que, si mientras en el espacio central se define la altura hasta el nivel de imposta de las cerchas, en los laterales se define hasta la parte superior de la cubierta. Además, por razón de lógica geométrica, se definirían los laterales dentro de un espacio cuadrado. Así la parte central se elevaría unos 8 *pedes* (unos 2,3 m) sobre las naves laterales, lo que consentiría la colocación de ventanas que iluminaran el interior (Figura 3.6d). Con esta hipótesis se obtendría un baptisterio más bajo que la basílica. En este punto no hay que olvidar que los indicios apuntan la preexistencia de una fase anterior en donde la basílica

tendría una planta en proporción de $\sqrt{2}$, proporción que se podría proyectar en el alzado, razón por la cual se tendría que suponer que en la Fase A de la basílica tanto esta como el baptisterio tendrían una misma altura, mostrándose como un único volumen.

- d) Hay una cuarta posibilidad, ya señalada por algunos autores –desde el mismo J. Aguiló (1920) y acabando con A. Khatchatrian (1982: 32),¹⁸⁹ y es que la piscina se situase a cielo abierto, adquiriendo el baptisterio un aspecto similar a la de un pequeño patio porticado. Si esto fuese así, la altura de las paredes interiores se podría establecer siguiendo la misma lógica utilizada en el caso anterior (Figura 8.6e).

De estas cuatro propuestas, consideramos poco probable la primera (la 3b) ya que consideraría el baptisterio como un elemento arquitectónico disgregado de la basílica y lo acercaría a los modelos de planta central exentos, lo que entraría en clara contraposición con los paralelos conocidos. Además, tendría un desarrollo vertical poco habitual en la arquitectura de los siglos VI–VII.

La segunda propuesta (la 3c) quedaría descartada básicamente por la poca altura del cuerpo central, lo que imposibilitaría la existencia de ventanas en este cuerpo. Como ya se ha comentado, el hecho de que el cuerpo central solo se elevase unos 80–90 cm por encima de las techumbres laterales hace inviable la iluminación del cuerpo central.

La cuarta propuesta (la 3e) también se podría descartar tanto por la ausencia de paralelos fiables como por razones litúrgicas. No sólo no conocemos ninguna evidencia que nos hable de baptisterios al aire libre, sino que además dudamos que se pueda conservar la sacralidad de una piscina bautismal que esté sujeta a las inclemencias meteorológicas.

En consecuencia, consideramos, como más probable, la tercera solución (la 3d) que determina la altura del baptisterio a partir de la conjunción de proporción de $\sqrt{2}$ en el espacio central, junto con la cuadrada en los laterales, con una solución para la cubierta a doble vertiente y con la parte central suficientemente sobre elevada que consienta la colocación de ventanas. Esta solución se documenta, por ejemplo, en la basílica de Santa Maria delle Grazie del Grado (Pozzeto 1980).¹⁹⁰

Independientemente de cuál sea la altura real que tuviese el baptisterio, la lógica funcional hace presuponer que el muro que circunda la piscina tuviese una altura limitada, actuando como un cancel o barandilla, prosiguiendo en altura, para sostener la techumbre, en algunos puntos determinados, ya sea en forma de columna, ya en forma de pilastra.

En Son Peretó, no se ha conservado ningún indicio que presuponga la existencia de alguno de estos elementos, a excepción del sillar cuadrado que hay en el lado oriental del recinto interior, que sería compatible con la base de una columna o pilar. Es cierto que en las esquinas occidentales no se ha conservado ningún elemento similar, pero en la planimetría de J. Aguiló (Figuras 1.1 y 1.6) se indica la existencia de seis sillares que perfectamente pueden corresponder a sendas basas de elementos de soporte vertical¹⁹¹. Se distribuyen de una forma aparentemente regular, lo que permite hipotetizar que

¹⁸⁹ J. Aguiló, durante sus trabajos de excavación, encontró solo restos de techumbre (básicamente *tegulae*) en el corredor perimetral, sin que haga ninguna referencia al hallazgo de ningún resto en el área de la piscina, lo que le llevó a interpretar este espacio como un atrio.

¹⁹⁰ El conjunto paleocristiano de Grado está compuesto por las Iglesias de S. Maria delle Grazie y Sant'Eufemia y un baptisterio octogonal, exento, vecino de esta última. Se datan del siglo V–VI d. C.

¹⁹¹ Es cierto que la planimetría de J. Aguiló presenta algunas inexactitudes. Así, por ejemplo, alinea los muros internos del baptisterio con el del contracoro, o solo dibuja dos filas de columnas en el interior de la basílica. No hay que olvidar la génesis de esta planta. J. Aguiló nunca vio descubierta la totalidad de la basílica, ya que la excavaba por partes cubriendo lo ya descubierto antes de abrir otro sector. Esta planta, aunque algunas veces sitúa

las cerchas que se situarían a una distancia, una de las otras, de unos 10 *pedes*. En caso de ausencia de estos elementos de sustentación vertical cabría imaginar un muro elevado hasta la techumbre que cegaría el ámbito de la piscina, creando un espacio angosto, al mismo tiempo que limitaría la participación directa, visual, del bautismo a un número extremadamente reducido de personas.

Por lo que respecta a las aberturas, y en concreto a las puertas, sólo se puede hacer referencia a la planimetría de J. Aguiló ya que el estado de conservación actual se sitúa a nivel de cimentación. Este autor indica la existencia de cinco accesos, dos que permitirían el ingreso a las naves laterales de la basílica, otro en el extremo sur de la fachada occidental y dos más en los extremos orientales de los muros norte y sur. Estos dos últimos accesos los consideramos poco probables, o al menos injustificables dentro de la lógica de la circulación entre el baptisterio y su exterior.

Lo que sí parece evidente es que hay un eje de circulación que comunicaría el interior de la basílica, en concreto su nave lateral sur, con el exterior atravesando el lateral sur del baptisterio. La segunda puerta que comunicaría el baptisterio y la basílica también tiene su lógica al permitir un recorrido deambulatorio durante la ceremonia del bautismo que se iniciaría y finalizaría en la basílica¹⁹² (Figura 8.7).

Por lo que respecta a posibles ventanas, tenemos que presuponer alguna de ellas para poder dar luz al interior del baptisterio. Desconocemos cualquier indicio que nos oriente sobre su supuesta distribución o número, pero se puede especular la existencia de un número par de ellas en la parte sobreelevada central, coincidentes con las crujías de la cubierta. Nada impide pensar en la existencia de ventanas en el muro frontal, pero tampoco hay nada que permita suponer su presencia. Así pues, ante la falta total de datos, y aplicando la *lex parsimonia*, hipotetizamos para el baptisterio la presencia de solo cuatro ventanas en cada lateral situadas en el cuerpo central (Figura 8.8b).

Conclusiones

En resumen, el estudio métrico realizado ha permitido proponer la hipótesis de la existencia de, como mínimo, dos proyectos constructivos en la basílica. El primero (Fase A), basado en una métrica romana y que mantiene una proporción de $\sqrt{2}$. Es en esta fase cuando se configuran las naves de la basílica, aunque, seguramente, con un intercolumnio diferente al conservado.

El segundo proyecto constructivo (Fase B) obedece a una métrica claramente bizantina y se estructura a partir de la proporción áurea. Se puede determinar que, en un momento determinado, obviamente posterior a la conquista bizantina de las Baleares en el 534, se modifica la basílica precedente, redefiniendo su cabecera y el intercolumnio que definirían el posible presbiterio y enmarcarían el contracoro. Este movimiento de la columnata implicaría, por razones obvias, una reestructuración total de la techumbre que, con un cambio de la sección del edificio que, al menos en su nave central, desarrollaría una mayor altura.

La Fase 2 del baptisterio, la actualmente visible (véase Capítulo 9), por el contrario, probablemente se estructura a partir de una métrica romana y muestra una proyección estructurada en base a la proporción de $\sqrt{2}$. Estos dos elementos la hacen coetánea a la Fase A de la basílica. Con esto no queremos decir que se hayan construido al mismo tiempo, sino que, independientemente del orden en que se

mal ciertos elementos es indicativa de aquello que J. Aguiló vio y aún es útil para discernir aspectos y elementos que están ocultos o han desaparecido.

¹⁹² Recordemos que a nivel formal arquitectónico nuestro baptisterio se define como un espacio adyacente al de la basílica, de la que no deja de ser una extensión. Ocurre lo mismo en el conjunto episcopal de *Egara* y en la basílica de El Bovalar, entre otros.

hayan construido, en un momento determinado funcionan conjuntamente. El hecho que compartan una misma razón constructiva permite considerar que el baptisterio, arquitectónicamente hablando, sería una continuación, un alargamiento si se quiere, de la basílica, con el que conformaría un continuum arquitectónico que, difícilmente, permitiría su diferenciación desde el exterior (Figura 8.9).

La profunda reforma que sufre la basílica a partir de mediados del siglo VI, aparentemente, no afecta al baptisterio, que mantendría el mismo volumen. Esto daría como resultado un edificio con dos cuerpos claramente diferenciados, aunque unidos; la basílica, con una sección más elevada, y el baptisterio, que se le configuraría como un anejo.

Destaca, por su relevancia, la detección del uso de una métrica bizantina, sobre todo por su singularidad ya que en el entorno geográfico más inmediato aún predomina la métrica romana. Este hecho sería indicativo de la intensidad de los contactos que tendría el promotor de la Fase B de la basílica con el poder imperial bizantino que por lógica habría participado, directa o indirectamente, en su remodelación.

Esta sería una dinámica no exenta de paralelos ya que son sobradamente conocidos, dentro del área de control bizantino, casos en donde la construcción de basílicas u otros edificios de culto, aunque sean de iniciativa local, gozan de una promoción imperial que se muestra de forma directa y contundente¹⁹³. Así como está documentado arqueológicamente la “exportación” de elementos arquitectónicos decorativos y estructurales fabricados en talleres bizantinos a Occidente¹⁹⁴ que obedecen a patrones y proyectos claramente predefinidos, obviamente en Oriente.

El uso del pie bizantino, el *pus*, en Son Peretó no deja de ser un claro indicio de la intensidad de las relaciones que, a partir del siglo VI se establecerían entre las Baleares y la que entonces era su metrópolis, Constantinopla.

¹⁹³ Un caso muy ilustrativo es el del obispo Porfirio de Gaza, que a la hora de construir la basílica Eudoxiana pide ayuda a la emperatriz Eudoxia. Esta ayuda llega en forma de carta, en donde se envían, directamente desde Constantinopla, los planos de la basílica a construir: *En otra hoja, en el interior de la carta, estaba el diseño de la sagrada iglesia, con forma de cruz, como ahora se puede contemplar con la ayuda de Dios. La carta, decía también, que la sagrada iglesia se debía construir según este diseño* (Marco el Diácono: *Vita Porphyrii episcopi Gazensis*, 75 — Traducción y comentario de Ramón Teja. Madrid 2008).

¹⁹⁴ El caso más evidente es el del pecio de Marzamemi, del siglo VI, en donde se halló un barco cargado con elementos arquitectónicos orientales, ya finalizados, destinados a la construcción de una basílica incierta de los confines occidentales del imperio (Kapitän 1980)

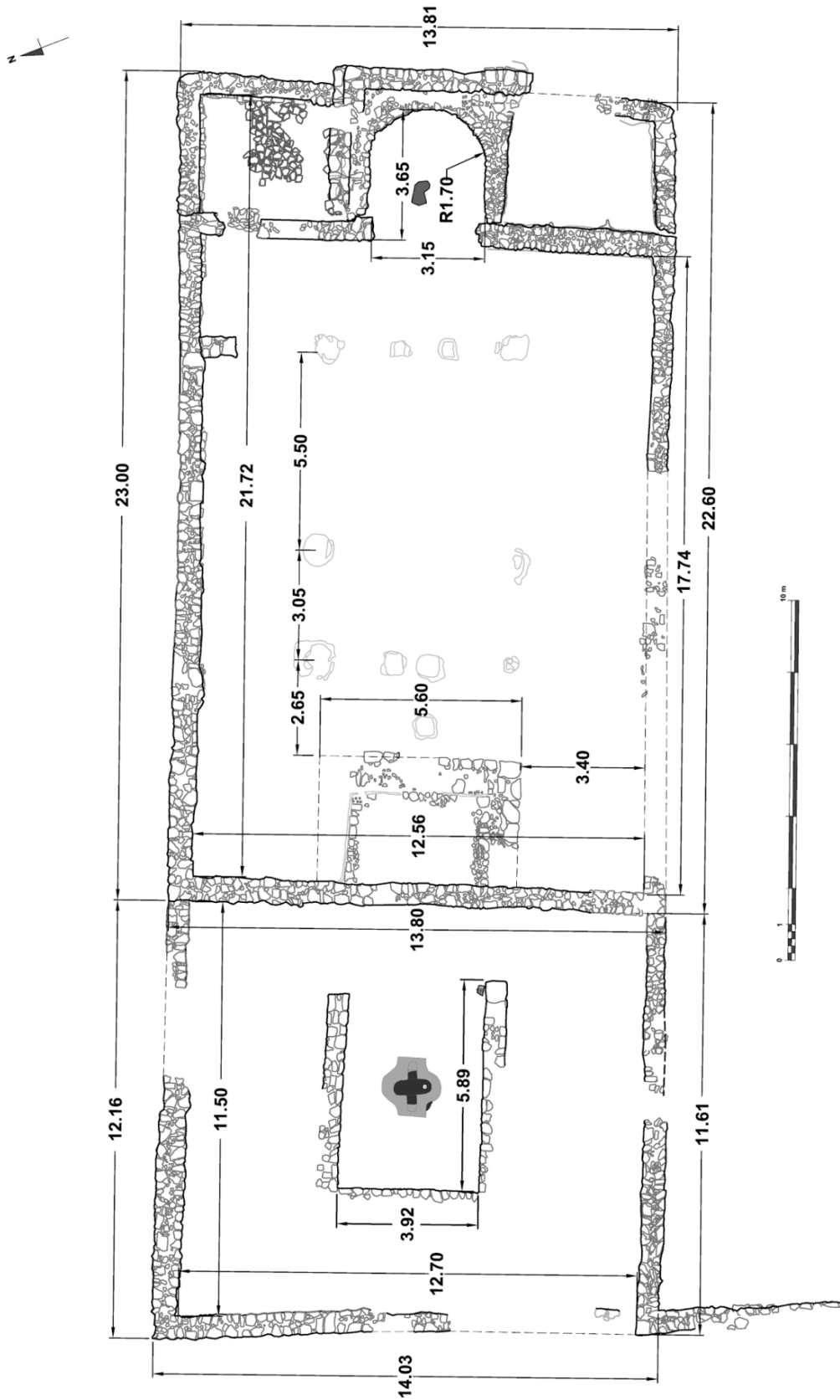


Figura 8.1. Planta con las principales dimensiones, en metros, del baptisterio y la basílica

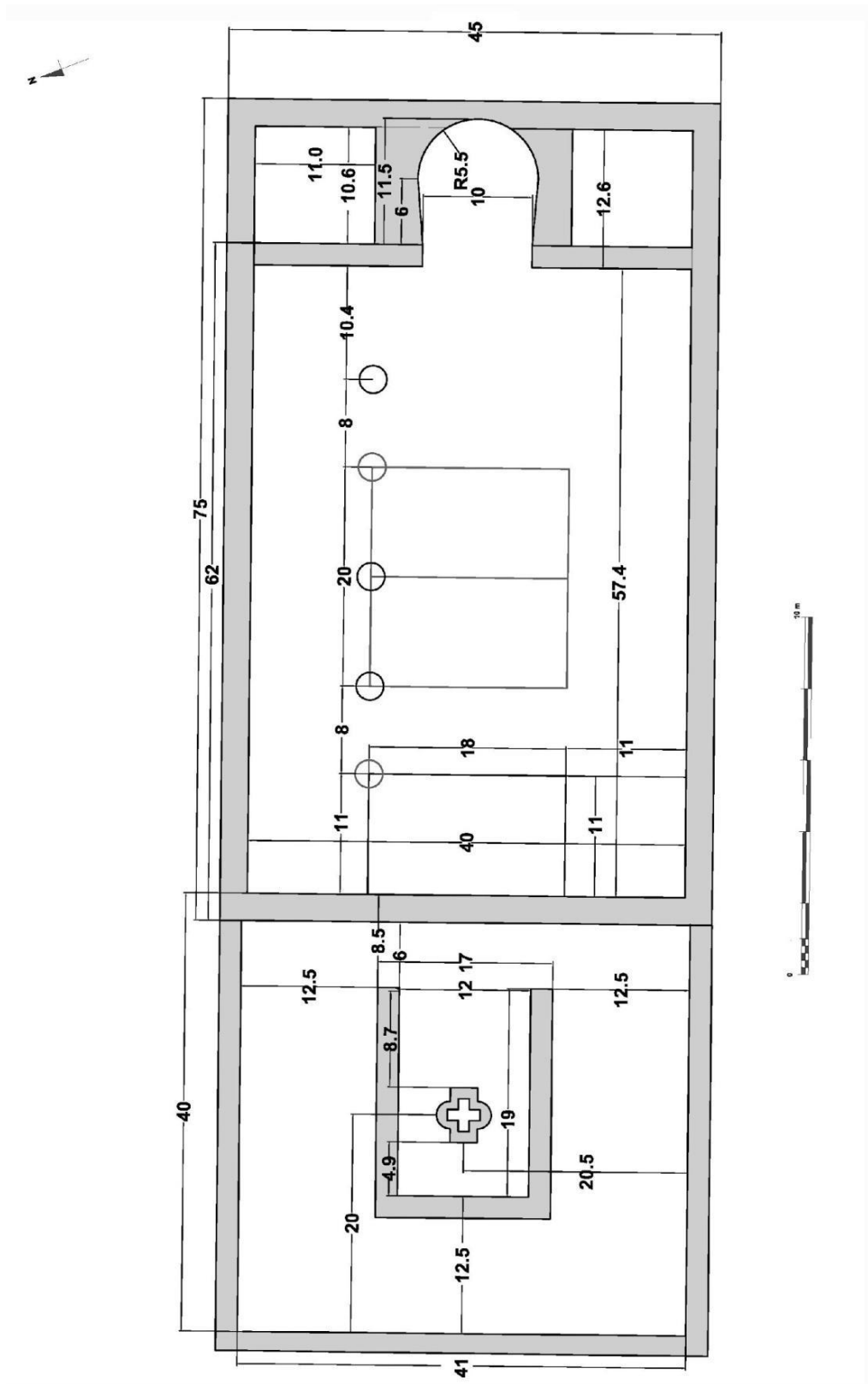


Figura 8.3. Planta esquemática, acotada en pous (pies bizantinos), del baptisterio y la basílica. 1 pie bizantino=0,31 m

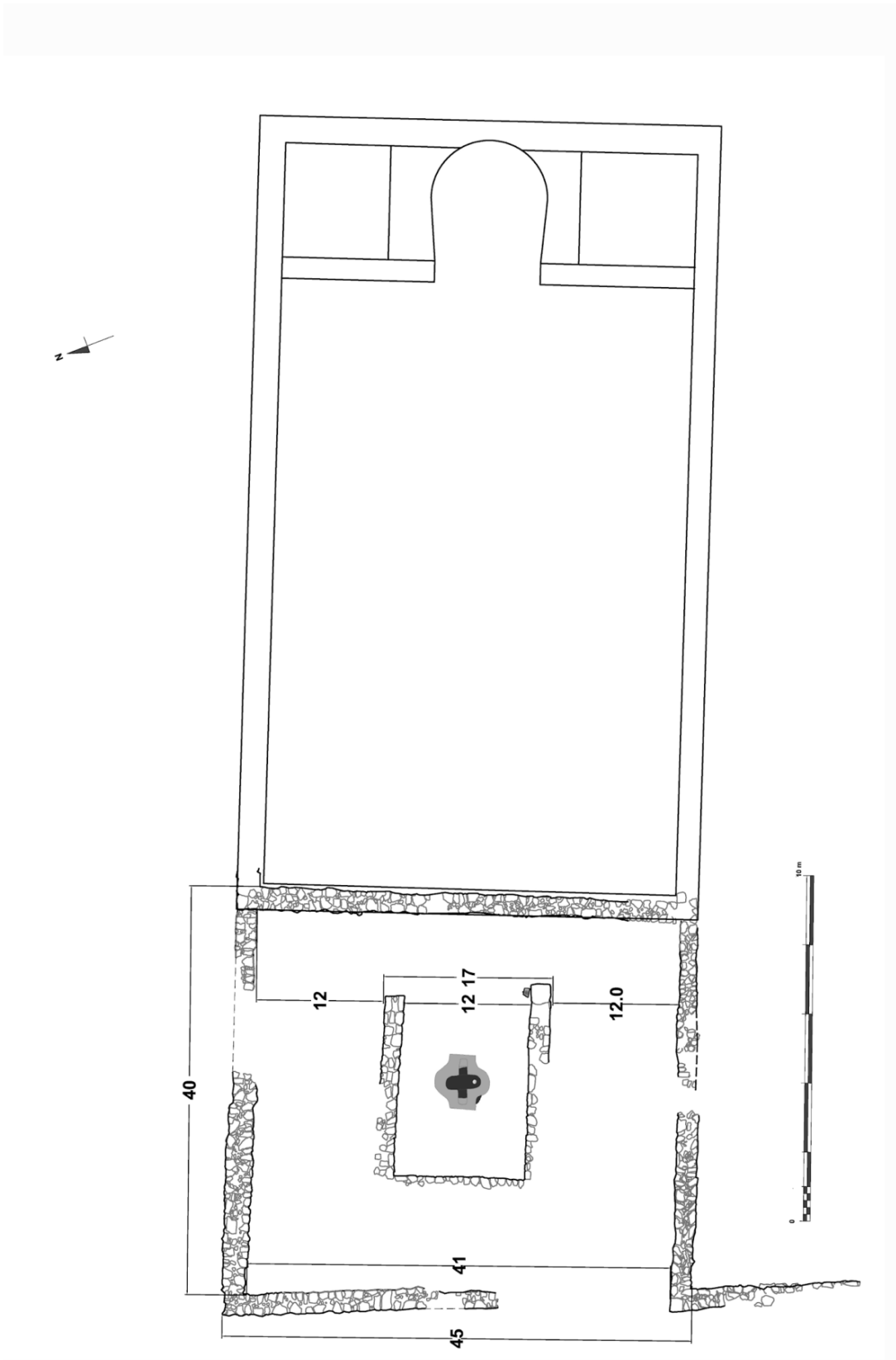


Figura 8.4. Planta del baptisterio con las principales medidas en pous

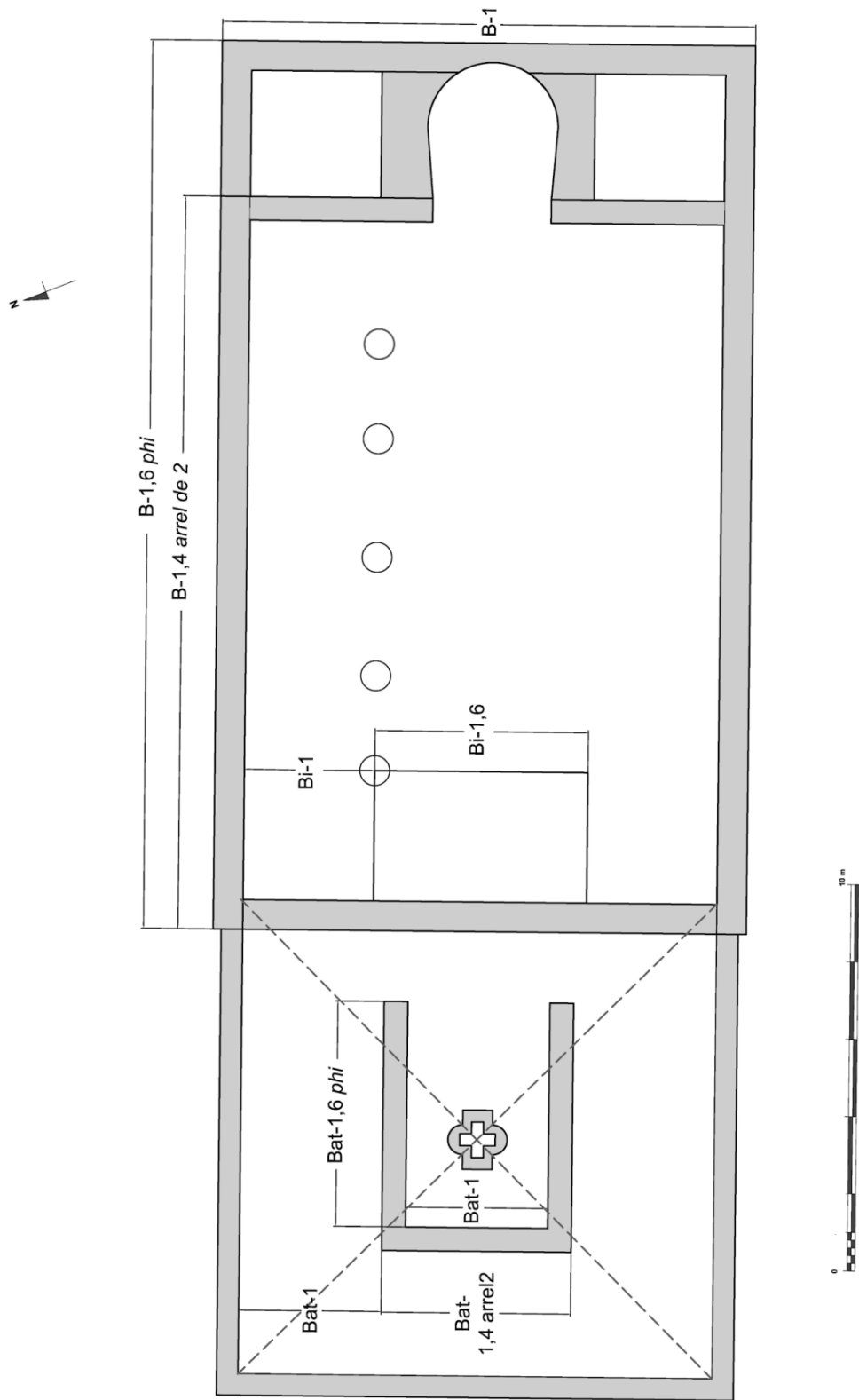


Figura 8.5. Proporciones de la basílica y el baptisterio. B=Exterior basílica (doble proporción en phi $\sqrt{2}$). Bi=Interior basílica. Bat=Baptisterio

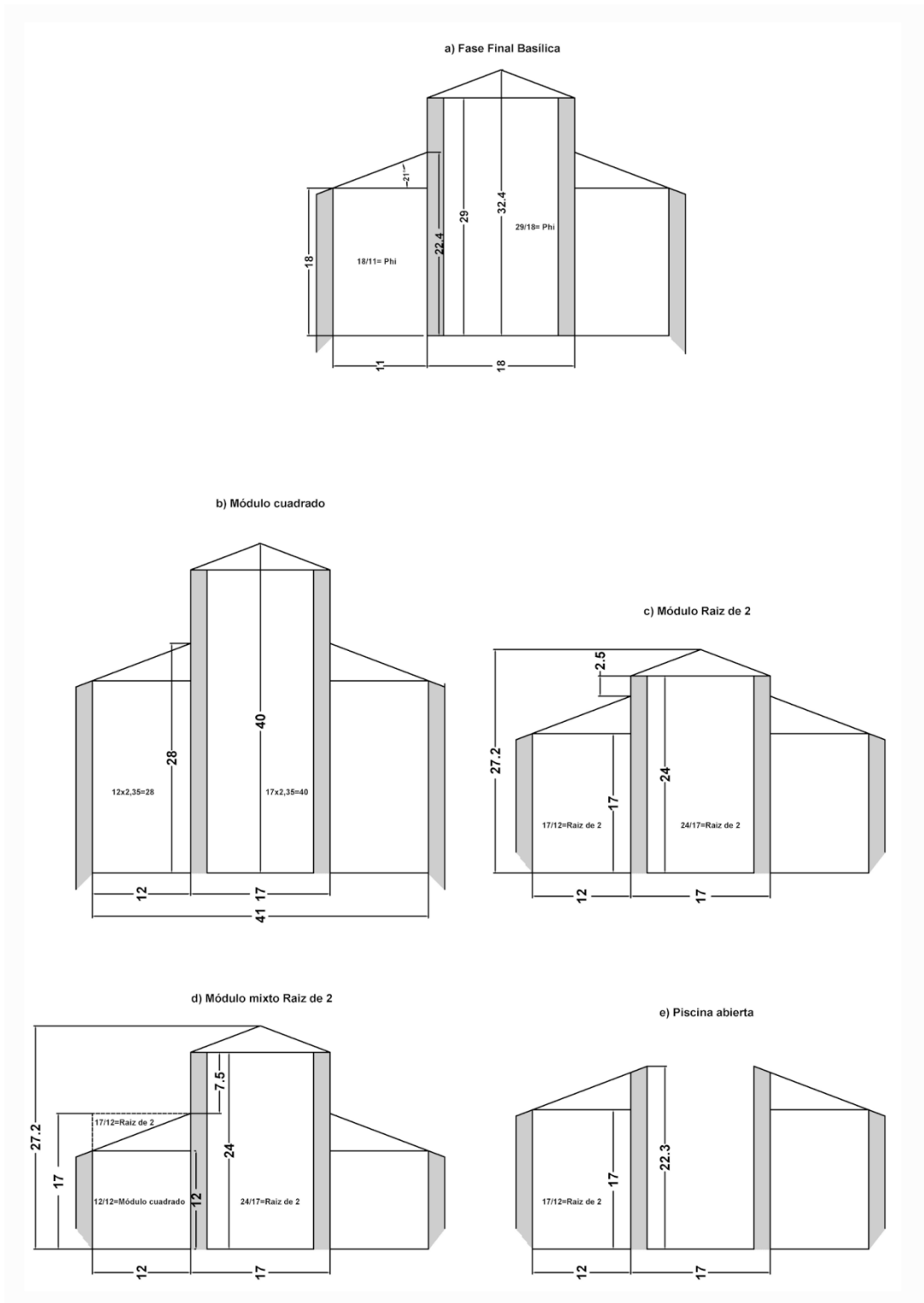


Figura 8.6. Propuestas de alzado: a) Sección teórica de la fase final de la basílica. b) Sección teórica del baptisterio según un módulo cuadrado. c) Sección teórica del baptisterio según un módulo de $\sqrt{2}$. d) Sección teórica del baptisterio según un módulo mixto de $\sqrt{2}$. e) Sección teórica del baptisterio abierto

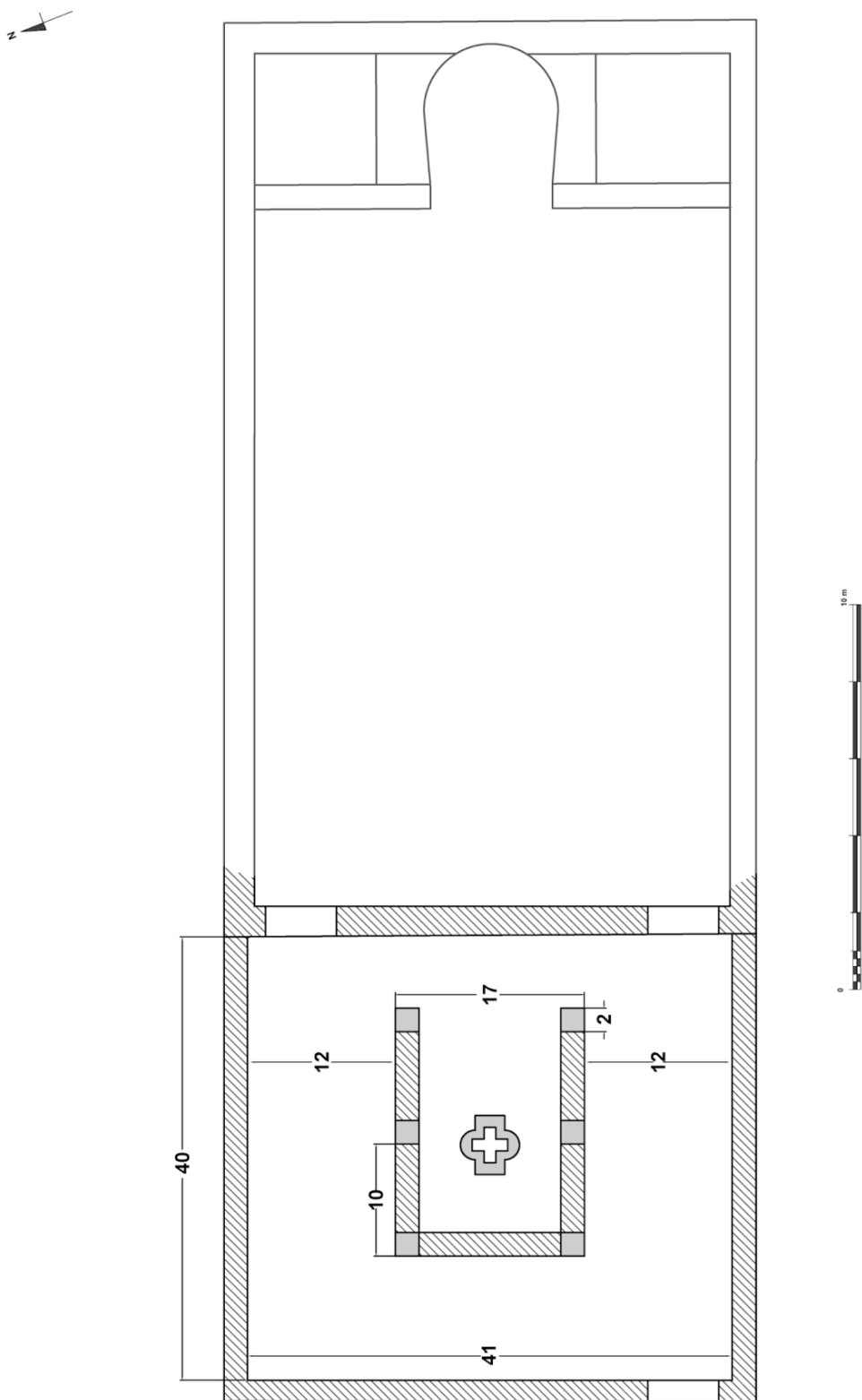


Figura 8.7. Distribución teórica del interior del baptisterio

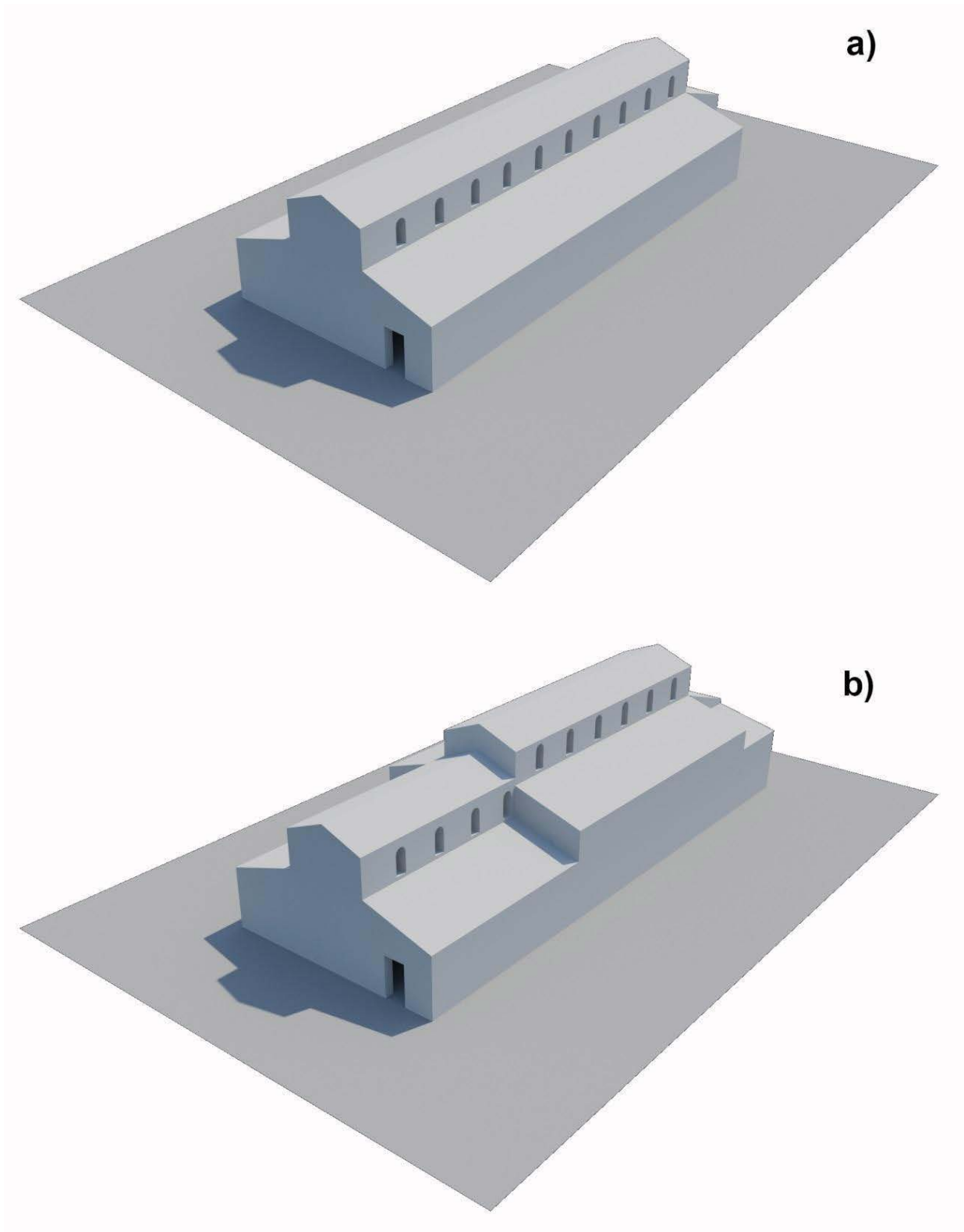


Figura 8.8. Reconstrucción teórica de las dos últimas fases de la basílica+baptisterio



Figura 8.9. Reconstrucción de la fase final del baptisterio

Capítulo 9

Los ambientes bautismales de Son Peretó entre los siglos V y VIII d. C.: a modo de conclusión

Mateu Riera Rullan¹⁹⁵, Miguel Ángel Cau Ontiveros¹⁹⁶

Introducción

La revisión de la documentación de excavaciones antiguas y las nuevas intervenciones arqueológicas en el baptisterio de Son Peretó han contribuido a la comprensión de este importante espacio del complejo eclesiástico. Las excavaciones recientes han permitido clarificar la evolución diacrónica del sector situado a los pies de la basílica, donde se encuentran el baptisterio y dos piscinas bautismales. La presencia de inhumaciones ha proporcionado también información valiosa sobre las costumbres y rituales funerarios desarrollados en Son Peretó.

Una de las principales conclusiones a las que se ha llegado gracias a los trabajos realizados durante la última década es que las dos piscinas de Son Peretó nunca funcionaron simultáneamente. Esta hipótesis ya se había defendido, entre otros, por N. Duval (1994: 206–207), C. Godoy (1995: 160–161)¹⁹⁷ y S. Alcaide (2005a, 2011: 123 y 356), a tenor principalmente de las informaciones textuales de carácter litúrgico, pero también por ciertos detalles relacionados con las cotas de las dos piscinas y con su emplazamiento en el interior del baptisterio. Ahora, gracias a la observación de los restos estructurales conservados, a los hallazgos realizados por debajo de la piscina pequeña, y a los análisis químicos y petrográficos efectuados en distintas muestras de revoques, se ha podido concluir que la piscina bautismal mayor es la más antigua y que fue parcialmente destruida, depositando parte de sus restos en el lugar donde después se construyó la piscina bautismal menor.¹⁹⁸ Por consiguiente, se puede afirmar que esta última es inequívocamente más moderna que la anterior, y que nunca se llegaron a utilizar ambas en un mismo momento. Queda resuelto pues el problema arqueológico planteado por la posible coexistencia de dos piscinas bautismales en un único recinto bautismal, y se puede dar por cerrado el largo debate arqueológico que estas fuentes habían generado desde su descubrimiento (Miriello *et al.* 2013; Riera

¹⁹⁵ Profesor asociado de la Universitat Autònoma de Barcelona, profesor de la Facultat Antoni Gaudí d'història, arqueologia i arts cristianes, investigador adscrito al Institut Català d'Arqueologia Clàssica.

¹⁹⁶ Institució Catalana de Recerca i Estudis Avançats (ICREA), Pg. Lluís Companys 23, 08010 Barcelona, Spain; Equip de Recerca Arqueològica i Arqueomètrica de la Universitat de Barcelona (ERAAUB), Institut d'Arqueologia de la Universitat de Barcelona (IAUB); Universitat de Barcelona (UB), Facultat de Geografia i Història, Departament d'Història i Arqueologia, c/ Montalegre 6-8, 08001 Barcelona, Spain; Chercheur Associé, Aix Marseille Univ, CNRS, CCJ, Aix-en-Provence, France.

¹⁹⁷ Ver también la intervención de esta investigadora en la *III Reunión de Arqueología Cristiana Hispánica* (Duval 1994: 208), así como las reflexiones de carácter litúrgico expuestas unos años antes (Godoy 1989: 630–632).

¹⁹⁸ En ese mismo momento, también se debió rellenar el interior de la piscina mayor —tal y como se ha podido comprobar que se hizo con sus dos pequeñas cubetas— para así facilitar el acceso al ámbito central del baptisterio en el que se colocó la piscina menor. Lamentablemente, no se tiene información suficientemente fiable de los niveles de relleno aparecidos en el interior de la piscina y tampoco se puede descartar que se hubiese realizado algún enterramiento en aquel emplazamiento.

Rullan y Cau 2012a, 2012b). Los resultados permiten también abandonar la idea, tantas veces repetida, de un baptisterio “dotado de dos piscinas”,¹⁹⁹ se considerasen o no coetáneas en su fundación o uso. El análisis estratigráfico de las estructuras, pavimentos y sepulcros del Sector Baptisterio, permite descartar que la piscina mayor funcionara en el interior del mismo edificio que la piscina pequeña.

Hasta nuestra intervención en el Sector Baptisterio, todas las dataciones propuestas para las piscinas y el edificio bautismal de Son Peretó se habían formulado a partir de planteamientos tipológicos y de la comparación con ciertos paralelos. Además, tal y como se ha ido exponiendo, no existía unanimidad a la hora de situar cronológicamente los tres elementos citados. A esto hay que añadir, como muy bien expone C. Godoy (2017a: 154), que para los baptisterios y sus piscinas bautismales de la Antigüedad tardía “les chercheurs se sont employés à élaborer des typologies et à proposer des évolutions chronologiques pour chaque forme, mais aucune conclusion ne semble définitive”. En cambio, ahora en su conjunto, los resultados de las excavaciones y el análisis estratigráfico y el estudio de los materiales permiten definir tres grandes fases constructivas: 1, 2 y 3 que se describen a continuación, si bien no se descarta, como se verá, la presencia de algunos elementos anteriores a la Fase 1 en el sector.

Fases constructivas del Sector Baptisterio de Son Peretó

Fase 1

Los elementos constructivos localizados que se pueden adscribir a esta fase son realmente escasos. Por una parte, encontramos la piscina bautismal mayor con sus dos pequeñas cubetas y, por otra, los zócalos UE 15 y UE 548.²⁰⁰ También podría ser de esta fase la UE negativa alineada con la fachada occidental del zócalo UE 15 (Figura 9.1).

El hallazgo en el interior del zócalo UE 15 de un fragmento de borde de cazuela de Cocina Tardía con abundantes partículas doradas asimilable al tipo Ca/Dau/3 o Cb/Dau/1 (Macias, 1999) y, sobre todo, de una moneda correspondiente a un *nummus* vándalo, permiten concluir que los zócalos UE 15 y 548 se construyeron a partir del año 432 d. C. Mientras que el fragmento de una pieza de vidrio con el borde con perfil de “cabeza de cerilla” de la UE 437, aporta un *terminus post quem* (*tpq*) de c. 400 d. C. para la construcción de la piscina bautismal mayor y sus dos cubetas.

Corresponden también a esta Fase 1 el posible silo UE 320 y los Enterramientos 2008-A, 2008-6, 2009-6, 2009-9 y 2010-6. Gracias a un fragmento de TSAD, con decoración de círculos concéntricos en estilo Aii, localizada en el interior del relleno superior (UE 303) del posible silo UE 320, se puede afirmar que este vertido no se efectuó hasta después de c. 350 d. C. y, por tanto, que la fosa del Enterramiento 2008-6 también es posterior a esa fecha. Los resultados de las pruebas de ¹⁴C realizadas han aportado los siguientes resultados cal d. C. (*calibrated date* 95,4% *probability*): 250AD (14,0%) 300AD / 310AD (81,4%) 430AD respecto al Enterramiento 2009-6, y 340AD (3,3%) 370AD / 380 (92,1%) 540AD para el Enterramiento 2009-9. Mientras que el fragmento de Hayes 99A o B de TSAD de la UE 241, y el fragmento Hayes 103 de TSAD de la UE 262, permiten afirmar que no se selló la sepultura del Enterramiento 2008-6 hasta después de c. 480/500 d. C.

¹⁹⁹ Expresión utilizada desde el trabajo de D. Iturgaiz de 1963, y que se ha ido repitiendo, por ejemplo: Alcaide 2005, 2011: 119 y 123; Lagarda 2012; Lopes 2015: 833; Ortiz 2016: 346.

²⁰⁰ Estos dos zócalos, contrariamente a lo ahora defendido, se habían propuesto de un “segon moment de construcció” (Palol 1999: 165), posterior a la construcción del baptisterio de la Fase 2 que se expondrá más adelante.

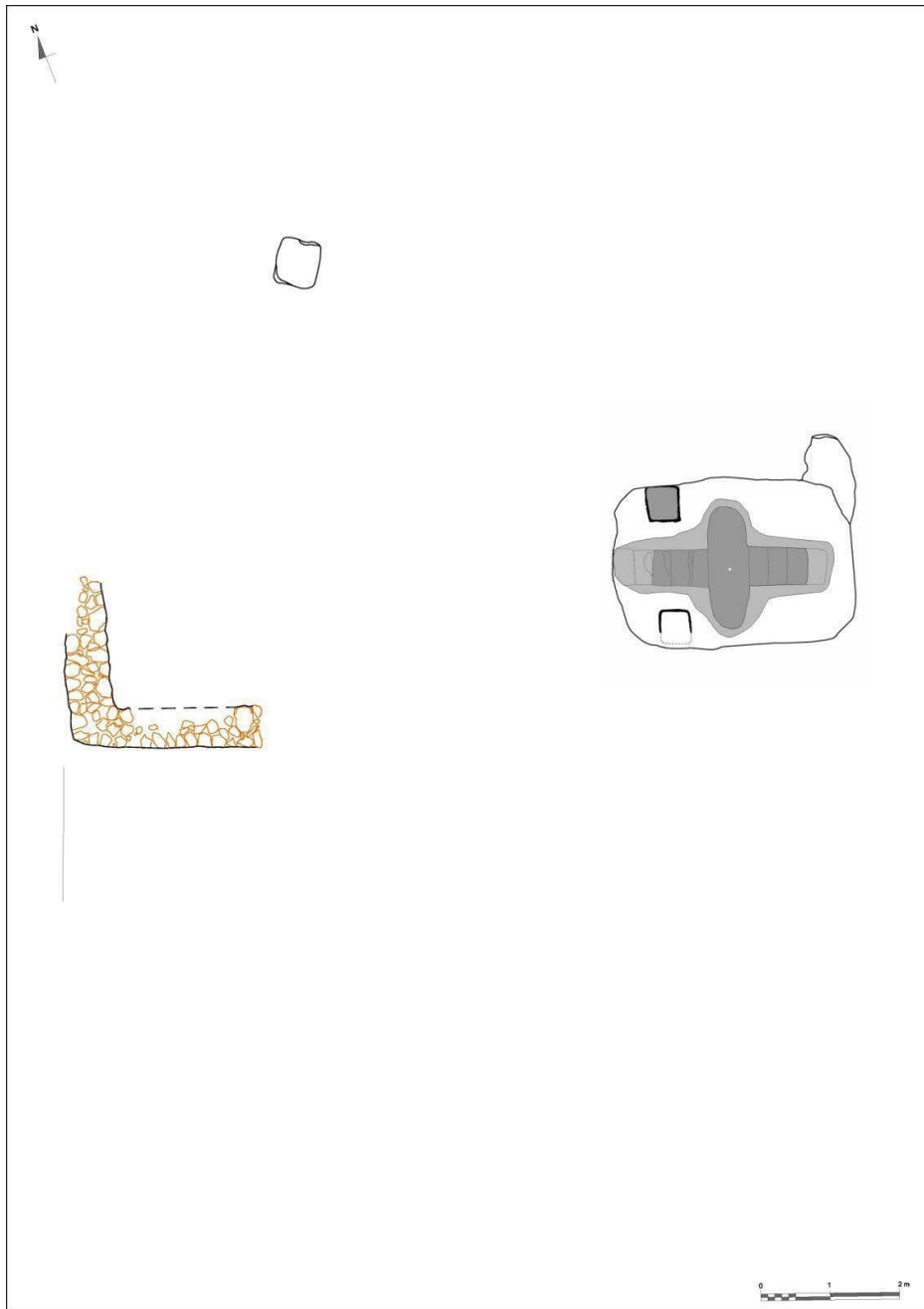


Figura 9.1. Principales elementos de la Fase 1: Piscina bautismal mayor con sus dos pequeñas cubetas; zócalos UE 15 y UE 548; UE negativa alineada con la fachada occidental del zócalo UE 15; posible silo UE 320 (S. Alcaide, J. M^a. Puche y M. Riera)

Los elementos que se han descrito comparten el hecho de ser anteriores al gran baptisterio de planta cuadrangular de la Fase 2, aunque cabe advertir que no son todos necesariamente coetáneos. Cuando se construyó la fosa del Enterramiento 2008-6, por ejemplo, el posible silo UE 320 ya había sido amortizado.

Por lo expuesto hasta ahora, y por lo que se comentará en la Fase 2, puede afirmarse que la fundación y uso de la gran mayoría de los elementos de la Fase 1 se pueden situar entre los siglos IV y V d. C. y, como máximo, hasta mediados del siglo VI. La piscina con sus dos cubetas y los zócalos UE 15 y 548 se habrían construido durante la quinta centuria o, como mucho, durante las primeras décadas de la sexta. Estos

zócalos constan de dos caras vistas realizadas con piedras de mediano tamaño ligeramente trabajadas, colocadas normalmente planas y ligadas con arcilla. Entre las dos caras presentaban un relleno hecho del mismo tipo de arcilla y con pequeñas piedras. Conservaban, como mucho, la primera hilada, y una altura máxima de 0,20 m. La anchura del primero iba de los 0,60 a los 0,65 m, mientras que la del segundo era de 0,60 m. Cabe la posibilidad de que el zócalo UE 548 se hubiese edificado en el interior de una trinchera de cimentación, pero la zona se encontró tan arrasada que no es posible asegurarlo.

A partir del análisis tipológico se había propuesto para la piscina grande una datación del siglo VI (Palol *et al.* 1968: 15–16), una fecha que se siguió considerando como válida, pero aceptando que pudiera ser ligeramente anterior (Palol 1994: 22). T. Ulbert (1978) parece aceptar la sexta centuria —especialmente la segunda mitad—, apoyándose en algunos paralelos de la segunda mitad del siglo VI o principios del VII, si bien argumentaba que en la península ibérica las piscinas tan profundas serían anteriores a mediados del siglo VI. A partir de la catalogación de S. Ristow (1998), se sigue considerando que la piscina mayor de Son Peretó sería de después del 500 y de antes 699; incluso se propone que se construyó alrededor del 600 (Ristow *et al.* 2017).²⁰¹ En cambio, con los datos actuales, centrar la construcción de esta piscina entre la segunda mitad del siglo V y las primeras décadas del siglo VI parece lo más acertado.

Si bien no cabe duda de que en Son Peretó hubo un baptisterio monumental que funcionó con la piscina más pequeña, se desconoce por completo como fue el edificio bautismal de la piscina grande. Por tanto, no se conocen las dimensiones del primer baptisterio y, por consiguiente, si fue mayor o menor que el que alberga la piscina pequeña. En cualquier caso, a partir de lo que se conoce del cristianismo de Mallorca y del Mediterráneo occidental en general, así como de la evolución del asentamiento de Son Peretó, parece verosímil que el edificio asociado a la piscina grande fuera menor (*infra*).

Otra importante conclusión es que la basílica que actualmente se conoce de Son Peretó es posterior a la etapa en la que estuvo en uso la piscina de mayores dimensiones. C. Godoy ya había señalado que *el mur de tancament del baptisteri per la banda est deixa un mig metre escàs entre el darrer esglaó de la piscina i la paret. Amb això, s'invalida la utilització de la instal·lació del baptisteri amb les dues piscines. Ans al contrari, la construcció d'aquest mur de tancament ha d'ésser contemporània a la construcció de l'altra piscina, i, probablement per aquesta raó la van fer.*²⁰² Con las informaciones ahora disponibles, no se puede asegurar que se hubiese construido dicho muro en el mismo momento que la piscina pequeña, aunque sigue siendo una posibilidad coherente. Lo que sí parece demostrado es que el muro se fundó en un momento posterior al de la destrucción de la piscina más grande. En 2010, se pudo observar que el extremo oriental del coronamiento conservado de esta última, distaba tan solo 8 cm del susodicho muro, es decir, de la fachada occidental de la basílica (Figuras 2.63 a 2.65 y 2.183).²⁰³ Si se hubiera añadido a este coronamiento un escalón más, o simplemente un poco de mortero para cubrirlo, habría ocupado la zona donde actualmente se encuentra la cimentación del muro occidental del templo (UE 546). De hecho, a pesar de haber encontrado la estratigrafía del lugar muy alterada, parecía claro que la trinchera de cimentación (UE 578) de aquel muro, cortaba el extremo oriental del coronamiento de la piscina (UE

²⁰¹ Incluso parece que su fundación se propone como posterior a la de la piscina menor.

²⁰² Intervención oral realizada durante la *III Reunión de Arqueología Cristiana Hispánica* (Duval 1994: 208). Argumentación reafirmada poco después (Godoy 1995: 160–161). S. Alcaide (2011: 356), rebatió los argumentos de C. Godoy afirmando que, “sin embargo, este muro, así como el ‘contra-coro’ que se le adosa desde el interior de la iglesia parecen corresponder al momento de construcción de la basílica”, una evidencia que, tal y como se verá a continuación, sería completamente cierta, pero que no es necesariamente incompatible con gran parte del discurso de C. Godoy.

²⁰³ En 2011, se seguía barajando una distancia de 0,54 m entre el muro y la piscina bautismal mayor (Alcaide 2011: 119), ya que en ese trabajo todavía no se incluían las novedades de la campaña de 2010. Pero la verdad es que dicha distancia no hacía incompatible el uso simultáneo de los dos elementos, tal y como se pudo observar en el baptisterio de Son Fadrinet, donde la piscina se encuentra a medio metro de distancia de su pared oriental (Ulbert 2002).

489). Por todo ello, se puede afirmar que tanto el baptisterio cuadrangular, que funcionó con la piscina pequeña, como el muro oeste de la basílica tal y como se conoce hoy, es decir, la del edificio que ronda los 23 m de largo por unos 14 m de ancho, se habrían construido una vez arrasada la piscina mayor.²⁰⁴

Se había señalado que el eje este/oeste de la piscina mayor no era completamente paralelo a los muros del recinto bautismal, “sino que se desvía hacia el Norte” (Palol *et al.* 1967: 13–14). Dicha desviación también es válida respecto al eje de la basílica antes citada. De hecho, el eje este/oeste de todo el conjunto formado por la piscina grande y sus dos cubetas, se encuentra unos 30 cm más al norte que los ejes longitudinales de la basílica y del baptisterio de la Fase 2 (Figuras 2.184 a 2.186). Son pues diversos datos a añadir que reafirman que la fuente más grande de Son Peretó no tuvo relación directa con el cierre actual del templo en su lado oeste y el baptisterio documentados.

Por lo que respecta a las características constructivas de la piscina de esta Fase 1, llama la atención que no todos los escalones tengan la misma altura. Algunos rondan los 30 cm, mientras otros tan solo los 20 cm. D. Iturgaiz (1963) a veces contaba tres escalones en cada una de sus escaleras y a veces cuatro.²⁰⁵ Son cuatro los que también cuenta S. Alcaide (2011: 121), pero en realidad se pueden contabilizar cinco, tal y como ya hicieron J. Aguiló (1920) y T. Ulbert (1978: 145). Bien es cierto que de los dos escalones superiores tan solo se conserva el arranque, pero no se puede dudar de su existencia, tanto por los restos de la UE 489 que todavía permanecen *in situ*, como por todos los fragmentos de escalones localizados, principalmente, por debajo de la piscina menor.²⁰⁶ Observando ambos elementos, y teniendo presente la tipología de las piscinas bautismales de la época, de un extremo al otro del Mediterráneo –por ejemplo, Son Fadrinet, Cap des Port de Fornells, Vega del Mar, Marettimo, Kelibia, Sabratha, Sbeitla, Monte Nebo, Huarte, Alahan, etc.–, se puede afirmar que el coronamiento de la piscina debía encontrarse sobreelevado respecto al pavimento del lugar,²⁰⁷ tal vez, de una manera similar a la representada en la Figura 9.2, si bien es cierto que no es posible conocer en detalle la forma de este coronamiento.²⁰⁸

Para construir la piscina, en el terreno natural se excavó un gran foso de planta rectangular con los extremos redondeados (UE 199), que medía 3,5 m de largo (este/oeste), en su coronamiento, por 2,45 m de ancho (norte/sur). Presentaba unas paredes que no eran ni bien rectas ni bien verticales, de tal forma que el foso se va estrechando a medida que aumenta su profundidad. No se pudo observar su altura

²⁰⁴ La fecha fundacional de esta basílica de Son Peretó sigue siendo una de las grandes incógnitas del lugar. Para ella se han propuesto dataciones que van desde el siglo IV hasta el siglo VII, siendo, los siglos V o VI, los más aceptados. De hecho, tal y como se ha visto que sucede con los baptisterios, ya se había apuntado que no se podía descartar que una iglesia más moderna hubiese sustituido a una más antigua (Riera Rullan y Cau 2012i; 2012j). Se está pues a la espera de poder volver a excavar el interior de la basílica para intentar resolver todas estas cuestiones de enorme importancia. En cualquier caso, de lo que no hay ninguna duda es de que el muro de la fachada occidental de la basílica conocida no puede ser anterior a c. 400 d. C., y de que sus cimientos ya estaban construidos antes de finalizar el tercer cuarto del siglo VI, o incluso, muy probablemente, antes de la finalización del segundo cuarto de dicha centuria.

²⁰⁵ Parece que quería hacer coincidir la realidad con la descripción de la *fons* de Isidoro de Sevilla en sus *Etimologías* (Iturgaiz 1963: 283). En el siglo VII, tanto el autor hispalense como Ildefonso de Toledo afirmaron que la piscina ideal era de tres escalones en cada lado: tres para descender y tres para ascender, mientras que el suelo de la fuente sería el cuarto o séptimo escalón. Sin embargo, el ideal de los dos obispos hispanos no coincide con la realidad arqueológica de numerosos yacimientos de la península ibérica, donde varía tanto el número de escalones como la forma de las piscinas. Todo ello ha permitido afirmar que el número proporcionado por Isidoro e Ildefonso por motivos teológicos no tiene ninguna validez (Ulbert 1978: 175 y 180).

²⁰⁶ En la península ibérica, se conocen piscinas de hasta siete escalones —Casa Herrera— (Ulbert 1978: 154).

²⁰⁷ Tal y como ya se había apuntado años atrás (Palol *et al.* 1968: 15).

²⁰⁸ Esta piscina se había asociado formalmente al tipo 15-Croix de Khatchatrian (1982: 72 o 89). También se sigue considerando una piscina de forma ovalada (Ristow *et al.* 2017), siguiendo la catalogación de S. Ristow de 1998. Sin embargo, tal y como ha señalado F. Lagarda (2012: 43 y 196), parece más factible que corresponda al tipo 9-Cercle sur rectangle de Khatchatrian 1982: 71.

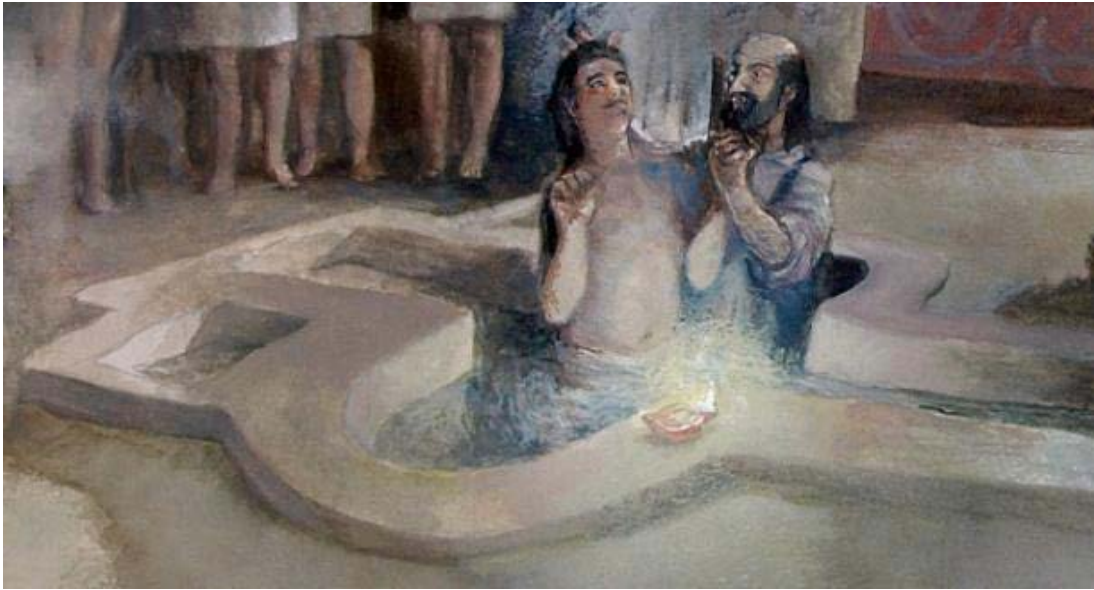


Figura 9.2. Recreación hipotética del coronamiento de la piscina bautismal mayor (E. R. Backman: Riera Rullan y Cau 2012b: 21)

máxima ya que solo se excavó completamente su extremo oriental, pero se pudo comprobar que en su zona central superaba los 110 cm.

La piscina estaba constituida por una estructura (UE 489) que no rellenaba toda la superficie del foso (UE 199), construida con piedras normalmente de menos de 10 cm de grosor, en general bastante escuadradas y colocadas planas, ligadas con mortero de cal (Figuras 2.62 a 2.65). En su parte central, se dejó un hueco que daba forma al interior de la fuente, el cual quedó impermeabilizado por la colocación de un revoque de *opus signinum*. Una vez colocado dicho revestimiento, la parte interna resultante era cruciforme, de hasta 2,80 m de largo en su eje mayor (este/oeste) formando ángulos rectos en sus extremos, siguiendo la cadencia de los escalones que presenta; mientras que su eje menor (norte/sur), de tan solo 1,75 m de largo, tiene sus extremos redondeados con todas sus paredes verticales sin ningún tipo de escalón.²⁰⁹ La altura máxima conservada en el interior de la fuente es de hasta 1,10 m, pero se puede asegurar que pudo llegar perfectamente a los 1,25 m.²¹⁰

Detrás del revoque de *opus signinum* se identificó una capa de carbón vegetal que bien pudo ser utilizada para mejorar las propiedades impermeabilizantes del mortero (Miriello *et al.* 2013 y capítulo 6 en este mismo volumen).²¹¹ Cabe remarcar que esta práctica también se había documentado en otras piscinas bautismales, como por ejemplo en la segunda más antigua del Tolmo de Minateda (Abad, Gutiérrez y Gamo 2000: 206).²¹²

²⁰⁹ Esta forma de la piscina se ha relacionado con la Tradición Apostólica de San Hipólito que prescribe que un diácono o un acólito se introduzca en la piscina con el bautizando para poder sumergirlo y con la rúbrica de los ordines romanos del Sacramentario de Reims y el de Gellone que ordena que desciendan a la piscina un presbítero y un diácono –y un acólito si fuera necesario–. De esta manera, la parte más ancha de la piscina, “ovalada y privada de peldaños”, sería “para dar cabida a varias personas adultas” (Godoy 1989: 622–623, 2017b: 190–191).

²¹⁰ Consecuentemente, no ha de extrañar que se considere que en esta piscina “podría practicarse una inmersión completa del competente” (Godoy 1989: 611).

²¹¹ Sin duda, corresponde a la capa “de ceniza o de enlucido gris oscuro” descrita años atrás (Palol *et alii* 1968: 15).

²¹² En el conjunto cristiano de Terrassa, también se ha documentado un “depósito” con un revestimiento de *signinum* colocado encima de una capa de cenizas y carbones. Su construcción se ha propuesto de la segunda mitad del siglo IV y no se descarta que pudiese estar relacionado con un baptisterio (García, Moro y Tuset 2009: 53, 73–80).

Los recientes trabajos de excavación efectuados en la piscina mayor y sus dos cubetas permiten asegurar que estos tres elementos se construyeron a la vez, pero no han aportado ninguna información inequívoca que pueda revelar cuál fue la función de los dos pequeños depósitos.²¹³ Estos se descubrieron durante las excavaciones realizadas los años 2009 y 2010 y fueron publicados como “rentapeus”, pero siempre con la palabra entrecomillada, dado que no se entró a valorar sus posibles usos (Riera Rullan y Cau 2012b). D. Iturgaiz ya recogió la idea de P. Bagatti de la existencia de pilas para realizar la ceremonia posbautismal del lavatorio de pies, una ceremonia que era practicada en España, Francia, África y en la ciudad de Milán en tiempos de San Ambrosio (Iturgaiz 1963: 285). El uso para el lavado de pies de los pequeños recipientes localizados en las inmediaciones de las piscinas bautismales se ha seguido barajando como una posibilidad (Palol *et al.* 1968: 17). Efectivamente, se ha defendido que una posible función de pilas añadidas de pequeñas dimensiones podría ser la ablución de los pies (*pedilauium*), citando el ceremonial bautismal de Milán, de algunas zonas de la Galia, del norte de África y de la península ibérica,²¹⁴ aunque también se han contemplado otras posibilidades (Godoy 1989, 2017b: 189–191; Ulbert 1978: 177–178). Una de las más aceptadas por los arqueólogos como, por ejemplo, Palol, Testini y Ulbert, es la que relaciona estos pequeños depósitos con pilas que se habrían utilizado para el bautismo de niños (Godoy 1989: 621). Pero, tal y como ha defendido esta última investigadora, “Si las pequeñas pilas se utilizaron con este propósito no habría razón alguna para que fueran dos las pilas pequeñas y una grande, cuando con una piscina de mayor y otra de menor profundidad se solucionaría la necesidad litúrgica de separar la fuente de los niños de la de los adultos. Cabe tener en cuenta, además, que la situación del ministro del sacramento hubiera sido muy incómoda por la diferencia de altura que le separaría del candidato. Para el bautismo de niños parece más razonable que la pila se levante del suelo por un soporte, asegurando la comodidad del ministro durante el oficio” (Godoy 1989: 622, 2017b: 190–191).

Por lo que respecta a Son Peretó, se debe reseñar la acumulación de las UUEE 402 y 403 en el fondo de la cubeta situada inmediatamente a septentrión de la piscina mayor, correspondientes a limos que recuerdan a los transportados por las aguas en movimiento, y que son las que suelen aparecer en los fondos de las canales o depósitos en los que se almacena agua. Dicha acumulación parece estar mostrando que ese pequeño depósito no tan solo contuvo agua, sino que esta llegaba allí en grandes cantidades. También se debe mencionar que ninguno de los pequeños depósitos presentaba desagüero, mientras que sí que lo tienen las dos piscinas bautismales. Por consiguiente, parece factible la interpretación de los pequeños depósitos de Son Peretó como “lavapiés”, aunque también es cierto que no se ha podido certificar este uso ni a partir de las fuentes textuales ni a partir de las arqueológicas.²¹⁵

Fase 2

Pertenece a esta fase el único edificio bautismal localizado hasta el momento en Son Peretó. Se ha podido documentar que era planta cuadrangular y estaba adosado a la fachada de poniente de la basílica, de

²¹³ Sin embargo, cabe recordar que la piscina no se impermeabilizó con el mismo material que el de los depósitos. Así, mientras para la fuente se utilizaron las capas antes descritas, incluida una de *opus signinum*, a los otros dos contenedores tan solo se les aplicó un revoque de mortero de cal. Todo ello recuerda, en cierta manera, a lo documentado en Idanha-a-Velha donde, “Según Ulbert, el pavimento de la piscina principal es un *opus signinum* duro, mientras que el de las pilas pequeñas es débil y poco resistente” (Godoy 1989: 624).

²¹⁴ En *Hispania*, se tiene conocimiento de su prohibición en el Concilio de Elvira de inicios del siglo IV (Picard 1989: 1464; Ulbert 1978: 177) aunque, tal y como se ha afirmado, “una prohibición canónica tan antigua no puede considerarse como argumento para asegurar que este rito no se realizara en *Hispania* durante el siglo VI y VII” (Godoy 1989: 628).

²¹⁵ Para los argumentos contra el uso de depósitos como los de Son Peretó para el lavatorio de pies en los ritos prebautismales y posbautismales, véase: Godoy 1989: 627–629.

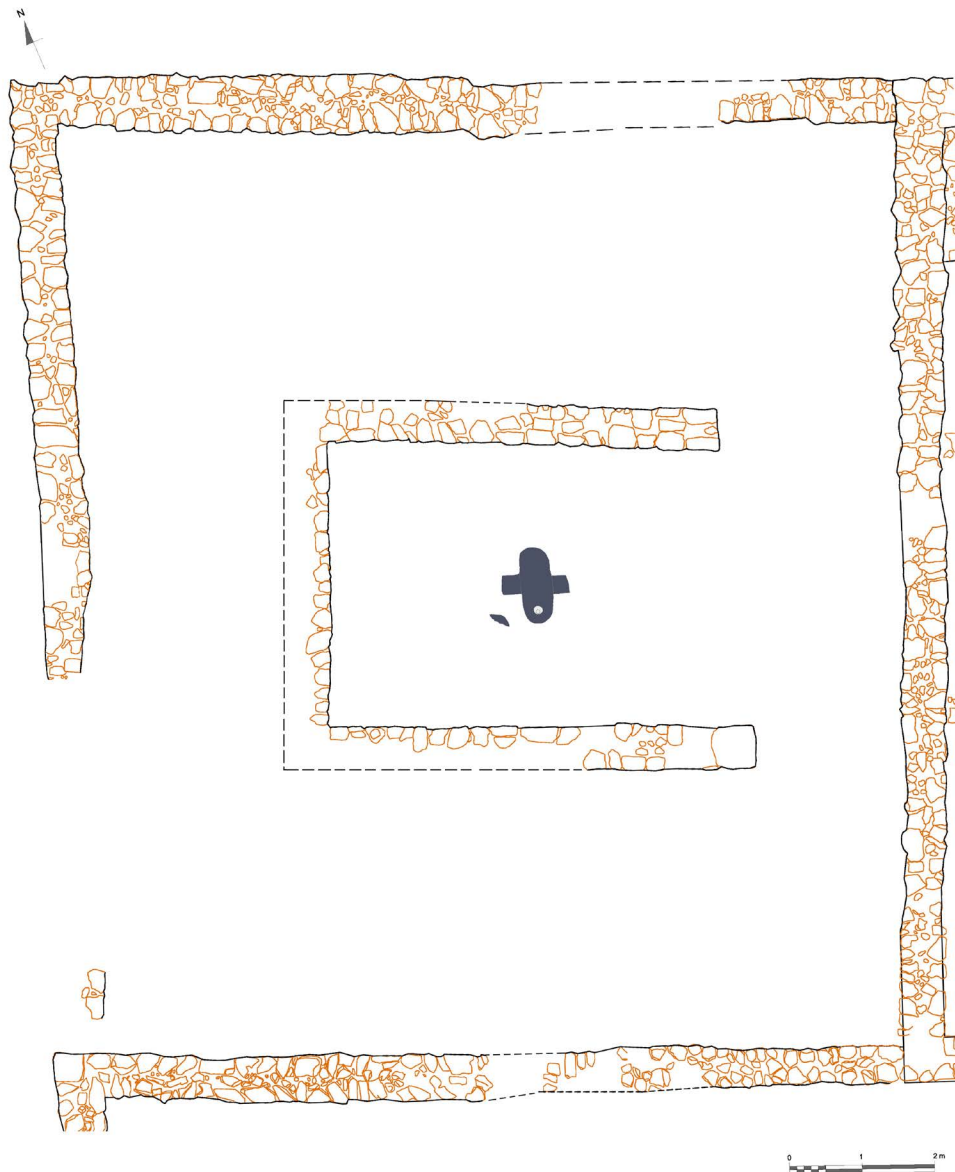


Figura 9.3. Principales elementos de la Fase 2 (S. Alcaide, J. M^a. Pucho y M. Riera)

la cual tomaba su anchura.²¹⁶ Constaba de un recinto cuadrangular localizado en su centro (Ámbito Central) donde estaba la piscina bautismal, rodeado de cuatro corredores de planta rectangular (Ámbitos Laterales Norte, Sur, Este y Oeste). En la parte mejor conservada del edificio, medía, en su interior, 12,75 m de largo (norte/sur) por 11,50 m de ancho (este/oeste), aunque ya se ha visto que sus medidas varían bastante dependiendo del lugar en el que se toman (Figura 9.3).

A finales del siglo pasado, se había apuntado que el baptisterio de Son Peretó era, probablemente, de mediados o de la segunda mitad de la sexta centuria (Palol 1989, 1993-1994). Pocos años después, tampoco se descartaba una fundación un poco anterior al siglo VI (Palol 1994: 22), aunque utilizando

²¹⁶ Todavía no se dispone de datos suficientes como para poder determinar el tiempo transcurrido entre la construcción del muro occidental de la basílica y el baptisterio de la presente Fase 2. De hecho, a pesar de que son diferentes sus cimentaciones (Riera Rullan y Cau 2012b), no se puede confirmar ni descartar que se hubiesen construido con poco tiempo de diferencia.

como argumento las características de la piscina mayor, que ya se ha visto que no pertenece en realidad al baptisterio ahora tratado. También se había afirmado que, tipológicamente, las dos piscinas podían llevarse al siglo VI (Palol *et al.* 1968: 15–16). En cambio, había quien lo consideraba del siglo V. De hecho, J.A. Íñiguez (1977: 218) afirmaba que eran de aquella quinta centuria las dos fases que él mismo había propuesto (Figura 9.5).²¹⁷ Sin embargo, nunca hasta ahora se había dispuesto de tantos materiales, directamente asociados al baptisterio, capaces de proporcionar dataciones absolutas que permitiesen acotar la fecha de su fundación.

Por lo que respecta al *terminus ante quem* (*taq*), hace unos años se pudo observar cómo ciertos ámbitos del Sector Oeste se adosaron al edificio bautismal –Ámbitos I y II– (Alcaide 2011: 106; Riera Rullan *et al.* 2006, 2009, 2010). Y más tarde se pudo comprobar que estos se construyeron durante el siglo VII o, como muy temprano, a finales del siglo VI (Riera Rullan, Cau y Salas 2012a, 2012b; Riera Rullan, Cau y Salas 2013). Por tanto, la fundación del baptisterio tenía que ser, como mucho, del siglo VII o anterior a este.

Los hallazgos referidos a un fragmento de Hayes 99A o B en la UE 241, y un fragmento de Hayes 103 en la UE 262, ambos de TSAD, permiten proponer un *tpq* para la construcción de los muros del Ámbito Central de c. 480/500 y 475/500 respectivamente.²¹⁸ Por otra parte, un fragmento de TSAD del tipo Hayes 104, posiblemente A, localizado justo por debajo de la pared perimetral meridional del baptisterio (UE 424), aporta un *tpq* de c. 475/500 d. C. para el momento de su construcción. Junto a este último, y en la UE 241, también se localizaron dos piezas de vidrio con el borde del tipo “cabeza de cerilla” y con decoración de hilos vítreos aplicados, que aportan unos *tpq* que son perfectamente equivalentes a los de las piezas de TSAD. Por consiguiente, se puede afirmar que el baptisterio de la segunda fase se tuvo que construir en un momento posterior a c. 480/500 d. C.²¹⁹

El hecho de no haber encontrado gran parte de la estratigrafía de los distintos ámbitos del baptisterio dificulta enormemente poder diferenciar qué tumbas pertenecen a la Fase 2 y qué tumbas corresponden a la Fase 3. En cualquier caso, a partir de la observación de algunas relaciones físicas entre los distintos elementos y, gracias a los resultados de diversas pruebas de ¹⁴C, se puede asegurar que serían de la Fase 2 los Enterramientos 2005-1 y 2010-8 y, probablemente, los Enterramientos 2009-11 y 2010-7. Dado que los resultados de las pruebas radiocarbónicas efectuadas sobre un hueso del esqueleto del Enterramiento 2005-1 aportan un *taq* de c. 570, y los del Enterramiento 2010-7 o 2010-8, aportan otro de c. 540, se puede concluir que el baptisterio ya estaba en pie alrededor del año 570 y, muy probablemente, incluso en el 540.

Todos los datos aportados hasta ahora permiten situar el momento de construcción del baptisterio de la Fase 2 entre c. 480/500 y c. 570 e incluso, entre c. 480/500 y c. 540.²²⁰

También pertenece a la Fase 2 el pavimento UE 307. Dicha afirmación se basa en la observación de su relación con la estructura UE 29 de la siguiente fase, pero también por el hecho de haber podido constatar, gracias a los análisis químicos y petrográficos efectuados, que el mortero utilizado para su elaboración

²¹⁷ Parecía que A. Khatchatryan (1962: 103) daba por buena una datación de primera mitad del siglo V. A partir del trabajo de S. Ristow (1998), se sigue considerando que la piscina menor de Son Peretó sería de después del 550 y de antes 599, incluso se propone que se construyó alrededor del 575 (Ristow *et al.* 2017).

²¹⁸ Estos dos fragmentos de TSAD aparecieron en el relleno que pasaba por debajo del zócalo del muro septentrional del Ámbito Central.

²¹⁹ Observaciones apuntadas, aunque contando con muchos menos datos que ahora en: Riera Rullan y Cau 2012a, 2012b; Miriello *et al.* 2013.

²²⁰ En la UE 262 también se localizaron cuatro fragmentos informes de cerámica común con decoración incisa polilineal de los que no se pudo determinar si eran de producción ibicenca. Si alguno de ellos lo fuese, podría aportar un *tpq* de c. 535 d. C. para la edificación del baptisterio de la presente Fase 2, pero es preferible mantener en cuarentena dicha datación, a la espera de futuras investigaciones.

es idéntico, y por tanto coetáneo, al de otro pavimento localizado en el Sector Oeste (Miriello *et al.* 2013), que se pudo datar del siglo VI (Riera Rullan, Cau y Salas 2012a; Riera Rullan, Cau y Salas 2013).

Visto el arco cronológico en el que se puede centrar la construcción del baptisterio de la Fase 2 de Son Peretó, podría ser tentador asociarla a la conquista bizantina de las Baleares acontecida en el año 534 y a las numerosas edificaciones cristianas erigidas por Justiniano desde el Éufrates hasta sus dominios mediterráneos más occidentales (Brown 2012: 145).²²¹ Sin embargo, lo cierto es que, a partir de las evidencias arqueológicas, es perfectamente factible que se hubiese construido entre los años 480/500 y 534. Podrían ir en esta misma línea argumental los resultados del estudio métrico que se ha expuesto en el capítulo 8, que apuntan a que el edificio bautismal de la Fase 2 se habría proyectado y construido con una métrica romana y no bizantina. Aunque tampoco se puede descartar una pervivencia de la métrica romana después de la conquista de Justiniano, ni el uso de la bizantina antes del 534.²²² Si su fundación hubiese sido anterior al 534, y a tenor de la aparente poca influencia del Estado vándalo en la sociedad balear (Amengual 1991: 285–286 y 294–302) parece más probable que la edificación de este gran baptisterio de Son Peretó fuese una iniciativa de las élites civiles o religiosas locales, tal y como sucede en tantos otros lugares del Mediterráneo occidental (Brown 1997: 91–92; Vizcaíno 2009: 333 y 339).

Parece pues que en Son Peretó se estaría documentando un proceso similar al de la península ibérica, un territorio para el que se ha defendido que el ceremonial bautismal iniciado en el siglo VI requería un engrandecimiento de los baptisterios (Ulbert 1978: 178–180).²²³ Es cuando se documentan grandes remodelaciones en algunos edificios bautismales mientras que otros se erigen *ex novo*, unas obras que se han relacionado con el “progresivo enriquecimiento de la Iglesia católica” (Godoy 1989: 609–610).

El baptisterio de Son Peretó se encuentra adosado a la basílica y cumple con las pautas observables en este tipo de edificaciones a él coetáneos. El espacio arquitectónico o espacio bautismal que se define “con el nombre propio de baptisterio se deriva de la función intrínseca del edificio”. Este término “engloba tanto la caja arquitectónica con el lugar propiamente donde se realiza el bautismo, como aquellas dependencias que están anexas al mismo con una función determinada” (Iturgaiz 1969, 257). No hay duda de que “existe siempre una voluntad manifiesta de individualizar y diferenciar arquitectónicamente el baptisterio del resto del espacio litúrgico de la iglesia. Esta distinción de los dos espacios sacramentales —el del bautismo y el de la sinaxis eucarística— se planifica por los arquitectos de una manera clara y diáfana bien sea por el levantamiento de muros medianeros, o llegando incluso a construir el baptisterio como un edificio exento, a parte de la iglesia, como es frecuente en el norte de Italia (Godoy 2004: 481).²²⁴ En *Hispania*, el baptisterio ocupa un lugar dentro del complejo cultural en relación directa con la basílica, sin constituir un edificio independiente (Iturgaiz 1969: 267)²²⁵. En la misma línea, se afirmaba,

²²¹ Recuérdese, por ejemplo, la obra edilicia justiniana en *Septem*, respecto a la construcción de una iglesia en honor de la *Theotokos*. El pasaje de Procopio dice así: *levantó allí un estimable templo a la Madre de Dios, vinculando a ella el umbral del Imperio y haciendo inexpugnable esta fortaleza para todo el género humano* (*De Aedificis*, VI, 7, 14). Una obra de la que, por cierto, se ha planteado que pudo no ser un edificio de nueva planta, sino la remodelación de uno ya existente (Vizcaíno 2009: 54, 67, 132, 333, 339, 341, 379, 424, 435, 448–449).

²²² Para una síntesis de las importantes influencias de la corte imperial constantinopolitana en el Mediterráneo occidental antes del 533–534 véase: Vallejo 2012. Tampoco deben perderse de vista las influencias de clérigos o monjes de origen oriental, o que habían viajado por territorios “bizantinos”, así como la constatación de la inexistencia de fronteras en la difusión de todo tipo de elementos vinculados al cristianismo (Brown 1997, 2006).

²²³ También se apuntaba la ausencia de baptisterios monumentales en las iglesias construidas a partir de mediados del siglo VII (Ulbert 1978: 178–180).

²²⁴ Para las posibles justificaciones de carácter litúrgico, véase: Godoy 2017a: 150–158.

²²⁵ Isidoro de Sevilla, en su obra dedicada a los edificios sagrados, recuerda los diversos monumentos arquitectónicos que él conocía, por ejemplo: las basílicas, baptisterios, monasterios, cenáculos, *martyria* y oratorios. En el libro dedicado a los edificios eclesiásticos, informa “del edificio bautismal como estructura arquitectónica distinta de la basílica” (Iturgaiz 1969: 226). En el *Anónimo Emeritense* o *Vitas sanctorum Patrum Emeritensium*, se distinguen en la ciudad diversos edificios eclesiásticos, como la catedral, basílicas y baptisterios. En Mérida, basílica y baptisterio

por ejemplo, que en la arquitectura cristiana hispánica la mayor parte de las piscinas bautismales se encuentran en el interior de los anexos de las basílicas (Duval 1982: 40). También se ha señalado que, en la geografía eclesiástica de la Antigüedad tardía, si bien se conocen ejemplos en la Galia, en Italia y en el norte de África, las provincias hispánicas —incluida la Balear—, “se distinguen porque muchas de sus iglesias presentan el baptisterio a los pies del templo”. De hecho, la situación del baptisterio en la parte occidental de la iglesia resulta porcentualmente abrumadora en tierras hispánicas y, su asociación, en la mayoría de los casos, con la presencia de un contra-coro, pared con pared, en el extremo oeste de la nave central de la iglesia —tal y como sucede en Son Peretó—, es una de las características distintivas de los baptisterios hispánicos (Godoy 1995: 66–87, 340–342, 2004: 481, 485–486).

Todos los zócalos conservados del baptisterio de la Fase 2 están hechos con una fábrica muy similar. Presentan dos caras vistas realizadas con piedras de mediano tamaño (excepcionalmente pueden presentar alguna más grande), ligeramente trabajadas, colocadas normalmente planas y ligadas con arcilla. Entre las dos caras, existe un relleno del mismo tipo de arcilla y pequeñas piedras. El ancho de estos zócalos ronda los 0,65 m.²²⁶ Conservan entre una y tres hiladas y, los más altos, llegan a los 0,50 m de altura. En ninguno de ellos, se ha identificado trinchera de cimentación o enlucido. Tampoco se ha detectado nunca la utilización de cal como aglutinante.

El hecho de no haber podido excavar los niveles de derrumbe de las paredes del baptisterio imposibilita conocer cómo eran sus alzados. Una posibilidad es que fuesen de mampostería y que se hubieran construido más o menos igual que sus zócalos, pero tampoco se puede descartar que se hubiesen realizado de tapial o adobes.²²⁷

En los capítulos 1, 2 y 3 ya se han comentado las dificultades para conocer cómo fue la cubierta del baptisterio de Son Peretó y, en el capítulo 8, también se ofrecen nuevas propuestas para el sistema de cubrición. En cualquier caso, las características constructivas de sus zócalos, así como la debilidad de sus cimientos, no permitirían una cubrición mediante una cúpula, y se considera más probable la existencia de una techumbre arquitrabada cubierta con tejas de cerámica (Riera Rullan y Cau 2012b: 22–23).

Tampoco parece probable la existencia de un baptisterio con la piscina bautismal a cielo abierto, propuesta desde tiempos de J. Aguiló y tantas veces repetida en manuales de historia o de arqueología, tanto de las Baleares como de fuera de ellas (Figuras 9.4 y 9.5).²²⁸

J.A. Íñiguez (1977), sin duda inspirándose en la publicación de J. Aguiló (1920), planteaba dos fases para el baptisterio de Son Peretó (Figura 9.5). También afirmaba que en la segunda fase se cerró el atrio con un muro por tres de sus lados (Íñiguez 1977: 218).²²⁹

eran dos “cuerpos arquitectónicos separados, aunque próximos y arrimados”. A este último también se le llama “Casa y basílica del bautismo” (Iturgaiz 1969: 228–229).

²²⁶ Se había afirmado que los muros perimetrales del baptisterio “tienen un grosor de entre 0,65 y 0,75 m” (Alcaide 2011: 120), pero se ha podido comprobar que en su parte más baja nunca superan los 0,70 m y que allí donde podían llegar a 0,75 m era debido a su desmoronamiento parcial.

²²⁷ Tal y como parece que se habría documentado para ciertas edificaciones del Sector Oeste y en otros edificios de la Antigüedad tardía de las Baleares (Riera Rullan *et al.* 2010: 598; Riera Rullan, Cau y Salas 2012a: 144, 2012b: 26, 2013: 50, 77 y 112).

²²⁸ Un planteamiento ya rebatido, muchos años atrás, por P. de Palol (1967: 10), N. Duval y J. Fontaine (1979: 280).

²²⁹ Seguía, en cierta manera, los argumentos de P. de Palol, G. Rosselló, A. Alomar y J. Camps (Palol *et al.* 1968: 9–10).

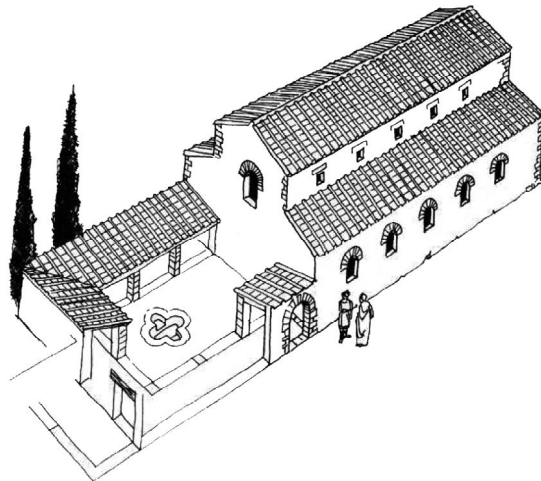


Figura 9.4. Ejemplo de recreación del baptisterio de Son Peretó con la piscina a cielo abierto (Alomar 1979: 46)

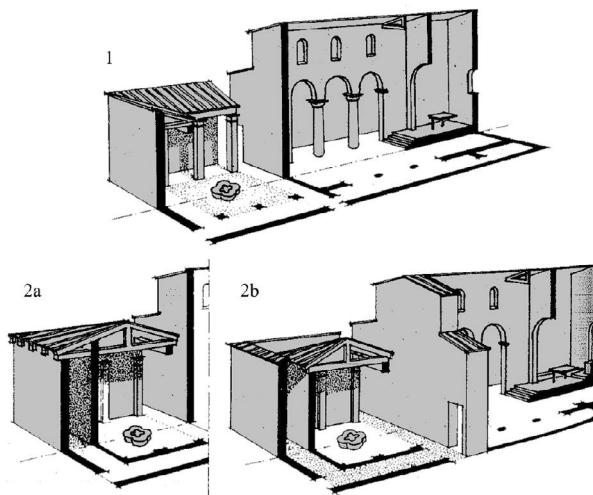


Figura 9.5. Propuesta de evolución del baptisterio de Son Peretó: 1. Fase original del siglo V; 2. Modificación del mismo siglo V con dos posibles soluciones para la cubierta (Íñiguez 1977: 218)²³⁰

Investigadores tan reputados como N. Duval, consideraban que la edificación bautismal de Son Peretó corresponde a un *atrium*. Así lo defendió en la *III Reunión de Arqueología Cristiana Hispánica*. Junto a esta consideración se citaban numerosos paralelos del Mediterráneo oriental, aunque también se recordaba que los *atria* basilicales son unos elementos relativamente raros en Occidente. Con relación al ejemplo de Son Peretó, se afirmaba que no se podía determinar si el atrio ya se había utilizado desde un principio como baptisterio, o si el uso bautismal era de una fase posterior. De igual manera, se planteaba un posible primer momento con la parte central descubierta, o un baptisterio originalmente enmarcado por una columnata al que técnicamente se puede llamar “deambulatorio”, con paralelos en Cartago y Timgat (Duval 1994: 205).²³¹ En el turno de palabra de la presentación de Duval, P. de Palol expuso la

²³⁰ Ya entrados en el siglo XXI, se seguía publicando la misma propuesta evolutiva (Íñiguez 2002: 470)

²³¹ Unos años atrás se había recordado que, a partir de modelos del Adriático, A. Grabar había planteado un complejo ideal cristiano formado por *Basilique et baptistère groupés de part et d'autre de l'atrium*, pero se consideraba que en Mallorca parecía que la fórmula se había adoptado en un segundo momento, *par construction à l'intérieur de l'atrium, et ne correspond donc pas à l'organisation préconçue de l'espace culturel cherchait Grabar* (Duval 1982: 40). Para más información y paralelos de baptisterios con deambulatorio-peristilo, véase: Khatchatrian 1982: 32–33.

opinión de que la edificación de Son Peretó nunca tuvo funciones *autèntiques d'atri*, y aseveró que fue un ámbito funerario y baptisterio sin que se pueda decir con seguridad que este fuese estrictamente posterior a las tumbas (Duval 1994: 205–206).²³²

Los zócalos del Ámbito Central tienen un grosor que ronda los 0,60 m. Parece factible que sobre ellos pudiera haber columnas o pilares que sostuvieran su cubierta.²³³ Son numerosos los ejemplos de baptisterios africanos del siglo VI en los que el espacio bautismal no se cierra con muros, sino que se separa con apoyos/columnas. Dicho sistema también se documenta en la península ibérica (Ulbert 1978: 174). Todo apunta a que se accedía al Ámbito Central “desde un gran vano abierto en su límite oriental, flanqueado por dos pilastras dispuestas en el extremo este de los muros norte y sur, que tal vez sostuvieron un arco” (Alcaide 2011: 119). Dicha abertura ya había sido planteada por todos los investigadores que han analizado el baptisterio de Son Peretó. En cambio, no se puede afirmar lo mismo del planteamiento de la existencia del arco. Esta, es ciertamente posible, pero no se dispone de ninguna prueba fehaciente.

Si se acepta la existencia de columnas o pilastras a ambos lados de la entrada antes citada, la piscina pequeña queda bastante bien centrada en el Ámbito Central.²³⁴ En cambio, si se observa la localización de la fuente respecto a todo el edificio bautismal, esta se encuentra ligeramente desplazada hacia el norte, y de una manera más considerable hacia el este. En cualquier caso, tal y como se ha argumentado en el capítulo 3, se puede seguir afirmando que ocupa aproximadamente el centro del edificio bautismal. De lo que no hay duda es de que su eje este/oeste está perfectamente alineado tanto con el longitudinal de la basílica como con el del baptisterio.²³⁵

La piscina bautismal pequeña se erigió mediante un cuerpo fabricado con mortero de cal (UE 273), que rellenaba un hueco cruciforme en el que ya se habían marcado dos escalones. En el año 2008 conservaba hasta 1,50 m de largo (este/oeste), 1,20 m de ancho (norte/sur), y una altura máxima de 0,32 m. Esta piscina estuvo revestida, tanto en su interior como en su exterior, con una capa de *opus signinum* de unos 4 cm de grosor (UE 352). En su interior, conservaba una superficie de 0,90 m de este a oeste, 1,05 m de norte a sur, y una profundidad máxima de 0,34 m.²³⁶ Aproximadamente en el centro del fondo del brazo meridional, presentaba un pequeño desagüe, por el que el agua accedía a un complejo sistema de evacuación (Figuras 2.126 a 2.165). El análisis de las fotografías de principios del siglo XX tomadas antes de su restauración (Figuras 1.4 y 1.5), de las plantas y secciones realizadas por J. Aguiló (Figura 1.2), y la observación de las partes originales conservadas (Figura 2.125, 2.126 y 9.3), permiten puntualizar algunas

²³² Ya se ha visto en el capítulo 2 las dudas que siempre mostró P. de Palol respecto a la datación de las tumbas del Sector Baptisterio de Son Peretó.

²³³ De estos zócalos, a modo de “cimentación continua”, ya se había afirmado que, aunque se hallaron en mal estado de conservación, pudieron tener “columnas que sostuvieron la cubierta, más elevada, de este espacio, facilitando la entrada de luz hacia su interior” (Alcaide 2011: 357). A Khatchatrian (1962: 103) había dado por bueno que “deux portiques latéraux à trois colonnes chacun délimitaient l'espace central”, mientras que P. de Palol (1967a: 163) había afirmado que “En la amplia dependencia que ocupaba a los pies del templo, la piscina se hallaba recuadrada por tres muros, excepto por el lado Este, mirando a la nave de la Basílica. Sus excavadores hallaron restos de columnas, lo que les hizo pensar en un cimborio cubriendo las aguas bautismales; solución que, veremos, es grata tanto en templos africanos como orientales y griegos”.

²³⁴ De aquí que se afirme que esta piscina se dispuso “bien centrada en el interior del recinto central del baptisterio” (Alcaide 2011: 121).

²³⁵ Actualmente, el eje norte/sur de la piscina, no es perfectamente perpendicular a ninguno de ellos ni, tan siquiera, al de los brazos este y oeste de la misma piscina, aunque esta falta de simetría parece que se puede haber acentuado con la restauración realizada durante el siglo XX. Es posible pues, que la piscina original hubiese tenido, en alzado, unos brazos perfectamente perpendiculares.

²³⁶ En el siglo XX tal vez conservaba una profundidad de 0,44 m (Iturgaiz 1963: 284–285), pero los 0,55 m considerados por Th. Ulbert (1978: 145) y dados por buenos hasta ahora (Ristow *et al.* 2017) son, sin duda, tomados después de la restauración del siglo pasado.

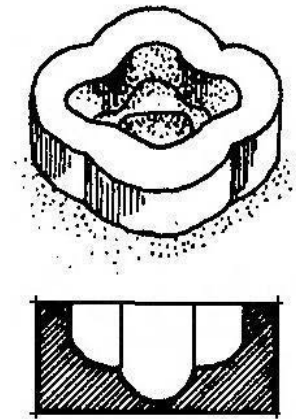
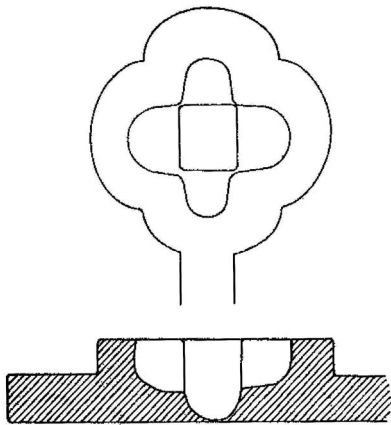


Figura 9.6. Planta y sección de la piscina pequeña de Son Peretó según Palol 1967a: fig. 56

Figura 9.7. Reconstrucción hipotética de la piscina pequeña de Son Peretó según Íñiguez 1977: 218

impresiones anteriores sobre la forma original de la piscina de la presente fase (Alcaide 2011: 121; Palol 1967a: 10–11; Palol *et al.* 1968: 13–14).²³⁷ En realidad, su coronamiento tiene mucho de inventado. En primer lugar, cabe contemplar la posibilidad de que sus cuatro brazos fuesen igual de largos.²³⁸ La parte original es tal y como la dibujó J. Aguiló (Figuras 1.1, 1.2 y 1.6) y, de hecho, el eje este/oeste es incluso más corto que el norte/sur, justo al contrario de cómo está restaurada. Tampoco se conserva en su interior evidencia alguna del segundo escalón de los extremos este y oeste, ni de que estos últimos tuviesen un acabado exterior rectilíneo y no semicircular como los de los extremos norte y sur. Por todo ello, no se puede descartar que el interior de la piscina pequeña de Son Peretó hubiese sido como habían planteado P. de Palol (1967a: fig. 56) (Figura 9.6)²³⁹ y J.A. Íñiguez (1977: 218) (Figura 9.7) esto es, con sus cuatro brazos igual de largos y con los extremos redondeados tanto en el interior como en el exterior, y con tan solo un escalón en el arranque de los brazos este y oeste.²⁴⁰ De esta manera, la forma de la piscina sería más fiel a los datos publicados por J. Aguiló (Figuras 1.1 y 1.2), de aproximadamente 1,05 m de largo y de ancho en su interior.²⁴¹ En cambio, su altura es un componente más difícil de precisar. También resulta imposible poder llegar a saber cómo fue el exterior de dicha piscina.

²³⁷ Donde sí que hay unanimidad es en considerar que los escalones exteriores fueron realizados durante la restauración anterior a 1967 sin ninguna evidencia de haber existido en la piscina original.

²³⁸ Las medidas aportadas por S. Alcaide (2011: 121), cuando afirmaba que la “longitud interior de los brazos de la piscina es de 1,40 m el brazo este-oeste y 1,05 m en el norte-sur”, fueron tomadas a partir de la parte restaurada y no de lo que se conserva del original.

²³⁹ Según las observaciones hechas por este investigador, planteadas a partir de los datos publicados y sin haber analizado *in situ* la piscina, su interior tendría una forma tetralobulada, “de cruz de brazos iguales con terminación redondeada”. Su fondo era esférico y “los lóbulos Este y Oeste, al tener menor profundidad, formarían la escalera de penetración y salida” (Palol 1967a: 163).

²⁴⁰ En cambio, era erróneo el planteamiento del fondo cuadrangular de los dos especialistas.

²⁴¹ Cabe recordar que se había considerado del tipo *30-Tétraconque* (Khatchatrian 1982: 76). F. Lagarda (2012: 51 y 196) en cambio, la describe como “cruciforme” y ha afirmado que “nos parece evidente que estaría mejor dentro del 21 (*Cruz dentro de cruz*) [de la tipología de Khatchatrian antes citada] dada la longitud de los supuestos lóbulos, muy lejos del típico trébol de cuatro hojas, así como por la forma que adopta la estructura de mampostería en la que se halla inserta”. Si bien en la misma obra también escribe que la piscina occidental de Son Peretó “no es en modo alguna tetralobulada, aunque también tenga algunos detalles que la acerquen a éstas, concretamente el extremo muy curvado de sus brazos, razón por la que nos inclinaríamos a tildarla incluso de *cruciforme/lobulada*” (Lagarda 2012: 58). Por otro lado, según la catalogación de S. Ristow de 1998, sería una piscina en forma de cruz (Ristow *et al.* 2017).

El proceso de destrucción de la piscina grande acompañado de la edificación de un nuevo baptisterio con la piscina pequeña se ha relacionado con un cambio en el ritual bautismal, que habría podido evolucionar de la inmersión de los adultos al bautismo de los niños, u otros ritos que no requirieron del uso de una fuente tan profunda (Riera Rullan y Cau 2012a, 2012b; Miriello *et al.* 2013). No existe duda de que, entre los siglos IV a VII, en el Mediterráneo occidental de cada vez se bautizó a un menor número de adultos y, por tanto, seguro que aconteció lo mismo en las islas Baleares. Esto, por sí solo, ya parece un argumento suficiente para justificar la tendencia a una construcción de piscinas cada vez más pequeñas.²⁴² En cambio, una cuestión muy difícil de resolver, y que arqueológicamente parece insalvable, es la que tiene que ver con el ritual bautismal utilizado en la piscina pequeña. En el capítulo 1, ya se han visto algunos de los posicionamientos de investigadores que han analizado el caso concreto de Son Peretó y cómo, se consideró mayoritariamente que en las dos piscinas de Son Peretó se realizaron rituales de inmersión (Iturgaiz 1963: 283–284, 1969: 221; Palol 1967: 147; Palol *et al.* 1968: 14, 16–17). Se ha argumentado que entre los siglos IV y VII, se fue produciendo una disminución del tamaño y de la profundidad de los depósitos bautismales como consecuencia de una evolución litúrgica en la que, probablemente, se fue pasando del bautismo de adultos por inmersión al de infantes por *aspersion* (Duval 1994). En la misma línea, P. de Palol (1994: 22) cambió de parecer y consideró que la piscina pequeña de Son Peretó se construyó “para una liturgia no de inmersión como la primera”. En cualquier caso, se ha seguido afirmando que las dos fuentes de Son Peretó se utilizaron para realización del ritual de inmersión puesto que la piscina menor de Son Peretó pudo tener las medidas suficientes para tal efecto en bautismos infantiles (Godoy 1989: 611, 630–631). A pesar de que se han relacionado las evidencias arqueológicas que demuestran una tendencia a la disminución del tamaño de las fuentes bautismales, como se puede apreciar en Son Peretó, quizás por el incremento del bautismo por infusión, debe recordarse que los textos siguen mencionando el bautismo por inmersión hasta bien entrada la edad media (Godoy 2017b: 186–189).²⁴³ En el caso de Son Peretó no es posible conocer si en la fuente pequeña se llegaron a practicar los rituales de infusión o de aspersion, tanto en adultos como en niños.²⁴⁴

²⁴² Si bien es cierto que en el cristianismo el pedobautismo ya se venía efectuando desde el siglo I y que se han relacionado muchas veces las piscinas menos profundas con el bautismo infantil, “es evidente que muchos niños fueron bautizados en piscinas profundas junto a los adultos” (Godoy 2004: 614). Se ha afirmado que las fuentes literarias hispanas muestran un desarrollo del bautismo de los mayores desde el siglo IV, el cual es practicado hasta comienzos del siglo VI. Adultos y niños se bautizaron juntos desde mediados del siglo VI y durante el siglo VII, momento en el que se hará exclusivo para niños. Dichas fuentes demuestran un mayor número de bautismos de niños en España ya en el siglo VI, pero éstos eran excepcionales en las centurias precedentes, todo lo contrario de lo documentado en el norte de África (Ulbert 1978: 175–176). Para el sur de la Galia y el norte de Italia, los testimonios textuales permiten afirmar que “jusqu’au VIe siècle sans doute, le baptême concerne en majorité des adultes”. A partir del siglo IV, los porcentajes de niños aumenta entre los bautizados y “à l’époque carolingienne, on ne baptise pratiquement plus que des enfants (mais pas nécessairement des bébés)”. Aunque es verdad que los bebés enfermos podían recibir el sacramento del bautismo de urgencia incluso fuera del baptisterio, y que estos, de cada vez fueron aumentando, “il semble cependant que le baptême solennel, aux dates canoniques, ne soit pas totalement tombé en désuétude, même s’il ne concerne plus qu’un très petit nombre d’enfants. Le fait que les baptêmes d’adultes soient devenus exceptionnels peut expliquer la diminution de la taille des cuves baptismales qu’on observe assez généralement : une cuve plus petite suffit évidemment pour baptiser un jeune enfant, même si on conserve l’immersion totale” (Picard 1989: 1454–1455). Cabe recordar, además, que también se han relacionado con el bautismo infantil las piscinas elevadas sobre el nivel del suelo (Picard 1989: 1459), que es lo que se ha podido documentar para la piscina pequeña de Son Peretó –en la que su fondo estaba prácticamente a nivel de suelo–.

²⁴³ En la misma línea argumental y para un conocimiento mayor de la evolución de los ritos de inmersión, aspersion e infusión, véase: Picard 1989. Otros investigadores tampoco descartan que la “disminución paulatina de tamaño de las pilas bautismales” pueda estar relacionada con “problemas de abastecimiento y mantenimiento de las infraestructuras hidráulicas” (Abad, Gutiérrez y Gamo 2000: 217–218).

²⁴⁴ Para más detalles sobre el sacramento del bautismo en la Antigüedad según las fuentes escritas y los distintos ritos utilizados, véase: Picard 1989; Godoy 1989, 2017b.

No se ha podido determinar si todos los objetos que pasaron por el sumidero cayeron accidentalmente, y tampoco se descarta que alguno de ellos fuese lanzado de manera intencionada.²⁴⁵ Por otra parte, el gran número de fragmentos de borde de jarritas o jarritos que se colaron por dicho desagüe sugiere que tuvieron relación con el ritual del bautismo o, como mínimo, con el agua de la piscina (Riera Rullan y Cau 2012b: 22). La acción que sí parece deliberada es la referida a la colocación debajo de la piscina e inmediatamente al norte de su desagüe, de una piedra que presenta unas incisiones en forma de aspa (Figura 2.147). Tal y como se ha comentado, dicha marca se puede asociar al símbolo de la cruz, un tipo de cruz presente en Son Peretó en el famoso mosaico de la lauda sepulcral de *Baleria* (Figura II.1, Anexo II).

Los sedimentos de las UUEE 305, 313, 314, 324, 327, 329, 332, 333, 336, 338, 340 y 342 son el testimonio de los lodos que pasaron por el desagüe de la piscina pequeña y denotan una importante circulación de agua que no parece posible que pueda deberse a su transporte de manera manual. La acumulación de las UUEE 402 y 403 en el fondo de la pequeña cubeta localizada inmediatamente al norte de la piscina mayor,²⁴⁶ también sugiere la llegada, por la fuerza de la gravedad, de agua canalizada a las piscinas bautismales de Son Peretó, aunque por ahora se desconoce si provenía de los tejados de sus correspondientes baptisterios, del de la basílica, de ambos, o de otras edificaciones.²⁴⁷ Tampoco puede descartarse que el agua hubiese llegado de más lejos, si bien hasta el momento no se tiene constancia de la existencia de acueducto alguno que pudiese transportar agua procedente de manantiales o torrentes de la zona. Tal y como se ha afirmado, los baptisterios que incluyen suministros de agua son aquellos que cumplen estrictamente el requisito de usar agua corriente. Es lo que dan a entender diversas fuentes escritas para la península itálica y para el norte de África (Picard 1989: 1459–1461). Incluso, alguno de estos testimonios es del siglo VI, precisamente la misma centuria en la que con mayor probabilidad se construyó el baptisterio de la piscina pequeña de Son Peretó.

Como se ha visto, el equipo encabezado por P. de Palol consideró que el baptisterio, o como mínimo una parte, debió estar pavimentado con un suelo de *opus signinum* (Palol *et al.* 1968: 7, 13; Navarro 1988: 33). Más recientemente se ha argumentado que no “[...] se conoce el tipo de pavimento que existió en el baptisterio, aunque es posible que fuese un nivel de mortero cerámico” (Alcaide 2011: 120 y 287). Ciertamente, en 2005, la mayor parte de dicho pavimento ya había desaparecido, pero los restos hallados, sobre todo en el Ámbito Lateral Sur y también en todos los otros ámbitos, apuntan a que efectivamente todo el baptisterio, o la mayor parte, estuvo pavimentado con un mortero de cal que presenta cerámica machacada en su interior. Este se vio gravemente afectado por muchas de las tumbas localizadas en el interior del edificio bautismal, pero también en muchas de ellas se colocó una cubierta/pavimento que procuraba mantener el nivel de uso a la misma cota del pavimento preexistente.²⁴⁸

Gracias a la observación de las cotas superiores de los pavimentos de *opus signinum* conservados, y de allí donde aflora la roca natural, se puede afirmar que no todo el baptisterio se pavimentó a un mismo

²⁴⁵ Por lo que respecta a los elementos de adorno personal recuperados, y aunque tampoco es nada revelador, se puede recordar que, según la Tradición Apostólica: “Ils se déshabilleront, et on baptisera en premier lieu les enfants (...). On baptisera ensuite les hommes et enfin les femmes après qu’elles auront dénoué leurs cheveux et après avoir déposé les bijoux d’or qu’elles ont sur elles. Que personne ne prenne avec soi d’objet étranger (pour descendre) dans l’eau” (Picard 1989: 1458).

²⁴⁶ Para los cuales ya se ha indicado que presentan unas características físicas en su composición que recuerdan mucho a los limos que transportan las aguas en movimiento, y que son las que suelen aparecer en los fondos de canales o depósitos.

²⁴⁷ También apunta en la misma dirección el sedimento que se ha podido excavar a través del sumidero de la piscina mayor, aunque también es cierto que la cantidad extraída es muy exigua.

²⁴⁸ Aunque no en todas. También las había que quedaban unos 5 a 10 cm más alto, o que presentaban decoración en relieve.



Figura 9.8. Ejemplos de teselas de piedra encontradas en el Sector Baptisterio (M. Riera)

nivel.²⁴⁹ Así, se ha podido observar que la cota de circulación del Ámbito Lateral Norte estaba unos 40 cm más alta que la del Ámbito Lateral Sur, y unos 20 cm más arriba que la de la zona central bautismal. Todo ello permite suponer que se tuvieron que colocar escalones, hoy desaparecidos, para poder salvar los desniveles de unos 20 cm.

Los restos de aceite identificados sobre el pavimento UE 307 del Ámbito Lateral Norte, podrían estar asociados a la presencia de lámparas en ese lugar (Riera Rullan y Cau 2012b), pero no se pueden descartar otras opciones relacionadas con ritos pre o posbautismales, o con ágapes funerarios.

No se ha encontrado en todo el Sector Baptisterio fragmento alguno de mosaico *in situ*, ni tampoco alguna evidencia inequívoca de su existencia en alguno de los baptisterios. Cabe recordar que J. Aguiló no hizo ningún comentario sobre su presencia. En cambio, D. Iturgaiz y P. de Palol no descartaron que el baptisterio hubiese podido disponer de este tipo de pavimentación (véase capítulo 1). Entre 2005 y 2016 se han llegado a recoger un mínimo de 60 teselas de piedra (Figura 9.8), amortizadas en estratos de todas las fases detectadas, pero, en ningún caso se puede asegurar que pertenecieran a decoraciones musivas de los edificios bautismales.²⁵⁰ La localización de un mínimo de cinco teselas –cuatro de color gris y una de color blanco–, en estratos relacionados con la construcción de la piscina mayor (UE 437 y 466)²⁵¹, mostrarían la existencia de algún mosaico en las inmediaciones durante la Fase 1, es decir que sería de entre *c.* 400 y las primeras décadas del siglo VI, o de fases precedentes. Parecen apuntar en el mismo sentido una tesela de color gris encontrada en la UE 277 del interior de la fosa del Enterramiento 2008-6; una de color negro del relleno UE 308 del posible silo UE 320; y una de color gris que formaba parte del mortero de cal que sellaba la sepultura del Enterramiento 2010-6.

²⁴⁹ También se han tenido en cuenta las capas relacionadas con la aportación antrópica de tierras (UUEE 350, 469, 507, 550, 565 y 577). Tal y como se ha expuesto, todas presentaban las mismas características físicas que la UE 577 que se adosaba a la fachada de la basílica y que todo apunta a que se vertieron para poder nivelar el terreno y unificar la cota de circulación de cada uno de los ámbitos del baptisterio de la Fase 2.

²⁵⁰ Son teselas de color negro, blanco, gris, marrón y rojo. En los capítulos 2 y 4 se han expuesto las cuatro o cinco posibles teselas de vidrio recuperadas debajo de la piscina pequeña (Figura 2.158), aunque tampoco se puede descartar que se trate de objetos destinados a otros usos que no estarían relacionados con la musivaria. Estas “teselas” vítreas ya se habían documentado en el interior de las basílicas de Sa Carrotja y Son Peretó (Aguiló 1920: 5; Capellà y Martínez 2012b), y siguen apareciendo, aunque en contadas ocasiones, en distintas zonas de esta última estación arqueológica (véase capítulo 4).

²⁵¹ En la UE 486, también relacionada con la construcción de dicha piscina, se halló una pequeña piedra de color ocre, bastante bien cuadrada, de la que no es segura su atribución a una tesela.

También se han ido documentando fragmentos de estuco de color blanco amortizados en estratos de todas las fases y uno de color rojo localizado en la capa superficial UE 210. Sin embargo, por su escasez y por los lugares en los que aparecieron, tampoco se puede asegurar que hubiesen formado parte de los enlucidos de las paredes de los baptisterios.

Dejando para más adelante el tema de la localización de la puerta o puertas que conectaban el baptisterio con la basílica, conviene analizar ahora dónde pudieron estar el portal o portales, si es que los hubo, que habrían permitido entrar al edificio bautismal sin pasar por el templo.²⁵² Existen tres zonas donde la inexistencia del zócalo permite plantear la presencia de un acceso al baptisterio, una en cada una de sus paredes maestras meridional, occidental y septentrional (Figura 0.4). Por lo que respecta a la de la fachada septentrional, allí donde existe la UE negativa que se interpretó en su momento como un silo, depósito o agujero de árbol, existe un tramo de 2,5 m de largo, en el que no se conserva su zócalo. Esto ha dado pie a plantear la existencia en el lugar de un acceso al baptisterio (Alcaide 2011: 120), pero lo cierto es que no existe ninguna prueba ni dentro ni fuera del edificio bautismal. La posible segunda puerta conectaría el recinto bautismal con el Sector Sur. Esta es aún más dudosa que la anterior. En el zócalo de la pared meridional del baptisterio existe un tramo, de hasta 1 m de largo, en el que no se encontró ninguna piedra claramente perteneciente a esta estructura. Cabe indicar que ese tramo no está localizado en el centro de dicha pared, ni tampoco centrada en el eje longitudinal del Ámbito C del Sector Sur al que daría acceso. Además, por el aspecto de los extremos, parece corresponder a la fractura del zócalo una vez abandonado el yacimiento. Finalmente, tanto en el interior del recinto bautismal, como en el Ámbito C, se han documentado diversas estructuras que imposibilitan la existencia de esta puerta, como mínimo en la última fase detectada (Fase 3). En la pared occidental no se conserva el zócalo en unos 4 m de su mitad meridional. Es precisamente en este extremo donde J. Aguiló situó uno de los accesos al baptisterio (Figuras 0.2 y 1.1)²⁵³. También S. Alcaide (2011: 120) propone un ingreso en este ángulo sudoeste.²⁵⁴ Tal y como se ha visto en el capítulo 2, en la misma zona parece que pudo existir una UE negativa, que podría corresponder al agujero de expolio de algún elemento del umbral de la puerta (Figuras 2.66 a 2.68), una puerta considerada factible en la propuesta reconstructiva argumentada en el capítulo 8. Finalmente, tal y como se mostrará un poco más adelante, la distribución de las tumbas en el baptisterio también podría estar demostrando la existencia de dicho portal.

Fase 3

Ya se ha visto como P. de Palol (1989, 1993-1994) describió una tercera fase, que consideró el último momento constructivo de la zona del baptisterio, en la que se redujo la superficie de este con la edificación de un muro interior (UE 29) paralelo a su pared original septentrional.²⁵⁵ Dicho investigador expresó sus dudas respecto a si se seguiría enterrando durante esta etapa.²⁵⁶ S. Alcaide (2011: 123-124),

²⁵² En el baptisterio del Tolmo de Minateda, próximo formal y cronológicamente al de Son Peretó, tan solo se podía acceder a él desde el interior de la basílica, a través de dos vanos de aproximadamente 1,20 m de anchura, abiertos en cada una de sus naves laterales. Además, “en otros baptisterios tripartitos ubicados a los pies de la iglesia, como el del Bovalar y quizá el de Gerena, la forma de entrada es similar a la del Tolmo. Sin embargo, en la mayoría de los conocidos (Vega del Mar, Casa Herrera, Aljezares, Recópolis) existe también un acceso desde el exterior” (Abad, Gutiérrez y Gamo 2000: 198, 203 y 216).

²⁵³ Si bien es cierto que tampoco se tiene ninguna evidencia que permita acreditar las dos puertas planteadas por este autor en los extremos orientales de las paredes sur y norte del baptisterio; unas puertas que se consideran “poco probables, o al menos injustificables dentro de la lógica de la circulación entre el baptisterio y su exterior” (véase capítulo 2).

²⁵⁴ En cambio, no se contemplaba su existencia en la planta de la publicación de Palol de 1999 (véase la Figura 1.43).

²⁵⁵ En cambio, pocos años después, se consideró de un “segon moment de construcció” (Palol 1999: 165).

²⁵⁶ P. de Palol afirmó que sería entonces cuando se construiría la piscina pequeña. A la luz de los nuevos datos, esta idea debe abandonarse.

por su parte, consideró que dicho muro UE 29 pertenecía a “un momento ulterior” al de la construcción del baptisterio, e indicó que se adosaba a un “refuerzo” (UE 27) realizado en el interior de la pared occidental del edificio bautismal. También afirmó que “en su último período, el baptisterio tuvo con seguridad un uso funerario”.

El elevado grado de arrasamiento de la mayoría de las estructuras, la falta de conexión directa entre muchas de estas y el hecho de no haber podido excavar los estratos que había entre ellas, dificultan determinar cuáles son los elementos que corresponderían a la Fase 3. De hecho, es muy probable que algunos de los que ahora se proponen como edificados durante esta fase perteneciesen en realidad a diferentes subfases constructivas. Se ha decidido unificar todos estos elementos en una sola fase puesto que en la mayoría de los casos es imposible determinar cuáles son anteriores, posteriores o coetáneos por lo que respecta a su fundación (Figura 9.9).

Al inicio de la Fase 3, seguiría funcionando el gran edificio bautismal cuadrangular, con sus cuatro corredores y su Ámbito Central con la piscina pequeña. Sería ahora cuando se practicaría el “refuerzo” UE 27 antes citado.²⁵⁷ En un segundo momento, se adosaría a este último el zócalo UE 29 que corresponde al muro que atraviesa de oeste a este el Ámbito Lateral Norte. El hecho de que la distancia del extremo oriental de este zócalo con la fachada de la basílica sea de unos 2 m, la misma que había desde esta última hasta los extremos orientales de los muros norte y sur del Ámbito Central, puede estar mostrando que en dicho extremo del zócalo UE 29 también pudo haber una abertura.

También se identifican como de la Fase 3 las banquetas UE 408 y 490 adosadas al muro meridional del baptisterio en su cara interior. Han sido consideradas como dos construcciones diferentes dado que no están en contacto, y no están construidas de la misma manera. Por otra parte, sus diferentes cotas inferiores, así como su relación con los estratos de las inmediaciones, permiten afirmar que la UE 408 era más antigua que la UE 490.²⁵⁸ Más adelante se expondrá la posible función de estos asientos.

Ya se han indicado las dificultades a la hora de poder fijar la fecha de fundación de los distintos elementos construidos durante la Fase 3.²⁵⁹ De esta forma, tan solo se puede indicar que los materiales recuperados en la UE 122, pertenecientes a un fragmento de TSAD del tipo Hayes 80B/99, y a un fragmento de una posible Hayes 91D de TSAD, permiten situar la construcción del zócalo UE 29 en un momento posterior a c. 500/520 e, incluso, tal vez, posterior a c. 575/600.

Por otro lado, los resultados de las pruebas de ¹⁴C realizadas a partir de huesos humanos de los Enterramientos 2008-8, 2009-4 y 2011-1, permiten afirmar que su sepelio se realizó, respectivamente, entre c. 770 y 970, entre c. 720 y 900, y entre c. 660 y 870.

²⁵⁷ Si bien no se puede descartar completamente que, en vez de ser un refuerzo, hubiese sido un banco, del mismo estilo que los de las UUEE 408 y 490 que se describirán más adelante.

²⁵⁸ En cambio, S. Alcaide (2011: 122, 123 y Plantas 1 y 3) consideró las dos banquetas como una única estructura perteneciente al muro que cerraba por el sur el recinto bautismal desde el mismo momento de su fundación. Esta lectura de las relaciones físicas entre los distintos zócalos de los Sectores Baptisterio y Sur, llevó a afirmar que el límite septentrional de este último “está revestido desde el interior del baptisterio por un paramento dispuesto en un momento posterior” —se refiere la autora a lo que ahora se defiende que fueron las banquetas—, concluyendo que “de este modo, parece probable que en la edificación del baptisterio se aproveche el muro septentrional” de las habitaciones del Sector Sur “para conformar su cierre meridional” (Alcaide 2011: 122-123). Tal y como se ha visto en el capítulo 2, no se puede asegurar que el muro meridional del baptisterio sea posterior a la construcción del Ámbito A del Sector Sur, y parece más probable que fueran, como mucho, de un mismo momento.

²⁵⁹ Cabe recordar que P. de Palol (1989, 1993-1994) había considerado que la tercera fase por él propuesta sería posterior a una segunda que situó a mediados del siglo VI, o en su segunda mitad.

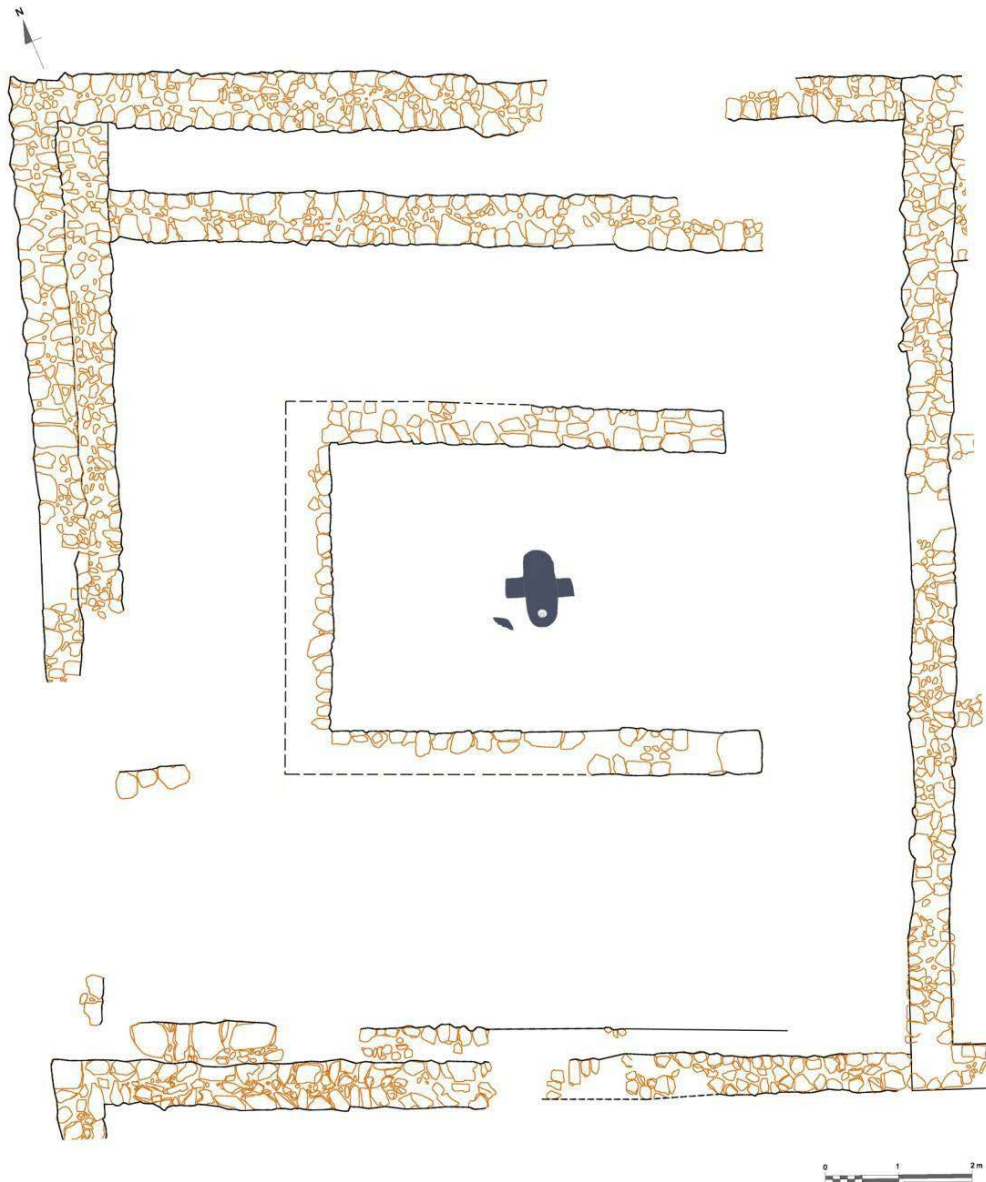


Figura 9.9. Principales elementos de la Fase 3 (S. Alcaide, J. M. Puche y M. Riera)

A tenor de estas dataciones aportadas por la cerámica y por los resultados de las pruebas radiocarbónicas, y teniendo presente que la Fase 2 se tuvo que construir entre c. 480/500 y c. 570 e, incluso, entre c. 480/500 y c. 540, se puede afirmar que la Fase 3 no empezaría antes mediados del siglo VI, pero que su inicio se puede situar, más probablemente ya durante la séptima centuria.²⁶⁰ También se puede asegurar que se seguiría enterrando en el interior del recinto bautismal hasta, como mínimo, la segunda mitad del siglo VIII.

Antes de finalizar, cabe destacar que en el Sector Baptisterio se han documentado diversos fragmentos de plomo pertenecientes a portamechas (Figuras 1.52, 2.45, 2.59, 2.60 y 2.157),²⁶¹ que

²⁶⁰ Tal y como sucede con la Fase B del Sector Oeste (Riera Rullan, Cau y Salas 2012a, 2012b, 2013).

²⁶¹ Tal vez también se podría relacionar con este tipo de instrumentos el fragmento de plomo encontrado en la UE 211.

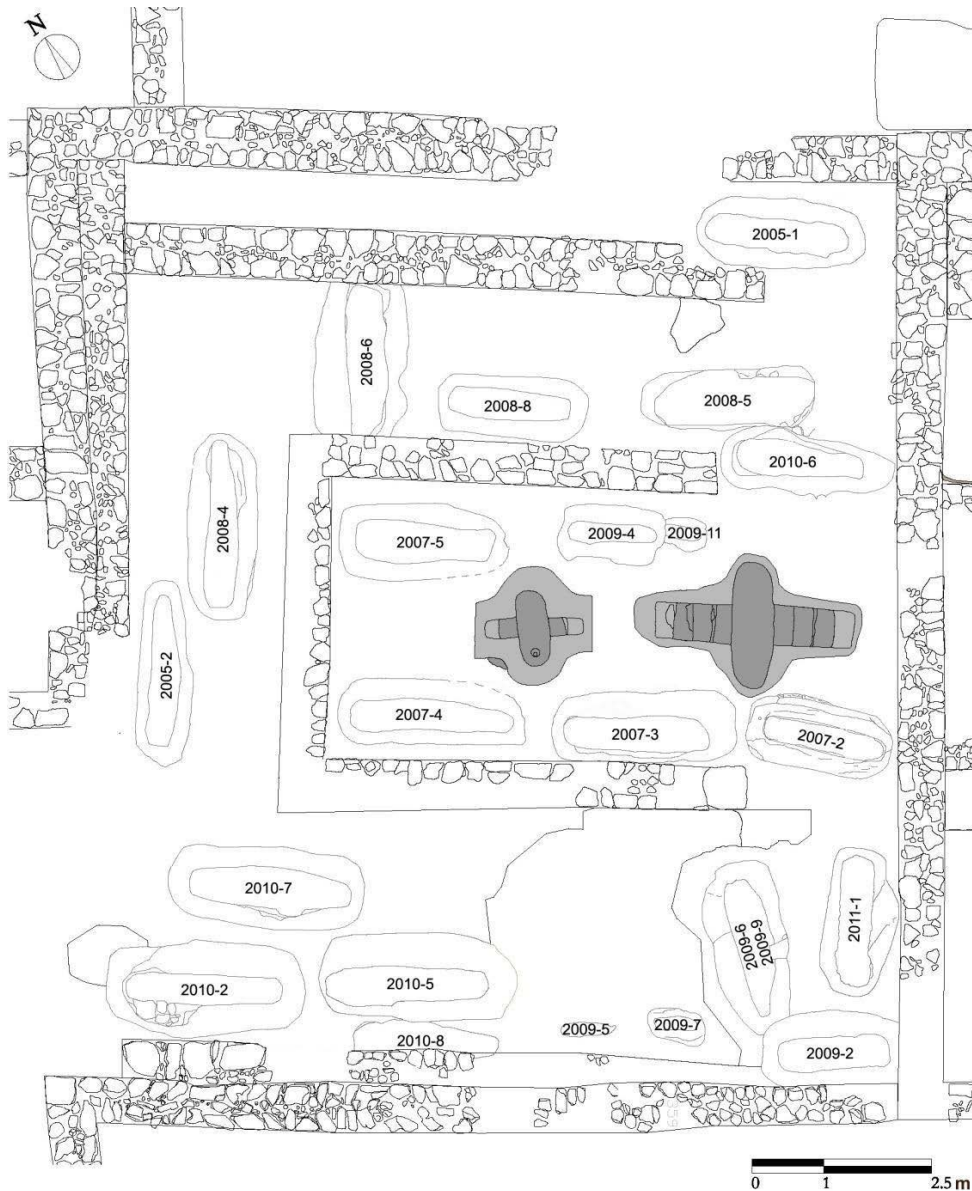


Figura 9.10. Localización de los Enterramientos documentados en el Sector Baptisterio. No se han marcado los enterramientos dudosos o pendientes de excavación (S. Alcaide, J. M^a. Puche, M. Riera y M^a. J. Rivas)

han aparecido en estratos tanto de la Fase 1, como de la 2 o la 3. Tal y como se ha visto en el capítulo 4, también se han podido identificar diversas piezas que corresponden a lámparas de vidrio, algunas de suspensión, de los siglos V a VII d. C. De ellas se han destacado sus ventajas respecto a las tradicionales lucernas de cerámica, tanto por lo que respecta a su funcionamiento como por su luminosidad. También se viene considerando que este tipo de piezas son características, sobre todo, de los contextos religiosos (Vizcaíno 2009: 681). Hay investigadores que, incluso, señalan que, en Italia, las lámparas de vidrio de los siglos V a VIII estaban *confined to ecclesiastical sites* (Campbell 2007: 73). No es de extrañar pues, que se estén documentando otros portamechas y fragmentos de lámparas de vidrio en distintos sectores de Son Peretó (Riera Rullan, Cau y Salas 2012b).

El mundo funerario en el Sector Baptisterio de Son Peretó

En 1968 se expuso que “el hecho de aparecer tumbas en el interior del recinto baptismal es muy poco frecuente” e, incluso, P. de Palol aseveró que Son Peretó era el “primer caso claro” del que tenía conocimiento. También se recordaba que existen “cánones de reuniones conciliares, como el de Auxerre del 578 que indica explícitamente: *Non licet in baptisterio corpora sepelire*” (Palol *et al.* 1968: 16). Dos décadas más tarde, se afirmaba que “sorprendentemente también el recinto del baptisterio de Son Peretó se vio ocupado por los enterramientos”, aunque también se reconocía que “la existencia de inhumaciones en los baptisterios no era excepcional en los siglos IV y V, ni tampoco debía serlo en el siglo VI, cuando en el Concilio de Auxerre” se proscribió dicha práctica, “la mejor prueba, sin duda, de que la costumbre se mantenía en uso” (Navarro 1988: 33 y 37; Duval 1990: 159).²⁶² Se ha llegado a afirmar que “resulta excepcional el número de sepulturas practicadas” en el interior del baptisterio (Alcaide 2011: 128), y eso que entonces todavía no se contemplaron las sepulturas excavadas con posterioridad al año 2007 (Figura 9.10). Por otro lado, hoy se considera que los baptisterios se habían convertido en espacios litúrgicos polivalentes que aunaban bautismo, eucaristía y culto a los mártires. “Precisamente esta función de *martyrium* sería la que atraería la presencia de sepulturas *ad sanctos*, tan repetidamente constatada por la arqueología en numerosos baptisterios, pero no siempre bien acogida, como sabemos por la prohibición del canon 14 del Concilio de Auxerre del año 561/605” (Godoy 2017a: 153–154; 2017b: 193; Picard 1989: 1452 y 1467–1468).

A partir de todas las informaciones aportadas hasta el momento, los enterramientos del Sector Baptisterio se pueden organizar como en la Tabla 9.1.

Se ha concluido que pertenecen a la denominada Fase 1, los Enterramientos 2008-A, 2008-6, 2009-6, 2009-9 y 2010-6 (Figura 9.11). Lo que no se ha podido resolver es si estas tumbas estuvieron en un “área funeraria exterior”,²⁶³ o en el interior de un recinto de carácter funerario localizado a los pies del templo y anterior a los baptisterios.²⁶⁴ También cabe la posibilidad de que pertenezcan al período en el que estuvo en uso el baptisterio ignoto de la piscina grande.²⁶⁵ Lo cierto es que a día de hoy siguen abiertas las tres posibilidades y, también es muy posible que, entre las sepulturas de los Enterramientos 2008-A, 2008-6, 2009-6, 2009-9 y 2010-6 algunas sean anteriores y otras posteriores a la construcción de la fuente baptismal de mayores dimensiones.

²⁶² T. Ulbert (1978: 168–169) dio por segura la existencia en el baptisterio de Son Peretó de tumbas contemporáneas a las piscinas. Citando también el Concilio de Auxerre, que situaba entre los años 561 y 605, señaló que en la península ibérica también se habrían realizado enterramientos en el interior de los baptisterios, tanto cuando estaban en uso, como cuando ya estaban derruidos.

²⁶³ Propuesta planteada para el Enterramiento 2008-A en: Alcaide 2011: 356 y 410.

²⁶⁴ En capítulos precedentes, se ha visto cómo años atrás ya se consideró como probable la existencia en el lugar de una edificación —vestíbulo/nártex/atrio/o amplia cámara—, en el interior del cual se podrían haber realizado enterramientos con anterioridad a la existencia de las dos piscinas bautismales (por ejemplo: Navarro 1988: 32 y 33; Palol 1967a: 10–11, 1989, 1993–1994, 1994: 22; Palol *et al.* 1968: 15–16), si bien es cierto que toda esta argumentación partía de la posible localización de una sepultura por debajo de la piscina pequeña, que no era tal, sino que correspondía al recorte del sistema de evacuación de sus aguas (Alcaide 2011: 123; Munar *et al.* 2011; Riera Rullan y Cau 2012b).

²⁶⁵ Esta segunda opción sería la preferida por S. Alcaide (2011: 123, 356 y 410), pero sitúa la sepultura y la piscina grande en el interior del mismo baptisterio que habría funcionado con la piscina pequeña, considerando que esta última y el Ámbito Central serían de un momento posterior a la amortización de la piscina mayor.

Ent.	Descripción	Sexo	Edad	¹⁴ C calibrated date 95,4% probability	tpq materiales asociados	Fase
2005-1	Primario	Masculino	1 adulto	410AD (95,4%) 570AD	-	2
2005-2	¿?	¿?	¿1 adulto?	-	-	2 o 3
2007-2	Primario	Femenino?	1 adulto	-	-	2 o 3
2007-3	¿Primario?	¿?	1 adulto	-	-	2 o 3
2007-4a	1 reducción	1 masculino ²⁶⁶	1 adulto	-	-	2 o 3
2007-4b	1 primario	¿Masculino?	1 adulto	-	-	3?
2007-5	Primario	¿?	1 adulto	-	-	2 o 3
2008-A	¿?	¿?	¿1 juvenil?	-	-	1
2008-4	Primario	¿?	1 juvenil	Colágeno insuficiente	c. 480/500 ²⁶⁷	2 o 3
2008-5	-	¿? ²⁶⁸	1 adulto	-	-	2 o 3
2008-6	Primario	Masculino	1 adulto	Colágeno insuficiente	c. 480/500 ²⁶⁹	1
2008-8	Primario	Femenino	1 adulto	770AD (95,4%) 970AD	-	3
¿2009-A?	¿?	¿?	¿?	-	-	2 o 3
2009-B	¿?	¿?	¿?	-	-	?
2009-C	¿?	¿?	¿?	-	-	?
2009-2	¿?	¿?	¿?	-	-	3
2009-4	Primario	¿?	1 infantil	720AD (3,0%) 740 AD 770 (92,4%) 900 AD	400/450 ²⁷⁰	3
2009-5	¿?	¿?	¿1? infantil	-	-	3
2009-6	Primario	Masculino	1 adulto	250AD (14,0%) 300 AD 310AD (81,4%) 430AD	-	1
2009-7	¿?	¿?	¿1? Infantil	-	-	3
2009-9	Primario	Femenino	1 adulto	340AD (3,3%) 370 AD 380 (92,1%) 540 AD	-	1
2009-11	¿Primario?	¿?	¿1 infantil?	-	-	2?
¿2010-1?	¿?	¿?	¿1 infantil?	-	-	2 o 3
2010-2A, B y C	¿?	¿? ²⁷¹	3 adultos ²⁷²	-	-	2 o 3
2010-5	¿?	¿?	¿1? adulto o más	-	c. 480/500 ²⁷³ c. 525/530 ²⁷⁴ c. 535 ²⁷⁵	3
2010-6	¿?	¿?	¿1 adulto?	-	-	1
2010-7	Primario	Masculino	1 adulto	-	c. 535 ²⁷⁶ c. 560/580 ²⁷⁷	2?
2010-8	Primario	Masculino	1 adulto	-	-	2
2011-1	Primario	Masculino	1 adulto	660AD (86,9%) 780AD 790AD (8,5%) 870AD	Entre 400 y 470 ²⁷⁸ c. 400 ²⁷⁹	3

TABLA 9.1. ENTERRAMIENTOS DEL SECTOR BAPTISTERIO EXCAVADOS HASTA 2011

²⁶⁶ Según: Palol *et al.* 1968: 11. A partir del estudio antropológico realizado a partir de los huesos encontrados en el interior de la fosa en el año 2007, se confirma que en su interior se depositó un individuo adulto de sexo masculino, pero no se pudo determinar si dichos restos pertenecían al Enterramiento 2007-4a o 2007-4b.

²⁶⁷ Hayes 99A o B.

²⁶⁸ ¿Tal vez femenino?, por la cuenta de vidrio encontrada en el interior de la fosa en la UE 321.

²⁶⁹ Hayes 99A o B y Hayes 103 de TSAD, y vidrio con los bordes con perfil de “cabeza de cerilla”.

²⁷⁰ Posible Hayes 81?

²⁷¹ Según J. Aguiló, en este sepulcro se localizó el esqueleto de un hombre (Aguiló 1920: 7).

²⁷² Como mínimo.

²⁷³ Hayes 88, 99A o B y Hayes 104 o 105 de TSAD.

²⁷⁴ Hayes 99B o C.

²⁷⁵ Cerámica común ¿ibicenca? con decoración incisa de hojas de palmera.

²⁷⁶ Cerámica común supuestamente ibicenca con decoración incisa polilineal.

²⁷⁷ Hayes 99C.

²⁷⁸ Hayes 93/94/95 y vidrio con borde con perfil de “cabeza de cerilla”.

²⁷⁹ Moneda de bronce.

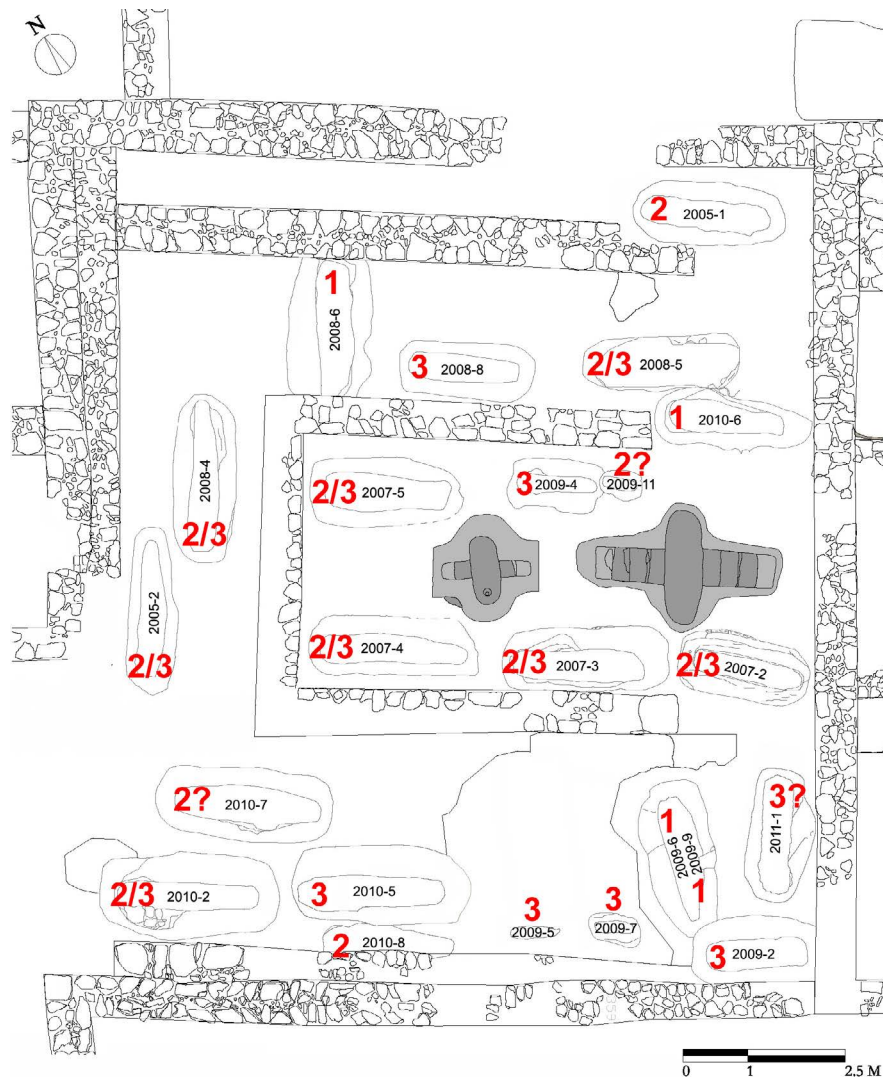


Figura 9.11. Indicación de las fases a las que pertenecen los enterramientos documentados en el Sector Baptisterio. No se han marcado los enterramientos dudosos o sin excavar (S. Alcaide, J. M. Puche, M. Riera y M^a. J. Rivas)

El Enterramiento 2009-6 podría pertenecer al sepulcro más antiguo del Sector Baptisterio. Así, cabe recordar que los resultados de las pruebas de ^{14}C realizadas en uno de sus huesos, han aportado los siguientes resultados: AD 250 (14.0%) AD 300 y AD 310 (81.4%) AD 430 con una *calibrated date* de 95,4% *probability*. Asimismo, su fosa²⁸⁰ es, de entre todas las de dicho Sector, la que presenta más claramente una orientación que no es ni paralela ni perpendicular a los ejes de la basílica ni del baptisterio de la Fase 2, lo que parece reforzar la idea de un sepulcro anterior. De hecho, es perfectamente perpendicular a las fosas de las dos tumbas más antiguas del Sector Sur, que se pueden enmarcar en un lapso de tiempo que se sitúa entre c. finales del siglo IV/principios del siglo V, hasta mediados del mismo siglo V. Bien es cierto que en este último sector también se han detectado sepulturas paralelas a las antes citadas y de fases mucho más modernas (Riera Rullan, Cau y Salas en prensa), pero con los datos actuales parece perfectamente factible que los sepulcros más antiguos del Sector Sur y el del Enterramiento 2009-6 sean anteriores a la fundación del edificio de culto que actualmente se conoce de Son Peretó. Parece, incluso, que pudieron ser anteriores a la construcción del baptisterio que funcionó con la piscina mayor.

²⁸⁰ De la que tan solo se conserva la mitad occidental, ya que posteriormente fue ampliada para añadir en su interior el Enterramiento 2009-9.

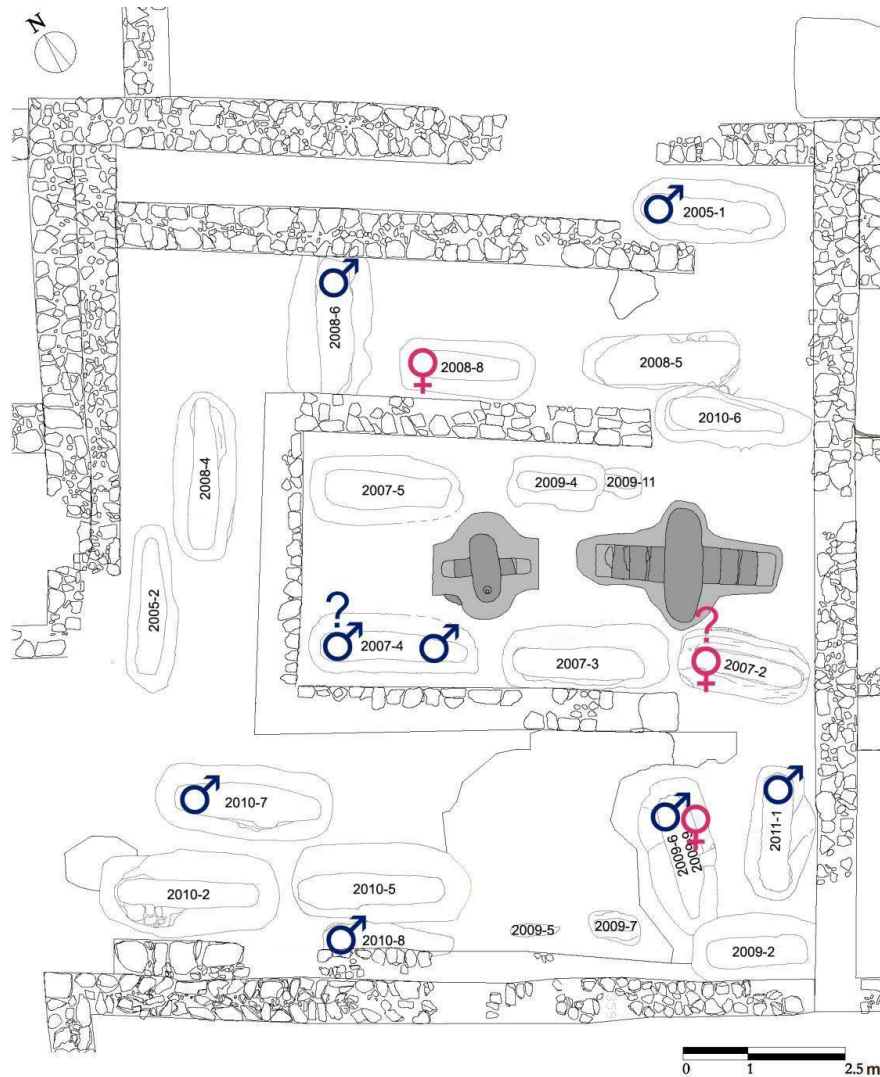


Figura 9.12. Indicación de los individuos del Sector Baptisterio de los que se ha podido determinar el sexo (S. Alcaide, J. M^a. Pucho, M. Riera y M^a. J. Rivas)

Pertenecen a la Fase 2 los Enterramientos 2005-1²⁸¹ y 2010-8 y, muy probablemente, los Enterramientos 2009-11 y 2010-7. Se consideran de la Fase 3, los Enterramientos 2008-8, 2009-2, 2009-4, 2009-5, 2009-7, 2010-5 y 2011-1 y, seguramente, el Enterramientos 2007-4b. En cambio, no ha sido posible determinar si los Enterramientos 2005-2, 2007-2, 2007-3, 2007-4a, 2007-5, 2008-4, 2008-5, 2010-2A, 2010-2B y 2010-2C

²⁸¹ Se había considerado que la sepultura de este Enterramiento 2005-1 tenía que ser del último período del edificio bautismal. Incluso se afirmaba que su fosa (UE 32) afectó al zócalo UE 29 (Alcaide 2011: 124). Aunque es cierto que en el año 2005 podía parecer que durante la realización de la fosa se pudo cortar el zócalo, la verdad es que aquella parte del yacimiento se encontró muy alterada. Por otra parte, tal y como se ha argumentado con anterioridad, es factible que en el extremo oriental de dicho zócalo hubiese habido una abertura, y que, en realidad, se hubiese construido una pequeña parte del zócalo sobre la cubierta de *signinum* de la tumba, justo allí donde después habrían desaparecido algunas de las piedras de su cara septentrional –el hecho de que estas piedras descansaran directamente sobre el *signinum* muy plano y liso, y no en un lecho de tierra que las habría sujetado mejor, podría ser la explicación de su pérdida–. Todo este razonamiento es, además, más coherente con los resultados de las pruebas de ¹⁴C, realizadas en uno de los huesos de esqueleto de este Enterramiento 2005-1, que permiten proponer un *taq* de c. 570 d. C. para el momento en el que se efectuó la inhumación.

se efectuaron durante la Fase 2 o la Fase 3 (Figura 9.11).²⁸² De ser cierto que existieron los Enterramientos 2009-A y 2010-1, estos habrían sido también de las Fases 2 o 3. Finalmente, dado que no se procedió a la excavación de los Enterramientos 2009-B y 2009-C, no se ha podido establecer a qué fase pertenecieron.

Estratigráficamente hablando, se puede entrever que el Enterramiento 2009-2 sería uno de los más modernos del Sector Baptisterio ya que cuando se realizó su fosa parece que se recortó parcialmente la banqueta UE 408 para la que se propone que pertenezca a la Fase 3. También se recortaron parcialmente las sepulturas de los Enterramientos 2009-6 y 9 y 2011-1. Por tanto, se puede afirmar que sería posterior a c. 660 d. C. Lamentablemente esta tumba se encontró totalmente expoliada y no se ha podido ajustar mejor su datación de ninguna otra manera. De entre las más de veinte pruebas de ¹⁴C realizadas a partir de huesos de enterramientos de Son Peretó, es decir, no solo del Sector Baptisterio, es, hasta la fecha, la realizada a partir de los restos del Enterramiento 2008-8 la que ha aportado el *tpq* más moderno, concretamente, de c. 770 d. C.

En el Sector Baptisterio, se han identificado un mínimo de 20 individuos inhumados, pero, tanto por las tumbas que llegaron vacías al siglo XXI, como por las, como mínimo, tres que quedan sin excavar, se puede asegurar que en dicha zona se llegaron a enterrar al menos 28 personas. De entre todas ellas, tan solo cuatro, máximo cinco, serían menores de siete años, uno o dos de edad juvenil, y todas las demás serían mayores de 14 años en el momento de su muerte –se han podido identificar los restos de un mínimo de 18 adultos–. Por lo que respecta a los individuos de los que se ha podido determinar su sexo, habría un mínimo de siete hombres y dos mujeres, probablemente tres (Figura 9.12).

No se ha documentado ninguna sepultura perteneciente a un individuo infantil en la Fase 1, mientras que en la Fase 3 se documentan dos o tres casos. Tal vez también serían de la Fase 3 los dos posibles Enterramientos 2009-11 y 2010-1, pero no se puede descartar que correspondan a la Fase 2. En cualquier caso, sí que se puede señalar que las inhumaciones infantiles del Sector Baptisterio son todas posteriores a la construcción de la piscina bautismal pequeña y, especialmente, posteriores a mediados del siglo VI y, más probablemente, ya de, como mínimo, el siglo VII. En cambio, por lo que respecta a los individuos para los que se ha podido determinar su sexo, no se aprecian cambios cronológicos, apareciendo hombres en cada una de las fases y, una mujer en la Fase 1, una en la Fase 3 y, muy probablemente otra, en la Fase 2 o 3.

Todas las sepulturas documentadas en el Sector Baptisterio tienen unas fosas excavadas en el terreno, con forma de bañera, con los extremos más o menos redondeados, y suelen presentar en su coronamiento un rebaje para poder encajar las cubiertas. Estas últimas suelen presentar entre dos y cuatro capas (Tabla 9.2), donde la inferior siempre está hecha con losas y, la superior, mayoritariamente de *opus signinum*. Entre las dos, se dan casos en los que se depositaron capas de mortero, de piedras, o de tierra, o varios de estos elementos entremezclados.

Las cubiertas de losas suelen presentar cinco piezas, aunque también las hay de dos, seis y siete.²⁸³ Están hechas mayoritariamente de piedra calcárea, toscamente trabajada, adoptando diversas formas y medidas, pero también se dan casos de piezas de arenisca local (*marés*), mucho mejor escuadradas (Enterramientos 2007-2 y 2007-3). Excepcionalmente, en lugar de losas se usan fragmentos de tégula (sepultura infantil del Enterramiento 2009-11).

²⁸² Se había afirmado que los Enterramientos 2007-2, 2007-3, 2007-4 y 2007-5 “Corresponden a la fase final del baptisterio” (Alcaide 2011: 410–411), pero no se puede descartar que pertenezcan a la Fase 2.

²⁸³ Entre ellas suelen aparecer piedras, normalmente de pequeño o mediano tamaño, a modo de falcas, que servían para tapar mejor los agujeros que quedaban en las juntas de entre las losas o, de entre estas y las fosas de las tumbas.

Ent.	Descripción	Orientación ²⁸⁴ pies/cabeza	Cubierta	Losas	Lecho de arcilla	Fondo fosa (largo/ ancho/ alto) ²⁸⁵
2005-1	Parcialmente expoliada	Este/Oeste	3 capas: losas, <i>rudus</i> y <i>signinum</i>	5 de calcárea	Sí	1,84 / 0,44 / 0,6 m
2005-2	Completamente vacía	Norte/Sur	¿? Solo se conoce la cubierta de losas	6 de ¿calcárea?	¿?	2,1 / 0,4 / 0,74 m
2007-2	Parcialmente expoliada	“Este/Oeste” ²⁸⁶	4 capas: losas, tierra, mortero y <i>signinum</i>	2 de caliza	¿No?	1,8 / 0,4 / 0,6 m
2007-3	Muy expoliada	Este/Oeste	¿? capas: losas, arcilla y ¿?	¿? se documentaron dos de caliza	¿?	2,05 / 0,5 / 0,9 m
2007-4	Muy expoliada	Este/Oeste	¿? capas: losas y ¿?	7 de ¿calcárea?	¿?	2,2 / 0,45 / 0,6
2007-5	Parcialmente expoliada	Este/Oeste	¿? capas: losas y ¿?	¿? se documentó una de calcárea	¿?	1,95 / 0,5 / 0,7 m
2008-A	No se ha excavada	Este/Oeste	3 capas: losas, tierra y mortero	¿3? O más de calcárea	¿?	¿?
2008-4	Intacta	Norte/Sur	¿? Capas: losas, tierra, piedras, arcilla, piedras, arcilla y ¿?	6 de calcárea	¿Sí?	1,95 / 0,75 / 0,85 m
2008-5	Muy expoliada	Este/Oeste	¿? Solo conservaba una losa	¿? se documentó una de calcárea	¿Sí?	2 / 0,5 / 0,56 m
2008-6	Intacta	Sur/Norte	3 capas: losas, tierra y ¿mortero?	6 de calcárea	Sí ²⁸⁷	2,17 / 0,3 / 0,95 m
2008-8	¿Parcialmente expoliada?	Este/Oeste	¿? Solo conservaba la cubierta de losas	5: 2 de calcárea y 3 arcillosas	Sí	1,75 / 0,45 / 0,5 m
¿2009-A?	¿Completamente expoliada?	“Sur/Norte” ²⁸⁸	¿2? Losas y <i>signinum</i>	¿? Se documentó una de calcárea	¿?	2,1 / 0,75 / 0,6 m
2009-B	Sin excavar	Norte/Sur o Sur/Norte	¿? Tan solo se ha podido identificar el signino	¿?	¿?	¿?
2009-C	Sin excavar	Norte/Sur o Sur/Norte	¿? Tan solo se ha podido identificar el signino	¿?	¿?	¿?
2009-2	Completamente vacía	Este/Oeste	3 capas: losas, tierra ²⁸⁹ y mortero	¿? Se documentó una de calcárea	¿?	1,6 / 0,5 / 0,77 m
2009-4	Intacta	Este/Oeste	3 capas: losas, tierra y pavimento hecho con tégulas	5 de calcárea	No	1,25 / 0,25 / 0,63 m
2009-5	Completamente vacía	Este/Oeste	¿?	¿?	¿?	0,76 / 0,2 / 0,12 m
2009-6	Intacta?	“Sur/Norte” ²⁹⁰	¿2? Losas y <i>signinum</i>	¿? Se documentó una de calcárea	Sí	2,1 / ¿? / 0,85 m
2009-7	Completamente vacía	Este/Oeste	¿?	¿? Se habrían podido documentar 2 de calcárea	¿?	0,88 / 0,54 / 0,38 m
2009-9	Intacta?	“Sur/Norte” ²⁹¹	¿2? Losas y <i>signinum</i>	¿? Se documentó una de calcárea	Sí	2,1 / 0,75 / 0,85 m.

TABLA 9.2: SEPULTURAS DEL SECTOR BAPTISTERIO 2005–2016

²⁸⁴ Se ha tomado como referencia la orientación de la basílica, como si estuviese perfectamente orientada al este.

²⁸⁵ Medidas máximas en su lecho.

²⁸⁶ Pero no perfectamente paralela al eje longitudinal de la basílica.

²⁸⁷ En este caso sería un lecho arenoso sobre el que se hizo un pavimento de mortero de cal.

²⁸⁸ Pero no perfectamente perpendicular al eje longitudinal de la basílica.

²⁸⁹ Tal vez con un poco de cal.

²⁹⁰ Pero no perfectamente perpendicular al eje longitudinal de la basílica.

²⁹¹ Pero no perfectamente perpendicular al eje longitudinal de la basílica.

EXCAVACIONES EN EL BAPTISTERIO DEL CONJUNTO ECLESIAÍSTICO DE SON PERETÓ

Ent.	Descripción	Orientación ²⁹² pies/cabeza	Cubierta	Losas	Lecho de arcilla	Fondo fosa (largo/ ancho/ alto) ²⁹³
2009-11	Completamente vacía	Este/Oeste	¿? se han podido identificar 2 capas de tégulas y 2 de arcilla	Diversos fragmentos de un mínimo de 4 tégulas incompletas	No	0,5 / 0,18 / 0,34 m
¿2010-1?	Completamente vacía	“Este/Oeste” ²⁹⁴	¿?	¿?	¿?	0,5 / 0,18 / 0,45 m.
2010-2	Muy expoliada	Este/Oeste	¿? Diversas capas de <i>signinum</i> , tierra?, morteros, piedras y losas	5, se han podido documentar 3 de calcárea	Sí	2,15 / 0,48 / 0,75 m
2010-5	Completamente vacía	Este/Oeste	¿3? Capas: losas, mortero y <i>signinum</i>	¿?	Sí	2,05 / 0,5 / 0,5 m
2010-6	Completamente vacía	Este/Oeste	¿? Solo conservaba la cubierta de losas y una capa de mortero	¿? Se documentaron 3 de calcárea	Sí	1,8 / 0,37 / 0,7 m
2010-7	Intacta	Este/Oeste	4 capas: losas, tierra con piedras, mortero y <i>signinum</i>	8 de calcárea	Si	2,25 / 0,6 / 1 m.
2010-8	Poco alterada	Este/Oeste	¿?	¿?	Si	1,85 / 0,5 / ¿? m.
2011-1	Parcialmente expoliada?	Sur/Norte	4 capas: losas, arcilla, mortero y <i>signinum</i>	¿? Se documentaron 3 de calcárea	Si	1,8 / 0,4 / 0,75 m.

TABLE 9.2: SEPULTURAS DEL SECTOR BAPTISTERIO 2005-2016 CONT.

En muchos casos, no ha llegado hasta nuestros días la cubierta superior, es decir, la que también funcionaba como pavimento. De entre las conservadas de *opus signinum*, destaca la que presentaba una cruz en relieve con una cavidad circular justo en el centro (Enterramiento 2010-2; Figuras 1.3 y 2.80).²⁹⁵ También se tiene constancia de un pavimento sepulcral hecho con fragmentos de tégula (Enterramiento 2009-4; Figuras 1.9, 1.11, 1.13 y 1.27).

La mayor parte de las sepulturas de Son Peretó presentan una orientación este/oeste, y todos los individuos en posición primaria encontrados en estas tienen la cabeza al oeste y los pies al este. Esta tendencia ya se había apuntado de manera general cuando tan solo se habían excavado unas pocas tumbas (Navarro 1988), y se ha ido confirmando ampliamente en los Sectores Oeste y Sur (Alcaide 2011: 411; Riera Rullan 2009; Riera Rullan, Cau y Salas 2012a, 2013). En el Sector Baptisterio, entre los 25 sepulcros localizados, tan solo presentan una orientación norte/sur un máximo de siete, pero es, con mucha diferencia, el sector del yacimiento en el que se han encontrado más tumbas orientadas de esta manera.²⁹⁶

²⁹² Se ha tomado como referencia la orientación de la basílica, como si estuviese perfectamente orientada al este.

²⁹³ Medidas máximas en su lecho.

²⁹⁴ Pero no perfectamente paralela al eje longitudinal de la basílica.

²⁹⁵ Esta había sido considerada como de “túmulo de signino” (Navarro 1988: 29-30), pero dicha atribución ya fue considerada incorrecta años atrás (Riera Rullan 2009: 106). Tal y como se ha explicado en el capítulo 2, la reexcavación realizada en 2010 corroboró dicha revisión. Más recientemente, también se afirmó que la sepultura del Enterramiento 2005-1, localizada en el ángulo noreste del edificio bautismal, estaba señalizada por un túmulo (Alcaide 2011: 411), pero tampoco debe darse por buena esta interpretación, ya que se ha podido comprobar que la superficie de aquella debió de estar prácticamente al mismo nivel que el del pavimento de sus alrededores. De hecho, tan solo estaba entre 7 y 10 cm por encima de la superficie de la roca natural de sus inmediaciones.

²⁹⁶ Todos los enterramientos localizados en el interior de la basílica durante las intervenciones del siglo pasado presentan una orientación este/oeste (Aguiló 1920: fig. 615; Palol 1994: fig. 11) y, hasta ahora, en los Sector Oeste y Sur, tan solo se ha documentado un único sepulcro en cada caso orientado de sur a norte (Riera Rullan, Cau y Salas 2012b, 2013).

Analizando la datación de las sepulturas de la zona del edificio bautismal no se puede aducir que la variación en las orientaciones tenga que ver con una cuestión cronológica. Por lo que respecta al conjunto de sepulturas de Son Peretó que presentan una orientación norte/sur, se ha venido defendiendo que estas no se hicieron siguiendo la norma canónica cristiana de la época debido al aprovechamiento de espacios existentes, o de reducidas dimensiones, donde no era posible una orientación este/oeste por la presencia de estructuras u otras tumbas (Navarro 1988: 27, 32-33; Riera Rullan 2009: 106).²⁹⁷ Dicho argumentario es perfectamente válido para la zona del baptisterio, tanto para las dos sepulturas del Ámbito Lateral Oeste,²⁹⁸ como para la del Enterramiento 2011-1. En cambio, se desconoce la lógica de la orientación de los Enterramientos 2008-6, 2009-6 y 2009-9. Dado que estos tres últimos enterramientos pertenecen a la Fase 1, cabe la posibilidad de que su orientación pudiera estar relacionada con una tradición precristiana en la que no se procuraba una orientación este/oeste.

La gran mayoría de las fosas del Sector Baptisterio con orientación este/oeste son perfectamente paralelas al eje longitudinal de la basílica, que es el mismo que el del edificio bautismal de la Fase 2. La única clara excepción detectada corresponde a la del Enterramiento 2007-2, que estaría desviada para disponer de un poco más de espacio, evitando la afectación de la fosa del Enterramiento 2007-3 y de la fachada de los pies del templo. De entre las que presentan una orientación norte/sur, la de los Enterramientos 2009-6 y 2009-9, como hemos visto, es la única que no es bien paralela a la fachada del edificio basilical, siendo una excepción que se puede asociar a su mayor antigüedad.

Todos los individuos analizados depositados en posición primaria en las sepulturas que presentan una orientación este/oeste, tenían la cabeza a poniente y los pies a oriente. En cambio, los de los sepulcros con una orientación norte/sur, a veces presentaban la cabeza a mediodía (uno o, muy probablemente dos casos)²⁹⁹ y otras a septentrión (cuatro casos).³⁰⁰ Se puede señalar que, de estos cuatro últimos casos, tres son de la Fase 1, pero que el cuarto sería de la Fase 3 (Enterramiento 2011-1), mientras que no ha sido posible determinar si los dos que habrían sido depositados con la cabeza al sur son de las Fases 2 o 3. En cualquier caso, se puede afirmar que la tendencia detectada en las sepulturas más antiguas era la de colocar a los difuntos con una orientación norte/sur y con la cabeza a septentrión.

Los esqueletos suelen aparecer en decúbito supino con las piernas estiradas y paralelas, y los brazos estirados a ambos lados del cuerpo o, a veces, ligeramente flexionados sobre la pelvis. Los únicos restos humanos que no se han encontrado de esta manera son los afectados por reutilizaciones de la fosa o por los efectos del expolio. De la veintena de sepulturas excavadas en el Sector Baptisterio, tan solo se ha podido detectar su reutilización en tres casos, máximo cuatro, aunque conviene advertir que se encontraron ocho tumbas completamente vacías y cuatro más, prácticamente sin huesos. Pese a todo, a partir de las tumbas localizadas intactas o prácticamente intactas entre los años 2005 y 2016, se puede afirmar que en el Sector Baptisterio se sigue detectando la tónica descrita para los Sectores Oeste y Sur, en la que lo habitual es encontrar un solo inhumado en cada sepulcro. En el capítulo 1 se ha visto cómo en 1967, en el interior de la fosa del Enterramiento 2007-4, se encontraron dos individuos, con los restos de uno de ellos desplazados a los pies de la tumba. En el capítulo 2, se ha visto como los Enterramientos 2009-6 y 2009-9 “compartieron” fosa, pero sin realizarse una reducción del individuo más antiguo. Finalmente, cabe recordar que en la sepultura que estaba cubierta por el pavimento de *opus signinum* que presentaba una cruz, se detectaron huesos de un mínimo de tres individuos (Enterramientos 2010-2A, B y C). Desgraciadamente, la gran mayoría de los huesos aparecieron fuera de su posición original y, por tanto, es imposible saber cómo aparecieron colocados cuando J. Aguiló abrió la tumba y encontró un

²⁹⁷ Para el Sector Oeste en concreto: Alapont *et al.* 2012; Cau, Riera Rullan y Salas 2012b; Riera Rullan, Cau y Salas 2012a, 2013. Para el Sector Sur: Riera Rullan, Cau y Salas en prensa.

²⁹⁸ Enterramientos 2005-2 y 2008-4.

²⁹⁹ Enterramientos 2008-4 y, muy probablemente, 2005-2.

³⁰⁰ Enterramientos 2008-6, 2009-6, 2009-9 y 2011-1.

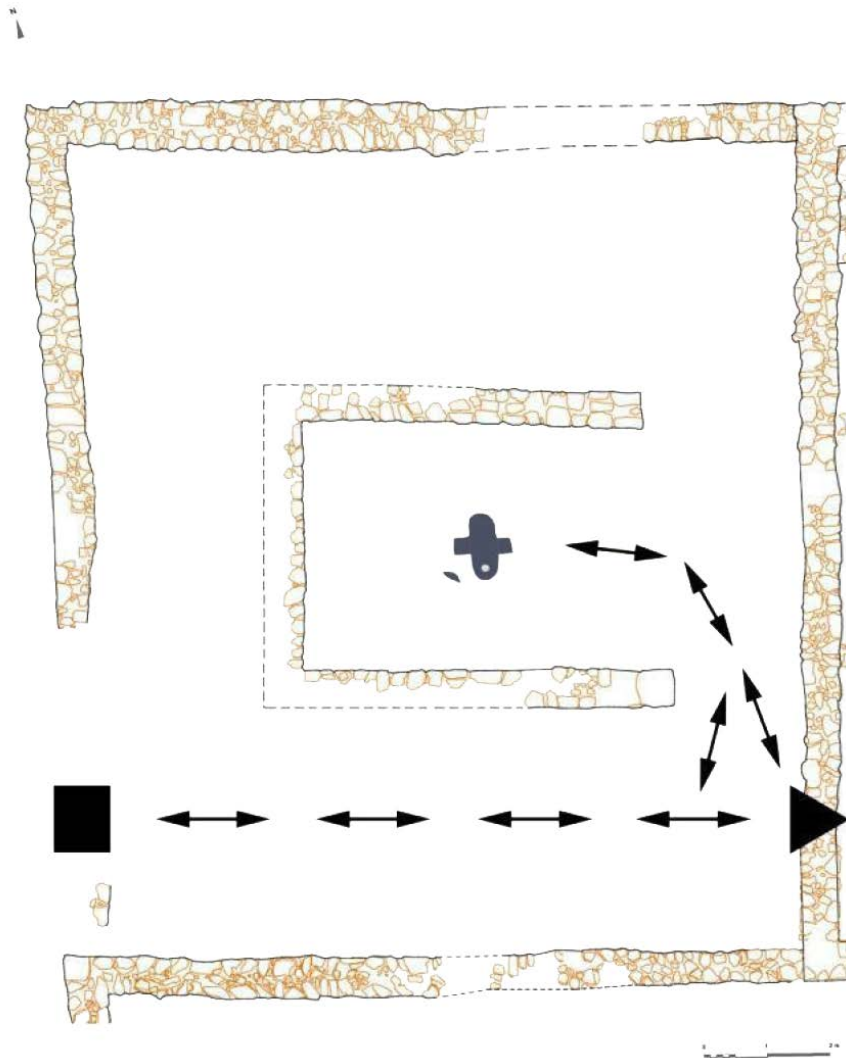


Figura 9.13. Planta del baptisterio de Son Peretó donde el cuadrado marca el emplazamiento donde habría estado situada la puerta de entrada al edificio bautismal; el triángulo señala el lugar donde habría estado la puerta que conectaba el baptisterio con la basílica; las flechas indican los recorridos que debieron ser más habituales (S. Alcaide, J. M^a. Puche y M. Riera)

esqueleto casi completo “correspondiente a un hombre” al que le faltaban el “cráneo y algunos huesos del pie” (Aguiló 1920: 7).

A partir de la observación de las distintas capas que sellaban los Enterramientos 2008-4, 2008-8 y 2010-7, parece que se habría documentado una reparación de sus cubiertas o, más probablemente, una reapertura de sus tumbas ya en época preislámica. Dado que en el interior de las tres tan solo se localizó un único inhumado en cada una y, en bastante mal estado de conservación, no se ha podido establecer si dicha supuesta reapertura fue para vaciar el sepulcro para luego depositar un nuevo inhumado; si fue para depositar un individuo infantil u otros elementos, los restos de los cuales no llegaron a nuestros días; o, si fue para extraer los objetos que hubiese podido haber en su interior.

Tal y como se ha apuntado más arriba, la reutilización de sepulturas no es un hecho muy frecuente en Son Peretó. De las diez excavadas en el Sector Oeste tan solo una fue claramente reutilizada. Se trataba de una tumba en la que se había enterrado a una mujer adulta y que un tiempo después se abrió para

depositar en su interior un individuo infantil, una vez se habían colocado las piernas de la primera sobre su abdomen (Alapont *et al.* 2012; Riera Rullan, Cau y Salas 2012b, 2013). En el Sector Sur la proporción es de 16 sepulturas individuales por tres colectivas. Estas últimas se localizaron todas en el interior del Ámbito B. En las tres se habían realizado reducciones de los restos óseos de los esqueletos más antiguos, quedando estos concentrados en las cabeceras de las fosas. Cabe destacar, en cualquier caso, que en este último sector también se ha podido detectar el saqueo de algunas tumbas no mucho tiempo después de su ejecución, cuando el cementerio estaba todavía en uso (Riera Rullan, Cau y Salas en prensa).

Si se observa el emplazamiento de las tumbas localizadas en el Sector Baptisterio y, especialmente el de las Fases 2 y 3, se puede apreciar una mayor concentración de estas en la mitad sudoriental. Así, los ámbitos de mayor densidad de sepulcros son el Lateral Sur, el Central y el Lateral Este. Parece pues que hubo una predilección por los espacios de recorrido que debieron ser más frecuentados, esto son, el que iba desde el portal exterior del baptisterio hasta la entrada meridional a los pies de la basílica, y los que desde ambas puertas se dirigían al Ámbito Central donde estaba la piscina (Figura 9.13).

Si bien es cierto que no se han podido establecer con seguridad las localizaciones exactas de las puertas de la basílica (Alcaide 2011: 108 y 272; Godoy 1995: 155–161; Riera Rullan, Cau y Salas, 2012b),³⁰¹ los argumentos expuestos anteriormente podrían reforzar la propuesta planteada en la Figura 9.13 para la abertura meridional del muro de poniente de la iglesia.³⁰² La singularidad de la sepultura del Enterramiento 2011-1, tanto por la edad del inhumado, su sobrepeso, y por la presencia en su interior de nueve monedas, ya fueron consideradas una demostración de la veneración particular que recibió, ya fuese por su localización respecto al edificio de culto, por la condición o estatus del difunto, o por ambas cosas a la vez (Alapont 2012: 25–26; Alapont, Sastre y Real 2013: 218–219). A todo ello también se puede añadir que es la única tumba del Sector Baptisterio en la que se han descubierto abundantes restos faunísticos que, tal y como se expondrá más adelante, parece que se puedan relacionar con la práctica de ágapes funerarios. En cambio, en la parte excavada en el baptisterio, no se ha identificado ninguna evidencia que demuestre que existió otro portal en la mitad septentrional de dicho muro. Esto no quiere decir que no existiese, de hecho, son diversos los investigadores que defienden su presencia (Aguiló 1920; Alcaide 2011: 108, 120, 272 y 272). En cualquier caso, por ahora no se ha encontrado ningún indicio que sea inapelable, sino más bien todo lo contrario. De hecho, en la planta publicada en el año 1999, en uno de los últimos trabajos de P. de Palol (Figura 1.43), no se contempló la existencia de dicha puerta.³⁰³

Cabe señalar que los análisis arqueopolínicos realizados a partir de sedimentos recogidos en contacto con los esqueletos de los Enterramientos 2010-7 y 2010-8,³⁰⁴ parecen demostrar que se habrían practicado ofrendas florales en ambas tumbas (Servera y Currás 2015).

No se han hallado objetos de adorno personal en el interior de las sepulturas del Sector Baptisterio.³⁰⁵ Estos son muy poco comunes en otros sectores del yacimiento, pero están presentes tanto en la basílica como en el Sector Oeste. La presencia de recipientes acompañando a los difuntos resulta excepcional, pero cabe recordar que en la tumba que presentaba una estela funeraria dedicada a *Bassus*, se encontró

³⁰¹ Incluso se ha llegado a afirmar que “Resulta imposible saber si existieron accesos al espacio del culto eucarístico desde el baptisterio” debido al enorme estado de degradación del muro que separaba ambas edificaciones (Godoy 1995: 161).

³⁰² Ya se ha visto en el capítulo 1 como P. de Palol desestimaba la localización propuesta por J. Aguiló (Figuras 1.1 y 1.6), pero la seguía considerando como posible más al norte. En cambio, en 1999, se publicó una planta en la que se presentaba otra vez la abertura en el extremo meridional (Figura 1.43).

³⁰³ Ver también la contribución de J. M^a. Pucho e Iván Fernández en este mismo volumen.

³⁰⁴ Son los dos únicos del Sector Baptisterio en los que se han efectuado estos análisis.

³⁰⁵ La única posible excepción se habría documentado en el sepulcro del Enterramiento 2008-5, en el interior del cual se encontró una cuenta de vidrio, pero ya se ha visto que las circunstancias de su hallazgo no permiten descartar que se trate de una intrusión.

una “ampulla” de vidrio (Aguiló 1920: 10; Alcaide 2011: 412; Navarro 1988: 28; Riera Rullan 2009; Riera Rullan, Cau y Salas 2012b, 2013). En el baptisterio tan solo se ha documentado uno de estos recipientes para contener líquidos que, como hemos visto, corresponde a un pequeño jarrito cerámico (Figuras 2.14, 2.15 y 3.19).³⁰⁶ Se había planteado que el pequeño contenedor vítreo de la tumba de *Bassus* se había colocado en el interior del sepulcro “tal vez para poner de relevancia su jerarquía eclesiástica”, y se planteó la pregunta de si “¿Eran acaso los clérigos los únicos que en la muerte podían ir acompañados de objetos?” (Navarro 1988: 28). Puesto que se ha podido comprobar que el cuerpo inhumado del Enterramiento 2008-8 corresponde a una mujer, se puede dar por descartada dicha posibilidad. La deposición en las sepulturas de la Antigüedad tardía de pequeños recipientes, especialmente aptos para contener elementos líquidos, es una práctica documentada por todo el Mediterráneo, pero suelen ser casos contados en el conjunto de tumbas de toda la necrópolis.³⁰⁷ Estos ajuares funerarios se suelen relacionar con los alimentos de *refrigeria* o con perfumes para proveer de buenos olores al sepulcro. También se ha planteado que pudieran contener el vino para la celebración de la misa, o aguas o aceites bendecidos relacionados con el bautismo, o con otros rituales como, por ejemplo, la unción del cuerpo del difunto. Asimismo, también se han asociado con el poder curativo y salvador de su contenido, relacionado con la esperanza de la resurrección (Riera Rullan y Cau 2010d; Vizcaíno 2009: 535–596; Vizcaíno y Madrid 2006).

La cruz de la cubierta de *opus signinum* del Enterramiento 2010-2 tenía en su centro un rebaje de forma circular que apareció relleno por una tierra negra muy fina y tapada con un disco (Aguiló 1920: 7; Pinya 1953: 14; Riera Rullan 2009: 106 y 136). Por forma y dimensiones, se asemeja mucho a uno de los agujeros detectados en la cubierta de una sepultura no excavada del Ámbito B del Sector Sur y a los de varias tumbas del siglo VI de diversos ámbitos del Sector Oeste, uno de ellos también tapado con un discoide. Todos ellos, al igual que otros semejantes localizados en cubiertas de tumbas de la basílica de Son Fadrinet (Campos – Mallorca), se han relacionado con el acto de “dar de comer o beber” a los difuntos (Alcaide 2011: 128, 411, 419; Cau, Riera Rullan y Salas 2012b: 233 y 235, 2013; Riera Rullan 2009: 107–108 y fig. 65, 80, 81, 83 y 84; Riera Rullan, Cau y Alapont 2012; Riera Rullan, Cau y Salas 2012a: 147). También podría haber tenido la misma función el agujero UE 249 localizado en la cubierta del sepulcro del Enterramiento 2008-6.³⁰⁸

En el interior del Baptisterio, se ha documentado una deposición prolongada en el tiempo de hasta nueve monedas de bronce en una misma tumba, la del Enterramiento 2011-1 (Alapont, Sastre y Real 2013; Riera Rullan, Cau y Salas 2012b). Estas se habían asociado a la práctica de un rito relacionado con las visitas conmemorativas al difunto, afirmando que la posición en la que se encontraron muestra que con ellas se cumplía un ritual funerario asociado a un hombre que, sin duda, tuvo que ser un personaje relevante para la comunidad de Son Peretó. Así lo indica el lugar en el que fue enterrado, inmediatamente a los pies de la basílica, tal vez, incluso, tal y como se ha expuesto más arriba, justo donde pudo encontrarse uno de los accesos al templo. También parece indicarlo el hecho de que se tratara de un individuo senil, de más de 60 años, y con lesiones relacionadas con la obesidad (Alapont 2012a; Alapont y Mas 2015: 390–392; Alapont, Sastre y Real 2013).³⁰⁹ Es precisamente en esa sepultura donde también se llegaron a documentar, otra vez en el interior de su fosa (UE 558), un centenar de restos faunísticos, los cuales, se

³⁰⁶ Ejemplar de producción norteafricana, como la mayoría de las jarritas o jarritos encontrados en los cementerios de la Antigüedad tardía del ámbito balear, hispano e italiano (Riera Rullan 2009; Riera Rullan y Cau 2010d; Vizcaíno y Madrid 2006; Vizcaíno 2009).

³⁰⁷ Para otros ejemplos de Mallorca: Navarro 1988: 28 y 36; Riera Rullan 2009.

³⁰⁸ Tal vez, incluso, también los agujeros que se pueden apreciar en las fotografías de 1967, por ejemplo, las de las Figuras 1.15 y 1.16.

³⁰⁹ Ni en el Sector Sur ni en el Sector Oeste se ha documentado ningún individuo de una edad tan avanzada, y son muy pocos los que podrían haber superado los 45 años (tres en el Sector Sur, uno en el Sector Oeste, y uno en el Sector Baptisterio).

han podido asociar a la celebración de ágapes funerarios (Anexo I). Cerca del baptisterio, en el interior de la fosa de un sepulcro del Ámbito B del Sector Sur, aparecieron tres monedas de bronce (Riera Rullan, Cau y Salas en prensa) y también más de un centenar de restos faunísticos. Se repetiría pues un modelo en el que se documenta una combinación de monedas con abundantes restos de fauna en el interior de una sepultura. Cabe indicar que es una práctica muy poco común en Son Peretó. Son los únicos dos casos, de entre las más de cincuenta sepulturas excavadas entre 2005 y 2016, donde se ha detectado dicha combinación.³¹⁰

Tal y como se ha planteado en el capítulo 3, la enorme proporción de cerámica común (32,14 %) y, sobre todo, de cerámica de vajilla fina (36,9 %), entre el total de NMI recuperados en el Sector Baptisterio, parece que se pueda relacionar, como mínimo en parte, con la celebración de ágapes funerarios.

Se debe recordar también que, en el Ámbito Lateral Sur, el que presenta el mayor número de sepulturas de todo el baptisterio, se localizaron diversos elementos que muestran que hubo uno o varios bancos adosados a su muro meridional (UUEE 408 y 490). Parece probable que su función tenga que ver otra vez con los *refrigeria*, tal y como se ha documentado en tantos otros yacimientos tanto dentro como fuera de las Baleares, aunque tampoco se puede descartar que tuviesen un uso polivalente. Como muy bien indicó R. Navarro (1988: 30), “las banquetas constituyen un tipo de monumento funerario en relación íntima con el culto a los difuntos, que desempeñó la función de asiento en los banquetes funerarios”. También recordó diversos ejemplos del continente europeo, así como los de Fornells en Menorca. Más recientemente, en Son Fadrinet, se han documentado estructuras prácticamente idénticas a la de este Ámbito Lateral Sur del baptisterio de Son Peretó. Se han localizado tanto en el interior de la basílica como en las edificaciones anexas y, a veces, también encima o al lado de sepulturas. Aunque algunos investigadores las relacionan con obras de refuerzo de las estructuras murarias de los edificios (Alcaide 2011: 83–84),³¹¹ parece más acertada la interpretación planteada por uno de los responsables de la excavación, quien considera que sirvieron de banco (Ulbert 2002). Donde no existe ninguna duda de la presencia de un banco adosado a tres de sus paredes, es en la nave meridional del baptisterio del Tolmo de Minateda (Abad, Gutiérrez y Gamo 2000: 204).³¹² Además, cabe señalar que, de igual manera que el de la UE 408 de Son Peretó, el banco del Tolmo presenta una anchura máxima en su extremo occidental y se va estrechando a medida discurre hacia el este.

Los banquetes funerarios, ofrecidos en memoria de los mártires y también en memoria de los difuntos, eran una costumbre ampliamente arraigada en la sociedad de la época (Navarro 1988: 28). En los siglos IV–V, la sepultura era un descanso, un *koimeterion*, “en el que el difunto y las personas congregadas en torno a su tumba, podían degustar un aperitivo del *refrigerium*, el ameno refresco del paraíso de Dios”. Era una “simbiosis alcanzada entre vivos y muertos, en función de la cual los primeros «daban de comer» a los segundos ofreciéndoles pequeñas degustaciones de vino y de comida” (Brown 1997: 35 y 145). Son numerosísimas las evidencias arqueológicas que demuestran la realización de ágapes

³¹⁰ Tal vez se habría podido dar un tercer ejemplo en el mismo Ámbito B del Sector Sur, en una sepultura en la que se identificaron, otra vez, más de un centenar de huesos de animal (UUEE 339 y 368). En cambio, no se encontró ninguna pieza monetaria, pero se debe advertir que la tumba había padecido actos de expolio durante el siglo XX que, tal vez, fueron acompañados de la extracción de alguna moneda.

³¹¹ Contrariamente a lo afirmado por S. Alcaide (2011: 83–84), estas estructuras, así como las del Ámbito Lateral Sur del baptisterio de Son Peretó, nada tienen que ver con los muros laterales de la cabecera de la basílica. En cambio, dicha autora sí que daría validez a la existencia de bancos o banquetas de carácter funerario en Cap des Port de Fornells (Alcaide 2011: 419).

³¹² Para este yacimiento se ha interpretado que, entre el final del siglo VI y un momento indeterminado del siglo VIII, durante la celebración del bautismo, se pasaría desde la basílica al baptisterio por dicha cámara, provista tanto del banco como de varias mesas. Allí “los *competentes* se despojarían de sus vestimentas y se desarrollarían los ritos prebautismales”, para luego dirigirse a la piscina bautismal situada en la nave central (Abad, Gutiérrez y Gamo 2000: 217–218).

funerarios en los cementerios cristianos de África, Italia, Malta y España, incluidas las Baleares (Duval 1982, 1990; Vizcaíno 2009).³¹³

Se ha afirmado que, para las Baleares y la península ibérica, los datos arqueológicos aconsejan situar el último momento en vigor de los banquetes funerarios, no más allá de mediados del siglo VI (Vizcaíno 2009: 107 y 595). Sin embargo, en el caso de Son Peretó hay indicios más que suficientes para sostener que se seguirían realizando *refrigeria* en las inmediaciones de los sepulcros durante la segunda mitad del siglo VI e incluso durante el siglo VII. Por un lado, se deben tener presentes los agujeros antes citados, detectados en las cubiertas de diversas sepulturas del siglo VI de los Sectores Oeste y Sur, aunque bien es cierto que no es seguro que puedan ser posteriores al 550 d. C. Por otra parte, cabe recordar que los resultados de una prueba de ¹⁴C sobre un hueso del esqueleto del Enterramiento 2011-1, permiten situar el momento del sepelio entre los años 660 y 870 d. C. y, por tanto, la celebración de los ágapes funerarios asociados al mismo, más allá del c. 660 d. C. También parece que se puedan relacionar con estos tipos de *refrigeria* una pieza de vidrio y diversas cerámicas encontradas completas o prácticamente completas, en el interior de una especie de silo situado en el Sector Sur, en cuyo interior también aparecieron cenizas, carbones y abundantes restos de fauna, mezclados con fragmentos cerámicos propios del siglo VII (Riera Rullan, Cau y Alapont 2012: 35). En cualquier caso, unas dataciones tan modernas tampoco son tan sorprendentes, ya que se siguen documentando en otras partes de Europa hasta entrados en la séptima centuria, momento en el que se dejarían de practicar (Brown 2006: 323–326).³¹⁴

Uno de los grandes interrogantes de Son Peretó es el que tiene que ver con su final. P. de Palol (1989, 1994) afirmaba que en el lugar se seguirían realizando actividades e inhumando con posterioridad al siglo VII, pero no las pudo fijar con una mayor exactitud cronológica. ¿Hasta cuándo se mantuvo en pie la basílica y el último baptisterio? ¿Hasta cuándo se siguieron celebrando misas y bautismos? ¿Hasta cuándo se siguió enterrando? ¿Hasta cuándo hubo cristianos viviendo en las inmediaciones? Hoy en día no se puede dar una respuesta absolutamente concluyente y precisa a ninguna de estas preguntas, ni tampoco se puede afirmar que todas las actividades humanas acabaran en un mismo momento, pero sí que podemos aportar algunas novedades con respecto a lo ya expuesto por P. de Palol en su día.

A pesar de que los niveles más modernos de las zonas descubiertas de Son Peretó hasta el año 2016 fueron excavados, salvo pequeñas excepciones, con anterioridad a 1985, las investigaciones realizadas durante el siglo XXI han permitido nuevos avances en el conocimiento de las últimas actividades humanas del lugar. Así, se pudo constatar que, en los niveles de destrucción de las viviendas y talleres del Sector Oeste, aparecieron unas cerámicas que permitían proponer su final a finales del siglo VII o ya entrados en el siglo VIII (Riera Rullan 2009; Riera Rullan y Cau 2012i; Riera Rullan, Cau y Salas 2013; Riera Rullan y Martínez 2009). En el Sector Sur, de carácter eminentemente funerario, se han documentado un depósito y diversas sepulturas que se habrían realizado entre los siglos VII y VIII, es decir, que el final de la actividad en esta zona del yacimiento podría haber coincidido con la del Sector Oeste (Riera Rullan, Cau y Salas en prensa).

Si centramos la atención en los hallazgos de la zona del baptisterio, se puede observar que no se ha identificado ninguna moneda acuñada más allá del siglo V d. C. (Anexo III). Tampoco se ha encontrado ninguna pieza de vidrio fabricada con posterioridad al 700 d. C., pero sí algunas que podrían ser del

³¹³ Por lo que respecta a la Baleares: Alcaide 2011; Navarro 1988; Latorre y Gurt 1982, 405; Riera Rullan 2009; Villaverde 2004; Vizcaíno 2009: 276. También se estarían documentando casos en la Galia (Codou 2012: 78–80 y 84, 2013: 66–67 y 70).

³¹⁴ Se conocen objeciones y desaprobaciones desde tiempos de San Cipriano, San Ambrosio y San Agustín (Navarro 1988: 28; Vizcaíno 2009: 584). En cualquier caso, prohibiciones conciliares como las de Tours del año 567 o Braga II del 572 (Codou 2013: 70; Ripoll 1989: 417; Vizcaíno 2009: 593) son una buena muestra de su práctica en la segunda mitad del siglo VI.

siglo VII (capítulo 4). Por lo que respecta a la cerámica, pueden ser perfectamente del siglo VII los ejemplares de TSAD Hayes 99D=80B/99, 104C, 106 y 107, así como algunas piezas de Cocina Tardía y Cerámica Común. De hecho, entre estas dos últimas clases cerámicas, se hallaron unos pocos fragmentos cuya datación oscila entre los siglos VII y VIII (capítulo 3).

Tal y como se publicó hace unos años, la datación aportada por una prueba de ^{14}C realizada en un hueso del Enterramiento 2009-4 del Sector Baptisterio, permite afirmar que se continuaba inhumando, como mínimo, hasta el año 720 d. C. (Riera Rullan y Cau 2012i, 2012k). Los resultados de unas pruebas más recientes, realizadas a partir de huesos de los Enterramientos 2008-8 y 2011-1, indican que sus defunciones se habrían producido no antes de los años 770 y 660 respectivamente. Por todo ello, queda probado que las inhumaciones de Son Peretó no estarían circunscritas a los siglos V y VI, tal y como se había afirmado años atrás (Navarro 1988: 35 y 37) sino que, de la misma manera que ya se ha indicado en otras ocasiones, se continuarían practicando durante el siglo VII y más allá de este (por ejemplo: Palol 1989 y 1994; Riera Rullan 2009) hasta, como mínimo, el siglo VIII (Riera Rullan y Cau 2012i, 2012k).

A partir de los resultados de las pruebas de ^{14}C realizadas hasta el momento en los Sectores Oeste, Sur y Baptisterio de Son Peretó, se puede afirmar que no se ha detectado ninguna inhumación que pueda sobrepasar el año 970 d. C. Este *taq* lo han proporcionado los resultados de las pruebas de ^{14}C efectuadas sobre uno de los huesos del Enterramiento 2008-8. Los análisis efectuados a partir de los restos de los Enterramientos 2009-4 y 2011-1 han proporcionado, respectivamente, unos *taq* de 900 y 870 d. C., pero no se debe olvidar que los *tpq* de los resultados de estos tres individuos se remontan a c. 770, 720 y 660. Por tanto, por ahora, no existe ninguna evidencia irrefutable que confirme que se habría seguido enterrando en las inmediaciones de la basílica de Son Peretó durante el siglo IX y, todavía menos, a partir de dicha centuria.

Los tres enterramientos antes citados (2008-8, 2009-4 y 2011-1), fueron sepultados en el interior del recinto bautismal edificado durante la Fase 2 y todavía en pie durante la Fase 3. Si bien es cierto que la continuidad en el uso funerario del lugar no significa que necesariamente se siguiese practicando el rito bautismal, se pueden señalar algunas evidencias que podrían indicar que la piscina bautismal pequeña siguió en uso hasta, como mínimo, el siglo VIII. En primer lugar, que las cotas de la superficie de las cubiertas, perfectamente planas, de los Enterramientos 2009-4 y 2011-1, eran las mismas que la de los pavimentos y niveles de circulación de los Ámbitos Central y Lateral Sur. En segundo lugar, que la parte más alta conservada de la piscina estaba por encima de dichos pavimentos y niveles de circulación. Finalmente, se puede añadir que no se conoce la existencia de ningún material que se pueda relacionar con una amortización intencionada de la piscina, si bien es cierto que esta se vació durante las excavaciones de principios del siglo XX.

En Son Peretó no se ha localizado ninguna moneda acuñada más allá del año 625 d. C.³¹⁵ Tampoco se han podido identificar piezas de vidrio u objetos metálicos que se hubiesen fabricado después del siglo VII (Riera Rullan, Cau, Salas 2012b; Riera Rullan, Cau y Salas 2013).³¹⁶ En cambio, sí que se constata la presencia de cerámicas que bien podrían ser del siglo VIII (Riera Rullan, Cau y Salas 2012b; Riera Rullan, Cau y Salas 2013). Por ahora, el análisis de la cerámica de los Sectores Oeste, Sur y Baptisterio no permite identificar ninguna pieza fabricada inequívocamente durante el siglo IX, pero la verdad es que, en ciertos casos, no se ha podido fijar su datación con toda la precisión que se desearía. En los tres sectores

³¹⁵ La moneda más moderna corresponde a una pieza inédita, descubierta durante la campaña del 2016, en los niveles superficiales localizados a unos 15 m al noroeste del Sector Baptisterio. Se trata de un ejemplar anepígrafo, de valor de 4 *nummi*, con una cruz en una cara y la letra delta en la otra, acuñado en Cartagena entre los años 550 y 625 (clasificación realizada por Teresa Marot).

³¹⁶ De dicha centuria destaca una placa de bronce, perteneciente a un broche de cinturón articulado, tipo E19 de Schulze-Dörrlamm de 2009 (Ripoll 2012a; Ripoll y Velázquez 2013).

se han encontrado algunos escasos fragmentos cerámicos del periodo islámico de Mallorca (902–1229 d. C.), un material que, por otro lado, es mucho más fácil de reconocer que el de los siglos VIII y IX. No obstante, estas piezas de los siglos X a XIII aparecen en contadísimas ocasiones y nunca asociadas a estructuras. Además, siempre corresponden a pequeños fragmentos y, a menudo, muy rodados. Estas evidencias sugieren el abandono del lugar entre los siglos VIII y IX, en los que los habitantes de las Baleares padecieron diversas razias protagonizadas por los musulmanes, la expedición emiral efectuada entre el 848 y el 849 d. C y, pocos años después, una incursión normanda (Amengual 1991; Barceló 2001). Las fuentes textuales y arqueológicas aportan poca información respecto a lo acontecido a los pobladores baleares durante aquellos dos siglos. Por tanto, sigue siendo prioritario seguir ahondando en el conocimiento de todo aquello que tenga relación con las últimas gentes cristianas de Son Peretó, para así poder iluminar los siglos VIII y IX, que siguen siendo los más desconocidos de la historia, no solo de Mallorca, sino también de la mayoría de los lugares del Mediterráneo occidental.

Anexo I

La fauna del baptisterio de Son Peretó

Damià Ramis³¹⁷

Introducción

Se han analizado los restos faunísticos procedentes del área del baptisterio del yacimiento de Son Peretó (Manacor, Mallorca). En concreto, los materiales analizados son aquellos procedentes de los contextos: UUEE 6, 238, 256, 267, 271, 298, 305, 313, 315, 324, 327, 328, 333, 336, 338, 340, 342, 472, 483, 507, 545, 548, 549, 550, 558, 560, 561, 579 y ENT.2010-8.

Método de estudio

El análisis del conjunto faunístico ha consistido inicialmente en la determinación anatómica y taxonómica de los restos. En este proceso de clasificación se ha utilizado el material de referencia de la colección Museu de la Naturalesa de les Illes Balears (MNIB) de la Societat d'Història Natural de les Balears (SHNB), además de los manuales osteológicos de Schmid (1972) y Barone (1976). En el caso de los caprinos domésticos, se han seguido los criterios de Boessneck *et al.* (1964), Boessneck (1980) y Prummel y Frisch (1986) para la discriminación entre oveja y cabra. Para los restos de ave se ha consultado la obra de Cohen y Serjeantson (1996).

El escaso volumen de la muestra estudiada y su alto grado de fragmentación han provocado que apenas pueda realizarse una aproximación a la edad de sacrificio de los animales a partir de unos pocos centros de fusión epifisaria de huesos de caprino. Para ello, se han seguido los intervalos de edad propuestos por Schmid (1972), Barone (1976) y Silver (1980).

No se ha podido realizar ninguna aproximación a la edad de los individuos a partir de datos dentarios. Tampoco se ha podido diagnosticar el sexo en ninguno de los restos analizados, ni se han podido tomar datos morfométricos de interés. La escasez de la muestra también ha hecho innecesario el uso de métodos complejos para realizar la cuantificación de los diferentes grupos taxonómicos.

Resultados

A nivel global, el conjunto estudiado está compuesto por 223 restos de vertebrados de los que solamente una pequeña parte han podido ser identificados anatómica y taxonómicamente con cierta precisión, debido al alto grado de fragmentación que presentan. Respecto a los invertebrados, la muestra incluye 588 gasterópodos y un fragmento de crustáceo marino (Tabla I.1).

³¹⁷ Investigador independiente.

EXCAVACIONES EN EL BAPTISTERIO DEL CONJUNTO ECLESIAÍSTICO DE SON PERETÓ

	GRUPO TAXONÓMICO	NÚMERO DE RESTOS
MAMÍFEROS	Caprino doméstico	21
	Cerdo	3
	Conejo	4
	Roedor	26
	Mamífero gran tamaño	8
	Mamífero mediano	93
	Mamífero indeterminado	49
AVES	Gallo	5
	Ave indeterminada	13
PEZ	Indeterminado	1
TOTAL VERTEBRADOS		223
MOLUSCOS	Gasterópodo terrestre	574
	Gasterópodo marino	13
CRUSTÁCEO	Crustáceo indeterminado	1
TOTAL INVERTEBRADOS		588

TABLA I.1. CUANTIFICACIÓN POR GRUPOS TAXONÓMICOS DEL CONJUNTO FAUNÍSTICO DEL BAPTISTERIO DE SON PERETÓ, EN NÚMERO DE RESTOS

Así, han podido identificarse 21 restos de caprino doméstico, de los que únicamente uno ha podido ser diagnosticado a nivel de especie, correspondiendo a cabra. Por otro lado, la presencia de especies ganaderas de mamíferos se complementa con tres restos de cerdo.

Respecto a las edades de los animales domésticos, únicamente se puede afirmar la presencia de un ejemplar de cerdo con una edad inferior a los dos años, debido a la presencia de una falange no fusionada. Mientras, el estado de fusión de las epífisis de los caprinos indica la presencia de un individuo menor de tres años y medio, y otro probablemente diferente mayor de tres años.

Los mamíferos silvestres están representados por cuatro restos de conejo y 26 de roedores. Por otro lado, hay 18 restos de aves, de los que cinco son de gallo o gallina. Finalmente, en referencia a los vertebrados, los peces están representados por un único resto.

En lo referente a los restos indeterminados, se han inventariado ocho fragmentos óseos de mamíferos de gran talla. Aunque no ha podido precisarse su adscripción taxonómica, es indicativo de la presencia de ejemplares de bovino y/o de equino.

Respecto a los restos malacológicos, el conjunto se compone de 574 caracoles terrestres, solamente 14 de ellos comestibles, y 13 moluscos marinos.

Los caracoles terrestres comestibles pertenecen a los taxones *Helix aspersa*, *Eobania vermiculata*, *Theba pisana* y *Otala* sp. Mientras, todos los restos de moluscos marinos son potencialmente comestibles y pertenecen a la especie *Trunculariopsis trunculus*.

La presencia de crustáceos se ve reducida a un único fragmento de pinza de cangrejo (UE 545).

	<i>Enterramiento 2011-1 (Baptisterio)</i>	<i>Enterramientos 2008- 10/ 2009-8</i>	<i>Enterramientos 2009-3/ 2009-12/ 2009-13</i>
Bovino	-	1	-
Caprino	4	11	9
Cerdo	-	2	3
Gallo	4	4	4
Conejo	2	5	4
Ave silvestre	-	1	4
Pez	1	-	1
Costilla mamífero mediano	12	44	20
Roedor	14	18	12
Caracol terrestre comestible	7	2	2
Restos óseos indeterminados	60	119	46

TABLA I.2. COMPARACIÓN DE LOS RESTOS FAUNÍSTICOS RECUPERADOS EN EL INTERIOR DE TRES FOSAS DE ENTERRAMIENTO EN SON PERETÓ, INTERPRETADOS COMO EVIDENCIAS DE ÁGAPES FUNERARIOS

El principal contexto analizado es el procedente del posible refrigerio representado por la UE 558, localizada en el interior del Enterramiento 2011-1. Está compuesto por 97 restos de fauna vertebrada. De ellos, se han identificado cuatro restos de cabra u oveja, cuatro de gallo y dos de conejo. Entre los restos indeterminados de vertebrados terrestres cabe mencionar la presencia de 12 fragmentos de costillas de mamífero mediano (cabra u oveja probablemente). Además, hay 58 caracoles terrestres, siete de ellos comestibles, procedentes de dicho conjunto. No se encuentra ningún molusco marino, aunque el único resto de pescado procede de este contexto. Finalmente, la mayor parte de los huesos de roedores recuperados en el área del baptisterio proceden de la UE 558.

Esta acumulación de restos faunísticos relacionados con un enterramiento no supone un caso aislado en Son Peretó, sino que pueden mencionarse otros dos ejemplos inéditos en los que aparecen indicios de celebración de ágapes funerarios. Se trata de los conjuntos faunísticos procedentes del interior de la fosa de los Enterramientos 2008-10/2009-8 (contextos UE 339, UE 368 y ENT.2008-10), y del interior de la fosa de los Enterramientos 2009-3/2009-12/2009-13 (contexto UE 384). Ambas sepulturas se encuentran en el Sector Sur del yacimiento de Son Peretó. En la Tabla I.2, se ofrece la comparación entre estos tres conjuntos faunísticos procedentes del interior de las fosas de enterramiento.

Una parte significativa del conjunto faunístico procedente del área del baptisterio no parece que pueda interpretarse como una acumulación producto de la actividad humana. En cambio, la alta presencia, especialmente, de restos de roedores y gasterópodos terrestres no comestibles responde posiblemente a causas tafonómicas naturales. Los restos de especies comestibles forman el resto de la muestra faunística del baptisterio, reflejando probablemente actividades de consumo alimentario por parte de la comunidad de Son Peretó. A pesar de lo reducido de la muestra analizada, en ella se aparecen la mayor parte de las especies cuya explotación se había documentado previamente en el asentamiento (Ramis 2013). Tal vez, merece destacarse la ausencia de restos de bovino entre las

especies domésticas y de liebre entre las silvestres, que sí se encuentran bien representadas en el Sector Oeste del yacimiento.

La escasez de restos faunísticos en el área del baptisterio sugiere que este no era un espacio en el que se consumían alimentos de manera importante. El conjunto procedente de la UE 558 supone la excepción a la afirmación anterior y permite documentar arqueológicamente la realización de un refrigerio vinculado al Enterramiento 2011-1. Tal como se ha mencionado a lo largo del texto, en otros enterramientos del yacimiento también se han documentado evidencias de la realización de este ritual funerario.

Anexo II

La restauración del recinto bautismal de Son Peretó

Margalida Munar Grimalt³¹⁸, Bernat Burgaya Martínez³¹⁹

Introducción

El yacimiento de Son Peretó es muy conocido en el ámbito de la investigación arqueológica. Sin embargo, pocas veces se le da la importancia necesaria en el ámbito de la restauración y la conservación. En esta contribución, se presentan las tareas de conservación y restauración realizadas en el baptisterio, repasando las actuaciones anteriores y las más recientes ya en el marco del proyecto actual de investigación. Si bien las intervenciones anteriores en el edificio bautismal son importantes, lo cierto es que resulta difícil determinar en qué momento se realizaron dichas intervenciones, quién las ideó y quiénes las ejecutaron realmente. También es verdad que los procedimientos exactos que se utilizaron se nos escapan por falta de documentación y, por consiguiente, solo podemos analizar los resultados.

Antecedentes: las primeras intervenciones de conservación y restauración en el baptisterio de Son Peretó

J. Aguiló, que excavó el yacimiento a partir de 1912, fue también el responsable de la extracción de los mosaicos del interior de la basílica, mosaicos muy conocidos, como es el caso del llamado de “*Baleria*” (Figura II.1).

La extracción de los mosaicos parece que fue realizada con las mismas técnicas que se utilizan hoy en día (Figura II.2). Consiste en la colocación de una gasa o tela con algún tipo de adhesivo directamente encima de las teselas. Luego, con la ayuda de una herramienta larga y plana colocada por la parte inferior de las teselas se separa el mosaico de su soporte original o *nucleus*, realizado habitualmente con morteros de cal en combinación con diferentes tipos de áridos. En la actualidad, estos mosaicos se conservan en el Museu d’Història de Manacor.

En algún momento indeterminado, se aplicó en la parte posterior del mosaico una capa de hormigón (cemento tipo *portland*) armado con varillas de hierro de 4-5 mm. Esto se pudo comprobar durante la restauración de varios fragmentos de dichos mosaicos, con motivo de la exposición de conmemoración del centenario de las excavaciones de Son Peretó (1912-2012).

Otras zonas del yacimiento también fueron objeto de intervenciones de restauración, utilizando mayoritariamente cemento de tipo *portland*.

³¹⁸ Restauradora.

³¹⁹ Restaurador.

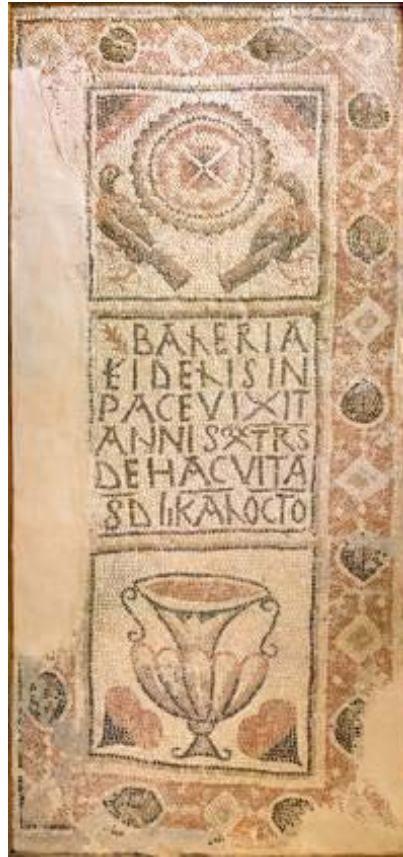


Figura II.1. Mosaico de “Balera” de Son Peretó
(M. Riera Sureda / Riera Rullan y Cau 2010c)

Durante las intervenciones de 1967, 1981 y 1982, las intervenciones de restauración consistieron principalmente en subir las cotas conservadas de los muros de la basílica y de una parte del recinto bautismal, y homogeneizar todo el conjunto.

En 2008, la piscina se encontraba en el mismo estado que presentaba en 1981. De hecho, su imagen era el resultado de una intervención más antigua, anterior a 1967 (Palol *et al.* 1968).

La conservación y restauración del baptisterio en fechas recientes

Los trabajos que se detallan a continuación se realizaron en diferentes campañas comprendidas entre los años 2005 y 2011. Se intervino en las piscinas bautismales, en los llamados “lavapiés”, en tumbas y muros.

Intervención de restauración de la piscina bautismal pequeña

El principal objetivo de la intervención de restauración para el 2008 fue levantar la piscina sin que el conjunto sufriera ningún desperfecto ni cambio estético, permitiendo así, posteriormente, la excavación del sedimento interior del recorte que alberga la piscina, para después volver a colocarla en su sitio original, posición y cota.



Figura II.2. J. Aguiló en el momento de la extracción de uno de los mosaicos de la basílica (Fondo documental del Museo de Manacor)



Figura II.3. Piscina bautismal pequeña, fotografía al inicio de la campaña 2008

La documentación, tanto escrita como fotográfica, de la que disponíamos planteaba ciertas dudas sobre las intervenciones realizadas sobre la piscina en los últimos 100 años. No se podía establecer con certeza la originalidad de todos los elementos que formaban el conjunto, por lo que se tuvo que recurrir a un detallado análisis visual que nos permitiera discriminar las partes originales de las partes restituidas o falsas. También sabíamos que sería imprescindible, a medida que avanzaban los trabajos, realizar esta identificación y documentar todo el proceso.

El análisis visual reveló que, en la parte interior de la piscina, se conservan parcialmente restos del *opus signinum* original y un desagüe en el lateral sur. Por la parte exterior, no apreciamos restos de la fábrica original. Todo estaba revestido con piedras calcáreas y argamasa de tipo cemento *portland*. También consideramos no originales los peldaños exteriores, realizados también con mortero de cemento *portland* y piedras calizas (Figura II.3).

Para proceder al levantamiento en bloque de la piscina pequeña, el primer paso fue tomar la precaución de recubrir la totalidad del interior con dos capas de gasa de algodón aplicadas con Paraloid B-72 en diversas disoluciones (30% y 50%) en acetona. De todas formas, todo el conjunto tenía un aspecto sólido y compacto, con lo que no parecía necesario tomar precauciones extras de fajado interno.

Fue necesario también crear una superestructura estable capaz de soportar el peso de todo el conjunto sin que hubiera la más mínima flexión del elemento soportante, que permitiera levantar la piscina con la mayor suavidad posible y detener el proceso en cualquier momento si fuera necesario. De este modo, se podía garantizar el traslado de manera segura a un sitio provisional para después colocarla de nuevo en el mismo lugar, posición y cota.

Un equipo formado por trabajadores del Ayuntamiento de Manacor (arquitecto y herrero) y arqueólogos y restauradores del proyecto de Son Peretó idearon una superestructura en hierro a partir de diferentes elementos y una sucesión de acciones:

- Colocar dos vigas o jácenas transversales justo por encima de los laterales norte y sur de la piscina, apoyadas directamente en los muros perimetrales del baptisterio.
- Colocar otras dos vigas cortas encima de dos bloques de construcción a modo de pilares encima de los mismos muros. Estas debían quedar unos 20 o 30 cm por encima de las vigas transversales.

- Soldar una estructura para fijar las vigas transversales que se acoplara a la parte inferior de los cuatro laterales de la piscina, y que, además, permitiera colocar un entramado de tensores entre estos hierros, para ser colocados justo por debajo de la piscina.

Para levantar el conjunto era necesario liberar el espacio comprendido entre la base de los laterales del conjunto bautismal hasta justo por debajo de la base de la cubeta propiamente dicha. Para ello se tuvo que combinar la excavación con el progresivo apuntalamiento de todo el conjunto. Necesitábamos realizar esta acción antes de que el herrero colocara la estructura inferior que ayudaría a sustentar la piscina bautismal.

A medida que avanzaba la excavación pudimos comprobar que la parte inferior de la piscina estaba en muy buen estado de conservación. Estaba realizada con mortero de cal y un árido bastante grueso. Se encontraban también piedras calizas de unos 15–20 cm y alguna piedra de mayor tamaño. Aunque el conjunto parecía estable se realizó una faja de gasa reforzada con unos puntos de resina epoxídica y mortero de cal en todo su perímetro para incrementar su resistencia.

Llegados a este punto, el herrero soldó toda la estructura metálica (Figura II.4). De todas maneras, había que solventar las irregularidades del conjunto. Con este objetivo, se colocaron maderas y cuñas que ayudaban a repartir el peso del bloque sobre toda la superficie de los hierros.

El cuadrado inferior de la estructura tenía unas argollas, previamente soldadas, donde se colocaron los tensores que se pasarían por debajo de la base de la cubeta (Figura II.5). Evidentemente, se trataba de tener todo bien sujeto y repartir al máximo su peso.

Para poder garantizar tanto la suavidad de los primeros momentos del levantamiento como la posible paralización del proceso en el momento más crítico, se colocaron 4 prensas o gatos entre los extremos de las vigas transversales y las vigas laterales. Estos gatos se colocaron unos 20 o 30 cm por encima de las primeras. Este espacio resultaba fundamental ya que era el recorrido mínimo para levantar la piscina y las vigas transversales con las prensas, de manera extremadamente suave y confirmar así la solidez de toda la estructura, cuyo peso total se situaba entre 1 y 1,5 toneladas.

Así pues, se fueron apretando las prensas de manera manual y todo el conjunto se levantó según lo previsto sin que se apreciara ningún movimiento ni tensión alguna (Figura II.6).

Levantado el conjunto estos 20–30 cm, se procedió a su desplazamiento con la ayuda de un camión con un brazo pluma y se colocó sobre unos pilares levantados para tal efecto en un lugar provisional (Figura II.7 y II.8). Allí permaneció durante el tiempo que duró la excavación.

Finalizada la excavación del recorte sobre el que se había colocado la piscina, se procedió al relleno de toda la negativa. Se utilizaron primero piedras grandes y después piedras más pequeñas hasta culminar el proceso con la colocación de gravas de unos 2 cm. Todo fue colocado a conciencia, ya que no podían quedar espacios libres que pudieran causar que se hundiera el suelo preparado, tanto en el momento de la colocación de la piscina como con posterioridad.

Hecho esto, se procedió al desplazamiento de la piscina nuevamente hasta su lugar original con la ayuda del camión pluma. Se colocó en su misma posición y cota, se rellenaron los huecos calzando bien todo el perímetro con piedras y algún ladrillo de cerámica y mortero de cal.

Posteriormente, se selló el perímetro del recorte, con una capa gruesa de mortero de cal, para evitar al máximo la filtración de agua a los cimientos. Finalmente, se procedió a realizar el acabado estético del conjunto con un mortero de cal ligeramente teñido para simular la tierra del lugar (Figura II.9).



Figura II.4. Piscina bautismal pequeña y la estructura en H de hierro



Figura II.5. Detalle de la colocación de los tensores



Figura II.6. Momento del levantamiento de la piscina con las prensas



Figura II.7. Levantamiento con grúa de la piscina bautismal



Figura II.8. Traslado de la piscina a un soporte preparado para sustentar el conjunto



Figura II.9. Piscina bautismal recolocada en su posición y cota originales

Intervención de restauración de la piscina bautismal grande

A simple vista también la piscina bautismal grande presentaba intervenciones anteriores. Se apreciaba el revestimiento de las partes perdidas originales de *opus signinum* con cemento de tipo *portland*, así como también el perfil superior (Figura II.10).

En este caso, la intervención realizada consistió en diferentes acciones. Por una parte, se rellenaron y se rehicieron pequeñas pérdidas de los diferentes revestimientos con un mortero de cal ligeramente teñido simulando el color del *opus signinum* original, y, por otra parte, se eliminó el recrecido de cemento *portland* del perímetro externo y se consolidaron los tramos de piedras del perímetro, solo en los puntos perdidos, para evitar la entrada de la grava de nivelación de los suelos. De esta manera, su presentación era más armónica con las partes originales.

Los sondeos arqueológicos se colmataron con piedras y grava. Solo el sondeo norte se selló con mortero de cal, ya que entre lo original y lo restituido con *portland* quedaba un espacio por el que se colaba humedad en la parte posterior del revestimiento.

Intervención de restauración de los “lavapiés”

Estos fueron consolidados con mortero de cal ligeramente teñido. Se rehizo el fondo del lavapiés 2 y parte del perfil, se biselaron los revestimientos interiores, y se rehizo el perfil del lavapiés 1, en su parte superior (que estaba roto por la tumba infantil adyacente), con piedras a imagen y semejanza del original conservado (Figura II.11).

Intervención de restauración y presentación de las tumbas

Dependiendo de la situación de las tumbas y de su estado de conservación se procedió a un tipo de intervención u otro.

Las tumbas situadas en zonas de paso actuales se rellenaron y taparon (Figura II.12). Se colocaron en su interior las losas de cierre, pegando aquellas fragmentadas con resina epoxídica. Después, se rellenaron con piedras de diversa granulometría para finalmente poner una capa de grava hasta la cota de suelo.

Solo cinco tumbas se restauraron para ser vistas: Enterramientos 2007-4, 2007-5, 2005-2, 2008-8 y 2005-1. En estos casos, se optó por no cubrir completamente las tumbas, dejando ver parcialmente el recorte original en la piedra natural y parte de la sepultura tapada con sus losas originales en su cota y lugar exacto, algunas previamente pegadas con resinas epoxídicas (Figura II.13). Para más seguridad, se realizaron pequeños pilares debajo las losas que ayudaban a evitar su colapso. En algunas ocasiones, se realizaron pequeñas consolidaciones puntuales en los perfiles superiores del recorte de la piedra para contener la grava de nivelación de los suelos y evitar su entrada en el interior de la tumba.

Presentación de los suelos

La grava es, por el momento, el material utilizado para la nivelación y presentación de los suelos o niveles de paso.



Figura II.10. Piscina bautismal grande antes de su restauración



Figura II.11. Conjunto de piscina bautismal y "lavapiés" restaurados



Figura II.12. Proceso de cubrición de las tumbas

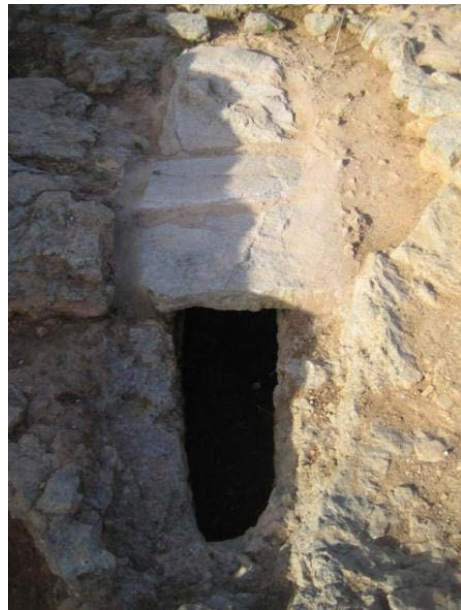


Figura II.13. Proceso de restauración de una de las tumbas vistas



Figura II.14. Conjunto bautismal ya restaurado

Intervención de restauración y presentación de los muros

Los muros consolidados en momentos anteriores a nuestras intervenciones se respetaron sin ser desmontados ni alterados.

En las campañas recientes, la intervención de restauración en los muros priorizó la consolidación estática de los mismos con morteros de cal ligeramente teñidos para simular el color de la tierra rojiza de la zona, una reposición de pérdidas mínima para no alterar la visualización de lo original, y la consolidación de los cimientos, ya que mayoritariamente estaban montados sobre unos 20 cm de tierra.

Se tuvo especial cuidado en los detalles que muestran los diferentes momentos constructivos, adosamientos, superposiciones y cortes, ayudando así a su correcta lectura e interpretación (Figura II.14).

Anexo III

Fichas de las monedas halladas en el Sector Baptisterio de Son Peretó

Teresa Marot Salsas³²⁰

(Fotografías: Mateu Riera Sureda)

Pieza: AE3 o nummus (bronce).

Descripción: AE3 o *nummus* de serie romano-imperial. Autoridad emisora: dinastía constantiniana. Taller: occidental. Anverso: [...] busto diademado y drapeado a la derecha. Reverso: [vic]TORIAE[ddavggqnn] con dos victorias enfrentadas que sostienen coronas. Pieza muy desgastada.

Cronología: 341–346 d. C.

Contexto: SP-11-558-5.

Número de inventario: 6265-11.

Peso: 1 gramo.

Diámetro: 15 milímetros.

Ejes: 02 h.

Bibliografía: AAVV: *The Roman Imperial Coinage*, Vol. VIII, Londres.



³²⁰ Especialista en numismática.

Pieza: AE3 (bronce).

Descripción: AE3 de la serie romano-imperial. Autoridad emisora: Constancio II. Taller: indeterminado. Anverso: [dn] CON [stantivs pf avg] con busto diademado y drapeado a la derecha. Reverso: [fel temp] RE [paratio] con soldado que clava una lanza a un jinete caído. Pieza muy desgastada.

Cronología: 348–355 d. C.

Contexto: SP-11-558-3.

Número de inventario: 6265-10.

Peso: 2 gramos.

Diámetro: 17 milímetros.

Ejes: 06 h.

Bibliografía: AAVV: *The Roman Imperial Coinage*, vol. VIII, Londres.



Pieza: AE3 (bronce).

Descripción: AE3 de la serie romano-imperial. Autoridad emisora: ¿Constancio Galo? Taller: indeterminado. Anverso: [...] busto drapeado a la derecha. Reverso: [fel temp reparatio] con soldado que clava una lanza a un jinete y caballo caído. Pieza con desgaste extremo.

Cronología: 351–360 d. C.

Contexto: SP-09-403.

Número de inventario: SP09/6172-19.

Peso: 1 gramo.

Diámetro: 14 milímetros.

Ejes: ¿?



Pieza: AE3 (bronce).

Descripción: AE3 de la serie romano-imperial. Autoridad emisora: Constancio II. Taller: indeterminado. Anverso: [...] busto diademado y drapeado a la derecha. Reverso: [fel temp reparatio] con soldado que clava una lanza a un jinete caído. Pieza muy desgastada y cantos recortados.

Cronología: 348–355 d. C.

Contexto: SP-11-558-6.

Número de inventario: 6265-15.

Peso: 1 gramo.

Diámetro: 16 milímetros.

Ejes: 06 h.

Bibliografía: AAVV: *The Roman Imperial Coinage*, vol. VIII, Londres.



Pieza: AE3 (bronce).

Descripción: AE3 de la serie romano-imperial. Autoridad emisora: Constancio II. Taller: indeterminado. Anverso:[...] busto diademado y drapeado a la derecha. Reverso: [fel temp reparatio] con soldado que clava una lanza a un jinete caído. Pieza muy desgastada.

Cronología: 348–355 d. C.

Contexto: SP-11-558-7.

Número de inventario: 6265-16.

Peso: 2 gramos.

Diámetro: 17 milímetros.

Ejes: ¿?

Bibliografía: AAVV: *The Roman Imperial Coinage*, vol. VIII, Londres.



Pieza: AE3 (bronce).

Descripción: AE3 de la serie romano-imperial. Autoridad emisora: Valente. Taller: Roma. Anverso: [dn valen] S PF AVG con busto diademado y drapeado a la derecha. Reverso: SECVRITAS [reipvblicae] con victoria de pie a la izquierda que sostiene corona y palma. Pieza muy desgastada y recortada.

Cronología: 361–378 d. C.

Contexto: SP-11-558-1.

Número de inventario: 6265-17.

Peso: 1 gramo.

Diámetro: 18 milímetros.

Ejes: 06 h.

Bibliografía: AAVV: *The Roman Imperial Coinage*, vol. IX, Londres.



Pieza: AE3 (bronce).

Descripción: AE3 de la serie romano-imperial. Autoridad emisora: dinastía valentiniana. Taller: indeterminado. Anverso: ilegible. Reverso: [secvritas reipublicae] con victoria que sostiene corona a la derecha. Pieza muy desgastada y recortada.

Cronología: 364–378 d. C.

Contexto: SP-11-558-8.

Número de inventario: 6265-8.

Peso: 1 gramo.

Diámetro: 14 milímetros.

Ejes: ¿?

Bibliografía: AAVV: *The Roman Imperial Coinage*, vol. IX, Londres.



Pieza: AE4 o nummus (bronce).

Descripción: AE4 o *nummus* de la serie romano-imperial. Autoridad emisora: dinastía constantiniana o valentiniana. Taller: indeterminado. Anverso: ilegible. Reverso: figura de pie. Pieza muy desgastada y fragmentada.

Cronología: Segunda mitad del siglo IV d. C.

Contexto: SP-11-558-4

Número de inventario: 6265-12.

Peso: 1 gramo.

Diámetro: 14 milímetros.

Ejes: ¿?

Bibliografía: AAVV: *The Roman Imperial Coinage*, vols. VIII y IX, Londres.



Pieza: AE3 (bronce).

Descripción: AE3 de la serie romano-imperial. Autoridad emisora: indeterminada. Taller: indeterminado. Anverso: ilegible. Reverso: ilegible. Pieza muy desgastada.

Cronología: Segunda mitad del siglo IV d. C.

Contexto: SP-11-558-2.

Número de inventario: 6265-13.

Peso: 1 gramo.

Diámetro: 15 milímetros.

Ejes: ¿?



Pieza: Nummus (bronce).

Descripción: Nummus de serie vándala. Autoridad emisora: anónima. Taller: Cartago. Anverso: busto a la derecha. Reverso: Victoria. Pieza muy desgastada.

Cronología: 432–484 d. C.

Contexto: SP-07-15.

Número de inventario: 5740-119.

Peso: 0,92 gramos.

Diámetro: 10 milímetros.

Ejes: ¿?

Bibliografía: Marot, T. 2013. Estudi de les monedes dels àmbits del sector oest, en M. Riera Rullan, M. Á. Cau y M. Salas (eds) *El conjunt paleocristià de Son Peretó (Manacor, Mallorca). Excavació i adequació de les habitacions del sector oest* (MUSA. Revista del Museu d'Història de Manacor 8):1 41–143. Manacor: Museu d'Història de Manacor.

Wroth, W. 1911: *Catalogue of the coins of the Vandals, Ostrogoths and Lombards and of the Empires of Thessalonica, Nicae and Trebizond in the British Museum*, Londres, 4-5.



Pieza: Nummus (bronce).

Descripción: Autoridad emisora: indeterminada. Taller: indeterminado. Anverso: busto a la derecha. Reverso: ilegible. Pieza muy desgastada. Cospel grueso e iconografías fuera de cospel.

Cronología: Probablemente siglo V d. C.

Contexto: SP-11-558-9.

Número de inventario: 6265-18.

Peso: 1 gramo.

Diámetro: 10 milímetros.

Ejes: 12 h.



Bibliografía

- Abad, L., S. Gutiérrez y B. Gamo 2000. La basílica y el baptisterio del Tolmo de Minateda (Hellín, Albacete), *Archivo Español de Arqueología* 73: 193–221.
- Adam, J. P. 1988. *L'arte di costruire presso i romani*, Milano: Longanesi.
- Aguarod, C. 1992. *Cerámica romana importada de cocina en la Tarraconense*, Zaragoza: Institución Fernando el Católico.
- Aguiló, J. 1920. Basílica cristiana primitiva en el paratge de Son Peretó a Manacor, *Anuari de l'Institut d'Estudis Catalans*, VI, Barcelona.
- Aguiló, J. 1922–23. Un descubrimiento arqueológico en Manacor, y un nuevo argumento de la ortodoxia final del grande Osio de Córdoba, *Butlletí de la Societat Arqueològica Lul·liana* XIX: 204–207, 245–248, 257–259.
- Aguiló, J. (a). *Basílica i Ciutat de Cunium a Manacor*, Arxiu Històric, Ajuntament de Manacor, Manuscrit inèdit.
- Aguiló, J. (b). *Manuscrito Mossèn [sic] Joan Aguiló*, Fons Pere de Palol, Document conservat al Centre de documentació de l'Institut Català d'Arqueologia Clàssica, Manuscrit inèdit.
- Alapont, L. 2005. La Necròpolis de l'Àrea Episcopal de València. Noves Aportacions Antropològiques, en J. M. Gurt i A. Riera (coords) *Les Ciutats Tardoantigues d'Hispania: Cristianització i Topografia* (VI Reunió d'Arqueologia Cristiana Hispànica): 245–250. Barcelona: Institut d'Estudis Catalans.
- Alapont, L. 2012. Formes d'enterrament de les classes benestants, en M. Riera Rullan, M. Á. Cau y M. Salas (coords) *Cent anys de Son Peretó: descobrint el passat cristià: 25–26* Palma: Consell de Mallorca.
- Alapont, L., A. Malgosa, G. Prats-Muñoz, R. Real y M. Sastre, 2012. Interpretació de les pràctiques funeràries i anàlisi antropològic dels enterraments del Sector Oest del conjunt paleocristià de Son Peretó (Manacor), en M. Riera Rullan (coord.) *IV Jornades d'Arqueologia de les Illes Balears*: 151–158. Eivissa: Vessants, Arqueologia i Cultura SL.
- Alapont, L. y P. Mas 2015. Reconstrucción y representación de los gestos funerarios a partir del estudio antropológico, *Quaderns dels Museus Municipals de València* 3: 381–394.
- Alapont, L., M. Sastre, R. Real 2013. Gestes, rituals funeraris i anàlisi antropològica dels enterraments de l'Àmbit Lateral Sud del Baptisteri i de l'Àmbit A del Sector Sud del conjunt paleocristià de Son Peretó (Manacor), en M. Riera Rullan y J. Cardell (coords) *V Jornades d'Arqueologia de les Illes Balears*: 213–221. Palma: Edicions Documenta Balear.
- Alcaide, S. 2005a. *Arquitectura cristiana de las Islas Baleares: mobiliario litúrgico balear. Catálogo y estudio de los materiales (siglos IV-VIII)*. Diploma de Estudios Avanzados, Departament de Prehistòria, Història Antiga i Arqueologia, Universitat de Barcelona.
- Alcaide, S. 2005b. Los altares de las basílicas cristianas de las islas Baleares. Reflexiones en torno a su problemática, *Hortus Artium Medievalium* 11: 81–97.
- Alcaide, S. 2011. *Arquitectura cristiana balear en la Antigüedad tardía (siglos V-X d.C.)*, Tesi Doctoral, Departament d'Història i Història de l'Art, Universitat Rovira i Virgili.
- Alcaide, S. y M. Á. Cau 2016. Les esglésies de domini bizantí de la costa oriental d'Espanya i les Balears, en J. Guitart, M. Pagès, I. Rodà y J. Sans (eds), *L'arquitectura cristiana preromànica a Catalunya. Edició facsímil i textos d'actualització*: 527–542. Barcelona: Institut d'Estudis Catalans, Departament de Cultura, Museu Nacional d'Art de Catalunya, ICAC.
- Alcaide, S., C. Mas y M. Á. Cau 2005. L'antiguitat tardana al municipi de Manacor: arquitectura cristiana i territori, en *Espai, fet urbà i societat* (III Jornades d'Estudis Locals a Manacor): 171–188. Manacor: Ajuntament de Manacor.

- Alfano, D., C. Scarabino, D. Inverso y A. Proto, 2005, Chemical and spectroscopic investigation on the plaster of a Byzantine church. *Annali di Chimica* 95: 125–132.
- Allevato E., M. Buonincontri, A. Pecci, M. Á. Cau, M. Vairo, G.F. Yoneda, M. De Simone, C. Aoyagi, S. Angelelli, K. Matsuyama, G. Takeuchi, G. Di Pasquale 2012. The cultural landscape in Campania (southern Italy) before the 472 AD Vesuvius eruption: archaeoenvironmental data. *Journal of Archaeological Science* 39(2): 399–406.
- Alomar, G. 1979. *Historia de las Islas Baleares*. Palma: Ediciones Cort.
- Álvaro López, M., P. Del Olmo Zamora, J. Ramírez Del Pozo y F. Sàbat Montserrat 1991. *Manacor. Mapa Geológico de España escala 1:50.000*. Madrid: Instituto Tecnológico Geominero de España.
- Amengual, J. 1979. Noves fonts per a la història de les Balears dins el Baix Imperi, *Butlletí de la Societat Arqueològica Lul·liana*, 37: 99–111. Palma: Gràfiques Miramar.
- Amengual, J. 1991. *Els orígens del cristianisme a les Balears*. Palma: Editorial Moll.
- Amengual, J. 2001. Consentius/Severus de Menorca. Vint-i-cinc anys d'estudis. 1975–2000, *Arxiu de Textos Catalans Antics*, 20: 589–700. Barcelona: Institut d'Estudis Catalans.
- Amengual, J. 2003. El segle V: de la romanitat política a la cultural a les Balears. *Mayurqa* 29: 155–172.
- Amengual, J. 2005. *Vbi pars graecorum est: medio milenio de historia relegada de las Baleares y las Pitiusa*. *Pyrenae* 36 (2): 87–113.
- Amengual, J. 2008. *Judíos, católicos y herejes: El microcosmos balear y tarraconense de Seuerus de Menorca, Consentius y Orosius (413–421)*. Palma: Edicions UIB
- Amengual, J. 2010. La correspondència Agustí-Consentius i la vida de les esglésies cristianes en la mediterrània occidental. L'expansionisme del vicariat d'Arle sobre la Tarraconense, en J. M. Galvadà, A. Muñoz y A. Puig (eds) *Pau, Fructuós i el cristianisme primitiu a Tarragona (segles I-VIII)* (Actes del Congrés de Tarragona 2008): 437–462. Tarragona: Fundació Privada Liber.
- Amengual, J. y M. Á. Cau 2005. Antiguitat tardana a les Illes Balears, F. Tugores (coord.), en *El món romà a les Illes Balears*: 131–138. Barcelona: Obra Social Fundació La Caixa.
- Amengual, J. y M. Orfila 2007. Paganos, judíos y cristianos en las Baleares: documentos literarios y arqueológicos, *Revista de Ciencias de las Religiones* 18: 197–246.
- Anastasiou, M., Th. Hasapis, T. Zorba, E. Pavlidou, K. Chrissafis y K. M. Paraskevopoulos 2006. TG-DTA and FTIR analyses of plasters from Byzantine Monuments in Balkan Region – Comparative study. *Journal of Thermal Analysis and Calorimetry* 84: 27–32.
- Aquilué, X. 1989. Terra sigillata africana. *Un abocador del segle V d.C. en el fòrum provincial de Tarraco*: 123–155. Tarragona: Taller Escola d'Arqueologia (TED'A).
- Arias, L. 2008. *Geometría y proporción en la arquitectura prerrománica asturiana*. Madrid: CSIC, Instituto de Historia.
- Arthur, P. 1998. Eastern Mediterranean amphorae between 500 and 700, en Lucia Sagúí (ed.) *Ceramica in Italia: VI-VII secolo. Atti del Convegno in onore di John W. Hayes*: 157–183. Firenze: All'Insegna del Giglio.
- Atlante, I 1981= Carandini A. (coord.). *Atlante delle Forme ceramiche, I. Ceramica fine romana nel Bacino mediterraneo (medio e tardo impero)*. Roma: Enciclopedia dell'Arte Antica Classica e Orientale.
- Atzeni, C., L. Massidda y U. Sanna, 1996. Magnesian limes. Experimental contribution to interpreting historical data. *Science and technology for cultural heritage* 5: 29–36.
- Bakolas, A., G. Biscontin, A. Moropoulou i E. Zendri, 1995. Characterization of the lumps in the mortars of historic masonry. *Thermochimica Acta* 269/270: 809–816.
- Barba, L. 1986. La química en el estudio de áreas de actividad, en L. Manzanilla (ed.), *Unidades habitacionales mesoamericanas y sus áreas de actividad*: 21–39. México: Instituto de Investigaciones Antropológicas.
- Barba, L. 2007. Chemical residues in lime plastered archaeological floors, *Geoarchaeology* 22(4): 439–452.
- Barba, L., J. Blancas, L. R. Manzanilla, A. Ortiz, D. Barca, G. M. Crisci, D. Miriello y A. Pecci, 2009. Provenance of the limestone used in Teotihuacan (Mexico): a methodological approach, *Archaeometry* 51: 525–545.

- Barba L., A. Ortiz, K. Link, L. López Luján, L. Lazos 1996, Chemical Analysis of residues in floors and the reconstruction of ritual activities al Templo Mayor, Mexico, en M. V. Orna (ed.), *Archeological Chemistry. Organic, Inorganic, and Biochemical Analysis*: 139–156. Washington DC: American Chemical Society.
- Barceló, M. 1975. Comentari a un text sobre Mallorca del geograf Al-Zuhri (s. VI – XII) *Mayurqa* 14: 155–164.
- Barceló, M. 1988a. Prólogo, *Arqueología medieval en las afueras del «medievalismo»*: 9–17. Barcelona: Editorial Crítica.
- Barceló, M. 1988b: Feudalismo e historia medieval, *Arqueología medieval en las afueras del «medievalismo»*: 21–52. Barcelona: Editorial Crítica.
- Barceló, M. 1988c. La arqueología extensiva y el estudio de la creación del espacio rural, *Arqueología medieval en las afueras del «medievalismo»*: 195–274. Barcelona: Editorial Crítica.
- Barceló, M. 2001. Immigration berbère et établissements paisans à Ibiza (902–1235). À la recherche de la logique de la construction d'une nouvelle Société, en J. M. Martín (ed.) *Zones côtières littorales dans le monde méditerranéen au Moyen Âge: Défense, peuplement, mise en valeur*: 291–238. Madrid: Casa de Velázquez.
- Barone, R. 1976. *Anatomie Comparée des Mammifères Domestiques. Ostéologie*. Paris: Barone Editions.
- Barrelet, J. 1953. *La verrerie en France de l'époque romaine à nos jours*. Paris: Larrouse.
- Barressi, P. 1991. Unità di misura nell'architettura dell'Africa tardoromana e bizantina, *Africa Romana* (IX Congreso di Studio núm.13–15): 831–842. Sassari: Gallizzi
- Bass, W. M. 1995. *Human Osteology. A Laboratory and Field Manual*. Missouri: Missouri Archaeological Society.
- Ben Abed-Ben Khader, A., M. Fixot, M. Bonifay y S. Roucole 2004. *Sidi Jdidi I: La basilique sud. Col. De l'école Française de Rome-339*. Roma: École Française de Roma.
- Benet, C. y E. Subias 1989. Els Vidres, en TED'A *Un abocador del segle V D. C. en el fòrum provincial de Tàrraco*: 329–361. Tarragona: TED'A.
- Bergman, R. A. 1984. *Catalog of Human Variation*. Munich: Urban and Schwarzenberg
- Bien, S. 2005. Des niveaux du VIIe siècle sous le Music-hall de l'Alcazar à Marseille, en J. M. Gurt, J. Buxeda, M. Á. Cau (eds) *LRCWI. Late Roman Coarse Wares, Cooking Wares and Amphorae in the Mediterranean, Archaeology and Archaeometry* (British Archaeological Reports International Series 1340): 285–298. Oxford: Archaeopress
- Bien, S. 2007. La vaisselle et les amphores en usage à Marseille au VIIe siècle et au début du VIIIe siècle: Première ébauche de typologie évolutive, M. Bonifay y J-CH. Trégliá (eds) *LRCW 2 Late Roman Coarse Wares, Cooking Wares and Amphorae in the Mediterranean. Archaeology and archaeometry* (British Archaeological Reports International Series 1662, I): 263–274. Oxford: Archaeopress
- Biscontin, G., M. P. Birelli y E. Zendri 2002. Characterization of binders employed in the manufacture of Venetian historical mortars. *Journal Culture Heritage* 3: 31–37.
- Boessneck, J. 1980. Diferencias osteológicas entre las ovejas (*Ovis Aries Linne*) y cabras (*Capra hircus Linne*), D. Brothwell y E. Higgs (eds), *Ciencia en arqueología*: 338–366. México: Fondo de Cultura Económica.
- Boessneck, J., H.-H. Müller y M. Teichert 1964. Osteologische Unterscheidungsmerkmale zwischen Schaf (*Ovis aries Linné*) und Ziege (*Capra hircus Linné*), *Kühn-Archiv* 78: 1–129.
- Bolós, J. y M. Pagès 1982. Les sepultures excavades a la roca, *Necrópolis i sepultures medievals de Catalunya* (Annex I Acta Medievalia): 59–103. Barcelona: Edicions Universitat de Barcelona.
- Bonifay, M. 2004, *Etudes sur la céramique romaine tardive d'Afrique* (British Archaeological Reports International Series 1301). Oxford: Archaeopress.
- Bonifay, M. 2005. Observations sur la typologie des amphores africaines de l'Antiquité tardive, en J. M. Gurt, J. Buxeda y M. Á. Cau (eds), *LRCWI. Late Roman Coarse Wares, Cooking Wares and Amphorae in the Mediterranean: Archaeology and Archaeometry* (British Archaeological Reports International Series 1340): 451–472. Oxford: Archaeopress.
- Bosch, J. M. y J. Vallès, 1987. Sepultures tipus cista de lloses i/o <<tegulae>> a Catalunya: hipòtesi interpretativa (1), en *Arqueologia Medieval Española* (II Congreso, Tomo III): 328–338 Madrid: Comunidad de Madrid, Consejería de Cultura y Deportes. Dirección General de Patrimonio Histórico.
- Brown, P. 1997. *El primer milenio de la cristiandad occidental*. Barcelona: Editorial Crítica.

- Brown, P. 1998. *Pouvoir et persuasion dans l'Antiquité tardive*. Paris: Seuil.
- Brown, P. 2006. *La formazione dell'Europa cristiana. Universalismo e diversitat 200-1000 d.C.* Bari: Editorial Laterza.
- Brown, P. 2012. *El mundo de la Antigüedad tardía*, Madrid: Gredos.
- Buxeda, J. y M. Á. Cau, 1998. Possibilitats i limitacions en l'estudi arqueomètric de les produccions ceràmiques ebusitanes, *Pyrenae* 29: 97-115.
- Buxeda, J., M. Á. Cau y F. Tuset 1997. Las cerámicas de la habitación 39 de la basílica de Es Cap de Port (Fornells, Menorca): primeros resultados, en M. Comas, J. M. Gurt, A. López, P. Padros y M. Roca (eds) *Contextos ceràmics d'època romana tardana i de l'alta edat mitjana (segles IV-X)* (ArqueoMediterrània 2/1997): 229-248. Barcelona: Departament de Prehistòria, Història Antiga i Arqueologia de la Universitat de Barcelona.
- Buxeda, J., M. Á. Cau, J. M. Gurt, E. Tsantini y A. M. Rauret 2005. Late Roman Coarse Wares and Cooking Wares from the Balearic Islands in Late Antiquity: Archaeology and Archaeometry, en J. M. Gurt, J. Buxeda y M. Á. Cau (eds), *LRCWI. Late Roman Coarse Wares, Cooking Wares and Amphorae in the Mediterranean: Archaeology and Archaeometry* (British Archaeological Reports International Series 1340): 223-254. Oxford: Archaeopress.
- Caballero, L. y I. Sastre 2014. Espacios de la liturgia hispana de los siglos V-X. Según la Arqueología, en I. Fernández, R. Álvarez y A. Llorens (eds) *El canto mozárabe y su entorno. Estudios sobre la liturgia viejo hispánica*: 259-291. Madrid: Sociedad Española de Musicología.
- Cabrol, C. y H. Leclercq 1907-1950. *Dictionnaire d'Archéologie Chrétienne et de Liturgie*, veu: Baléares (Iles), t. II, cols. 161-164, veu: Majorque, t. X, cols. 1259-1260, veu: Minorque, t. XII, cols. 1387-1388, veu: Palma t. XIII, cols. 942-946, veu: autel, t. I, cols. 3155-3189.
- Cagnana, A. y T. Mannoni 2000. *Archeologia dei materiali da costruzione*. Mantova: Società Archeologica Padana.
- Cameron, A. 1997. Cult and worship in east and west, L. Webster y M. Brown (eds) *The transformation of the Roman World. AD 400-900*: 96-110. Londres: British Museum Press.
- Cameron, A. 1998. *El mundo mediterráneo en la Antigüedad Tardía 395-600*. Barcelona: Editorial Crítica
- Campbell, E. 2007. *Continental and Mediterranean Imports to Atlantic Britain and Ireland, AD 400-800*. York: CBA Research Report series 157.
- Capellà, M. Á. y A. Martínez 2012a. Dena de vidre, en M. Riera Rullan, M. Á. Cau y M. Salas (coords) *Cent anys de Son Peretó: descobrint el passat cristià*: 74. Palma: Consell de Mallorca.
- Capellà, M. Á. y A. Martínez 2012b. Tessel·les de vidre, en M. Riera Rullan, M. Á. Cau y M. Salas (coords) *Cent anys de Son Peretó: descobrint el passat cristià*: 74. Palma: Consell de Mallorca.
- Capelli, C. y M. Bonifay, 2007. Archéométrie et archéologie des céramiques africaines : une approche pluridisciplinaire, en M. Bonifay y J-CH. Trégliá (eds) *LRCW 2 Late Roman Coarse Wares, Cooking Wares and Amphorae in the Mediterranean. Archaeology and archaeometry* (BAR International Series 1662, II): 551-567. Oxford: Archaeopress.
- Cardell, J. y M. Á. Cau 2005. Las Baleares bizantinas a partir de la documentación arqueológica, en *Mallorca y Bizancio* (Cuadernos de Historia nº 2): 157-158. Palma: Edicions Cort.
- Carò, F., M.P. Riccardi y M. T. Mazzilli 2008. Characterization of plasters and mortars as a tool in archaeological studies: the case of Lardirago Castle in Pavia, Northern Italy, *Archaeometry* 50: 85-100.
- CATHMA 1986. La céramique du Haut Moyen Age en France méridionale : éléments comparatifs et essai d'interprétation, en *La ceramica medievale nel mediterraneo occidentale* (Atti del Congresso Siena-Faenza, 8-13 nov. 1984): 27-50. Firenze: All'Insegna del Giglio.
- CATHMA 1991. Importations des céramiques communes méditerranéennes dans la midi de la Gaule (Ve-VIIIe s.), en *A ceràmica medieval o Mediterraneo Ocidental* (Actes do V Congresso Internacional): 24-27. Mértola: Campo Arqueológico de Mértola.
- Cau, M. Á. 1994. Las cerámicas tardorromanas de cocina de Santa Ponça (Mallorca), *Bulletin de la Association pour l'Antiquité Tardive* 3: 97-98.

- Cau, M. Á. 1998. *Cerámicas tardorromanas de cocina de las Islas Baleares: estudio arqueométrico*. Col·lecció de Tesis Doctorals Microfitxades, núm. 3199. Barcelona: Universitat de Barcelona.
- Cau, M. Á. 1999. Importaciones de cerámicas tardorromanas de cocina en las Illes Balears: el caso de Can Sorà (Eivissa), en J. Capel (ed.) *Arqueometría y Arqueología (Monográfica Arte y Arqueología 47)*: 197–219. Granada: Universidad de Granada.
- Cau, M. Á. 2003. *Cerámica tardorromana de cocina de las Islas Baleares: Estudio arqueométrico* (British Archaeological Reports International Series 1182). Oxford: Archaeopress.
- Cau, M. Á. 2007. Mediterranean Late Roman Cooking Wares: Evidence from the Balearic Islands, en M. Bonifay y J.-Ch. Tréglia (eds) *LRCW 2 Late Roman Coarse Wares, Cooking Wares and Amphorae in the Mediterranean. Archaeology and archaeometry* (British Archaeological Reports International Series 1662, I): 219–246. Oxford: Archaeopress.
- Cau, M. Á., J. Giralt, J. M. Macías, J.I. Padilla y F. Tuset 1997. La cerámica del Nordeste peninsular y las Baleares entre los siglos V–X, en *La céramique médiévale en Méditerranée* (Actes du Congrès de l'AICM2): 173–192. Aix-en-Provence: Narration.
- Cau, M. Á., J. M. Macías y F. Tuset 1997. Algunas consideraciones en torno a las cerámicas de cocina de los siglos IV al VIII, *Ceràmica Medieval Catalana* (Quaderns Científics i Tècnics 9): 7–37. Barcelona: Diputació de Barcelona.
- Cau, M. Á., M. Riera Rullan y M. Salas 2012a. Son Peretó: una comunitat cristiana de Mallorca, M.A. Cau, M. Riera Rullan y M. Salas (coords) *Cent anys de Son Peretó: descobrint el passat cristià*: 37. Palma: Consell de Mallorca.
- Cau, M. Á., M. Riera Rullan y M. Salas 2012b. The early Christian complex of Son Peretó (Mallorca, Balearic Islands): excavations in the 'West Sector' (2005–2008), *Archeologia Medievale* XXXIX: 331–243.
- Cau, M. Á., E. Tsantini y J. M. Gurt 2010. Late Roman Coarse Wares and Cooking Wares from Son Peretó (Mallorca, Balearic Islands): archaeometrical approach, S. Menchelli, S. Santoro, M. Pasquinucci y G. Guiducci (eds) *LRCW 3 Late Roman Coarse Wares, Cooking Wares and Amphorae in the Mediterranean. Archaeology and archaeometry* (BAR International Series 2185): 193–206 Oxford: Archaeopress.
- Cavada, E. y L. Edirzzi 1998. Produrre vetro a Trento. Primi indizi nei livelli tardoantichi e altomedievali dell'area urbana, en *Il vetro dall'antichità all'età contemporanea: aspetti tecnologici, funzionali e commerciali*: 173–180. Milano: Edizioni Et.
- Cela, X. y V. Revilla 2004. *La transició del municipium d'Iluro a Alarona (Mataró). Cultura material i transformacions d'un espai urbà entre els segles V i VII dC*. Mataró: Museu de Mataró.
- Cerdà, D. 1978. Economía antigua de Mallorca, J. Mascaró (coord.), *Historia de Mallorca* tom II: 1–32. Palma de Mallorca: Vicente Colom Rosselló Editor.
- Cerdà, D. 1994. La crisi del segle III a Pollentia i a dues naus de Cabrera, en III Reunió d'Arqueologia cristiana hispànica (*Monografies de la Secció Històrico-Arqueològica*): 289–309. Barcelona: Institut d'Estudis Catalans.
- Cerdà, D. 1999. *El vi en l'ager Pollentinus i el seu entorn*. Palma: Consell de Mallorca, Cultura i Patrimoni.
- Cerrillo E. 1989. El mundo funerario y religioso en época visigoda, *Actas del III Congreso de Arqueología Medieval Española*, vol. 1: 89–110. Oviedo: Universidad de Oviedo.
- Chen, D. 1990. Dating Synagogues in Galilee: On the Evidence from Meroth and Capernaum, *Liber Annuus* 40: 349–355.
- Chever, L., S. Pavía y R. Howard 2010. Physical properties of magnesian lime mortars, *Materials and Structures* 43: 283–296.
- Codou, Y. 2012. Îles de Lérins. Île Saint-Honorat, les chapelles du Saint-Sauveur et de la Trinité, *Monuments de Nice et des Alpes-Maritimes 2010* (Congrès archéologique de France, 168^e session.): 77–84. París: Société Française d'Archéologie.
- Codou, Y. 2013. Aux origines du monachisme en Gaule (V^e–XI^e S.) : Les fouilles de l'église du Saint-Sauveur, Lérins, île Saint-Honorat, Alpes-Maritimes, *Le monachisme insulaire du IV^e à la fin du XI^e*

- siècle (Hortus Artium Medievalium 19): 63–72. Zagreb-Motovum: Intrnl Research Center for Late Antiquity & Middle Ages.
- Cohoen, A. y D. Serjeantson 1996. *A manual for the identification of bird bones from archaeological sites*. Londres: Archetype Books.
- Condamin J., F. Formenti, M. O. Metais, M. Michel y P. Bond 1976. The application of Gas Chromatography to the tracing of oil in ancient amphorae, *Archaeometry* 18 (2): 195–201.
- Conrado, J. F. 1998. Els Conrado i Santa Maria del Camí, *I Jornades d'estudis locals Santa Maria del Camí*:185–192. Santa Maria del Camí: Ajuntament de Santa Maria del Camí.
- Crisci, G. M., M. Franzini, M. Lezzerini, T. Mannoni y M. P. Riccardi 2004. Ancient mortars and their binder, *Periodico di Mineralogia* 73: 259–268.
- Crisci, G. M. y D. Miriello, 2006. I materiali del costruito tradizionale: un mondo ancora in gran parte da scoprire, en G. M. Crisci y C. Gattuso (eds.) *Archeometria del costruito. L'edificato storico: materiali, strutture e rischio sismico* (Atti del convegno nazionale di Archeometria, Ravello 6–7 Febbraio): 107–12. Bari: Edipuglia.
- Crowfoot, G. M. y D. B. Harden 1931. Early Byzantine and Later Glass Lamps, *Journal of Egyptian Archaeology* XVII: 196–211.
- Delogu, P. 1998. Reading Pirenne again, R. Hodges i W. Bowden (eds.) *The sixth century. Production, Distribution and Demand*: 15–40. Leiden-Boston-Köln: Brill.
- Dilly, G. y N. Mahéo, 1997. *Verreries antiques du Musée de Picardie*. Amiens: Somogy.
- Durliat, J. 1998. Les conditions du commerce au VI^e siècle, R. Hodges i W. Bowden (eds.) *The sixth century. Production, Distribution and Demand*: 89–117. Leiden-Boston-Köln: Brill.
- Duval, N. 1982. L'Espagne, la Gaule et l'Adriatique. Rapports Éventuels dans le domaine de l'Archéologie Chrétienne, en *Actas de la II Reunión de Arqueología Paleocristiana Hispánica* (IX Symposium de Prehistòria i Arqueologia Peninsular, Montserrat, 2–5 novembre 1978): 31–53. Barcelona: Institut d'Arqueologia i Prehistòria.
- Duval, N. 1990. Le troisième Congrès d'archéologie chrétienne espagnole a Mahon (septembre, 1988), *Revue des Études Augustiniennes* 36: 155–180.
- Duval, N. 1994. La place des églises des Baléars dans l'Archéologie Chrétienne de la Méditerranée Occidentale, en *Actas de la III Reunión de Arqueología Cristiana Hispánica* (Monografies de la Secció Històrico-Arqueològica, Mahón, 12–17 de setembre de 1988):203–212. Barcelona: Institut d'Estudis Catalans.
- Duval, N. 2000. Architecture et liturgie : les rapports de l'Afrique et de l'Hispanie à l'époque byzantine, *Actas de la V Reunión de Arqueología Cristiana Hispánica*: 13–28. Barcelona: Institut d'Estudis Catalans.
- Duval, N. 2000. Les relations entre l'Afrique et l'Espagne dans le domaine liturgique : existe-t-il une explication commune pour les 'contra-absides' et 'contra-choeurs'?, *Rivista di Archeologia Cristiana* LXXVI: 429–476.
- Duval, N. i J. Fontaine 1979. Un fructueux échange entre archéologues, liturgistes et patristiciens : le colloque de Montserrat (2–5 novembre 1978), *Revue d'Études Augustiniennes et Patristiques* 25 (3–4): 265–290.
- Evershed, R. 1993. Biomolecular archaeology and lipids, *World Archaeology* 25(1): 74–93.
- Evershed, R. 2008. Organic residues in archaeology: the archaeological biomarker revolution, *Archaeometry* 50(6): 895–924.
- Fernández, B. E. 1999. Producciones de vidrio romano altoimperial halladas en la ciudad de León, *Actas XXV Congreso Nacional de Arqueología*: 480–484. València: Diputació de València.
- Fernández, F., Alonso de la Sierra, J. i Lasso de la Vega, M^a. G. 1987. La basílica y la Necrópolis paleocristianas de Gerena (Sevilla), *Noticario Arqueológico Hispánico*: 103–201. Madrid: Ministerio de Cultura, Subdirección General de Arqueología y Etnografía.
- Ferrer, R. 1953. *La gran basílica de Son Peretó. El descubrimiento contado con sencillez*. Palma: Tous.
- Fita, F. 1914. Nuevas inscripciones de Itálica y Manacor, *Boletín de la Real Academia de Historia* 64: 534–542.

- Fita, F. 1914. La cristiandad baleàrica hasta fines del siglo VI. Apuntes históricos, *Boletín de la Real Academia de Historia* 64: 542–551.
- Foerster, G. 1989. Synagogue Studies: Metrology and Excavations, *Zeitschrift des Deutschen Palästina-Vereins* 105: 129–135.
- Font, A., D. Ramis y D. Vicenç 2011. Fauna, flora i minerals de les Balears a l'Antiguitat: Fonts literàries, fonts científiques i fonts arqueològiques. 1. La grua balear i els caragols, *Bolletí de la Societat Arqueològica Lul·liana* 67: 39–53.
- Foy, D. 1991. Les Verres, *La basilique paléochrétienne du Clos de la Lombarde à Narbonne: 255–271*. París: CNRS.
- Foy, D. 1995. Le verre de la fin du IV^e au VIII^e siècle en France méditerranéenne premier essai de typo-chronologie, en *Le verre de l'Antiquité tardive et du haut Moyen Âge, typologie, chronologie, diffusion: 187–243*. Guiry-en-Vexin: Musée Archéologique Départemental du Val d'Oise.
- Foy, D. 2000a. Les matières premières du verre et la question des produits semis-finis. Antiquité et Moyen Age, en *Arts du feu et productions artisanales: 419–433*. Antibes: Association pour la Promotion et la Diffusion des Connaissances Archéologiques.
- Foy D. 2000b. Technologie, géographie, économie: les ateliers de verriers primaires et secondaires en Occident. Esquisse d'une évolution de l'Antiquité au Moyen-Âge, en *La route du verre, ateliers de verriers primaires et secondaires du second millénaire av. J.-C. au Moyen Âge* (Colloque organisé en 1989 par l'Association française pour l'Archéologie du Verre (AFAV)): 147–170. Lyon: Maison de l'Orient et de la Méditerranée Jean Pouilloux.
- Foy, D. 2003. Recyclages et réemplois dans l'artisanat du verre. Quelques exemples antiques et médiévaux, en P. Ballet, P. Cordier y N. Dieudonne-Glad (dirs) *La ville et ses déchets dans le monde romain. Rebut et recyclages* (Actes du Coll. de Poitiers, 19–20 sept. 2002): 271–276. Montagnac: EPUISE.
- Foy, D. 2004. Les verres, en A. Ben Abded-Ben Khader, M. Fixot, M. Bonifay y S. Roucole (coords) *Sidi Jdidi I. La basilique sud* (Col. De l'école Française de Rome 339): 317–329. Roma: École française de Rome.
- Foy, D. 2010a. *Les verres antiques d'Arles. La collection du Musée Départemental Arles antique*. París: Editions Errance.
- Foy, D. 2010b. Souvenirs de pèlerinages dans l'Antiquité tardive : vaisselle, ampoules et breloques de verre découvertes en Narbonnaise, en *Archéologie des rivages méditerranéens : 50 ans de recherches: 303–311*. París: Editions Errance.
- Foy, D. y M. Bonifay, 1984. Eléments d'évolution des verreries de l'Antiquité tardive à Marseille d'après les fouilles de La Bourse (1980), *Revue archéologique de Narbonnaise* 17: 289–308.
- Fulford, M. G. y D. P. S. Peacock 1984. *Excavations at Carthage: The British Mission I.2, The Avenue du President Habib Mourguiba, Salambo, The pottery and other ceramic objects from the site*. Sheffield: University of Sheffield.
- Fuentes, A., J. A. Paz y E. Ortiz 2001. *Vidrio romano en España. La revolución del vidrio soplado*. Segovia: Fundación Centro Nacional del Vidrio.
- Furió, A. 1842. *Carta histórico-crítica sobre el lugar que ocupó la antigua Cunium*. Palma de Mallorca: Imprenta Nacional Regentada por Don Juan Guasp y Pascual.
- Fuster, G. 1966. *Historia de Manacor*. Manacor: Lleonard Muntaner Editor, S.L.
- Gal, G. y S. Brown 1970. *William of Ockham, Opera Philosophica et Theologica*. Nueva York: Franciscan Institute Publication.
- Galera, V. y M. D. Garralda 1994. La población medieval cántabra de Santa María de Hito. Aspectos morfológicos y etnohistóricos, *Revista Española de Antropología Biológica* 15: 73–90.
- Galtés, I., A. Rodríguez-Baeza y A. Malgosa 2006. Mechanical Morphogenesis: A Concept Applied to the Surface of the Radius, *The anatomical record part A* 288^a: 794–800.
- Galliou, P. 1989. Les tombes romaines d'Armorique. Essai de sociologie et d'économie de la mort. Paris: Maison des Sciences de l'Homme.
- García, M. G., A. Moro y F. Tuset 2009. *La seu episcopal d'Ègara. Arqueologia d'un conjunt cristià del segle IV al IX*. Tarragona: Institut Català d'Arqueologia Clàssica.

- Genestar, C. y C. Pons 2003. Ancient covering plaster mortars from several convents and Islamic and Gothic palaces in Palma de Mallorca (Spain). Analytical characterisation, *Journal of Cultural Heritage* 4: 291–298.
- Godoy, C. 1989. Baptisterios hispánicos (siglos IV al VIII), Arqueología y liturgia, en *Actes du XIème Congrès International d'Archéologie Chrétienne* (Collection de l'École Française de Rome, 123): 607–634. Roma: École Française de Rome.
- Godoy, C. 1995. *Arqueología y liturgia. Iglesias Hispánicas (siglos IV–VIII)*. Barcelona: Publicacions de la Universitat de Barcelona.
- Godoy, C. 2000. El cristianismo en las islas Baleares, en *Los orígenes del cristianismo en Valencia y su entorno* (Grandes temas Arqueológicos 2): 251–257. València: Ajuntament de València.
- Godoy, C. 2017a. De la mort à la vie par le baptême. Notes d'archéologie et de liturgie dans l'Antiquité tardive, en R. Baró, A. Viciano y D. Vigne (eds), *Mort et résurrection dans l'Antiquité chrétienne. De la mort à la vie, l'espérance en la résurrection dans l'Antiquité tardive. Histoire, archéologie, liturgie et doctrines*: 141–158. Toulouse: Parole et Silence.
- Godoy, C. 2017b. Los ritos bautismales en la antigüedad tardía: una lectura arqueológica desde los textos escritos, en *La dualitat de baptisteris en les ciutats episcopals del cristianisme Tardoantic* (Actes del I Simposi d'Arqueologia Cristiana. *Studia Archaeologiae Christianae* 2): 173–198. Barcelona: Ateneu Universitari Sant Pacià, Facultat Antoni Gaudí d'Història, Arqueologia i Arts Cristianes.
- Gómez, J. y M. Mayer 1996. Aproximación a un inventario de los mosaicos funerarios de época paleocristiana de Hispania, *Cahiers des études anciennes* XXXI: 66–95.
- González R. 1995. Cultura e ideología del siglo VI en las cartas de Liciniano de Cartagena, en *Lengua e Historia: Homenaje al Profesor Dr. D. Antonio Yelo Templado al cumplir 65 años* (Antigüedad y Cristianismo XII): 269–374. Murcia: Universidad de Murcia.
- González, R. 2001. *El mundo funerario romano en el País Valenciano: monumentos funerarios y sepulturas entre los siglos I a. de C.–VII d. de C.* Madrid: Instituto Alicantino de Cultura “Juan Gil-Albert”.
- González, R. y E. Díes, 1990–1991. Evolución de la ocupación del suelo de Formentera: Épocas púnica y romana, *Cuadernos de Prehistoria y Arqueología Castellonenses* 15: 335–373.
- Gornés, S., J. M. Gual, A. López, J. De Nicolás y A. Roca. 2004. L'assentament humà des de la prehistòria fins al baix Imperi, en J. J. Fornós, A. Obrador y V. M. Rosselló (eds), *Historia Natural del Migjorn de Menorca: el medi físic i l'influx humà*. (Monogràfic Societat Història Natural de Balears 11): 327–350. Palma: Societat d'Història Natural de les Balears.
- Grauer, A. L. 1991. Patterns of Life and Death: The Paleodemography of Medieval York, en *Health in Past Societies: Biocultural interpretations of human skeletal remains in archaeological contexts* (British Archaeological Reports International Series 567): 69–73. Oxford: Tempus Reparatum.
- Gregg, J. M. y D.F. Sibley 1984. Epigenetic dolomitization and the origin of xenotopic dolomite texture, *Journal of Sedimentary Research* 54: 908–931.
- Guàrdia, M. 1988. Les basíliques cristianes de Menorca: Es Fornàs de Torellò i S'Illa del Rei, i els tallers de músicària Balears, en *Les Illes Balears en temps cristians fins als àrabs*: 65–72. Maó: Institut Menorquí d'Estudis.
- Güleç, A. y T. Tulun 1997. Physico-chemical and petrographical studies of old mortars and plasters of Anatolia, *Cement and Concrete Research* 27: 227–234.
- Gurt, J. M. 1988. Circulació i història monetària de les Balears des del Baix Imperi als àrabs, en *Les Illes Balears en temps cristians fins als àrabs*: 59–63. Maó: Institut Menorquí d'Estudis.
- Gurt, J. M. y J. Buxeda 1996. Metrologia, composició modular i proporcions de les basíliques cristianes de Llevant peninsular i de les Balears, en *Spania. Estudis d'Antiguitat Tardana Oferts en Homenatge al Professor Pere de Palol i Salellas*: 137–156. Barcelona: Publicacions de l'Abadia de Montserrat.
- Gurt, J. M. y T. Marot 1994. Estudi dels models de circulació monetària a les Balears: Pollentia (Alcudia, Mallorca), en *III Reunió d'Arqueologia Cristiana Hispànica* (Monografies de la Secció Històrico-Arqueològica): 223–233. Barcelona: Institut d'Estudis Catalans.

- Gutiérrez Lloret, S. 1998. Eastern Spain in the sixth century in the light of archaeology, R. Hodges y W. Bowden (eds) *The sixth century. Production, Distribution and Demand*: 161–184. Leiden-Boston-Köln: Brill.
- Gutiérrez, S., L. Abad y B. Gamo 2004. La iglesia visigoda de El Tolmo de Minateda (Hellín, Albacete), *Antigüedad y Cristianismo XXI*: 137–169.
- Haldon, J. 2000. Production, Distribution and Demand in the Byzantine World, c. 660–840, en I. L. Hansen y C. Wickham (eds) *The Long Eighth Century. The Transformation of the Roman World*: 224–264. Leiden-Boston-Köln: Brill Academic Pub.
- Harden, D. B. 1981. *Catalogue of Greek and Roman Glass in the British Museum*. Londres: British Museum Press.
- Harden, D. B. 1987. *Glass of the Caesars*. Milan: Dover Publications Inc.
- Hayes J. W. 1972. *Late Roman Pottery*. Londres: British School at Rome.
- Hayer, J. W. 1975. *Roman and Pre-Roman Glass in the Royal Ontario Museum*. Toronto: University of Toronto Press.
- Hayes, J. W. 1980. *Supplement to Late Roman Pottery*. Londres: British School at Rome.
- Hillson, S. 1996. *Dental Anthropology*. Cambridge: Cambridge University Press.
- Hodges, R. 1998. Henri Pirenne and the question of demand in the sixth century, en R. Hodges y W. Bowden (eds) *The sixth century. Production, Distribution and Demand*: 3–14. Leiden-Boston-Köln: Brill.
- Hodges, R. y D. Whitehouse. 1983. *Mohammed, Charlemagne and the Origins of Europe*. Londres: Cornell University Press.
- Hodgkinson, E. S. y C. R. Hughes 1999. The mineralogy and geochemistry of cement/rock reactions: high-resolution studies of experimental and analogue materials, en R. Metcalfe y C. A. Rochelle (eds) *Chemical containment of waste in the geosphere (Special Publications 157)*: 195–211. London: Geological Society.
- Íñiguez, J. A. 1977. *Síntesis de arqueología cristiana*. Madrid: Ediciones Palabra.
- Íñiguez, J. A. 2002. *Tratado de arqueología cristiana*. Pamplona: Eunsa, S.A.
- Iordanidis, A., J. Garcia-Guinea, A. Strati, A. Gkimourtzina y A. Papoulidou 2011. Thermal, mineralogical and spectroscopic study of plasters from three post-Byzantine churches from Kastoria (northern Greece), *Journal of Thermal Analysis and Calorimetry* 103 (2): 577–586.
- Isings, C. 1957. *Roman glass from dated finds*. Groningen-Djakarta: J. B. Wolters Groningen.
- Israeli, Y. 2003. *Ancient Glass in the Israel Museum. The Eliahu Dobkin Collection and Other Gifts*. Jerusalem: Israel Museum.
- Iturgaiz, D. 1963. Baptisterio doble de la basílica de Son Peretó, *Rivista di Archeologia Cristiana* 39 (3-4): 279–287.
- Iturgaiz, D. 1969. Baptisterios paleocristianos de Hispania, *Analecta Sacra Tarraconensia XL-XLI*: 209–295.
- Jerram, D. A., M. J. Cheadle, R. H. Hunter y M. T. Elliott 1996. The spatial distribution of grains and crystals in rocks, *Contributions to Mineralogy and Petrology* 125: 60–74.
- Junyent, E. 1983. *L'arquitectura religiosa a Catalunya abans del romànic*. Barcelona: L'Abadia de Montserrat.
- Kapitän, G. 1980. Elementi architetonici per una basilica dal relitto navale del VI secolo di Marzamemi (Siracusa), en *Corso di Cultura sull'Arte Ravennate e Bizantina XXVII*: 71–136. Ravenna: Edizioni del Girasole.
- Keay, S. J. 1984. *Late Roman amphorae and economic study: the catalan evidence*, (British Archaeological Reports International Series 196). Oxford: BAR Publishing.
- Khatchatrian, A. 1962. *Les baptistères paléochrétiens. Plans, notices et bibliographies*, Paris: École pratique des hautes études.
- Khatchatrian, A. 1982. *Origen et typologie des baptisteres paleochrétiens*. Mulhouse: Centre de culture chretienne.
- Kirchner, H., y B. Moll 2006. Introducción, en *Historia de las Islas Baleares. Las Islas Orientales de al-Andalus: Las Baleares en época islámica 5*: 7–11. Palma: Edicions de Turisme Cultural.
- Krauheimer R. 1986. *Early Christian and Byzantine Architecture*. Hong Kong: Yale University Press.
- Kunina, N. 1997. *Ancient Glass in the Hermitage Collection*. St. Petersburg: Ars Too.

- Kurent T. y A. Vidmar 1997. The continuity of the antique compositional principles in the architecture of the eufasian basilica, en *La tradición en la Antigüedad Tardía*. (Antigüedad y cristianismo XIV): 525–538. Murcia: Servicio de Publicaciones, Universidad de Murcia.
- Lagarda, F. 2012. *Las Basílicas Paleocristianas de las Baleares*. Sobradriel: Ferran Lagarda Mata.
- Lara, G., J. García, E. López, C. E. Rizo y M. D. Sánchez 2007. Nuevas evidencias de la ocupación de Benalúa (Alicante) durante los siglos VI–VII dC. *MARQ, Arqueología y Museos* 02: 49–81.
- Latorre J. I. y J. M. Gurt 1982. Un depósito de téglulas en la basílica paleocristiana de Es Cap des Port. Métrica y modulación del tejado, en *II Reunió d'Arqueologia Paleocristiana Hispànica* (Publicacions Eventuals, 31): 405–419. Barcelona: Institut d'Arqueologia i Prehistòria.
- Laubenheimer, F. 1990. Sallèles d'Aude. Un complexe de potiers gallo-romain: le quartier artisanal. Paris: Maison des Sciences de l'Homme.
- Lebecq, S. 1997. Routes of change: Production and Distribution in the West (5th–8th century), en L. Webster y M. Brown (eds), *The Transformation on the Roman World. AD 400–900*: 67–78. Londres: University of California Press.
- Lopes, V. 2015. A Antigüedad Tardía em Mértola, balanço das novas descobertas arqueológicas, en *VII Encuentro de Arqueología del Suroeste Peninsular*: 824–839. Huelva: Ayuntamiento de Aroche.
- López Mullor, A. 1989. *Las cerámicas romanas de paredes finas en Cataluña*. Barcelona: Libros Pórtico.
- López Mullor, A. y A. Martín 2008. Las ánforas de la Tarraconense, en D. Bernal y A. Ribera (eds) *Cerámicas hispanorromanas. Un estado de la cuestión: 689–724*. Cádiz: Servicio de Publicaciones de la Universidad de Cádiz.
- López, M. 1985. Materiales arqueológicos: vidrio soplado de época romana, *Revista de Arqueología* 48: 37.
- Lukacts, J.R. 1989. Dental Palaeopathology: Methods for Reconstructing Dietary Patterns, en M. Yasar y K. A. R. Kennedy (eds) *Reconstruction of life from the Skeleton*: 261–286. New York: John Wiley & Sons Inc.
- Llorente, H. 1888. Pavimento de mosaico descubierto en enero del año 1888 en la Isleta del Rey, *Boletín de la Real Academia de la Historia* 13: 7 y 478.
- Maccabruni, C. 1983. *I Vetri romani dei musei civici di Pavia. Lettura di una collezione*. Pavia: Ticinum Edizioni in collaborazione con il Comune di Pavia.
- Macias, J. M. 1999. *La ceràmica comuna tardoantiga a Tàrraco. Anàlisi tipològica i històrica (segles V–VII)*, (Monografies Tarraconensis I). Tarragona: Tulcis.
- Macias, J. P. i Remolà, J. A. 2005. La cultura material de Tarraco – Tarragona (*Hispania Tarraconensis – Regnum Visigothorum*): Cerámica común y ánforas, en J. M. Gurt, J. Buxeda y M. Á. Cau (eds) *LRCWI. Late Roman Coarse Wares, Cooking Wares and Amphorae in the Mediterranean: Archaeology and Archaeometry*, (British Archaeological Reports International Series 1340): 125–135. Oxford: Archaeopress.
- Maldonado, P. 2006. *Demografía: Conceptos y técnicas fundamentales*, México: Plaza y Valdés.
- Mann, R. W. y S. P. Murphy 1990. *Regional Atlas of bone Disease, A Guide to Pathologic and Normal Variation in the Human Skeleton*. Illinois: Charles C Thomas Pub Ltd.
- Marcos, F. J. 2002. *Vidrios romanos de Herrera de Pisuerga (Palencia)*. Palencia: Francisco Javier Marcos.
- Marcos, A. y A. M. Vicent 2000. Vetri di V–VII sec. d.C. nel N.E. della provincia di Córdoba (Spagna), en *Annales du 14^e congrès de l'AIHV*: 213–218. Nottingham: Centre de publications de l'A.I.H.V.
- Marimon P. 2004. Las Insulae Baliares en los circuitos de intercambio africano: la importación de alimentos (123 a.C.–707 d.C.), en M. Khanoussi, P. Ruggeri i C. Vismara (coords) *Ai confini dell'impero: contatti, scambi, conflitti* (L'Africa romana XV): 1051–1076. Roma: Carocci.
- Marimon, P., M. Riera Rullan, M. Á. Cau y M. Orfila 2005. Ánforas de la Antigüedad Tardía de la cisterna de Sa Mesquida (Calvià, Mallorca)", en M^a. L. Sánchez y M. Barceló (eds) *L'Antiguitat clàssica i la seva pervivència a les illes Balears* (XXIII Jornades d'Estudis Històrics Locals): 409–421. Palma: Institut d'Estudis Baleàrics.
- Marot, T. 1990. Monedes vàndales i bizantines a Pollentia, *Gaceta Numismàtica* 99: 29–34.

- Marot, T. 1997. Aproximación a la circulación monetaria en la Península Ibérica y las Islas Baleares durante los siglos V y VI: la incidencia de las emisiones vándales y bizantinas, *Revue Numismatique* 152: 157–190.
- Marot, T. 2004. Classificació de les monedes, en M. Riera Rullan (coord.), *Illot des Frares* (Col·lecció Quaderns de Patrimoni Cultural 9): 65–68. Palma de Mallorca: Consell de Mallorca.
- Marot, T. 2005. Classificació de les monedes, *Butlletí de la Societat Arqueològica Lul·liana* 61: 386–387.
- Marot, T. 2012a. Moneda vàndala de bronze, en M. Riera Rullan, M. Á. Cau y M. Salas (coords) *Cent anys de Son Peretó: descobrint el passat cristià*: 50. Palma: Consell de Mallorca.
- Marot, T. 2012b. Moneda romana de bronze, en M. Riera Rullan, M. Á. Cau y M. Salas (coords) *Cent anys de Son Peretó: descobrint el passat cristià*: 52. Palma: Consell de Mallorca.
- Marot, T. 2012c. Moneda romana de bronze, en M. Riera Rullan, M. Á. Cau y M. Salas (coords) *Cent anys de Son Peretó: descobrint el passat cristià*: 53. Palma: Consell de Mallorca.
- Marot, T. 2012d. Moneda romana de bronze, en M. Riera Rullan, M. Á. Cau y M. Salas (coords) *Cent anys de Son Peretó: descobrint el passat cristià*: 53. Palma: Consell de Mallorca.
- Marot, T. 2012e. Moneda romana de bronze, en M. Riera Rullan, M. Á. Cau y M. Salas (coords) *Cent anys de Son Peretó: descobrint el passat cristià*: 54. Palma: Consell de Mallorca.
- Marot, T. 2012f. Moneda romana de bronze, en M. Riera Rullan, M. Á. Cau y M. Salas (coords) *Cent anys de Son Peretó: descobrint el passat cristià*: 54. Palma: Consell de Mallorca.
- Marot, T. 2012g. Moneda romana de bronze, en M. Riera Rullan, M. Á. Cau y M. Salas (coords) *Cent anys de Son Peretó: descobrint el passat cristià*: 55. Palma: Consell de Mallorca.
- Marot, T. 2012h. Moneda romana de bronze, en M. Riera Rullan, M. Á. Cau y M. Salas (coords) *Cent anys de Son Peretó: descobrint el passat cristià*: 55. Palma: Consell de Mallorca.
- Marot, T. 2012i. Moneda romana de bronze, en M. Riera Rullan, M. Á. Cau y M. Salas (coords) *Cent anys de Son Peretó: descobrint el passat cristià*: 56. Palma: Consell de Mallorca.
- Marot, T. 2012j. Moneda romana de bronze, en M. Riera Rullan, M. Á. Cau y M. Salas (coords) *Cent anys de Son Peretó: descobrint el passat cristià*: 56. Palma: Consell de Mallorca.
- Marot, T. 2012k. Moneda romana de bronze, en M. Riera Rullan, M. Á. Cau y M. Salas (coords) *Cent anys de Son Peretó: descobrint el passat cristià*: 57. Palma: Consell de Mallorca.
- Marot, T. 2013. Estudi de les monedes dels àmbits del sector oest, en M. Riera Rullan, M. Á. Cau y M. Salas (eds) *El conjunt paleocristià de Son Peretó (Manacor, Mallorca). Excavació i adequació de les habitacions del sector oest (MUSA. Revista del Museu d'Història de Manacor 8)*:1 41–143. Manacor: Museu d'Història de Manacor.
- Martín, G. 1983. Terra Sigillata Clara de Pollentia, en A. Arribas (ed.) *Pollentia. Estudio de los materiales, I. Sa Portella, excavaciones 1957-1963*: 167–240. Palma: William L. Bryant Foundation.
- Martínez García, A. B. 1999. *El vidrio en el campamento romano del ala II flavia hispanorum civium romanorum en petavonium: Rosinos de Vidriales-Zamora*. Zamora: Instituto de Estudios Zamoranos “Florian de Ocampo”.
- Mas, C. 2006. *Cerámica y poblamiento durante la Antigüedad tardía (siglos IV - X) en la isla de Mallorca: la zona este (Manacor y Sant Llorenç)*, Diploma d'Estudis Avançats, Departament de Prehistòria, Història Antiga i Arqueologia, Universitat de Barcelona, inédito.
- Mas, C. y M. Á. Cau 2006. El poblamiento rural en la isla de Mallorca (Baleares) durante la Antigüedad tardía (siglos IV–X), *Bulletin de la Association pour l'Antiquité Tardive* 15: 76–88.
- Mas, C. y M. Á. Cau 2007. Rural settlement in Late Antique Mallorca (Balearic Islands): an interim approach, *Archeologia Medievale* XXXIV: 171–180.
- Mas, C. y M. Á. Cau 2012. Son Peretó i el territori que l'envoltava, M. Riera Rullan, M. Á. Cau y M. Salas (coords) *Cent anys de Son Peretó: descobrint el passat cristià*: 13. Palma: Consell de Mallorca.
- Mas, C. y M. Á. Cau 2013. Chrétiens, paysans et bergers : la transformation des campagnes à Majorque (îles Baléares) pendant l'Antiquité tardive, *Antiquité Tardive* 15: 217–232.
- Mas, C., M. Á. Cau, J. M. Gurt y M. Sales 2007. El poblamiento rural de Menorca durante la Antigüedad tardía: primera aproximación, *Revista de Menorca* 90 (I): 177–215.

- Mas Florit, C., M. Á. Cau Ontiveros, C. Meyer, L. Goossens, R. Sala, H. Ortiz (2020), Geophysical Survey at the early Christian complex of Son Peretó (Mallorca, Balearic Islands, Spain), *Archaeological Prospection*, <<https://doi.org/10.1002/arp.1808>>.
- Mascaró, J. 1962–1967. *Corpus de Toponimia de Mallorca*. Palma: Adalid.
- Mascaró, J. 1967. *Instrucciones para la defensa de los sitios arqueológicos y científicos. Monumentos prehistóricos y protohistóricos de la isla de Mallorca*. Palma: Ministerio de Educación y Ciencia.
- Mattingly, H. B. 1983. Pollentia. Coinage and History, en A. Arribas (ed.), *Pollentia. Estudio de los materiales, I. Sa Portella. Excavaciones 1957–1963*: 245–301. Palma: William L. Bryant Foundation.
- Mayer, M. 1996. Notas sobre algunos soportes y formularios de las laudas de época paleocristiana en mosaico de Hispania, *Cahiers des études anciennes XXXI*: 41–48.
- Méndez, R. y S. Ramallo 1985. Cerámicas tardías (siglos IV–VII) de Carthago Nova y su entorno. *Antigüedad y cristianismo II*: 231–280.
- Middleton W. D., L. Barba, A. Pecci, J. H. Burton, A. Ortiz, L. Salvini y R. Rodríguez 2010. The Study of Archaeological Floors: Methodological Proposal for the Analysis of Anthropogenic Residues by Spot Tests, ICP-OES, and GC-MS, *Journal of Archaeological Method and Theory* 17: 183–208.
- Miguélez, C. 1989. *El vidrio romano en el Museo del Puig dels Molins*. Eivissa: Museu Arqueològic d'Eivissa.
- Miriello, D., D. Barca, A. Bloise, A. Ciarallo, G. M. Crisci, T. De Rose, C. Gattuso, F. Gazineo y M.F. La Russa 2010a. Characterisation of archaeological mortars from Pompeii (Campania, Italy) and identification of construction phases by compositional data analysis, *Journal of Archaeological Sciences* 37: 2207–2223.
- Miriello, D., A. Bloise, G. M. Crisci, C. Apollaro y A. La Marca 2011a. Characterisation of archaeological mortars and plasters from kyme (Turkey), *Journal of Archaeological Sciences* 38: 794–804.
- Miriello, D., D. Barca, G. M. Crisci, L. Barba, J. Blancas, A. Ortiz, A. Pecci y L. López Luján 2011b. Characterization and provenance of lime plasters from the Templo Mayor of Tenochtitlan (Mexico City), *Archaeometry* 53: 1119–1141.
- Miriello, D., A. Bloise, G. M. Crisci, E. Barrese y C. Apollaro 2010b. Effect of milling: A possible factor influencing the durability of historical mortars, *Archaeometry* 52: 668–679.
- Miriello, D., A. Bloise, G. M. Crisci, A. Pecci, M. Á. Cau y M. Riera Rullan 2013. Compositional analyses of mortars from the late antique site of Son Peretó (Mallorca, Balearic Islands, Spain): Archaeological implications, *Archaeometry* 55 (6): 1101–1121.
- Miriello, D. y G. M. Crisci 2006. Image analysis and flatbed scanners. A visual procedure in order to study the macro-porosity of the archaeological and historical mortars, *Journal of Cultural Heritage* 7: 186–192.
- Montoya, C., J. Lanás, M. Arandigoyen, I. Navarro, P. J. García Casado y J. I. Alvarez 2003. Study of ancient dolomitic mortars of the church of Santa Maria de Zamarce in Navarra (Spain): comparison with simulated standards, *Thermochimica Acta* 398: 107–122.
- Moropoulou, A., K. Polikreti, A. Bakolas y P. Michailidis 2003. Correlation of physicochemical and mechanical properties of historical mortars and classification by multivariate statistics, *Cement and Concrete Research* 33: 891–898.
- Moropoulou, A., A. Bakolas y K. Bisbikou 1995. Characterization of ancient, byzantine and later historic mortars by thermal and X-ray diffraction techniques, *Thermochimica Acta* 269/270: 779–795.
- Moropoulou, A., A. Bakolas y K. Bisbikou 2000. Investigation of the technology of historic mortars, *Journal of Cultural Heritage* 1: 45–58.
- Mottram, H. R., S. N. Dudd, G. J. Lawrence, A. W. Stott, R. Evershed 1999. New chromatographic, mass spectrometric and stable isotope approaches to the classification of degraded animal fats preserved in archaeological pottery, *Journal of Chromatography A* 833: 209–221.
- Munar, M. y B. Burgaya 2009. L'aixecament d'una pila baptismal del jaciment de l'antiguitat tardana de Son Peretó (Manacor, Mallorca), en M. Riera Rullan, M. Á. Cau y M. Salas (eds) (*MUSA. Revista del Museu d'Història de Manacor* 5): 61–63. Manacor: Museu d'Història de Manacor.

- Munar, M., B. Burgaya, M. Riera Rullan, S. Alcaide, M. Salas y M. Á. Cau 2011. L'aixecament d'una pila baptismal del jaciment de l'Antiguitat tardana de Son Peretó (Manacor, Mallorca), en J. Gual (coord.) *III Jornades d'Arqueologia de les Illes Balears*: 221–230. Maó: Consell Insular de Menorca.
- Murcia, A. J. y M. Guillermo 2003. Cerámicas tardorromanas y altomedievales procedentes del teatro romano de Cartagena, en L. Caballero, P. Mateos y M. Retuerce (eds), *Cerámicas tardorromanas y altomedievales en la Península Ibérica. Ruptura y continuidad* (Anejos de Archivo Español de Arqueología XXVIII): 169–223. Madrid: CSIC, Instituto de Historia.
- Murcia, A. J., J. Vizcaíno, S. García y S. F. Ramallo 2005. Conjuntos cerámicos tardíos de las excavaciones en el teatro romano de Cartagena, en J. M. Gurt, J. Buxeda y M. Á. Cau (eds), *LRCWI. Late Roman Coarse Wares, Cooking Wares and Amphorae in the Mediterranean: Archaeology and Archaeometry* (British Archaeological Reports International Series 1340): 1–36. Oxford: BAR Publishing.
- Myron, G. 2003. *Igneous and Metamorphic Petrology, 2nd edition*. Oxford: Blackwell Publishing.
- Nadal, J. 2006. Las bulas de plomo bizantinas del castillo de Santueri, *Butlletí de la Societat Arqueològica Lul·liana* 62: 325–340.
- Navarro, R. 1988. Necrópolis y formas de enterramiento en época cristiana en las Baleares. El mundo funerario, en *Les illes Balears en temps cristians fins els àrabs*: 25–40. Maó: Institut Menorquí d'Estudis.
- Nenna, M. D. (ed.) 2000: *La route du verre. Ateliers primaires et secondaires du second millénaire av. J.-C. au moyen âge*. Lyon: Maison de L'Orient Méditerranéen.
- Orfila, M. y M. Á. Cau 1994. Las cerámicas finas procedentes de la cisterna de Sa Mesquida, Mallorca, en *III Reunió d'Arqueologia Cristiana Hispànica*: 257–288. Barcelona: Institut d'Estudis Catalans.
- Ortiz, P. 2016. Arquitectura cristiana primitiva en la Península Ibérica (313–589), en M. López, I. Sanz y P. De Paz (eds) *Los orígenes del cristianismo en la literatura, el arte y la filosofía (I)*: 337–361. Madrid: DYKINSON S.L.
- Ortiz, M. E. 2001. *Vidrios procedentes de la provincia de Zaragoza: el bajo imperio romano*. Zaragoza: Instituto Fernando el Católico.
- Palol, P. de 1950. *Bronces hispanovisigodos de origen mediterráneo, I, Jarritos y pátenas litúrgicos*. Barcelona: CSIC, Instituto de Prehistoria Mediterránea.
- Palol, P. de 1957–1958. Las mesas de altar paleocristianas en la Tarraconense, *Ampurias XIX–XX*: 81–102.
- Palol, P. de 1967a. *Arqueología cristiana de la España romana, siglos IV–VI*. Madrid-Valladolid: CSIC, Instituto Enrique Flórez.
- Palol, P. de 1967b. En torno a la iconografía de los mosaicos cristianos de las islas Baleares, *Boletín Sancho el Sabio, IX–X* (Actes de la I Reunió Nacional de Arqueologia Cristiana): 131–152. Vitoria: Institución Sancho el Sabio
- Palol, P. de 1972. Los monumentos de Hispania en la Arqueología Paleocristiana, en *Actas del VIII Congreso Internacional de Arqueología Cristiana*: 167–185. Barcelona: CSIC.
- Palol, P. de 1982a. Catalunya i Balears en temps paleocristians i visigòtics. Les noves descobertes arqueològiques i literàries, *Memòria de l'Institut d'Arqueologia i Prehistòria*: 37–47. Barcelona: Institut d'Arqueologia i Prehistòria de la Universitat de Barcelona.
- Palol, P. de (dir) 1982b. La basílica des Cap des Port de Fornells, Menorca, *II Reunió d'Arqueologia Paleocristiana Hispànica*: 353–404. Barcelona: Institut d'Arqueologia i Prehistòria de la Universitat de Barcelona.
- Palol, P. de 1986. Las excavaciones del conjunto de “El Bovalar”, *Antigüedad y cristianismo III*: 513–526.
- Palol, P. de 1988. Història i arqueologia cristiana a les Balears, en *Les Illes Balears en temps cristians fins als àrabs*: 9–14. Maó: Institut Menorquí d'Estudis.
- Palol, P. de 1989. La Arqueología Cristiana en la Hispania romana y visigoda. Descubrimientos recientes y nuevos puntos de vista, *Actas del XIème Congrès International d'Archéologie Chrétienne*: 1975–2022. Roma: École Française de Rome.

- Palol, P. de 1991. Estat actual de la investigació arqueològica de temps visigoths a Hispània: esquema de la ponència, en P. Périn (ed.) *VII Journées internationales d'Archéologie Mérovingienne*: 29–43. Toulouse: Association française d'Archéologie mérovingienne.
- Palol, P. de 1992. L'Arqueologia cristiana hispànica després del 1982, en *Actas de la III Reunión de Arqueología Cristiana Hispánica*: 3–40. Barcelona: Institut d'Estudis Catalans.
- Palol, P. de 1999. Els edificis religiosos, en P. de Palol y A. Pladevall (coords) *Del romà al romànic. Història, art i cultura de la Tarraconense mediterrània entre els segles IV i X*: 161–173. Barcelona: Enciclopèdia Catalana.
- Palol, P. de y A. Pladevall (coords) 1999. *Del romà al romànic. Història, art i cultura de la Tarraconense mediterrània entre els segles IV i X*. Barcelona: Enciclopèdia Catalana.
- Palol, P. de, G. Rosselló, A. Alomar y J. Camps 1968. *Notas sobre las basílicas de Manacor, en Mallorca*. Valladolid: Server-Cuesta.
- Panella, C. 1993. Merci e scambi nel Mediterraneo tardoantico, en A. Giardina (dir.) *Storia di Roma III. L'età tardoantica I. Crisi e trasformazioni*: 613–697. Torino: Einaudi.
- Paolucci, F. 2002. *L'arte del vetro inciso a Roma nel IV secolo d.C.* Firenze: All'Insegna del Giglio.
- Pascual, J., A.V. Ribera, M. Rosselló y T. Marotv 1997. València i el seu territori: Contexts ceràmics de la fi de la romanitat a la fi del califat (270–1031), en M. Comas, J. M. Gurt, A. López, P. Padrós y M. Roca (eds). *Contextos ceràmics d'època romana tardana i de l'alta edat mitjana (segles IV–X)*(ArqueoMediterrània 2/1997): 179–202. Barcelona: Universitat de Barcelona.
- Peacock D. P. S y D. F. Williams 1986. *Amphorae and the Roman economy. An introductory guide*. Avon: Longman.
- Pecci, A. 2007. Potenzialità delle analisi chimiche applicate all'archeologia dei consumi alimentari: un bilancio delle conoscenze, en A. Ciacci, P. Rendini y A. Zifferero (eds) *Archeologia della vite e del vino in Etruria*: 123–131. Siena: CiVin.
- Pecci, A. 2009. Analisi chimiche delle superfici pavimentali: un contributo all'interpretazione funzionale degli spazi archeologici, en G. Volpe y P. Favia (eds) *V Congresso Nazionale di Archeologia Medievale*: 105–110. Firenze: All'Insegna del Giglio.
- Pecci, A. 2010. Olio ed oli: le analisi dei residui organici nelle ceramiche, en G. Barbier, A. Ciacci y A. Zifferero (dir.), *Eleiva, Oleum, Olio. Le origini dell'olivicoltura in Toscana: nuovi percorsi di ricerca tra archeologia, botanica e biologia molecolare*: 213–228. San Quirico d'Orcia: Editrice DonChisciotte.
- Pecci, A. 2013. Almost ten years of plasters residue analysis in Italy: activity areas and the function of structures, *Periodico di Mineralogia* 82 (3): 393–410.
- Pecci A., Barba L. y Ortiz A., 2017a. Chemical residues as anthropic activity markers. Ethnoarchaeology, Experimental Archaeology and Archaeology of food production and consumption, *Environmental Archaeology* 22 (4): 343–353.
- Pecci, A., M. Á. Cau y N. Garnier 2013a. Identifying wine and oil production: analysis of residues from Roman and Late Antique plastered vats. *Journal of Archaeological Science* 40(12): 4491–4498.
- Pecci A., M. Á. Cau, C. Valdambri y F. Inserra 2013b. Understanding residues of oil production: chemical analyses of floors in traditional mills, *Journal of Archaeological Science* 40: 883–893.
- Pecci, A., J. Clarke, M. Thomas, J. Muslin, I. van der Graaff, L. Toniolo, D. Miriello, G. M. Crisci, M. Buonincontri y G. Di Pasquale 2017b. Use and reuse of amphorae. Wine residues in Dressel 2–4 amphorae from Oplontis Villa B (Torre Annunziata, Italy), *Journal of Archaeological Science: Reports* 12: 515–521.
- Pecci A., G. Giorgi, L. Salvini y M. Á. Cau 2013c. Identifying wine markers in ceramics and plasters with gas chromatography – mass spectrometry. Experimental and archaeological materials, *Journal of Archaeological Science* 40: 109–115.
- Pecci A. y F. D'Andria 2014. Oil production in Roman times: residue analysis of the floors of an installation in Lecce (southern Italy), *Journal of Archaeological Science* 41: 363–371.

- Pecci, A., D. Miriello, D. Barca, L. Barba, G. M. Crisci, R. de Luca, A. Ortiz, L.R. Manzanilla y J. Blanca, 2018. *Identifying a technological style in the making of lime plasters at Teopancazco (Teotihuacan, México)*, *Archaeological and Anthropological Sciences* 10 (2): 315–335.
- Pérez, L. 1978. Mallorca Cristiana, en J. Passarius (coord.) *Historia de Mallorca II*: 129–160. Palma: Editorial Moll.
- Pérez-Sala, M. 2004. Annex II. Estudi dels vidres procedents dels contextos de finals del segle V/primer terç del VII, *Laietania* 15: 504.
- Picard, J.-CH. 1989. Ce que les textes nous apprennent sur les équipements et le mobilier liturgique nécessaires pour le baptême dans le Sud de la Gaule et l'Italie du Nord, en *Actes du XIe congrès international d'archéologie chrétienne*: 1451–1468. Roma: École Française de Rome.
- Pieri, D. 2005. *Le commerce du vin oriental à l'époque byzantine (IVe-VII s. ap.J.-C.)*. *Le témoignage des amphores en Gaule*. Beirut: Bibliothèque Archéologique et Historique.
- Pieri, D. 2007. Les centres de production d'amphores en Méditerranée orientale durant l'Antiquité tardive : Quelques remarques, en M. Bonifay y J-CH. Trégliá (eds), *LRCW 2 Late Roman Coarse Wares, Cooking Wares and Amphorae in the Mediterranean. Archaeology and archaeometry* (British Archaeological Reports International Series 1662, II): 611–625. Oxford: Archaeopress.
- Pinya, B. 1953. *El museo arqueológico y la basilica primitiva de Manacor* (Colección Panorama Balear 28). Palma: Talleres Mossén Alcover.
- Plinius, G. 1987, *The natural history of Pliny*, traducción de J. Bostock y H. T. Riley. London: Taylor and Francis.
- Pozzeto, M. 1980. Ipotesi sui presupposti teorici delle architetture eliane di Grado, *Antichità Altoadriatiche* XVII: 297–309.
- Prummel, W. y H.-J. Frisch 1986. A guide for the distinction of species, sex and body side in bones of sheep and goat, *Journal of Archaeological Science* 13: 567–577.
- Puche, J. M. 2010. Los procesos constructivos de la arquitectura clásica. De la proyección a la ejecución. El caso del Concilium *Provinciae Hispaniae Citerioris* de Tarraco, *Arqueología de la Arquitectura* 7: 13–41.
- Puche, J. M. y J. López 2013. Metrologia e proporzioni nelle basiliche paleocristiane di Tarraco: La basilica settentrionale del santuario suburbano di San Fruttuoso e la Basilica dell'anfiteatro, en *Episcopus, ciuitas, territorium* (XV Congreso Internacional de Arqueologia Christiana): 759–776. Toledo: Universidad de Castilla la Mancha.
- Puche, J. M. y J. López 2016. “Tècnica i arquitectura tardoantiga de Centcelles (Tarragona). Observacions i primeres reflexions”, *QUARHIS* 12: 128–143.
- Puerto, A. 1981. *Excavaciones arqueológicas. Son Peretó. S'Hospitalet*, Arxiu Històric, Ajuntament de Manacor, Arxiu Històric de l'Ajuntament de Manacor, Memoria inédita.
- Puerto, A. 1982. *Memoria-diario de la II fase de la campaña de excavaciones en los yacimientos arqueológicos de Son Peretó y s'Hospitalet*, Arxiu Històric de l'Ajuntament de Manacor, Memoria inédita.
- Puerto, A. 1983. *III Etapa de los trabajos de consolidación en la basilica paleocristiana de Son Peretó. Memoria y diario*, Arxiu Històric de l'Ajuntament de Manacor, Memoria inédita.
- Puerto, A. 1984. *Diario y memoria de los trabajos de limpieza y excavación en el poblado prehistórico de s'Hospitalet, en Son Peretó y en Sa Torre dels Anagistes. IV etapa*, Arxiu Històric de l'Ajuntament de Manacor, Memoria inédita.
- Puig, J. 1961. *L'art wisigotique et ses survivances. Recherches sur les origines et le développement de l'art en France et en Espagne du IVe au XIIIe siècle*. París: F. de Nobele.
- Qing, Y., Z. Zenall, L. Sheng y C. Rongshen 2006. A Comparative Study on the Pozzolanic Activity between Nano-SiO₂ and Silica Fume, *Journal of Wuhan University of Technology-Materials Science Edition* 21: 153–157.
- Ramallo S. F. y J. Vizcaíno 2002. Bizantinos en Hispania. Un problema recurrente en la arqueología española, *Archivo Español de Arqueología* 75: 313–332.

- Ramis, M. 2000. La basílica de Cas Frares: per avançar en la investigació i el coneixement del jaciment, *II Jornades d'estudis locals de Santa Maria del Camí*: 133–142. Santa Maria del Camí: Ajuntament de Santa Maria del Camí.
- Ramis, M. 2002. Fonts bibliogràfiques sobre el jaciment arqueològic de Cas Frares, i fonts orals sobre la segona excavació, *III Jornades d'estudis locals*: 151–174. Santa Maria del Camí: Ajuntament de Santa Maria del Camí.
- Ramis, D. 2013. Primera aproximació a la gestió dels recursos faunístics a Son Peretó (Manacor): campanyes 2005–07, en M. Riera Rullan, M. Á. Cau y M. Salas (eds), *El conjunt paleocristià de Son Peretó (Manacor, Mallorca): excavació i adequació de les habitacions del sector oest* (Musa 8): 156–164. Manacor: Museu d'Història de Manacor.
- Ramon, J. 1986. *El Baix Imperi i l'època Bizantina a les illes Pitiüses*. Eivissa: Consell Insular d'Eivissa.
- Ramon, J. 2007. Les Àmfores altimperials d'Ebusus, en A. López y X. Aquilue (coords) *La producción i el comerç de les àmfores de la Provincia Hispania Tarraconensis: homenatge a Ricard Pascual i Guasch* (Monografies MAC-Barcelona 8): 241–270. Barcelona: Museu d'Arqueologia de Catalunya.
- Ramon, J. 2008. La cerámica ebusitana en la Antigüedad Tardía, en D. Bernal y A. Rivera. (eds) *Cerámicas hispanorromanas. Un estado de la cuestión*: 563–583. Cádiz: Servicio de Publicaciones de la Universidad de Cádiz.
- Ramon, J. y M. Á. Cau 1997. Niveles de época vándala de Es Castell d'Eivissa, en M. Comas, J. M. Gurt, A. López, P. Padrós y M. Roca (eds) *Contextos ceràmics d'època romana tardana i de l'alta edat mitjana (segles IV–X)* (ArqueoMediterrània 2/1997): 229–248. Barcelona: Universitat de Barcelona.
- Rampazzi, L., A. Pozzi, A. Sansonetti, L. Toniolo y B. Giussani 2006. A chemometric approach to the characterisation of historical mortars, *Cement Concrete Res.* 36: 1108–1114.
- Raynaud, C. 1993a. Amphores de Méditerranée orientale, *Lattara* 6: 69–73.
- Raynaud, C. 1993b. Céramique africaine Claire D, *Lattara* 6: 190–197.
- Raynaud, C. 1993c. Céramique Late Roman C, *Lattara* 6: 502–503.
- Raynaud, C. y M. Bonifay 1993. Amphores africaines, *Lattara* 6: 15–22.
- Regev, L., A. Zukerman, L. Hitchcock, A. M. Maeir, S. Weiner y E. Boaretto. 2010. Iron Age hydraulic plaster from Tell es-Safi/Gath, Israel, *Journal of Archaeological Sciences* 37: 3000–3009.
- Remolà, J. A. 2000. *Las ánforas tardo-antiguas en Tarraco, (Hispania Tarraconensis): siglo IV–VIII*. Barcelona: Universitat de Barcelona.
- Reynolds, P. 1993. *Settlements and Pottery in the Vinalopó Valley (Alicante, Spain): A.D. 400–700* (British Archaeological Reports International Series 588): Oxford: BAR Publishing.
- Reynolds, P. 1995. *Trade in the Western Mediterranean, AD 400–700: the ceramic evidence* (British Archaeological Reports International Series 604). Oxford: BAR Publishing.
- Reynolds, P. 2005. Levantine amphorae from Cilicia to Gaza: A typology and analysis of regional production trends from the 1st to 7th centuries, en J. M. Gurt, J. Buxeda y M. Á. Cau (eds) *LRCWI. Late Roman Coarse Wares, Cooking Wares and Amphorae in the Mediterranean: Archaeology and Archaeometry* (British Archaeological Reports International Series 1340): 563–611. Oxford: BAR Publishing.
- Reynolds, P. 2010. *Hispania and the Roman Mediterranean, AD 100–700: ceramics and trade*. Oxford: Bristol Classical Press.
- Ribera, A. (coord.) 2015. *Pla de Nadal (Ribaroja del Turia). El palacio de Tevdinir*. Riba-Roja del Túria: Ajuntament Riba-Roja del Túria.
- Riccardi, M. P., M. Lezzerini, F. Carò, M. Franzin y B. Messiga 2007. Microtextural and microchemical studies of hydraulic ancient mortars: Two analytical approaches to understand pre-industrial technology processes, *Journal of Cultural Heritage*, 8: 350–360.
- Ricci Lucchi, F. 1980. *Sedimentologia parte I: Materiali e tessiture dei sedimenti*. Bologna: Clueb.
- Riera, I. M. y R. J. Roman 1995. Els mosaics de Son Peretó (*Papers de Sa Torre. Aplecs de Cultura i Ciències Socials* 36). Manacor: Escola Municipal de Mallorca.

- Riera, M. M. 2009. El Bisbe Campins i l'arqueologia, *Seminari d'Estudis Històrics 2009: Pere Joan Campins i Barceló, bisbe de Mallorca (1859–1915)*: 63–70. Palma: Societat Arqueològica Lul·liana.
- Riera Rullan, M. 2005. La ceràmica del Pla de ses Figueres. Noves dades del monestir de l'illa de Cabrera (Illes Balears), en J. M. Gurt y A. Ribera (coords) *Les Ciutats Tardoantigues d'Hispania: Cristianització i Topografia* (VI Reunió d'Arqueologia Cristiana Hispànica): 195–203. Barcelona: Institut d'Estudis Catalans.
- Riera Rullan, M. 2009. Enterramientos de la Antigüedad Tardía en las islas de Cabrera y Mallorca, en J. López, P. Pergola, P. Perin y G. Vannini (eds) *Morir en el Mediterráneo Medieval Actas del III Congreso Internacional de Arqueología, Arte e Historia de la Antigüedad Tardía y Alta Edad Media peninsular (17 y 18 de Diciembre de 2007)* (British Archaeological Reports International Series 2001): 99–151. Oxford: BAR Publishing.
- Riera, M. 2015. *Arqueologia d'una instal·lació monacal primerenca a l'arxipèlag de Cabrera (Illes Balears) (segles V–VIII dc). Restes arquitectòniques, de producció, ceràmica i altres materials arqueològics*, Tesi doctoral de la Universitat Autònoma de Barcelona. Departament de Ciències de l'Antiguitat i de l'Edat Mitjana, Tesis Doctorals en Xarxa. <<http://www.tesisenred.net/handle/10803/381078>>
- Riera Rullan, M. 2017. *El monacat insular de la Mediterrània Occidental. El monestir de Cabrera (Balears, segles V–VIII)*, (Studia Archaeologiae Christianae 1), Barcelona: Ateneu Universitari Sant Pacià, Facultat Antoni Gaudí d'Història, Arqueologia i Arts Cristianes, Facultat de Teologia de Catalunya, Institut Català d'Arqueologia Clàssica.
- Riera Rullan, M., M. A. Capellà y A. Martínez 2012. Anses de làmpada del tipus Isings 134/Foy 11 o Foy 22, en M. Riera Rullan, M. Á. Cau y M. Salas (coords) *Cent anys de Son Peretó: descobrint el passat cristià*: 72. Palma: Consell de Mallorca.
- Riera Rullan, M. y M. Á. Cau 2012a. Cronologia d'un assentament de l'antiguitat tardana, en M. Riera Rullan, M. Á. Cau y M. Salas (coords) *Cent anys de Son Peretó: descobrint el passat cristià*: 15–16. Palma: Consell de Mallorca.
- Riera Rullan, M. y M. Á. Cau 2012b. Els edificis baptismals de Son Peretó, en M. Riera Rullan, M. Á. Cau y M. Salas (coords) *Cent anys de Son Peretó: descobrint el passat cristià*: 21–23. Palma: Consell de Mallorca.
- Riera Rullan, M. y M. Á. Cau 2012c. Els enterraments privilegiats de Son Peretó, en M. Riera Rullan, M. Á. Cau y M. Salas (coords) *Cent anys de Son Peretó: descobrint el passat cristià*: 23–24. Palma: Consell de Mallorca.
- Riera Rullan, M. y M. Á. Cau 2012d. Gerret nord-africà, en M. Riera Rullan, M. Á. Cau y M. Salas (coords) *Cent anys de Son Peretó: descobrint el passat cristià*: 65. Palma: Consell de Mallorca.
- Riera Rullan, M. y M. Á. Cau 2013. Primera aproximació global a la ceràmica recuperada en el sector oest de Son Peretó: campanyes d'excavació 1982–1984 i 2005–2008, en M. Riera Rullan, M. Á. Cau y M. Salas (eds) *El conjunt paleocristià de Son Peretó (Manacor, Mallorca). Excavació i adequació de les habitacions del sector oest* (MUSA. Revista del Museu d'Història de Manacor 8): 82–95. Manacor: Museu d'Història de Manacor.
- Riera Rullan, M., M. Á. Cau, S. Alcaide, M. Salas y M. Munar 2010. Son Peretó (Mallorca, Balears), en J. Morín, J. López y A. Martínez (eds) *El tiempo de los "bárbaros". Pervivencia y transformación en Galia e Hispania (ss. V–VI D.C.)*: 597–599. Alcalá de Henares: Museo Regional.
- Riera Rullan, M., M. Á. Cau y M. Salas 2012a. El Sector Oest de Son Peretó (Mallorca) entre els segles VI i VIII dC: Evolució històrica i funcional, en M. Riera Rullan (coord.) *Actes de les IV Jornades d'Arqueologia de les Illes Balears*: 143–150. Eivissa: Vessants, Arqueologia i Cultura SL.
- Riera Rullan, M., M. Á. Cau y M. Salas (coords) 2012b. *Cent anys de Son Peretó: descobrint el passat cristià*, Consell de Mallorca. Palma: Consell de Mallorca.
- Riera Rullan, M., M. Á. Cau y M. Salas (eds) 2013. *El conjunt paleocristià de Son Peretó (Manacor, Mallorca). Excavació i adequació de les habitacions del sector oest*, (MUSA. Revista del Museu d'Història de Manacor 8). Manacor: Museu d'història de Manacor.
- Riera Rullan, M., M. Á. Cau y M. Salas en prensa. El Sector Sur de Son Peretó (Mallorca – Islas Balears). Ambientes de carácter funerario de entre los siglos V a VIII d. C. , en M. Á. Cau Ontiveros (ed) *Las*

- islas Baleares durante la Antigüedad tardía (siglos III-X). *Historia y Arqueología*, Limina/Limites Series, Archaeopress, Oxford.
- Riera Rullan, M., M. Á. Cau, M. Salas y M. Van Strydonck 2014. Radiocarbon dating of the necropolis of the early christian site of Son Peretó (Mallorca, Balearic Islands), A. J. T. Jull y A. P. McNichol (eds) *Proceedings of the 7th Radiocarbon and Archaeology Symposium*, (Radiocarbon Vol. 56, 2): 399–410. Arizona: Conventions for Reporting Radiocarbon Determinations.
- Riera Rullan, M. y A. Martín 2007. Portocolom en temps de l'antiguitat tardana, *Arqueologia i història a Portocolom*: 57–61. Palma: Documenta Balear S.L.
- Riera Rullan, M. y A. Martínez 2009. Estudi preliminar dels materials arqueològics de les excavacions del Sector Oest de Son Peretó dels anys 1982 i 1984, *V Jornades d'Estudis Locals de Manacor*: 291–322. Manacor: Ajuntament de Manacor.
- Riera Rullan, M., M. Á. Cau, S. Alcaide, M. Salas y M. Munar 2006. El proyecto de revisión y adecuación del yacimiento de Son Peretó (Manacor, Mallorca, islas Baleares), *Bulletin de la Association pour l'Antiquité Tardive* 15: 69–74.
- Riera Rullan, M., M. Á. Cau, S. Alcaide, M. Salas y M. Munar, 2009. El conjunt paleocristià de Son Peretó (Manacor, Mallorca): projecte de revisió i adequació, en *1ª Trobada d'Arqueòlegs de les illes Balears*: 111–119. Palma: Consell de Mallorca.
- Ripoll, G. 1989. Características generales del poblamiento y la arqueología funeraria visigoda de *Hispania*, *Espacio, Tiempo y Forma* (Serie I Prehistoria y Arqueología 2): 389–418.
- Ripoll, G. 1996. La arquitectura funeraria de *Hispania* entre los siglos V y VIII: aproximación tipológica, *Spania. Estudis d'antiguitat Tardana oferts en homenatge al professor Pere de Palol i Saellas*: 217. Barcelona: Publicacions de l'Abadia de Montserrat.
- Ripoll, G. 2012a. Placa de fermall de cinturó articulat tipus E19 de Schulze-Dörrlamm, M. Riera Rullan, M. Á. Cau y M. Salas (eds) *El conjunt paleocristià de Son Peretó (Manacor, Mallorca). Excavació i adequació de les habitacions del sector oest* (MUSA. Revista del Museu d'Història de Manacor 8): 44. Manacor: Ajuntament de Manacor.
- Ripoll, G. 2012b. Dues tatxes d'or, en M. Riera Rullan, M. Á. Cau y M. Salas (coords) *Cent anys de Son Peretó: descobrint el passat cristià*: 81. Palma: Consell de Mallorca.
- Ripoll, G. 2012c. Arracada de bronze, en M. Riera Rullan, M. Á. Cau y M. Salas (coords) *Cent anys de Son Peretó: descobrint el passat cristià*: 81. Palma: Consell de Mallorca.
- Ripoll, G. 2012d. Agulla de bronze, en M. Riera, M. Á. Cau y M. Salas (coords) *Cent anys de Son Peretó: descobrint el passat cristià*: 82. Palma: Consell de Mallorca.
- Ripoll, G. 2012e. Baga d'una cadena de bronze, probablement d'un utensili litúrgic en suspensió, en M. Riera Rullan, M. Á. Cau y M. Salas (coords) *Cent anys de Son Peretó: descobrint el passat cristià*: 82. Palma: Consell de Mallorca.
- Ripoll, G. y I. Velázquez 2013. Placa de broche de cinturón de tipo bizantino procedente del conjunto eclesiástico de Son Peretó (Mallorca), en Ch. Blondeau, B. Boissavit-Camus, V. Boucherat i P. Volti (eds) *Ars auro gemmisque prior. Mélanges en hommage à Jean-Pierre Caillet*: 139–150. Zagreb: University of Zagreb.
- Ristow, S. 1998. *Frühchristliche Baptisterien*, Jahrbuch für Antike und Christentum. Münster: Aschendorff Verlag.
- Ristow, S., A. Mertel, H. Horínková y D. Zbíral 2017. *Christian baptisteries: interactive map (version 1.0.2)*, visto el 22 de mayo del 2019, <<http://hde.geogr.muni.cz/baptisteries>>
- Riu, M. 1982. Alguns costums funeraris a l'Edat Mitjana a Catalunya, en M. Riu (ed.) *Necròpolis i sepultures medievals de Catalunya (Acta Medievalia, annex 1)*: 29–57 Barcelona: Edicions Universitat de Barcelona.
- Riu, M. y J. Bolòs 1982. Observacions metodològiques, esquemes i fitxes del treball per a l'estudi de les sepultures, en M. Riu (ed.) *Necròpolis i sepultures medievals de Catalunya (Acta Medievalia, annex 1)*: 11–28. Barcelona: Edicions Universitat Barcelona.
- Roberts, C. y K. Manchester 1995. *The Archaeology of Disease*. Ithaca: Cornell University Press.

- Roca, M. 1974. Estudio de los materiales procedentes de las necrópolis tardorromanas de can Gabino (Formentera), can Prats y can Frit (Ibiza), *Prehistoria y Arqueología de las Islas Baleares* (VI Symposium Internacional de Prehistoria Peninsular): 407–434. Barcelona: Universitat de Barcelona, Institut d'Arqueologia i Prehistòria.
- Rodríguez M. X. 2001. *O vidro provincial galaicorromano*. Vigo: Servizo de Publicacións da Universidade de Vigo.
- Román, J. M. 2004. *Mundo Funerario rural en la provincia de Granada durante la Antigüedad Tardía*. Granada: Universidad de Granada.
- Rosselló, G. 1973. Los siglos oscuros de Mallorca, *Mayurqa* 10: 77–99.
- Rosselló, G. 1996. Un document excepcional sobre el mosaic de la basílica de Santa Maria del Camí, en *Spainia. Estudis d'Antiguitat Tardana oferts en homenatge al professor Pere de Palol i Salellas*: 229–233. Barcelona: Publicacions de l'Abadia de Montserrat.
- Rosselló, G. 2006. Nueva luz sobre los siglos oscuros de Baleares y Pitiusas, *Butlletí de la Societat Arqueològica Lul·liana* 62: 307–324.
- Rosselló, M. y A. Ribera 2005. Las cerámicas del siglo VII d.C. en *Valentia* (Hispania) y su entorno, en *Rei Cretariae Romanae Fautorum Acta* 39 (Congressus vicesimus quartus Rei Cretariae Romanae Fautorum Namuri et Duobus Lovaniis habitus MMIV): 155–164. Abingdon: Rei Cretariae Romanae Fautores (RCRF).
- Rubió, J. 1909–1910. Troballa d'una basílica cristiana a les immediacions del port de Manacor, *Anuari de l'Institut d'Estudis Catalans* 3: 361–377. Barcelona: Institut d'Estudis Catalans.
- Ruiz, G. y T. Chapa 1990. La arqueología de la muerte: perspectivas teórico-metodológicas, en F. Burillo (coord.) *Necrópolis celtibéricas* (II Simposio sobre los celtíberos): 357–373. Zaragoza: Institución Fernando el Católico.
- Salas, M. 2010. Museos locales como centros de interpretación del territorio. La experiencia del Museo de Historia de Manacor (Mallorca) y sus yacimientos asociados, en *Arqueología, discurso histórico y trayectorias locales* (V Congreso Internacional de Musealización de Yacimientos Arqueológicos): 41–49. Cartagena: Ayuntamiento de Cartagena, Ayuntamiento de Barcelona, Ayuntamiento de Alcalá de Henares.
- Salas, M. 2013. El projecte d'adequació i difusió del jaciment tardoantic de Son Peretó, en M. Riera Rullan, M. Á. Cau y M. Salas (eds) *El conjunt paleocristià de Son Peretó (Manacor, Mallorca). Excavació i adequació de les habitacions del sector oest*, (MUSA. Revista del Museu d'Història de Manacor 8): 108–111. Manacor: Ajuntament de Manacor.
- Salderan, A. V. 1980. *Ancient and Byzantine glass from Sardis*. Cambridge: Verlag C.H. Beck.
- Sales, J. 2003. Necrópolis cristianas tardoantiguas en el área catalana. Estado de la cuestión, en L. García, E. Gil, S. Rascón y M. Vallejo (eds) *Santos, obispos y reliquias* (Acta Antiqua Complutensia III): 319–333. Alcalá de Henares: Universidad de Alcalá. Servicio de Publicaciones.
- Salinas, M. E. 2003. *El vidrio romano de Córdoba*. Córdoba: Diputación de Córdoba, Servicio de Publicaciones de la Universidad de Córdoba.
- Salvà, M. G. 2012a. Gemma amb talla caboixó, en M. Riera Rullan, M. Á. Cau y M. Salas (coords) *Cent anys de Son Peretó: descobrint el passat cristià*: 77. Palma: Consell de Mallorca.
- Salvà, M. G. 2012b. Dena de perla natural, en M. Riera Rullan, M. Á. Cau y M. Salas (coords) *Cent anys de Son Peretó: descobrint el passat cristià*: 78. Palma: Consell de Mallorca.
- Salvà, M. G. 2012c. Dena de collar de pasta de vidre, en M. Riera Rullan, M. Á. Cau y M. Salas (coords) *Cent anys de Son Peretó: descobrint el passat cristià*: 78. Palma: Consell de Mallorca.
- Sánchez de Prado, M. D. 2004. El vidrio romano en el Conventus Carthaginensis, en *Jornadas sobre el Vidrio en la España Romana*: 79–113. La Granja: Fundación Centro Nacional Vidrio.
- Sánchez de Prado, M. D. 2009. La vajilla de vidrio durante la Antigüedad Tardía en el Conventus Carthaginiensis, *Boletín del Seminario de Estudios de Arqueología* 75: 159–200.
- Sánchez de Prado, M. D. 2018. *La vajilla de vidrio en el ámbito suroriental de la Hispania romana. Comercio y producción entre los siglos I-VII d.C.*. Alacant: Publicacions Universitat Alacant.

- Santoro, S. 2007. Le ceramiche da cucina prodotte in Italia et esportate nel Mediterraneo: Un primo panorama archeometrico ed archeologico sulla base di una banca dati, en M. Bonifay y J-CH. Trégliá (eds.), *LRCW 2 Late Roman Coarse Wares, Cooking Wares and Amphorae in the Mediterranean. Archaeology and archaeometry*, (British Archaeological Reports International Series 1662, I): 365–382. Oxford: Archaeopress.
- Sarnat, B. G. y I. Schour 1941. Enamel Hypoplasia in Relationship to Systematic disease: A Chronologic, Morphologic and Etiologic Classification, *The Journal of the American Dental Association* 28: 1989–2000.
- Sastre, J. 2000. *La Carta de Sever de Menorca. Anàlisi de les principals citacions bíbliques*, (Treballs del Museu de Menorca 22). Menorca: Conselleria d'Educació i Cultura, Govern Balear, y Institut Menorquí d'Estudis.
- Servera, G. y A. Currás 2015 (Inédito). *Informe arqueopol·línic de Son Peretó (Manacor)*.
- Schlunk, H. y Th. Hauschild 1978. *Hispania Antiqua. Die Denkmäler der frühchristlichen und westgotischen Zeit*, Mainz: von Zabern.
- Schmid, E. 1972. *Atlas of Animal Bones. For Prehistorians, Archaeologists and Quaternary Geologists*. Amsterdam: Elsevier Science Ltd.
- Serra, M^a. L. 1967. La basílica cristiana de la Isla del Rey (Mahón), en *I Reunión Nacional de Arqueología Paleocristiana* (Boletín Sancho el Sabio, 10): 27–42. Vitoria: Universidad de Valladolid.
- Sibley, D. F. y J. M. Gregg 1987. Classification of dolomite rock textures, *Journal of Sedimentary Research* 57: 967–975.
- Silver, I.A. 1980. La determinación de la edad en los animales domésticos, D. Brothwell y E. Higgs (eds) *Ciencia en arqueología*: 289–309. México: Fondo de Cultura Económica.
- Sotomayor, M. 1982. Penetración de la iglesia en los medios rurales de la España tardorromana y visigoda, en *Atti del Congresso Internazionale di studi sull'Alto Medioevo* 8: 641–649. Spoleto: Centro italiano di studi sull'alto Medioevo.
- Spekker, O, Hunt, D. R., Váradi, O. A., Berthon, W. Molnár, E., Pálfi, G. 2018. Rare manifestations of spinal tuberculosis in the Robert J. Terry Anatomical Skeletal Collection (National Museum of Natural History, Smithsonian Institution, Washington, DC, USA). *International Journal of Osteoarchaeology*. Wiley. <doi.org/10.1002/oa.2658>
- Stern, E. M. 1995. *Roman mold-blown glass: the first through sixth centuries*. Roma: L'Erma di Bretschneider.
- Sternini, M. 1991. *La verrerie romaine du Musée archéologique de Nimes*. Nimes: Direction des musées de France.
- Sternini, M. 1995. *La Fenice di Sabbia : storia e tecnologia del vetro antico*. Bari: Edipuglia.
- Sternini, M. 2001. Reperti in vetro da un deposito tardoantico sul colle palatino, *Journal of Glass Studies* 43: 21–75.
- Taylor, H. F. W., 1997. *Cement Chemistry, 2nd edn.*, London: Thomas Telford Publishing.
- TEd'A 1994. Vila-roma: un abocador del segle V d.C. en el fòrum provincial de Tarraco (Hispania Tarraconensis), *III Reunió d'Arqueologia cristiana hispànica* (Monografies de la Secció Històrico-Arqueològica): 339–354. Barcelona: Institut d'Estudis Catalans, Universitat de Barcelona, Consell Insular de Menorca.
- Testini, P. 1958. *Archeologia cristiana. Nozioni generali dalle origini alla fine del sec. VI*. Roma: Desclee & C.
- Tolotti F. 1972. Quesiti sulla copertura delle basiliche constantiniane di Roma, *Rivista di Archeologia Cristiana* 1–4: 350–375.
- Tortorella, S. 1998. La ceramica africana in Italia nel VI e nel VII secolo d. C.: problema di cronologia e distribuzione, en L. Saguí (ed.) *Ceramica in Italia: VI-VII secolo. Atti del Convegno in onore di John W. Hayes*: 41–69. Firenze: All'Insegna del Giglio.
- Tsantini, E., M. Á. Cau y J. M. Gurt 2013. Caracterització arqueomètrica de la ceràmica comuna i de cuina de les habitacions del sector oest de Son Peretó, en M. Riera Rullan, M. Á. Cau y M. Salas (eds) *El conjunt paleocristià de Son Peretó (Manacor, Mallorca). Excavació i adequació de les habitacions del*

- sector oest, (MUSA. Revista del Museu d'Història de Manacor 8): 122–140. Manacor: Ajuntament de Manacor.
- Ulbert, Th. 1978. *Frühchristliche Basiliken mit Doppelapsiden auf der Iberischen Halbinsel: Studien Zur Architektur- Und Liturgiegeschichte* (Archaologische Forschungen). Berlin: Gebr Mann Verlag GmbH & Co Kg.
- Ulbert, Th. 2002. "I. Die architekturebefunde", Th. Ulbert y M. Orfila, Die frühchristliche Anlage von Son Fadrinet (Campos Mallorca), *Madriider Mitteilungen* 43: 239–275.
- Ulbert, Th. 2003. El yacimiento paleocristiano de Son Fadrinet (Campos, Mallorca), *Mayurqa* 29: 175–187.
- Uboldi, M. 1995. Diffusione delle lampade vitree in età tardoantica e altomedievale spunti per una tipologia, *Archeologia Medievale* 22: 93–145.
- Uboldi, M. 1998. Vetri di età tardoantica e altomedievale dagli scavi del monastero di S. Giulia a Brescia, *Il vetro dall'antichità all'età contemporanea: aspetti tecnologici, funzionali e commerciali*: 181–188. Milano: Rina La Guardia.
- Uscatescu, A. 2004. El vidrio romano y tardoantiguo del sector denominado Casa I de Iesso (Guissona, Lérida) Campaña de 1999, *Jornadas sobre el vidrio en la España Romana*: 33–62. Segovia: Fundación Centro Nacional del Vidrio.
- Utrero, M. A. 2006. *Iglesias tardoantiguas y altomedievales en la península Ibérica. Análisis arqueológico y sistemas de abovedamiento*. Madrid: CSIC Press.
- Velázquez, M. 2013. *La basílica paleocristiana de Gerena (Sevilla). Propuesta de reconstrucción*, visto 27 enero 2017. <<http://martuscavr.blogspot.com/2013/10/la-basilica-paleocristiana-de-gerena.html>>
- Vallejo, M. 1993. *Bizancio y la España Tardoantigua (ss. V–VIII): Un capítulo de historia mediterránea*. Alcalá de Henares: Universidad de Alcalá.
- Vallejo, M. 2012. *Hispania y Bizancio. Una relación desconocida*. Madrid: Ediciones Akal.
- Vendrell-Saz, M., S. Alarcón, J. Molera y M. García-Vallés 1996. Dating ancient lime mortars by geochemical and mineralogical analysis, *Archaeometry* 38: 143–149.
- Veny, C. 1965. *Corpus de las inscripciones baleáricas hasta la dominación árabe*. Madrid: CSIC, Delegación de Roma.
- Veny, C. 1989. Insulae Baliares et Pithyusae, en A. Tovar (coord.) *Iberische Landeskunde, Tarraconensis III*: 243–279. Michigan: Universidad de Michigan.
- Vegas, M. 1973. *Cerámica común romana del Mediterráneo occidental*. Barcelona: Universidad de Barcelona, Instituto de Arqueología y Prehistoria.
- Villaverde, N. 2004. Expansió del monoteisme bíblic a les Balears, E. Belenguier (dir.): *Història de les Balears*: 410–425. Barcelona: Edicions 62.
- Vizcaíno, J. 2009. *La presencia bizantina en Hispania (siglos VI–VII). La documentación arqueológica, Antigüedad y Cristianismo* (Monografías Históricas sobre la Antigüedad Tardía XXIV). Murcia: Universidad de Murcia, Servicio de Publicaciones.
- Vizcaíno, J. y M. J. Madrid 2006. Ajuar simbólico de la necrópolis tardoantigua del sector oriental de Cartagena, *Espacio y tiempo en la percepción de la Antigüedad Tardía, Antigüedad y Cristianismo*, XXIII: 437–463.
- Whitehouse, D. 1997. *Roman Glass in the Corning Museum of Glass I*. New York: Hudson Hill.
- Whitehouse, D. 2001. *Roman Glass in the Corning Museum of Glass II*. New York: Corning Museum of Glass Inc., U.S.
- Whitehouse, D. 2004. *Roman Glass in the Corning Museum of Glass III*. New York: Corning Museum of Glass Inc., U.S.
- Wickham, C. 1998. Overview: Production, Distribution and Demand, R. Hodges i W. Bowden (eds), *The Sixth Century. Production, Distribution and Demand*: 279–292. Leiden–Boston–Köln: Brill.
- Wickham, C. 2000. Overview: Production, Distribution and Demand, II, I. L. Hansen, C. Wickham (eds), *The Long Eighth Century. The Transformation of the Roman World*: 224–264. Leiden–Boston–Köln: Brill.
- Wroth, W. 1911. *Catalogue of the coins of the Vandals, Ostrogoths and Lombards and of the Empires of Thessalonica, Nicae and Trebizond in the British Museum*, Londres.

Zucca, R. 1998. *Insulae Baliares. Le isole Baleari sotto il dominio romano*. Roma: Carocci.

Zucca, R. 2002. Il cristianesimo primitivo nelle *Insulae Baliares*, P.G. Spanu (coord.) *Insulae Christi. Il cristianesimo primitivo in Sardegna, Corsica e Baleari. Mediterraneo Tardoantico e Medievale (Scavi e ricerche 16)*: 539–552. Oristano: Mythos iniziative.